

۳۹۸۳

(۱۸)

TN
۴۹.
۲۲
آذربایجان
۱۳۸۳



جمهوری اسلامی ایران

وزارت صنایع و معادن
سازمان صنایع و معادن استان آذربایجان شرقی

وزارت صنایع و معادن

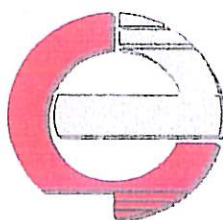
سازمان صنایع و معادن استان آذربایجان شرقی

اکتشاف و ناصرف

گمیاب و فادر خاگی

شهرستانهای سراب و کلیبر

تاریخ: ۱۳۸۳/۱۱/۲۵
شماره پرونده: ۱۰۷۶۲
نام: احمدی کشاور
تلفن: ۰۴۴۱۱۲۲۴
آدرس: شهرستان سراب



مهندسین مشاور تهران پادیر

سال ۱۳۸۳

فهرست مطالب

صفحه

موضوع

فصل اول: طبقه‌بندی و اهمیت اکتشافی عناصر کمیاب

پیشگفتار

بخش نخست: کلیات

- ۳-۱- مقدمه
۳-۲- تعریف عناصر کمیاب

بخش دوم: عناصر نادر خاکی (REE)

- ۸-۱- ژئوشیمی
۱۱-۱- کمپلکس‌سازی عناصر نادر خاکی
۱۲-۲- کانی‌شناسی عناصر نادر خاکی
۱۸-۳- سنگ‌شناسی عناصر نادر خاکی
۱۹-۴- انواع کانسارهای عناصر نادر خاکی
۲۰-۱-۴-۲- سنگهای آلکالین و فوق آلکالین
۲۰-۲- کربناتیها
۲۰-۳-۴-۲- پلاسراها
۲۱-۴-۴-۲- کانسارهای رگهای
۲۱-۵-۴-۲- کانسارهای آپاتیت
۲۲-۶-۴-۲- کانسارهای پگماتیت
۲۲-۷-۴-۲- کانسارهای فلوئورین- باستانیت همراه سازندهای آهن
۲۲-۸-۴-۲- سایر کانسارهای عناصر نادر خاکی
۲۳-۵-۴-۲- اکتشاف عناصر نادر خاکی
۲۳-۶-۲- استخراج و فرآوری عناصر نادر خاکی
۲۴-۱-۶-۲- تولید و ذخایر جهانی
۲۴-۲-۶-۲- کاربرد و مصارف عناصر نادر خاکی
۳۱-۳-۶-۲- قیمت عناصر نادر خاکی در جهان
۳۱-۷-۲- کانسارهای عناصر نادر خاکی در ایران
۳۱-۱-۷-۲- کانسارهای آپاتیت
۳۲-۲-۷-۲- کربناتیت
۳۲-۳-۷-۲- کانسار پلاسرا
۳۲-۴-۷-۲- کانسار رگهای
۳۸-۸-۲- پیشنهادات

ب



فهرست مطالع

صفحه

موضوع

بخش سوم: عناصر گروه (LILE)

۳۹	۱-۳-لیتیم
۳۹	۱-۱-۱-۳- انواع کانسارهای لیتیم دار
۳۹	۱-۱-۱-۳- کانسارهای پگماتیتی
۳۹	۱-۲-۱-۱-۳- کانسارهای رسوی
۴۱	۲-۳-بریلیم
۴۲	۱-۲-۲-۳- انواع کانسارهای بریلیم دار
۴۲	۱-۱-۲-۳- کانسارهای پگماتیتی
۴۲	۲-۱-۲-۳- کانسارهای حاصل از دگرسانی فلدسپاتی
۴۵	۳-۱-۲-۳- کانسارهای گریزنی
۴۵	۴-۱-۲-۳- کانسارهای گرمابی مرتبط با فعالیتهای آذرین درونی
۴۵	۵-۱-۲-۳- کانسارهای گرمابی مرتبط با فعالیتهای آذرین بیرونی
۴۵	۳-۳-باریم-اشتراتسیم
۴۵	۱-۳-۳- کانسارهای ماگمائی
۵۰	۲-۳-۳- کانسارهای رسوی
۵۰	۴-۳-روبیدیم-سزیم
۵۰	۱-۴-۳- کانسارهای رویدیم-سزیم
۵۰	۱-۱-۴-۳- کانسارهای پگماتیتی
۵۰	۲-۱-۴-۳- کانسارهای دگرسانی
۵۰	۳-۱-۴-۳- کانسارهای رسوی

بخش چهارم: عناصر گروه HFSE

۵۱	۴-۱-زیر گروه نیوبیم - تانتالیم
۵۳	۴-۱-۱-کاتیهای حاوی Nb-Ta
۵۳	۱-۱-۱-۱-کانسارهای ماگمائی
۵۷	۱-۱-۱-۲-کانسارهای پگماتیتی
۵۷	۱-۱-۱-۳-کانسارهای آلتیتی
۵۷	۱-۱-۱-۴-کانسارهای دگرسانی فلدسپاتی
۵۷	۱-۱-۱-۵-کانسارهای کربناتیتی
۵۷	۱-۱-۱-۶-کانسارهای هوازده و پلاسر
۵۸	۲-۴-زیرگروه زیرکنیم - هافنیم
۵۸	۱-۲-۱-کاتیهای زیرکنیم - هافنیم
۵۸	۱-۱-۲-۴-کانسارهای ماگمائی
۵۸	۱-۲-۱-۴-کانسارهای رسوی

ت



فهرست مطالب

صفحه

موضوع

(PGE) عناصر گروه پلاتین : بخش پنجم

۶۳	۱-۵- کانیهای گروه پلاتین
۶۴	۱-۱-۰- اثرات کاسارهای گروه پلاتین
۶۴	۱-۱-۱-۰- کاسارهای مایع گون
۶۴	۲-۱-۱-۰- کاسارهای ماگمایی اولیه
۶۴	۳-۱-۱-۰- کاسارهای ماگمایی تأخیری
۶۵	۴-۱-۱-۰- کاسارهای هوازده و پلاسربی



فهرست مطالب

صفحه

موضوع

فصل دوم : اکتشافات ژئوشیمیایی عناصر کمیاب در منطقه کلیبر و سراب

بخش اول : ویژگیهای زمین‌شناسی مناطق معرفی شده جهت اکتشاف مقدماتی عناصر کمیاب

۶۷	۱-۱- مقدمه
۶۷	۲-۱- گردآوری اطلاعات
۶۸	۳-۱- محدوده‌های اکتشافی پیشنهادی
۷۰	۴-۱- زمین‌شناسی منطقه مورد مطالعه

بخش دوم : نمونه‌برداری

۷۹	۱-۲- اهداف اکتشافات ژئوشیمیایی به روش آبراهه‌ای
۸۰	۲-۲- طراحی شبکه نمونه‌برداری
۸۱	۳-۲- انتخاب محیط نمونه‌برداری
۸۱	۴-۲- نمونه‌برداری
۸۲	۵-۲- آماده‌سازی نمونه‌ها
۸۳	۶-۲- آنالیز نمونه‌های ژئوشیمیایی و حد حساسیت دستگاهها
۸۴	۷-۲- دقت آنالیز نمونه‌های ژئوشیمیایی

بخش سوم : پردازش داده‌ها

۸۸	۱-۳- برآوردن مقادیر سنسور
۸۹	۲-۳- محاسبات آماری داده‌های خام
۹۳	۳-۳- بررسی روش‌های آماری آزمون مقادیر خارج از ردیف
۹۴	۴-۳- نرمال‌سازی داده‌های خام
۹۴	۵-۳- بروزی آماری دو متغیره (تعیین ضرایب همبستگی)
۱۰۶	۶-۳- بررسیهای آماری چند متغیره
۱۰۶	۷-۳- تجزیه و تحلیل خوش‌های
۱۰۹	۸-۳- تجزیه عاملی (آنالیز فاکتوری)
۱۱۹	۷-۲- تخمین مقدار زمینه و آنومالی (جداسازی جامعه آنومالی از زمینه)
۱۲۱	۸-۲- جداسازی آنومالیها بر اساس حاصل ضرب P.N

بخش چهارم : تخمین شبکه شاخص غنی‌شدگی و ترسیم نقشه‌های ژئوشیمیایی

۱۲۳	۱-۴- روش کار
۱۲۵	۲-۴- شرح آنومالیهای مقدماتی ژئوشیمیایی
۱۲۶	۴-۱- عناصر نادر خاکی

ج



فهرست مطالب

صفحه

موضوع

۱۲۸	B-14-A-14-۱-۱-۲-۴-لانتانیم (La)، نقشه‌های شماره
۱۲۹	B-2-A-2-۲-۱-۲-۴-سریم (Ce)، نقشه‌های شماره
۱۲۹	B-21-A-21-۳-۱-۲-۴-پرازثرودیمیم (Pr)، نقشه‌های شماره
۱۳۳	B-18-A-18-۴-۱-۲-۴-نئودیمیم (Nd)، نقشه‌های شماره
۱۳۴	B-23-A-23-۵-۱-۲-۴-ساماریم (Sm)، نقشه‌های شماره
۱۳۹	B-9-A-9-۶-۱-۲-۴-یوروپیم (Eu)، نقشه‌های شماره
۱۳۹	B-11-A-11-۷-۱-۲-۴-گادولینیم (Gd)، نقشه‌های شماره
۱۴۴	B-27-A-27-۸-۱-۲-۴-تریم (Tb)، نقشه‌های شماره
۱۴۴	B-7-A-7-۹-۱-۲-۴-دیسپروسیوم (Dy)، نقشه‌های شماره
۱۴۹	B-13-A-13-۱۰-۱-۲-۴-هولمیم (Ho)، نقشه‌های شماره
۱۴۹	B-8-A-8-۱۱-۱-۲-۴-اریوم (Er)، نقشه‌های شماره
۱۵۲	B-29-A-29-۱۲-۱-۲-۴-تولیوم (Tm)، نقشه‌های شماره
۱۵۴	B-34-A-34-۱۳-۱-۲-۴-ایتریوم (Yb)، نقشه‌های شماره
۱۵۹	B-15-A-15-۱۴-۱-۲-۴-لوتیم (Lu)، نقشه‌های شماره
۱۶۲	LILE-۲-۲-۴-عناصر گروه
۱۶۲	B-1-A-1-۱-۲-۲-۴-باریم (Ba)، نقشه‌های شماره
۱۶۲	B-5-A-5-۲-۲-۲-۴-سزیم (Cs)، نقشه شماره
۱۶۷	B-22-A-22-۳-۲-۲-۴-رویدیم (Rb)، نقشه‌های شماره
۱۶۷	B-25-A-25-۴-۲-۲-۴-استراسیم (Sr)، نقشه‌های شماره
۱۷۲	HfSE-۳-۲-۴-عناصر گروه
۱۷۲	۴-۲-۲-۴-زیر گروه عناصر نیوبیوم - تانتالیم
۱۷۲	B-17-A-17-۱-۳-۲-۴-نیوبیوم (Nb)، نقشه‌های شماره
۱۷۲	B-26-A-26-۲-۱-۳-۲-۴-تانتالیوم (Ta)، نقشه‌های شماره
۱۷۷	۴-۲-۳-۲-۴-زیر گروه عناصر زیر کونیم-هافینیوم
۱۷۷	B-36-A-36-۱-۲-۳-۲-۴-زیر کنیم (Zr)، نقشه‌های شماره
۱۸۰	B-12-A-12-۲-۲-۳-۲-۴-هافینیم (Hf)، نقشه‌های شماره
۱۸۳	۴-۲-۴-۴-۲-۴-سایر عناصر
۱۸۳	B-3-A-3-۱-۴-۲-۴-کالت (Co)، نقشه‌های شماره
۱۸۶	B-4-A-4-۲-۴-۲-۴-کروم (Cr)، نقشه‌های شماره
۱۸۶	B-6-A-6-۳-۴-۲-۴-مس (Cu)، نقشه‌های شماره
۱۹۱	B-16-A-16-۴-۴-۲-۴-مولیبدن (Mo)، نقشه‌های شماره
۱۹۱	B-10-A-10-۵-۴-۲-۴-گالیم (Ga)، نقشه‌های شماره
۱۹۶	B-19-A-19-۶-۴-۲-۴-نیکل (Ni)، نقشه شماره
۱۹۶	B-20-A-20-۷-۴-۲-۴-سررب (Pb)، نقشه‌های شماره
۲۰۱	B-24-A-24-۸-۴-۲-۴-قلع (Sn)، نقشه‌های شماره
۲۰۱	B-28-A-28-۹-۴-۲-۴-توریم (Th)، نقشه‌های شماره

ح



فهرست مطالب

صفحه

موضوع

۲۰۶	۱۰-۴-۲-۴- اورانیم (U)، نقشه‌های شماره A-30 و B-30
۲۰۶	۱۱-۴-۲-۴- وانادیم (V)، نقشه‌های شماره A-31 و B-31
۲۱۱	۱۲-۴-۲-۴- تنگستن (W)، نقشه‌های شماره A-32 و B-32
۲۱۱	۱۳-۴-۲-۴- آیتریم (Y)، نقشه‌های شماره A-33 و B-33
۲۱۶	۱۴-۴-۲-۴- روی (Zn)، نقشه‌های شماره A-35 و B-35
۲۱۹	۵-۴-۲-۴- آنمالی‌های حامل آنالیز فاکتوری
۲۱۹	۱-۵-۲-۴- آنمالی‌های حاصل از فاکتور اول، نقشه‌های شماره A-37 و B-37
۲۲۲	۲-۵-۲-۴- آنمالی‌های حاصل از فاکتور دوم، نقشه‌های شماره A-38 و B-38
۲۲۲	۳-۵-۲-۴- آنمالی‌های حاصل از فاکتور سوم، نقشه‌های شماره A-39 و B-39
۲۲۲	۴-۵-۲-۴- ناهنجاری‌های حاصل از فاکتور چهارم، نقشه‌های شماره A-40 و B-40
۲۲۹	۵-۵-۲-۴- ناهنجاری‌های حاصل از فاکتور پنجم، نقشه‌های شماره A-41 و B-41
۲۲۹	۶-۵-۲-۴- ناهنجاری‌های حاصل از فاکتور ششم، نقشه‌های شماره A-42 و B-42
۲۳۴	۶-۲-۴- باهنجری‌های حاصل از حاصلضرب P.N

فصل پنجم: فاز کنترل آنومالی‌های ژئوشیمیائی

۲۳۷	۱-۵- نمونه برداری کانی سنگین
۲۳۸	۱-۱-۵- عملیات مطالعه نمونه‌های کانی سنگین
۲۴۳	۲-۵- برداشت نمونه‌های مینرالیزه و آلتره
۲۴۴	۱-۲-۵- آنالیز نمونه‌های سنگی
۲۴۷	۲-۲-۵- مطالعات پتروگرافی بر روی نمونه‌های سنگی
۲۵۴	۳-۵- آنالیز کنسانتره نمونه‌های کانی سنگین

بخش ششم: بحث، نتیجه گیری و پیشنهادات

۲۶۰	منابع
۲۶۲	پیوست فصل اول: کاتیهای دارای عناصر نادر خاکی
۲۶۸	پیوست فصل دوم
۳۱۳	پیوست: نتایج آنالیز ژئوشیمیایی

خ



اكتشاف عناصر کمیاب و نادر خاکی، شهرستانهای سراب و گلیبر

فصل اول

طبقه‌بندی و اهمیت

اكتشافی عناصر کمیاب



اکتشاف عناصر کمیاب و نادر، خاکی، شهرستانهای سراب و کلیبر

پیشگفتار

براساس قرارداد شماره ۱۰۵-۹۵۵۰ مورخ ۸۳/۴/۱۵ اکتشاف عناصر کمیاب و نادر خاکی در شهرستانهای کلیبر و سراب توسط سازمان صنایع و معادن استان آذربایجان شرقی به شرکت مهندسین مشاور تهران پادیر و اگذار گردید.

منطقه مطالعاتی در دو بخش: یکی در جنوب شهرستان کلیبر به وسعت ۱۱۰ کیلومترمربع در برگیرنده توده شنودی نفلین سینیت کلیبر و دیگری در جنوب غربی شهرستان سراب در بخش شمالی کوههای بزقوش در برگیرنده توده نفلین سینیت بزقوش به وسعت ۳۰ کیلومترمربع می‌باشد.

نمونه بردازی، آنالیز و تجزیه و تحلیل آماری نتایج آنالیز نمونه‌ها به روش‌های گوناگون منجر به تهیه نقشه‌های آنومالی عناصر مختلف شده است.

این گزارش در دو فصل تهیه گردیده است: فصل اول شامل مجموعه اطلاعات مربوط به عناصر کمیاب، اکتشاف، استخراج، بازار و کاربرد آنها است. فصل دوم در برگیرنده نتایج خاص این مطالعات در دو ناحیه اکشافی است.

در نهایت با توجه به نتایج مطالعات مختلف جمع‌بندی و تئیجه گیری انجام گرفته و پیشنهادها برای بررسیهای آینده ارائه گردیده است:

در اینجا لازم است از ریاست محترم سازمان صنایع و معادن استان آذربایجان شرقی جتاب آقای مهندس نجاتی و سایر متخصصین ذیربطر در این پروژه که در مراحل مختلف همفکری لازم را به عمل آورده‌اند کمال تشکر و سپاسگزاری به عمل آید.



پُختش نُخست : گلپیر

۱-۱- مقدمه

با توجه به عوامل مختلف تعیین کننده ارزش منابع و ذخایر معدنی از قبیل رشد روزافزون جمعیت، پیشرفت غیرقابل تصور تکنولوژی، افزایش قیمت مواد معدنی و کاهش ذخایر سطحی با عیار بالا، باید به فکر توسعه روشهای اکتشافی برای کاسارهای عمیق با عیار بالا، کاسارهای سطحی با ذخیره و عیار کم، مواد معدنی تقریباً اقتصادی و روش علمی برای جایگزینی مواد باشیم.

ثروت طبیعی به دلیل ویژگیهای طبیعی و زمین شناسی قاره‌ها، به طور پراکنده میان کشورها توزیع شده است. پتانسیلهای بالقوه معدنی ایران در گستره صنعت معدنی بدلاًیل مختلف، بویژه نبود استراتژی در هر کدام از بخش‌های اکتشاف، استخراج و فرآوری، ناکنون مرغوبیت خود را آنچنان که باید بازنیافته است. با توجه به اهداف برنامه توسعه اقتصادی کشور، سیاست توسعه فرآوری مواد معدنی و اکتشاف می‌بایست بدون هیچ ابهامی محور اصلی بخش معادن قرار گیرد. وزارت صنایع و معادن باید توسعه فرآوری را جهت تکمیل زنجیره تولید و تهیه و تأمین قسمت عمده مواد اولیه مورد نیاز وابسته، صدور تولیدات، جلوگیری از وابستگی به نفت و جلوگیری از خروج ارز به منظور تهیه مواد اولیه صنایع وابسته، در اولویت برنامه تحقیقاتی و اجرائی خود قرار دهد.

در این میان استخراج و تولید فلزات استراتژیک و کمیاب، اساساً با هدفهای گوناگون خاصی در هر کشور تولید کننده دنبال می‌شود. در این راه گام نخست آن است که هر یک از این عناصر بر اساس نوع و وسعت معادن، پراکنده‌گی جغرافیائی و میزان عیار قابل استحصال در کارخانه و روشهای مختلف بازیافت و فرآوری مورد بررسی قرار گیرد. در گام دوم باید روشهای عرضه آنها در بازار داخلی و بین‌المللی مورد مطالعه واقع گردد. پس از این گامها، می‌توان هر یک از این عناصر را در رابطه با فلزات همراه و یا به صورت تک عنصری در زمرة پتانسیلهای خوب، متوسط و یا محدود در سطح کشور طبقه‌بندی کرده و نهایتاً روند اکتشاف، استخراج و تولید آنها را توجیه کرد.

با نگرش به محدود بودن ذخایر عناصر کمیاب و استفاده روزافزون از آنها در صنایع مختلف و برای استفاده بهینه از این منابع با رعایت مصالح سیاسی و اقتصادی کشور، باید بهترین روش اکتشاف، استخراج و فرآوری هر یک از آنها را با توجه به اولویتها انتخاب شود. البته محدودیتهای زیادی برای تولید این نوع فلزات پایه دز کشور ما وجود دارد، لکن می‌توان استراتژی استخراج آنها را در ارتباط با سایر فلزات با ارزش همراه نظری مس، طلا، مولیدن و غیره توجیه نمود.



۲-۱- تعریف عناصر کمیاب

برخی عناصر به دلایل گوناگون نظری کم بودن در طبیعت، عدم تقاضا برای تولید آنها، مشکل بودن استخراج و فرآوری و ناشناخته ماندن تا سده‌های معاصر فقط در چند دهه و این‌سین در صنعت مورد استفاده قرار گرفته‌اند و بدین خاطر به عناصر کمیاب موسوم هستند. عناصر کمیاب بالغ بر ۳۰ عنصر می‌باشند که به چهار گروه زیر قابل تقسیم هستند:

۱- عناصر گروه REE^۱۲- عناصر گروه LILE^۲۳- عناصر گروه HFSE^۳۴- عناصر گروه PGE^۴

این عناصر اغلب دارای خصوصیات ژئوشیمیائی متفاوتی در محیط‌های گوناگون هستند و بیشتر در متن کانیهای دیگر پراکنده می‌شوند. تمرکز این عناصر هنگامی امکان‌پذیر است که عناصر اصلی و فرعی همراه آنها از یکدیگر جدا شوند. معمولاً هر یک این عناصر دارای یک عنصر اصلی شاخص یا آنالوگ هستند که با آن یافت شده و به جای آن عنصر می‌نشینند، مثل K-Rb، Si-Ce، Al-Ga، Mo-Re، Ti-Nb-Ta-Zn-Cd. عناصر کمیاب عمده‌تاً با سنگ‌های آذرین آلکالین همراه بوده و گاهی همراه با سنگ‌های متامورفیک، متاسوماتیک و اسکارن نیز دیده می‌شوند. اغلب این عناصر منبع مشخصی که از آن استخراج شوند ندارند و بیشتر به عنوان محصول فرعی^۵ در کثارت محصول اصلی مثل سرب، روی، تیتان، آهن و آلومینیم استخراج می‌شوند. البته برخی از کانیها نیز صرفاً به خاطر همین عناصر کمیاب استخراج می‌شوند که در این میان می‌توان از زیرکن و کانی باستنایت نام برد که برای استخراج عنصر زیرکنیم و عناصر نادر خاکی مورد بهره‌برداری قرار می‌گیرد. بی‌جهوی و اکتشاف عناصر کمیاب کار مشکلی است زیرا بسیاری از آنها برای جستجو گران به راحتی قابل تشخیص نیست و شناسایی آنها نیاز به افراد بسیار با تجربه دارد. از طرف دیگر مقدار عناصر کمیاب در سنگ‌ها و کانیها بسیار ناچیز است و تشخیص آنها با روش معمول زمین‌شناسی و اکتشافی بسیار مشکل و یا حتی غیرممکن است و باید تکنیکهای مخصوصی نظری آنالیز نوترونی به کار گرفته شوند.

¹-Rare Earth Elements.²-Large Ion Lithophile Elements.³-High Field Strength Elements.⁴-Platinum Group Elements.⁵-Byproduct.

اکتشاف عناصر کمیاب و نادر خاکی، شهرستانهای سراب و گلیبر

پژوهش ۵۹۵: عناصر نادر خاکی (REE)

تولد شیمی لantanیدها به کشفی توسط یک ستون سوئدی به نام کارل آرنیوس در سال ۱۷۸۷ برمی‌گردد که یک نمونه دستی کانی سیاه رنگ غیرعادی نزدیک معدن فلدسپات تیریت در نزدیکی استکلهلم بود. در سال ۱۷۹۴ جان گادولین پروفسور دانشگاه آبو از نمونه‌های این کانی حدود ۳۸ درصد اکسید یا خاکی را که قبلاً تشخیص داده نشده بود جدا کرد. گرچه آرنیوس کانی را تیریت نامیده بود آندره اکبرگ در سال ۱۷۹۷ آن را گادولینیت و تریای خاکی نامید. در سال ۱۸۰۳ دو نفر به نامهای I. Hinzyer H. Berzelius و Berzelius عنصر سریم را کشف کردند و نهایتاً در اوایل قرن بیستم اکتشاف اساسی عناصر نادر خاکی صورت گرفت. این عناصر به شرح زیر هستند:

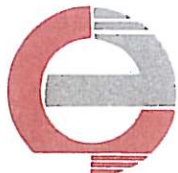
1. Lanthanum (لانتانیم) La
2. Cerium (سریم) Ce
3. Praseodymium (پرازئودیمیم) Pr
4. Neodymium (نئودیمیم) Nd
5. Promethium (پرومتمیم) Pm
6. Samarium (ساماریم) Sm
7. Europium (یوروپیم) Eu

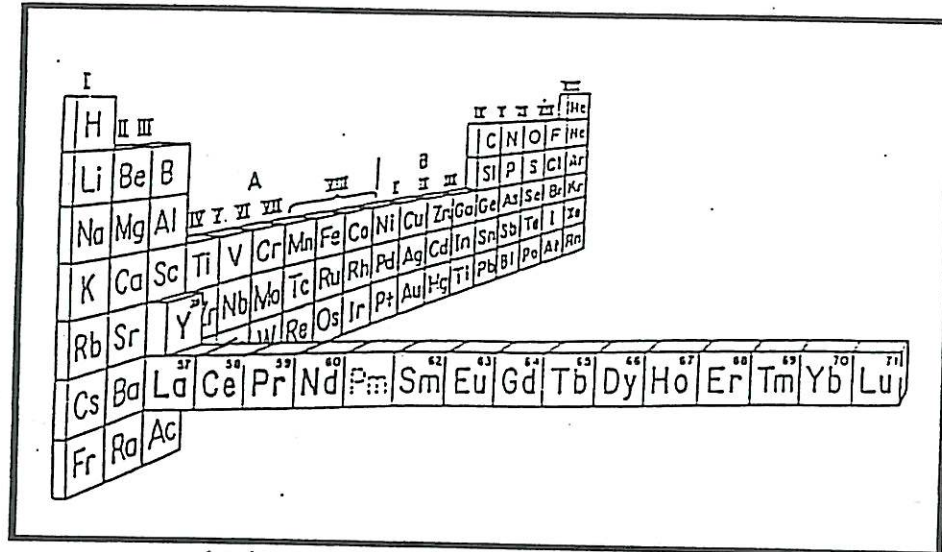
8. Gadolinium (گادولینیم) Gd
9. Terbium (تریبیم) Tb
10. Dysprosium (دیسپروزیم) Dy
11. Holmium (هولمیم) Ho
12. Erbium (اربیم) Er
13. Thulium (تلیم) Tm
14. Ytterbium (ایتریبیم) Yb
15. Lutetium (لوتیم) Lu

(جدول ۱-۲) : جدول تناوبی عناصر شیمیائی

Group IA	IIA	Group										VIIIB	
¹ H	⁴ Be											² He	
³ Li	¹² Mg	III A	IV A	V A	VIA	VII A	VIII	VIII	IB	IIB	⁵ B	⁶ C	
¹¹ Na	²⁰ Ca	²¹ Sc	²² Ti	²³ V	²⁴ Cr	²⁵ Mn	²⁶ Fe	²⁷ Co	²⁸ Ni	²⁹ Cu	³⁰ Zn	¹³ Al	¹⁴ Si
¹⁹ K	³⁸ Rb	³⁹ Y	⁴⁰ Zr	⁴¹ Nb	⁴² Mo	⁴³ Tc	⁴⁴ Ru	⁴⁵ Rh	⁴⁶ Pb	⁴⁷ Ag	⁴⁸ Cd	⁴⁹ In	⁵⁰ Sn
⁵⁵ Cs	⁵⁶ Ba	⁵⁷ La	⁷² Hf	⁷³ Ta	⁷⁴ W	⁷⁵ Re	⁷⁶ Os	⁷⁷ Ir	⁷⁸ Pt	⁷⁹ Au	⁸⁰ Hg	⁸¹ Tl	⁸² Pb
⁸⁷ Fr	⁸⁸ Ba	⁸⁹ Ac										⁸³ Bi	⁸⁴ Po

⁵⁸ Ce	⁵⁹ Pr	⁶⁰ Nd	⁶¹ Pm	⁶² Sm	⁶³ Eu	⁶⁴ Gd	⁶⁵ Tb	⁶⁶ Dy	⁶⁷ Ho	⁶⁸ Er	⁶⁹ Tm	⁷⁰ Yb	⁷¹ Lu
⁹⁰ Th	⁹¹ Pa	⁹² U	⁹³ Np	⁹⁴ Pu	⁹⁵ Am	⁹⁶ Cm	⁹⁷ Bk	⁹⁸ Cf	⁹⁹ Es	¹⁰⁰ Fm	¹⁰¹ Md	¹⁰² No	¹⁰³ Lr





(شکل ۱-۲) : موقعیت عناصر کمیاب خاکی در جدول تناوبی

(جذو ۲-۲) : عدد اتمی، نام و نشانه عناصر کمیاب خاکی

	Atomic No.	Symbol	Name
III B —	57	La	Lanthanum
	58	Ce	Cerium
	59	Pr	Praseodymium
	60	Nd	Neodymium
	61	Pm	Promethium
	62	Sm	Samarium
	63	Eu	Europium
	64	Gd	Gadolinium
III R —	65	Tb	Terbium
	66	Dy	Dysprosium
	67	Ho	Holmium
	68	Er	Erbium
	69	Tm	Thulium
	70	Yb	Ytterbium
	71	Lu	Lutetium

با توجه به خصوصیات مشابه عناصر اسکاندیم با عدد اتمی ۲۱ و یتریم با عدد اتمی ۳۹ این عناصر و بوژه عنصر یتریم را در ردیف عناصر نادر خاکی طبقه‌بندی می‌کنند، لذا در این نوشتار وقتی صحبت از عناصر نادر خاکی است عنصر یتریم را نیز شامل می‌شود و فلز اسکاندیم نیز به صورت مجزا توضیح داده خواهد شد. عناصر نادر خاکی به دو گروه عناصر نادر خاکی سبک (LRE) و عناصر نادر خاکی سنگین (HRE) تقسیم می‌شوند. گروه اول که به نام گروه سریم یا ساماریم نیز معروف است شامل عناصر لantanیم تا یوروپیم و عناصر گروه دوم شامل



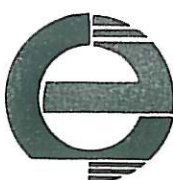
گادولينيم تا لوتيم می باشد. عنصر پرومیت طبیعی نبوده و به صورت مصنوعی تهیه شده است. علیرغم وزن اتمی پایین به دلیل رخمنوتها، شعاع یونی و خصوصیات مشخص عنصر یتریم همراه با زیرگروه سنگین در یک گروه قرار دارد.

اسکاندیم (Sc)

اسکاندیم دارای برخی خصوصیات مشابه عناصر نادر خاکی است و گاهی در بعضی از رده‌بندیها همراه با عناصر نادر خاکی طبقه‌بندی می‌شود. ما نیز به خاطر شباهت این فلز با عناصر نادر خاکی آن را در بخش مربوط به عناصر نادر خاکی توضیح داده‌ایم:

اسکاندیم با عدد اتمی ۲۱ همگروه با یتریم و عناصر نادر خاکی در جدول منطبق می‌باشد. اسکاندیم دارای خصوصیات شیمیائی مشابهی نیز با گر می‌باشد و برای اولین بار در سال ۱۸۷۱ توسط منطبق به نام اکابر توصیف شد. این عنصر در سال ۱۸۷۹ توسط نیلسون کشف و اکسید آن از اکینیت و گادولینیت به دست آمد. در سال ۱۹۳۷ اسکاندیم به صورت فلز به دست آمد. اسکاندیم یک عنصر لیتوфیل است که رفتار ژئوشیمیائی آن در میان عناصر شیشه به γ^{+3} (یتریم) می‌باشد. شعاع یونی آن به آهن فرو (Fe^{+2}) و منیزیم (Mg^{+2}) شباهت دارد و لذا انتظار می‌رود تمایل به پراکنده شدن در متن سنگها را داشته باشد. در کانیهای پیروکسن، آمفیبول و بیوتیت جانشین آهن و منیزیم می‌شود. در صورتی که عنصر یتریم وجود داشته باشد اسکاندیم اسیر این عنصر می‌شود. اسکاندیم در اولین‌ها جمع نمی‌شود زیرا متعادل کردن بار مثبت اضافی از طریق سایر جایگزینهای همزمان مناسب مشکل است. مقدار متوسط آن در پوسته $4 \times 10^{-4} \%$ و فاکتور تمرکز آن حدود ۱۵۰ است. بیشترین تمرکزهای اسکاندیم به فرآیندهای پسین دما بالای مگماهای گرانیتی مربوط می‌شود، خصوصاً هنگامی که این مگماهای گرانیتی در ارتباط با سنگهای بازیک باشند. مقدار اسکاندیم در سنگهای اولترا بازیک ppm ۱۶ و در دونیت ppm ۱۰ است. مقدار اسکاندیم در پیروکسن متوسط اسکاندیم در سنگهای اولترا بازیک ppm ۴۰ و در شیل ppm ۱۵، ماسه سنگ ppm ۱ و سنگهای کربناته ppm ۱ است. اسکاندیم سازنده دو کانی بسیار نادر $Thortveitite$ با فرمول $Sc_2(Si_2O_7)_2 H_2O$ و $Sterrettite$ با فرمول $Sc(PO_4)_2$ می‌باشد. دیگر کانی شناخته شده اسکاندیم دار $Bazzofite$ می‌باشد که قابل قیاس با بریل است. گادولینیت، اکینیت، ارتیت $Davidite$ ، $Khlopinitite$ به مقدار یک تا دو درصد حاوی اسکاندیم هستند. کانی گزنوتاپ، ولفرامیت، زیرکن، کاسیتیریت، برانزیت، بریل و فرومیکوتیت تا کمتر از $1/61$ درصد حاوی اسکاندیم هستند: اسکاندیم به مقدار کم از کانی $Thortveitite$ استخراج می‌شود. این کانی نادر در گرانیتهای پگماتیتی، که همراه سنگهای بازیک و حاوی عناصر نادر خاکی می‌باشند، تشکیل می‌شود.

اسکاندیم نمی‌تواند در باقیمانده استخراج حیوانات و همراه با فسفریتها متصرکز شود. بعلاوه تجمع این عنصر در خاکستر ذغال نیز قابل ذکر است: اسکاندیم می‌تواند به صورت کمپلکس حمل شود (توان مهاجرت آن حتی



بیشتر از عناصر نادر خاکی است) و در حضور یک هیدرولیزات قوی همراه با آلمینیم در بوکسیتها تمثیل پیدا کند. تا کنون استفاده و کاربردهای صنعتی این فلز کم بوده است، اگرچه برخی از خواص آن نشان می‌دهد که در آینده استفاده‌های زیادتری از این عنصر به عمل آید. چگالی اسکاندیم مشابه آلمینیم است. نقطه ذوب آن $2/5$ برابر آلمینیم می‌باشد و این خاصیت آن را به عنوان یک عنصر مهم در ساخت هوایپما و موشک سوق می‌دهد. از اکسید آن در ساخت حافظه‌های کامپیوتری استفاده می‌شود. از ایزوتوب رادیواکتیو آن (^{46}Sc) به عنوان ردیاب جریانهای سیالی استفاده می‌شود.

تولید جهانی اسکاندیم براساس استخراج آن از فرآوری ولفرامیت و کاسیتیریت به عنوان محصول فرعی است. همچنین این عنصر در طی فرآوری کانیهای تیتانومنیتیت، زیرکن، بوکسیت و ذغال به دست می‌آید. تولید اسکاندیم از ولفرامیت زمانی مقرر به صرفه خواهد بود که دلفرامیت دارای $0/04$ تا 5 درصد اسکاندیم باشد. همچنین مقدار اسکاندیم در کاسیتیریت بایستی بیشتر از $1/0$ درصد باشد تا برای استخراج صرفه اقتصادی داشته باشد.

آمار مربوط به تولید و استحصال اسکاندیم نشان می‌دهد که تولید آن در حد چند کیلو گرم در دنیا است.

قیمت هر کیلو گرم این فلز در سال ۱۹۷۶ نزدیک به 45 هزار دلار آمریکا بوده است.

۱-۲- ژئوشیمی

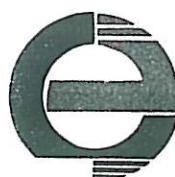
پراکندگی و مقدار عناصر نادر خاکی در منظومه شمسی در جدول (۳-۲) نشان داده شده است.

جدول (۳-۲) : فراوانی عناصر نادر خاکی به ترتیب عدد اتمی در منظومه شمسی که بر حسب $\text{Si} = 10^6$ اتم نرمالیزه شد.

Atomic No.	Element	Abundances	
		Solar system ^a	Solar system ^b
57	La	0.302	0.445
58	Ce	0.794	1.18
59	Pr	0.102	0.149
60	Nd	0.380	0.78
62	Sm	0.12	0.226
63	Eu	0.01	0.085
64	Gd	0.295	0.297
65	Tb	n.a	0.055
66	Dy	0.257	0.36
67	Ho	n.a	0.079
68	Er	0.13	0.225
69	Tm	0.041	0.034
70	Yb	0.2	0.216
71	Lu	0.13	0.036

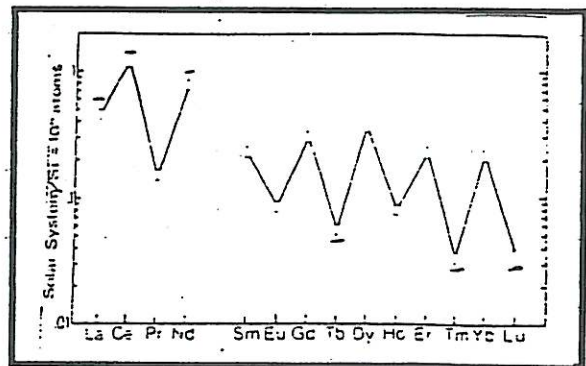
a: اطلاعات قابل دسترس نیود
b: براساس اطلاعات Aller (1976) و Ross (1976)
c: بر اساس اطلاعات کامرون، (۱۹۷۳).

در شکل ۲-۲ نیز فراوانی این عناصر به صورت نموداری نشان داده شده است. در این نمودار محور عمودی به صورت مقدار این عناصر در منظومه شمسی به نسبت $\text{Si} = 10^6$ اتم نشان داده شده است. محور افقی نیز نشان دهنده



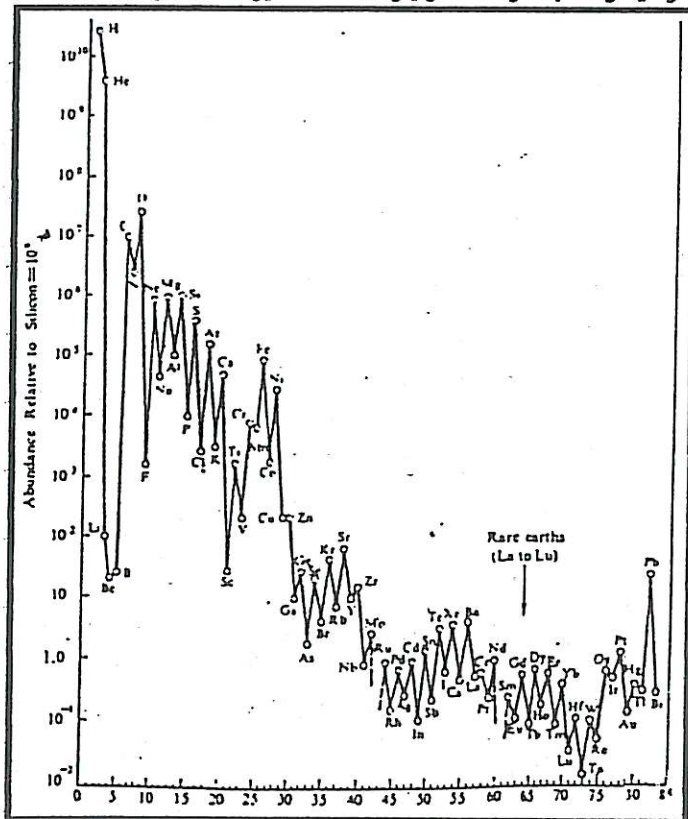
اکتشاف عناصر کمیاب و نادر خاکی، شهرستانهای سراب و کلیبر

عناصر نادر خاکی بر حسب افزایش عدد اتمی آنها است. کمترین مقدار مربوط به عنصرهای تولیم (TM)، لوتیم (Lu)، یوروپیم (Eu) و تریم و بیشترین مقدار مربوط به عناصر سریم و ثودیمیم می‌باشد.



(شکل ۲-۲) : فراوانی عناصر نادر خاکی در منظومه شمسی نسبت به $\text{Si}=10^6$ اتم که به ترتیب عدد اتمی ردیف شده‌اند، (کامرون، ۱۹۷۳).

در شکل ۲-۳ فراوانی عناصر کمیاب خاکی نسبت به سایر عناصر مقایسه شده است. روی هم رفته می‌بینم که این عناصر از خیلی از عناصر دیگر که به نظر ما معمولیتر هستند مقداری هستند و بیشتر است.



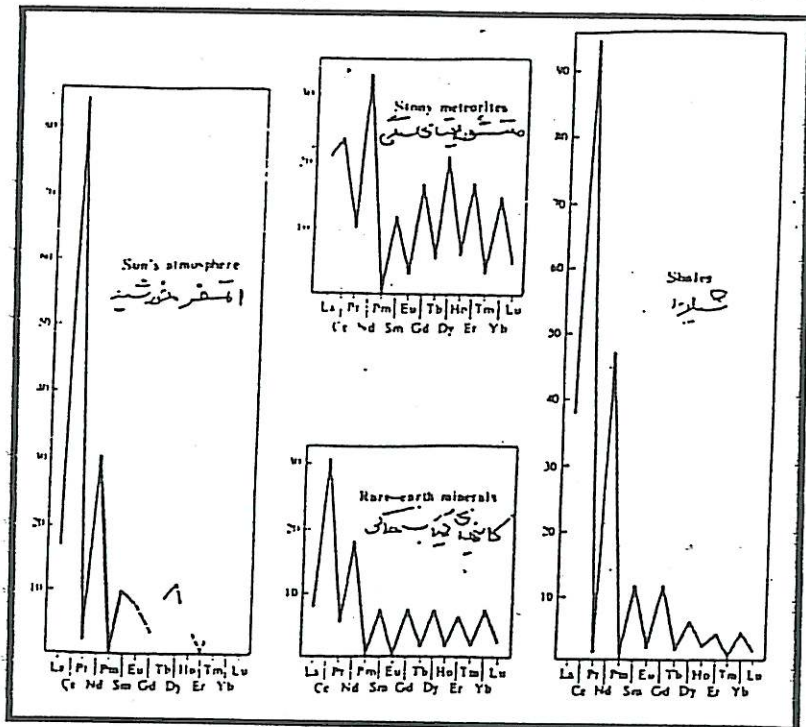
(شکل ۲-۳) : فراوانیهای کیهانی تخمین زده عناصر نسبت به $\text{Si}=10^6$ (کامرون، ۱۹۷۳).



کشف عناصر کمیاب و نادر خاکی، شهرستانهای سراب و گلپیر

شکل ۲-۴ فراوانی اتمی لانتانیدها در اتمسفر خورشیدی، متئوریتهای سنگی، کانیهای کمیاب خاکی و شیلها

را نشان دهد.



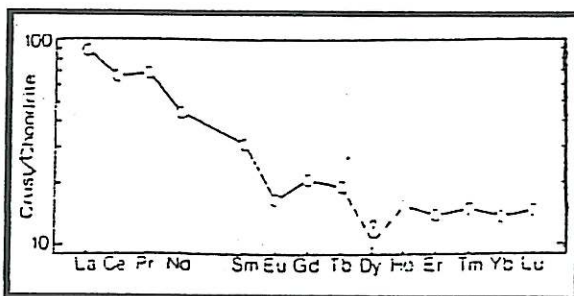
شکل ۲-۴ : فراوانی اتمی لانتانیدها در اتمسفر خورشیدی، متئوریتهای سنگی، کانیهای کمیاب خاکی و شیلها (کامرون، ۱۹۷۳).

در جدول ۲-۴ و در شکل ۲-۵ مقادیر این عناصر به ترتیب در کل حجم زمین و در پوسته زمین نشان داده شده است. بیشترین مقدار این عناصر در کل حجم زمین به ترتیب مربوط به عناصر سریم (Ce)، ثوردیمیم (Nd) و لانتانیم (La) می‌باشد و کمترین مقدار مربوط به عناصر تولیم (Tm)، لوتیم (Lu) و تریم (Er) است.

جدول ۲-۴ : فراوانی تقریبی عناصر قادر خاکی بر حسب ppm در حجم کل زمین و در پوسته زمین.

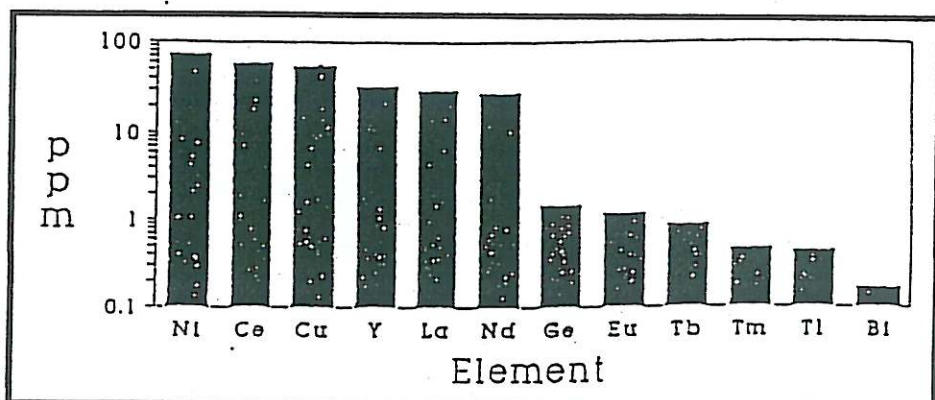
Element	Bulk Earth		Crust Taylor (1964)
	Ganapathy and Anders (1974)	Smith (1977)	
La	0.48	0.78	30
Ce	1.28	2.2	60
Pr	0.162		8.2
Nd	0.87	1.2	28
Sm	0.26	0.22	5
Eu	0.100	0.066	1.2
Gd	0.37	0.35	5.4
Tb	0.067		0.9
Dy	0.45	0.21	3
Ho	0.101		1.2
Er	0.29	0.093	2.8
Tm	0.044		0.48
Yb	0.29		3
Lu	0.049	0.015	0.5





شکل ۲-۵: فراوانی عناصر نادر خاکی نرمالیزه شده پوسته نسبت به گندربیت در مقابل عدد اتمی.

شکل ۲-۶، که محور عمودی آن بر حسب مقدار این عناصر نسبت به مقدار استاندارد (مقادیر این عناصر در شهابسنگهای گندربیتی) تنظیم شده است، نشان می‌دهد که در حالت کلی مقادیر این عناصر از اعداد اتمی کمتر به طرف اعداد اتمی بیشتر کاهش پیدا می‌کند و بویژه مقادیر عناصر نادر خاکی مسک (LRE) بیشتر از مقدار عناصر نادر خاکی سنگین (HRE) در پوسته زمین می‌باشد.



شکل ۲-۶: فراوانی عناصر نادر خاکی نرمالیزه شده پوسته نسبت به گندربیت در مقابل عدد اتمی این عناصر براساس اطلاعات Taylor (1964). احتمالاً مقدار عنصر دیسپروزیم صحیح نمی‌باشد.

این شکلها نشان می‌دهند که صفت نادر یا کمیاب صفت مناسبی نیست و نام خاک (خاکها) نیز در حدود توصیفات شیمیائی سده ۱۷۰۰ می‌باشد. به عنوان مثال عناصر نئودیمیم، لانتانیم و تولیم و ... فراوانتر از بیسموت و سریم فراوانتر از مس می‌باشد، (شکل ۲-۶).

۲-۱-۱- کمپلکس سازی عناصر نادر خاکی

این عناصر با $\text{F}^=$ ، $\text{CO}_3^{=}$ ، $\text{PO}_4^{=}$ ، $\text{SO}_4^{=}$ تشکیل کمپلکسی را می‌دهند که به‌آسانی در دماهای مختلف قابل حل است. کمپلکسهای HRE خیلی پایدارتر از کمپلکسهای LRE هستند و لذا عناصر گروه اول



به مسافت‌های بیشتری از منشاء خود حمل شده و بویژه در فرآیندهای متاسوماتیکی بسیار پراکنده می‌شوند. عناصر نادر خاکی سنگین در کانیهای اورانیم و عناصر نادر خاکی سبک در کانیهای توریم‌دار داخل می‌شوند. شاعع یونی این عناصر از طرف لانتانیم به طرف لوتیم کاهش پیدا می‌کند، لذا از نظر ژئوشیمیائی عناصر نادر خاکی سنگین در ارتباط با عناصر اسکاندیم، آلومینیم، منگنز و زیرکنیم و عناصر نادر خاکی سبک در ارتباط با عناصر استرانسیم، باریم و توریم هستند.

تیلور و قریر الگوی توزیع Ln را در اثنای آلتراسیون پتاصلیک و پروپلیتیزاسیون یک توده گرانودیوریت پورفیری مورد بررسی قرار می‌دهند. در اثنای آلتراسیون پتاصلیک در دمای بالا تمرکز Ln ‌های سبک تا متوسط افزایش می‌پاید و Ln ‌های سنگین به دلیل کمپلکس‌سازی پایدارتر حرکت کرده و در نهایت با کاهش دما، pH و نسبت سنگ و سیال تقریباً همه Ln ‌ها در اثنای پروپلیتیزاسیون جدا می‌شوند.

۲-۲- کانی‌شناسی عناصر نادر خاکی

براساس اصول اول و دوم گلداشتمیت مهمترین نکته در چگونگی پخش عناصر در کانیهای مختلف در ارتباط با شاعع یونی و مقدار بار الکتریکی این عناصر می‌باشد. گلداشتمیت سه دسته متفاوت از کانیهای لانتانیدها را تشخیص داده است:

۱- کانیهایی چون باستناسیت، مونازیت، گزنبرتیم، گادولینیت و سامارسکیت که یونهای لانتانیدها سه ظرفیتی (Ln^{3+}) تشکیل می‌دهند. این کانیها از نظر تجاری اهمیت زیادی دارند و بواسطه تبلور از مایعات مانگماتی از نوع پگماتیتی بوسعت تشکیل می‌شوند.

۲- کانیهایی که در آنها یونهای Ln^{3+} به طور گسترده جانشین یونهای دو ظرفیتی شده‌اند که دارای شاععهای بلورهای قابل مقایسه هستند، مثل ($\text{Ca}^{2+}, \text{Sr}^{2+}, \text{Pb}^{2+}$). در این رابطه از کانیهای کلسیت، فلوریت، آپاتیت و شلیت می‌توان نام برد. گرچه هیچکدام از این کانیها در حال حاضر به عنوان منبع لانتانیدها ارزش اقتصادی ندارند، تبدیل گسترده بعضی از اینها به مواد حاصلخیز کننده و سایر تولیدات، پتانسیل مطلوبی را برای به دست آوردن لانتانیدها از آنها به وجود آورده است.

۳- کانیهایی که در آنها یونهای Ln^{3+} مثل (Eu^{3+}) به جای کاتیونهای یک ظرفیتی یا دو ظرفیتی با اندازه قابل مقایسه مثل ($\text{K}^+, \text{Sr}^{2+}, \text{Pb}^{2+}$) جانشین شده‌اند. پس استرونسیانیت، تیتانیت، فلدسپات پتاصلیم و آپاتیتهای سرب‌دار می‌توانند از Eu غنی شوند. در بهترین حالات نیز تمرکز اینها اندک می‌باشد. از میان کانیهای عناصر کمیاب خاکی به ترتیب کانیهای زیر را ذکر می‌نماییم:



۱- مونازیت^۱ [(Ce,La,Y,Th)PO₄] : اساساً یک ارتوفسفات سریم و لانتانیم است که حاوی مقادیر کمتری از دیگر خاکهای سریم و مقادیر نسبتاً کمی از خاکهای گروه یتریم است. توریم در مقادیر نسبتاً کوچک ThO₂ ممکن است ۲۰ تا ۳۰ درصد باشد. ثابت شده است که یونهای Th⁴⁺ معمولاً وجود دارد اما مقدار ThO₂ ممکن است ۲۰ تا ۳۰ درصد باشد. ثابت شده است که یونهای Ce³⁺ یا La³⁺ در شبکه بلوری قرار می‌گیرد و به صورت فاز جداگانه ThSiO₄ دیده نشده است. مدارکی وجود دارد که سیلیس موجود به عنوان جانشین فسفر در گروه ارتوفسفات قرار دارد. اندکی از عناصر Mg، Ca، U، Sn، Be، Mn، Zr، Al، Fe تشکیل شده‌اند بی‌رنگ تا قهوه‌ای مایل به زرد هستند و ممکن است نسبتاً بزرگ باشند. چگالی و غلظت مونازیت باعث می‌شود که کانی توسط هوازدگی پگماتیتها آزاد شده و در ماسه‌های آلومینیومی تمرکز یابد. کانیهای سنگین دیگر چون زیرکن و ایلمینیت اغلب در این ماسه‌ها یافت می‌شوند. این کانیها همراه مونازیت معمولاً جنبه و کشش زیادی برای استخراج دارند و به همین دلیل هم مونازیت تقریباً به عنوان یک محصول فرعی استخراج می‌شود. از نظر تئوری می‌تواند حاوی ۷۰ درصد اکسیدهای کمیاب خاکی باشد. اما بیشترین کنسانترهای این حاوی ۵۰ تا ۶۰ درصد اکسید کمیاب خاکی (REO) هستند.

در سده ۱۹ مونازیت بیشتر به صورت شن و ماسه در کیسه بهارویا حمل می‌گردیده و در ابتدا بیشتر به عنوان منبع توریم و سریم برای کارهای به خصوص در نظر بود. مونازیت در واقع کانی منبع توریم است. ارزش اقتصادی اش بین لانتانید بودن یا منبع توریم بودن متغیر است. ذخایر قابل استخراج محدود به هند، برزیل، استرالیا، آفریقای جنوبی و به مقدار کم آمریکا هستند.

۲- باستناسیت^۲ [(Ce,La)(CO₃)F] : یک فلوروروكربنات است که به طور گسترده در طبیعت پخش شده است. این کانی در اصل در باستناس سوئد همراه با سریت تشخیص داده شده است. کریستالهای هگزاگونال این کانی اساساً مخلوطی از فلوروروكربناتهای سریم-لانتانیم هستند. حاوی مقادیر کمتری از دیگر عناصر خاکهای سریم و مقادیر اندکی توریم است (توریم ممکن است وجود نداشته باشد). باستناسیت اغلب به عنوان محصول تیسمونیت (CeF₃) دیده می‌شود. این کانی پس از کشف یک ذخیره قابل توجه در مونتن پس^۳ کالیفرنیا در تزدیکی یک معدن طلای متروک اهمیت خود را به دست آورد و به اندازه کافی بزرگ است تا همه نیازهای در حال افزایش لانتانیدها را حداقل در آمریکا تأمین نماید. از نظر تئوری حاوی حدود ۷۰ درصد REO است و مقدار خیلی کمی (حدود ۵ درصد) یتریم دارد. البته کنسانترهای به دست آمده باستناسیت (روش فلوتاسیون) به طور متوسط حدود ۶۰ درصد REO

¹ Monazite² Bastnaesite³ Mountain Pass

دارند. با روش شستشوی اسیدی کنسانتره حاوی ۷۰ درصد و با روش شستشوی اسیدی و تکلیس حدود ۸۵ درصد REO خواهیم داشت. این کانی در نوعی از سنگهای غنی کربناته همراه با نفوذیهای آذرین آلکالین یافت شده است. اگرچه ذخایر در چند کشور تشخیص داده شده است اما ذخایر تجاری به طور عمده در دو معدن هستند که هر دو معدن هم جزء معادن رویاز می‌باشند. یکی در مونتن پس کالیفرنیا و دیگری در پائوتق در مغولستان داخلی. در اینجا چنینها این کانی را به عنوان یکی از محصولات فرعی سنگ آهن بازیابی کرده‌اند.

۳- گزنوتیم^۱ [YPO₄] : مثل مونازیت یک فسفات است اما ساختمان متفاوتی دارد و آن اینکه حاوی لانتانیدهای سنگیتر بعلاوه یتریم است. کربستالهای تراگونال این کانی در پگماتیتها نسبتاً معمول هستند اما نه به فراوانی مونازیت. در ذخایر پلاسربی یافت می‌گردد و به عنوان محصول فرعی از دیگر کانیها ارزیابی می‌شود و بویژه از بقاوی معادن قلع به دست می‌آید. این کانی حاوی ۶۷ درصد Y₂O₃ است. به مرحله کنسانترهای گزنوتیم به طور میانگین حاوی ۲۵ درصد Y₂O₃ می‌باشد و ممکن است بتراپ پیش از فروش این کنسانترهای را غنی کرد. مالزی، چین، تایلند و استرالیا منابع این کانی هستند. شوروی سابق هم تا حدی تولید می‌کرده است.

۴- سریت (Cerite) : M=(Ca,Fe).Ce₃MH₃Si₃O₁₃ : فقط اهمیت تاریخی دارد و ترکیب به صورت گسترده متغیر و رخمنونهایش محدود است.

۵- اگزنتیت (Euxenite) [Y,Nb,Ta]TiO₆.xH₂O : به وسعت پراکنده است و کانیی است که می‌تواند به عنوان منبع خاکهای یتریم باشد. این کانی به مخاطر مقادیری نیوبیم و تاناتالیم مورد توجه است. هنگامی که نسبت TiO₂ : (Nb,Ta)₂O₅ ۱:۴ یا بیشتر باشد نام کانی اگزنتیت است و اگر این نسبت ۳:۱ یا کمتر باشد نام کانی پلی کراز است.

۶- گادولینیت (Gadolinite) : M=Fe,Be . Y₂M₃Si₂O₁₀ : اغلب به عنوان بلورهای ماسیو اپاک (سیاه متمایل به سبز) و پگماتیتها دیده می‌شود.

۷- آشنیت (Aeschenite) یک تاناتالیت-تیتانیت سریم است که در نروژ و اورال یافت شده است.

۸- آلانیت (Allanite) سیلیکات آلومینیم، آهن، کلسیم و سریم می‌باشد که در اسکاندیناوی و روسیه دیده شده است.

۹- فرگوسنیت (Fergusonite) یک تاناتالیت، نیوبیت یتریم حاوی Th و U است که در نروژ و تکزاس

^۱-Xenotime.



یافت شده است.

۱۰- سامارسکیت (Samarskite) یک تانتالیت، نیویت، اورانیل، کلسیم، آهن و یتریم است که در کارولینای شمالی- اورال یافت شده است.

۱۱- کانیهای تیرو که شامل تیروسیریت، تیروتانتالیت و تیروتیتانیت می‌باشد که در اسکاندیناوی و آمریکا دیده شده‌اند.

۱۲- تالنیت ($Y_3Si_3O_{10}(OH)$) (Thalenite)

۱۳- اودیالیت ($Na_4(Ce,Ca)_2(Fe,Mn,Y)ZrSi_8O_{22}(OH,Cl)_2$) (Eudialyte)

۱۴- تنجریت ($CaY_3(CO_3)_4(OH)_3 \cdot 3H_2O$) (Tengerite)

۱۵- پاریزیت ($Ca(Ce,La)_2(CO_3)_3F_2$) (Parisite)

۱۶- سینچیسیت ($Ca(Ce,La)(CO_3)_2F$) (Synchysite)

۱۷- یتریمیت ($(Y,Ce)(CO_3)F$) (Yttriumite)

از بین تمام کانیها دو کانی مونازیت (قبلاً) و باستناسیت (فعلاً) مهمترین منابع عناصر نادر خاکی هستند. مونازیت از کانیهای فسفاتهای است که به دلیل مقاومت زیاد در برابر عوامل هوایی و وزن مخصوص بالا می‌تواند به صورت پلاسربی دیده شود. این کانی می‌تواند ۵۵ تا ۶۰ درصد عناصر نادر خاکی همراه با یتریم و توریم داشته باشد. باستناسیت از کانیهای کربناته با رنگ زرد روشن تا قهوه‌ای است. سیستم بلور آن هگزاگونال، سختی آن ۴/۵ و چگالی آن ۵ است. مهمترین جایگاه پیدایش این کانی کمپلکس کربناتی است. مقدار عناصر نادر خاکی در کانی باستناسیت بیشتر از مونازیت است ولی باستناسیت مقدار یتریم و توریم کمتری نسبت به مونازیت دارد (جدولهای ۲-۵ و ۲-۶).

تا سال ۱۹۶۵ پلاسراها با کانی مونازیت مهمترین تولید کننده عناصر نادر خاکی بودند ولی با اکتشاف کانسارهای کربناتی، مثل کانسار موتنپس کالیفرنیا، باستناسیت این کانسارها جای پلاسراها را گرفتند و به نظر می‌رسد در آینده کربناتیتها بهترین منابع اکتشافی عناصر نادر خاکی خواهند بود.



جدول ۲-۵: مهمترین کانیهای اقتصادی عناصر خاکی نادر (بر حسب درصد و گرم در تن یا ppm)

عنصر (اکسید)	موثائق RE(Th, Y)PO ₄	باستانت RE(CO ₃)F	ربوونیم (Y, RE)PO ₄	آبانت (Ca/RE) ₆ [(P, Si)O ₄) ₆ (O, F)]
La ₂ O ₃	23.7	33.2	0.5	25.1
CeO ₂	45.6	49.1	5	45.4
Pr ₂ O ₃	5	4.3	0.7	3.9
Nd ₂ O ₃	17.2	12	2.2	14
Sm ₂ O ₃	3.5	0.78	1.9	1.6
Eu ₂ O ₃	0.05	0.11	0.2	0.5
کل	95.05	99.49	10.5	90.1
Gd ₂ O ₃	1.5	0.17	4	1.5
Tb ₂ O ₃	0.04	0.016	1	1
Dy ₂ O ₃	0.68	0.031	8.7	1
Ho ₂ O ₃	0.05	50 ppm	2.1	0.1
Er ₂ O ₃	0.21	35 ppm	5.4	0.15
Th ₂ O ₃	0.02	8 ppm	0.9	0.02
Yb ₂ O ₃	0.12	13 ppm	6.2	0.08
Lu ₂ O ₃	0.04	1 ppm	0.4	—
Y ₂ O ₃	2.4	0.09	60.8	4.3
کل	4.06	0.318	89.5	7.25

جدول ۲-۶: مهمترین کانیهای اقتصادی، ترکیب و منابع عمده آنها

Mineral	Composition		Main Resources
	Ideal	Analysis	
Bastnaesite	(Ce)CO ₃ F	65-70% Ce earths < 1% Y earths Ca, Ba, SO ₄ , SiO ₂	California, Colorado, New Mexico, Sweden, USSR, Madagascar
Monazite	(Ce)PO ₄	49-74% Ce earths 1-4% Y earths 5-12% ThO ₂ 1-2% SiO ₂ tr. U	Travancore, India, Union of South Africa, Brazil, Australia, USSR, Sweden, Idaho, North & South Carolina, Florida
Cerite	(Ce) ₃ M ^{II} H ₃ Si ₃ O ₁₃ (M ^{II} =Ca, Fe)	51-72% Ce earths tr. 7.6% Y earths tr. Th, U, Zr	Sweden, Caucasus
Euxenite	(Y)(Nb,Ta)TiO ₆ , x H ₂ O	13-35% Y earths 2-8% Ce earths 20-23% TiO ₂ 25-35% (Nb,Ta) ₂ O ₅	Australia, Idaho, Canada, Scandinavia, Madagascar
Xenotime	(Y)PO ₄	54-65% Y earths ca. 0.1% Ce earths up to 3% ThO ₂ up to 3.5% U ₃ O ₈ 2-3% ZrO ₂ up to 4% SiO ₂	Norway, Sweden, Madagascar, Brazil, North Carolina, Colorado
Gadolinite	(Y) ₂ M ₃ ^{II} Si ₂ O ₁₀ (M ^{II} =Fe, Be)	35-48% Y earths 2-17% Ce earths up to 11.6% BeO tr. Th	Sweden, Norway, Texas, Colorado

و Y به ترتیب نماینده مخلوط عناصر گروه سریم و گروه یتریم هستند.
 هنگامی که $TiO_2 : (Nb, Ta)_2O_5 = 1:4$ و بیشتر باشد کانی اگزینت و اگر این نسبت $3:1$ یا کمتر باشد پای کراز است.



جدول ۲- مشخصه های عناصر کمیاب خاکی

ردیف	نام	فلز	سیستم تبلور	کدواز	جلا	سترن	وزن	ترکیب	ریخت	مشخص	شناختی مبتعد	گشتوهای بولید	
۱	مولاریت	$(CaLa,YTh)PO_4$	منوکلینیک $2/m$	در جهت ضمیف	۰۰۱	در جهت	۵۰-۰	لتر	زرد تا قهوه‌ای	صفنی	لسفنات لظر	بریل، هند، ارمنی، جنوبی، استرالیا، امریکا	
۲	توریت	$ThSiO_4$	ترانزیوال	در واپت	۰۰۱	در جهت	۹۷-۱/۴	زرد مابل	به قهوه‌ای زرد	صفنی	کربید خاکی	بریلها و پالسراها، امریکا، نروژ، کانادا، اسکاتلند، ایتالیا	
۳	آلپیت	$(CaFe)_2(YAl,Fe)_3Si_5O_{12}OH$	منوکلینیک	ذاره	صفنی پافری	۵-۰	۶۰-۰-۷۹	قهوه‌ای تا سباهه	صفنی پافری	سبکات ابدار	اهن-المیثیم و عناصر کمپیان	گریتیتها، پکماتیتها، کریستالی، گنیسها، رسوایت مغنت	آمریکا، روسیه، کانادا، چین، نروژ
۴	باسنایت	$(CeLa)CO_3F$	هیزاکونال	در جهت	۰۰۱	در جهت	۴۰-۰	زرد و لاسی تا بزرد	صفنی پافری	فلوروکربنات- عنصر کربنات	فلوروکربنات- عنصر کربنات	تفوڑیها، پکماتیتها، کارنیتاها	آمریکا، سوئیس
۵	پلستاسیت	$Ca(CeLa)_2(CO_3)_3F_2$	هیزاکونال	در جهت	۰۰۱	در جهت	۴۱-۰	زرد مابل	صفنی پافری	فلوروکربنات- عنصر کربنات	پکماتیتها	فرانستان	
۶	پلستاسیت	$Ca(CeLa)_2(CO_3)_3F_2$	هیزاکونال	در جهت	۰۰۱	در جهت	۴۱-۰	زرد مابل	صفنی پافری	فلوروکربنات- عنصر کربنات	کلمبیا، ماداگاسکار، امریکا، چین	کلمبیا، ماداگاسکار، امریکا، چین	



۳-۲- سنگ‌شناسی عناصر نادر خاکی

سنگ‌های آذرین تخصیص جایگاه عناصر نادر خاکی اند ولی مقدار آنها در سنگ‌های اسیدی به مراتب بیشتر از سنگ‌های بازیک است، (جدول ۸-۲). عناصر نادر خاکی به‌خاطر شعاع یونی بزرگ و بار الکتریکی کم تمايل دارند که در سنگ‌های اسیدی متوجه شوند.

جدول ۸-۲: مقدار عناصر نادر خاکی در سنگ‌های آذرین اسیدی و حد واسط

نوع سنگ	REE (ppm)	LREE / HREE
اندزیت اقیانوسی	۲۵-۱۷۸	۱-۸/۸
اندزیت قاره‌ای	۶۷-۳۴۱	۱/۵-۲۱/۵
اندزیت و شارنوکیت	۳۴/۵-۳۱۲	۳/۴-۱۲/۹
کوارتزدیوریت، تونالیت و گرانوئدیوریت	۱۰/۵-۴۴۹	۰/۳۳-۴۱۳
سوئز و گرانیت و سینو گرانیت	۸-۱۹۹۷	۰/۵۴-۱۳۷

با استفاده از این عناصر و تعیین مقدار آنها و یا نسبت LREE/HREE در سنگ‌ها می‌توان به مسائل پترولوزیکی سنگ‌ها و نحوه تشکیل و عمق مagmaهای بوجود آورنده سنگ‌ها پیرد.

جدول (۹-۲) میزان عناصر نادر خاکی را در چند نوع سنگ آذرین پوسته قاره‌ای و شهابسنگها نشان می‌دهد. همانطور که ملاحظه می‌شود میزان عناصر کمیاب (نادر خاکی) پوسته‌های قاره‌ای بیشتر از شهابسنگها است. سریم با ۳۳ گرم در تن بیشترین میزان را در مجموع عناصر نادر خاکی در پوسته قاره‌ای دارد، (جدول ۱۰-۲). کربناتیتها و سنگ‌های آذرین آلکالین و فوق آلکالین حاوی بیشترین میزان عناصر نادر خاکی است.



جدول ۹-۲: میزان عناصر کمیاب در چند نوع سنگ آذرین (ppm)

نام	عنصر	شتابسیگها	قاره‌ای	پوسته	کیمیکلت	لامپروتیت	لامپروقر	فوتولیت	کربناتیت	تفصیلت
تتریم	Y	۱/۷	۲۰	۲۲	۱۵۰	۲۴۰	۱۰۵	۱۰۷	۱۰۹۰-۱۸۰	--
لاناتیم	La	۰/۳۴	۱۶	۱۵۰	۲۴۰	۱۰۵	۱۰۷	۱۰۷	۱۰۹۰-۱۸۰	۸۹
سربیم	Ce	۰/۹۱	۲۳	۲۰۰	۴۰۰	۱۹۵	۱۶۷	۲۳۲۰-۳۰۰	۱۷۱	
بروروزودسیم	Pr	۰/۱۲۱	۳/۹	—	—	—	—	—	—	۱۸
نیونیم	Nd	۰/۸۴	۱۶	۸۵	۲۰۷	۱۰۰	—	—	—	۶۹
ساماریم	Sm	۰/۱۹۵	۳/۵	۱۳	۲۴	۲۲	—	—	—	۱۴/۵
یوروبیم	Eu	۰/۰۷۳	۱/۱	۳	۴/۸	۴/۹	—	—	—	۴
گادولینیم	Gd	۰/۲۶	۳/۳	۸	۱۳	۱۴/۳	—	—	—	۱۲/۱
تریم	Tb	۰/۰۴۷	۰/۸۰	۱	۱/۴	۱/۸	—	—	—	۱/۷
ذینپرورزیم	Dy	۰/۳	۳/۷	—	۶/۳	۵/۷	—	—	—	۷/۳
هولیم	Ho	۰/۰۷۸	۰/۷۸	—	—	—	—	—	—	۱/۷
ازیم	Er	۰/۲	۲/۲	—	—	—	—	—	—	۲/۳
تلیم	Tm	۰/۰۳۲	۰/۳۲	—	—	—	—	—	—	۰/۸۸
انتریم	Yb	۰/۲۲	۲/۲	۱/۲	۱/۷	۱/۹	—	—	—	۲/۳
لوتیم	Lu	۰/۰۳۴	۰/۳۰	۰/۱۶	۰/۲۲	۰/۳۷	—	—	—	۰/۳۹

۴-۲- انواع کانسارهای عناصر نادر خاکی

کانسارهای مهم عناصر نادر خاکی، که پراکندگی آنها در سطح دنیا در شکل (۷-۲) نشان داده شده است،

عبارتند از:

- ۱- سنگهای آلکالین و فوق آلکالین.
- ۲- کربناتیتها.
- ۳- پلاسراها.
- ۴- کانسارهای رگه‌ای.
- ۵- کانسارهای آپاتیت.
- ۶- کانسارهای پگماتیتی.
- ۷- کانسار فلورین- باستناسیت همراه سازندهای آهن.
- ۸- سایر کانسارهای عناصر نادر خاکی.



۱-۴-۲- سنگهای آلکالین و فوق آلکالین

نفلین سینیت، سینیتها، نفلینیتها، لوسنیتها، کمبریلتها و فنولیتها مهمترین منابع اقتصادی عناصر نادر خاکی می‌باشند. مهمترین کانیهای اقتصادی در این سنگها گروه آپاتیتهای رادیواکتیو و پیروکلر با فرمول $(Na,Ca,Ce)_2Nb_2O_6F$ می‌باشند.

عناصر نادر خاکی ایالت شمال غربی کانادا: کمپلکس فوق آلکالین در اوایل پرتوزوژوئیک در منطقه‌ای به شعاع ۲۳ کیلومتر نفوذ کرده است. مجموعه سنگهای این کمپلکس از حاشیه به طرف مرکز شامل گابرو، کوارتز‌سینیت، آلکالی گرانیت، هورنبند بیوتیت گرانیت و گرانیت است. گرانیت و سینیت از نوع فوق آلکالین هستند. عناصر نادر خاکی عمدتاً در حاشیه سینیت متراکم شده است. میزان فراوانی عناصر نادر خاکی در این کمپلکس شامل $BeO = 1/11$ درصد، $Y_2O_3 = 0/17$ درصد، $RE_2O_3 = 0/28$ درصد، $Nb_2O_5 = 0/08$ درصد و ذخیره $Nb_2O_5 = 0/01$ میلیون تن است. در زون شمالی شامل $BeO = 0/762$ درصد، $Y_2O_3 = 0/1$ درصد، $RE_2O_3 = 0/08$ درصد، $Nb_2O_5 = 0/046$ درصد و ذخیره $1/25$ میلیون تن است، (جونز و دیگران، ۱۹۹۶).

۱-۴-۳- کربناتیتها

گروه خاصی از سنگهای قلیائی- فوق بازی و آذرین هستند که شدیداً غنی از عناصر نادر خاکی می‌باشند. این گروه از سنگها دارای اقتصادی‌ترین کانی عناصر نادر خاکی باستناسیت می‌باشد. همچنین کانیهای دیگری مانند پیروکلر مونازیت و باریت در این نوع کانسارها دیده می‌شوند. عیار باستناسیت در این گروه از کانسارها بهبیشتر از ۱۲ درصد می‌رسد که به خوبی اقتصادی می‌باشد. فراوانترین عنصر نادر خاکی در این نوع کانسارها اکسید سریم می‌باشد ($Ce_2O_3 = 31.1\%$). دو کمپلکس مهم کربناتیت که حاوی عناصر نادر خاکی هستند عبارتند از:

- کربناتیت موتنپس در کالیفرنیا و
- منطقه منگولی در چین

کربناتیت کانگان کوند واقع در مالاوی بزرگترین کربناتیت محدوده آلکالین چیلو است. کانی‌سازی عناصر کمیاب در مرحله نهائی کربناتیت تشکیل شده است. کربناتیت مرحله پایانی غالباً غنی از آهن است (آنکریت و دولومیت غنی از آهن). کربناتیتهای باستناسیت دار در آفریقا در کشورهای برونڈی (جنوب شرق بوجومبارا)، کنیا (جنوب غرب سومبسا) تانزانیا و زامبیا می‌باشد. در آمریکای لاتین کانسازهای کربناتیتی حاوی عناصر نادر خاکی در کشور بربزیل (بزرگترین کانسار نیویم) گزارش شده است. عناصر نادر خاکی دز این کشور در کانیهای باستناسیت، آلانیت، مونازیت و آپاتیت دیده می‌شود.

۱-۴-۴- پلاسرها

کانسارهای پلاسری از نوع آبرفتی، دریاچه‌ای و دلتایی مهمترین منبع اقتصادی مونازیت می‌باشند. این کانی



به علت وزن مخصوص بالا (5) بیشتر در مواد تخریبی متصرف می‌شود. عیار معدنی کانسارهای پلاسربی باید بیشتر از ۰/۳۴ درصد بر حسب مونازیت باشد. مقدار کمی عناصر نادر خاکی را می‌توان از کانیهای سنگین دیگر مانند زیرکن و پیروکلر استخراج نمود. غیر از یک مورد (کانسار Blind River در ایالت انماریو، کانادا) از پلاسربها که در رسوبات متراکم و سنگ شده پر کامبرین می‌باشد، بقیه انواع این کانسارها در رسوبات جوان و ناپیوسته هولوسن می‌باشد. استرالیا مهمترین تولید کننده این عناصر از کانسارهای پلاسربی است و هند و برزیل در ردیفهای بعدی قرار دارند. این پلاسربها برای استخراج ایلمنیت، روتنیل، لوکوکسن و زیرکن مورد استفاده قرار گرفته و مونازیت محصول فرعی این کانسارها است. کانسارهای پلاسربی عناصر نادر خاکی آمریکا در ایالت کارولینای شمالی، فلوریدا و جورجیاست که مونازیت به عنوان کانی فرعی از کانیهای ایلمنیت، لوکوکسن و زیرکن استخراج می‌شود. در کشورهای آسیای جنوب شرقی و از جمله در مالزی، تایلند، اندونزی، کره جنوبی و تایوان کانی مونازیت از پلاسربهای قلع دار استخراج می‌شود. کانیهای همراه مونازیت کانی کاسیتیریت و ایلمنیت می‌باشد. در سریلاتکا و چین نیز پلاسربهای مونازیت دار استخراج می‌گردد. در آفریقا در شمال نیجریه، شرق زئیر، جنوب شرق ماداگاسکار و سواحل غربی و شرقی افریقای جنوبی پلاسربهای مونازیت وجود دارد و مورد بهره‌برداری قرار می‌گیرد. بزرگترین ذخیره توریم در منطقه‌های کبک و انماریو در کانادا به صورت پلاس مونازیت و برانزیت تشکیل شده است.

۴-۴-۲- کانسارهای رگه‌ای

این گروه از کانسارهای گرمابی رگه‌ای به علت دارا بودن مونازیت، باستنایت و آپاتیتها دیگر دارای ارزش اقتصادی می‌باشد. درصد مونازیت و باستنایت در این گروه از کانسارها بیشتر از ۲ درصد می‌رسد. عیار کل عناصر نادر خاکی در این گروه از کانسارها بیشتر از ۰/۹۱ درصد می‌رسد. به عنوان مثال می‌توان از معدن Sreenkam Pskra در آفریقای جنوبی نام برد. این کانسار در یک منطقه زون برشی قرار گرفته و ۳۰۰ متر طول و ۴ متر پهنا دارد. سنگ درونگیر کانسار گرانیت-گنس است. کانسارها به وسیله فراوانی کانیهای دارای عناصر LREE شناخته می‌شوند. مونازیت به صورت محصول فرعی در کنار کانی گالن از معدن Korsnas در فلاتند نیز استخراج می‌شود.

۴-۵- کانسارهای آپاتیت

آپاتیت از جمله کانیهای فسفاتهای است که می‌تواند از عناصر نادر خاکی غنی شود. مقدار اکسید عناصر نادر خاکی (REO) در آپاتیتها با منشاء دریائی حدود ۱۱۰ تا ۱۵۰ ppm است. این آپاتیتها می‌توانند حداقل دارای ۱۵۰۰ ppm از عناصر یتریم و سریم باشند. آپاتیتها موجود در سنگهای آلکالین کانسار Khibini روسیه دارای ۴/۹ درصد REO می‌باشند. آپاتیتها موجود در کانسارهای سینیت-آپاتیت، مثل کانسار کایرونای سوئد، منبع دیگری برای عناصر نادر خاکی هستند.



۶-۴-۲- کانسارهای پگماتیتی

این نوع کانسارها به علت دارا بودن کانیهای مانند ایتروتانتاسیت، گادولینیت ($\text{Y}_2\text{Fe}^{+2}\text{Be}_2\text{Si}_2\text{O}_{10}$) و باستناسیت دارای ارزش اقتصادی مهمی می‌باشند. همچنین کانیهای مانند زیرکن، آلانیت و اراتیت نیز می‌توانند دارای مقادیر قابل ملاحظه‌ای عناصر نادر خاکی باشند. عیار کانیهای اقتصادی معمولاً بیشتر از ۰/۲۴ درصد می‌باشد و بیشتر غنی از سریم (Ce) هستند.

عناصر کمیاب منطقه اسلو (نروژ) : در منطقه اسلو در پرمن ریفت قاره‌ای به طول ۲۰۰ کیلومتر شکل گرفته و سنگهای لارویکیت در این منطقه نفوذ کرده‌اند. دایکهای پگماتیتی با ترکیب نفلین‌سینیت در لارویکیتها نفوذ نموده و در نتیجه کانیهای حاوی عناصر کمیاب در پگماتیتها تشکیل شده‌اند.

۷-۴-۲- کانسارهای فلوئورین- باستناسیت همراه سازندهای آهن

این کانسارها همراه با کانسارهای رسوبی و آذرین آهن دار مثل کانسارهای آهن لایه‌ای دیده می‌شود. از شناخته شده‌ترین این نوع کانسار، که در سالهای اخیر اکتشاف شده است، کانسار Bayanobo است. این کانسار در کشور چین و در منطقه مغولستان داخلی (شمال غرب پکن) قرار دارد و به صورت کانسار عدسی شکلی است که بیشتر از یک کیلومتر طول دارد. کانسار دارای کانی‌سازی سینیت و هماتیت است و در کنار آنها فلوئورین همراه با باستناسیت و مونازیت و باریت دیده می‌شود. در مورد نوع کانی‌سازی این کانسار اتفاق آراء وجود ندارد. برخی آن را با منشاء هیدروترمالی و برخی هیدروترمالی متامورفیک می‌دانند. برخی نیز اعتقاد دارند که این کانی‌سازی آهن به صورت متامورفیک به وجود آمده و غنی شدن عناصر نادر خاکی در اثر پدیده هیدروترمالی بوده است.

۸-۴-۲- سایر کانسارهای عناصر نادر خاکی

عناصر نادر خاکی ممکن است از داخل کانی آلانیت، که در اسکارنها دیده می‌شود، استخراج گردد. در کشور سوئد این اسکارنها در کنتاکت گرانیتهای آلکالین یا پگماتیتها با آهکها تشکیل می‌شوند و به وسیله آندرادیت، سینیت اسفن‌دار، ترمولیت و اکتینولیت مشخص می‌شوند.

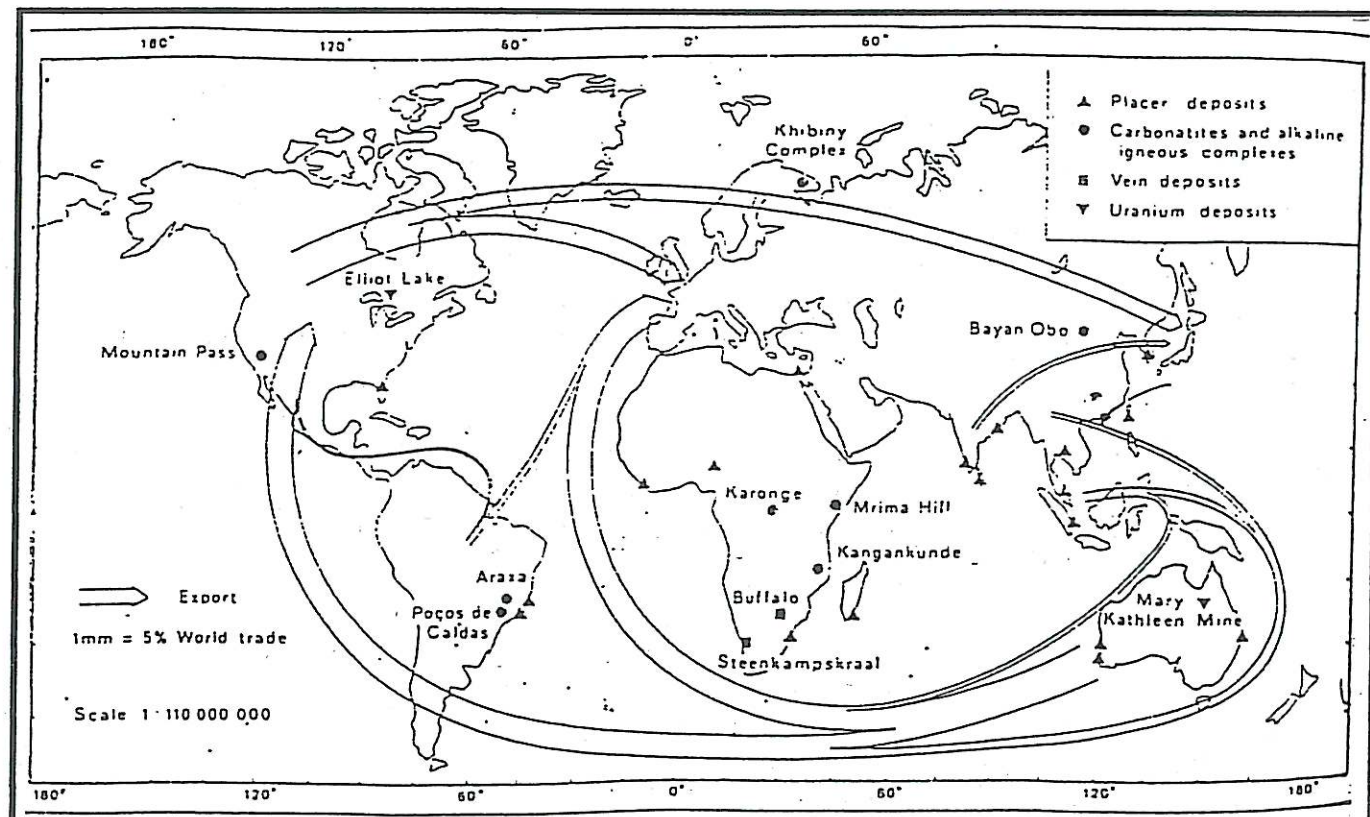
در کانسارهای استراتیباند طلا، نقره و مس نیز عناصر نادر خاکی می‌توانند متمرکز شوند. این عناصر بیشتر به صورت لاتانیم و سدیم هستند که همراه با مس و اورانیم می‌باشند. عیار REO در این کانسارها ۰/۴۵ درصد تا ۰/۲۵ درصد می‌باشد.

یکی از منابع نادر خاکی انباسته‌های استخوانهای فسفاته ماهی است که در مناطق پلاتفرمی دریاهای کربوینفر و پرمن وجود داشته است. در رسهای سیاه و مارنهای این حوضه‌ها عناصر نادر خاکی با عیار ۰/۳ تا ۰/۲ درصد دیده می‌شود. این عناصر در داخل گیسها و اکتینولیت شیسته‌ای در ارتباط با کرانتوفیرهای موجود در کنار گسلهای عمیق نیز کانی‌سازی نشان می‌دهند. ذخیره مهم عناصر نادر خاکی چین در جدول ۱۰-۲ گزارش شده است.



جدول ۱۰-۲: ذخایر حاوی عناصر کمیاب چین (جونز و دیگران، ۱۹۹۶)

عنوان	نوع کاپیتار
$\% / ۸ = \text{P}_2\text{O}_5 - ۰ / ۱۳ = \text{REO}$	کربناتیت
$\% / ۱۲ = \text{Nb}_2\text{O}_۵ - ۰ / ۷ = \text{REO}$	کربناتیت سیست
$\% / ۱۲ = \text{Nb}_2\text{O}_۵ - ۰ / ۷ = \text{REO}$	گمیلکسهاي آلكالین (تراکیت فولولیت)
$\% / ۰ = \text{REO}$	آلكالی گرانیت
$\% / ۱۰ = \text{P}_2\text{O}_۵ - ۰ / ۱ = \text{REO}$	آلكالی بکمائنت
$\% / ۸۸ = \text{Al}_2\text{O}_۳ - ۰ / ۲ = \text{REO}$	بوکست
$\% / ۰ = \text{REO}$	لائزت
۱۰۰۰ گرم در مترمکعب	پلاسر
$\% / ۲ = \text{REO}$	فلورها



شکل ۷-۲: موقعیت ذخایر اصلی عناصر کمیاب خاکی بعلاوه محدوده های صادراتی کانیهای کمیاب خاکی بعد از ۱۹۷۰ به صورت سنگ معدن، کلرید، میش مtal از کشورهای اصلی تولید کننده (مقادیر در داخل اروپا از یکدیگر تفکیک نشده‌اند).



۵-۲- اکتشاف عناصر نادر خاکی

تکنیکهای استاندارد شده معمولی مثل روش‌های ژئوفیزیکی، ژئوشیمیائی، ژئوبوتانی، ترانشه‌زنی و حفاری برای اکتشاف کانسارهای باستنایت دار استفاده می‌شود. از همین روشها به‌اصفه روش کانی سنگین برای اکتشاف مونازیت استفاده می‌گردد. روش کانی سنگین یک روش صحرائی و مقدماتی خوب برای اکتشاف مونازیت می‌باشد. وجود عناصر اورانیم و توریم اکتشاف این عناصر را آسان می‌سازد و لذا روش رادیومتری هوایی و زمینی دو روش کارآمد برای اکتشاف عناصر نادر خاکی هستند. با توجه به‌اینکه این کانیها اغلب همراه کانیهای منیتیت و ایلنیت هستند از روش اکشاف مغناطیس هوایی نیز می‌توان برای اکتشاف عناصر نادر خاکی استفاده کرد. یکی دیگر از روش‌های اکتشاف این عناصر روش ژئوبوتانی است. عناصر خانواده لانتانیم و یتریم اغلب در افق B خاک متمرکز می‌شوند.

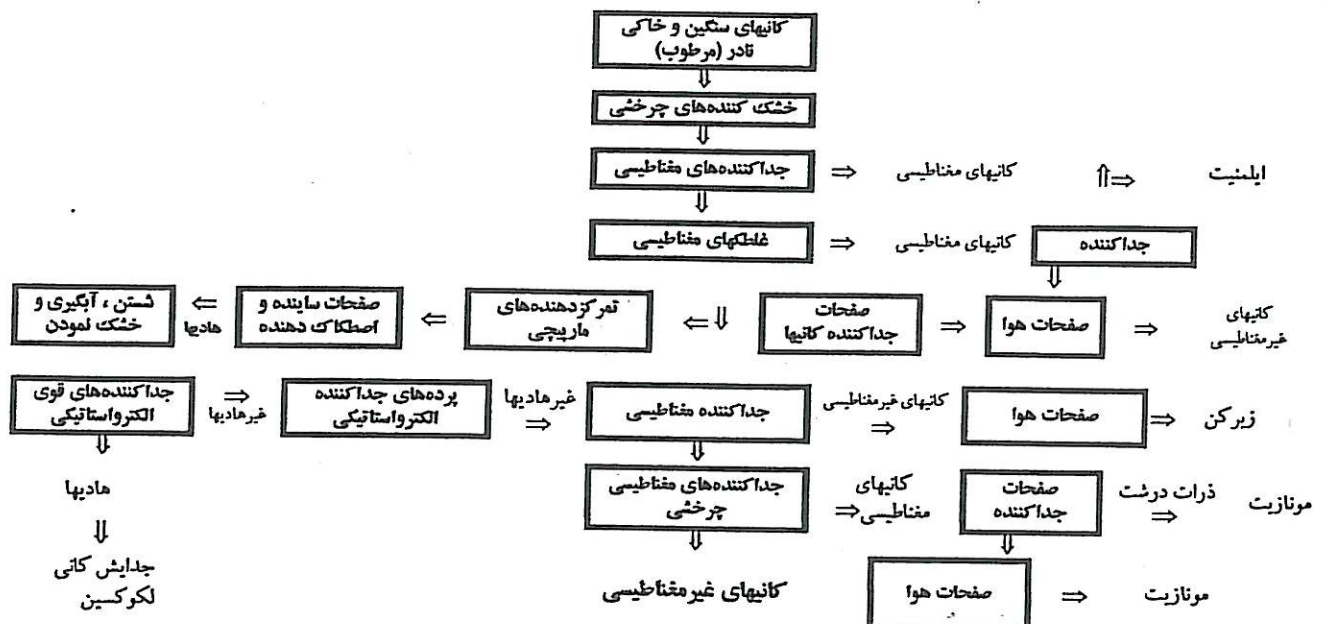
۶-۲- استخراج و فرآوری عناصر نادر خاکی

نحوه استخراج عناصر کمیاب به‌صورت رویاز و زیرزمینی می‌باشد. هنگامی که بعضی از عناصر کمیاب در ماسه‌های ساحلی و یا در سطح زمین واقع شده باشند، استخراج آنها به‌صورت رویاز و سطحی صورت می‌گیرد. در صورتی که این عناصر در سنگهای آتشفسانی و در عمق زمین وجود داشته باشد، استخراج آنها به‌صورت زیرزمینی انجام می‌گیرد. البته در حال حاضر هیچ معدنی در دنیا فقط برای به‌دست آوردن عناصر کمیاب به‌روش زیرزمینی استخراج نمی‌شود و در صورتی که این عناصر به‌صورت فلز فرعی و با فلزات اصلی و با ارزش دیگر نظیر طلا، نقره، روی و مس همراه باشند، استخراج آنها مورد توجه قرار گرفته است.

برای جدایش مواد با ارزش از سنگ معدنی نیز از روش‌های مختلف کانه‌آرائی و فلوتاویون استفاده می‌شود. مثلاً برای ذخایر "برجا" که معمولاً در میان ماسه‌های ساحلی تشکیل می‌شود ابتدا از طریق وسایل مخصوص جدایش ثقلی، عیار ماده معدنی را بالا می‌برند و سپس با استفاده از جداکننده‌های الکترونیکی و مغناطیسی درجه خلوص کانی یا ماده معدنی را تا حد قابل قبولی افزایش می‌دهند. در مواردی نیز سنگ معدن را ابتدا در آسیابهای مختلف خرد می‌کنند و پس از خردایش ماده معدنی عناصر کمیاب آن را با استفاده از روش‌های مخصوص فلوتاویون جدا می‌کنند. جهت جدایش عناصر کمیاب با تنازع کم روش‌های با استفاده از رزین ارائه شده که مقرر به‌صرفه است.

روش‌های استخراجی و فرآوری برای پلاسراها بسیار متفاوت از کانسارهای ماگماهی حاوی باستنایت است. روش جدایش کانی باستنایت از سنگهای باطله به‌وسیله خردکردن و فلوتاویون و استفاده از روش‌های ترکیبات شیمیائی است. عناصر نادر خاکی موجود در آپاتیت در اسید نیتریک حل می‌شوند و سپس از محصول جدا شده و بازیافت می‌شوند. یکی از روش‌های استخراج عنصر یتریم و اسکاندیم استفاده از نمکهای آمونیاک است. مطالعات اقتصادی و تجربی نشان می‌دهد که برای عناصر نادر خاکی مواد جایگزین شونده‌ای که اقتصادی باشد وجود ندارد. برای بازیابی این عناصر می‌توان از قراضه‌های آهرباهای دائمی نیز استفاده نمود، (شکل ۸-۲).





شکل ۸-۲: مراحل کاشه آرائی کانیهای سنگین و خاکی نادر

۱-۶-۲- تولید و ذخایر جهانی

تولید جهانی عناصر نادر خاکی در سال ۱۹۹۷ میلادی در حدود ۷۹۵۰۰ تن بوده است. مهمترین کشورهای تولید کننده عناصر نادر خاکی در جهان عبارتند از: شوروی سابق، چین و آمریکا که تقریباً ۹۰ درصد تولید جهانی را به خود اختصاص داده‌اند. کل ذخایر جهانی عناصر نادر خاکی در سال ۱۹۹۹ برابر صد میلیون تن گزارش شده است که ۴۳ درصد آن در چین، ۱۹ درصد در بلوک شرق، ۱۳ درصد در آمریکا، ۵ درصد در استرالیا، ۱ درصد در زئیر، ۱ درصد در کانادا، ۱ درصد در هندوستان و ۱۷ درصد در سایر کشورها (توره، ۱۹۹۹) بوده است.

جدول ۱۱: تولید معادن و میزان ذخایر جهانی عناصر خاکهای نادر (بر حسب تن)

کشور	تولید معادن (۱۹۹۷)	ذخایر	ذخایر نایاب
آفریقا	۴۰۰۰	۱۳۰۰۰۰۰	۱۴۰۰۰۰۰
استرالیا	--	۵۲۰۰۰	۵۸۰۰۰
برزیل	. ۴۰۰	۲۸۰۰۰	۳۱۰۰۰
کانادا	--	۹۴۰۰۰	۱۰۰۰
چین	۵۰۰۰۰	۴۳۰۰۰۰۰	۴۸۰۰۰۰۰
کنگو	۵	۱۰۰۰	۱۰۰۰
هند	۲۷۰۰	۱۱۰۰۰۰	۱۲۰۰۰۰۰
مالزی	۳۰۰	۳۰۰۰	۳۵۰۰
افریقای جنوبی	--	۳۹۰۰۰	۴۰۰۰۰
سریلانکا	۱۲۰	۱۲۰۰	۱۳۰۰۰
شوری سابق	۶۰۰۰	۱۹۰۰۰۰	۲۱۰۰۰۰۰
سایر کشورها	۵	۲۱۰۰۰۰	۲۱۰۰۰۰۰
کل جهان	۷۹۵۰۰	۷۹۵۰۰۰۰۰	۷۹۵۰۰۰۰۰۰



اکتشاف عناصر کمیاب و نادر خاکی، شهرستانهای سراب و کلیبر

جدول ۱۲-۲ نیز براساس اطلاعات موجود تا سال ۱۹۸۵ تنظیم شده است. کل محصول استخراجی کانی سنگین در سال ۱۹۸۰ حدود ۱۶۰۰،۰۰۰ تن بوده که ۰/۸ درصد آن به صورت مونازیت بوده است. در همین سال مقدار کل تولید مونازیت حدود ۵۲۰،۰۰۰ تن و باستناسیت حدود ۳۴۰۰۰۰ تن بوده است.

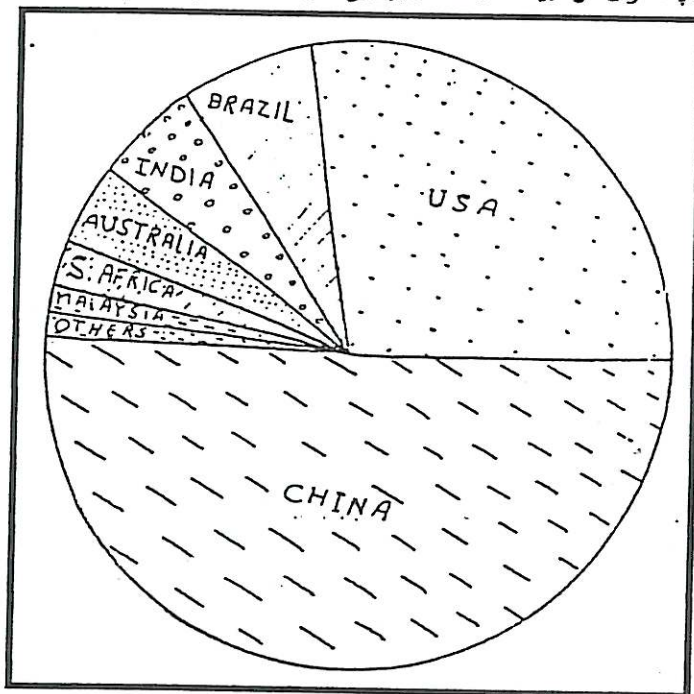
جدول ۱۲-۲: منابع عناصر نادر خاکی دنیا به صورت تن و شامل اکسیدهای عناصر نادر

Country	Continent	Lanthanide Oxides	Yttrium
Egypt		10000	
Malagasy Republic		20000	
Malawi		15000	
Nigeria			
South Africa		5000	
Other		20000	
Africa		70000	
China		10000000	
India		1000000	20000
Korea		50000	1000
Malaysia		30000	600
Sri Lanka		10000	200
Other		10000	200
Asia		11100000	22000
Australia		400000	6000
Russia		500000	1600
Scandinavia		60000	200
Europe		560000	1800
Canada		250000	2400
United States		5000000	3500
North America		5250000	5900
Brazil		350000	2500
Other			
South America		350000	2500
World		17730000	38200

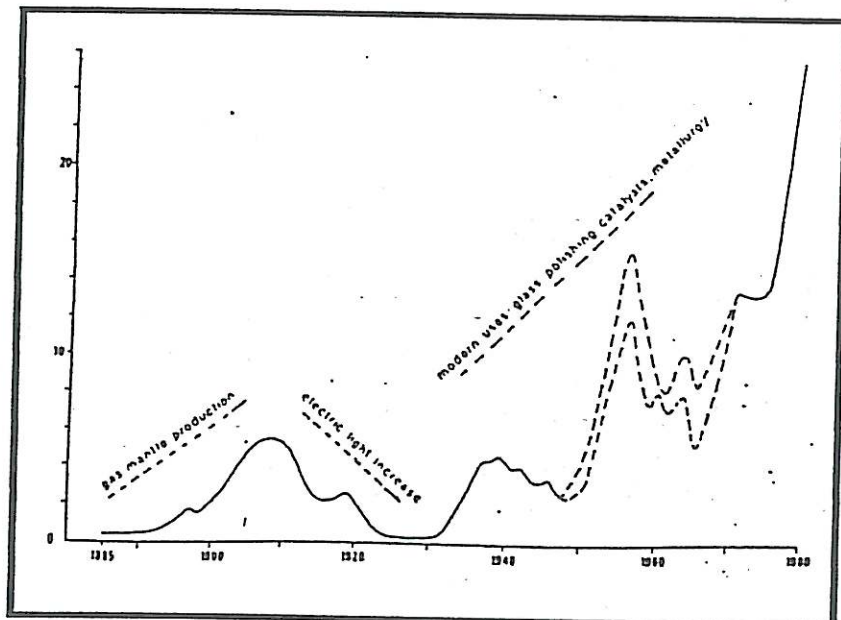
در شکل ۹-۲ میزان تولید کشورهای مهم تولید کننده عناصر نادر خاکی نشان داده شده است. در این شکل کانسارهای جدیداً کشف شده استرالیا و چین نشان داده نشده است. در آمریکا این عناصر عمدها از کانسار مونتنپس و در استرالیا، برزیل و هند این عناصر از مونازیت موجود در پلاسرهای ساحلی استخراج می‌گردد. تولید لامپهای الکتریکی پس از جنگ جهانی اول باعث رکود تقاضای توریم و مونازیت شد. تا قبل از جنگ



جهانی دوم عناصر نادر خاکی فقط برای تهیه لامپهای الکتریکی، شیشه‌های رنگی و لامپهای کربنی مورد استفاده قرار می‌گرفت. با امکان استفاده از عنصر توریم برای سوخت نیروگاههای هسته‌ای تقاضا برای این عنصر بیشتر شد و منجر به کشف کانسارهای پلاسری مونازیت در هند و برزیل گردید، (شکل ۱۰-۲).



شکل ۹-۲ : میزان تولید کشورهای مهم تولید کننده عناصر قادر خاکی از سال ۱۹۸۵ تا ۱۹۹۰.



شکل (۱۰-۲) : تولید مونازیت کنسانتره در دنیای غرب بین سالهای ۱۸۸۵ تا ۱۹۷۹ به صورت ^3O تن، خط چینها نشانه تخمين حداکثر و حداقل است.



۲-۶-۲- کاربرد و مصارف عناصر نادر خاکی

تاریخ استفاده از عناصر نادر خاکی به سالهای ۱۸۸۳ بر می‌گردد. قدیمیترین استفاده‌ای که از این عناصر شده است در ارتباط با تصفیه نفت خام بوده است. همچنین موارد کاربردی جدیدی از این عناصر در سالهای اخیر کشف گردیده که باعث شده تا موارد استفاده آنها فزونی یابد. موارد استفاده از این عناصر بیشتر در آلیاژهای مخصوص، شیشه‌ها، کاتالیزورها، تجزیه و تهیه ژیدروکربورها، ایجاد خاصیت فسفری در شیشه تلوزیونهای رنگی، ایجاد آلیاژهای فوق‌مغناطیسی لیزرهای و موارد متنوع دیگر صنعتی می‌باشد. از دیگر موارد صنعتی این عناصر استفاده در راکتورهای هسته‌ای و تولید اشعه رادیواکتیو می‌باشد. صنایع نفت، متالورژی و سرامیک از عمده‌ترین استفاده کنندگان از این عناصر هستند. اکسیدهای مختلف عناصر خاکی کمیاب نیز در موارد زیر در صنعت مورد استفاده

قرار می‌گیرند:

- به عنوان کاتالیزور در صنعت تصفیه و فرآوری مواد مختلف از نفت.
- به عنوان فسفر (نورانی کننده) در صفحات تلویزیون و دیگر سطوح فلورورسانست.
- در صنعت تولید شیشه و سرامیک.
- استفاده عناصر خاکی کمیاب (لاتانیدها) در صنایع الکترونیک به عنوان ابزارساناها در دمای زیاد.
- یکی از مهمترین کاربردهای عناصر کمیاب فرومتوالورژی (فولاد) است. در این صنعت آهن و فولاد با آلیاژی (از عناصر کمیاب از جمله لاتانیم و سریم) پوشش داده می‌شود که افزایش بسیار زیاد مقاومت و کارآیی فولاد را در پی دارد.
- در صنایع هوایپیمائی و تهیه آلیاژ منگنزدار.
- در فندکها به عنوان ایجاد کننده جرقه آلیاژ سریم و آهن
- برای تولید آهرباهای دائمی که این صنعت نیز در حال حاضر در حال رشد است و استفاده زیادی در تولیدات مختلف صنعتی دارد.

به طور کلی می‌توان چهار مورد استفاده مهم برای این عناصر را در نظر گرفت:

- ۱- کاتالیزورهای نفتی و پتروشیمی
- ۲- متالورژی
- ۳- سرامیک و شیشه
- ۴- صنایع الکترونیک و استفاده‌های تحقیقاتی

تاکنون برای این عناصر در ایران مورد مصرفی گزارش نشده است.

میزان مصرف عناصر کمیاب در سال ۱۹۷۰ برابر با ۱۰۰۰۰ تن، در سال ۱۹۸۳ برابر با ۲۶۰۰۰ تن، در سال ۱۹۹۰ برابر ۳۵۰۰۰ تن و در سال ۱۹۹۷ بالغ بر ۴۵۰۰۰ بوده است، (تقریب، ۱۹۹۹).



اکتشاف عناصر کمیاب و نادر خاکی، شهرستانهای سراب و گلپایگان

عناصر نادر خاکی با سه عیار مختلف می‌تراند مورد استفاده قرار گیرد:

۱. در همان شکل استخراج شده در متن کانیها و بدون تغییظ آنها از کانی حاوی این عناصر. این نوع عناصر نادر خاکی بیشتر در صنایع فولادسازی به عنوان کاتالیزور و برای صیقل دادن شیشه‌ها استفاده می‌شود.
 ۲. پس از یک جداسازی شیمیائی ساده با ۶۰ تا ۹۰ درصد از عناصر نادر خاکی. این حالت هنگامی استفاده می‌شود که عناصر فرعی همراه این عناصر زیانی برای استفاده کردن نداشته باشد، مثل ساخت مغنطیسها دائمی.
 ۳. استفاده از عناصر نادر خاکی به صورت کاملاً تغییظ یافته با عیار $99\% - 98\% = \text{REO}$ که این حالت فقط در برخی از موارد خاص مثل ساخت وسایل الکترونیکی مورد استفاده دارد.
- در جدول ۱۳-۲ کاربرد صنعتی هر یک از عناصر خاکی کمیاب به تفکیک مشخص شده است.



جدول (۱۳-۲) : کاربرد صنعتی عناصر خاکی کمیاب

کاربرد	حد عرض کتاب	تقطیع کتاب	حد عرض کتاب	کاربرد	Y	Yb	Tm	Er	Ho	Dy	Tb	Gd	Eu	Sm	Nd	Pr	Ce	La	*
فناوری	*	*	*	فولاد	*	*	*	*	*	*	*	*	*	*	*	*	*	*	
فولاد	*	*	*	فولاد ضد زنگ	*	*	*	*	*	*	*	*	*	*	*	*	*	*	
فولاد ضد زنگ	*	*	*	دستگاه فولادخانه	*	*	*	*	*	*	*	*	*	*	*	*	*	*	
دستگاه فولادخانه	*	*	*	فولاد نرم	*	*	*	*	*	*	*	*	*	*	*	*	*	*	
فولاد نرم	*	*	*	آلیاژهای متغیر	*	*	*	*	*	*	*	*	*	*	*	*	*	*	
آلیاژهای متغیر	*	*	*	آلیاژهای الومیم	*	*	*	*	*	*	*	*	*	*	*	*	*	*	
آلیاژهای الومیم	*	*	*	آلیاژهای تیتانیم	*	*	*	*	*	*	*	*	*	*	*	*	*	*	
آلیاژهای تیتانیم	*	*	*	آلیاژ من	*	*	*	*	*	*	*	*	*	*	*	*	*	*	
آلیاژ من	*	*	*	سوبر آلیاژها	*	*	*	*	*	*	*	*	*	*	*	*	*	*	
سوبر آلیاژها	*	*	*	به عنوان کاتالیزور	*	*	*	*	*	*	*	*	*	*	*	*	*	*	
به عنوان کاتالیزور	*	*	*	نفت	*	*	*	*	*	*	*	*	*	*	*	*	*	*	
نفت	*	*	*	پتروسینی	*	*	*	*	*	*	*	*	*	*	*	*	*	*	
پتروسینی	*	*	*	مواد مغناطیسی	*	*	*	*	*	*	*	*	*	*	*	*	*	*	
مواد مغناطیسی	*	*	*	سوزاپیک	*	*	*	*	*	*	*	*	*	*	*	*	*	*	
سوزاپیک	*	*	*	لایات و پوشش	*	*	*	*	*	*	*	*	*	*	*	*	*	*	
لایات و پوشش	*	*	*	دیزک دارها	*	*	*	*	*	*	*	*	*	*	*	*	*	*	
دیزک دارها	*	*	*	شمشه گردی	*	*	*	*	*	*	*	*	*	*	*	*	*	*	
شمشه گردی	*	*	*	لایات دندانها	*	*	*	*	*	*	*	*	*	*	*	*	*	*	
لایات دندانها	*	*	*	سیسسه اجتنبی	*	*	*	*	*	*	*	*	*	*	*	*	*	*	
سیسسه اجتنبی	*	*	*	روتک تراوی	*	*	*	*	*	*	*	*	*	*	*	*	*	*	
روتک تراوی	*	*	*	ریزک آمیزی	*	*	*	*	*	*	*	*	*	*	*	*	*	*	
ریزک آمیزی	*	*	*	کنترل اشعه	*	*	*	*	*	*	*	*	*	*	*	*	*	*	
کنترل اشعه	*	*	*	فلووورسانس	*	*	*	*	*	*	*	*	*	*	*	*	*	*	
فلووورسانس	*	*	*	آهن زنای دائمی	*	*	*	*	*	*	*	*	*	*	*	*	*	*	
آهن زنای دائمی	*	*	*	اور افشار	*	*	*	*	*	*	*	*	*	*	*	*	*	*	
اور افشار	*	*	*	لیزر	*	*	*	*	*	*	*	*	*	*	*	*	*	*	
لیزر	*	*	*	لامپهای قلقوفرسانش	*	*	*	*	*	*	*	*	*	*	*	*	*	*	
لامپهای قلقوفرسانش	*	*	*	تولید اشعه X	*	*	*	*	*	*	*	*	*	*	*	*	*	*	
تولید اشعه X	*	*	*	لامپهای کاتدی	*	*	*	*	*	*	*	*	*	*	*	*	*	*	
لامپهای کاتدی	*	*	*	استفاده هسته ای	*	*	*	*	*	*	*	*	*	*	*	*	*	*	
استفاده هسته ای	*	*	*	جادهای توبروئی	*	*	*	*	*	*	*	*	*	*	*	*	*	*	
جادهای توبروئی	*	*	*	رادیوگرافی	*	*	*	*	*	*	*	*	*	*	*	*	*	*	
رادیوگرافی	*	*	*	سلاچهای جنگی	*	*	*	*	*	*	*	*	*	*	*	*	*	*	
سلاچهای جنگی	*	*	*	روزگاره	*	*	*	*	*	*	*	*	*	*	*	*	*	*	
روزگاره	*	*	*	سنسوردهای اکسیژنی	*	*	*	*	*	*	*	*	*	*	*	*	*	*	
سنسوردهای اکسیژنی	*	*	*	چواهرات	*	*	*	*	*	*	*	*	*	*	*	*	*	*	
چواهرات	*	*	*	اهداف پزشکی	*	*	*	*	*	*	*	*	*	*	*	*	*	*	
اهداف پزشکی	*	*	*	سنسیتمهای خورشیدی	*	*	*	*	*	*	*	*	*	*	*	*	*	*	
سنسیتمهای خورشیدی	*	*	*	میکروبو	*	*	*	*	*	*	*	*	*	*	*	*	*	*	
میکروبو	*	*	*	لیزرهای شیمیائی	*	*	*	*	*	*	*	*	*	*	*	*	*	*	
لیزرهای شیمیائی	*	*	*	میکروسکوپ	*	*	*	*	*	*	*	*	*	*	*	*	*	*	
میکروسکوپ	*	*	*	تولید الیاف مصنوعی	*	*	*	*	*	*	*	*	*	*	*	*	*	*	
تولید الیاف مصنوعی	*	*	*	کودهای شیمیائی	*	*	*	*	*	*	*	*	*	*	*	*	*	*	



۳-۶-۲- قیمت عناصر نادر خاکی در جهان

قیمت هر یک از این عناصر بسیار متنوع و متفاوت از یکدیگر است. به طوری که قیمت یک کیلو توریم بالغ بر ۳۳۰۰ دلار آمریکا است و در حالی که قیمت یک کیلو گرم سریم یا لاتانیم به ترتیب در حدود ۴۵ و ۲۵ دلار می‌باشد. قیمت هر کیلو اکسیدهای خالص عناصر کمیاب خاکی لاتانیدها با درصد خلوص بیش از ۹۹/۹ درصد به استناد کتاب سال کانیهای ایالات متحده در جدول ۱۴-۲ نشان داده شده است.

جدول (۱۴-۲) : قیمت هر کیلو اکسید خالص عناصر کمیاب به دلار آمریکا

نام فلز	تغذیه	۱۹۸۷	۱۹۸۵	۱۹۸۴	۱۹۸۳	۱۹۸۲	۱۹۸۱	۱۹۸۰	۱۹۷۹
Cr	لاتانیم	۲۰	۲۰	۲۰	۲۰	۲۰	۲۰	۲۰	۱۸
La	پروتونیتیم	۲۰	۱۹	۱۹	۱۹	۱۹	۱۹	۱۹	۱۷
Pr	پروتونیتیم	۱۳۰	۱۳۰	۱۳۰	۱۳۰	۱۳۰	۱۲۰	۱۱۰	۱۱۰
Nd	پروتونیتیم	۸۰	۸۰	۸۰	۸۰	۸۰	۷۰	۶۵	۶۵
Sm	سماطریم	۲۰۰	۱۳۰	۱۳۰	۱۳۰	۱۳۰	۱۲۰	۱۱۰	۱۱۰
Eu	پروتونیتیم	۱۹۰۰	۱۹۰۰	۱۹۰۰	۱۹۰۰	۱۹۰۰	۱۹۰۰	۱۹۰۰	۱۸۵۰
Gd	پکادولیتیم	۱۳۰	۱۳۰	۱۳۰	۱۳۰	۱۳۰	۱۲۵	۱۲۰	۱۲۰
Tb	تربیتیم	۱۲۰۰	۱۲۰۰	۱۲۰۰	۱۲۰۰	۱۲۰۰	۱۰۵۰	۸۲۵	۸۲۵
Dy	دیپروتونیتیم	۲۰۰	۱۱۰	۱۱۰	۱۱۰	۱۱۰	۱۱۰	۱۰۰	۱۰۰
Ho	هوتونیتیم	۸۰۰	۸۵۰	۸۵۰	۸۵۰	۸۵۰	۵۷۵	۳۷۵	۳۷۵
Er	اریتیم	۷۵۰	۲۰۰	۲۰۰	۲۰۰	۲۰۰	۱۶۰	۱۲۰	۱۲۰
Th	پوتیم	۳۳۰۰	۳۴۰۰	۳۴۰۰	۳۴۰۰	۳۴۰۰	۳۰۰۰	۲۶۵۰	۲۶۵۰
Yb	پتریتیم	۲۲۵	۲۲۵	۲۲۵	۲۲۵	۲۲۵	۲۰۰	۱۸۰	۱۸۰
Lu	لوتیتیم	۴۹۰۰	۵۲۰۰	۵۲۰۰	۵۲۰۰	۵۲۰۰	۳۸۰۰	۳۲۰۰	۳۲۰۰
Y	یوکریم	۱۱۸	۱۱۸	۹۸	۹۳	۹۳	۸۴	۷۴	۷۴

۷-۲- کانسارهای عناصر نادر خاکی در ایران

طبق اطلاعات موجود که این گزارش بر مبنای آن تهیه شده در ایران هنوز مورد مصرف و وارداتی از این کانیها گزارش نشده است. ولی احتمال وجود منابع و ذخایر معدنی این گونه عناصر را نباید از نظر دور داشت. در همین راستا بررسیهای مقدماتی انجام شده در ایران طبق گزارش‌هایی که این مشاور در اختیار داشته است در زیر آورده می‌شود.

۷-۱- کانسارهای آپاتیت

درویشزاده (۱۳۶۱) بر اساس مطالعاتی که بر روی کانساز آهن آپاتیت اسفوردی بافق انجام داده است عامل کانی‌سازی در این منطقه را مانگانیکی با روند کربناتیتی عنوان نموده و کانی‌سازی را به صورت متاسوماتیتی ذکر کرده است. آپاتیت این کانساز از نوع فلور آپاتیت بوده که دارای $33\text{--}38\%$ درصد اکسید فسفر (P_2O_5) می‌باشد. ارتباط مستقیمی بین مقدار اکسید فسفر و مقدار عناصر نادر خاکی کانیها در این کانساز دیده می‌شود. نتایج



بررسیهای مقدماتی که در آپاتیتهای منطقه بافق انجام شده است در جدول (۱۵-۲) آمده است:

جدول (۱۵-۲): عیار و ذخایر عناصر خاکی نادر کانسارهای آپاتیتی منطقه بافق بیزد

عناصر	عیار (گرم بر لتر)	ذخیره قطبی (تن)	ذخیره احتمالی (تن)
پتاسیم	۱۰۰	۵۸۰۰	۸۵۰۰
شیوه‌یم	۳۲۵	۱۷۰۰	۲۶۰۰
لاتیتان	۸۳۴	۵۶۰۰	۸۵۰۰
سریم	۲۱۴۹	۱۴۰۰۰	۲۲۰۰۰

علاوه بر این در منطقه بیزد آثار فراوان، کوچک و بزرگی از توده‌های آهنه، ترمولیتی و پیروکسنی آپاتیت‌دار وجود دارد که با توجه به ارتباط بسیار نزدیک عناصر خاکی نادر با آپاتیت و اورانیم می‌توان به این منطقه امیدوار بود. استحصال عناصر نادر خاکی در معدن فسفات اسفوردی ارتباط به‌نوع مصرف از سنگ فسفات مزبور دارد که باید مورد توجه قرار گیرد.

۲-۷-۲- کربناتیت

در ایران به صورت مشکوکی به وجود کربناتیت در سه نقطه اشاره شده است. و اترز و علوی (۱۹۷۳) بر اساس شواهد پتروگرافی به وجود کربناتیت احتمالی در جزیره زرآکوه خلیج فارس اشاره نموده‌اند. در رویش زاره (۱۳۶۱) نیز به صورت احتمالی به کانی‌سازی کربناتیت در کانسار اسفوردی بافق اشاره کرده است. از کربناتیتهای دیگر می‌توان به منطقه قلعه حسن‌علی راین اشاره کرد (سبزه‌ثی، م، ۱۳۶۳).

۲-۷-۳- کانسار پلاسی

مطالعاتی که تاکنون در مورد ماسه‌های ساحلی ایران در جنوب و شمال صورت گرفته هیچگونه آنومالی از کانی مونازیت نشان نداده است.

۲-۷-۴- کانسار رگه‌ای

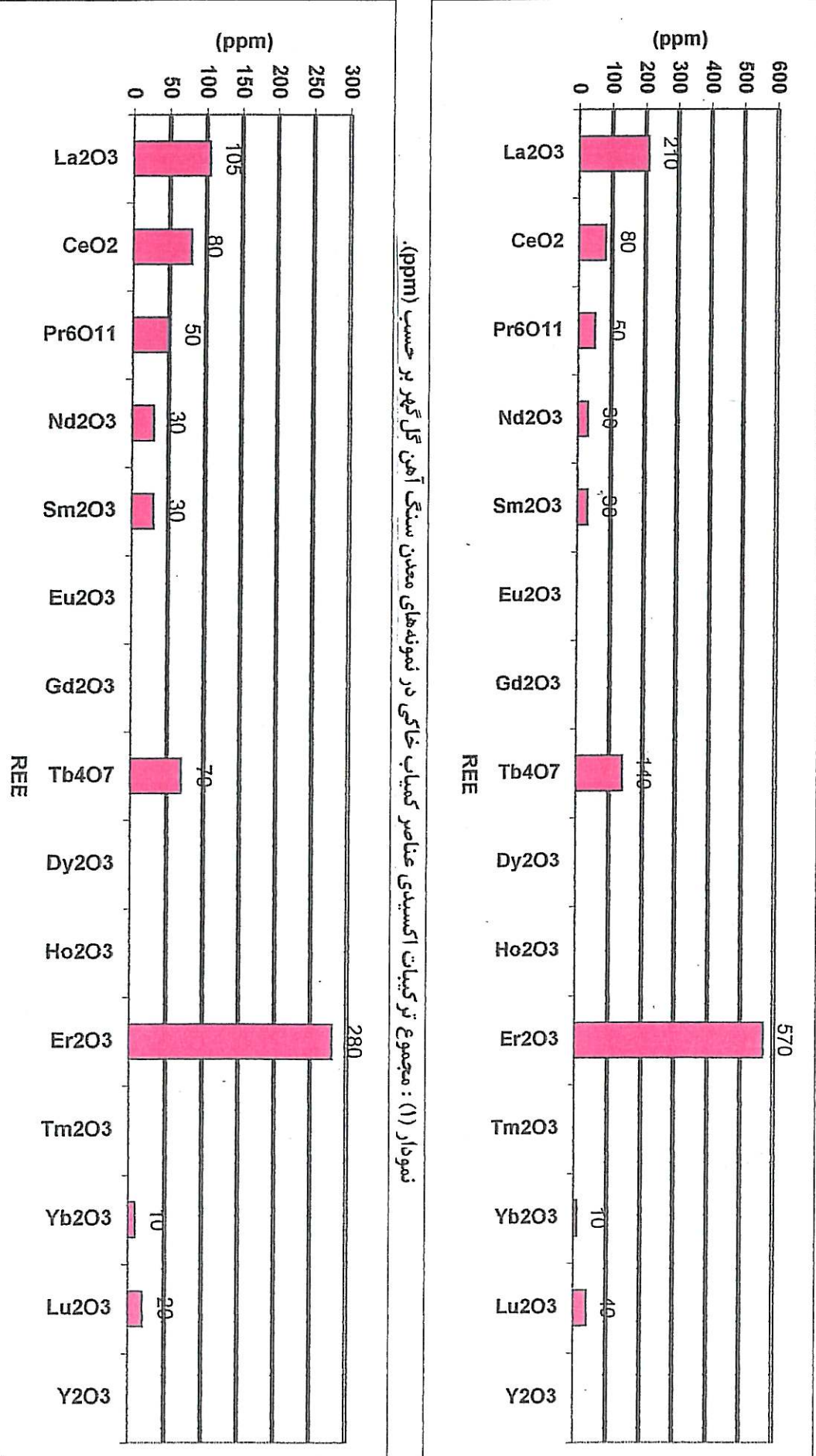
در گنیس گرانیتی منطقه چاه کلب در شمال دهسلم در جنوب خاوری ایران آنومالی‌هایی از کانی مونازیت توسط گروه ژئوشی سازمان زمین‌شناسی کشور گرفته شده است. علاوه بر مورد فوق در ایران برنامه‌ریزیهای اکتشافی و استخراجی باید در سنگهای قلیائی، مخصوصاً نفلین‌سینیتهای بزگوش، کلیبر و رزگاه (در آذربایجان شرقی) و سنگهای آلکالین در جنوب ایران (جزیره هرمز و ...) و همچنین سنگهای پگماتیتی، کانیهای سنگین و فسفاتها انجام گردد. جدول (۱۶-۲) و نمودارهای ۱-۲ تا ۷-۲ مجموع ترکیبات اکسیدی عناصر نادر خاکی در نمونه‌هایی از جاهای مختلف ایران را نشان می‌دهند.

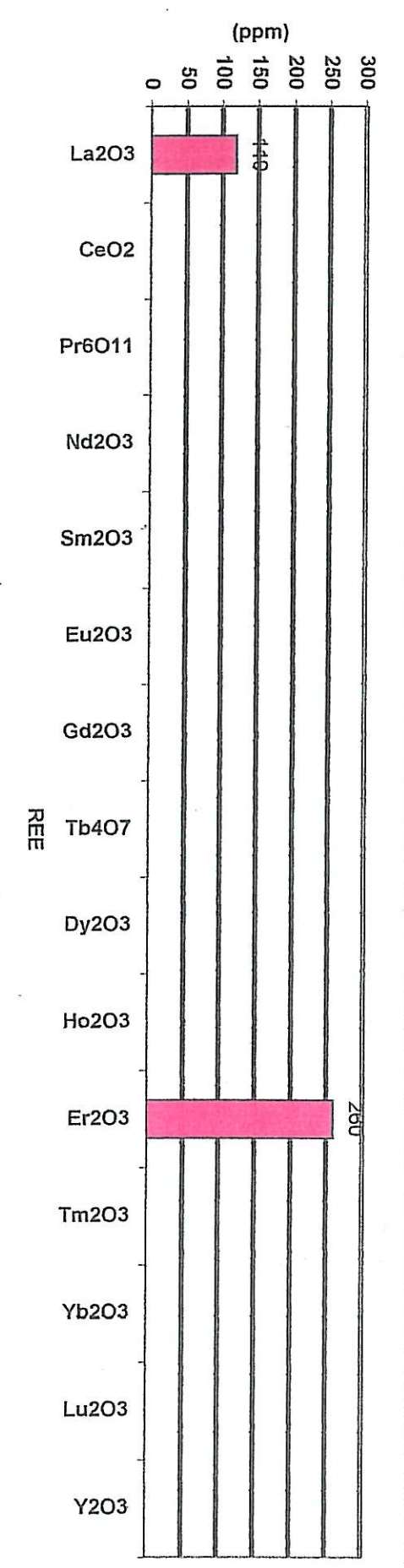


جدول (۲-۱۶) : مجموع ترکیبات اکسیدی عناصر نادر خاکی در نمونه های از جاهای مختلف ایران

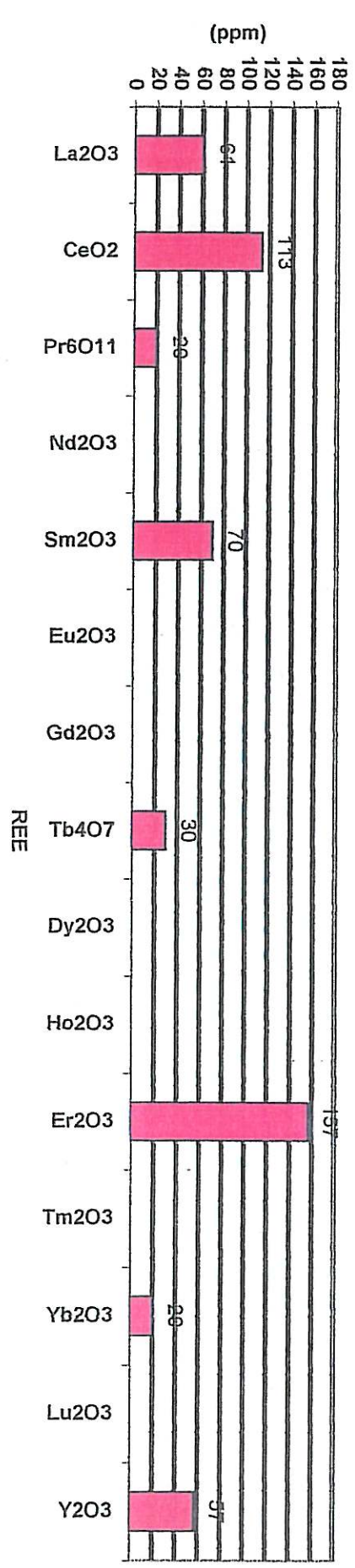
	کل کربن	کل سیمان	متکان	هزار - بند خفته	جودت	تند خفته	کربن
La_2O_3	210	105	119	61	520	184	246
CeO_2	80	80		113	1700	340	340
Pr_2O_3	50	50		20	140		20
Nd_2O_3	30	30			480		
Sm_2O_3	30	30		70			210
Eu_2O_3							
Gd_2O_3							
Tb_2O_7	140	70		30	30		60
Dy_2O_3							
Ho_2O_3							
Er_2O_3	570	280	260	157	60	660	440
Tm_2O_3							
Yb_2O_3	10	10		20			40
Lu_2O_3	40	20					
Y_2O_3				57	60	160	124





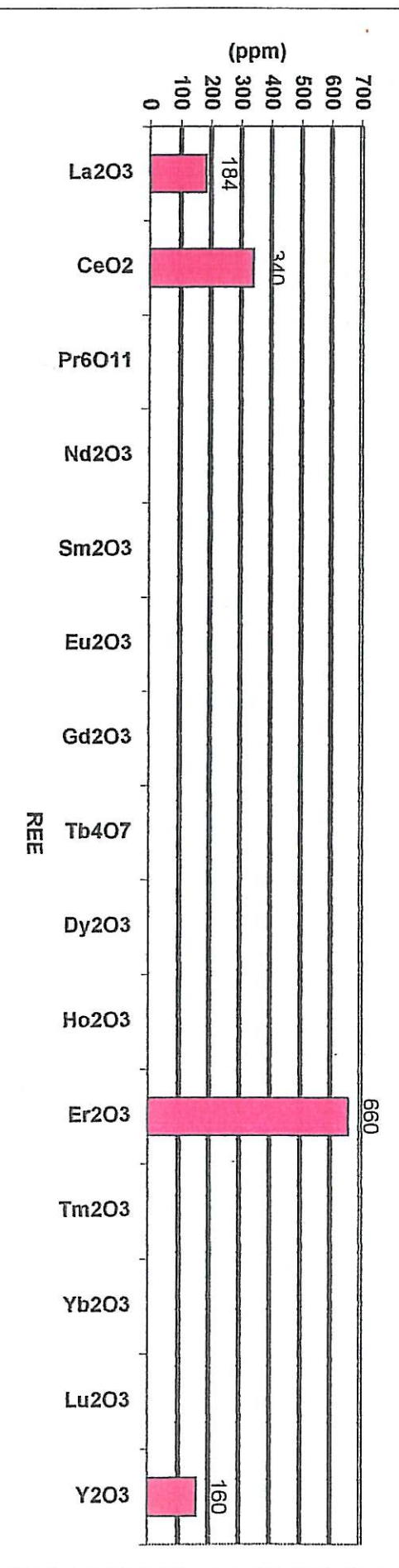


نمودار کل ترکیبات اکسیدی عناصر کمیاب خاکی در سنگ آهن سنگان.

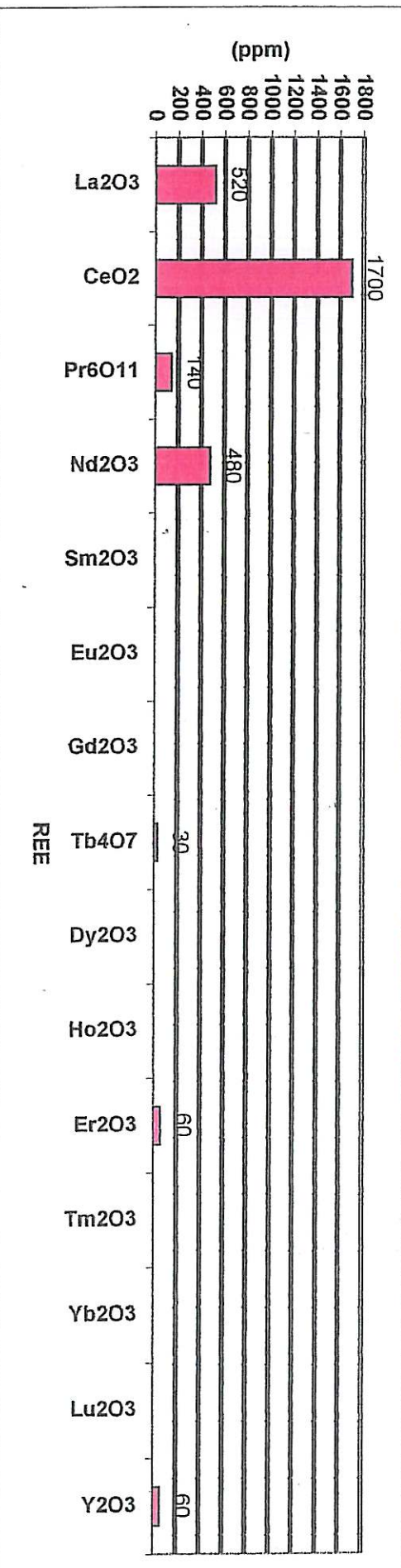


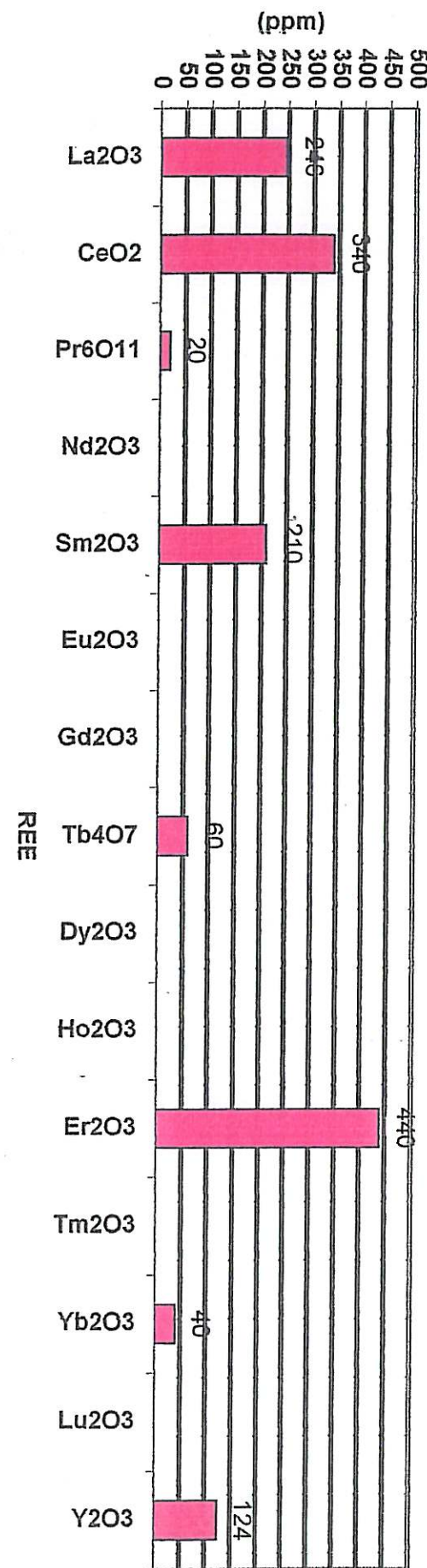
نمودار (۳) : میانگین مجموع هر کدام از ترکیبات اکسیدی عناصر کمیاب خاکی در نمونه‌های جنوب ایران (هرمز - بندر خمیر) بر حسب (ppm).

نمودار (۴) : مجموع عنصر اکسیدی ترکیبات کمیاب خاکی جنوب ایران (بندر خمیر) بر حسب (ppm).



نمودار (۵) : مقدار کل ترکیبات اکسیدی عناصر کمیاب خاکی در نمونه سنگ آهن چنارت.





نمودار (۷) : مجموع مقدار هر یک از ترکیبات عناصر کمیاب خاکی در نموده سنگی جزیره هرمز.

اكتشاف عناصر کمیاب و نادر خاکی، شهرستانهای سراب و گلپایگان

۸-۲- پیشنهادات

بدون تردید صنایع و واحدهای تحقیقاتی برای انجام ماموریتهای خود، به پاره‌ای از عناصر و فلزات کمیاب احتیاج دارند. برنامه‌ریزی در جهت پاسخگوئی به این نیازها مستلزم آن است که گامهای زیر برداشته شود:

۱- بهعلت تنوع زیاد این نوع عناصر، نخست نوع و میزان نیاز سالانه هر صنعت به آنها (چه در حال حاضر و چه در بلند مدت) برآورد شود تا اقدامات مطالعاتی و اجرائی بعدی، به صورت هدایت شده بر نیازها و اولویتها متتمرکز گردد.

۲- پس از برآورد نیاز و اولویتبندی آنها مطالعات و بررسیهای جهت‌داری درباره بود و یا نبود منابع معدنی آنها در کشور انجام گیرد.

۳- در مورد آن دسته از عناصری که منابع آنها بهر میزان در کشور وجود دارد مطالعاتی در خصوص نحوه استخراج و فرآوری و جنبه‌های اقتصادی و فنی آن انجام شود تا اتخاذ استراتژی تولید در کدام مورد امکان‌پذیر و مقرر می‌باشد و در کدام زمینه‌ها باید به خرید و تهیه از خارج متوصل شد؟



بخش سوم: عناصر گروه (LILE)

این عناصر دارای شعاع یونی بزرگ بوده و در گروه یک و دو جدول تناوبی قرار می‌گیرند و شامل عناصر لیتیم، باریم، استرانسیم، بریلیم، روبیدیم و سزیم می‌باشند و در سنگهای مختلف حضور دارند، (جدول ۱-۳).

۱-۱-۳- لیتیم

لیتیم عنصری لیتوфیل بوده و از لحاظ ژئوشیمیائی مشابه عناصر Na ، Mg می‌باشد و بهمین دلیل در کانیهای این عناصر بهوفور یافت می‌شود. برای مثال پرروکسن، آمفیول، میکا و کلریت می‌تواند حاوی مقادیر بالائی از این عنصر باشد. واحدهای سنگی حاوی لیتیم شامل سنگهای اسیدی و سنگهای رسی است. ضمناً فازهای تأخیری و بهخصوص پگماتیتها یکی از مهمترین منابع لیتیم می‌باشند، بهطوری که پگماتیتها اسپودومن دار و لیپولیت دار دارای بیشترین مقدار این عنصر می‌باشد و کانیهای دیگر (جدول ۲-۳) می‌توانند آن را همراهی کنند، (ویدپار، ۱۹۶۹).

۱-۱-۳- انواع کانسارهای لیتیم دار

۱-۱-۱- کانسارهای پگماتیتی

- پگماتیتها پوشید: این کانسارها شامل الیت، کوارتز و اسپودومن می‌باشد.

- پگماتیتها با شبیه ملایم: در این کانسارها میکروکلین، اسپودومن، الیت و پتالیت بهوفور یافت می‌شود.

- پگماتیتها کم شبیه: این گروه از پگماتیتها به شکل عدسی بوده و دارای ترکیب الیت، اسپودومن و میکروکلین است.

۱-۱-۳- کانسارهای رسوبی

این کانسارها در شرایط خاص آب و هوایی و بیشتر در محیطهای دریاچه‌ای و شورابها، لاگونها و ... تشکیل می‌گردند.



	$Sr(n^*10p-2)$	$Be(n^*10p-4)$	$Li(n^*10p-3)$	$Ba(n^*10p-2)$	$Rb(n^*10p-3)$	$Cs(n^*10p-4)$
پرسنده (پیروسفر)	3.8	1.5	2	4.5	9	2
سنگهای گرانیتی	1.1	3.5	3.8	8.4	21	5
سنگ های حد واسط	4.5	1.8	2.5	3.8	11	1.5
سنگ های بازیک	4.7	0.4	1.5	3.3	5	1.1
سنگ های اولترابازیک	0.1	0.2	0.2	0.4	0.5	0.1
سنگ های آبیلی	3	0.3	6.6	5.8	14	5
ملسنه سنگ	0.2	0.1	1.5	n	6	0.1
سنگ های آربناتی	6.1	0.1	0.5	1	0.3	0.1

جدول ۱-۳: فراوانی عناصر گروه LILE در سنگهای مختلف (حسنی پاک، ۱۳۷۰) (سمیرنف، ۱۹۸۳).



Table 3-D-1. Minerals containing lithium (most important minerals italicized)

<i>Silicates</i>	
<i>Tourmaline</i> (elbaite) (sorosilicate)	$(\text{Na}, \text{Ca})(\text{Mg}, \text{Li}, \text{Al}, \text{Fe})_3(\text{Al}, \text{Mg}, \text{Fe})_6((\text{OH})_4 (\text{BO}_3)_3 \text{Si}_6\text{O}_{18})$
<i>Spodumene</i> (inosilicate)	$\text{LiAl}(\text{Si}_2\text{O}_6)$
<i>Neptunite</i> (inosilicate?)	$\text{LiKNa}_2\text{Fe}_2\text{Ti}_2\text{O}_2(\text{Si}_6\text{O}_{22})$
<i>Holmquistite</i> (inosilicate)	$\text{Li}_2(\text{Mg}, \text{Fe})_3\text{Al}_2((\text{OH})_2 \text{Si}_6\text{O}_{22})$
<i>Polylithionite</i> (phyllosilicate, trioctahedral mica)	$\text{KLi}_2\text{AlSi}_4\text{O}_{10}\text{F}_2$
<i>Li-mica</i> (lepidolite, zinnwaldite) (phyllosilicate, general formula)	$(\text{K}, \text{Na}, \text{Rb}, \text{Cs})(\text{Li}_k(\text{Mg}, \text{Fe}^{2+}, \text{Mn})_n(\text{Al}, \text{Fe}^{3+})_m(\text{Si}_p\text{Al}_{4-p}\text{O}_{10})(\text{OH}, \text{F})_2$ $k = 1-2; n = \text{up to } 3; m = \text{up to } 2; p = 3-4$
<i>Bityite</i> (phyllosilicate)	$\text{CaLiAl}_2(\text{Si}_2\text{AlBeO}_{10})(\text{OH})_2$
<i>Cookeite</i> (phyllosilicate)	$\text{LiAl}_4((\text{OH})_8 \text{AlSi}_3\text{O}_{10})$
<i>Eukryptite</i> (tektonsilicate)	$\text{Li}(\text{AlSiO}_4)$
<i>Petalite</i> (tektonsilicate)	$(\text{Li}, \text{Na})(\text{AlSi}_3\text{O}_{10})$
<i>Bikitaite</i> (tektonsilicate)	$\text{Li}(\text{AlSi}_2\text{O}_6) \cdot \text{H}_2\text{O}$
<i>Phosphates</i>	
<i>Amblygonite</i>	$(\text{Li}, \text{Na})\text{Al}(\text{PO}_4)(\text{F}, \text{OH})$
<i>Lithiophilitite</i>	$\text{LiMn}(\text{PO}_4)$
<i>Lithiophosphatite</i>	Li_2PO_4
<i>Montebrasite</i>	$(\text{Li}, \text{Na})\text{Al}(\text{PO}_4)(\text{OH}, \text{F})$
<i>Palermoite</i>	$(\text{Li}, \text{Na})_2\text{SrAl}_5(\text{PO}_4)_6(\text{OH})_2$
<i>Sicklerite</i> (ferrisicklerite)	$(\text{Li}, \text{Mn}^{2+}, \text{Fe}^{3+})(\text{PO}_4)$
<i>Tavorite</i>	$\text{LiFe}(\text{PO}_4)(\text{OH})$
<i>Triphyllite</i>	$\text{LiFe}(\text{PO}_4)$

جدول ۲-۳: کانیهای مختلف لیتیم دار (ودبل، ۱۹۶۹).

۲-۳- بریلیم

این عنصر نیز جزء عناصر لیتوфیل می باشد و در گروه دوم جدول تناوبی قرار می گیرد. شعاع یونی نسبتاً بزرگی را دارا می باشد و از لحاظ ژئوشیمیائی دارای قرابت تزدیکی با پتاسیم است، به همین علت در کانیهای این عنصر بهوفور دیده می شود و تجمع آن در گرانیتهای پالین ژنتیک، آلکالی گرانیتها و ... قابل توجیه است.



۳-۲-۱- اندوخته کانسارهای بریلیم دار

۳-۲-۱-۱- کانسارهای پگماتیتی

این کانسارها دارای ارتباط نزدیکی با گرانیتها می‌باشد که معمولاً "غنى از مسکویت، کوارتز و آلکالی فلدوپاتها است، که کانیهای حاوی بریلیم و به خصوص بریل نیز در آنها دیده می‌شود. لازم به ذکر است کانیهای دیگری نیز می‌توانند آنها را همراهی کنند، (جدول ۳-۳).

۳-۲-۱-۲- کانسارهای حاصل از دگرسانی فلدوپاتی

همانگونه که در بالا تشریح گردید، معمولاً گرانیتها و سنگهای با ترکیب گرانیتی می‌توانند حاوی کانی زائی بریلیم باشند. اگر این واحدهای سنگی، گسل خوردگی را تحمل نماید دگرسانی گریزنی-آلیتی و میکروکلینی نیز قابل انتظار است. اما اگر واحدهای گابروئی و دیابازی دگرسان گردند این دگرسانی از نوع کوارتز-آمفیبول-آلیت و یا کوارتز-بیوتیت-آلیت خواهد بود که کانیهایی مانند لوکوفان، فناکیت، هلویت و هرتراندیت در آنها تشکیل خواهد شد. اما اگر آلکالی گرانیت و یا آلکالی بیست در داخل اسلیت و یا سنگهای ولکانیکی با بافت پورفیری نفوذ نماید در نتیجه قسمت خارجی توده نفوذی دگرسانی فیتی-فلدوپاتی را تحمل می‌کند. به همین علت کانیهای اژرین، آلیت، کربناتها و ارفدزوئیت در آن افزایش چشمگیری می‌یابد و کانیهای همچون باریلت و اورمالیت مقدار بالای BeO را منتقل خواهند کرد.



Table 4-D-13 (Continued)

Bertrandite	$\text{Be}_4\text{Si}_2\text{O}_7(\text{OH})_2$
Beryl	$\text{Al}_2\text{Be}_3\text{Si}_6\text{O}_{18}$
Beryllite	$\text{Be}_6\text{Si}_2\text{O}_7(\text{OH})_4 \cdot 2\text{H}_2\text{O}?$
Beryllonite	NaBePO_4
Beryllosodalite	$\text{Na}_4\text{BeAlSi}_4\text{O}_{12}\text{Cl}$
Bityte	$(\text{Ca}, \text{Na}, \text{K}) (\text{Al}, \text{Li}, \text{Mg})_{2-3}(\text{Si}, \text{Al}, \text{Be})_1\text{O}_{10}(\text{OH})_2$
Bromellite	BeO
Chkalovite	$\text{Na}_2(\text{BeSi}_2\text{O}_6)$
Chrysoberyl	Al_2BeO_4
Danalite	$\text{Fe}_4\text{Be}_3\text{Si}_3\text{O}_{12} \cdot \text{S}$
Epididymite	$\text{NaBeSi}_3\text{O}_7(\text{OH})$
Euclase	$\text{AlBeSiO}_4(\text{OH})$
Eudidymite	$\text{NaBeSi}_3\text{O}_7(\text{OH})$
Faheyite	$(\text{Mn}, \text{Mg}, \text{Na})\text{Be}_2\text{Fe}_2^{2+}(\text{PO}_4)_4 \cdot 6\text{H}_2\text{O}$
Gadolinite	$\text{Fe}_{1/2}\text{YBeSiO}_4 \cdot \text{O}$
Gelbertrandite	$\text{Be}_4\text{Si}_2\text{O}_7(\text{OH})_2 \cdot 3\text{H}_2\text{O}$
Genthelvite	$\text{Zn}_4\text{Be}_3\text{Si}_3\text{O}_{12} \cdot \text{S}$
Gugiaite	$\text{Ca}_2\text{BeSi}_2\text{O}_7$
Hambergerite	$\text{Be}_2(\text{BO}_3)(\text{OH})$
Harstigite	$(\text{Ca}, \text{Mn}, \text{Mg})\text{Be}_4\text{Si}_6(\text{O}, \text{OH}, \text{F})_{23-24}$
Helvite	$\text{Mn}_4\text{Be}_3\text{Si}_3\text{O}_{12} \cdot \text{S}$
Herderite	$\text{CaBePO}_4(\text{F}, \text{OH})$
Hsianghualite	$\text{Li}_2\text{Ca}_4\text{Be}_3(\text{SiO}_4)_3\text{F}_2$
Hurlbutite	$\text{CaBe}_2(\text{PO}_4)_2$
Karpinskyite	$\text{Na}_2(\text{Be}, \text{Zn}, \text{Mg})\text{Al}_2\text{Si}_6\text{O}_{16}(\text{OH})_2$
Leucophanite	$(\text{CaNa})_2\text{Be}(\text{Si}, \text{Al})_2(\text{O}, \text{F}, \text{OH})_7$
Meliphyanite	$(\text{Ca}, \text{Na})_2\text{Be}(\text{Si}, \text{Al})_2(\text{O}, \text{F}, \text{OH})_7$
Milarite	$\text{KC}_{22}(\text{Be}_2\text{Al})(\text{Si}_{12}\text{O}_{30}) \cdot 1/2\text{H}_2\text{O}$
Moraesite	$\text{Be}_2(\text{PO}_4)(\text{OH}) \cdot 4\text{H}_2\text{O}$
Phenakite	Be_2SiO_4
Rhodizite	$\text{NaKLi}_4\text{Al}_1\text{Be}_3\text{B}_{10}\text{O}_{27}$
Roscherite	$(\text{Ca}, \text{Mn}, \text{Fe})_3\text{Be}_3(\text{PO}_4)_3(\text{OH})_3 \cdot 2\text{H}_2\text{O}$
Sphobertrandite	$\text{Be}_5(\text{Si}_2\text{O}_7)(\text{OH})_4$
Swedenborgite	$\text{NaBe}_4\text{SbO}_7$
Taaffeite	$(\text{Be}, \text{Mg}) (\text{Al}, \text{Fe})_2\text{O}_4$
Tengerite	$(\text{Y}, \text{Ce})\text{BeCO}_3(\text{OH})_3$
Trimerite	$\text{Ca}(\text{Mn}, \text{Fe}, \text{Mg})_2(\text{BeSiO}_4)_3$
Väyrynenite	$(\text{Mn}, \text{Fe})\text{BePO}_4(\text{OH})$

جدول ۳-۳: کانیهای مختلف بریلیم دار (ودپل، ۱۹۶۹).



Beryllium

4-D-8

Table 4-D-11. *Beryllium in minerals of nepheline syenite pegmatites* (GOLDSCHMIDT, 1958)

Mineral	Locality	Beryllium in ppm
4 samples of nepheline	Langesundsfjord	120—240 (S)
2 samples of soda-microcline	Langesundsfjord	12 (S)
Aegirine	Langesundsfjord	400 (S)
Barkevikite	Langesundsfjord	220 (S)
Lepidomelane	Langesundsfjord	24 (S)
Nepheline	Chibina Tundra	40 (S)
Arfvedsonite	Kangerdluarsuk, Greenland	24 (S)

Table 4-D-12. *Beryllium in minerals of alkalic pegmatites. Names with superscript c are cited from BEUS (1966)*

Mineral	Locality and reference	Beryllium in ppm
Potassic feldspar	M. Punkaruaiv, SHILIN (1957)	11—83 (C)
Potassic feldspar	Khibiny, Tikhonenkov ^c	1—5 (S)
Potassium-sodium feldspar	Khibiny, SHILIN (1957)	1.4 (C)
Nepheline	Khibiny, Tikhonenkov ^c	10—30 (S)
Nepheline	Lovozero, Kuz'menko ^c	10—30 (S)
Sodalite	M. Punkaruaiv, SHILIN (1957)	11—83 (C)
Analcime	Khibiny, SHILIN (1957)	32 (C)
Lepidomelane	Knivchorr, SHILIN (1957)	50 (C)
Lepidolite	Nepkhe, Karnasurt, (SHILIN, 1957)	280—860 (C)
Hornblende	SHILIN (1957)	50 (C)
Arfvedsonite	Tikhonenkov*, Khibiny	30 (S)
Aegirine	Khibiny, SHILIN (1957)	79—500 (C)
Green aegirine	Khibiny, Tikhonenkov ^c	10—20 (S)
Aegirine	Lovozero, Gerasimovskiy and others (1965)	7.9 (S)
Eudialyte	Khibiny, SHILIN (1957)	1.4—5.0 (C)
Sphene	Lovozero, Gerasimovskiy and others (1965)	4.0 (S)
Apatite	Lovozero, SHILIN (1957)	5.0 (C)

The Russian scientists investigated pegmatite dikes from the Chibina and Lovozero tundras, related to lujavrites, chibinates, foyaites, and similar rock types.

As shown in Table 4-D-12, beryllium is irregularly distributed among minerals of these rocks. From Table 4-D-12 one may conclude that beryllium is more abundant in lepidolite, hornblende, and aegirine than in other minerals. With the exception of nepheline the values of SHILIN and TSAREVA (1957) and BEUS (1966) correspond to those reported by GOLDSCHMIDT (1958).

VII. Beryllium minerals

Table 4-D-13. *List of beryllium minerals* (Ross, 1964)

Aminosite	$\text{Ca}_2(\text{Be}, \text{Al})\text{Si}_2\text{O}_6(\text{OH})_2$
Bazylite	$\text{Ba}\text{Be}_2\text{Si}_2\text{O}_7$
Bavenite	$\text{Ca}_4(\text{Be}, \text{Al})_4(\text{Si}, \text{Al})_9\text{O}_{20}(\text{OH})_2?$
Bazzite	$\text{R}^+(\text{Sc}, \text{Al}, \text{Fe}, \text{Mg})_2\text{Be}_3\text{Si}_6\text{O}_{18}$?
Bearsite	$\text{Be}_2(\text{AsO}_4)(\text{OH}) \cdot 4\text{H}_2\text{O}$?

ادامه جدول ۳-۳: کانیهای مختلف بربیلیم دار (ودبل، ۱۹۶۹).



۳-۱-۲-۳- کانسارهای گریزنی

معمولاً در هنگام جایگزینی توده‌های گرانیتی کم تا متوسط عمق و سرد شدن قسمتهای فوقانی آن و در نتیجه خروج مقدار زیادی گاز و محلولها از آن، شکستگیهای فراوانی ایجاد می‌گردد که در صورت تشکیل کانسار، ساخت رگه‌ای تا استوکور کی از خود نشان می‌دهند. کانیهای موجود در این قسمت شامل تورمالین، کوارتز و سریسیت می‌باشد.

۳-۱-۲-۴- کانسارهای گرمابی مرتبط با فعالیتهای آذرین درونی

در این گونه از کانسارها معمولاً دگرسانی آلیتی، فلثوریتی و فناکیتی دارای گسترش زیادی است و سنگ هم بر آن شامل گنبدهای کوارتزینیتی، آلکالی گرانیتی و گرانوئینیتی است که در داخل واحدهای کربناتی (به خصوص آهک) نفوذ می‌کند و به همراه آن دایکهای دیوریتی و میکروئینیتی نیز دیده می‌شود.

۳-۱-۲-۵- کانسارهای گرمابی مرتبط با فعالیتهای آذرین بیرونی

این کانسارها در زونهای سریسپتی-سیلیسی موجود در ریولیت، توف ریولیتی و لاواهای نزدیک استوکهای گرانیتی و... دیده می‌شوند و به طور کامل در ارتباط با گسلهای حاشیه فرورفتگیها می‌باشند.

۳-۱-۳- باریم- استراتسیم

این عناصر جزء عناصر لیتوفیل بوده و در گروه دوم جدول تناوبی قرار می‌گیرند. از لحاظ ژئوشیمیائی کاملاً " مشابه پتاسیم عمل می‌نمایند و بهمین علت در کانیهای پتاسیم‌دار وارد می‌گردند و بهنهایی نیز می‌توانند کانیهای فراوانی را تشکیل دهند، (جدولهای ۳-۴ و ۳-۵).

۳-۱-۳- کانسارهای ماگمائي

این گونه کانسارها به همراه شیلهای سیاه پیریت‌دار، چرت، توفهای آندزیتی، توفهای فلسیک و توفهای بازالتی تشکیل می‌گردند و معمولاً به وسیله فازهای گسلی کترول می‌گردند.



Table 56-D-6. Barium minerals

Mineral	Formula
<i>Oxides</i>	
Billietite	$(BaO \cdot 6UO_3) \cdot 11H_2O$
Hollandite	$Ba_2Mn_8O_{16}$
Pandaite	$(Ba, Sr, Ca)(Nb, Ti, Ta)_2O_6 \cdot H_2O$
Priderite	$(K, Ba, Ti, Fe)_6O_{16}$
Psilomelane	$(Ba, H_2O)Mn_5O_{10}$
Rijkeboerite	$Ba_{1-x}(Ta, Nb)_2O_5(H_2O)$
Todorokite	$(Mn, Mg, Ca, Ba, Na, K)_2Mn_5O_{12} \cdot 3H_2O$
<i>Carbonates</i>	
Alstonite (Ba-aragonite)	$BaCa[CO_3]_2$
Barytocalcite	$BaCa[CO_3]_2$
Benstonite	$(Ca, Mg, Mn)_2(Ba, Sr)_4[CO_3]_{13}$
Burbankite	$(Na, Ca, Sr, Ba, Ce)_6[CO_3]_5$
Carbocernnaite	$(Ca, RE, Na, Sr, Ba)[CO_3]$
Ewaldite	$Ba(Ca, RE, Na, K, Sr, U, \square)[CO_3]_2$
Huanghoite	$BaCe[CO_3]_2F$
Kordylite	$Ba(Ce, La, Nd)_2F_2/[CO_3]_3$
Mckelveyite	$Na_2Ba_4CaY_2[CO_3]_2 \cdot H_2O$
Norsethite	$BaMg[CO_3]_2$
Stenonite	$(Sr, Ba, Na)_2Al[CO_3]F$
Witherite	$BaCO_3$
<i>Nitrate</i>	
Nitrobarite	$Ba[NO_3]_2$
<i>Sulfate^a</i>	
Barite	$BaSO_4$
<i>Selenite</i>	
Guilleminite	$Ba(UO_2)_3[SeO_3]_2(OH)_4 \cdot 3H_2O$
<i>Phosphates, Arsenates, Vanadates</i>	
Babefphite	$Be_5Ba_4[PO_4]_4O \cdot 0.35H_2O$
Bergenite ^b	$Ba(UO_2)_4[PO_4]_2(OH)_4 \cdot 8H_2O$
Dussertite	$BaFe^{3+}_3H[AsO_4]_2(OH)_6$
Ferrazite ^c	$(Pb, Ba)_3[PO_4]_2 \cdot 8H_2O$
Francevillite	$(Ba, Pb)(UO_2)_2[VO_4]_2 \cdot 8H_2O$
Gamagirite	$Ba_4(Fe, Mn)_2U_4O_{12}(OH)_2$
Gorceixite	$BaAl_3(OH)_6[PO_4]_2 \cdot H_2O$
Heinrichite	$Ba(UO_2)_2[AsO_4]_2 \cdot 10H_2O$
Metaankoleite	$(K, Ba)(UO_2)_2[PO_4]_2 \cdot 6H_2O$
Metaheinrichite	$Ba(UO_2)_2[AsO_4]_2 \cdot 8H_2O$
Metauranocircite I	$Ba(UO_2)_2[PO_4]_2 \cdot 8H_2O$
Metauranocircite II	$Ba(UO_2)_2[PO_4]_2 \cdot 6H_2O$
Strontiumapatite ^b	$(Sr, Ba)_6(Ca, RE, Mg, Na)_4[PO_4]_6(F, OH)_2$
Uranocircite I	$Ba(UO_2)_2[PO_4]_2 \cdot 12H_2O$
Uranocircite II	$Ba(UO_2)_2[PO_4]_2 \cdot 10H_2O$
Vesignietite	$BaCu_3[VO_4]_2(OH)_2$
Weilerite ^d	$BaAl_3H_{0-1}[AsO_4, SO_4]_2(OH)_{7-6}$

جدول ۴-۳: کانیهای مختلف باریم دار (ودپل، ۱۹۶۹).



Table 56-D-6. (Continued)

Mineral	Formula
<i>Nesosilicates</i>	
Bariumuranophane Garrelsite	$\text{BaH}[\text{UO}_2/\text{SiO}_4]_2 \cdot 5\text{H}_2\text{O}$ $(\text{Ba}, \text{Ca})_4\text{H}_6\text{Si}_2\text{B}_6\text{O}_{20}$
<i>Sorosilicates</i>	
Bafertisite	$\text{BaFe}_2\text{TiSi}_2\text{O}_9$
Barylite	$\text{BaBe}_3\text{Si}_2\text{O}_7$
Hyalotektite	$(\text{Pb}, \text{Ca}, \text{Ba})_2\text{B}[\text{Si}_4\text{O}_{17}] (\text{F}, \text{OH})$
Innelite	$\text{Ba}_2(\text{Na}, \text{K}, \text{Mn}, \text{Ti})_2\text{Ti}(\text{O}, \text{OH}, \text{F})_2[(\text{S}, \text{Si})\text{O}_4/\text{Si}_2\text{O}_7]$
Labuntsovite	$(\text{K}, \text{Ba}, \text{Na})(\text{Ti}, \text{Nb})(\text{Si}, \text{Al})_2(\text{O}, \text{OH})_7 \cdot \text{H}_2\text{O}$
Nenandkevichite	$(\text{Na}, \text{K}, \text{Ca}, \text{Ba})(\text{Nb}, \text{Ti})[\text{Si}_2\text{O}_7] \cdot 2\text{H}_2\text{O}$
Shcherbakovite	$(\text{K}, \text{Na}, \text{Ba})_3(\text{Ti}, \text{Nb})_2[\text{Si}_2\text{O}_7]_2$
Yoshimuraite	$(\text{Ba}, \text{Sr})_2(\text{Mn}, \text{Fe}, \text{Mg})_2(\text{Ti}, \text{Fe})(\text{OH}, \text{Cl})_2[(\text{S}, \text{P}, \text{Si})\text{O}_4/\text{Si}_2\text{O}_7]$
<i>Ring silicates</i>	
Armenite	$\text{BaCa}_2\text{Al}_6\text{Si}_8\text{O}_{28} \cdot 2\text{H}_2\text{O}$
Baotite	$\text{Ba}_4(\text{Ti}, \text{Nb})_6\text{Si}_4\text{O}_{28}\text{Cl}$
Benitoite	$\text{BaTiSi}_3\text{O}_9$
Cappelenite	$(\text{Ba}, \text{Ca}, \text{Ce}, \text{Na})_3(\text{Y}, \text{Ce}, \text{La})_6[\text{BO}_3]_6[\text{Si}_3\text{O}_9]$
Muirite	$\text{Ba}_{10}\text{Ca}_2\text{MnTiSi}_{10}\text{O}_{30}(\text{OH}, \text{Cl}, \text{F})_{10}$
Papstite	$\text{Ba}(\text{Sn}, \text{Ti})\text{Si}_3\text{O}_9$
Taramellite	$\text{Ba}_2(\text{Fe}^{3+}, \text{Ti}, \text{Fe}^{2+})_2(\text{OH})_2[\text{Si}_4\text{O}_{12}]$
Traskite	$\text{Ba}_9\text{Fe}_2\text{Ti}_5\text{Si}_{12}\text{O}_{36}(\text{OH}, \text{Cl}, \text{F})_6 \cdot 6\text{H}_2\text{O}$
Verplanckite	$\text{Ba}_2(\text{Mn}, \text{Fe}, \text{Ti})\text{Si}_2\text{O}_6(\text{O}, \text{OH}, \text{Cl}, \text{F})_2 \cdot 3\text{H}_2\text{O}$
<i>Chain silicates</i>	
Batisite	$\text{Na}_2\text{BaTi}_2[\text{Si}_2\text{O}_7]_2$
Krauskopfite	$\text{BaSi}_2\text{O}_5 \cdot 3\text{H}_2\text{O}$
Walstromite	$\text{BaCa}_2\text{Si}_3\text{O}_9$
<i>Sheet silicates</i>	
Anandite	$(\text{Ba}, \text{K})(\text{Fe}, \text{Mg})_3(\text{Si}, \text{Al}, \text{Fe})_4\text{O}_{10}(\text{O}, \text{OH})_2$
Barium-phlogopite	$(\text{K}, \text{Ba})\text{Mg}_3(\text{F}, \text{OH})_2[\text{AlSi}_3\text{O}_{10}]$
Barium-vanadium-muscovite	$(\text{K}, \text{Na}, \text{Ba})(\text{Al}, \text{Ti}, \text{V}, \text{Mg})_2(\text{OH})_2[\text{AlSi}_3\text{O}_{10}]$
Gillespite	$\text{BaFe}[\text{Si}_4\text{O}_{10}]$
Oellacherite	$(\text{K}, \text{Ba})(\text{Al}, \text{Mg})_2(\text{OH}, \text{F})_2[\text{AlSi}_3\text{O}_{10}]$
Sanbornite	$\text{Ba}_2[\text{Si}_4\text{O}_{10}]$
<i>Tectosilicates (without zeolites)</i>	
Banalsite	$\text{BaNa}_2[\text{Al}_2\text{Si}_2\text{O}_6]$
Celsian	$\text{Ba}[\text{Al}_2\text{Si}_2\text{O}_6]$
Paracelsian	$\text{Ba}[\text{Al}_2\text{Si}_2\text{O}_6]$
Bariunalbite	solid solution Ab-Or-Ce
Bariumplagioclase	solid solution Ab-An-Ce
Calciocelsian	solid solution Ce-An
Hyalophane	solid solution Or-Ce
Bariumsanidine	solid solution
Cymrite	$\text{BaAlSi}_3\text{O}_8(\text{OH})$
Wenkite	$(\text{Ba}, \text{Ca})_9[\text{SO}_4]_2\text{Al}_9\text{Si}_{12}\text{O}_{42}(\text{OH})_6$

ادامه جدول ۳-۴: کانیهای مختلف باریم دار (ودپل، ۱۹۶۹).



56-D-18

Barium

Table 56-D-6. (Continued)

Mineral	Formula
<i>Zeolites</i>	
Barium heulandite	$(\text{Ca}, \text{Ba})[\text{Al}_2\text{Si}_3\text{O}_{18}] \cdot 6\text{H}_2\text{O}$
Brewsterite	$(\text{Sr}, \text{Ba}, \text{Ca})_2 \text{Al}_4\text{Si}_{12}\text{O}_{32} \cdot 10\text{H}_2\text{O}$
Edingtonite	$\text{Ba Al}_2\text{Si}_3\text{O}_{10} \cdot 3\text{H}_2\text{O}$
Harmotome	$\text{Ba}_2 \text{Al}_4\text{Si}_{12}\text{O}_{32} \cdot 12\text{H}_2\text{O}$
Wellsite	solid solution phillipsite-harmotome
<i>Unclassified silicates</i>	
Fresnoite	$\text{Ba}_2\text{TiSi}_2\text{O}_8$
Joaquinite	$\text{NaBa}(\text{Ti}, \text{Fe})_2\text{Si}_4\text{O}_{15}$
Leukosphenite	$\text{BaNa}_4(\text{TiO})_2[\text{Si}_4\text{O}_{15}]_5$
Macdonaldite	$\text{BaCa}_4\text{Si}_{15}\text{O}_{35} \cdot 11\text{H}_2\text{O}$
Tienshanite	$\text{Na}_2\text{BaMnTiB}_2\text{Si}_6\text{O}_{20}$

Calciobarite (Ca), Baritocelestite, Celestobarite (Sr), Baritoanglesite, Anglesobarite, Hokutolite, Weisbachite (Pb), Radiobarite (Ra). Reviews on composition, occurrence, and crystallographic and physical properties are given by DANA (1951), HINTZE (1930, 1938, 1960). X-ray evidence for the existence of a barite-celestite isomorphous series has been obtained by SABINE and YOUNG (1954).

BOSTRÖM *et al.* (1968) studied subsolidus phase relations and lattice constants in the system $\text{BaSO}_4\text{-SrSO}_4\text{-PbSO}_4$.

^a Barite forms more or less continuously, solid solutions with Ca, Sr, Ra, and Pb sulfates. In keeping with respective compositions, different names are used for the members of the series:

^b No decisive vote of the IMA new mineral commission.

^c Doubtful mineral species.

^d Not yet approved by IMA new mineral commission.

ادامه جدول ۴-۳: کانیهای مختلف باریم دار (ودپل، ۱۹۶۹).



Strontium

38-D-2

Table 38-D-1. Strontium minerals

Halides

Tikhonenkovite	$\text{SrAlF}_4(\text{OH}) \cdot \text{H}_2\text{O}$
Jarlite	$\text{NaSr}_3\text{Al}_3\text{F}_{10}$

Oxide

Pandaite	$(\text{Ba}, \text{Sr})_2(\text{Nb}, \text{Ti})_2[\text{O}, \text{OH}]_7$
----------	---

Carbonates

Strontianite	$\text{Sr}[\text{CO}_3]$
Carbocernaite	$(\text{Na}, \text{Ca}, \text{Sr}, \text{Ce})[\text{CO}_3]$
Burbankite	$(\text{Na}, \text{Ca}, \text{Sr}, \text{Ba}, \text{Ce})_6[\text{CO}_3]_5$
Ambatoarinite	$\text{Sr}(\text{Ce}, \text{La}, \text{Nd})\text{O}[\text{CO}_3]_3 (?)$
Stenonite	$\text{Sr}_2\text{Al}[\text{CO}_3]\text{F}_5$
Benstonite	$\text{MgCa}_6(\text{Ba}, \text{Sr})_6[\text{CO}_3]_{12}$
Ancylite	$(\text{Ce}, \text{La})_4(\text{Sr}, \text{Ca})_3[\text{CO}_3]_7(\text{OH})_4 \cdot 3\text{H}_2\text{O}$
Weloganite	$\text{Sr}_5\text{Zr}_2[\text{CO}_3]_9 \cdot 4\text{H}_2\text{O}$

Borates

Tunellite	$\text{Sr}[\text{B}_6\text{O}_{10}] \cdot 4\text{H}_2\text{O}$
Kurgantaite	$(\text{Sr}, \text{Ca})_2[\text{B}_4\text{O}_8] \cdot \text{H}_2\text{O}$
Veatchite	$\text{Sr}_2[\text{B}_{11}\text{O}_{16}] (\text{OH})_5 \cdot \text{H}_2\text{O}$ (monocl.: Aa)
p-Veatchite	$(\text{Sr}, \text{Ca})_2[\text{B}_{11}\text{O}_{16}] (\text{OH})_5 \cdot \text{H}_2\text{O}$ (monocl.: P2 ₁ /m)
Strontioginorite	$(\text{Sr}, \text{Ca})_2[\text{B}_{14}\text{O}_{23}] \cdot 8\text{H}_2\text{O}$
Strontiohilgardite	$(\text{Sr}, \text{Ca})_2[\text{B}_5\text{O}_8](\text{OH})_2\text{Cl}$
Strontioborite	$(\text{Sr}, \text{Ca})_4\text{Mg}_2[\text{B}_{24}\text{O}_{12}] \cdot 9\text{H}_2\text{O} (?)$

Sulfates, phosphates, arsenates and vanadates

Celestite	$\text{Sr}[\text{SO}_4]$
Kalistrontite	$\text{K}_2\text{Sr}[\text{SO}_4]_2$
Svanbergite	$\text{SrAl}_3[\text{SO}_4][\text{PO}_4](\text{OH})_6$
Strontium-apatite	$(\text{Sr}, \text{Ca})_5[\text{PO}_4]_3(\text{OH}, \text{F})$
Böggildite	$\text{Na}_2\text{Sr}_2\text{Al}_2[\text{PO}_4]\text{F}_9$
Palermoite	$(\text{Li}, \text{Na})_2(\text{Sr}, \text{Ca})\text{Al}_4[\text{PO}_4]_4(\text{OH})_4$
Goyazite	$\text{SrAl}_3[\text{PO}_4]_2(\text{OH})_5 \cdot \text{H}_2\text{O}$
Lusungite	$(\text{Sr}, \text{Pb})\text{Fe}_3[\text{PO}_4]_2(\text{OH})_5 \cdot \text{H}_2\text{O}$
Belovite	$(\text{Sr}, \text{Ce}, \text{Na}, \text{Ca})_5[\text{PO}_4]_3(\text{OH})$
Fernorite	$(\text{Ca}, \text{Sr})_5[(\text{As}, \text{P})\text{O}_4]_3(\text{F}, \text{OH})$
Delrioite	$\text{CaSr}[\text{V}_2\text{O}_6](\text{OH})_2 \cdot 2\text{H}_2\text{O}$
Santafeite	$\text{Na}_2(\text{Mn}, \text{Ca}, \text{Sr})_6\text{Mn}_3[(\text{V}, \text{As})_6\text{O}_{25}] \cdot 8\text{H}_2\text{O}$

Silicates

Lamphrophyllite	$\text{Na}_2(\text{Sr}, \text{Ba})_2\text{Ti}_3[\text{SiO}_4]_4(\text{OH}, \text{F})_2$
Nordite	$\text{Na}_3(\text{Sr}, \text{Ca})\text{Ce}(\text{Mn}, \text{Mg}, \text{Fe}, \text{Zn})_2[\text{Si}_4\text{O}_10]$
Brewsterite	$(\text{Sr}, \text{Ba}, \text{Ca})[\text{AlSi}_3\text{O}_8]_2 \cdot 5\text{H}_2\text{O}$
Haradaite	$\text{SrV}[\text{Si}_2\text{O}_7]$
Yoshimuraite	$(\text{Ba}, \text{Sr})_2\text{TiMn}_2[\text{SiO}_4]_2[\text{PO}_4, \text{SO}_4](\text{OH}, \text{Cl})$

Trends of decreasing Sr contents with decreasing anorthite contents for plagioclases from granitic rocks have been observed by SEN *et al.* (1959) and by HALL (1967). HALL pointed out that these plagioclases contain less than about 20% An, and that the rocks contain large amounts of alkali feldspar which take up some of the Sr which would otherwise go into the plagioclase.

جدول ۳-۵: کانیهای مختلف استرانتسیم (دربن، ۱۹۶۹).



۲-۳-۳- کانسارهای رسوبی

این گونه کانسارها که صفحه‌های شکل^۱ هستند، در حوضه‌های رسوبی دریایی و بهخصوص همراه آهک تشکیل می‌شوند. البته کانسارهای رسوبی سرب و روی^۲ که در نتیجه خروج گاز از کف حوضه تشکیل شده‌اند می‌توانند حاوی این عناصر باشند.

۴-۳- روبیدیم - سزیم

این دو عنصر نیز جزء عناصر لیتوفیل با شعاع یونی بزرگ می‌باشند که بیشتر در مراحل پایانی گرانیتهاي پالین‌ژنتیک حضور می‌یابند و به لحاظ ژئوشیمیائی قابل مقایسه با پتاسیم می‌باشند. از این‌رو در کانسارهای پتاسیم‌دار به‌فور یافت می‌شوند. به‌طوری که در مراحل پایانی تبلور گرانیتها و در فازهای پگماتیتی، عناصر نادر به‌همراه روبیدیم و سزیم می‌توانند وارد شبکه کانیهای مانند مسکوویت، میکروکلین، لپیدولیت، بریل و... گردند. اما اگر مقدار سزیم در گرانیت افزایش یابد در نتیجه کانی پلوسیت تشکیل خواهد شد.

۴-۳-۱- کانسارهای روبیدیم - سزیم**۴-۳-۱-۱- کانسارهای پگماتیتی**

این نوع کانسارها به‌طور مختصر در بالا تشریح گردید.

۴-۳-۲- کانسارهای دگرسانی

اگر ماگمای گرانیتی به‌داخل سنگ همیر آمفیبولی تفوذ نماید امکان تشکیل دگرسانی تورمالینی و بیوتیتی زیاد خواهد بود و در چنین حالتی سزیم در کانی بیوتیت تجمع می‌یابد.

۴-۳-۱- کانسارهای رسوبی

به‌خاطر تشابه ویژگیهای ژئوشیمیائی سزیم، روبیدیم و پتاسیم واحدهای تبخری پتاسیم‌دار می‌توانند مقدار زیادی کانیهای سزیم- روبیدیم را در خود جای دهند.

¹-Stratiform.
²-MVT. Sedex.

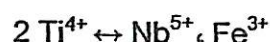
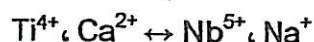


پنجم چهارم: عناصر گروه HFSE

عناصر این گروه، که همگی جزء عناصر لیتوفیل هستند، دارای نقطه ذوب بالای بوده و در برابر اسید از خود مقاومت نشان می‌دهند. مقاومت مکانیکی و شیمیایی آنها نیز بالا بوده و بهمین دلیل در قسمتهای مختلف دنیا، کانسارهای پلاسربی آن نیز معرفی شده است. این عناصر شامل نیوبیم، تانتالیم، زیرکنیم و هافنیم است که در سنگهای اسیدی تجمع بیشتری حاصل می‌کنند، (جدول ۴-۱). با توجه به ویژگیهای ژئوشیمیائی این عناصر دو زیرگروه قابل تشخیص است:

۴-۱- زیر گروه نیوبیم - تانتالیم

عناصر این گروه در برابر اسید مقاومت زیادی از خود نشان می‌دهند و در سنگهای گرانیتی (به خصوص عنصر تانتالیم)، گرانیتهای آلکالین، نفلین-سینیت و سنگهای آلکالین بازیکی و اولترابازیکی و کربناتیت حضور دارند. البته دگرسانی آلکالین نیز در تشکیل کانیهای این گروه مؤثر است. این دو عنصر، با توجه به تشابهی که از لحاظ ژئوشیمیائی با عنصر Ti از خود نشان می‌دهند، به راحتی به وسیله آن جانشین می‌گردند و یا بالعکس. به طوری که در کانیهای حاوی Ti می‌توان بیشترین تمرکز این عناصر را انتظار داشت.



با توجه به مطالعات پترولوجیکی انجام شده بر روی انواع مختلف سنگها، مشخص شده است که این عناصر تمایل شدیدی به تمرکز در مایع باقیمانده و فازهای تأخیری توده‌های نفوذی چند مرحله‌ای^۱ دارند که از تفرقی کریستالی یک مانع مگما گرانیتی پالین-ژنتیک حاصل شده است. نکته قابل توجه این است که طبیعت فلوروفیل^۲ بودن این عناصر باعث می‌گردد که قسمتی از این عناصر توسط کمپلکسهای فلوریدی خارج شده و در کانسارهای قلع (به خصوص کانسارهایی که حاوی کاسیتیریت می‌باشند) وارد گردد. آنچه مسلم است این که انکلوزیونهای بسیار ریزی را در داخل کاسیتیریت تشکیل می‌دهند.

از طرف دیگر در واحدهای کربناتی و دگرسانیهای آلکالین^۳ نیز این دو عنصر و به خصوص نیوبیم تشکیل می‌گردند، (دیر، هوی، زوسمن، ۱۹۹۱).

^۱-Polyphase.

^۲-Fluorophile.

^۳-Feldspathic Metasomatism.



Zr(n^*10p-2)	Hf(n^*10p-4)	Nb(n^*10p-3)	Ta(n^*10p-4)
پوسته (لیتوسفر)	1.3	2.6	1.9
سنگهای گرانیتی	1.8	3.9	2.1
سنگ های حد و اسد	1.4	2.8	2
سنگ هایی بازیک	1.1	2.2	1.9
سنگ های اوپلر بازیک	0.45	0.5	1.6
سنگ های شدیلی	1.6	2.8	1.1
ملدیه سنگ	2.2	3.9	n
سنگ های کربناتی	0.2	0.3	0.00n

جدول ۱-۴: فراوانی عنصرهای مختلف در سنگهای HFSE



در واحدهای سنگی گرانیتی و گنیسی با ترکیب گرانیت، نسبت Nb/Ta معمولاً بین ۱:۵ تا ۳:۱ تغییر می‌کند. از ویژگیهای این گونه سنگها، حضور مقدار بالائی از عناصر Rb , Li , F , Cs , Be , Sn و W می‌باشد. اما در زونهای دگرسانی آلکالین و آلکالی گرانیت تا ساب-آلکالین گرانیت این نسبت تغییر نموده و معمولاً بین ۱:۸ تا ۱:۱۴ متغیر است. از اینرو در این گونه سنگها عناصر RE , Th , U , Li , Be , Sn , F , Zn , REE , Th , U , Li , Be , Sn و Mo افزایش می‌یابند. اما در نفلین‌سینیتها، این نسبت بین ۱:۵۰ تا ۱:۲۰۰ تغییر می‌کند. بنابراین حضور عناصری مانند REE , Ti , Zn و Th محتمل است. در نهایت در سنگهای اگپاتیتیک^۱ این نسبت بین ۱:۱۶ تا ۱:۱۴ تغییر می‌کند و دقیقاً همانند سنگهای آلکالی گرانیت و گرانیتهای ساب-آلکالین عمل می‌کند. از طرف دیگر در سنگهای کربناتی ممکن است این نسبت ۱:۱۰۰ تا ۱:۲۵۰ تغییر نماید که موجبات تمرکز عناصر Fe , Ti , Zr , P , REE , U , Th , Sr و Ba را فراهم می‌نماید، (کلین و دیگران، ۱۹۸۵).

۱-۱-۴- کانیهای حاوی Nb - Ta

اگرچه این عناصر دارای فراوانی کمی در طبیعت می‌باشند اما قادر به تشکیل تعداد فراوانی کانی مستقل می‌باشند. لیکن کانیهای اقتصادی آن محدوده بهدو کانی کلمبیت و تانتالیت می‌باشد، (جدول ۴-۲).

۱-۱-۱-۱- کانسارهای ماگمائي

این گونه کانسارها در سنگهای نفلین‌سینیت و آلکالی گرانیت و سنگهای اگپاتیتیک تشکیل می‌گردد.

^۱ (کرومی از سنگها که حاوی فلنسپا توثید می‌باشند) - Agpaitic.



41-D-10

Niobium

Table 41-D-7 (continued)

Epistolite	$(Na,Ca)_{2-x}(Nb,Ti)_2Si_2O_{9-x}(OH)_x \cdot n(H_2O,Na_2PO_4)$
Fersmanite	$(Ca,Na)_2(Ti,Nb)(SiO_5)(F,OH)$
Baotite	$Ba_4(Ti,Nb)_8(Si_4O_{12})ClO_{16}$
Niobophyllite	$(K,Na)_2(Fe,Mn)_6(Nb,Ti)_2(Si,Al)_8(O,OH,F)_{31}$
Ilmaussite	$Na_4Ba_2CeFeNb_2Si_8O_{28} \cdot 5H_2O$

Table 41-D-8. Minerals reported to contain at certain localities 1-5 percent niobium and tantalum.
(According to PARKER and FLEISCHER, 1968)

Astrophyllite	$(K,Na)_3(Fe,Mn)_7(Ti,Zr)_2Si_8O_{24}(OH)_7$
Baddeleyite	ZrO_2
Brookite	TiO_2
Cassiterite	SnO_2
Catapleite	$(Na,Ca)ZrSi_3O_9 \cdot 2H_2O$
Chevkinite	$(Ca,Ce,Th)_4(Fe,Mg)_2(Ti,Fe)_3Si_4O_{22}$
Chlorite	$(Mg,Fe)_5Al(Al,Si)_3O_{10}(OH)_6$
Elpidite	$Na_2ZrSi_6O_{12}(OH)_6$
Eudialyte	$(Ca,Na,Ce)_5(Zr,Fe)_2Si_6(O,OH,Cl)_{20}$
Freudenbergite	$Na_2(Fe,Ti)_8O_{16}$
Hematite	Fe_2O_3
Hiortdahlite	$(Ca,Na)_2ZrSi_2O_7(O,OH,F)_2$
Ilmenite	$FeTiO_3$
Keilhaute	Yttrian sphene.
Kimzeyite	$Ca_3(Zr,Ti)_2(Al,Fe,Si)_3O_{12}$
Kupletskite	$(K,Na)_2(Mn,Fe)_2TiSi_4O_{16}(OH)_2$
Labuntsovite	$(K,Na,Ba)_2TiSi_4(O,OH)_7 \cdot H_2O$
Lävenite	$(Na,Ca)_2ZrSi_2O_7(O,OH,F)_2$
Lorenzenite	$Na_2(Ti,Zr)_2Si_2O_7$
Manganosteenstrupine	$(Ce,La,Na,Mn)_6(Si,P)_6O_{18}(OH)$
Mosandrite	$(Na,Ca,Ce)_3TiSi_2O_6(O,F)$
Perovskite	$CaTiO_3$
Rutile	TiO_2
Sphene	$CaTiSiO_5$
Thortveitite	$(Sc,Y)_2Si_2O_7$
Titanolävenite	$(Na,Ca)_2(Ti,Zr)Si_2O_7(O,OH,F)_2$
Triplite	$(Mn,Fe)_2(PO_4)F$
Tritomite	$(Ce,La,Y,Th)_5(Si,B)_3(O,OH,F)_{13}(?)$
Tundrite	$Na_3(Ce,La)_4(Ti,Nb)_2[SiO_4]_2[CO_3]_3O_4(OH) \cdot 2H_2O$
Vernadite	$MnO_3 \cdot nH_2O(?)$
Vinogradovite	$Na_3Ti_4AlSi_6O_{24} \cdot 3H_2O$
Wolframite	$(Mn,Fe)WO_4$
Yttrotitanite	Yttrian sphene
Zircon	$ZrSiO_4$
Zirkelite (zirconolite)	$(Ca,Th,Ce)Zr(Ti,Nb)_2O_7$

According to the data reported by KUKHARENKO *et al.* (1965), the Nb/Ta ratio in pyrochlore from different carbonatites of the Kola Peninsula varies between 21.8, 20.5, and 7.0 to 6.0. Baddeleyite from the same deposits has a much smaller range of Nb/Ta: 2.6 to 3.9.

جدول ۴-۲: کانیهای نیوبیم و تانتالیم دار، (ودیر، ۱۹۶۹).



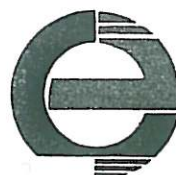
Niobium

41-D-9

Table 41-D-7 (continued)

Pyrochlore-betafite-microlite series $A_{2-x}B_xX_6$	
Pyrochlore	(Na,Ca,Ce) ₂ (Nb,Ti,Ta) ₂ (O,OH,F),
Koppite	=cerian-ferrian pyrochlore
Marignacite	(Ce,Ca,Na) ₂ (Nb,Ti,Ta) ₂ (O,OH,F),
Niobozirconolite	CaZr(Ti,Nb) ₂ O ₇
Obruchevite	(Y,U,Ca) ₂ (Nb,Ti,Ta) ₂ (O,OH,F),
Pandaite	(Ba,Sr) ₂ (Nb,Ti,Ta) ₂ (O,OH,F),
Priazovite	=uranian-yttrian pyrochlore
Scheteligit	=(Ca,Y,Sb,Mn) ₂ (Ti,Ta,Nb,W) ₂ O ₆ (O,OH)
Yttrobetafite	=intermediate between obruchevite and pyrochlore
Yttrohatchettolite	(Ca,Y,U) ₂ (Nb,Ta,Ti) ₂ (O,OH,F),
Betafite	(U,Ca) ₂ (Nb,Ti,Ta) ₂ (O,OH,F),
Hatchettolite	(Ca,U) ₂ (Nb,Ti,Ta) ₂ (O,OH,F),
Rare-earth betafite	(RE,U,Ca) ₂ (Nb,Ti,Ta) ₂ (O,OH,F),
Samiresite	(U,Pb) ₂ (Nb,Ti,Ta) ₂ (O,OH,F),
Titanobetafite	(U,Ca) ₂ (Ti,Nb,Ta) ₂ (O,OH,F),
Zirconium betaafite	(U,Ca) ₂ (Ti,Nb,Zr) ₂ (O,OH,F),
Microlite	(Ca,Na) ₂ (Ta,Nb,Ti) ₂ (O,OH,F),
Bismutomicrolite	=bismuthian microlite
Djalmaite	=microlite
Plumbomicrolite	(Pb,Ca)(Ta,Nb) ₂ (O,OH,F),
Rijkeboerite	(Ba,Fe,Pb,U)(Ta,Nb,Ti,Sn) ₂ (O,OH,H ₂ O),
Westgrenite	(Bi,Ca)(Ta,Nb) ₂ O ₆ (OH)
Sukulaita	Sn ₂ Ta ₂ O ₇
Samarskite series AB_2X_6	
Samarskite	(Y,Fe,U)(Nb,Ti,Ta) ₂ (O,OH) ₆
Calciosamarskite	=calcian samarskite
Vietinghofite	(Fe,U,Y)(Nb,Ti,Ta) ₂ O ₆
Khlopinite	(Fe,Y,U) ₂ (Ti,Nb,Ta) ₂ O ₆
Ishikawaite	(U,Fe,Y)(Nb,Ta,Ti) ₂ O ₆
Plumboniobite	(Ca,Pb,Fe,Y,U)Nb ₂ O ₆
Yttrotantalite	(Y,Fe)(Nb,Ta)O ₄ (approximately)
Hjelmite	=doubtful Mn-Ca yttrotantalite
Other tantaloniobates	
Thoreaulite	Sn(Ta,Nb) ₂ O ₇
Pisekite	=complex multiple oxide
Belyankinite	Ca(Ti,Zr,Sn,Nb) ₆ O ₁₂ ·14H ₂ O
Gerasimovskite	(Mn,Ca) ₂ (Nb,Ti) ₅ O ₁₂ ·9H ₂ O
Simpsonite	Al ₄ (Ta,Nb) ₆ (O,OH,F) ₁₄
Rankamaite	(Na,K,Pb,Li) _{5,80} (Ta,Nb,Al) _{22,10} (O,OH) ₆₀
Borate	
Bchierite	(Ta,Nb)BO ₄
Silicates	
Nenadkevichite	(Na,Ca)(Nb,Ti)(Si ₂ O ₇)·2H ₂ O
Niobolabuntsovite	(Ca,Ba)(Ti,Nb)(Si ₂ O ₇)·2H ₂ O
Shcherbakovite	(K,Na,Ba) ₃ (Ti,Nb) ₂ (Si ₂ O ₇) ₂
Wöhlerite	NaCa ₂ (Zr,Nb)(Si ₂ O ₇)(O,F)
Karnasurtite	(Ce,La,Th)(Al,Fe)(Ti,Nb)(SiP) ₂ O ₇ (OH) ₄ ·3H ₂ O
Niocalite	Ca ₄ NbSi ₂ O ₁₀ (OH,F)
Lomonosovite	Na ₂ (Ti,Nb) ₂ Si ₂ O ₉ ·Na ₃ PO ₄
Beta-lomonosovite	=hydrous variety of lomonosovite
Murmanite	Na ₂ (Ti,Nb) ₂ Si ₂ O ₉ ·nH ₂ O
Betamurmanite	=weathered beta lomonosovite

ادامه جدول ۲-۴: کانیهای نیوبیم و تانتالیم دار (ودپل، ۱۹۶۹).



41-D-8

Niobium

Table 41-D-7. Minerals of niobium and tantalum (Mainly according to PARKER and FLEISCHER, 1968, but supplemented)

Oxides, hydroxides

- Ilmenorutile-strüverite series, BX_2 , B_2X_4
 Ilmenorutile $(Ti,Nb,Ta,Fe)_2O_4$
 Strüverite $(Ti,Ta,Nb,Fe)_2O_4$
 Tapiolite-mossite series, AB_2X_6
 Tapiolite $(Fe,Mn)(Ta,Nb)_2O_6$
 Mossite $(Fe,Mn)(Nb,Ta)_2O_6$
 Perovskite series ABX_3
 Dysanalyte $(Ca,Ce,Na)(Ti,Nb,Ta)O_3$
 Latrappite $(Ca,Na)(Nb,Ti,Fe)O_3$
 Loparite $(Na,Ce,Ca)(Ti,Nb)O_3$
 Metaloparite=hydrated loparite
 Nioboloparite=niobian loparite
 Irinite =thorian loparite |
 Lueshite $NaNbO_3$
 Igdrolite $NaNbO_3$
 Natroniobite $NaNbO_3$ or $NaNb_2O_5OH$
 Fergusonite-formanite series ABX_4
 Fergusonite $(Y,Er,Ce,Fe)(Nb,Ta,Ti)O_4$
 Risörite $(Y,Er,Ce,Fe)(Nb,Ti,Ta)O_4$
 Beta-fergusonite=polymorph of fergusonite
 Formanite $(Y,Er,U,Th,Ca)(Ta,Nb,Ti)O_4$
 Stibiotantalite-stibiocolumbite series, ABX_4
 Stibiotantalite $Sb(Ta,Nb)O_4$
 Stibiobismutotantalite=bismuthian stibiotantalite
 Stibiocolumbite $Sb(Nb,Ta)O_4$
 Bismutotantalite $Bi(Ta,Nb)O_4$
 Columbite-tantalite series, AB_2X_6
 Columbite $(Fe,Mn)(Nb,Ta)_2O_6$
 Ferrocolumbite $(Fe,Mn)(Nb,Ta)_2O_6$
 Manganocolumbite $(Mn,Fe)(Nb,Ta)_2O_6$
 Magnocolumbite $(Mg,Fe)(Nb,Ta)_2O_6$
 Tantalite $(Fe,Mn)(Ta,Nb)_2O_6$
 Ferrotantalite $(Fe,Mn)(Ta,Nb)_2O_6$
 Manganotantalite $(Mn,Fe)(Ta,Nb)_2O_6$
 Ixiolite $(Ta,Fe,Sn,Nb,Mn)_4O_8$
 Pseudo-ixiolite $(Ta,Nb,Mn,Fe,Sn,Ti)_2O_4$
 Wodginite $(Ta,Sn,Mn,Nb,Fe,Ti)_{16}O_{32}$
 Olovotantalite=Sn-Mn tantalate=wodginite?
 Euxenite-polycrase series, AB_2X_6
 Euxenite $(Y,Ca,Ce,U,Th)(Nb,Ti,Ta)_2O_6$
 Tanteuxenite $(Y,Ca,Ce,U,Th)(Ta,Ti,Nb)_2O_6$
 Polycrase $(Y,Ca,Ce,U,Th)(Ti,Nb,Ta)_2O_6$
 Tantpolycrase $(Y,Ca,Ce,U,Th)(Ti,Ta,Nb)_2O_6$
 Kobeite $(Y,Fe,U)(Ti,Nb,Ta)_2(O,OH)_6$
 Fersmite $(Ca,Ce)(Nb,Ti)_2(O,F)_6$
 Aeschynite-priorite series, AB_2X_6
 Aeschynite $(Ce,Ca,Fe,Th)(Ti,Nb)_2O_6$
 Sinicite $(Ce,Nd,Th,U)(Ti,Nb)_2O_6$
 Niobo-aeschynite $(Ce,Ca,Th)(Nb,Ti)_2O_6$
 Lyndochite=niobian-thorian aeschynite(?)
 Polymignyte $(Ca,Fe,Ce)(Zr,Ti,Nb,Ta)_2O_6$
 Priorite $(Y,Er,Ca,U,Th)(Ti,Nb)_2O_6$

ادامه جدول ۲-۴: کانیهای نیوبیم و قاتالیم دار (ودبل، ۱۹۶۹)



۴-۱-۲- کانسارهای پگماتیتی

این کانسارها در نتیجه تبلور یک محلول باقیمانده از ماقمای گرانیتی حاصل می‌شوند و دارای ترکیب اسپودومن دار و یا پلوسیت دار می‌باشند.

۴-۱-۳- کانسارهای آلبیتی

این کانسارها، که بیشتر در مناطق چین‌خورده ایجاد می‌شود، دارای مقادیر بالائی آلبیت و میکروکلین می‌باشند و همراه گرانیتها دیده می‌شوند. در این گونه کانسارها کوارتز حاوی ذراتی از آلبیت، لپدولیت، کاسیتیریت، کلمیت، تانتالیت، میکرولیت، ولفرامیت و اسفالریت می‌باشد. گاهی می‌توان رگه‌هایی با ترکیب کوارتز و آمازونیت را نیز در این سنگها ملاحظه نمود. حال اگر چنین گرانیتی در داخل توده‌های ماسه سنگی و شیلی نفوذ نماید در نتیجه نوعی گریزن زینوالدیت دار تشکیل می‌گردد. اما نفوذ آن در آهک باعث تشکیل زون اسکارنی با ترکیب کانیهای فلئوریت دار می‌شود که در نتیجه کانیهای بریلیم دار نیز ایجاد خواهد شد.

۴-۱-۴- کانسارهای دگرسانی فلدسپاتی

محل تقاطع گسلها، گسلهای عمیق و سنگهای دگرگونی پیشروتده به راحتی دگرسانی آلبیتی شدن، فلدسپاتی شدن و سیلیسی شدن را تحمل می‌کنند. در چنین شرایطی سنگهای کوارتز سینیتی، سینیت و آلكالی گرانیت نیز می‌توانند دگرسان گردند. البته بیویت موجود در گرانیت و گنیس بهربیکیت و ارفدسوئیت و نهایتاً اژرین تبدیل خواهد شد.

۴-۱-۵- کانسارهای کربناتیتی

- یکی دیگر از سنگهایی که حاوی این عناصر است کربناتیت می‌باشد که به صورتهای زیر دیده می‌شود.
- کربناتیتهای دایره‌ای و حلقوی که معمولاً در بالای نقاط داغ داخل قاره‌ها تشکیل می‌شوند.
 - کربناتیتهای خطی که معمولاً در امتداد گسلهای خیلی عمیق دیده می‌شوند.
 - کانسارهای هوازده و پلاسر حاصل از هوازدگی کربناتیتهای خطی و حلقوی.

۴-۱-۶- کانسارهای هوازده و پلاسر

در صورتی که کانسارهای ذکر شده در بالا تحت تأثیر هوازدگی مکانیکی قرار گیرند، به علت مقاومت مکانیکی کانیهای نیوبیم و تانتالیم، به راحتی حذف نمی‌شوند و در شرایط مناسب می‌توانند تجمع یابند و کانسارهای پلاسری را به وجود آورند.



۴-۲-۴- زیرگروه زیرکنیم - هافنیم

هافنیم به عنوان عنصر ایزومورف زیرکنیم شناخته می‌گردد و به همراه یکدیگر تعامل شدیدی به تمرکز در سنگهای آلکالین از خود نشان می‌دهند. به همین علت تمرکز آنها در گرانیتها معمولاً^۲ برابر دیگر سنگها است.

۴-۲-۴- کانیهای زیرکنیم - هافنیم

این دو عنصر بیشتر کانیهایی از نوع اکسیدی و سیلیکاتی تشکیل می‌دهند، اما با این حال کانی اقتصادی آن منحصر به زیرکن می‌شود، (جدول ۴-۳).

۴-۱-۲-۴- کانسارهای ماغمائي

عناصر فوق در هنگام تفرقی کریستالی، تعامل به تجمع در محصولات انتهائی تبلور را دارند. البته مقدار Zr به طور شدیدی به نسبت $K_2O + Na_2O / Al_2O_3$ بستگی دارد. اگر نسبت O در یک سنگ بالا باشد در نتیجه مقدار Zr نیز افزایش می‌یابد. بالطبع عنصر Hf، که ارتباط ژنتیکی نزدیکی با Zr دارد، نیز افزایش خواهد یافت. به عبارت دیگر آلکالینیتی و اسیدیتی محیط تشکیل کانسار در مقیار Zr و Hf مؤثر است.

۴-۱-۲-۴- کانسارهای رسوبی

کانیهای حاوی Zr و Hf جزء مقاومترین کانیها در برایر هوازدگی مکانیکی و شیمیایی می‌باشند. در نتیجه، در صورت مساعد بودن شرایط هوازدگی سنگ همیر و انتقال مناسب مواد هوازده، می‌توانند تجمع حاصل نموده و پلاسرهای Zr را ایجاد کنند.



40-D-8

Zirconium

DRETRICH (1968) on synthetic quartz-albite-orthoclase rich gels spiked with ZrO_2 shows that the addition of small amounts of $Na_2Si_2O_5$ or NaF to the mixtures suppressed, in part or completely, the crystallization of zircon in short-term runs.

Synthetic zirconium and titanium garnets have been made by ITO and FRONDEL (1967) who have demonstrated nearly complete solid solubility at $1,050^\circ C$ in the system $Ca_3Fe_2Si_3O_{12}$ (andradite)— $Ca_3Zr_2Fe_2SiO_{12}$ (kimzeyite)— $Ca_3Ti_2Fe_2SiO_{12}$ (schorlomite).

Further data relating to the phase equilibria between zirconium and other elements (or oxides) may be obtained in the useful compilation provided by LEVIN *et al.* (1964); specifically $Zr-O$ (Fig. 25), $ZrO_2-Nb_2O_5$ and $ZrO_2-Ta_2O_5$ (Figs. 373 and 374) and TiO_2-ZrO_2 (Figs. 369 and 370).

III. Zirconium Minerals

The compilation of zirconium minerals, given in Table 40-D-2, shows that most occur as oxides and silicates. Zirconium oxides are usually found in nepheline syenites and in carbonatites of alkali-rich ultramafic massifs, where they are formed by the reaction of the ultramafic rock with carbonate solutions in a silica deficient medium (VLASOV, 1966). Amongst the silicates, the commonest mineral zircon is found in nearly all rock classes. Data for 40 minor elements in zircons have been compiled by GÖRZ (1974) who notes that some of these may occur in minerals included within the zircons. With respect to Nb, Hf, Th, U, Ti, Y, REE and Al, he indicates that it is possible to recognize characteristic ranges of concentration for zircons of different origin. The other zirconium silicates, as previously discussed, occur mainly in alkali-rich and agpaitic rocks and are not normally found in rocks which contain zircon. The most famous example is perhaps the Lovozero alkali massif in the U. S. S. R. which contains a wide variety of zirconium silicates, such as eudialyte, catapleite, elpidite, zirfesite etc. (VLASOV *et al.* 1966).

From a geological viewpoint, the mineral zircon has received particular attention, especially with regard to its use for Th-U-Pb radiometric dating (see Sect. 82-B) and as indicator (utilizing crystal shape and morphology) of a magmatic or metamorphic origin for granitic rocks (POLDERVERAART, 1950).

Table 40-D-2. *Zirconium minerals* (for sources see footnote)

<i>Oxides</i>	
Baddeleyite	ZrO_2
Belyankinite	$Ca(Ti, Zr, Nb)_6O_{12} \cdot 14H_2O$
Calzirtite	$Ca(Zr, Ca)_2Zr_4(Ti, Nb, Fe)_2O_{16}$
Olivite	$Zr_3Ti_2O_{10} \cdot 2H_2O$
Pseudo-armalcolite	$(Ti, Zr, Fe, Cr, Mg, Al, Ca, Si)_3O_9$
Tazheranite	$(Zr, Ca, Ti^{4+}, Ti^{4+}, Al, Fe)_4O_6$
Uhligite	$Ca_3(Ti, Al, Zr)_9O_{20}$
Zirconolite	$CaZrTi_2O_7$
Zirkelite	$(Zr, Ca, Ti, Fe, Mg, REE, U, Th)_2O_5$
<i>Carbonates and sulfates</i>	
Weloganite	$Sr_6Zr_2[CO_3]_2 \cdot 4H_2O$
Zircosulfate	$Zr[SO_4]_2 \cdot 4H_2O$

جدول ۳-۴: کانیهای زیرکنیم و هافنیم دار (ودپل، ۱۹۶۹).



Zirconium

40-D-9

Table 40-D-2 (continued)

Silicates

Armstrongite	$\text{CaZrSi}_4\text{O}_{15} \cdot (2.5\text{H}_2\text{O})$
Calcium catapleite	$\text{CaZrSi}_3\text{O}_9 \cdot 2\text{H}_2\text{O}$
Catapleite	$\text{Na}_2\text{ZrSi}_3\text{O}_9 \cdot 2\text{H}_2\text{O}$
Dalyite	$\text{K}_2\text{ZrSi}_6\text{O}_{15}$
Elpidite	$\text{Na}_2\text{ZrSi}_6\text{O}_{15} \cdot 3\text{H}_2\text{O}$
Eudialyte	$(\text{Na}, \text{Ca})_5(\text{Zr}, \text{Fe}, \text{Mn})[\text{Si}_6\text{O}_{17}](\text{O}, \text{OH}, \text{Cl})$
Giannetite	$\text{Na}, \text{Ca}, \text{Mn}, \text{Ti}, \text{Zr silicate}$
Hiortdahlite	$\text{NaCa}_2\text{ZrO}[\text{Si}_2\text{O}_7]\text{F}$
Keldyshite	$(\text{Na}, \text{H})_2\text{Zr}[\text{Si}_2\text{O}_7]$
Kimzeyite	$\text{Ca}_3(\text{Zr}, \text{Ti})_2(\text{Al}, \text{Si})_4\text{O}_{12}$
Lavenite	$(\text{Na}, \text{Ca}, \text{Mn})_5(\text{Zr}, \text{Ti}, \text{Fe})\text{O}[\text{Si}_2\text{O}_7]\text{F}$
Lemoynite	$(\text{Na}, \text{Ca})_3\text{Zr}_2\text{Si}_3\text{O}_{22}$
Lorenzenite	$\text{Na}_2(\text{Ti}, \text{Zr})_2\text{O}_3[\text{Si}_2\text{O}_6]$
Lovozerite	$(\text{Na}, \text{Ca})_3(\text{Zr}, \text{Ti})\text{Si}_6(\text{O}, \text{OH})_{18}$
Pennaite	$\text{Na}, \text{Ca}, \text{Ti}, \text{Fe}, \text{Mn}, \text{Zr silicate}$
Rosenbuschite	$(\text{Na}, \text{Ca})_3(\text{Zr}, \text{Fe}, \text{Ti})\text{O}[\text{Si}_2\text{O}_7]\text{F}$
Seidozerite	$\text{Na}_2(\text{Zr}, \text{Ti}, \text{Mn})_2\text{Si}_4\text{O}_8\text{F}$
Sogdianovite	$(\text{K}, \text{Na})_2\text{Li}_2(\text{Li}, \text{Fe}, \text{Al}, \text{Ti})_{1.8}(\text{Zr}, \text{Ti})[\text{Si}_2\text{O}_5]_8$
Tranquillityite	$\text{Fe}_3(\text{Zr}, \text{Y})_2\text{Ti}_2\text{Si}_3\text{O}_{24}$
Vlasovite	$\text{Na}_2\text{Zr}[\text{Si}_2\text{O}_{11}]$
Wadeite	$\text{K}_2\text{CaZrSi}_4\text{O}_{12}$
Wöhlerite	$\text{NaCa}_2(\text{Zr}, \text{Nb})\text{O}[\text{Si}_2\text{O}_7]\text{F}$
Zekterite	$\text{LiNa}(\text{Zr}, \text{Ti}, \text{Hf})\text{Si}_6\text{O}_{15}$
Zircon	ZrSiO_4
Zircophyllite	$(\text{K}, \text{Na}, \text{Mn})_2(\text{Mn}, \text{Fe})_2(\text{Zr}, \text{Nb}, \text{Ti})_2(\text{Si}, \text{Ti})_3 \cdot (\text{O}(\text{OH})\text{F})_{21}(0.9\text{H}_2\text{O})$
Zirconium schorlomite	$\text{Ca}_3(\text{Fe}, \text{Zr})_2(\text{Si}, \text{Ti})_3\text{O}_{12}$
Zirfesite	Hydrous silicate of Zr and Fe^{3+}

Main references: 1. PALACHE *et al.* (1958); 2. VLASOV (1966); 3. FLEISCHER (1966); 4. AMERICAN MINERALOGIST 51, 529 (1966); 54, 576, 1221 (1969); 55, 318 (1970); 57, 1913 (1972); 58, 140, 966, 967 (1973); 59, 208, 633 (1974); 62, 416 (1977).

ادامه جدول ۳-۴: کانیهای زیرکنیم و هافنیم دار (ودپل، ۱۹۶۹).



اکتشاف عناصر کمیاب و نادر خاکی، شهرستانهای سراب و گلپایگان

محیط تکنولوژی تشکیل عناصر HFSE (میشل و گارسون، ۱۹۷۶-۱۹۸۱)، (ساوکینر، ۱۹۸۴)

- کربناتیتهای حاوی فسفر، تیتانیم، نیوبیم
- انورتوزیتهای حاوی تیتانیم، نیوبیم و...
- سنگهای گرانیتی حاوی قلع، نیوبیم و...

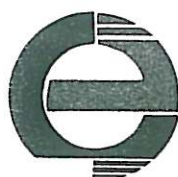
نقاط داغ

حاشیه همگرا

کربناتیتهای خطی

کافتهای درون قاره‌ای

کانسپت‌های مرتبط با گسلهای ترانسفورم (دکرشکل) امتداد گسل به درون قاره کشیده شده است || کربناتیتهای حاوی نیوبیم و...



پنجم: عناصر گروه پلاتین (PGE)

این عناصر، که شامل Pt، Pd، Rh، Ru، Ir و Os هستند، عموماً جزء عناصر اتموفیل می‌باشند. مقادیر این عناصر در واحدهای سنگی آذرین فلزیک، دگرگونی و سنگهای رسوی پائین می‌باشد، در حالی که در واحدهای اولترابازیکی و بازیکی بیشترین مقدار را نشان می‌دهند. لازم به ذکر است که مقدار این عناصر در کانسارهایی که دارای ارزش اقتصادی هستند بین ۵ تا ۱۰ ppm تغییر می‌کند. با توجه به این که عناصر این گروه بیشتر به صورت کانسارهای ماگمایی تشکیل می‌گردند، در نتیجه به همراه آنها کانیهای سولفیدی نیز وجود دارد. لذا می‌توان تهنشینی فازهای سولفیدی را در تشکیل این گونه از کانسارها مؤثر دانست، (شهاب‌پور، ۱۳۸۰ و کریم‌پور، ۱۳۷۸). بنابراین یکی از فرایندهای زیر در تشکیل این گونه از کانسارها دخالت دارد:

(الف) سرد شدن ماگما.

ب) هضم گوگرد موجود در یک منبع خارجی.

ج) هضم سیلیکا.

د) امتراج دو یا چند ماگمای مختلف.

مطالعات پترولوزیکی نشان میدهد که این گروه عناصر تیزک ماگمای اولیه بازالتی است که در خلال تفریق کریستالی و حالت مایع گون ماگمای اولترابازیک عمیق و یا ماگمای بازیک حاصل می‌شود. لازم به ذکر است که بهندرت کانسارهای اسکارن از این عناصر شناسائی شده است.

از ویژگیهای دیگر این گروه مقاومت بسیار بالای آنها در برابر هوازدگی شیمیائی و مکانیکی است و همین مسئله در تشکیل کانسارهای پلاسری آنها کاملاً مؤثر است، (جدول ۱-۵).



Pt(n^*10p-5)	Pd(n^*10p-7)	Rh(n^*10p-8)	Ir(n^*10p-8)	Os(n^*10p-3)	Ru
پولیسته (پیتوسفر)	-	n	7	2	-
سنگهای گرانیتی	-	0.0n	6.7	1	-
سنگ های حد واسطه	-	n	-	-	-
سنگ های بازیک	1	2	21	2.2	-
سنگ های اولترابازیک	2	0.5	-	-	-
سنگ های شیلی	-	-	-	-	-
ماسه سنگ	-	-	-	-	-
سنگ های کربناتی	-	-	-	-	-

جدول ۱-۵: فراوانی عناصر گروه PGE در سنگهای مختلف (حسنی پاک، ۱۳۷۰، اسماعیلی، ۱۹۸۳).



۱-۵- کانیهای گروه پلاتین

عناصر این گروه به صورتهای مختلف، از قبیل محلول جامد پلاتین در سولفید و آرسنیذهای گروه پلاتین در مراحل اولیه تبلور مانند اولترابازیکی حاصل می‌شوند، اما عموماً^۱ به صورت خالص دیده می‌شوند.

۱-۱-۱- انواع کانسارهای گروه پلاتین

۱-۱-۱-۱- کانسارهای مایع گون^۲

کانسارهای موجود در این گروه بیشتر در سولفیدهای مس-نیکل ایجاد می‌شوند. مقدار این عناصر از یک نقطه به نقطه دیگر بین $0.01\text{--}0.1$ گرم در تن متغیر است، اما مقدار آن می‌تواند بیشتر شده و حداقل به 10 گرم در تن برسد. آنچه مسلم است مانند اولیه این نوع کانسارها از نوع اولترامافیکی است که تفرقی کریستالی آن موجب تشکیل کانیهای سولفیدی به همراه عناصر PGE شده است.

۱-۱-۱-۲- کانسارهای مانعه اولیه^۳

در این گروه از کانسارها عناصر گروه پلاتین در کروم-اسپینلهای حاصل شده از دونیت، که از تفرقی کریستالی مانعه اولترامافیکی ایجاد شده‌اند، وارد می‌گردند. البته باید دقت نمود که تودهای نوریتی و کربناتیتی نیز می‌توانند عناصر این گروه را در خود جای دهند ولی به ندرت دارای ارزش اقتصادی می‌باشند.

۱-۱-۱-۳- کانسارهای مانعه تأخیری^۴

در صورتی که یک مانعه اولترابازیکی تفرقی زیادی را تحمل کند، در نتیجه یک مانعه بازیکی حاصل خواهد شد که کروم-اسپینل می‌تواند در دونیهای حاصل شده از آن تجمع یابد و بالطبع مقداری از عناصر PGE در شبکه آن وارد گشته و به یکی از صور زیر دیده شود:

۱- عناصر گروه پلاتین به صورت پراکنده و کم عیار در واحد دونیتی تشکیل می‌گردد.

۲- عناصر گروه پلاتین در کرومیت حضور دارد که پیروکسن با مقادیر بالای ایریدیوپلاتین از دیگر ویژگیهای آن است. این گروه از کانسارها همواره لایه‌های اصلی را قطع می‌کنند.

¹-Liquation.

²-Early Magmatic Deposits.

³-Late Magmatic Deposits.



۴-۱-۵- کانسارهای هوازدگ و پلاسری

همانگونه که در قسمتهای قبلی تشریح گردید، یکی از ویژگیهای مهم این عناصر مقاومت شیمیائی و مکانیکی آنها در برابر هوازدگی است و در نتیجه بر احتی از چرخه عناصر خارج نمی‌شوند. پس اگر یک توده حاوی عناصر این گروه تحت تأثیر هوازدگی مکانیکی قرار گیرد و کانیهای حاوی پلاستین از آن خارج گرددند، این عناصر در شرایط مناسب تجمع حاصل نموده و می‌توانند کانسارهای پلاسری را تشکیل دهند.

محیطهای تکتونیکی عناصر PGE (شیل ۱۹۷۶-۱۹۸۱) و (ساوکینر، ۱۹۸۴)

کانسارهای موجود بر روی قاره‌ها	کانسارهای مرتبط با کراتونها
الف-کربناتیتها حاوی فسفر به مقدار کمتر PGE ب-توده‌های ماقیکی لایه‌ای حاوی PGE (برشپید)	نقاط داغ
کربناتیتها حاوی مقدار PGE (لانیونکای)	کافت‌های درون قاره‌ای
PGE سنگهای حاوی کرومیت و مقداری کانسارهای پلاسری حاوی	پشت‌های میان اقیانوسی
الف-کربناتیتها خطی حاوی مقداری PGE (آنکولا) ب-توده‌های نفوذی فربازی (مصر)	کانسارهای مرتبط با گسلهای دگر شکل ادامه گسل به درون قاره کشیده می‌شود



اکتشاف ژئوشیمیائی عناصر کمیاب در محدوده شهرستانهای کلیبر و سراب

فصل دوم

اکتشافات ژئوشیمیائی عناصر کمیاب در منطقه کلیبر و سراب



بخش اول: ویژگیهای زمین‌شناسی مناطق معرفی

شکل ۵ جهت اکتشاف مقدماتی عناصر کمیاب

۱-۱- مقدمه

ویژگی توزیع عناصر کمیاب در سنگ ممکن است نخست براساس افزایش و یا کاهش قابل ملاحظه مقدار یک عنصر خاص (یا گروهی از عناصر) در مقایسه با میانگین ناحیه‌ای یا جهانی آن و یا براساس افزایش و یا کاهش قابل ملاحظه مقدار توزیع آن عناصر شناسائی شود. چنین شناختی می‌تواند برای مثال در حل مسائل زیر مفید واقع شود:

۱- مسائل زمین‌شناسی که غالباً در خلال مطالعات ژئوشیمیائی سنگها در چارچوب تهیه نقشه زمین‌شناسی پیش می‌آید، مانند طبقه‌بندی زیرگروهی سریهای آذرین که از لحاظ سنگ‌شناسی همگن می‌باشد و تعیین روابط ژنتیکی آنها.

۲- طبقه‌بندی زیرگروهی و شناخت سریهای رسوبی عقیم.

۳- ارزیابی توسعه فرآیندهای دگرگونی و متاسوماتوز در کمپلکس‌های دگرگونی و آذرین.

میزان غیرعادی زیاد یک عنصر کانساری یا افزایش مقدار پراکنش توزیع آن ممکن است به عنوان شاخص مناسبی برای ارزیابی قدرت تولید کانسار در توده‌ها یا سنگها مورد استفاده قرار گیرد.

۱-۲- گردآوری اطلاعات

در این مرحله استناد و مدارک مربوط به منطقه اکتشافی تحت پوشش به شرح زیر تهیه و مورد مطالعه قرار گرفت:

- نقشه‌های توپوگرافی ۱/۵۰۰۰۰ منطقه شامل برگه‌های مرز رود، کلیبر، ابرغان، سراب
- نقشه زمین‌شناسی با مقیاس ۱/۲۵۰۰۰۰ اهر و میانه.
- مطالعات انجام گرفته در محدوده مورد مطالعه شامل گزارش مقدماتی و گزارش‌های نقشه‌های یکصد هزارم.
- نقشه‌های زمین‌شناسی با مقیاس ۱/۱۰۰۰۰ قره‌چمن، سراب، کلیبر و ورزقان.
- عکس‌های هوایی با مقیاس ۱/۲۰۰۰۰ منطقه

با توجه به اطلاعات حاصل از مدارک فوق و در نظر گرفتن محدوده اکتشافی برنامه عملیات نمونه‌برداری پی‌ریزی گردید و در هر مورد نقشه پارامترهای مؤثر در برنامه‌ریزی اکتشافی مورد بررسی قرار گرفت.



۱-۳- محدوده‌های اکتشافی پیشنهادی

با توجه به آنچه که در بخش قبل عنوان شد محیط تمرکز عناصر کمیاب اغلب سنگهای قلیائی بوده و در هنگام تفرق کریستالی، تمایل به تجمع در محصولات انتهایی تبلور را دارند. همچنین سنگهایی شامل پگماتیتها، گرانیتها و مجموعه‌های قلیائی از قبیل سینیت اثیرین دار، نفلین سینیت، میاسکیت، لوچاریت، تراکیت و فنولیت می‌باشد. در محدوده شهرستانهای کلیبر و سراب مهمترین زون اکتشافی عناصر کمیاب واحدهای نفلین سینیت به انضمام واحدهای ولکانیکی و آهکی اطراف آنها بوده که در اثر نفوذ این توده‌ها متتحمل دگرگونی و متسوماتوز شده‌اند. لازم به ذکر است، علاوه بر واحدهای نفلین سینیت، واحدهای گرانیتی الیگو-میوسن نیز از پتانسیل بالائی از عناصر کمیاب برخوردارند.

باید توجه کرد در میان عناصر کمیاب، عناصر PGE در واحدهای اولترامافیکی تشکیل می‌گردند و عدم وجود این گونه واحدها در منطقه اکتشاف آنها را توجیه‌ناپذیر می‌نماید. بنابراین سنگ بستر مناسب برای بی‌جوئی عناصر کمیاب در محدوده مورد مطالعه واحدهای نفلین سینیت و گرانیتی می‌باشد.

با توجه به گسترش واحدهای نفلین سینیت در محدوده شهرستانهای کلیبر و سراب و گسترش محلود توده‌های گرانیتی، محدوده‌های پیشنهادی به شرح زیر می‌باشد، (توده‌های گرانیتی در محدوده شهرستان اهر گسترش دارند):

۱. بخش جنوبی شهرستان کلیبر به وسعت ۱۱۰ کیلومتر مربع در برگیرنده توده نفوذی نفلین سینیت کلیبر می‌باشد. این محلود به شکل چند ضلعی در مختصات UTM ۴۲۹۰۸۵۹ تا ۴۳۰۵۶۹۹ و ۶۶۵۲۴۶ تا ۶۸۶۵۲۴ قرار گرفته است.

۲. بخش جنوب غربی شهرستان سراب در بخش شمالی بلندیهای بزرقوش در برگیرنده توده نفلین سینیت بزرقوش به وسعت ۳۰ کیلومتر مربع می‌باشد. این محلود به شکل مستطیلی بین مختصات UTM ۷۰۹۲۴۰ تا ۷۲۷۷۱۷ و ۴۱۸۰۷۴۱ تا ۴۱۹۰۴۳۸ واقع شده است.

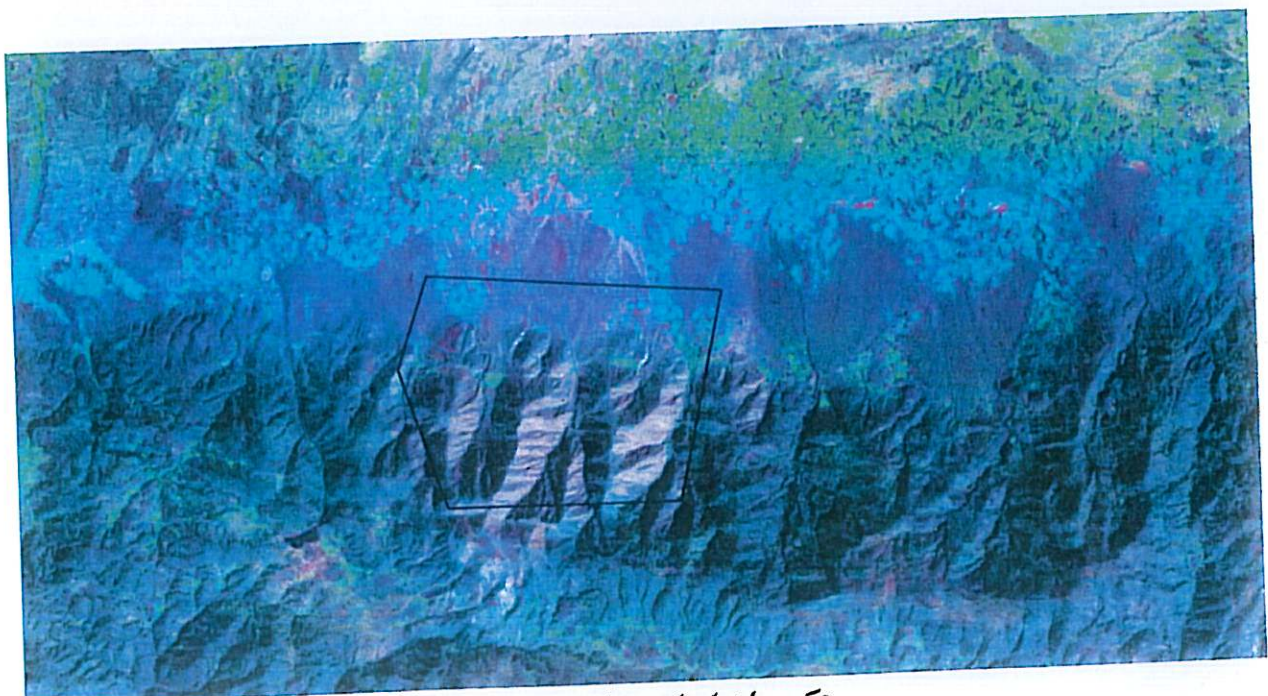
از تصاویر ماهواره‌ای مذکور جهت تهیه نقشه زمین‌شناسی و طراحی شبکه تموث‌برداری استفاده شده است.



اکتشاف ژئوشیمیائی عناصر کمیاب در محدوده شهرستانهای کلیبر و سراب



عکس ماهواره‌ای منطقه کلیبر



عکس ماهواره‌ای منطقه سراب

۱-۴- زمین‌شناسی منطقه مورد مطالعه

منطقه مورد مطالعه در زون ساختاری البرز- آذربایجان قرار دارد که اصطلاحاً به کوههای قره‌داغ ارسباران موسوم است. در این زون ساختاری دو منطقه قابل تشخیص و تفکیک است که عبارتند از: حوضه رسویی فعال و فلاط ولکانیکی اهر- کلیبر.

- حوضه رسویی فعال با ضخامت زیادی از نهشته‌های تخریبی همچون کنگلومرا، ماسه‌سنگ و نهشته‌های گچ‌دار و نیز فقدان فعالیت مانگماهی قابل توجه مشخص می‌گردد. این حوضه در واقع بخشی از زون چین‌خورده‌ای است که با روند تقریبی خاوری- باخته در انتهای شرقی خود به چینهای شمال غربی- جنوب شرقی طالش می‌پیوند. چین‌خوردگی در این حوضه شدید و چینها در عین حال نامتقارن نیز می‌باشند. گذر از حوضه رسویی مغان به حوضه فعالیت ولکانیکی کلیبر- اهر با کاهش شدید چین‌خوردگی، تغییر ویژگیهای سنگ‌شناسی و روند غالب ساختاری همراه است.

- فلاط ولکانیکی کلیبر- اهر با مجموعه‌ای گستردۀ از سنگ‌های آتش‌شانی- نفوذی و فرآیندهای وابسته به آنها همچون دگرسانی گرمابی و دگرگونی مشخص می‌گردد. واحدهای سنگی در این منطقه به صورت ملایم چین‌خوردۀ و با چینهایی با دامنه زیاد مشخص می‌شود. علاوه بر این به دلیل ماهیت فیزیکی واحدهای سنگی موجود در این منطقه ساختار گسلش نیز بسیار چشمگیرتر از حوضه مغان است. روند ساختاری عموماً شمال باخته- جنوب خاور است که حاصل فازهای تکتونیکی پیش از نتوءن می‌باشد.

فاحیه سراب: گستردۀ ترین واحدهای لیتلولژی در منطقه سراب واحدهای ولکانیکی آندزیتی با بافت پورفیری می‌باشد. این واحدها، با سن اثوسن، دوسوم ارتفاعات بزقوش را پوشانده‌اند. از مهمترین ویژگیهای آن وجود لایه‌های فراوان توفیت وهايالوکلاستيت می‌باشد که نشانی از بیرون‌ریزی گدازه در ژرفای کم دریاست.

در شمال شرق منطقه سراب و شرق توده نفلین‌سینیت بزقوش، بر روی روانه‌های مگاپورفیر آندزیتی، گدازه‌های آندزی بازالتی و تراکی آندزیتی همراه با توفهای ماسه‌ای به گونه‌ای همساز قرار گرفته‌اند. این گدازه‌ها در زیر میکروسکوپ بافت پورفیری با زمینه اینترستال دارند. پورفیرهای درشت آنها پلازیوکلاز، پیروکسن و الیوین در زمینه‌ای از میکرولیتهای پلازیوکلاز- قرار گرفته‌اند. فواصل میکرولیتها را سریسیت و کانیهای کدر پرمی کند. در زمینه برخی از این گدازه‌ها کانی آنالسیم به فراوانی دیده می‌شود.

فعالیتهای مانگماهی پس از اثوسن در منطقه سراب با نفوذ توده‌های کوچک و بزرگ در سنگ‌های ولکانیکی اثوسن مشخص می‌گردد. توده نفوذی نفلین‌سینیت به وسعت ۲۱ کیلومترمربع بعد از اثوسن در سنگ‌های چین‌خوردۀ اثوسن نفوذ کرده است. در زیر میکروسکوپ دارای بافت درشت بلور فلدسپات پتاسیم، فلدسپاتوئید به صورت نفلین و



اكتشاف ژئوشيميانى عناصر كمباب در محدوده شهرستانهای كلير و سراب

ندرتاً آنالسيم می باشد. بلورهای ريز پلازريو كلاز، پيروكسن، يوتيت و آمفيبول فضاهاي بین بلورها را پر کرده‌اند. کانيهای فرعی اين سنگها اغلب اكسيد آهن، آپاتيت، اسفن و زيرکن است.

واحد ولکانيکي ائوسن : اين واحد با خصامت به بيش از ۱۰۰۰ متر منطقه وسعي از کوههای بزرقوش را به خود اختصاص داده و به طور عمده شامل گدازه‌های مگاپورفيري با تركيب آندزی بازالت، تراکيتي آندزيت، لاتيت با ميان لایه‌های توفی و توف ماسه‌ای می باشد. اين واحد در برخی از جاهای از پهلو به توف، توف ماسه‌ای و گدازه تبدیل شده است.

بررسیهای ژئوشيميانی سنگهاي آتشفسانی اين واحد نشان می دهد که سنگها بيشتر در حد بازالت تراکي آندزيت و تراکي بازالت وابسته به سری آلکالن بوده و گاهی نيز در آن سنگهاي اسيدي وجود دارند. رشد کانيهای پلازريو كلاز در سنگهاي اين واحد در خور توجه می باشد. چنانچه در بيشتر موارد نزديك به نصف حجم سنگ را کانيهای پلازريو كلاز تشکيل داده است. بزرگی کانيهای پلازريو كلاز در برخی مناطق به بيش از ۲ سانتيمتر هم می رسد. اين واحد به صورت يك تاقديس ملایم با امتداد تقریبی شرقی - غربی است که در دامنه شمالی کوه بزرقوش به طرف شمال شب دارد. توده آلكالی سینيت (نفلین سینيت) با وسعت در خور ملاحظه در جنوب سراب و رشته کوه بزرقوش قرار دارد. اين سنگ دارای بافت درشت دانه می باشد و رنگ آن در متن تازه سنگ خاکستری و در سطح هوازده صورتی می باشد.

رگه‌های آپليتي و پگماتيتي ناشی از فاز نهائی گرانیتي و سینيت است که تودهای سینيت را هم در چند محل قطع کرده است. تأثيراتی که سنگهاي نفوذی بر سنگهاي پرامون کهن‌تر از خود بر جای نهاده يك سری دگرسانیهای ضعیف در کناره نفوذی و در حد اپیدوتی شدن و سیلیسی شدن می باشد.

از لحاظ تكتونيکي منطقه سراب در بخش غربی رشته کوههای البرز قرار گرفته و بدین جهت اشكال ساختمانی خاص آن ناحيه را نشان می دهد. در اين ناحيه روند عمومي شرقی - غربی در چين خوردگيها و گسلها دیده می شود. فاز کوهزائي لaramيد تنها فاز مشخص در ناحيه سراب می باشد. کنگلومراي قاعده ائوسن با دگرسانی زاويه داري روی سنگهاي قدیمي، به خصوص کرتاسه فوقانی، قرار گرفته است. به دنبال اين رخداد گسترش ترین فعالیت ولکانيکي که نتیجه فاز انبساطي در زمين بوده به وقوع پيوسته و سبب بیرون رختن گدازه‌های آتشفسانی از شکافهای متعدد گردیده است. پس از اين رخداد فعالیت ماگماي از نوع سینيت در الیگوسن به وقوع پيوسته است

نفلین سینيت بزرقوش : اين توده مربوط به ماگماتيس بعد از ائوسن می باشد (جوانترین تشکيلاتی را که قطع کرده ولکانیک آن سنگهاي ولکانیکي آندزيت پورفيريک می باشد که کم و بيش با درجه دگرگونی خيلي پاين ذگرگون شده اند. در بخش شرقی توده در ولکانیکها آلتراسيون هيدروترمال (آلونيتراسيون و کاولينيتراسيون) دیده می شود که مقدار آن خيلي کم است اين آلتراسيونها احتمالاً با رگه‌های ميكرو گرانیتي ارتباط دارد. دو گسل با امتداد تقریباً



اکتشاف ژئوشیمیائی عناصر کمیاب در محدوده شهرستانهای کلیبر و سراب

شرقی-غربی مرز شمالی و جنوبی توده نفلین سینیت بزقوش را شکل می‌دهند. در داخل این توده نفوذی رگه‌های میکروگرانیتی و آپلتی با روند شمالی-جنوبی و شمال غرب جنوب شرق و شمال شرق-جنوب غرب دیده می‌شوند. در جاهایی که رگه‌های پگماتیتی در آن نفوذ کرده نفلین زیادتر و درشت بلورتر است و حاوی فلدسپات آلکالن، بیوتیت، پیروکسن و نفلین است و رگه‌های میکروگرانیتی زیادی آن را قطع کرده است.

بخش حاشیه‌ای بافت پورفیری دارد و به صورت باند باریکی در بخش اصلی را احاطه کرده به نظر می‌رسد که فتوکریستها بقایای بخش اصلی باشند. که تحت تأثیر بقایای خود مآگمای نفلین سینیتی در شرایط نیمه عمیق بوده قرار گرفته اند در ضمن در بعضی جاها مآگمای هایپر سیلیس که در ارتباط با رگه‌های میکروگرانیتی است بر روی آن اثر کرده در بعضی جاها شدیداً آلتره شده و رنگ آن صورتی است ولی نمونه سالم آن خاکستری روشن و لوکوکرات می‌باشد و حد آن با بخش مرکزی تدریجی است.

رگه‌های نفلین- Feldspatی : این رگه‌ها متشکل از آلیت-نفلین و کانی‌های فرومیزین بوده و رنگ آنها روشن است. رشد بلورهای کانی‌ها در آنها زیاد است و در چند نقطه توده نفوذی، نفوذ کرده اند. این رگه‌ها باقی مانده مآگمای نفلین سینیتی هستند که آلکالن زیادی دارند. رگه‌های پگماتیتی بیشتر موازی گسل‌های اصلی است.

رگه‌های میکروگرانیتی : ضخامت این رگه‌ها ۱ تا ۳ متر بوده رنگ زرد آجری دارند و کانی‌های فرومیزین در آنها اغلب کم می‌باشد، بلورهای کوارتز در آنها با چشم غیر منلح دیده می‌شوند این رگه‌ها احتمالاً محصول یک مآگمائی هایپر سیلیس بوده و با مآگمای نفلین سینیتی ارتباط ندارد و احتمالاً با توده‌های نفوذی گرانیتی و مونزونیتی منطقه در ارتباط می‌باشد (عکس-۱).

ولکانیکهای آندزیت پورفیری : گسترش این ولکانیکها زیاد و ضخامت آنها بیش از ۱۰۰۰ متر است دارای بافت پورفیریتیک بوده و توسط توده نفوذی نفلین سینیتی قطع شده اند. اثر متامورفیسم کم و بیش در آنها دیده می‌شود کانی‌های فرومیزین آنها تهווیه شده و فتوکریستهای پلازیو کلاز آنها نیز صورتی شده اند در این مجموعه اثوسن میانی-بالائی می‌باشد.

ناحیه کلیبر : توده نفوذی کلیبر در غرب شهرستان کلیبر و کوه‌های قره‌داغ قرار گرفته است این توده بخشی از نوار مآگمائی البرز غربی آذربایجان محسوب می‌شود که در فاز تکتونیکی پیرنه در پوسته آذربایجان نفوذ کرده است با نفوذ توده مذکور در نهشته‌های رسویی (روسی، آهنکی و پیروکلاستیک و سنگهای بازیک کرتاسه فوکانی) هاله دگرگونی به ضخامت یک کیلومتر در اطراف آن ایجاد شده است. سنگهای حاصل از دگرگونی شامل مرمرهای دولومیتی، مرمرهای کربناته، هورنفلس‌های آهنکی، هورنفلس‌های بازیک و توفهای دگرگون شده می‌باشد (مؤذن، م؛ حاجی علی اوغلی، ۱۳۸۱). این توده نفوذی که به توده نفوذی نفلین سینیت کلیبر معروف شده، به طور



کلی متشكل از رخسارهای نفوذی است که عبارتند از:

- ۱- سنگهای سینیتی
- ۲- نفلین سینیت
- ۳- نفلین گابرو

ماگما در این توده نفوذی، ماگمای آلکالن تحت اشباعی است که به نظر می‌رسد دارای منشاء عمیق است. در واقع این ماگما ادامه فعالیت ماگمای آلکالن ائوسن و الیکوسن می‌باشد.

نفلین سینیت دارای بافت دانه‌ای نسبتاً درشت با رنگ هوازده خاکستری است و در آن فلدسپات آلکالن بهوفور یافت می‌شود و کانیهای مافیک آن نیز کوچکتر از کانیهای فلزیک می‌باشد. کانیهای تیره آن عبارتند از: اوژیت، آمفیبول و مقدار کمی بیوتیت. نفلین در اشکال اتومورف و در اندازه‌های درشت نیز در زمینه سنگ دیده می‌شود. در حاشیه جنوبی، این توده نفوذی در نواری به پهنه‌ای ۳ کیلومتر به شکل گابروی نفلین دار (عکس-۵) مشاهده می‌شود که دارای روند خاوری-باختری است. این واحد بخش گسترهای از جنوب توده را اشغال نموده است. وجود سیستمهای درزه که معمولاً عمود بر هم نیستند و حجمهایی به شکل متوازی السطح تولید می‌نماید اشکال منظمی را به سنگ داده است. به نظر می‌رسد سیستم درزهای فوق تکتونیکی نبوده و از نحوه سرد شدن و فرسایش بعدی حاصل شده باشد. بلورهای درشت فلدسپات و کانیهای تیره همراه با بلورهای صورتی رنگ نفلین با چشم غیر مسلح دیده می‌شود. بافت سنگ گرانولار و کانیهای موجود در سنگ عبارتند از:

۱- پلازیوکلاز با ترکیب آندزیتی تا لاپرادور که به طور اندکی سوسوریتی شده است.

۲- آمفیبول سبز که تا اندازه‌ای کلریتی شده است.

۳- پیروکسن از نوع اوژیت که بعضاً در حواشی به آمفیبول تبدیل شده است.

۴- نفلین به مقدار اندک در اشکال بی‌شکل بین بلورهای پلازیوکلاز را پر کرده است.

۵- کانیهای فرعی آپاتیت، اسفن و اکسید آهن است که مقدار اکسید آهن ۵٪ کل سنگ است.

آپاتیت در اندازه بلورهای کوچک و سالم در متن سنگ و هم به صورت انکلوزیون در آمفیبول دیده می‌شود. کانیهای آمفیبول به صورت ثانوی به وسیله مانیتیت جانشین شده و کانیهای اسفن، اپیدوت و آپاتیت نیز به عنوان کانیهای فرعی در متن سنگ دیده می‌شود.

به علت نفوذ توده نفلین سینیتی در سنگهای کرتاسه بالایی‌هاله دگرگونی مجاورتی ضعیفی در سنگهای کرتاسه ظاهر شده که سبب تبلور مجدد سنگ آهک و میکروفیلها ای آن شده است. نفوذ محلولهای گرمابی در امتداد این هاله سبب دگرسان شدن سنگ مادر و ظهور کانی‌سازی ضعیف دگرگونی (مانند پیریت) شده است.

در داخل توده‌های نفوذی نفلین سینیت رخساره آپلیتی به صورت محلی نفوذ کرده است (عکس-۴ و ۹). این



اکتشاف ژئوشیمیانی عناصر کمیاب در محدوده شهرستانهای کلیبر و سراب

رخساره دارای بافت دانه‌ریز بوده و در زمینه ۵۰-۵۵ درصد فلدسپات آلکالن، ۱۰٪ پلازیوکلاز سدیک و ۳۵٪ کوارتز می‌باشد. کانیهای دیگر شامل کلریت، مانیتیت و کانیهای رسی است.

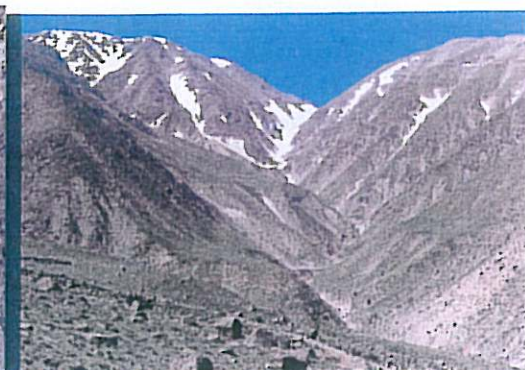
توده نفلین‌سینیت کلیبر به دلیل دارا بودن توان معدن آلومینیم از اهمیت ویژه‌ای برخوردار است. این سنگ از نظر بافت متغیر بوده و از نظر مقدار سیلیس تحت اشباع می‌باشد. در عین حال فلدسپات‌توثید آن شامل نفلین، آنالسیم و سودالیت می‌باشد. با توجه به حضور آلومینیم فراوان در شبکه کانیهای فلدسپات‌توثید توان این سنگها از نظر اقتصادی بالاست. بخش‌های پرعيار این توده بیشتر در شمال، جنوب و غرب توده می‌باشد. ترکیبات مس نیز به صورت رگه و رگچه‌ها در مناطق دگرسان به صورت گسترده قابل ملاحظه است.



اکتشاف ژئوشیمیایی عناصر کمیاب در محدوده شهرستانهای کلیبر و سراب



1



2



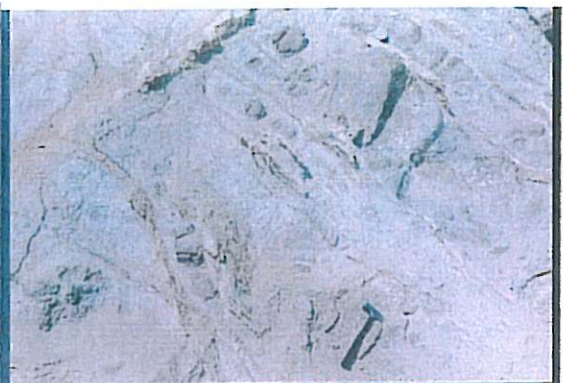
3



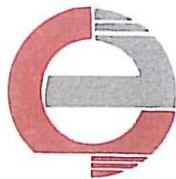
4



5



6



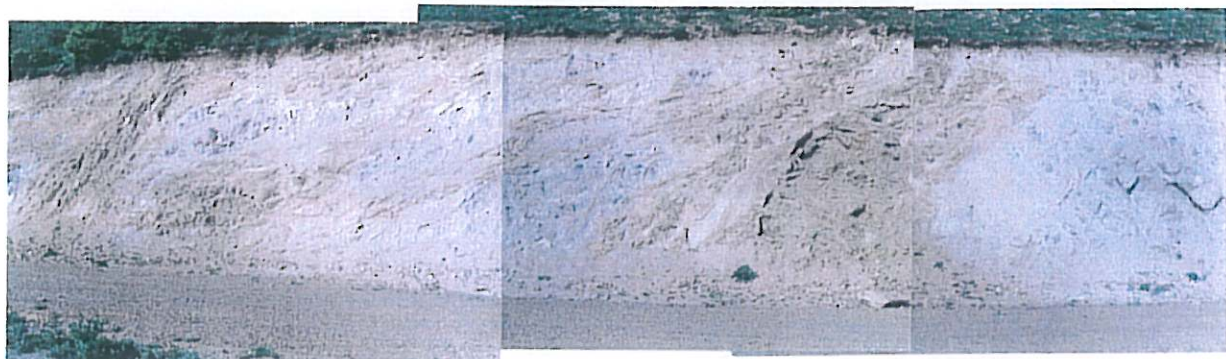
اکتشاف ژئوشیمیائی عناصر کمیاب در محدوده شهرستانهای کلیبر و سراب



7



8



9

- ۱ نفوذ دایکهای آپلتی بداخل توده نفلین سینیت بزقوش (دید به سمت شرق)
- ۲ نمای کلی از توده نفلین سینیت بزقوش (دید به سمت جنوب)
- ۳ نفوذ توده نفلین سینیت کلیبر به داخل سنگهای ولکانیکی در شمال کلیبر
- ۴ نفوذ دایکهای آپلتی بداخل توده نفلین سینیت کلیبر
- ۵ نفوذ دایکهای آپلتی بداخل توده نفلین گابرو در بخش جنوبی کلیبر
- ۶ خرد شدگی و نفوذ سیالات گرمابی بداخل توده نفلین سینیت کلیبر
- ۷ نمونه‌ای از مجموعه پگماتیتی در معدن پیغان
- ۸ زنولیت‌هایی از هورنفلس داخل توده نفلین سینیت
- ۹ دگرسانی مجموعه سینیتی در اثر نفوذ دایکهای آپلتی

بخش دوم: نمونه بردازی

هر روش اکتشافی مجموعه علوم و فنونی است که به منظور حل یک یا چند مشکل اکتشافی ابداع و توسعه یافته است. این روشها عبارتند از: دوزسنجی، نقشه برداری ژئوفیزیکی (هوایی و زمینی)، تهیه نقشه های ژئوشیمیائی، حفاری و هر یک از این روشها برتریها و کاستیهای دارند. به عبارت دیگر هر یک دارای توانایها و محدودیتهای می باشد. در برنامه ریزی اکتشافی لازم است متناسب با ماهیت پیچیدگی و مشکلات اکتشافی روش بهینه ای، که حداقل توانایی و حداقل محدودیت را ایجاد کند، به کار گرفته شود. اکتشافات ژئوشیمیائی به روش آبراهه ای در مقیاس ۱:۲۰،۰۰۰ در زمرة اکتشافهای زیربنائی و گاهی نیمه تفصیلی محسوب می شود که طی آن نواحی با پتانسیل معدنی شناخته شده و برای مرحله بعد پیشنهاد می شود.

۱-۱- اهداف اکتشافات ژئوشیمیائی به روش آبراهه ای

به تجربه ثابت شده که نهشته های آبراهه ای (عموماً جزء ۸۰-۸۱) در اکتشافات ژئوشیمیائی به روش آبراهه ای (۱/۱۰۰۰۰ و ۱/۲۵۰۰۰) بسیار سودمند واقع می شود. نتایج حاصل از این گونه بررسیهای اکتشافی می تواند در تحلیل ایالتهای ژئوشیمیائی و شناخت الگوهای ژئوشیمیائی به روش آبراهه ای و همچنین نواحی که در آنها احتمال کشف نهشته های کانساری بیشتر می باشد، بسیار مؤثر واقع شود. علاوه بر کاربردهای مستقیم ذکر شده نقشه های ژئوشیمیائی نهشته های آبراهه ای می تواند کاربردهای در زمینه کشاورزی و محیط زیست نیز داشته باشد. روشن است که اهداف اکتشافی این نوع بررسیها با اهدافی نظیر تشخیص الگوهای ژئوشیمیائی به روش آبراهه ای برای توزیع عناصر، متفاوت است و به این جهت باید برای هر منظوری از روش مناسب آن استفاده کرد.

در مورد اول، چون هدف اکتشاف آنومالی درهاله های ثانوی است باید از تکنیکهای آماری، که اختلاف بین مقادیر آنومالی و روندهای ناحیه ای را به حداقل مقدار خود برساند، بهره گرفت تا از طریق شدت بخشی آنومالیها شناسائی هرچه دقیقتر آنها را ممکن سازد.

در حالت دوم، چون هدف دستیابی به روندهای ناحیه ای است، باید از تکنیکهای آماری استفاده کرد که تأثیر آنومالیها را در روندهای ناحیه ای به حداقل خود می رسانند. به عبارت دیگر به دلیل خاصیت برداری داده های ژئوشیمیائی حاصل از رسوبات آبراهه ای بررسی روندهای ژئوشیمیائی حائز اهمیت می باشد.

در ژئوشیمی اکتشافی سه بخش اساسی وجود دارد که شامل نمونه برداری، تجزیه نمونه ها و تفسیر نتایج می باشد. در صورتی که خطای در نمونه برداری صورت گرفته باشد نه تنها باید بار دیگر آن را تکرار کرد، بلکه باید تجزیه نمونه ها و تفسیر داده ها را نیز دوباره انجام داد که در مجموع مخارج زیادی را دربرمی گیرد. بنابراین نمونه برداری صحیح



اکتشاف ژئوشیمیائی عناصر کمیاب در محدوده شهرستانهای کلیبر و سراب

از اهمیت خاصی برخوردار است. در نمونه‌برداری حداقل سه پارامتر را بایستی در نظر داشت که عبارتند از:

۱- تعیین بهترین و مناسب‌ترین محیط نمونه‌برداری برای عناصر مورد جستجو.

۲- رعایت نکات فنی نمونه‌برداری بهمنظور برداشت معرفت‌رین آنها.

۳- طراحی شبکه نمونه‌برداری بهینه.

نمونه‌ها باید دقیقاً معرف مواد مورد نظر برای آزمایش بوده و تعداد نمونه‌ها باید در حدی باشد که متناسب با کلیه تغییرات ترکیبی منطقه مورد مطالعه باشد. انتخاب نمونه مناسب مستلزم داشتن اطلاعات کافی از ماده مورد بررسی و محیط دربرگیرنده آنها است.

در انجام پروژه اکتشاف ژئوشیمیائی عناصر کمیاب در محدوده کلیبر و سراب، اهداف زیر مد نظر بوده است:

۱- بررسیهای آماری تک متغیره، دو متغیره و چند متغیره برای تمام عناصر ژئوشیمیائی

۲- تخمین مقدار زمینه از آنومالی (جداسازی جوامع زمینه از آنومالی)

۳- ترسیم نقشه‌های ژئوشیمیائی پراکش برای عناصر:

Ba, Ce, Co, Cr, Cs, Cu, Dy, Er, Eu, Ga, Gd, Hf, Ho, La, Lu, Mo, Nb,
Nd, Ni, Pb, Pr, Rb, Sm, Sn, Sr, Ta, Tb, Th, Tm, U, V, W, Y, Yb, Zn, Zr

۴- مشخص نمودن مناطق امیدبخش از میان آنومالیهای فوق و با توجه به اطلاعات حاصل از مشاهدات صحرایی

۵- کنترل آنومالیهای فوق با برداشت نمونه‌های مینرالیزه و کانی سنگین و شناسایی فاز کانی‌شناسی عناصر کمیاب.

۶- تهیه نقشه زمین شناسی-معدنی با مقیاس ۱/۲۰۰۰۰ برای محدوده توده‌های نفلین‌سینیت کلیبر و بزقوش

۲-۲- طراحی شبکه نمونه‌برداری

یکی از مراحل مهم و اساسی هر فاز اکشافی طراحی نقاط نمونه‌برداری است که به عنوان اساس و پایه کار بایستی بدون خطأ و یا با کمترین خطأ صورت گیرد. طراحی یاد شده با بررسی و شناخت حوضه‌های آبریز و شبکه آبراهه‌ها با هدف نمونه‌برداری از رسوبات رودخانه‌ای انجام می‌گیرد. قبل از طراحی شبکه نمونه‌برداری ابتدا بایستی نقشه زمین‌شناسی با مقیاس ۱:۲۰۰/۰۰۰ ۱:۲۰۰/۰۰۰ مناطق پیشنهادی تهیه شود. سپس با قرار دادن نقشه آبراهه‌ای ۱:۲۰۰/۰۰۰ بر روی نقشه زمین‌شناسی اقدام به طراحی شبکه نمونه‌برداری با اهداف زیر شود:

۱- دستیابی به بیشترین توزیع یکنواخت نمونه‌ها در کل نقشه.

۲- رعایت چگالی نمونه‌برداری ژئوشیمیائی براساس دو نمونه در هر کیلومترمربع.

۳- قرار دادن نمونه‌ها در پایین دست گسل‌ها، کن tactهای مهم زمین‌شناسی و رگه‌های پگماتیتی.

در تهایت در این مرحله تعداد ۲۸۰ نمونه ژئوشیمیائی طراحی خواهد شد.



۳-۲- انتخاب محبيط نمونه برداري

همانطور که قبلًا نيز عنوان شد، هدف از بررسيهای اکتشافي ژئوشيميانی به روش آبراههای و نيمه تفصيلي مشخص کردن مناطق اميدبخش برای مراحل بعدی اکتشاف می باشد. با توجه به وسعت محدوده اکتشافي، روش بررسی هالههای ليتوژئوشيميانی نمی تواند مورد استفاده قرار گیرد چرا که آنقدر هزينه اکتشافي بالائي دارد که از لحاظ اقتصادي قابل توجيه نمی باشد. لذا محبيطهای در برگيرنده هالههای ثانوي عناصر در محبيطهای سطحي نظير خاکها، آبرفتها، رسوبات رودخانهای، يخرفتها، شب رفتها و غيره، که ضمن هوازدگی سوپرژن کانسارها تشکيل می شوند، می توانند در اين مرحله اکتشافي مورد توجه قرار گيرد.

در بررسيهای مقدماتی اکتشافي در حوضههای آبريز تحت شرایط آبراههای گوناگون، بویژه با بارندگی متوسط، اغلب و یا حتی به طور انحصری روش بررسی رسوبات رودخانهای مورد استفاده قرار می گيرد. در اين نوع بررسی مواد هر نمونه می تواند معرفی از ترکيب شيميانی مواد بالادرست خود باشد. به طور خلاصه پوشش وسیع یك نمونه، آسانی نمونه برداری و آماده سازی، وجود هالههای پراکندهگی وسیع و سادگی اجرا از امتيازات مثبت اين روش می باشد. بالا بودن احتمال آسودگی، تغيير وضعیت مورفو لوژیکی و فعال بودن پدیده رسوبگذاري مجدد رودخانهای و در نتيجه مشکل شدن تفسير دادهها و روابط آنها با منبع توليد آنومالي از امتيازات منفي اين روش می باشد.

۴-۲- نمونه برداری

عملیات صحرائی و نمونه برداری به عنوان مهمترین گام از یك گزارش اکتشافي است. روشن است همه نتایج گرفته شده بر پایه دادههای به دست خواهد آمد که خود از تجزیه نمونهها به دست آمده اند. بنابراین اهمیت این مرحله و درستی و صحت آن تأثیر به سزایی در دقت یك گزارش ژئوشيميانی دارد. داده پردازی و محاسبات آماری و بررسی فراگير نمی تواند خطای نمونه برداری را به گونهای روشن و مشخص سازد و بی دقتی در نمونه برداری باعث بروز دشواریهای پرشماری خواهد شد، که افزون بر هدر رفتن هزینهها، باعث به دست آمدن نتایج نادرست و ناهمانگ با واقعیت خواهد شد. از اين رو اهمیت اين کار همچون سازهای است است که با يستی بر تکيه گاهی استوار و به دور از هر گونه کاستی و سستی نهاده شود.

پس از تعين نقاط نمونه برداری بر روی نقشه و مشخص شدن شبکه نمونه برداری، پس از يافتن محل نمونهها با استفاده از نقشه توپوگرافی و دستگاه جاياب^۱ از نقاط از قبل تعين شده بر روی نقشه، از جديدترين رسوبات آبراههای نمونه برداشت گردید. در طی نمونه برداری برخی از معيارها به شرح زير اعمال گردید.

^۱- Global Positioning System, GPS.



۱- در محل هر نمونه پس از کنار زدن مواد سطحي بستر آبراهه توسيط بيلچه اقدام به نمونه برداری شد.

۲- به منظور کاهش خطاي نمونه برداري سعى شد تا حد امكان طول مسیر برداشت نمونه ها در آبراهه افزایش پيدا کنند، مشروط بر آن که در طول مسیر شاخه فرعی جديدي آبراهه را قطع نکند. با توجه به عرض کم آبراهه ها امكان نمونه برداری دايره ای وجود نداشت. لذا اقدام به جمع آوري نمونه ها به صورت يك سري جزء نمونه از نقاط مناسب برای تجمع رسوبات در فواصل چند متري تا چند ده متري در طول آبراهه با رعيت شرایط بالا گردید.

۳- از برداشت مواد آلي اجتناب شد، چرا که اغلب به دليل ارتباط با پديده جذب، غلظت فلزات در آنها بالا است. تجربه نشان داده است که در مواردي آنومالي در اين مواد از نوع بي اهميت بوده و ارتباطي با کانيسازی ندارد.

۴- در جاهائي که عرض آبراهه ها کم بوده، سعى شد تا حد امكان نمونه ها از وسط آبراهه ها برداشت شود. در اين زمينته کوشش زيادي برای اجتناب از برداشت واريزه هاي کنار آبراهه ها شد، زيرا اين اجزاء معرف تركيب ميانگين رسوبات حوضه آبريز نیستند.

در نهايـت در اـين مرحلـه تعداد ۲۸۰ نـمونـه ژـئوشـيمـي (۱۹۶ نـمونـه مـربـوطـ بهـ کـلـيرـ و ۸۴ نـمونـه مـربـوطـ بهـ سـرابـ) اـز مـحدودـهـ منـطقـهـ مـورـدـ مـطالـعـهـ برـداـشتـ شـدـ.

۵- آماده سازی نمونه ها

اهميت مراحل اكتشافی و صحت هر کدام از آنها در اخذ نتایج همچون دانه های زنجيري هستند که سرانجام منجر به کشف نهشته های پنهان می شود. گسيختگی هر يك از اين حلقه ها می تواند تأثيری نامطلوب در نتيجه نهائی داشته باشد. آماده سازی و آنالیز نمونه ها نيز دانه های از اين زنجير هستند که دقت در حسن اجرای آنها متضمن حصول نتایج واقعی است.

پس از تعين دقیق محل نمونه ها و نمونه برداری صحيح از رسوبات آبراهه ای بر اساس طرح از پیش تعین شده، نمونه ها به محل کمپ منتقل شده و همزمان با کتربل نهائی نمونه ها سعی بر آن بود که از هر گونه آلودگی جلوگیری به عمل آید. نمونه های که به صورت خیس برداشت شده، نخست در دمای محیط خشک شده و سپس با الک ۸۰-۸۰ مش دانه بندی و شماره گذاری شده و به آزمایشگاه ارسال شدند. مرحله آماده سازی در آزمایشگاه شامل پودر کردن و همگنسازی می باشد. در این مرحله نمونه آبراهه ای به وسیله پودر کتnde حلقوی تا زير ۲۰۰-۲۰۰ میل پودر گردیده و از بخش پودر شده يك نمونه برای تجزیه انتخاب و بقیه بایگانی گردید.



اکتشاف ژئوشیمیائی عناصر کمیاب در محدوده شهرستانهای کلیبر و سراب

۲-۶- آنالیز نمونه‌های ژئوشیمیائی و حد حساسیت دستگاهها

نمونه‌ها در آزمایشگاه بین‌المللی ALS CHEMEX کانادا پس از آماده‌سازی به روش‌های ICP-MS و ICP-OES مورد آنالیز قرار گرفته‌اند و مقادیر ۳۸ عنصر در آنها اندازه‌گیری شده است.

مهمترین پارامتر در انتخاب روش آنالیز حد حساسیت آن می‌باشد. اصولاً وجود مقادیر سنسورد برای یک عنصر در تجزیه و تحلیلهای آماری اختلال ایجاد می‌کند. علاوه بر این، از آنجا که در اکتشافات ژئوشیمیائی اهمیت و کاربرد مقادیر عددی مربوط به هر یک از عناصر صرفاً به منظور مقایسه نسبی آنها با یکدیگر برای تعیین مقادیر آنومالی می‌باشد، لذا حصول مقادیر غیرسنسورد برای یک عنصر در ارتباط با مقدار زمینه آن انتخاب و باید بکوچکتر از آن باشد. با توجه به توضیحات فوق مقادیر حد حساسیت برای عناصر مورد نظر با توجه به تکیکهای آزمایشگاهی موجود و مقدار زمینه عناصر تعیین شده تا با توجه به فراوانی کم عناصر در برخی از سنگها تا حد امکان مقادیر غیرسنسورد حاصل شود.

در آنالیز نمونه‌های محدوده مورد مطالعه حد حساسیت دستگاهها برای هر یک از عناصر در جدول ۱-۲ آورده شده است. همانگونه که ملاحظه می‌شود تعداد ۳۸ عنصر مورد آنالیز قرار گرفت که از این میان عناصر Ag, Tl, به دلیل دارا بودن مقادیر زیاد سنسورد از پردازش حذف شدند.

عناصر مذکور برای ۱۹۶ نمونه مربوط به منطقه کلیبر و ۸۴ نمونه مربوط به منطقه سراب و ۲۰ نمونه تکراری آنالیز شده‌اند. به این ترتیب در این محدوده ۳۰۰ نمونه مورد آنالیز قرار گرفتند.



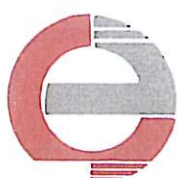
اکتشاف ژئوشیمیائی عناصر کمیاب در محدوده شهرستانهای کلیبر و سراب

جدول ۱-۲: حد حساسیت دستگاهها برای هر یک از عناصر مورد بررسی (بر حسب ppm)

Var	Detection Limit	Var	Detection Limit
Ba	0.2	Ni	2
Ce	0.5	Pb	5
Co	0.2	Pr	0.2
Cr	10	Rb	0.1
Cs	0.1	Sm	0.5
Cu	0.2	Sn	0.2
Dy	0.1	Sr	0.1
Er	0.1	Ta	0.2
Eu	0.1	Tb	0.2
Ga	1	Th	0.02
Gd	0.1	Tm	0.1
Hf	1	U	0.02
Ho	0.2	V	2
La	10	W	0.1
Lu	0.1	Y	0.05
Mo	2	Yb	0.1
Ag	1	Tl	0.1
Nb	1	Zn	0.2
Nd	1	Zr	5

۷-۲- دقت آنالیز نمونه‌های ژئوشیمیائی

یکی از سه مؤلفه اصلی در عملیات اکتشاف ژئوشیمیائی، خطای آزمایشگاهی است و به دست آوردن این خطای اطلاع از میزان دقت آنالیز حائز اهمیت است. از آنجا که در پروژه ژئوشیمیائی در مقیاس ناحیه‌ای هدف سنجش نسبی مقادیر هر عنصر نسبت به یکدیگر به منظور معرفی مناطق امیدبخش می‌باشد، لذا دقت اندازه‌گیریها در مقایسه با صحت آنها از درجه اهمیت بیشتری برخوردار است. به همین دلیل با آنالیز تکراری نمونه‌های ژئوشیمیائی دقت عملیات مورد بررسی قرار گرفت. در این پروژه ۲۰ نمونه به صورت تکراری و کاملاً تصادفی در کل محدوده مورد بررسی انتخاب گردیدند. در مرحله نخست جهت بررسی وضعیت دقت عملیات از دیاگرام کنترلی طراحی شده برای ۱۰٪ خطاهای، که توسط تامپسون و هووارث (۱۹۷۸) ارائه شده، استفاده گردید. بدین منظور ابتدا در جدول ۲-۲ مقادیر میانگین و اختلاف دو مقدار نمونه تکراری محاسبه شدند. در این جدولها در ستونهای اول و دوم شماره سریال نمونه‌های تکراری و جفت مربوط به هر یک، در ستونهای سوم و چهارم مقادیر اندازه‌گیری شده برای هر جفت نمونه، در ستون پنجم مقدار میانگین و در ستون ششم قدر مطلق تفاضل هر زوج نمونه آورده شده است. در دیاگرام کنترلی



تامپسون محورهای افقی و قائم به ترتیب مقادیر میانگین و قدر مطلق تفاضل هر دو اندازه‌گیری را نشان می‌دهند. پس از پیاده کردن نقاط مربوط به جفت نمونه‌های آنالیز شده در صورتی که ۹۰٪ داده‌ها زیر خط معادل ۱۰٪ (خط سبز) و ۹۹٪ داده‌ها زیر خط معادل ۱٪ (خط قرمز) قرار گیرند، خطا در حد ۱۰٪ خواهد بود. لذا بر اساس داده‌های موجود در جدول ۲-۲ ضمیمه فصل دوم دیاگرامهای کترلی هر یک از عناصر ترسیم گردید.

شکل ۱-۲ (پیوست فصل دوم) دیاگرام کترلی عناصر مورد نظر را نشان می‌دهند. با بررسی این دیاگرامها دیده می‌شود که برای تمام عناصر دقت آنالیز از شرایط قابل قبولی برخوردار است. شکلها و جدولها در ضمیمه فصل دوم آورده شده است. علاوه بر روش فوق روش ساده دیگری برای محاسبه خطای نسبی اندازه‌گیریها وجود دارد که با استفاده از رابطه زیر محاسبه می‌شود:

$$e = \frac{2}{n} \sum_{i=0}^n \frac{|x_i - y_i|}{x_i + y_i}$$

که در آن n تعداد نمونه‌های تکراری و x_i و y_i مقادیر اندازه‌گیری در نمونه‌های تکراری متناظر می‌باشد.

روش دیگر محاسبه تغیرپذیری نمونه‌های تکراری محاسبه پراش دو سری اندازه‌گیری است:

$$s^2 = \frac{\pi}{4} \left[\frac{\sum (x_1 - x_2)^2}{N} \right]^2$$

در این رابطه x پراش دو سری اندازه‌گیری، N تعداد جفت تکراری و x_1 و x_2 مقادیر اندازه‌گیری شده یک جفت نمونه تکراری است. اگر بخواهیم دقت اندازه‌گیری را محاسبه کنیم می‌توان از رابطه $CI = Z \cdot s$ استفاده کرد که در آن CI حدود اطمینان (نماینده دقت) و Z ضریب سطح اعتماد مطلوب است که در سطح اعتماد ۹۵٪ برابر ۱/۹۶ است. با توجه به جدول ۳-۲ مقادیر ضریب تغیرپذیری (CI) و خطای نسبی ($E\%$) در سطح اعتماد ۹۵٪ محاسبه شده است. همانگونه که در شکل ۲-۲ مشاهده می‌شود، بالاترین میزان خطا در عناصر قلع، تنگستن و یوروپیم مشاهده می‌شود.



اکتشاف ژئوشیمیائی عناصر کمیاب در محدوده شهرستانهای کلیبر و سراب

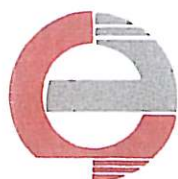
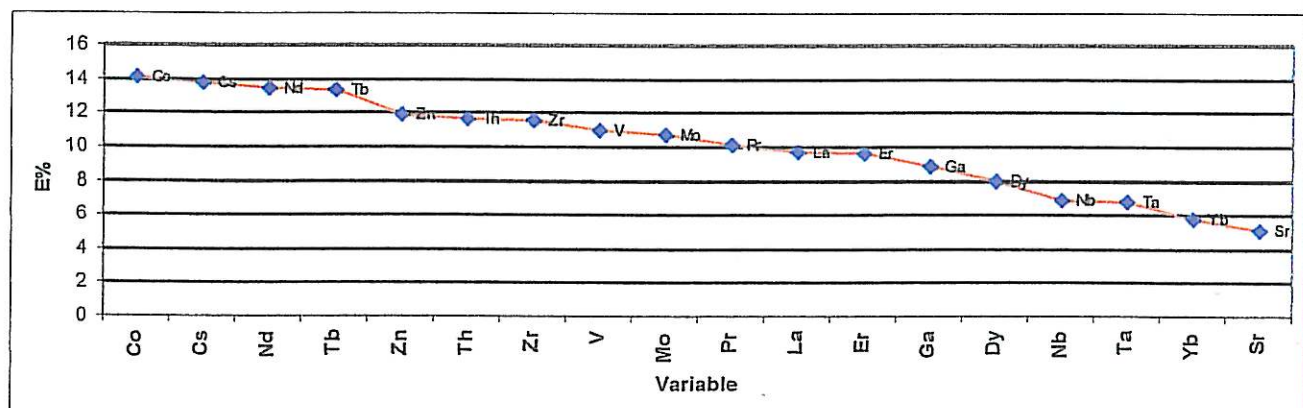
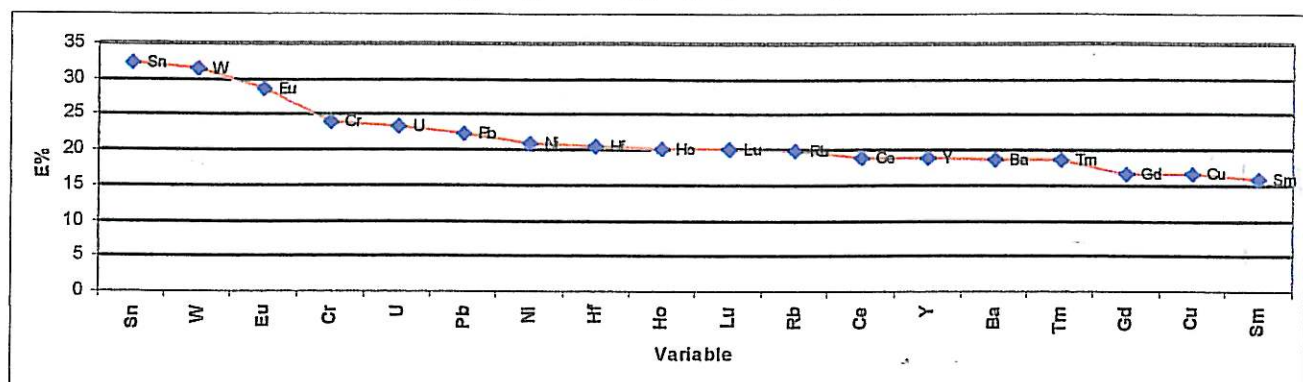
جدول ۲-۳- مقادیر خطای نسبی ($E\%$) و ضریب تغییرات (Cl) محاسبه شده برای عناصر مختلف

VARIABLE	E	Cl	S	G
Ba	0.186381013	18.63810126	105.2570682	206.3038536
Ge	0.188576131	18.85761315	12.65654225	24.8068228
Co	0.140265714	14.02657144	2.826347201	5.539640514
Cr	0.239275599	23.92755988	16.39104176	32.12644185
Cs	0.137140583	13.71405835	0.438571117	0.85959939
Cu	0.165844671	16.58446714	11.42942912	22.40168107
Dy	0.079435882	7.943588163	0.34554088	0.677260126
Er	0.095987498	9.598749828	0.239220609	0.468872395
Eu	0.284971863	28.4971863	0.314530801	0.616480371
Ga	0.087804218	8.78042185	1.461903725	2.8653313
Gd	0.166025706	16.60257063	0.890432269	1.745247246
Hf	0.204445554	20.44455544	0.797402032	1.562907982
Ho	0.200719959	20.0719959	0.163910418	0.321264419
La	0.096096253	9.609625346	2.870647314	5.626468735
Lu	0.200558788	20.05587876	0.070880181	0.138925154
Mo	0.106753247	10.67532468	0.31010079	0.607797549
Nb	0.068742255	6.874225461	0.93030237	1.823392646
Nd	0.133704219	13.37042187	3.654759312	7.163328251
Ni	0.207435739	20.74357386	5.183113205	10.15890188
Pb	0.223055677	22.30556767	4.341411061	8.509165679
Pr	0.100654854	10.06548542	0.713231817	1.397934362
Rb	0.19843089	19.843089	16.41319182	32.16985596
Sm	0.158135482	15.81354819	0.987892517	1.936269333
Sn	0.321904762	32.19047619	0.531601354	1.041938655
St	0.051030266	5.103026635	22.70380784	44.49946337
Ta	0.067803795	6.780379535	0.070880181	0.138925154
Tb	0.133013608	13.30136076	0.106320271	0.208387731
Td	0.115967469	11.59674694	0.974602483	1.910220867
Tm	0.186236998	18.62369983	0.062020158	0.12155951
U	0.233590205	23.35902053	0.593621512	1.163498164
V	0.108813823	10.8813823	23.96636106	46.97406768
W	0.313549784	31.35497835	0.841702144	1.649736203
Y	0.188271456	18.82714555	4.71796202	9.24720556
Yb	0.057212627	5.721262658	0.146190372	0.28653313
Zn	0.118477409	11.84774087	11.65092968	22.83582218
Zr	0.115166123	11.51661231	22.00829607	43.1362603



اکتشاف ژئوشیمیائی عناصر کمیاب در محدوده شهرستانهای کلیبر و سراب

شکل-۲-۲: نمودار تغییرات خطای نسبی



اکتشاف ژئوشیمیائی عناصر کمیاب در محدوده شهرستانهای کلیبر و سراب

بخش سوم: پردازش داده‌ها

اجرای هر پروژه اکتشافی از آغاز تا پایان به طور خلاصه شامل مراحل کلی زیر است، (حسنی‌پاک، شرف‌الدین، ۱۳۱۰) :

- ۱- فاز طراحی.
- ۲- نمونه‌برداری و اندازه‌گیری (فاز تولید داده‌ها).
- ۳- تحلیل داده‌ها و رسم نقشه‌های کاربردی.
- ۴- بررسی امکان‌سنجی (فنی و اقتصادی).

در بخش پیشین راجع به طراحی شبکه نمونه‌برداری، نحوه نمونه‌برداری، آماده‌سازی و اندازه‌گیری داده‌ها بحث شد. در این بخش به تجزیه و تحلیل داده‌ها می‌پردازیم:

پردازش داده‌ها، طبقه‌بندی و تبدیل آنها به شکلی قابل تفسیر است. این کار با تنظیم اطلاعات در بانکهای اطلاعاتی آغاز و با اعمال محاسبات مختلف ریاضی، آماری یا زمین‌آماری و یا رسم انواع نمودارها و نقشه‌ها اطلاعات قابل فهم تولید می‌کند. نکته خیلی مهم در اینجا این است که در هر مرحله باید با کترلهای مداوم از میزان خطاهای احتمالی کاست.

در این پروژه پس از دریافت نتایج آنالیز به صورت داده‌های خام ابتدا مقادیر سنسورد شناسائی شد. پس از آن نمونه‌های خارج از رده شناسائی شده و با مقادیری جایگزین گردیدند و بالاخره نرمال‌سازی داده‌های خام انجام شد. در این مرحله بانک اطلاعاتی متشكل از مختصات هر نمونه، مقادیر خام داده‌ها، لگاریتم مقادیر داده‌های خام و مقادیر نرمال شده داده‌های خام می‌باشد.

در مرحله نهایی با استفاده از داده‌های نرمال شده ضرایب همبستگی تعیین، آنالیز خوش‌آی و تجزیه عاملی انجام شد و سرانجام با استفاده از پارامترهای آماری جوامع زمینه از آنومالی جداسده و به کمک روش P.N آنومالیهای واقعی شناسائی شدند.

۱- برآورد مقادیر سنسورد
 داده‌های سنسورد به داده‌هایی گفته می‌شود که در بین آنها، به علت بالا بودن حد حساسیت دستگاه‌های اندازه‌گیری، تعدادی از داده‌ها به صورت مقادیر کوچکتر از حد حساسیت دستگاه یافت می‌شوند. چنین اعدادی



می‌تواند بررسیهای آماری را دچار اختلال کند. زیرا اولاً روش‌های آماری نیاز به مجموعه کاملی از داده‌های غیرسنسورد دارد و ثانیاً در مواردی، نظری جداسازی زمینه از آنمالی که سنجش‌های نسبی صورت می‌گیرد، وجود داده‌های سنسورد موجب ارزیابیهای غیردقیق می‌شود. اگر داده‌های سنسورد تخمین زده شده و جایگزین گردند مقدار زمینه و شدت آنمالیها دقیقت محاسبه خواهد شد.

پس از کنترل دقت آنالیز نمونه‌ها و بررسی خطاهای آنالیز در این مرحله ابتدا داده‌های خام مربوط به عناصری که دارای بیش از ۵۰٪ مقادیر سنسورد بودند کنار گذاشته شدند. هر چند پردازش این عناصر به علت بالا بودن مقادیر سنسورد حائز اهمیت نمی‌باشد، اما بررسی مقادیر غیرسنسورد این عناصر از لحاظ اکتشافی می‌تواند مفید باشد. عناصری که در این مرحله به علت بالا بودن تعداد داده‌های سنسورد کنار گذاشته شدند، شامل عناصر نقره و تالیم می‌باشند. عنصر تالیم ۱۰۰٪ دارای مقادیر سنسورد می‌باشد و ۹۷/۵٪ مقادیر نقره سنسورد می‌باشند.

به هر صورت با بررسی همه جانبه داده‌های سنسورد و روش‌های مختلف جایگزینی آنها، تصمیم بر آن شد که به جای مقادیر کمتر از حد تشخیص، مقدار $\frac{3}{4}$ حد آن جایگزین گردد (جدول ۳-۱). این روش جایگزینی مورد استفاده کارشناسان سازمان زمین‌شناسی آمریکا و کاربران نرم‌افزار STATPAC بوده است.

جدول (۳-۱) : حد حساسیت و مقادیر جایگزینی هر یک از عناصر در محدوده‌های کلیبر و سراب

Element	Total No.	Censored No.	Percent (%)	Detection Limit	Replaced Value
Ag	300	287	95.7	1	----
Cr	300	1	0.3	10	7.5
Mo	300	107	35.7	2	1.5
Pb	300	1	0.003	5	0.375
Ta	300	19	6.3	0.5	0.375
Tl	300	300	100	0.5	----
W	300	6	2	1	0.75

۲-۳- محاسبات آماری داده‌های خام

اولین گام در شناخت خصوصیات داده‌های اکتشافی محاسبه پارامترهای آماری داده‌ها، نظری میانگین، انحراف معیار، پراش، چولگی و کشیدگی است. این محاسبات در واقع ابتدایی‌ترین بررسیهای آماری می‌باشد. پس از کنترل دقت آزمایشگاه و تخمین مقادیر سنسورد و حذف متغیرهایی که بیش از ۵۰٪ سنسورد داشتند، داده‌ها در چند مرحله برای پردازش و بررسی پارامترهای آماری حاصل از آن تحت مطالعه قرار گرفتند.

داده‌های تک متغیره با نمایش شماری از آرایه‌های تک بعدی در راستای یک خط مقیاس‌بندی شده ارائه



می‌شوند. هدف از نمایش داده‌ها، اخذ نتایج بهتر و ارائه یک روش تفسیر مناسبتر آمارهای توصیفی است که به طور خلاصه در یک محیط نرم‌افزاری محاسبه شده و در یک محیط گرافیکی مطلوب به تصویر در می‌آید.

سه ویژگی موقعیت^۱، پراکندگی^۲ و شکل^۳ توسط هیستوگرام قابل بررسی و تفسیراند. این ویژگیها به یک یا چند مقدار ثابت وابسته‌اند که به نام پارامترهای جامعه و یا پارامترهای توزیع فراوانی نامیده می‌شوند. محاسبه ریاضی این پارامترها وابسته به میانگین و تغییرپذیری داده‌ها است. در این مرحله با توجه به تعیین ماهیت نرمال یا لاگ-نرمال هر عنصر، پارامترهای آماری دقیقتری برای عناصر به دست می‌آید. هیستوگرام فراوانی، منحنی فراوانی تجمعی و جدول مربوط به پارامترهای آماری هر یک از عناصر مورد مطالعه به ترتیب در شکل-۱-۳ و جدول-۲-۳ آورده شده است. با توجه به این نمودارها می‌توان به نتایج زیر دست یافت:

۱- اکثر عناصر دارای توزیع لاگ-نرمال هستند. از این میان عناصر Co, Ga, Ho, Lu, Tm دارای توزیع نرمالتری نسبت به دیگران می‌باشند.

۲- شکل توزیع فراوانی برخی از عناصر مؤید وجود جوامع آماری می‌باشد که این مسئله در ساده‌ترین حالت می‌تواند به صورت دو جامعه آنومالی و غیرآنومالی تلقی شود ولی با توجه به ماهیت نمونه‌برداری از رسوبات آبراهه‌ای می‌توان عوامل لیتلولوژی و زمین‌شناسی را نیز در پیدایش چنین جوامعی مؤثر دانست. به عبارت دیگر عوامل مختلفی نظری سنگ منشأ متنوع در بالادست نمونه آبراهه‌ای، فرآیند کانی‌سازی و غیره می‌توانند موجب بروز شکل غیرنرمال در توزیع فراوانی مقادیر عنصری شوند. عناصری که دارای جوامع دو مدلی هستند عبارتند از Rb, U, Th.

۳- با توجه به جدول پارامترهای آماری داده‌های خام (جدول ۲-۳) مقدار چولگی در تمام عناصر نسبتاً پایین می‌باشد. بالاترین مقدار آن ۵/۱ برای عنصر مولیبدن و ۴/۲۴ برای عنصر کرم است. وجود نمونه‌های خارج از ردیف در این عناصر منجر به بالارفتن میزان چولگی شده است. در عناصر کمیاب و نادر خاکی مقدار چولگی و کشیدگی بسیار پایین می‌باشد.

¹-Location.

²-Dispersion.

³-Shape.



Variable	Y	Yb	Zn	Zr
N	Valid	280	280	280
	Missing	0	0	0
Mean	28.0575	2.700714286	104.3142857	175.0807143
Std. Error of Mean	0.621417786	0.058002668	2.153654484	4.240232648
Median	24.9	2.4	97	160.5
Mode	21.4	2.2	84	147
Std. Deviation	10.39830842	0.970570274	36.03753235	70.9526632
Variance	108.1248181	0.942006656	1298.703738	5034.280415
Skewness	1.402948845	1.582626163	2.659671387	2.296671597
Std. Error of Skewness	0.145608915	0.145608915	0.145608915	0.145608915
Kurtosis	2.079014754	2.698931925	11.00852454	8.742332083
Std. Error of Kurtosis	0.290209022	0.290209022	0.290209022	0.290209022
Range	63	6.2	307	544
Minimum	7.3	0.8	33	61
Maximum	70.3	7	340	605
Percentiles	25	21.525	2.1	84
	50	24.9	2.4	97
	75	31.95	2.9	112.75
	90	43.48	4.3	143.8
	97.5	58.22	5.2	213.55
				350.65

۳-۳- بررسی روش‌های آماری آزمون مقادیر خارج از ردیف

در مباحث آماری به مقادیری که به طور معنی‌داری نسبت به سایر مقادیر اختلاف دارند، مقادیر خارج از ردیف گویند. این مقادیر گاهی به دلیل وجود خطاهای تجربی، مانند خطای آنالیز، در داده‌ها وارد می‌شوند، ولی گاهی هم به دلیل ناهمگنیهای موجود در جامعه داده‌های اکتشافی ایجاد می‌شوند. برای مثال در داده‌های اکتشافی ناحیه‌ای مقادیر آنومالی در این ردیف قرار می‌گیرند.

پر واضح است که چنین توزیعهایی را نمی‌توان توزیع نرمال در نظر گرفت. در این صورت ابتدا مقادیر خارج از ردیف را به کمک نمودارهای جعبه‌ای^۱ (شکل-۳-۱) شناسائی کرده و آنگاه آنها را از میان داده‌ها حذف یا توسط بالاترین مقدار پس از مقادیر خارج از ردیف جایگزین می‌کنیم. چنانچه نمونه‌های خارج از ردیف را حذف کنیم، در مرحله بعد پس از نرمال کردن داده‌ها این مقادیر را اضافه کرده و سپس جوامع آنومالی را جدا می‌کنیم. جدول (۳-۳) فهرست نمونه‌های دارای مقادیر خارج از ردیف را برای متغیرهای مختلف نشان می‌دهد.

¹-Box Plot.



جدول (۳-۳) : فهرست نمونه‌های دارای مقادیر خارج از ردیف.

Var	نمونه‌های خارج از ردیف	Var	نمونه‌های خارج از ردیف
Ba	154	Ni	165,67
Ce	23,63,221,194,240,226,51	Pb	2,8,10
Co	37,127,122,125,38,83	Pr	51
Cr	100,59,180,101,67,99	Rb	-----
Cs	5	Sm	23,63,221,57,51
Cu	44	Sn	4,221
Dy	57,63,221,51,83	Sr	154,145,150,151,134/1,146
Er	221,57,63,51,240,23	Ta	51,221,57,63
Eu	63,23	Tb	23
Ga	83,88	Th	138,44,45,46
Gd	23	Tm	23,64,63,221
Hf	5,221	U	135,221,63
Ho	23,221	V	135,221
La	51,221,63,23	W	44,45,46
Lu	221,280,63,57	Y	221,23,57
Mo	221,87	Yb	221,57,63,240
Nb	63,51,57	Zn	221,83
Nd	51	Zr	63,136,221,135,5

۴-۳- نرمال‌سازی داده‌های خام

پس از جداسازی مقادیر خارج از ردیف مشاهده می‌شود که هنوز داده‌های برخی از متغیرها به عنلت وجود خصلت لگ-نرمال کاملاً نرمال نشده‌اند. از طرفی لازمه استفاده از برخی روش‌های آماری، مانند محاسبه ضریب همبستگی پیرسون، نرمال بودن تابع توزیع متغیرهای مورد مطالعه است. بهمین دلیل بایستی تابعهای توزیع نرمال شوند. معمولاً روش‌های مختلفی جهت نرمال کردن توابع توزیع وجود دارد. مهمترین این روشها عبارتند از: تبدیل لگاریتمی سه‌پارامتری، تبدیل کاکس و باکس، استفاده از نمودار احتمال لگاریتمی، استفاده از نمودار فینی و ...

در این پژوهه جهت نرمال‌سازی داده‌ها از روش تبدیل لگاریتمی سه‌پارامتری استفاده شده است. در مواردی که با تبدیل لگاریتمی ساده نتوان توزیع داده‌ها را به توزیع نرمال نزدیک کرد با افزودن و یا کاستن عددی آن را می‌توان به توزیع نرمال نزدیک نمود. این روش، که به روش تبدیل لگاریتمی سه‌پارامتری معروف است، به صورت زیر تعریف می‌شود:

$$p(x) = L_g(ax \pm b)$$

در عمل برای ساده کردن تبدیل، مقدار a را واحد در نظر می‌گیرند، لذا تنها مسئله تعیین مقدار مثبت یا منفی b است. معمولاً مقدار این عدد با سعی و خطاب بدست می‌آید تا جایی که تابع توزیعی با ویژگی نرمال حاصل شود. برای اثبات نرمال شدن داده‌ها از هیستوگرامها و منحنی توزیع تجمعی و پارامترهای آماری مربوط به تک‌تک عناصر



استفاده شده است.

با توجه به پارامترهای آماری (جدول ۴-۳) و شکل‌های ۲-۳ هر متغیر می‌توان نتیجه گرفت که مقادیر چولگی و کشیدگی متغیرها در مقایسه با مقادیر متناظر داده‌های خام تا چه اندازه کاهش یافته و منحنی توزیع تجمعی آنها چطور به یک خط راست، که میین توزیع نرمال می‌باشد، تبدیل شده است.



۳-۵- بررسی آماری دومتغیره (تعیین ضرایب همبستگی)

در بررسیهای تک متغیره روابط بین متغیرها در نظر گرفته نمی‌شود و عملیات پردازش داده‌ها تنها روی یک متغیر، بدون در نظر گرفتن ارتباط بین متغیرها، صورت می‌گیرد. در صورتی که در زمین‌شناسی اقتصادی روابط و همبستگی ژنتیکی مستقیم و معکوس بین عناصر و کانسارهای مختلف وجود دارد که از اهمیت ویژه‌ای برخودار است. در بررسیهای دومتغیره همبستگی بین متغیرها با عددی به نام ضریب همبستگی نشان داده می‌شود. ضریب همبستگی می‌تواند نشانگر ارتباط همسوی دو متغیر a و b (افزایش یا کاهش همسوی دو متغیر a و b) و یا ارتباط غیرهمسوی آن دو (افزایش متغیر a همراه با کاهش متغیر b یا برعکس) باشد. در حالت اول همبستگی مستقیم و در حالت دوم همبستگی معکوس است. ضریب همبستگی عددی بین -1 و $+1$ است که عدد $+1$ بیانگر همبستگی کامل مستقیم، عدد -1 بیانگر همبستگی کامل معکوس و عدد صفر بیانگر عدم همبستگی می‌باشد.

ضرایب همبستگی از درجه اعتبار و سطح معنی‌دار بودن^۱ معنی برخودار هستند. این اطلاعات همراه با خود ضرایب همبستگی در جدولی توسط نرم‌افزار محاسبه می‌شود. این درجه اعتبار به تعداد نمونه‌ها بستگی دارد؛ هرچه تعداد نمونه‌ها بیشتر باشد ضرایب همبستگی از درجه اعتبار بیشتری برخودار می‌باشند. سطح اعتماد به صورت درصدی بیان می‌شوند. روش‌های گوناگونی برای محاسبه ضرایب همبستگی وجود دارد؛ روش محاسبه پیرسون، که به نوع تابع توزیع حساس است و روش‌های رتبه‌ای که چندان حساسیتی به تابع توزیع ندارند.

در این پروژه، از میان روش‌های گوناگون برای محاسبه ضرایب همبستگی، روش محاسبه ضرایب همبستگی رتبه‌ای اسپیرمن، که مستقل از تابع توزیع است، انتخاب شده که در آن r_{sp} ضریب همبستگی بین دو متغیر x و y رتبه متناظر آنها می‌باشد:

$$r_{sp} = \frac{\sum (R_i - \frac{n+1}{2})(S_i - \frac{n+1}{2})}{\sqrt{n(n^2-1)}}$$

در پروژه اکتشاف عناصر کمیاب ضرایب همبستگی در قالب یک ماتریس 36×36 به علاوه جدول سطح اعتماد این ضرایب با استفاده از ۲۸۰ داده در جدولهای (۳-۳) و (۳-۴) آورده شده است. مقایسه ضرایب همبستگی پیرسون و اسپیرمن نشان می‌دهد که مقادیر ضرایب همبستگی اسپیرمن بزرگتر از مقادیر ضرایب پیرسون می‌باشد. دلیل این امر وجود مقادیر خارج از ردیف در بین داده‌های خام است که باعث می‌شود ضریب همبستگی اسپیرمن غیرواقعی ارزیابی گردد. به عنوان مثال اگر مقادیر خارج از ردیف بزرگتر از داده‌ها باشد، ضریب همبستگی به طور غیرعادی بزرگتر برآورد می‌شود، بنابراین ضرایب همبستگی واقعیتر، ضرایب پیرسون است که برای داده‌های نرمال برآورده شده است. با توجه به ضرایب همبستگی اسپیرمن و پیرسون نتایج زیر استباط می‌شود:

¹ Significant Level



اکشاف ژئو شیمیائی عناصر کمیاب در محدوده شهرستانهای کلیبر و سراب

- ۱- همبستگی عنصر باریم با اکثر عناصر در حد ضعیف تا بسیار ضعیف می‌باشد. تنها با عنصر RB همبستگی خوبی نشان می‌دهد. باریم با رویدیدم در گروه عناصر LILE می‌باشد.
- ۲- همبستگی متوسطی بین عناصر کروم، کبالت و نیکل دیده می‌شود. این عناصر با سایر عناصر همبستگی ضعیفی از خود نشان می‌دهند.
- ۳- با توجه به جدول همبستگی اسپیرمن عناصر نادر خاکی با یکدیگر همبستگی بالایی از خود نشان می‌دهند.
- ۴- زیرکنیم بالاترین میزان همبستگی را با ها فنیم از خود نشان می‌دهد. این در حالی است که این عنصر با عناصری نظیر Ce, Y, Yb و بسیاری از عناصر کمیاب دیگر همبستگی بالایی دارد.
- ۵- روی همبستگی متوسط تا ضعیفی با عناصر دیگر دارد.
- ۶- اورانیم با برخی از عناصر کمیاب همبستگی خوبی از خود نشان می‌دهد. بالاترین میزان همبستگی با عنصر توریم می‌باشد.
- ۷- مس و مولیبدن بالاترین همبستگی را با یکدیگر از خود نشان می‌دهند. همبستگی این عناصر با سایر عناصر در حد ضعیف تا خیلی ضعیف می‌باشد.

ضریب همبستگی خطی معیاری از درجه تعایل دو متغیر بهداشت رابطه خطی است و شاید همبستگی کلی دو متغیر را نشان ندهد. پس لازم است برای درک بهتر ضریب همبستگی، آن را همراه با نمودار پراکنش مورد بررسی قرار داد.

نمودارهای شکل ۳-۳ پراکنش نمونه‌های ژئوشیمیائی برای عناصر کمیاب به صورت دو بهدو مورد بررسی قرار گرفته شده است. نمودارهای شکل ۴-۳ برای عناصر کمیاب به صورت سه بعدی نمایش داده شده است. با استفاده از این نمودارها می‌توان به دلایل همبستگی برخی عناصر و همبستگی ضعیف برخی دیگر پی‌برد. این نمودارها پراکنش نمونه‌های ژئوشیمیائی را برای عناصری به دست می‌دهند که در جدول ضرایب همبستگی پیرسون بیشترین میزان همبستگی را دارند.

با توجه به نمودارهای پراکنش می‌توان نتیجه گرفت بسیاری از عناصر نادر خاکی با یکدیگر و عناصر HFSE با یکدیگر رابطه خطی بهتری از خود نشان می‌دهند. این مسئله مربوط به بالا بودن سطح معنی‌دار بودن در عناصر مذکور می‌باشد.



۳-۶- برسیهای آماری چندمتغیره

۳-۶-۱- تجزیه و تحلیل خوشهای

در تحلیل خوشهای هدف دستیابی به ملاکی برای طبقه‌بندی هرچه مناسبتر متغیرها و یا نمونه‌ها^۱ براساس تشابه هرچه بیشتر درون‌گروهی و اختلاف هرچه بیشتر میان‌گروهی است. لذا اگر مقدار عیار مس در یک نمونه X و در نمونه Y دیگر Z باشد، ما با X-Y سروکار داریم. این ویژگی کمک می‌کند تا بتوان متغیرها و نمونه‌ها را به صورت خوشهایی، که بیشینه تشابه ممکن را درون خود و بیشینه اختلاف را میان خود دارند، رده‌بندی کرد.

هنگامی که n نمونه را برای p متغیر مختلف مورد اندازه‌گیری قرار می‌دهیم، می‌توانیم بر حسب میزان شباهتی که بین مقادیر این زوجها وجود دارد، نمونه‌ها و یا متغیرها را دسته‌بندی کنیم. این عمل می‌تواند منجر به گروه‌بندی واقعی و یا غیرانتظار شود که هم بررسی روابط جدید را به دنبال دارد و هم موجب کاهش داده‌ها و در نتیجه سهولت بررسی آنها می‌گردد. در روش آنالیز خوشهای دو نوع گروه‌بندی وجود دارد (حسنی‌پاک، شرف‌الدین، ۱۳۸۰) :

- نوع اول به گروه‌بندی متغیرها می‌پردازد و نوع R نام دارد.
- نوع دوم به گروه‌بندی نمونه‌ها می‌پردازد و بهنوع Q معروف است. از روش Q برای گروه‌بندی برخی جوامع سنگی نیز استفاده می‌شود.

روشهای مختلفی برای خوشه‌بندی داده‌ها وجود دارد. یکی از این روشها، روش اتصال^۲ است که در آن به ترتیب اشیاء (نمونه‌ها و متغیرها) با شباهت بیشتر با استفاده از روش بازگشتی بهم متصل می‌شوند. تمامی روش‌های خوشه‌بندی مبتنی بر ماتریس شباهتها می‌باشد که با یکی از روش‌های مندرج در بند قبل محاسبه می‌شود. در مرحله اول دو نمونه و یا دو متغیری که بیشترین شباهت را دارند بهم وصل می‌شوند. در هر تکرار شیوه‌ترین زوج خوشه‌ها و یا اشیاء بهم وصل می‌شوند. الگوریتمهای مختلفی برای محاسبه شباهتها بین خوشه‌ای و بین خوشه و شیء وجود دارد. این روشها عبارتند از: روش اتصال نزدیکترین همسایگی، روش دورترین همسایگی، روش وارد و روش اتصال عامل.

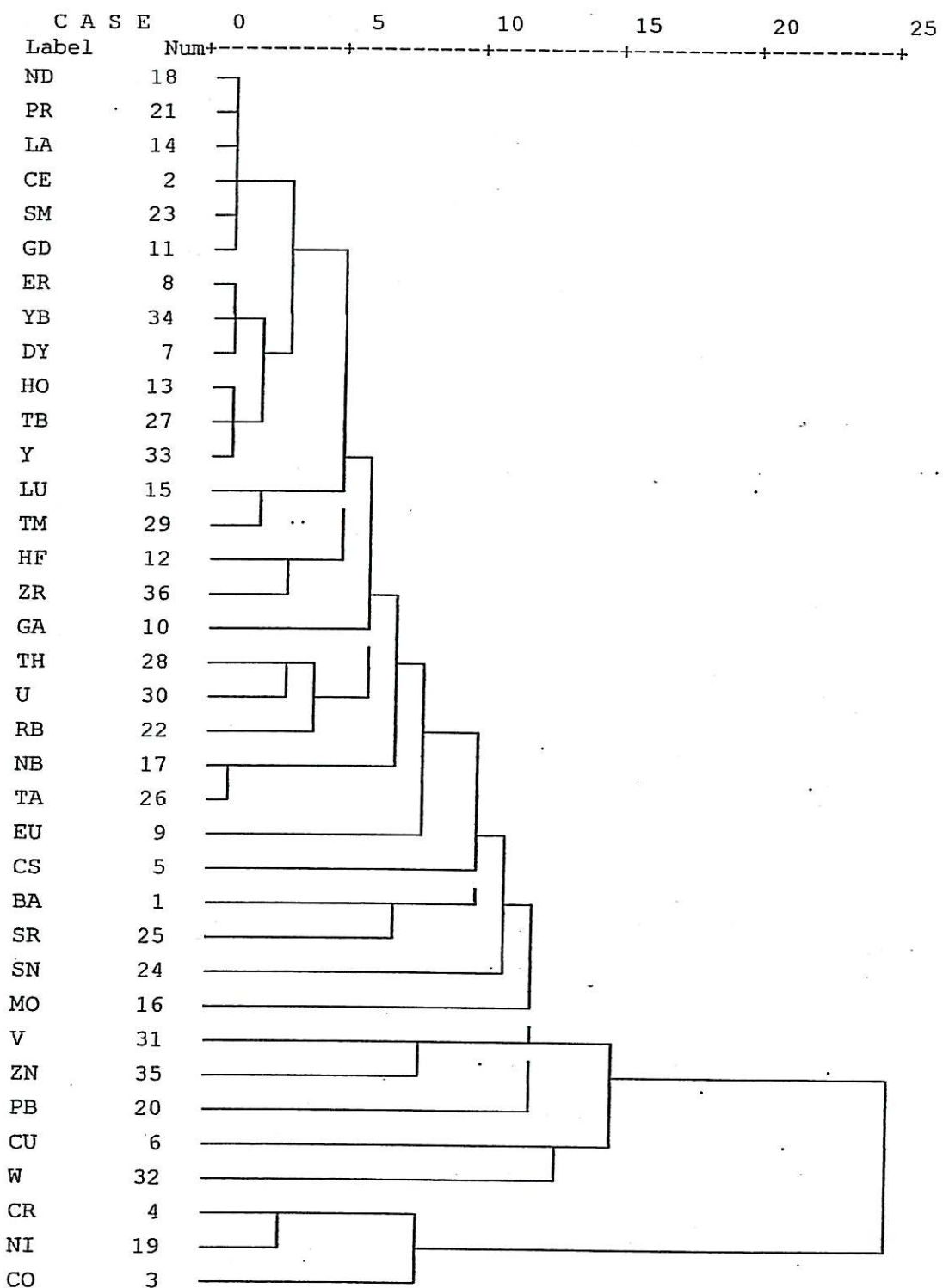
شکل ۳-۵ دیاگرام خوشهای مربوط به متغیرهای ژئوشیمیائی مختلف را نشان می‌دهد. با توجه به این شکل نتایج زیر استباط می‌شود.

¹-Variables and Cases.

²-Linkage.



Fig (3-5): Dendrogram Using Complete Linkage Rescaled Distance Cluster Combine for Normal Data.



اکتساف ژئوشیمیائی عناصر کمیاب در محدوده شهرستان کلیبر و سراب

- ۱- عناصر نادر خاکی با همبستگی بسیار خوب در جهار گروه در بالای نمودار خوش‌های قرار گرفته‌اند. در میان این عناصر کمترین میزان همبستگی بین عناصر La-Tm می‌باشد.
- ۲- در میان عناصر گروه HFSE نیوبیوم با عنصر تانتالیم و زیرکنیم با عنصرهای همبستگی خوبی از خود نشان می‌دهند.
- ۳- عناصر کروم- نیکل و کبالت با همبستگی متوسط در یک گروه قرار دارند.
- ۴- در میان عناصر گروه LILE باریم- سریم و استرانسیم با همبستگی متوسط تا ضعیفی در کنار یکدیگر واقع شده‌اند.



۳-۶-۳- تجزیه عاملی (آنالیز فاکتوری)

یکی از مسائل پیچیده و مهم در اکتشافات ژئوشیمیائی بررسی همزمان عناصر مورد مطالعه است. یکی از روش‌های بسیار قوی در این زمینه تجزیه و تحلیل فاکتوری است. این روش دو مزیت بسیار بزرگ دارد:

- کاهش ابعاد داده‌ها
- بیان ارتباط موجود بین عناصر گوناگون

نقش تجزیه و تحلیل فاکتوری به خصوص با تعداد زیاد عناصر مورد بررسی و تعداد زیاد نمونه‌ها بیش از پیش نمایان می‌شود، به طوری که فهم و درک تغییرپذیری داده‌ها را بسیار ساده‌تر می‌کند. تجزیه و تحلیل فاکتوری براساس روش PCA^۱ استوار است. این روش تکیکی برای پیدا کردن ترکیب خطی از متغیرهای اولیه همبستگی است که تشکیل یک دستگاه محور مختصات جدید بدنه‌ند. این ترکیبات خطی را مؤلفه‌های اصلی می‌نامند و دارای خواص زیر هستند:

۱- بخش اعظمی از تغییرپذیری توسط تعداد محدودی از متغیرهای جدید قابل توجیه است.

۲- متغیرهای جدید که محصول ترکیب خطی متغیرهای اولیه هستند، بین خود همبستگی نشان نمی‌دهند.

قبل از استفاده از روش PCA توجه به دو نکته ضروری است:

- اگر متغیرهای اولیه همبسته نباشند (ضریب همبستگی کوچکی داشته باشند)، دلیلی برای کاربرد این روش وجود ندارد، چرا که نتایج قابل قبولی از آنها به دست نمی‌آید.
- تجزیه و تحلیل فاکتوری زمانی صورت می‌گیرد که تعداد متغیرهای اولیه به حد کافی باشد.

تجزیه و تحلیل فاکتوری در چهار مرحله انجام می‌گیرد:

۱- محاسبه ضرایب همبستگی.

۲- استخراج عاملها که شامل تعیین تعداد و روش محاسبه عاملها است.

۳- دوران و اعمال تبدیلاتی خاص بر روی عاملها، برای آنکه روابط میان داده‌ها بهتر تفسیر شود.

۴- محاسبه امتیاز هر عامل برای تک‌تک نمونه‌ها.

لازم بذکر است که تجزیه و تحلیل فاکتوری ۲۸۰ نمونه برای ۳۶ عنصر کار بسیار طولانی و زمان‌بری است، ولی محاسبات کامپیوتری این مشکل را برطرف کرده و با سرعت بسیار تمام محاسبات انجام می‌گیرد. نتایج حاصل از آنالیز فاکتوری با استفاده از لگاریتم داده‌های خام در جدولهای (۷-۳) تا (۱۱-۳) آورده شده است. این جدولها حاصل مراحل گوناگون آنالیز فاکتوری است که در زیر توضیح داده می‌شوند:

^۱-Principal Component Analysis.



جدول آزمون KMO و بارتلت^۱ (جدول ۳-۷)

این جدول مربوط به آزمون KMO است که جهت بررسی میزان اعتبار آنالیز فاکتوری صورت می‌گیرد. در واقع این جدول جهت تأیید یا رد آنالیز فاکتوری کاربرد دارد. مقادیر KMO بزرگتر از ۰/۹۱ بیانگر این است که انجام آنالیز فاکتوری از اعتبار بالائی برخوردار است. بهمین ترتیب مقادیر ۰/۸ از اعتبار بالا، ۰/۷ از اعتبار متعادل، ۰/۶ از اعتبار ناقص و مقادیر KMO کمتر از ۰/۵ جهت انجام آنالیز فاکتوری بدون اعتبار هستند. مقدار KMO محاسبه شده برای داده‌های مربوط به این پروژه برابر ۰/۹۲۳۲ می‌باشد. این میزان بیانگر اعتبار بسیار بالای آنالیز فاکتوری برای این داده‌ها است.

جدول ۳-۷: آزمون KMO و بارتلت جهت انجام آنالیز فاکتوری

Kaiser-Meyer-Olkin Measure of Sampling Adequacy.		0.923217245
Bartlett's Test of Sphericity	Approx. Chi-Square	20845.4234
	df	630
	Sig.	0

جدول مشارکتها^۲ (جدول ۳-۸)

این جدول نشان دهنده برآورد اولیه عاملها و بیانگر میزان مشارکت عناصر در این روش است. همانطور که مشاهده می‌شود اکثر عناصر میزان Extraction بالا داشته که نشانه بالابودن میزان مشارکت آنها است. بیشترین درصد مشارکت با ضرایب بالای ۰/۷ مربوط به اکثر عناصر کمیاب و نادر خاکی می‌باشد. در این میان عناصر Pb, Mo, Sn, Zn دارای کمترین میزان مشارکت می‌باشند. بنابراین فاکتورهایی که این عناصر در شکل گیری آنها نقش دارند از اعتبار پایینی برخوردارند.

^۱-KMO (Kaiser-Meyer-Olkin) and Bartlett's Test.

^۲-Communalities.



جدول ۳-۸: میزان مشارکت هر یک از متغیرها در آنالیز فاکتوری

Var	Extraction	Var	Extraction
Ba	0.861598	Ni	0.909317
Ce	0.975295	Pb	0.288792
Co	0.819289	Pr	0.960441
Cs	0.977086	Rb	0.918026
Gs	0.816345	Sm	0.962446
Cu	0.875659	Sn	0.412352
Dy	0.905118	Sr	0.591121
Er	0.899933	Ta	0.798557
Eu	0.730592	Tb	0.96464
Ga	0.732268	Th	0.844607
Gd	0.954736	Tm	0.904682
Hf	0.817804	U	0.862867
Ho	0.939951	V	0.828331
La	0.953844	W	0.924913
Lu	0.857615	Y	0.911247
Mo	0.421985	Yb	0.888302
Nb	0.814998	Zn	0.63839
Nd	0.95334	Zr	0.821637

جدول توجیه تغییرپذیری کل^۱ (جدول ۹-۳)

از این مرحله به بعد مرحله اصلی توصیف آنالیز فاکتوری آغاز می‌گردد. تفسیر صحیح این جدول نقش مهمی در تجزیه و تحلیل فاکتوری دارد، چرا که یکی از معیارهای اصلی انتخاب تعداد فاکتورها توجیه میزان تغییرپذیری داده‌ها است، به طوری که داده‌های جدید باید حداقل تعداد ابعاد را داشته باشند و بتوانند حداقل میزان تغییرپذیری کل داده‌ها را توجیه کنند. تعداد ابعاد جدید با استفاده از این جدول تعیین می‌شود. در این جدول پارامترهای آماری شامل مقادیر ویژه واریانس و واریانس تجمعی هر مؤلفه همراه با مقادیر مشارکت هر مؤلفه محاسبه گردیده است. بیشترین مقدار ویژه در ارتباط با مؤلفه اول (فاکتور-۱) و برابر ۵۲/۶ و کمترین مقدار مربوط به مؤلفه ششم (فاکتور-۶) و برابر ۲/۸ است. همانطور که گفته شد واریانس تجمعی معیاری جهت تعیین تعداد فاکتورها می‌باشد.

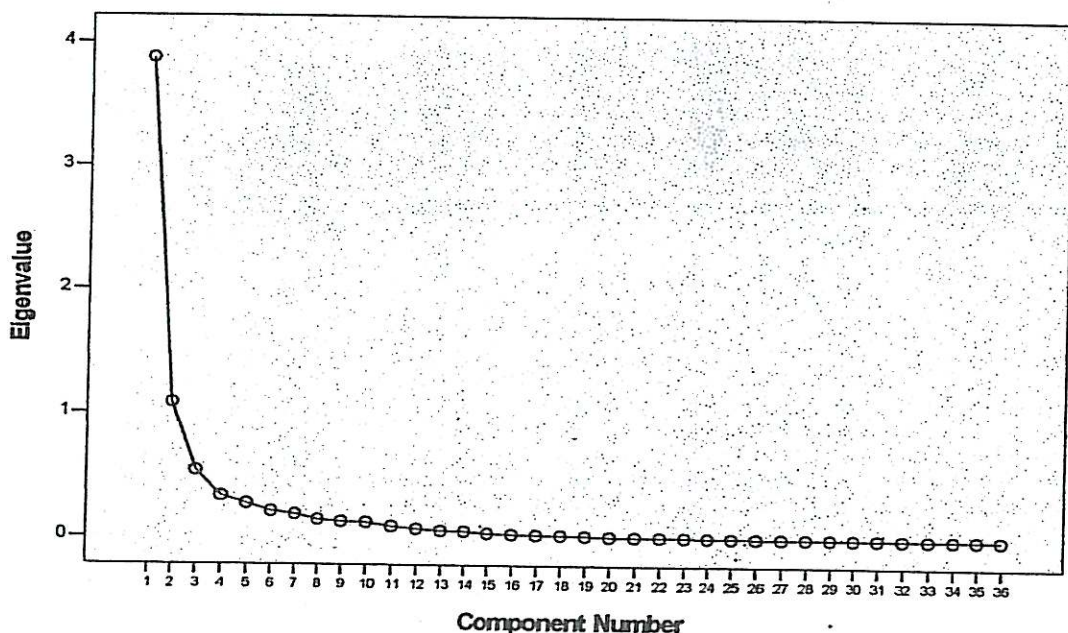
^۱-Total Variance Explained.

با توجه به جدول مذکور مشاهده می‌شود که تعداد ۶ فاکتور می‌توانند تقریباً ۸۶٪ کل تغیرپذیری را توجیه کنند که با توجه به این تعداد فاکتور، مقدار قابل قبولی است. بنابراین براساس آنالیز فاکتوری برای داده‌های این پروژه ۶ فاکتور معرفی شده است. این تعداد فاکتور از روی نمودار صخره‌ای^۱ نیز قابل تأیید است، (شکل ۳-۶). از بین ۶ فاکتور انتخاب شده، دو فاکتور اول و دوم بیشترین واریانس را دارا می‌باشد و بخش زیادی از تغیرپذیری را به تهایی توجیه می‌کنند، به طوری که میزان واریانس فاکتور اول تقریباً ۵۲/۶ و فاکتور دوم تقریباً ۱۴/۷٪ کل تغیرپذیری می‌باشد.

بعد از انتخاب ۶ مؤلفه اول، مقادیر خام هر مؤلفه نسبت بهر عنصر و مقادیر تبدیل یافته و ضریب امتیازی هر مؤلفه محاسبه شده است. مقادیر خام تحت بردار خاص VARIMAX قرار گرفته‌اند. این بردار در اثر چرخش محورها بیشترین واریانس را برای هر مؤلفه محاسبه می‌نماید. همانطور که ملاحظه می‌شود بعد از چرخش فاکتورها از میزان واریانس فاکتور اول کاسته شده و بر میزان واریانس سایر فاکتورها افزوده شده است. این نشان دهنده تأثیر بیشتر این فاکتورها در چرخش است.

شکل ۳-۶: نمودار صخره‌ای جهت نشان دادن تعداد فاکتورهای آنالیز فاکتوری

Scree Plot



¹ Scree Plot



جدولهای ماتریس مؤلفه^۱ و ماتریس مؤلفه چرخش یافته^۲ (جدولهای ۱۰-۳ و ۱۱-۳) فاکتورهای مذکور بیانگر جمع واریانس هر مؤلفه با واریانس مؤلفه قبلی است. با توجه به جدولهای مذکور و نمودار صخره‌ای ۴ مؤلفه (فاکتور) انتخاب شده است. علت انتخاب این مؤلفه‌ها به دو پارامتر زیر بستگی دارد:

پارامتر نخست: شامل درصد تجمعی واریانس حدود ۷۶٪ از یک جامعه ژئوشیمیائی که می‌تواند معرف تقریبی جامعه باشد. حال با در نظر گرفتن ۶ مؤلفه، تقریباً ۸۶٪ واریانس تجمعی جامعه پوشش داده می‌شود که برای تجزیه و تحلیل مؤلفه‌ها مناسب به نظر می‌رسد. دلیل پایین بودن میزان واریانس تجمعی، پایین بودن میزان مشارکت اکثر عناصر در انجام آنالیز فاکتوری می‌باشد.

پارامتر دوم: در بررسیهای آماری ژئوشیمیائی از نمودار صخره‌ای استفاده می‌شود که در آن مقادیر ویژه بر حسب اهمیت آنها از بزرگترین تا کوچکترین مقدار ردیف شده‌اند. با توجه به این نمودار مقادیر بالای دومین شکست (مقادیر ویژه بالای ۰/۵) معتبر برای انتخاب مؤلفه مورد استفاده قرار می‌گیرند. پس از این که مؤلفه‌ها انتخاب شدند، باید در نظر داشت که مؤلفه‌های خام (غیر چرخشی) نمی‌توانند تمام تغییرپذیری واقعی جامعه را نشان دهند. چون در بسیاری از موارد تعدادی از متغیرها به یک عامل ویژه یا حتی به تعدادی از عاملها بستگی دارد و در نتیجه تعبیر عوامل را با مشکل روپرتو خواهد کرد. از این‌رو روش‌هایی به وجود آمده است که بدون تغییر میزان اشتراک باعث تعبیر ساده عوامل می‌شود. این روش‌ها همان دوران عاملها است. بنابراین مؤلفه‌های خام باستی تحت تابع مشخصی چرخش داده شوند تا بهترین واریانس جامعه عمومی به دست آید. در بررسیهای ژئوشیمیائی بیشتر از تابع VARIMAX استفاده می‌شود. با انتخاب این تابع دورانی متعامد برروی ضرایب عامل صورت می‌گیرد. با این دوران تغییرات مربوط عناصر ستونی، برآورد ضرایب عاملها را ماقزیم می‌کند.

این روش مقادیری نسبتاً بزرگ یا صفر بهستونهای ماتریس ضرایب عاملها اختصاص می‌دهد. در نتیجه عواملی ایجاد می‌شوند که یا به شدت به متغیرها وابسته‌اند و یا مستقل از آنها هستند. این امر سبب ساده‌تر شدن تعبیر عاملها خواهد شد. مؤلفه‌های چرخش یافته جدید که به این ترتیب به دست می‌آیند مؤلفه‌های اصلی برای محاسبه امتیازات می‌باشد. مؤلفه‌های خام و چرخش یافته به ترتیب در جدولهای ۱۰-۳ و ۱۱-۳ آورده شده‌اند.

¹-Component Matrix.

²-Rotate Component Matrix.



اکتشاف ژئوشيميانى عناصر كمباب در محدوده شهرستان كلير و سراب

در نهايٽ پس از انجام آناليز فاكتوری تعداد ۶ فاكتور به شرح زير شكل گرفته‌اند. جداسازی اين فاكتورها بر اساس جدول ۱۲-۳ می‌باشد.

فاكتور-۱: در اين فاكتور بيشتر عناصر گروه نادر خاکی (REE) به همراه عناصر Zn, Ga مشارکت دارند. از اين ميان بيشترین ميزان مشارکت مربوط به عناصر Tm, Ho, Tb, Lu می‌باشد.

فاكتور-۲: در اين فاكتور به شكل جالبي عناصر گروه HFSE و عناصر W, Th مشارکت دارند. بيشترین ميزان مشارکت مربوط به عناصر W, Ta, Nb می‌باشد.

فاكتور-۳: در اين فاكتور شاهد مشارکت و همبستگي عناصر LILE به همراه عنصر اورانيم و يوروپيم از ميان عناصر نادر خاکي هستيم. بيشترین ميزان مشارکت مربوط به عنصر باريوم می‌باشد.

فاكتور-۴: اين فاكتور متشكل از عناصر كروم، نيكل و كبات می‌باشد. اين عناصر در فاكتور مذكور داراي مقدار منفي بالائي بوده و نقش ساير عناصر بسيار ناچيز می‌باشد.

فاكتور-۵: اين فاكتور متشكل از دو عنصر مس و موليبدن می‌باشد. سهم عنصر مس در اين فاكتور بسيار بالا می‌باشد، ولی در مقابل عنصر موليبدن به دليل پايين بودن سهم مشارکت اين عنصر در آناليز فاكتوری داراي سهم پايين تری می‌باشد.

فاكتور-۶: اين فاكتور متشكل از عناصر سزيم، واناديوم و روبيديوم می‌باشد. واناديوم داراي مقدار منفي بالا می‌باشد. در اين ميان سزيم داراي بالاترين مقدار می‌باشد.

در اکتشافات ژئوشيميانى فاكتورها ممکن است يانگر آثار تركيي فرآيندهای ژئوشيميانى متعددی مانند هوازدگي، توزيع ثانوي، جذب سطحي و يا حتى کانيسازی باشند. بنابراین فاكتور آناليز می‌تواند منعکس کننده همراهيهای ژئوشيميانى، که در خلال فرآيندهای ياد شده ايجاد می‌شوند، باشد. بنابراین فاكتور آناليز يکی از بهترین روشها جهت آشكارسازی روابط پنهانی بين نمونه‌ها، متغيرها و فاكторها است.



جدول ۱۲-۳: میزان مشارکت عناصر تعیین کننده و مهم در هر فاکتور

	۱	۲	۳	۴	۵	۶
Ba	-	-	0.713348	-	-	-
Ce	0.693225	-	-	-	-	-
Co	-	-	-	-0.653	-	-
Cr	-	-	-	-0.925	-	-
CS	-	-	-	-	-	0.696685
Cu	-	-	-	-	0.885771	-
Dy	0.817642	-	-	-	-	-
Eu	0.837349	-	-	-	-	-
Fu	0.528044	-	0.640501	-	-	-
Ga	0.58273	-	-	-	-	-
Gd	0.822362	-	-	-	-	-
Hf	0.596153	0.656264	-	-	-	-
Ho	0.938185	-	-	-	-	-
La	0.66316	-	-	-	-	-
Lu	0.918514	-	-	-	-	-
Mg	-	-	-	-	0.43946	-
Nb	-	0.713371	-	-	-	-
No	0.742581	-	-	-	-	-
Ni	-	-	-	-0.873	-	-
Pb	-	-	-	-	-	-
Pr	0.72049	-	-	-	-	-
Rb	-	-	0.544502	-	-	0.440394
Sm	0.764459	-	-	-	-	-
Sr	-	-	-	-	-	-
Sc	-	-	0.584076	-	-	-
Ta	-	0.737547	-	-	-	-
Tb	0.918369	-	-	-	-	-
Tm	-	0.526975	-	-	-	-
Tn	0.944551	-	-	-	-	-
U	-	-	0.574705	-	-	-
V	-	-	-	-	-	-0.66419
W	-	0.802612	-	-	-	-
Y	0.877212	-	-	-	-	-
Yb	0.822908	-	-	-	-	-
Zn	0.633501	-	-	-	-	-
Zr	-	0.558011	-	-	-	-



۳-۷-تخمین مقدار زمینه و آنومالی (جداسازی جامعه آنومالی از زمینه)

عمولاً در این زمینه روشهای آماری مختلفی برای جداسازی و تشخیص مناطق آنومال از زمینه توسعه یافته است. این روشهای از انواع ساده (غیرساختاری) تا پیچیده (براساس ساختار فضایی داده‌ها) تغییر می‌کند. مهمترین این روشهای عبارتند از:

- ❖ برآورده حد آستانه‌ای براساس میانه و انحراف معیار.
- ❖ جداسازی آنومالیها براساس حاصل ضرب $N.P.$.
- ❖ جداسازی آنومالیها براساس فواصل $M_{\text{لانتوپیس}}.$
- ❖ جداسازی آنومالیها با استفاده از نمودار احتمال.
- ❖ روش آماری انفصال.
- ❖ استفاده از تحلیل تمایز.
- ❖ استفاده از تحلیل فاکتوری.

در این پژوهه جامعه آنومالی از زمینه به کمک روش اول (براساس میانه و انحراف معیار) شناسائی شده است. اگر فقط تعداد کمی نمونه آنومالی در منطقه تحت پوشش مورد انتظار باشد، آنگاه می‌توان آنومالیهای احتمالی را با استفاده از پارامترهای آماری جامعه کل مشخص کرد. وجود تعداد زیادی مقادیر زمینه و تعداد کمی مقادیر آنومالی ممکن، به طور معمول در اکتشافات ناحیه‌ای با برداشت رسوبات آبراهه‌ای مشاهده می‌شود که در آن وجود یک نمونه آنومالی معرف وجود یک محدوده کانی‌سازی است.

از مقادیر زمینه برای تشخیص حد آستانه‌ای استفاده می‌شود. در اکتشافات ناحیه‌ای مقدار میانه داده‌های ژئوشیمیائی می‌تواند به عنوان حد زمینه در نظر گرفته شود. به طوری که نیمی از اعضای جامعه پاییتر (در محدوده زمینه) و نیم دیگر بالاتر از آن می‌باشد.

برای تعیین حد آستانه‌ای نیاز به پارامتر دیگری به نام انحراف معیار است. با توجه به آن که قسمت انتهائی تابع توزیع تحت تأثیر مقادیر آنومال می‌باشد، لذا توصیه می‌شود در تعیین انحراف معیار داده‌ها فقط از داده‌های موجود بین ۱۶ تا ۸۴ درصد فراوانی تجمعی توزیع استفاده شود. برطبق تجزیه و تحلیل آماری در یک توزیع برمال $\frac{8}{26}$ درصد از داده‌ها بین $S \pm X$ ، $95/44$ درصد بین $S \pm 2X$ و بالاخره $99/74$ درصد از داده‌ها بین $X \pm 3S$ قرار می‌گیرد. این بدان معنی است که در یک سری داده‌های ژئوشیمیائی به طور تئوری $183/6$ نمونه از هر 1000 نمونه در فاصله $X \pm S$ قرار می‌گیرند؛ از طرفی چون در برداشت‌های اکتشافی، هدف یافتن آنومالیها است لذا عبارت فوق را می‌توان به این صورت که ۱۵۹ نمونه از هر 1000 نمونه دارای مقادیر بیش از $S \pm X$ می‌باشند بیان نمود. به همین ترتیب 23 نمونه از هر 1000 نمونه دارای مقادیر بیش از $S \pm 2X$ و یک نمونه از هر 1000 نمونه دارای مقداری بیش از $S \pm 3X$ خواهد بود. در برداشت‌های



اکتشاف ژئوشیمیائی عناصر کمیاب در محدوده شهرستان کلیبر و سراب

ژئوشیمیائی معمولاً $X+2S$ را برای تعیین حد آستانه‌ای انتخاب می‌کنند. به عبارت دیگر مقادیر بزرگتر از $X+2S$ به عنوان آنومالی مورد توجه قرار می‌گیرند، به طوری که مقادیر بین $X+2S$ تا $X+3S$ به عنوان آنومالی ممکن و مقادیر بزرگتر از $X+3S$ به عنوان آنومالی احتمالی طبقه‌بندی می‌شود.

به این ترتیب مقادیر میانه و انحراف معیار محاسبه شده و پارامترهای آماری مربوطه به جداسازی آنومالیها در جدول ۱۳-۳ آورده شده است.

جدول ۱۳-۳: مقادیر میانه و انحراف معیار محاسبه شده برای جداسازی آنومالیهای منطقه کلیبر و سراب.

SAMPLE	X	S	$X+S$	$X+2S$	$X+3S$
Ba	630	254.4526	884.4526	1138.905	1393.358
Ce	61.7	37.8452	99.5452	137.3904	175.2356
Co	19.7	6.79252	26.49252	33.28504	40.07756
Cr	80	249.2726	329.2726	578.5452	827.8178
Gs	3.6	1.719865	5.319865	7.039731	8.759596
Cu	68	46.67812	114.6781	161.3562	208.0344
Dy	4.25	1.844115	6.094115	7.93823	9.782345
Er	2.5	1.026143	3.526143	4.552287	5.57843
Eu	1.5	0.714064	2.214064	2.928129	3.642193
Ga	18	3.01595	21.01595	24.0319	27.04785
Gd	5.5	2.731715	8.231715	10.96343	13.69515
Hf	4	2.056719	6.056719	8.113439	10.17016
Ho	0.8	0.354326	1.154326	1.508653	1.862979
La	33.25	19.007	52.257	71.26401	90.27101
Lu	0.4	0.152734	0.552734	0.705468	0.858202
Mo	2	1.336646	3.336646	4.673292	6.009939
Nb	16	7.584309	23.58431	31.16862	38.75293
Nd	29	16.94822	45.94822	62.89643	79.84465
Ni	32	32.8412	64.8412	97.68241	130.5236
Pb	20	14.41407	34.41407	48.82814	63.24222
Pr	7.6	4.555077	12.15508	16.71015	21.26523
Rb	93.7	44.45414	138.1541	182.6083	227.0624
Sm	5.7	3.265564	8.965564	12.23113	15.49669
Sn	2	0.936023	2.936023	3.872046	4.808069
Sr	453.5	230.6867	684.1867	914.8735	1145.56
Ta	1	0.505394	1.505394	2.010787	2.516181
Tb	0.8	0.35886	1.15886	1.517719	1.876579
Th	9	4.270165	13.27016	17.54033	21.81049
Tm	0.4	0.156625	0.556625	0.71325	0.869875
U	2.4	1.425478	3.825478	5.250956	6.676434
V	208.5	129.1202	337.6202	466.7404	595.8606
W	3	2.688307	5.688307	8.376614	11.06492
Y	24.9	10.39831	35.29831	45.69662	56.09493
Yb	2.4	0.97057	3.37057	4.341141	5.311711
Zn	97	36.03753	133.0375	169.0751	205.1126
Zr	160.5	70.95266	231.4527	302.4053	373.358



۳-۸- جداسازی آنومالیها بر اساس حاصل ضرب $P.N$

منطق روش $P.N$ در تشخیص مقادیر آنومالی بر دو اصل استوار است. یکی افزایش مقدار متغیر و دیگری افزایش فراوانی نسبی آن. بنابراین شدت هر آنومالی تابع دو عامل است (حسنی پاک، شرف الدین، ۱۳۸۰) :

الف- احتمال پیدایش نمونه‌ای با مقدار مطلوب مورد نظر (p) : هرچه این احتمال کوچکتر باشد شدت آنومالی در نمونه معرف آن بیشتر خواهد شد. به عنوان مثال اگر احتمال رخداد نمونه‌ای با عیار یک گرم در تن طلا از رسوبات آبراهه‌ای منطقه خاصی 0.0001 و احتمال رخداد نمونه‌ای با ۴ گرم در تن طلا از همان رسوبات در همان منطقه 0.00001 باشد، رخداد یک مورد از هر یک از این مقادیر دلالت بر قویتر بودن آنومالی دوم یعنی ۴ گرم در تن است.

ب- تعداد نمونه‌های برداشت شده (N) : هرچه این مقدار کوچکتر باشد شدت آنومالی قویتر است، زیرا به طور متوسط وجود یک مقدار بزرگتر $X+3S$ در بین 1000 نمونه امری طبیعی است و جزئی از خصوصیات توزیع نرمال است اما اگر یک مقدار بزرگتر از $X+3S$ در بین 100 نمونه یافت شود غیرعادی است و می‌تواند ناشی از وجود مقادیر آنومالی باشد. بنابراین حاصل ضرب دو عامل فوق یعنی ($P.N$) می‌تواند به عنوان معیاری برای انتخاب آنومالیها باشد. هرچه این مقدار کوچکتر از واحد باشد آنومالیها دارای شدت بیشتری می‌باشند، زیرا در حالت نرمال بودن حاصل ضرب تعداد نمونه با عیار مفروض در احتمال وقوع آن عیار واحد خواهد بود. مقدار p برای هر عنصر در هر نمونه برای احتمال رخداد عیارهای بزرگتر یا مساوی مقدار متغیر مورد بررسی در نمونه مورد نظر است. بنابراین اگر مقدار متغیر مورد بررسی برای نمونه مورد نظر را X_0 بنامیم از روابط زیر می‌توان مقدار p را به دست آورد :

$$p = \Phi(Z > Z_0) = 0.5 - \Phi(Z \leq Z_0)$$

$$Z_0 = \frac{X_0 - X}{S}$$

که در آن Z_0 مقدار استاندارد شده X_0 و X میانگین داده‌ها، S انحراف معیار داده‌ها و Φ چگالی توزیع نرمال است. معیار انتخاب یک نمونه به عنوان آنومالی آن است که $1 < p$ باشد، یعنی $P.N$ خیلی کوچکتر از واحد باشد. بنابراین از روش $P.N$ می‌توان به عنوان غربالی برای پالایش آنومالیهای به دست آمده از روش‌های قبلی و مرتب‌سازی آنها به ترتیب اهمیت استفاده کرد. معمولاً برای آنکه با مقادیر عددی خیلی کوچک سروکار نداشته باشیم، به جای $P.N$ می‌توان از مقدار $\frac{1}{P.N}$ استفاده کرد. در این صورت هرچه مقدار $\frac{1}{P.N}$ بزرگتر از واحد باشد، آنومالی مورد نظر با اهمیت‌تر است. نتایج حاصل از این محاسبات در محدوده مورد مطالعه در جدول ۳-۱۴ آورده شده است. با توجه به این جدول می‌توان دریافت تعداد ۶۳ نمونه دارای ناهمجارتی هستند.



بخش چهارم

تضمین شپگه شاخص شناسی‌اشگی و ترسیم نشنه‌های ژئوشیمیائی

به عنوان یک قاعده کلی سنگهای لیتوسفر که به گونه خاصی تعلق دارند از طریق ترکیب شیمیائی بسیار مشابه اجزاء اصلیشان مشخص می‌شوند. علاوه بر این امکان تشخیص سری متوالی از عناصر کمیاب براساس فراوانی آنها برای هر گروه از سنگها وجود دارد در این سری هر عنصر کمیاب براساس میانگین فراوانی خود مکان معینی را اشغال می‌کند. البته برخلاف عناصر اصلی، مقدار عناصر کمیاب در هر نوع سنگ احتمالاً تا حدود قابل ملاحظه‌ای تغییر می‌کند. این تغییرات به عوامل متعددی بستگی دارد. در نتیجه گاهی مقدار میانگین عناصر کمیاب در سنگهایی که عناصر اصلی تشکیل‌دهنده آنها دارای فراوانی مشابهی هستند، مقداری است که نسبت به یکدیگر تا چندین مرتبه تغییر می‌نمایند این تغییرات مقدار میانگین ممکن است طوری باشد که نسبت به آنچه میانگین ممکن است طوری باشد که نسبت به آنچه در یک سری استاندارد به عنوان مقدار زمان شناخته می‌شود انحراف شدیدی را نشان دهد، (Beus. AA and Grigorian, 1977).

این ویژگی ژئوشیمیائی در توزیع عناصر کمیاب، قاعده‌تاً به عنوان صفتی بارز برای هر نوع سنگ خاصی به حساب می‌آید. بدین جهت نتایج حاصل از مطالعات توزیع عناصر کمیاب در سنگها امروزه کاربرد وسیعی در بررسیهای اکتشافی پیدا کرده است. در این ارتباط مسئله ویژگیهای ژئوشیمیائی کمپلکس‌های زمین‌شناسی بویژه در سالهای ۱۹۵۰ تا ۱۹۷۰ اهمیت بخصوصی کسب کرده است. به طور کلی به سیمای خاص توزیع یک یا چند عنصر کمیاب در سنگهای ویژگی ژئوشیمیائی اطلاق می‌شود و بر حسب غلظت زیادتر یا کمتر این عناصر یا مقادیر غیرعادی پراش آنها که برای آن از نوع سنگ خاص نامعمول است بیان می‌شود.

ممکن است در یک سری متوالی از عناصر کمیاب که شاخص یک نوع سنگ معینی است انحراف قابل ملاحظه‌ای دیده شود چنین انحرافاتی جهت تعیین ارتباط ژنتیکی بین سنگها، تعیین شاخص تشابه یا بی تهشیبی بین سنگها و تعیین قدرت تولید کانسار چنین سنگهایی به کار می‌رود.

وقتی ویژگیهای ژئوشیمیائی به عنوان ملاکی برای ارزیابی قدرت تولید کانسار به کار رود این اصطلاح معمولاً به کلیه اختصاصات ژئوشیمیائی یک کمپلکس کانه‌دار آذرین، و یا رسوی اطلاق می‌گردد که امکان تشخیص آن



کمپلکس را از سنگهایی که ترکیب شیمیائی و چگونگی پیدایش مشابهی دارند، ولی از نظر کانی‌سازی عقیم می‌باشد فراهم می‌سازد.

ویژگیهای ژئوشیمیائی عناصر کمیاب در سنگهای آذرین به‌وسیله تعدادی از عوامل از جمله اختصاصات ژئوشیمیائی مادر، اختصاصات ژئوشیمیائی محیط تبلور و سنگهای درونگیر و خصلت دگرسانی بعد از مرحله ماقمایی سنگ مادر تعیین می‌شود.

تاوسون ۱۹۶۷ نتیجه گرفت که مقادیر عناصر کمیاب در واحدهای آلترا نشده با ژنز مشخص، بدون توجه به سن و وضعیت زمین‌شناسی آن، تا حدود زیادی ثابت است. بنابراین باید پذیرفت که غنی‌شدگی توده‌های نفوذی از عناصر کانساری به‌فعالیت‌های بعد از ماقمایی (Post-Magmatic) مربوط می‌شود.

نحوه توزیع (پراکندگی و تمرکز) عناصر نیز در شرایط مختلف متفاوت می‌باشد و به ترکیب ماقمای اولیه، اندازه و عمق توده نفوذی و شرایط تکتونیکی تبلور و مسیر آن بستگی دارد.

برای نمایش پیوسته تغیرات در کل نقشه‌های ژئوشیمیائی لازم است مقادیر Z در تمام صفحه $Z-X$ معلوم باشد. در عمل برای دستیابی به‌چنین شرایطی لازم است منطقه تحت پوشش را به شبکه منظمی تقسیم کرد. سپس مقدار متغیر مورد نظر را براساس داده‌های معلوم در نقاط مجھول تخمین زد. در این روش هرچه ابعاد سلول شبکه تخمین کوچکتر باشد حجم محاسبات بیشتر می‌شود. بنابراین شبکه‌بندی دارای محدودیت است و علاوه بر نظر کارشناس وجود امکانات سخت‌افزاری و نرم‌افزاری نیز در ابعاد شبکه تأثیر دارد.

۴-۱- روش کار

در محدوده مورد مطالعه در مرحله طراحی تعداد ۲۸۰ نمونه ژئوشیمیائی طراحی گردید. همانگونه که در بخش قبل عنوان گردید بر روی داده‌های حاصل از آنالیز نمونه‌های ژئوشیمیائی ابتدا یک سری عملیات آماری صورت گرفت.

به‌این صورت که ابتدا مقادیر سنسور دخیل شدند سپس مقادیر داده‌های خارج از رده شناسایی و جدا شدند و در نهایت به‌روش لگاریتمی سه پارامتری داده‌های نرمال شدند. در مرحله بعد با استفاده از مقادیر نرمال نقشه‌های پراکنش ژئوشیمیائی عناصر کمیاب با روش تخمین شبکه ترسیم شدند.

قبل از انجام عملیات تخمین شبکه لازم است ابتدا محدوده حوضه آبریز بالادست هر نمونه ژئوشیمیائی جدا شود. این کار به کمک نقشه‌های توپوگرافی انجام شد.

برای هر تخمین لازم است پارامترهایی با توجه به نوع داده‌ها، هدف از تخمین و ساختار قضائی داده‌ها تعیین شود.



کارائی هر روش تخمین تا حدود زیادی بستگی به تعیین صحیح این پارامترها دارد. این پارامترها عبارتند از:

- ۱- تعیین نقاطی که باید در تخمین یک نقطه مجھول شرکت کنند (نمونه‌هایی که در بخش پایین دست هر نقطه از نقشه وجود دارند).
- ۲- حداقل و حداکثر تعداد نقاط کنترلی که باید در تخمین یک نقطه مجھول شرکت کنند.
- ۳- نحوه جستجوی نقاط.
- ۴- ابعاد شبکه تخمین هرچه کوچکتر در نظر گرفته شود، نمایش نتایج حاصل از درون‌بایی دقیق‌تر خواهد بود. لازم به ذکر است در صورت کاهش ابعاد شبکه، حجم محاسبات و حافظه مورد نیاز برای نگهداری اطلاعات مربوط به هر سلول شبکه افزایش خواهد یافت.
- ۵- وزن نقاط کنترلی در تخمین نقطه مورد تخمین.
- ۶- تخمین مقدار زمینه و آنومالی (جداسازی جامعه آنومالی از زمینه).

۴-۲- شرح آنومالیهای مقدماتی ژئوشیمیائی

اکتشافات ژئوشیمیائی به روش آبراههای در نهایت منجر به هدف‌دارترین بخش یک گزارش اکتشافی می‌شود که به نام نقشه ناهنجاری مهمترین و کارآمدترین قسمت یک پروژه ژئوشیمیائی است و نقش ویژه و ارزش‌های را در تعیین مناطق امیدبخش ایفا می‌نماید. در تعیین دقیق مناطق امیدبخش با پارامترهای همچون طراحی مناسب و منطقی، نمونه‌برداری دقیق، آماده‌سازی و روش آنالیز مفید و کارساز با حد خطای مجاز و در نهایت داده‌پردازی مناسب انجام شده بر روی نتایج آنالیز، نقش اساسی و پایه را به عهده دارد.

در راستای صحت و درستی نواحی ناهنجاری معرفی شده برای هر عنصر، مراحل بررسی و کنترل آنومالیها نقش انکارناپذیری را ایفا می‌کنند. در این مرحله از عملیات صحرائی مشاهدات اکتشافگران در همسویی با پدیده‌های زمین‌شناسی، زمین‌ساختی، کانه‌زائی، دگرسانی و... در تعییر و تفسیر نواحی ناهنجار روش‌نگر بسیاری از رفتارهای غیرعادی ژئوشیمیائی خواهد بود.

در این بخش به تشریح پرآکنش ژئوشیمیائی و ناهنجاری‌های عناصر مورد آنالیز می‌پردازیم و در نهایت نقشه ناهنجاری‌های فاکتوری و ناهنجاری‌های حاصل از روش PN نیز آورده شده است.



اکتشاف ژئوشیمیائی عناصر کمیاب در محدوده شهرستان کلیبر و سراب

۴-۲-۱- عنصر نادر خاکی

این عناصر متشکل از ۱۵ عنصر بوده و شامل گروه لantanیم و به همراه عنصر لantanیم در گروه ۳ جدول تناوبی می باشد.

۴-۱-۱- لantanیم (La)، نقشه های شماره A-14 و B-14

این عنصر با عدد اتمی ۵۷ اولین عنصر این گروه می باشد، این عنصر در منطقه کلیبر در شمال روستای حیران علیا حوالی شجاع آباد و جنوب غرب زاویه ناهنجاری نشان می دهد. عنصر لantanیم در مناطقی که توده نفلین سینیت رخمنون دارد دارای عیار بالایی می باشد. نمونه های دارای ناهنجاری این عنصر شامل نمونه های ۲۳، ۵۱، ۵۷ و ۶۳ می باشد. در منطقه سراب نیز عنصر لantanیم در مناطقی که نفلین سینیت بزقوش رخمنون دارد دارای عیار بالاتری می باشد. مقادیر زمینه (Back Ground) در واحدهای ولکانیکی مشاهده می شود.

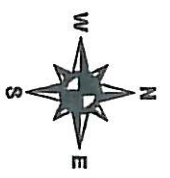
مقادیر دارای ناهنجاری این عنصر در نمونه های ۲۲۱، ۲۲۰، ۲۲۴ و ۲۴۰ دیده می شود عیار لantanیم در این

نمونه ها به شرح زیر می باشد:

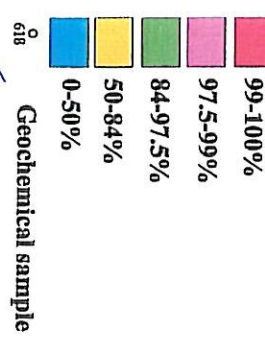
عنوان	نتیجه نمونه
۵۱	۱۰۵
۲۲۱	۹۷.۴
۲۳	۹۷.۳
۶۳	۹۳.۲
۵۷	۹۰.۳
۶۴	۸۷
۶۲	۸۵.۹
۱۹۴	۸۵.۷
۶۱	۸۴.۳
۲۴۰	۸۲.۱
۶۶	۷۷.۷
۲۲۶	۷۷.۲
۲۲۴	۷۶.۷
۲۵	۷۶.۳
۲۳۶	۷۳.۹
۲۲۲	۷۱.۸
۱۶۱	۷۱.۶



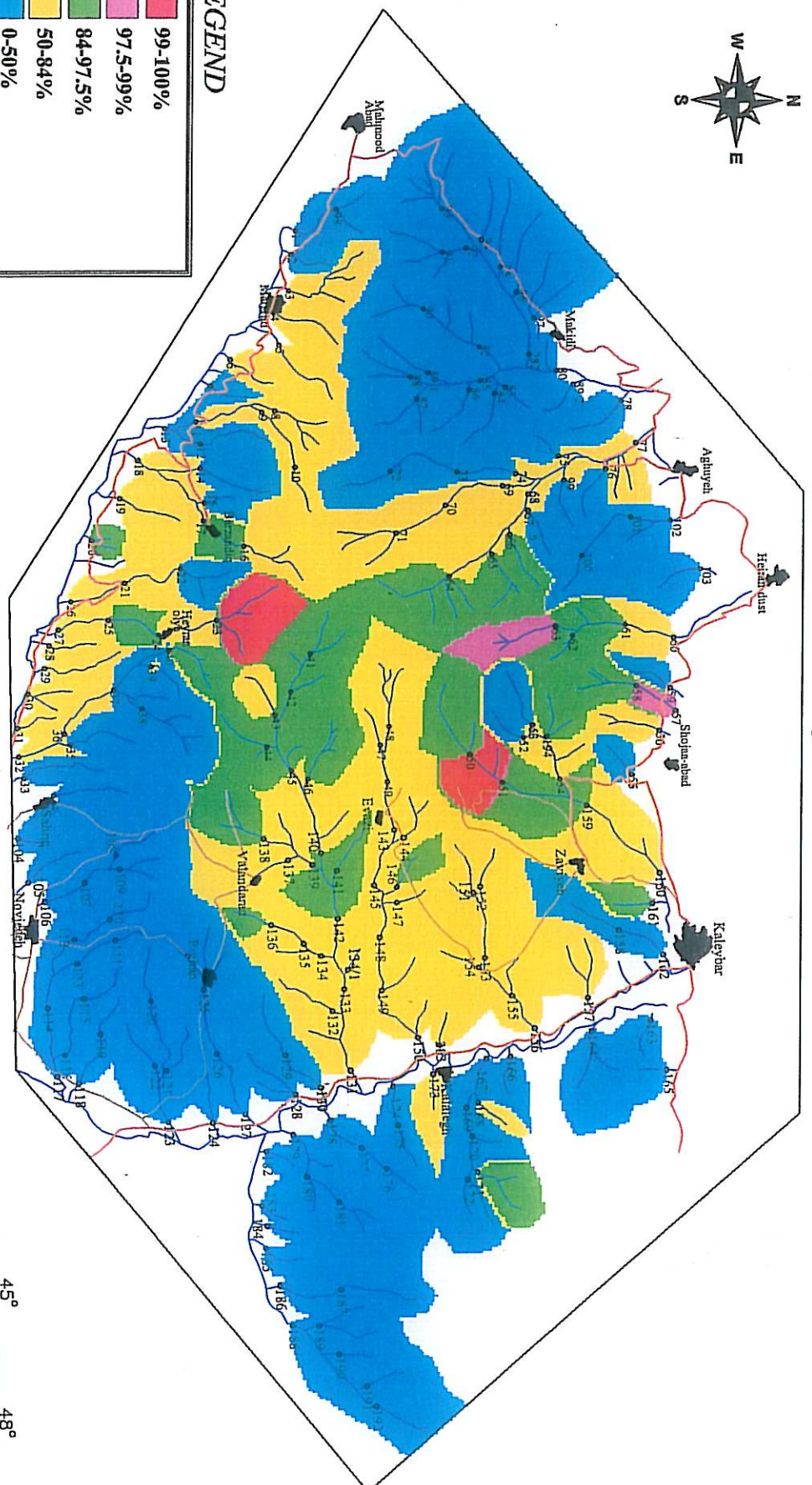
Kaleybar



LEGEND



Scale: 1/20,000
0 2 4 6 8 Km

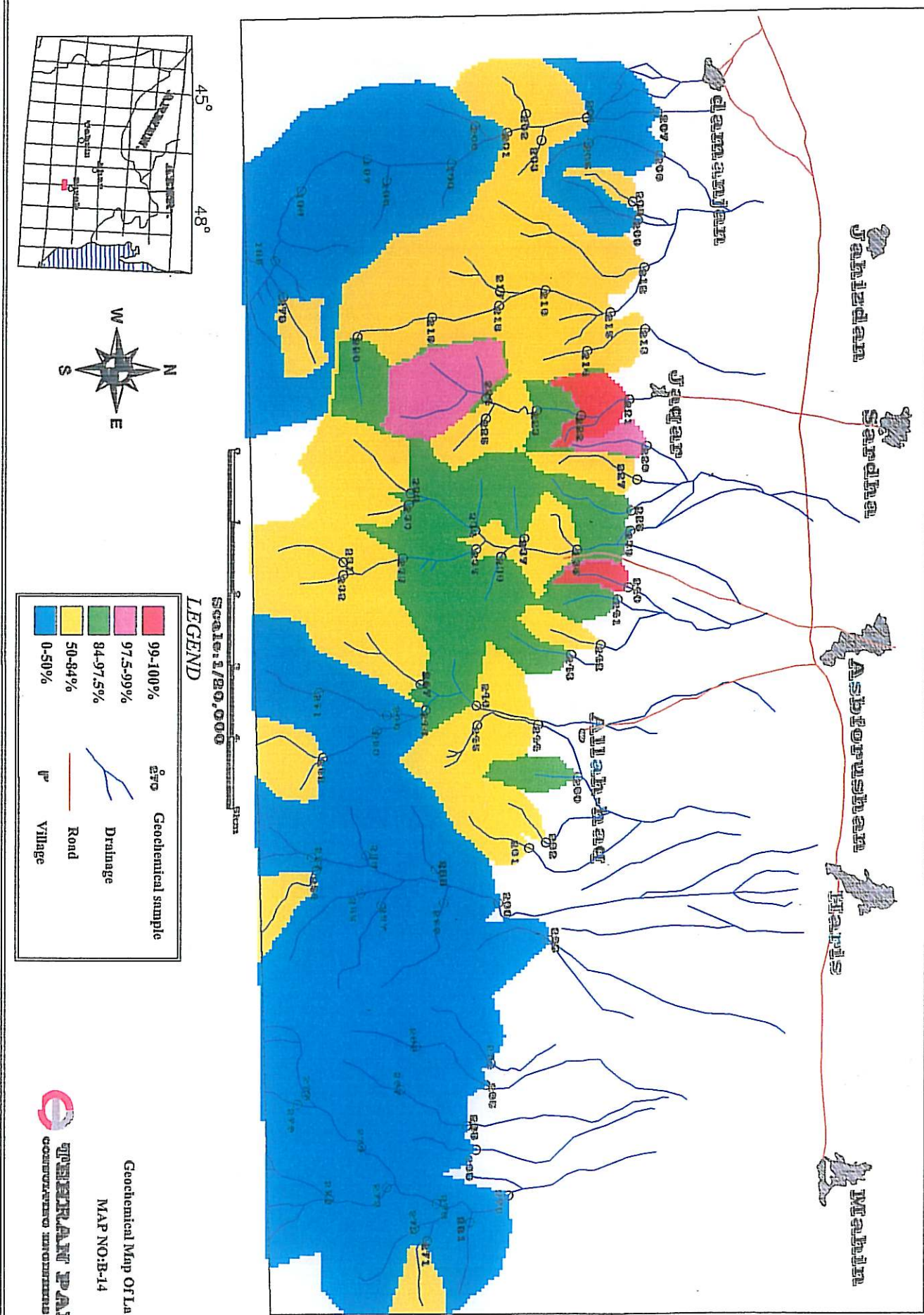


Geological Map Of La

MAP NO:A-14

TEHRAN PADIR

CONSULTING ENGINEERS COMPANY



اکتشاف زئوژیمیانی عناصر کمیاب در محدوده شهرستان کلیبر و سراب

B-2-A-2 و B-2-Ce، نقشه‌های شماره ۲-۱-۲-۴

سریم با دارا بودن عدد اتمی ۵۸ دومین عنصر گروه عناصر نادر خاکی می‌باشد. در منطقه پراکنش این عنصر شbahت زیادی با عنصر لانتائم دارد. ناهنجاری این عنصر در بخش شمال حیران علیا و جنوب غرب روستای زاویه دیده می‌شود. نمونه‌های دارای ناهنجاری این عنصر شامل نمونه‌های ۱, ۴, ۲۳, ۵۱, ۵۷ و ۶۳ می‌باشد.

در منطقه سراب (بزقوش) نیز پراکنش این عنصر شbahت زیادی با عنصر La دارد. ناهنجاری این عنصر در جنوب روستای جفر دیده می‌شود. نمونه‌های دارای ناهنجاری عنصر سریم شامل ۲۲۰, ۲۲۱, ۲۲۴ و ۲۴۹ می‌باشد. عیار سریم در نمونه‌های دارای ناهنجاری به شرح زیر می‌باشد:

نام نمونه	23	221	63	57	194	51	240	226	61	224	64	66
عیار ppm	212	206	206	190.5	182	176.5	171	162	156.5	155.5	153.5	151.5
نام نمونه	62	280	161	222	239	228	159	25	65	235	234	236
عیار ppm	150	150	144	142	142	142	141	141	139.5	139	138.5	151.5

B-2-A-21 و B-2-Pr، نقشه‌های شماره ۲-۱-۲-۴

این عنصر از لحاظ پراکنش در مناطق مورد مطالعه شbahت زیادی با عناصر قبلی دارد در منطقه کلیبر در جنوب غرب زاویه و شمال حیران بالا ناهنجاری نشان می‌دهد. نمونه‌های دارای ناهنجاری شامل نمونه‌های ۲۳, ۵۱, ۵۷, ۶۳, ۲۳ و ۱۹۴ می‌باشد.

در منطقه سراب مطابق نقشه B-21 عیار عنصر Pr در محدوده نلفین سینیت بزقوش بالاتر از مناطق اطراف می‌باشد. نمونه‌های دارای ناهنجاری شامل ۲۳۰, ۲۲۰, ۲۲۱, ۲۲۴, ۲۳۰ و ۲۴۰ می‌باشد. عیار Pr در نمونه‌های دارای ناهنجاری به شرح زیر می‌باشد:

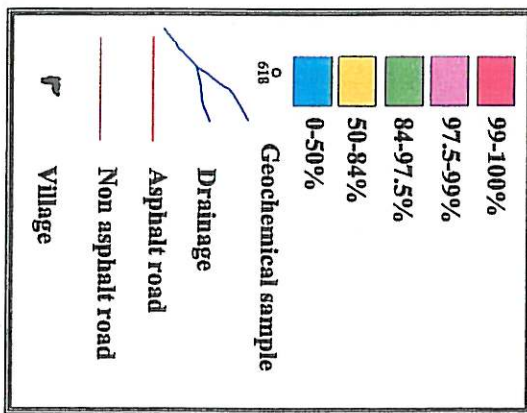
نام نمونه	51	23	221	57	63	194	64	240	226	228
عیار ppm	28.4	25.5	24.9	22.9	22.6	22.3	21.7	20.7	19.3	16.8
نام نمونه	61	62	224	236	280	66	239	222	25	235
عیار ppm	19	18.7	18.7	18.7	17.9	17.4	17.2	17.2	16.8	16.8



Kaleybar

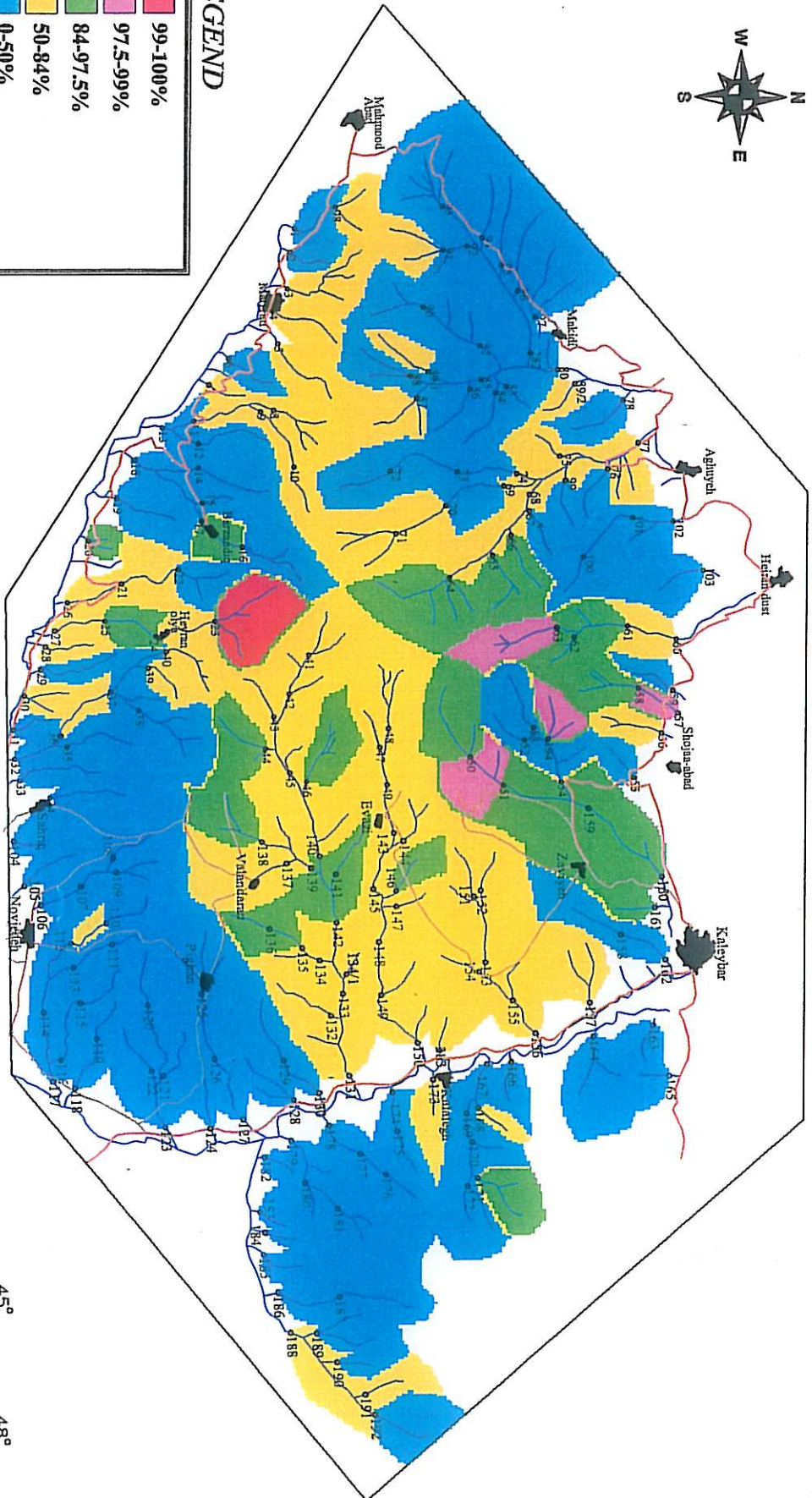


LEGEND

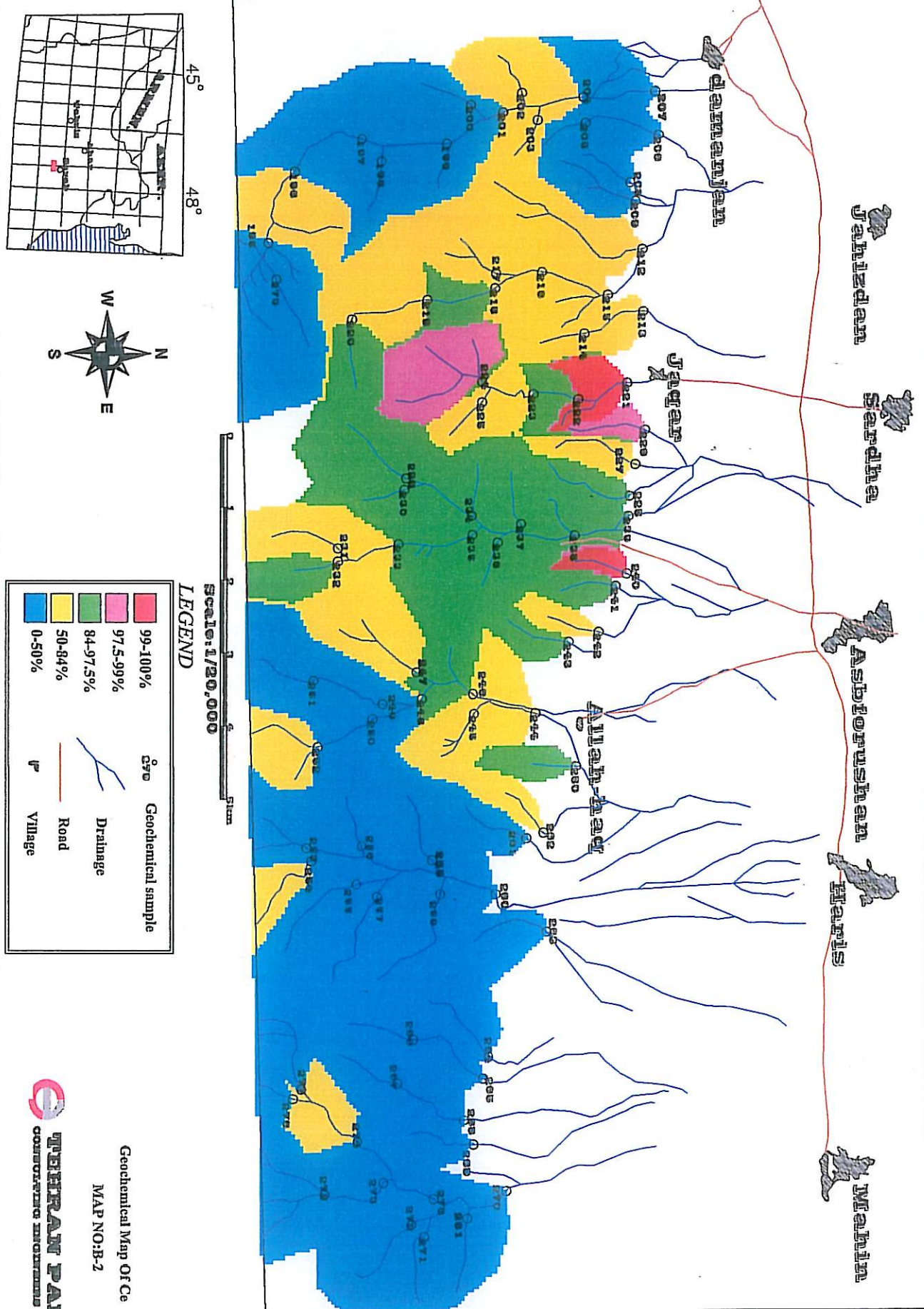


Geochemical Map Of Ce
MAP NO: A-2

Scale: 1/20,000



ଶ୍ରୀମଦ୍ଭଗବତ

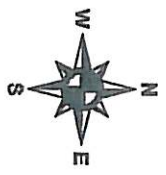


10

TEHRAN PADIR
CONSULTING ENGINEERS COMPANY

Geological Map Of Ce

Kaleybar



LEGEND

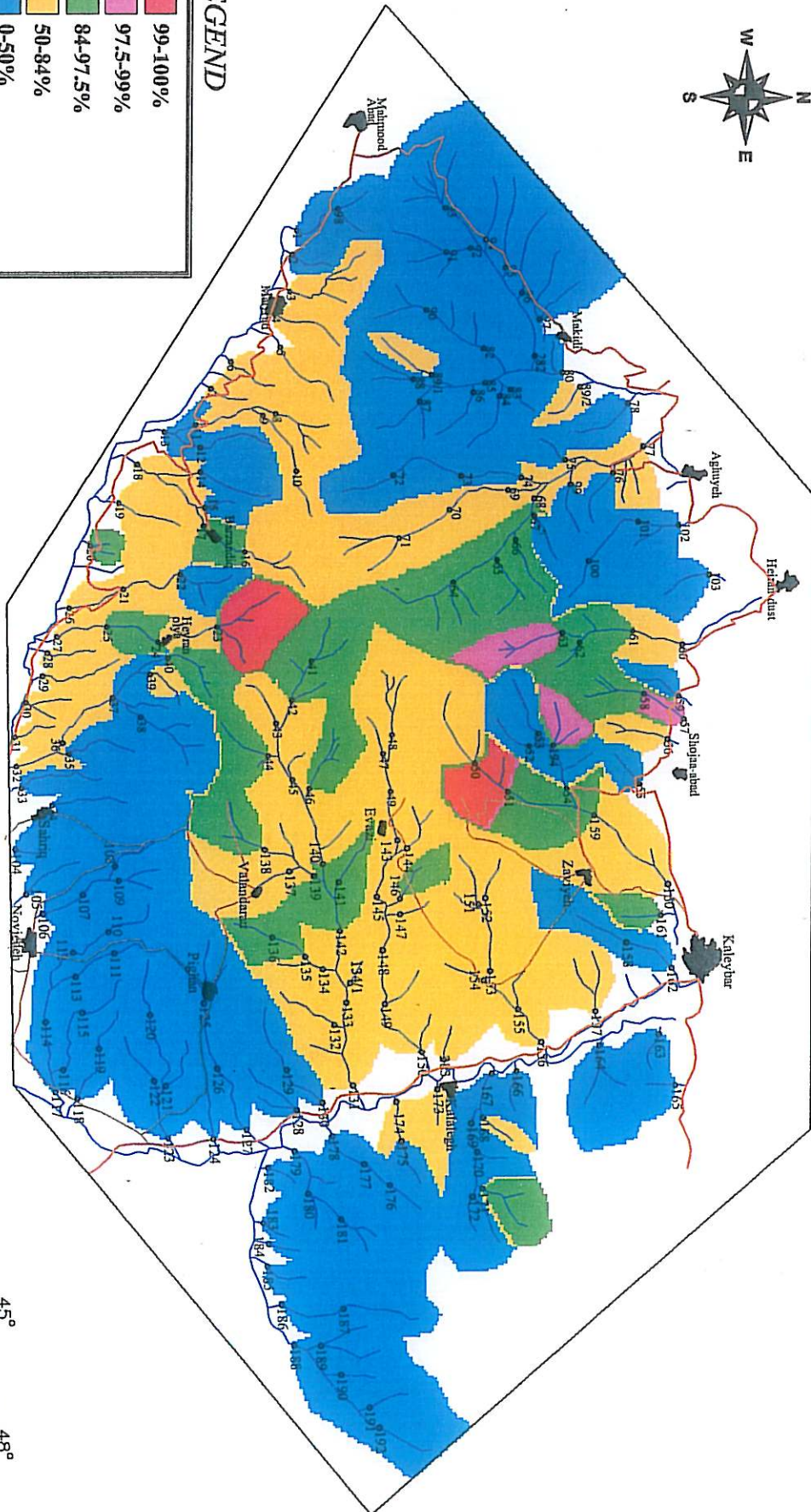
█ 99-100%
█ 97.5-99%
█ 84-97.5%
█ 50-84%
█ 0-50%

○ Geochemical sample

— Drainage
— Asphalt road
— Non asphalt road

Village

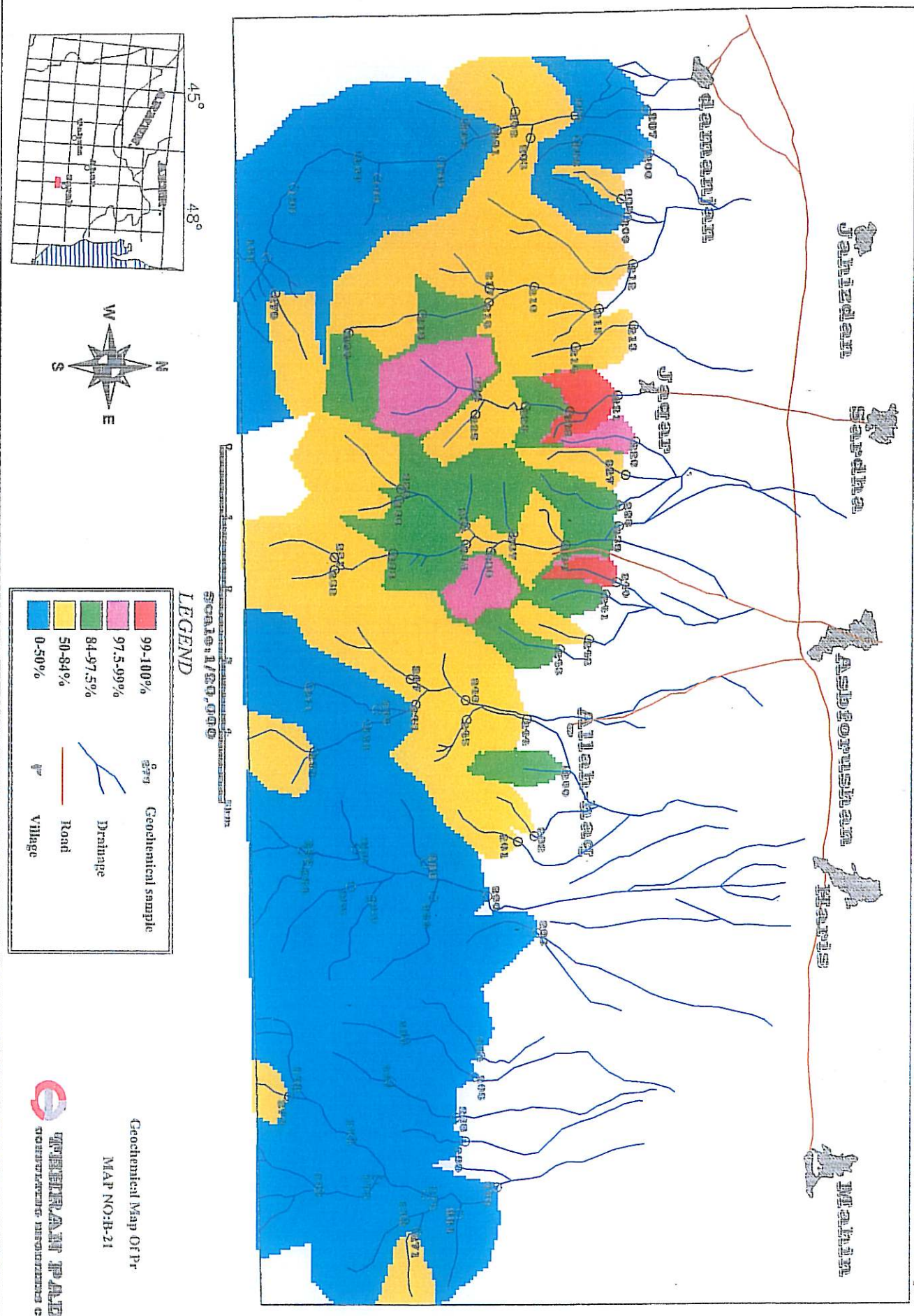
Scale: 1/20,000



Geological Map Of Pr
MAP NO:A-21

 TEHRAN PADIR
CONSULTING ENGINEERS COMPANY

SCHEMATIC



اکتشاف روشیمیائی عناصر کمیاب در محدوده شهرستان کلیبر و سراب

۴-۱-۲-۴- نئودیمیم (Nd)، نقشه‌های شماره A-18 و B-18

نئودیمیم دارای عدد اتمی 60 به عنوان چهارمین عنصر نادر خاکی می‌باشد. در منطقه کلیبر این عنصر در شما حیران علیا و شمال غرب اوزی ناهنجاری نشان می‌دهد. نمونه‌های ناهنجار عبارتند از: 194، 51، 57، 63، 64 و 23، 66، 72، 102، 236، 224، 61، 280، 62، 222، 239، 235، 237، 66، 99.7، 96.6، 83.6، 82.3، 82.1، 81.3، 78.3، 73.5، 63.1، 71.5، 70.6، 68.9، 67.8، 65.3، 65.2، 64.6، 64.1، 63.6 می‌باشد.

در منطقه بزقوش این عنصر همانند سایر عناصر نادر خاکی پراکنش مشابهی داشته و رخمنون‌های نفلین سینیت عیار بالاتری نشان می‌دهد. نمونه‌های دارای ناهنجاری این عنصر شامل 228، 221، 220 و 240 می‌باشد. عیار Nd در نمونه‌های دارای ناهنجاری به شرح زیر می‌باشد:

نمونه	51	23	221	194	57	63	64	240	226	228
ppm	102	99.7	96.6	83.6	82.3	82.1	81.3	78.3	73.5	63.1
نقطه‌های بحوث	236	224	61	280	62	222	239	235	237	66
ppm	72	71.5	70.6	68.9	67.8	65.3	65.2	64.6	64.1	63.6

۴-۱-۳-۵- ساماریم (Sm)، نقشه‌های شماره A-23 و B-23

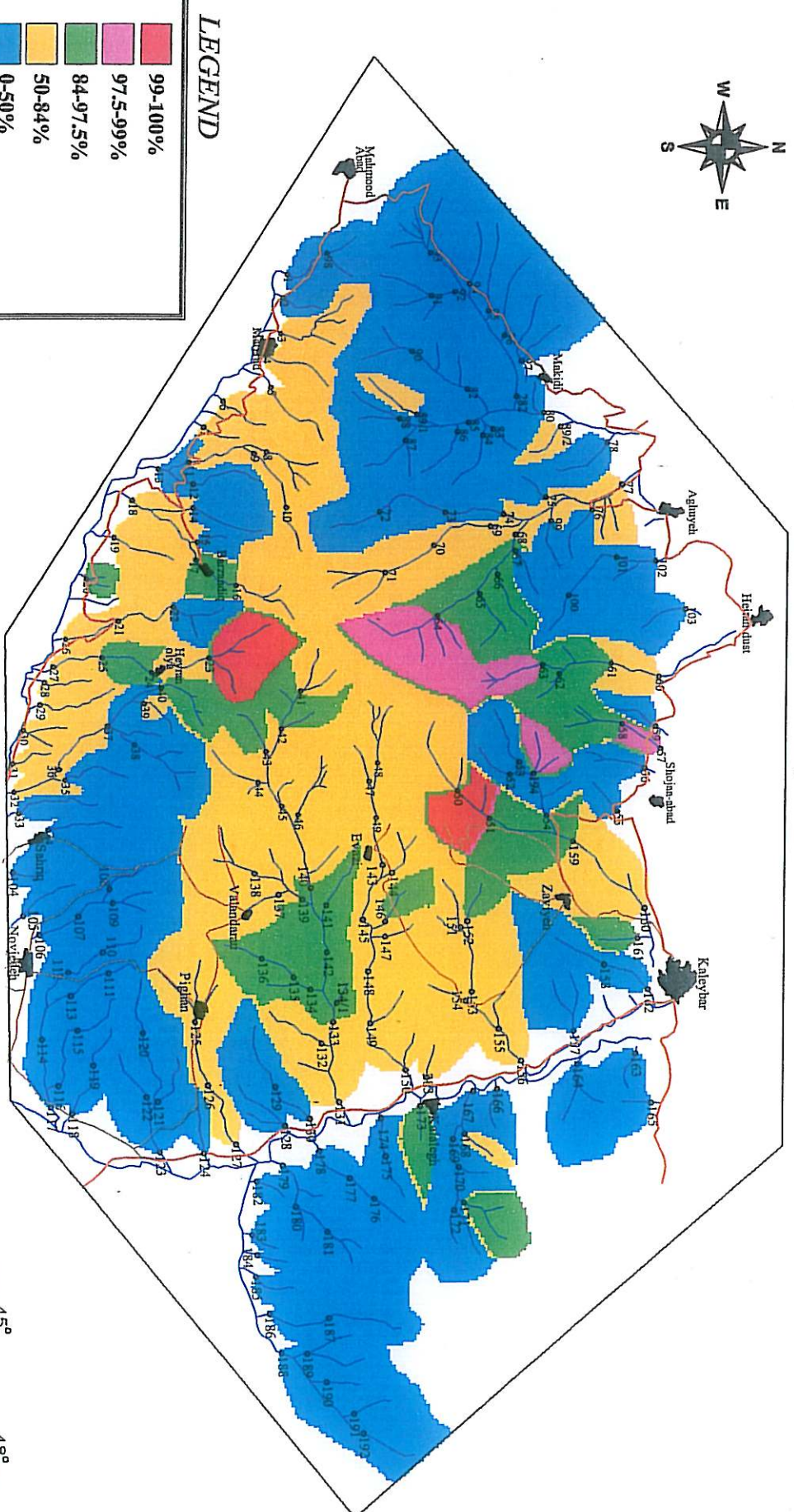
ساماریم دارای عدد اتمی 62 به عنوان ششمین عنصر گروه عناصر نادر خاکی مطرح می‌باشد. این عنصر دارای ناهنجاری‌های این عنصر بیشتر در شمال حیران علیا و جنوب غرب زاویه ناهنجاری نشان می‌دهد. ناهنجاری‌های این عنصر بیشتر در شمال حیران علیا و جنوب غرب زاویه ناهنجاری نشان می‌دهد. نمونه‌های دارای ناهنجاری عنصر Sm در این محدوده شامل نمونه 57، 51، 23 و 63 می‌باشند.

در منطقه سراب این عنصر در محدوده نفلین سینیت بزقوش ناهنجاری نشان می‌دهد. منشاء ناهنجاری‌های این عنصر نمونه‌های 240، 224، 221، 220 و 250 می‌باشد. عیار ساماریم در نمونه‌های ناهنجار به شرح زیر می‌باشد:

نمونه	23	63	57	221	51	194	240	66	61
ppm	19.8	19.8	18.6	18.6	17.2	15.6	15	14.6	14.2
نقطه‌های بحوث	226	65	280	64	224	236	62	161	25
ppm	14.1	14.1	14	13.9	13.8	13.3	13	12.6	12.4



Kaleybar



Scale: 1/20,000
0 1 2 3 4 5 6 7 8 9 Km

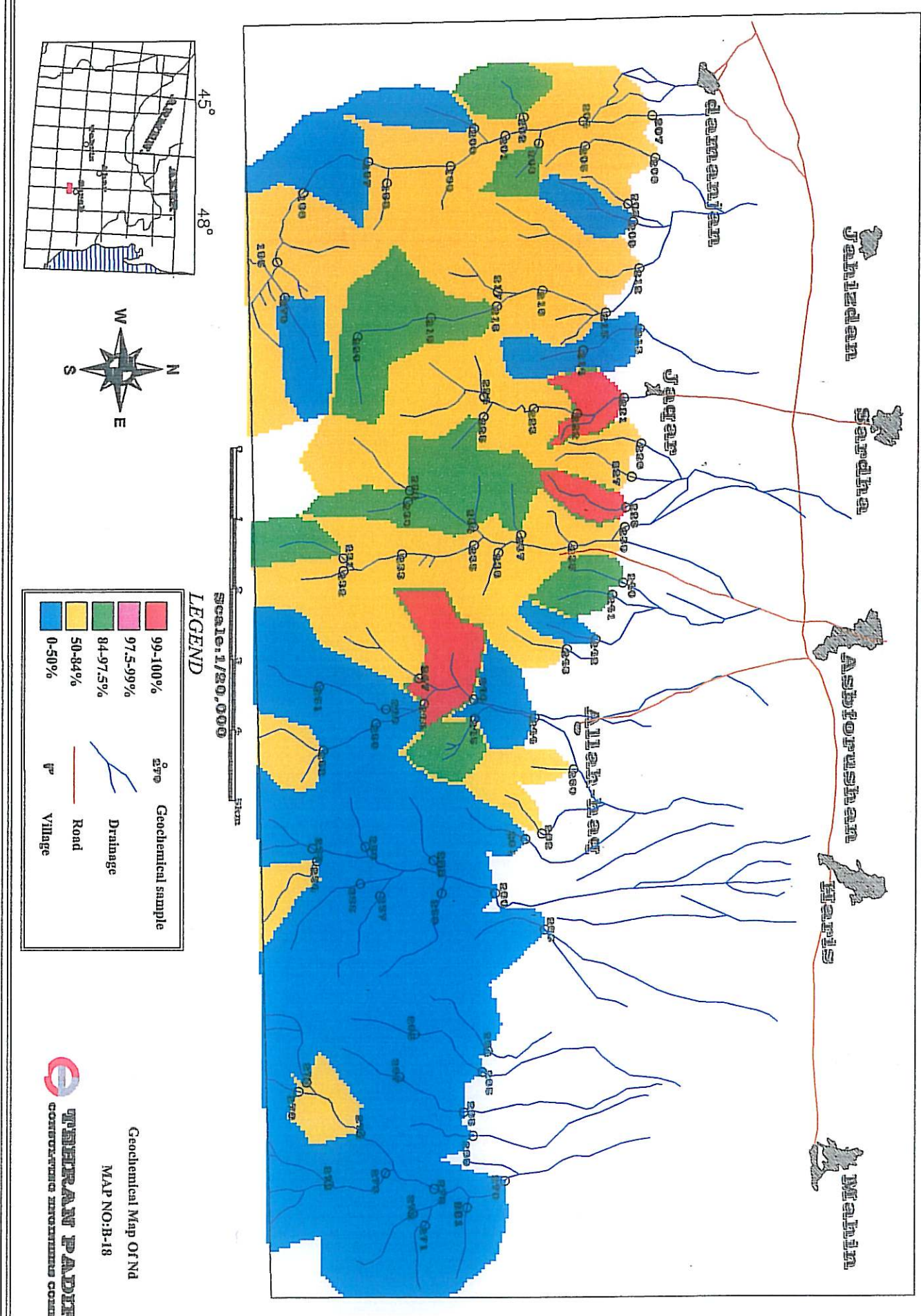
Geochemical Map Of Nd

MAP NO:A-18

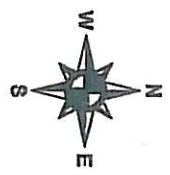


TEHRAN PADIR
CONSULTING ENGINEERS COMPANY

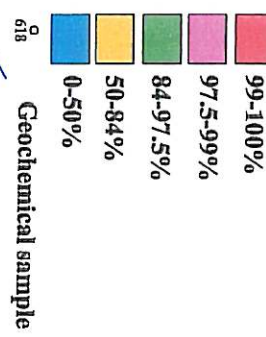
Sarab



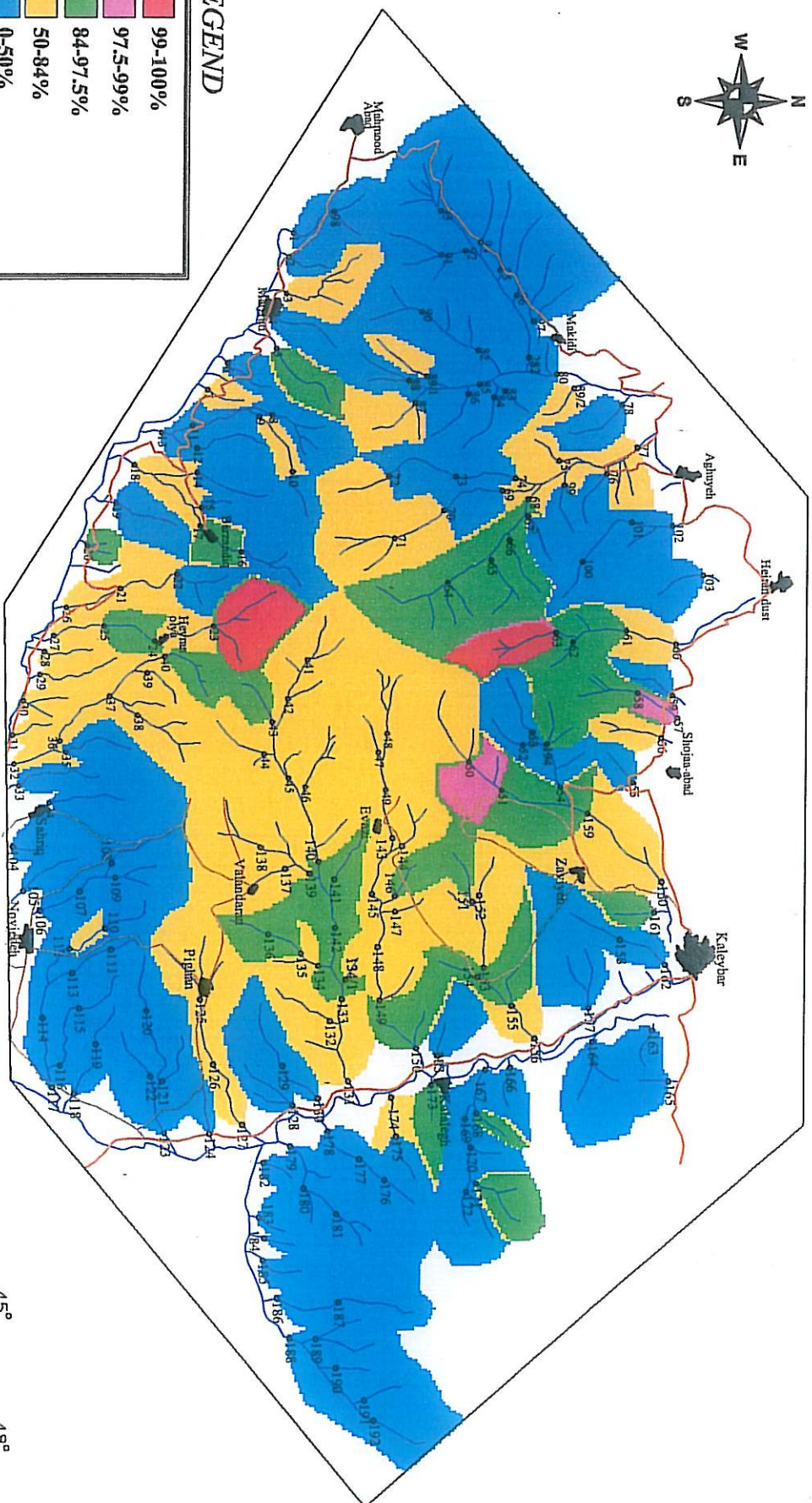
Kaleybar



LEGEND



Scale: 1/20,000
0 2 4 6 8 Km



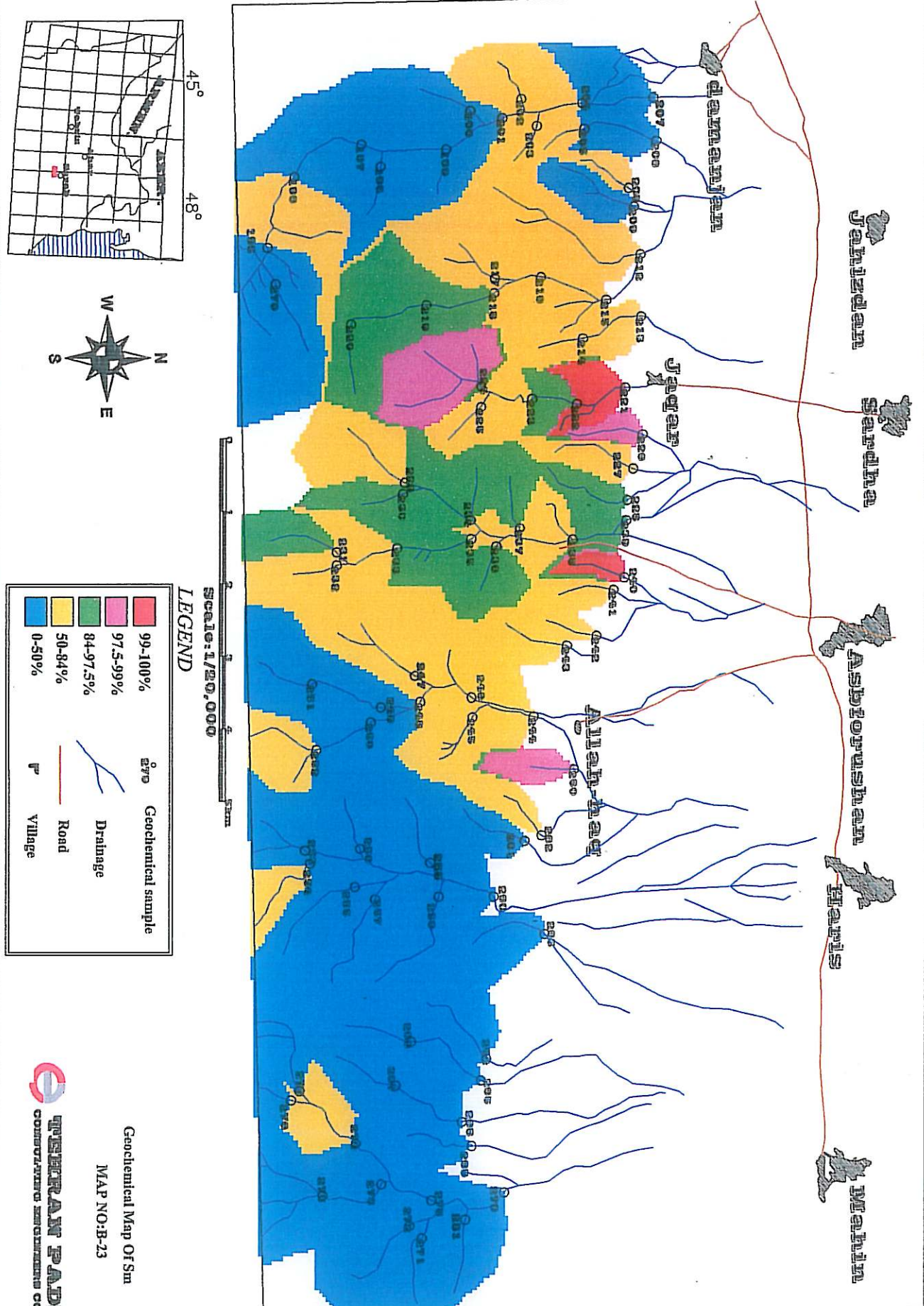
Geochemical Map Of Shn

MAP NO:A-23

TEHRAN PADIR

CONSULTING ENGINEERS COMPANY

ପ୍ରକାଶକୀ



JEROME PAINTER
ANTIQUES & VINTAGE COMPANY

Geological Map Of Sm

B-9 و A-9 - ۶-۱-۲-۴ - یوروپیم (Eu), نقشه‌های شماره

یوروپیم با دارا بودن عدد اتمی 63 هفتمنی عنصر گروه عناصر نادر خاکی می‌باشد. در منطقه کلیبر این عنصر در محدوده توده نفلین سینیت کلیبر ناهنجاری نشان می‌دهد. نمونه دارای ناهنجاری این عنصر شامل نمونه‌های 23, 51, 23, 51, 63, 65 و 66 می‌باشد.

عنصر یوروپیم در محدوده سراب دارای ناهنجاری‌هایی در جنوب شرق الله حق می‌باشد. این ناهنجاری‌ها مربوط به حاشیه توده نفلین سینیت بزقوش می‌باشد. نمونه‌های دارای ناهنجاری‌ها مربوط به حاشیه توده نفلین سینیت بزقوش می‌باشد. نمونه‌های دارای ناهنجاری شامل نمونه‌های 260 و 280 می‌باشد. عیار Eu در نمونه‌های ناهنجار به‌شرح زیر می‌باشد:

نمودارهای نمونه	63	23	57	65	51	66
ppm عبار	5.3	5.1	4.3	3.8	3.5	3.5
نمودارهای نمونه	61	194	25	64	39	27
ppm عبار	3.4	3.4	3.2	3.1	3.1	3.1

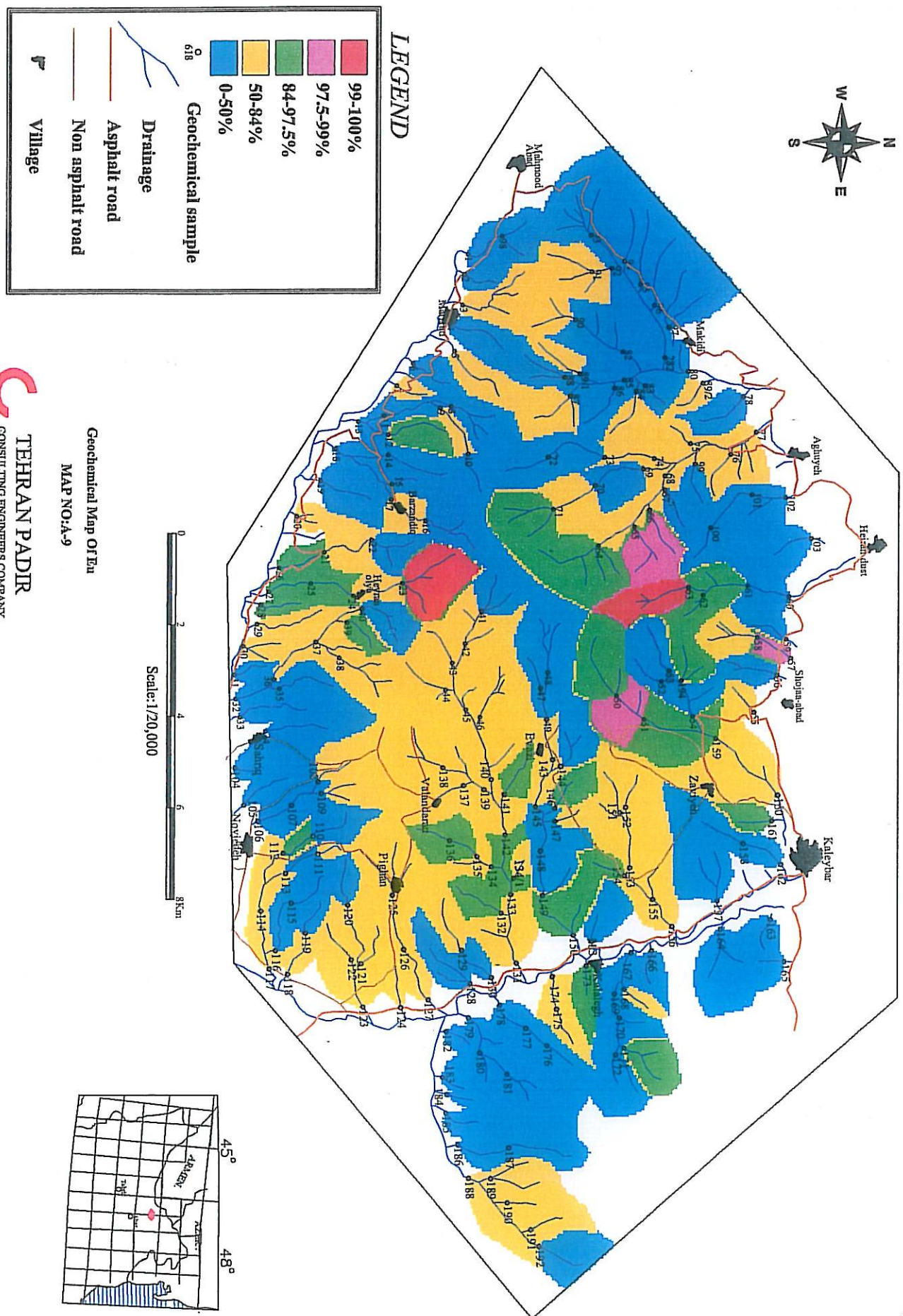
B-11 و A-11 - ۷-۱-۲-۴ - گادولینیم (Gd), نقشه‌های شماره

این عنصر به عنوان هشتمنی عنصر گروه عناصر نادر خاکی دارای عدد اتمی 64 می‌باشد. در منطقه کلیبر این عناصر در محدوده نفلین سینیت کلیبر ناهنجاری نشان می‌دهد. نمونه‌های منشاء آنومالی این عنصر شامل 23, 51, 63 و 64 می‌باشد. در محدوده سراب عیار عنصر گادولینیم در محدوده توده نفلین سینیت بزقوش بالاتر از واحدهای ولکانیکی اطراف می‌باشد. نمونه‌های دارای ناهنجاری این عنصر شامل نمونه‌های 280, 221, 224, 226, 240 و 20 می‌باشد. عیار Gd در نمونه‌های ناهنجار به‌شرح زیر می‌باشد:

نمودارهای نمونه	23	51	221	63	64	57	194	62
ppm عبار	17.6	16.2	16.1	15.5	14.4	14	13.5	11.2
نمودارهای نمونه	240	280	226	224	61	236	161	
ppm عبار	13.4	12.8	12.4	12.2	12	11.7	11.4	



Kaleybar

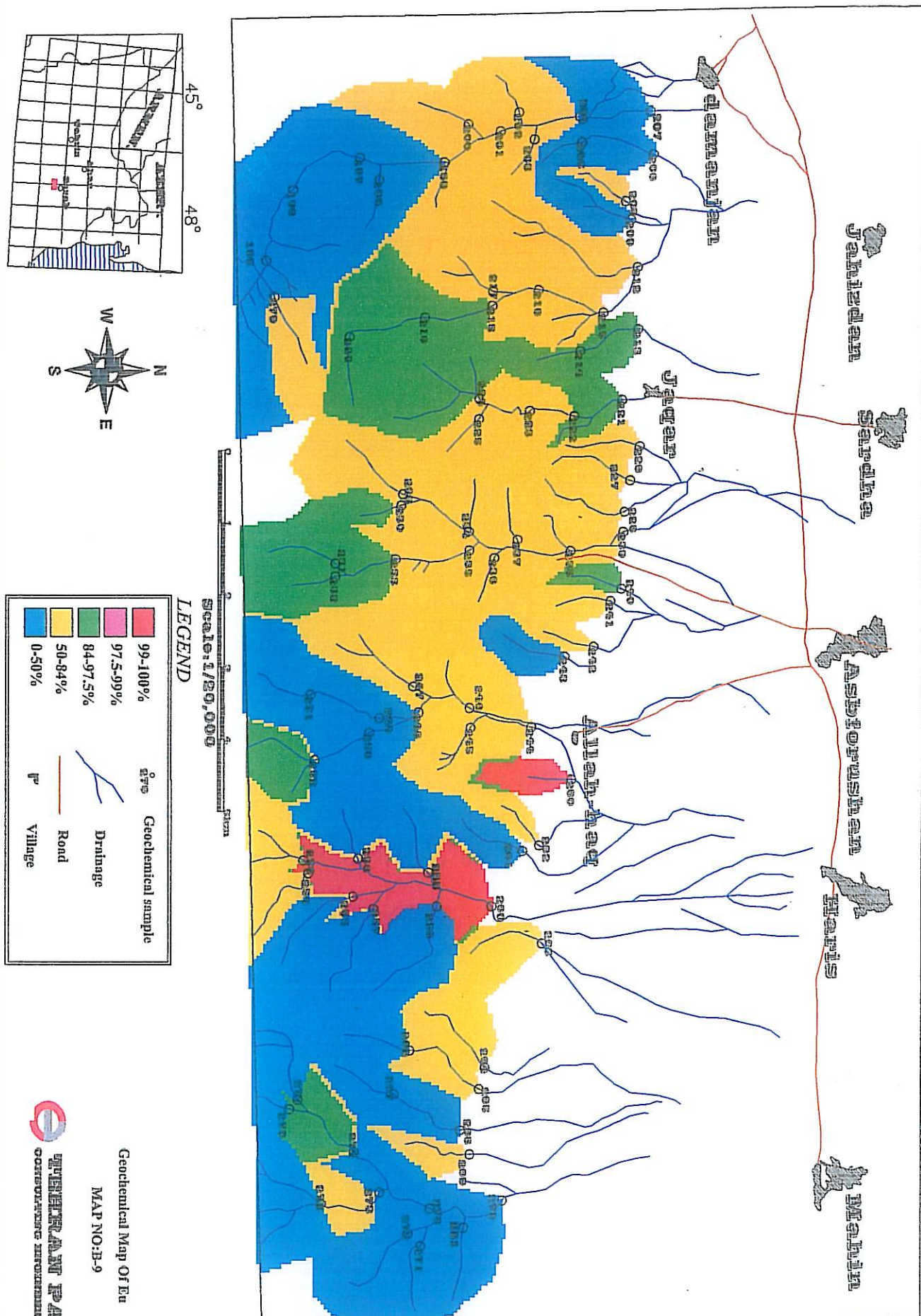


TEHRAN PADIR
CONSULTING ENGINEERS COMPANY

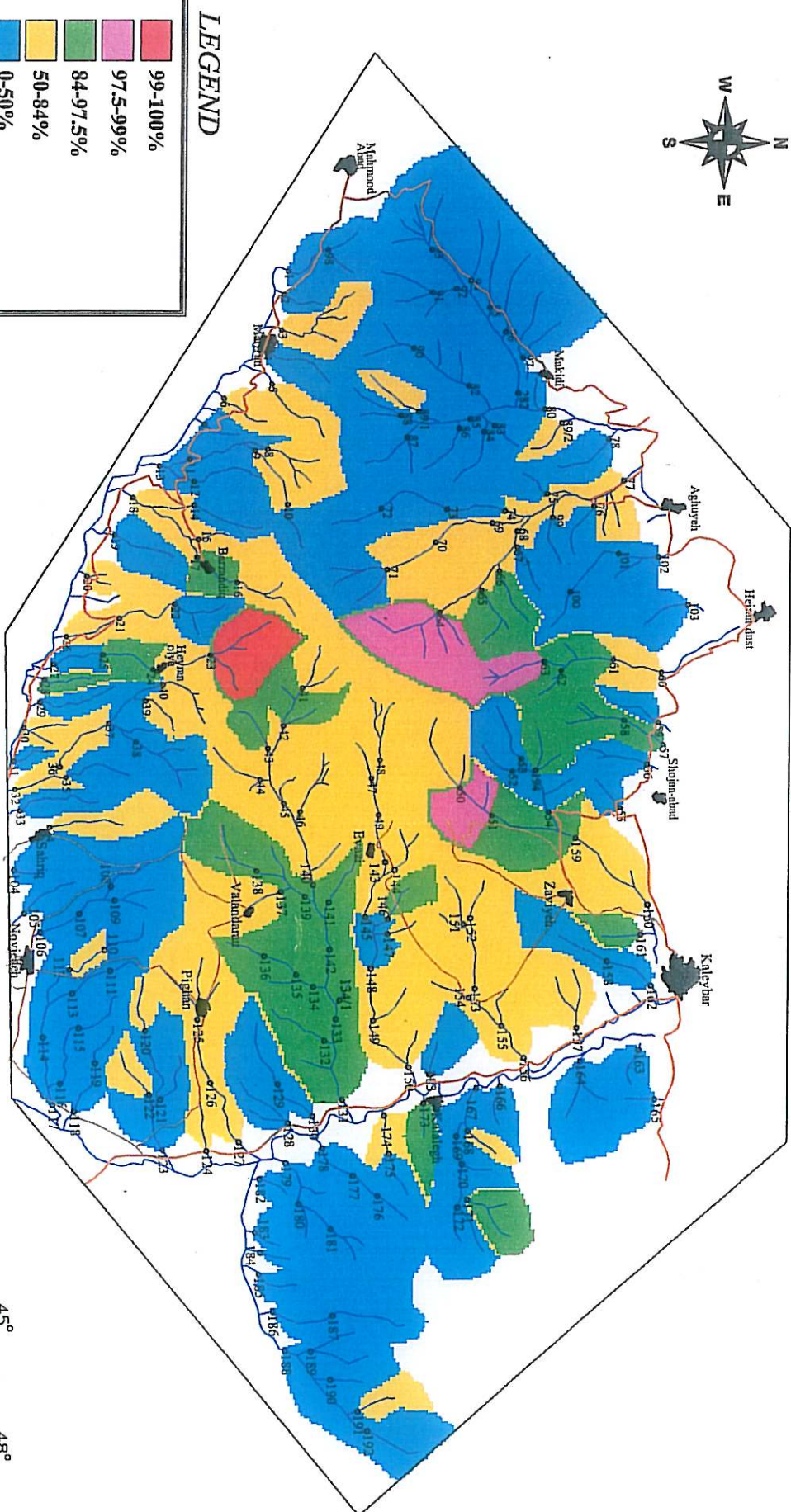
Geological Map Of Eu

一六

Spatial



Kaleybar



Geochemical Map Of Gd
MAP NO:A-11

TEHRAN PADIR
CONSULTING ENGINEERS COMPANY

SARITA

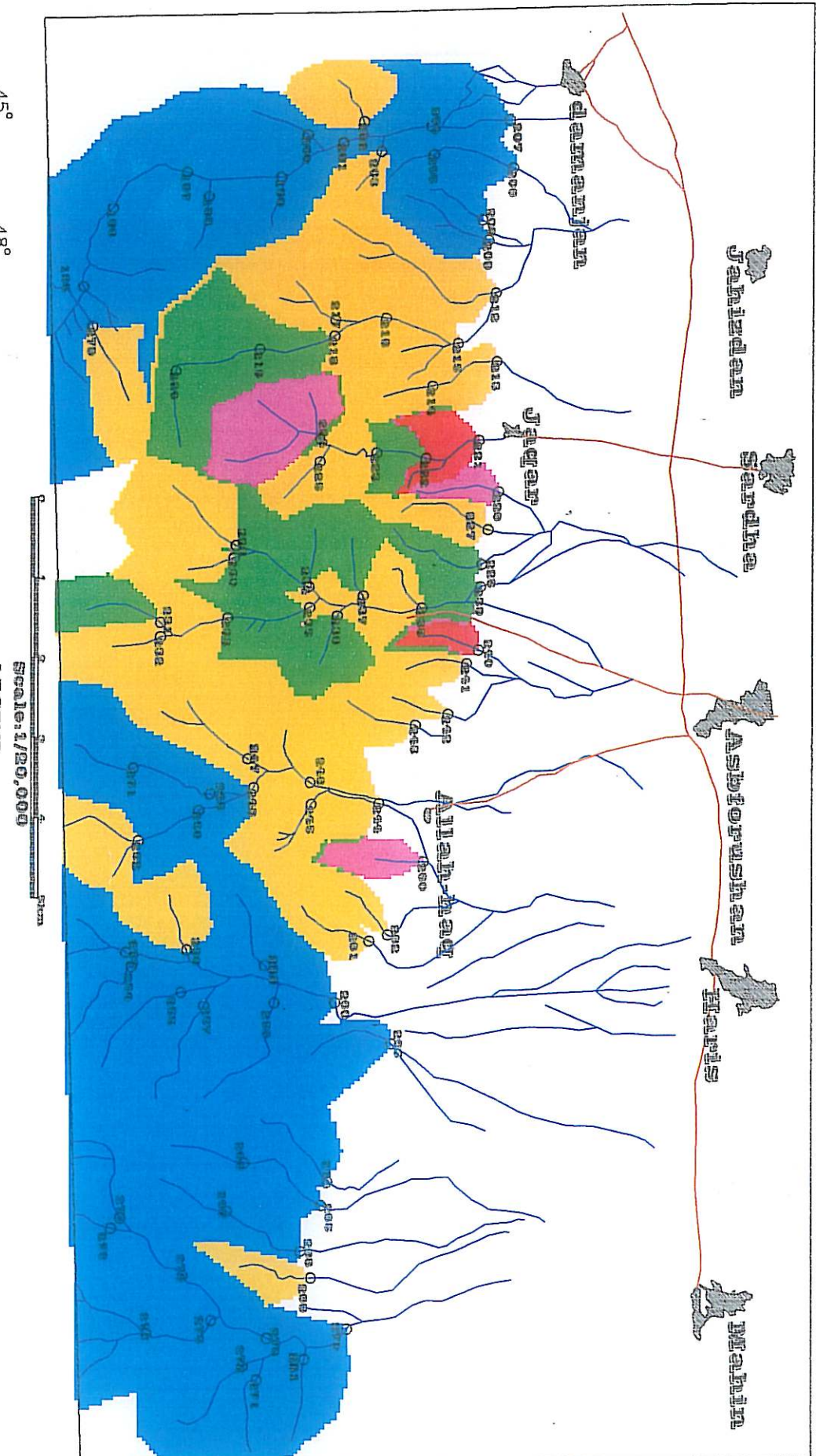
Jahizdai

Sardha

Ashopurshar

Haldi

Mahila



LEGEND

Geochemical sample	99-100%
Drainage	97.5-99%
Road	84.97-5%
Village	50-84%
Village	0-50%

Geological Map Of Gd
MAP NO:B-11



TJSIERAM PAPER
consumable instruments company

B-27 و A-27 - ۴-۲-۱-۸ - تربیم (Tb)، نقشه‌های شماره

این عنصر با دارا بودن عدد اتمی 65 نهمین عنصر گروه عناصر نادر خاکی می‌باشد. این عنصر در منطقه کلیبر دارای ناهنجاری‌هایی می‌باشد که منطبق برناهنجاری عناصر نادر خاکی دیگر می‌باشد. نمونه‌های دارای ناهنجاری این عنصر شامل نمونه 63، 51، 57 و 64 می‌باشد. در منطقه سراب نمونه‌های دارای ناهنجاری عنصر تربیم در محدوده نفلین سینیت بزقوش واقع شده و عبارتند از: 240، 221، 224، 240 و 280. عیار Tb در نمونه‌های ناهنجار به شرح زیر می‌باشد:

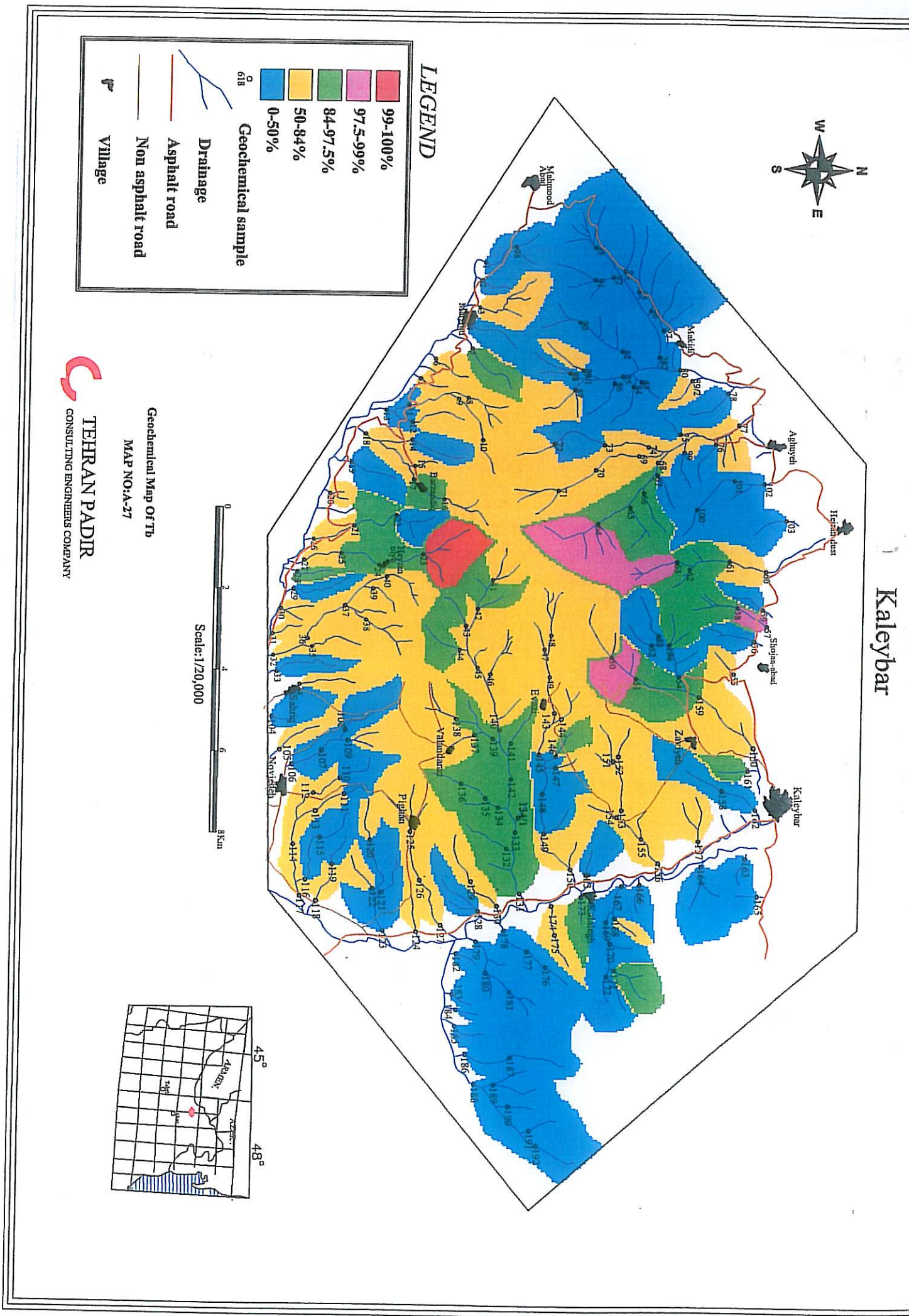
شماره نمونه	23	51	221	57	63	64
ppm	2.4	2.2	2.2	2	2.1	2
شماره نمونه	194	240	280	61	226	224
ppm	1.8	1.8	1.8	2	1.7	1.6

B-7 و A-7 - ۴-۲-۱-۹ - دیسپروسیوم (Dy)، نقشه‌های شماره

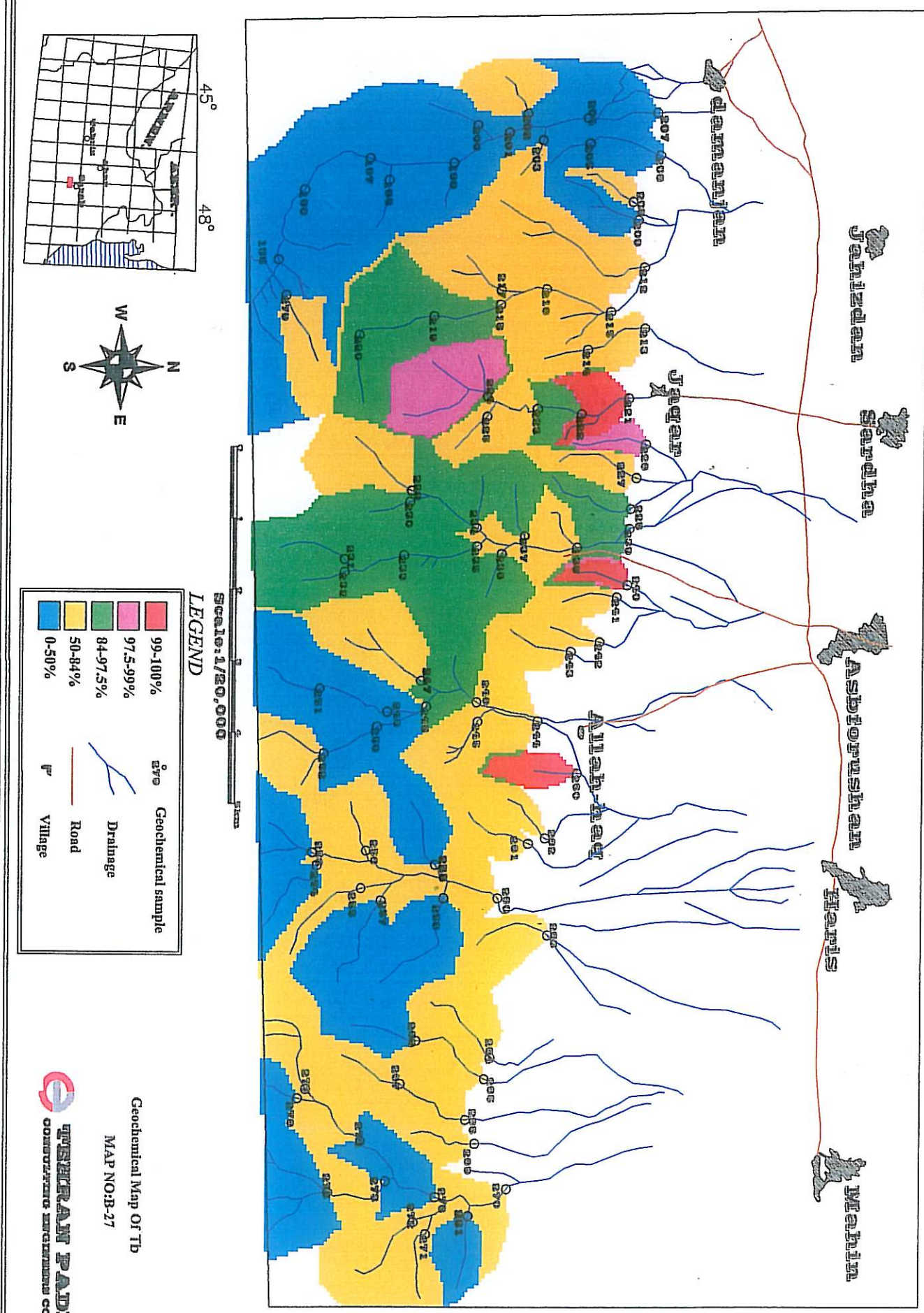
عنصر Dy با عدد اتمی 66 به عنوان دهمین عنصر گروه عناصر نادر خاکی می‌باشد این عنصر پراکنش مشابه سایر عناصر نادر خاکی دارد و نمونه‌های 51، 57 و 63 در این محدوده ناهنجاری نشان می‌دهد. در منطقه سراب نیز نمونه‌های دارای عیار بالا مشابه سایر عناصر نادر خاکی بوده و ناهنجاری‌های آنها در محدوده نفلین سینیت بزقوش دیده می‌شود. نمونه‌های دارای ناهنجاری‌های این عنصر شامل 240، 221، 224، 240 و 280 می‌باشد. عیار Dy در نمونه‌های ناهنجار به شرح زیر می‌باشد:

شماره نمونه	57	221	63	51	240	23	65	226	61	280	194
ppm	12.6	12.3	12	11.3	10.3	10.2	9.7	9.6	9.6	9.5	9.4
شماره نمونه	.66	224	64	236	161	234	237	235	220	218	239
ppm	9.2	9.1	9	8.6	8.6	8.2	8.2	8.1	8	8	8

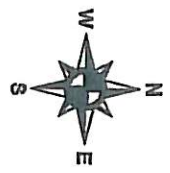




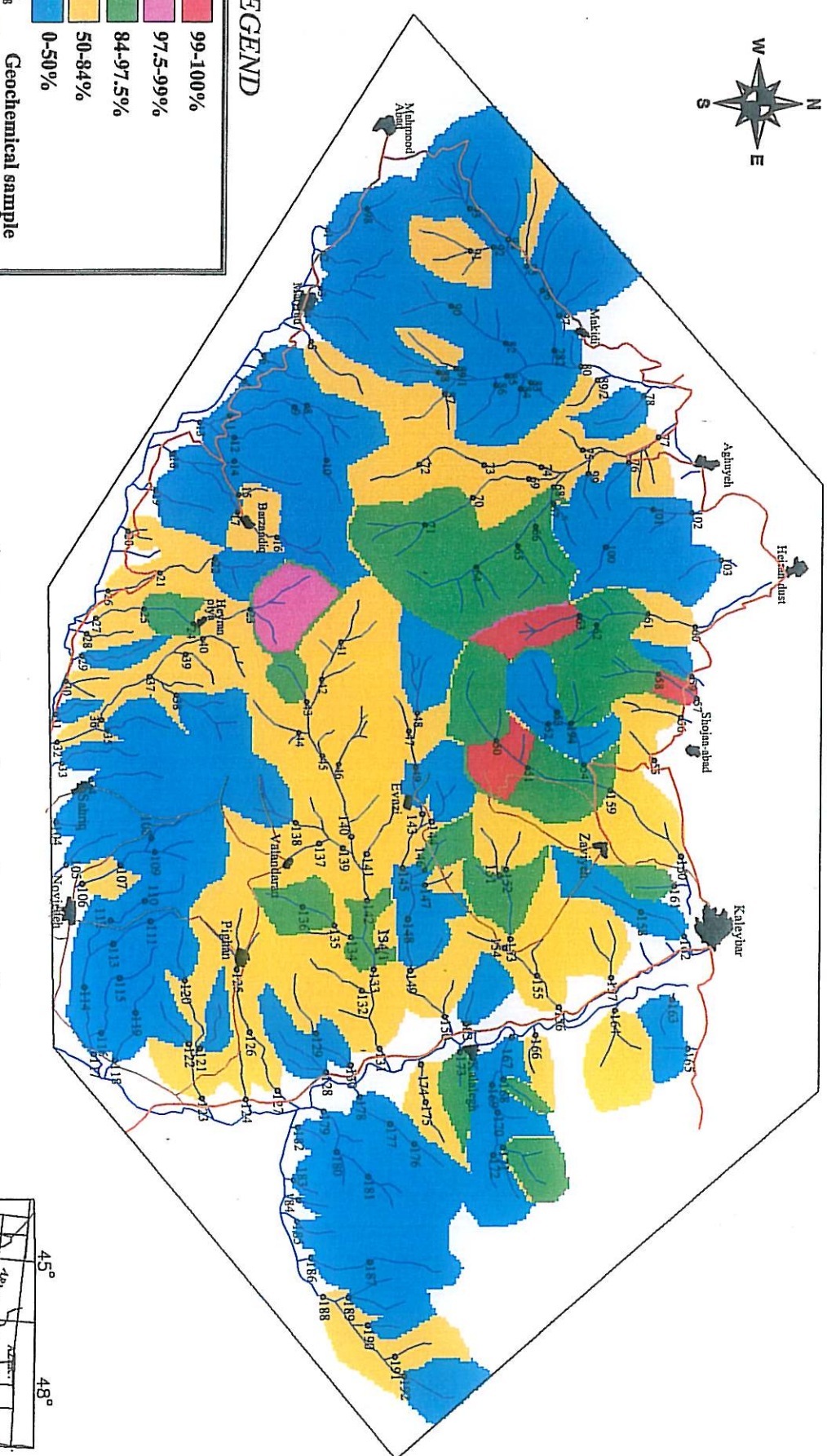
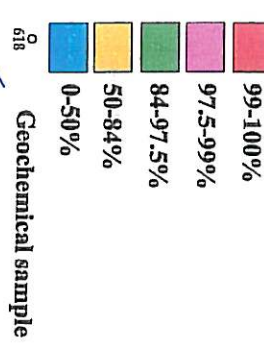
Sarai



Kaleybar



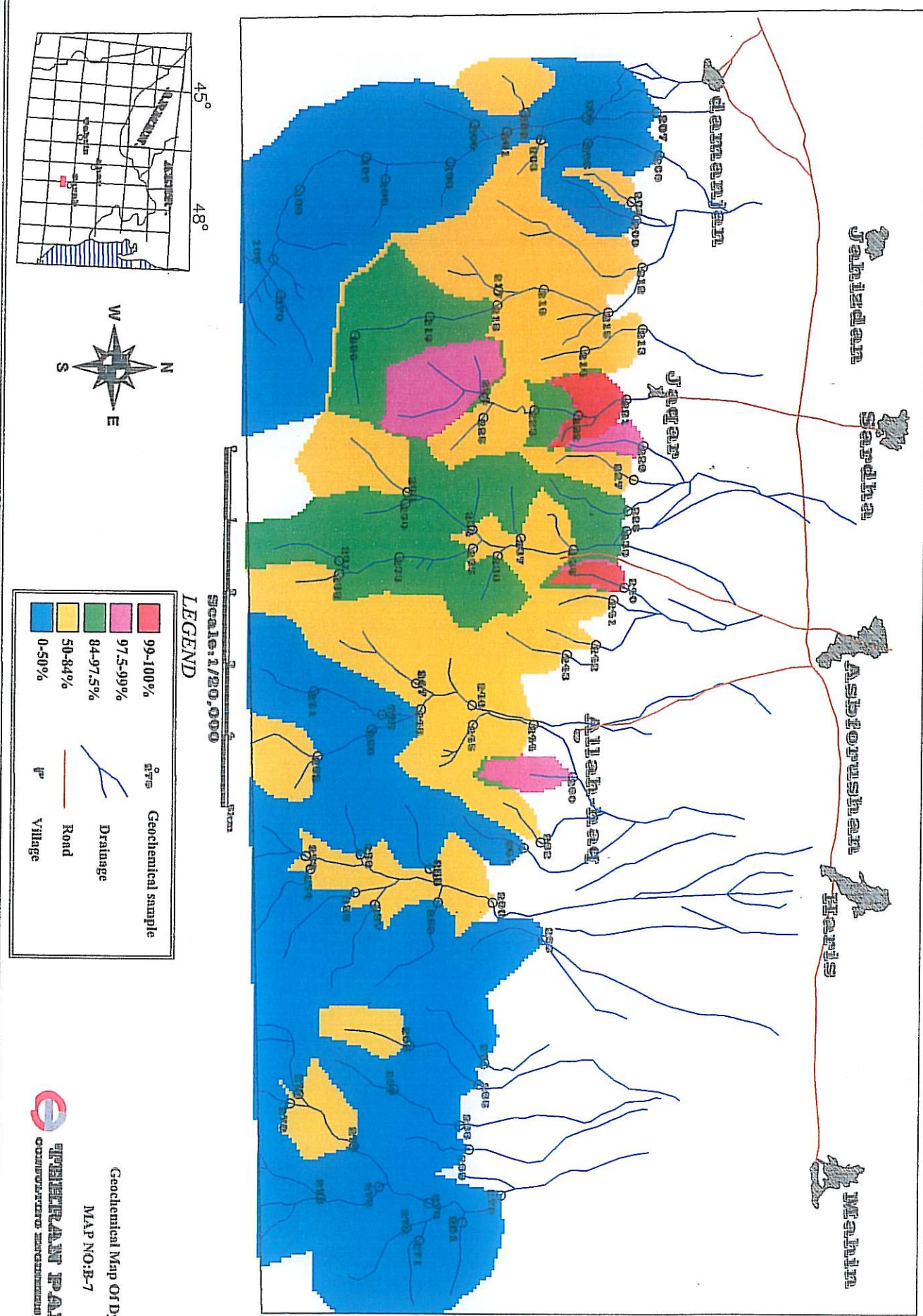
LEGEND



Geological Map Of Dry

MAP NO:A-7

TEHRAN PADIR
CONSULTING ENGINEERS COMPANY



ପ୍ରକାଶକ

B-13 و A-13 - ۱۰-۱-۲-۴ - هولمیم (Ho)، نقشه‌های شماره ۱۳ و ۱۳

عنصر هولمیم یازدهمین عنصر گروه عناصر نادرخاکی بوده و دارای عدد اتمی 67 می‌باشد این عنصر نظری هر عنصر نادرخاکی دیگر در توده نفلین سینیت ناهنجاری نشان می‌دهد. نمونه‌های دارای ناهنجاری این عنصر نمونه‌های 220, 221, 224, 23, 51, 57, 63 و 64 می‌باشد. نمونه‌های دارای ناهنجاری مربوط به این عنصر شامل نمونه‌های 240 و 280 می‌باشد. عیار Ho در نمونه‌های ناهنجار به شرح زیر می‌باشد:

شماره نمونه	221	23	63	51	57	64	240
ppm عیار	2.4	2.3	2.1	2	2	2	2
شماره نمونه	226	61	194	280	224	135	236
ppm عیار	1.8	1.7	1.7	1.7	1.7	1.6	1.6

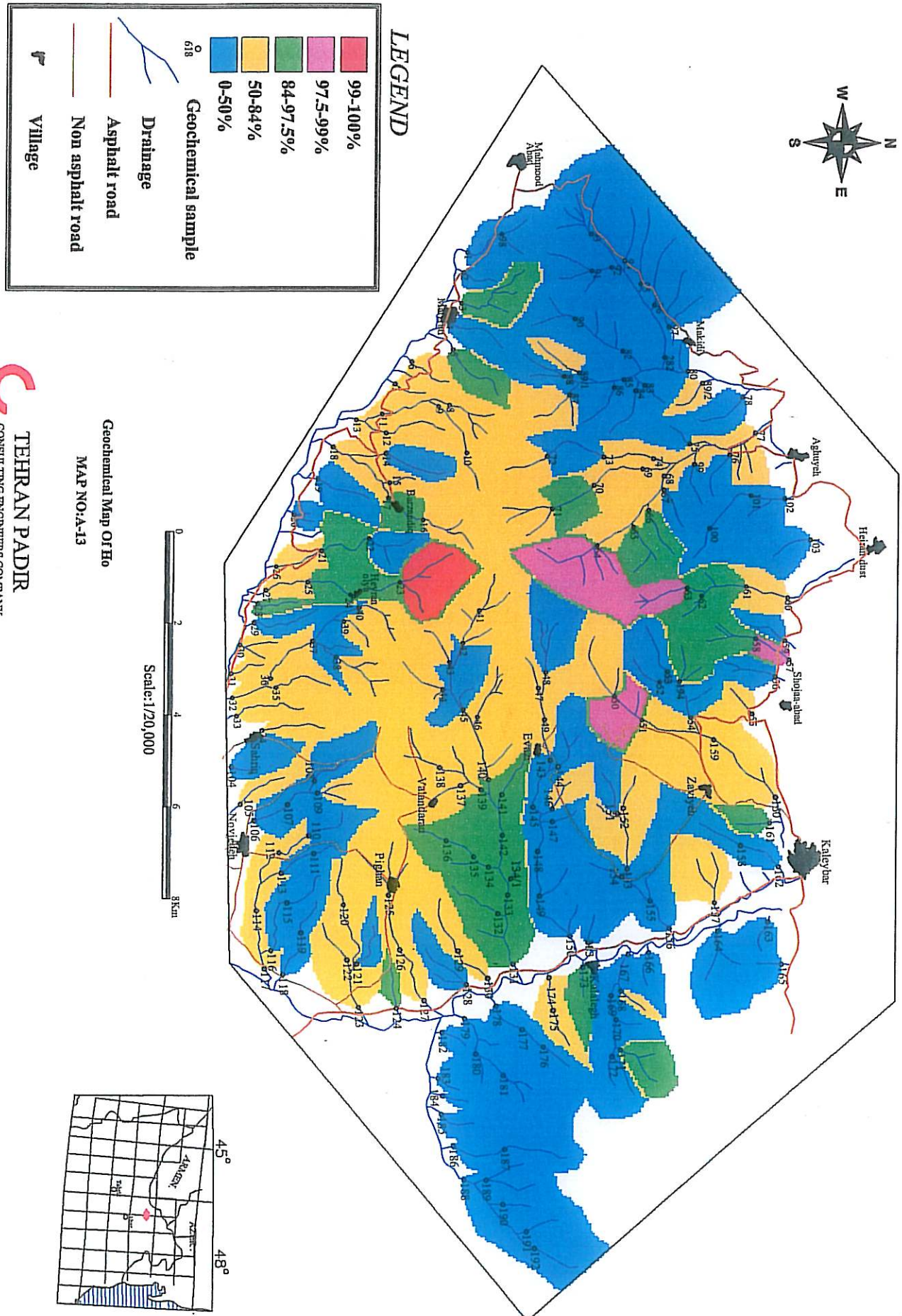
B-8 و A-8 - ۱۱-۱-۲-۴ - اربیوم (Er)، نقشه‌های شماره ۸ و ۸

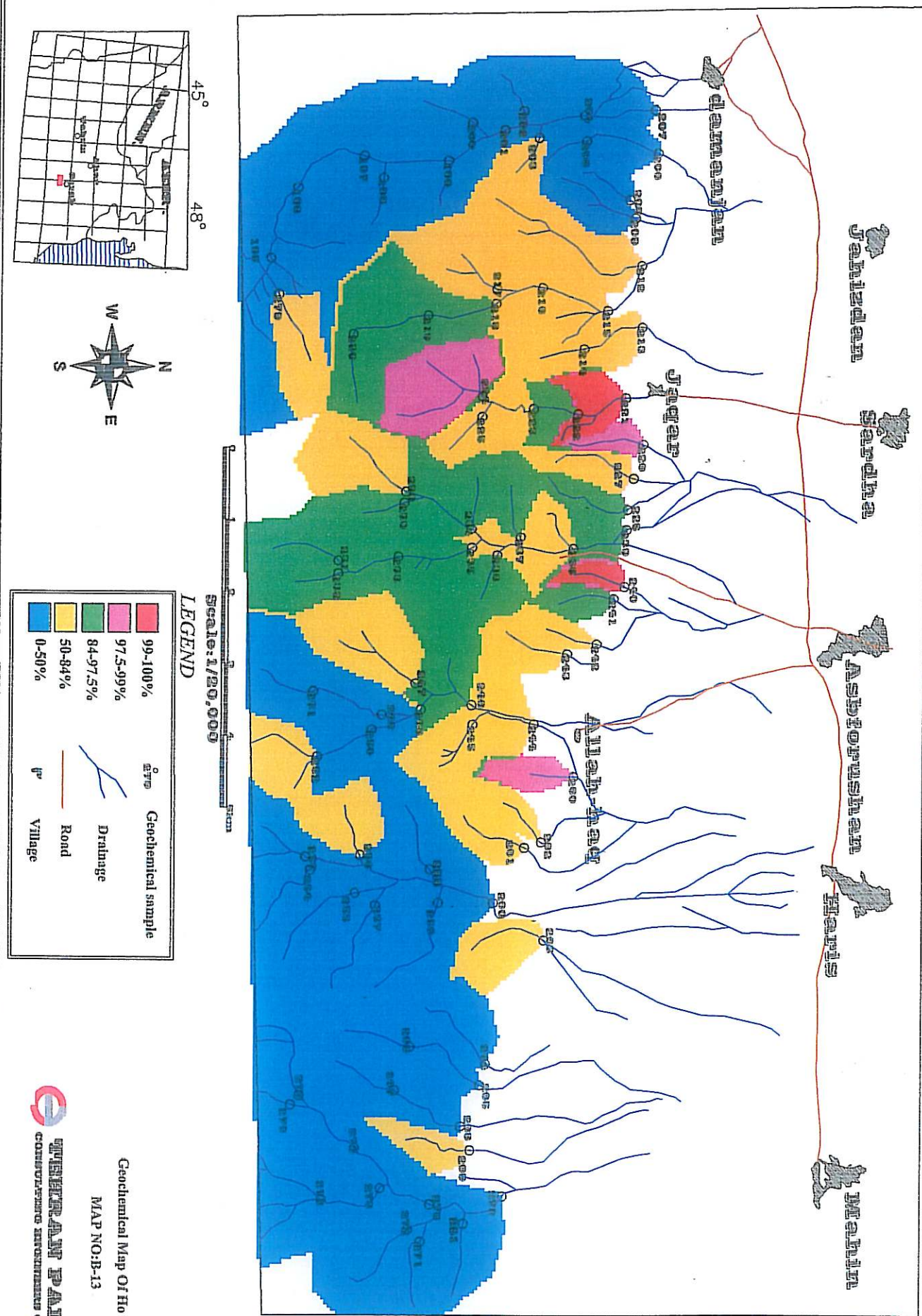
عنصر اربیوم دوازدهمین عنصر گروه عناصر نادر خاکی بوده و دارای عدد اتمی 63 می‌باشد این عنصر در محدوده توده نفلین سینیت ناهنجاری‌هایی نشان می‌دهد. پراکنش این عنصر مشابه سایر عناصر نادر خاکی می‌باشد. نمونه‌های دارای ناهنجاری در این محدوده شامل نمونه‌های 23, 51, 57 و 280 می‌باشد. در منطقه سراب (نقشه شماره 8) ناهنجاری‌های این عنصر در بخش جنوب روستای جقر و جنوب روستای الله حق دیده می‌شود. نمونه‌های دارای ناهنجاری شامل نمونه 220, 221, 224, 240 و 280 می‌باشد. عیار Er در نمونه‌های ناهنجار به شرح زیر می‌باشد:

شماره نمونه	221	57	63	51	240	280	23	65	226	61	224
ppm عیار	7.3	6.9	6.8	6.3	6	5.8	5.7	5.6	5.5	5.5	5.3
شماره نمونه	66	64	236	194	234	235	161	237	239	222	219
ppm عیار	5.2	5.2	5.1	5	4.9	4.9	4.8	4.8	4.6	4.6	4.6



Kaleybar





ପ୍ରକାଶକ

 UNIVERSITÀ DI PADOVA
CONSULENZA INVESTIMENTI COMPARTE

Geological Map Of Ho

MAP NO:B-13

一〇

Kaleybar



LEGEND

	99-100%
	97.5-99%
	84-97.5%
	50-84%
	0-50% Geochemical sample

Drainage

Asphalt road

Non asphalt road

Village

Scale: 1/20,000
0 2 4 6 8 Km

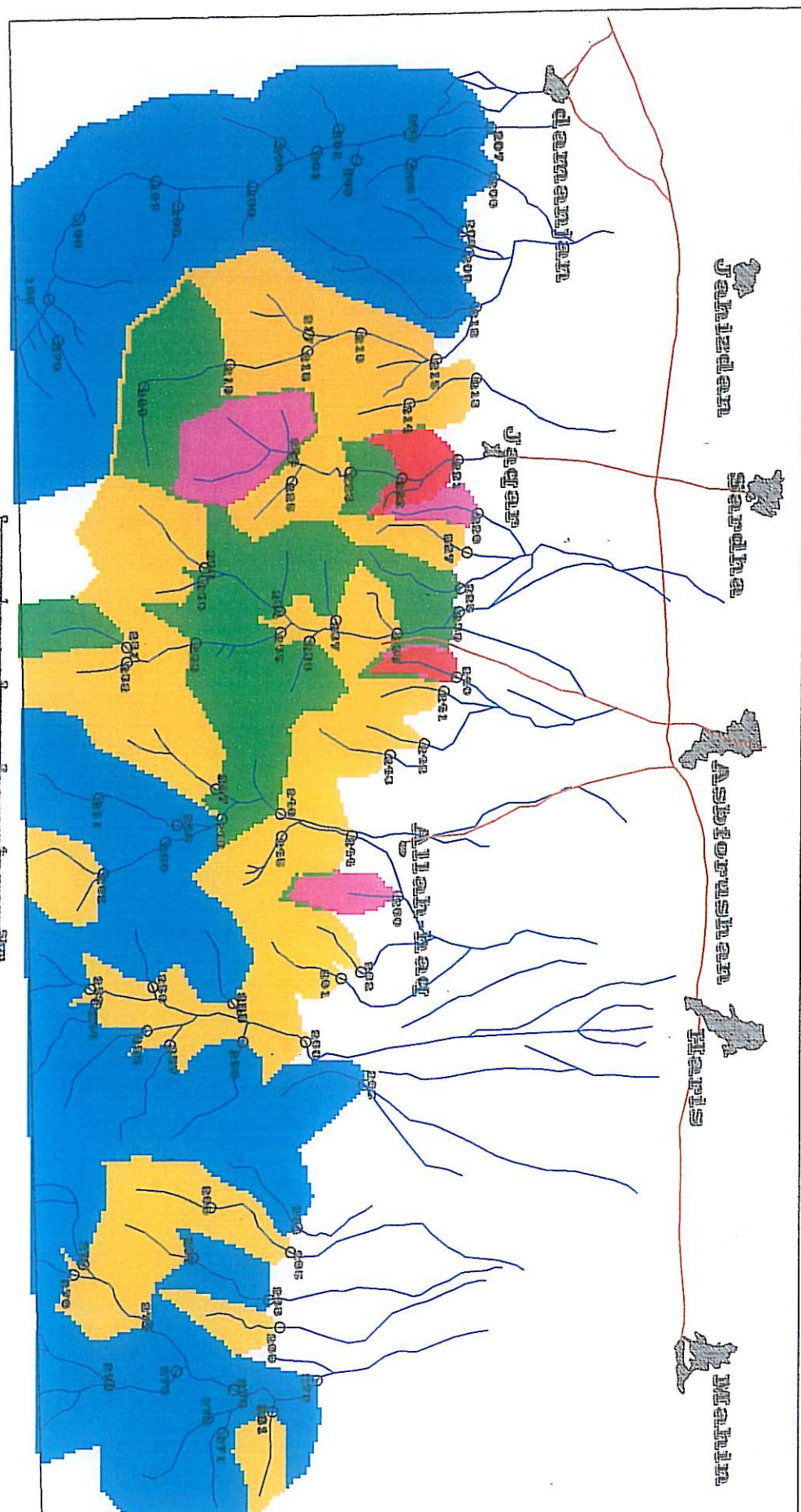
Geochemical Map Of Er

MAP NO:A-9

TEHRAN PADIR
CONSULTING ENGINEERS COMPANY

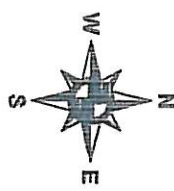


Sarail

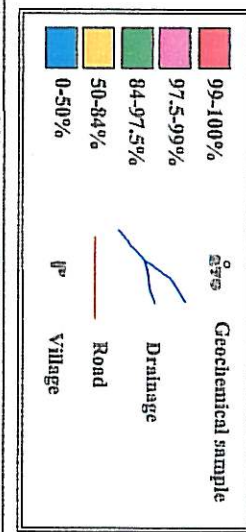


TUMARAM PAHADER
CONTRACTING AND INVESTMENT COMPANY

Geological Map Of Er
MAP NO:B-8



45°
48°



اکتشاف ژئوشیمیائی عناصر کمیاب در محدوده شهرستان کلیبر و سراب

B-29 و A-29 - ۱۲-۱-۴ - تولیوم (Tm)، نقشه‌های شماره

این عنصر با دارا بودن عدد اتمی ۶۹ به عنوان سیزدهمین عنصر گروه عناصر نادر خاکی مطرح است. این عنصر نیز مشابه تمام عناصر نادر خاکی دیگر در محدوده توده نفلین سینیت دارای ناهجاري است. نمونه‌های دارای ناهجاري این عنصر شامل نمونه‌های ۶۳، ۶۴، ۲۳ و ۲۸۰ می‌باشد. در منطقه سراب نیز این عنصر دارای ناهجاري هایی در محدوده توده نفلین سینیت بزقوش می‌باشد. نمونه‌های دارای ناهجاري این عنصر عبارتند از: ۲۸۰، ۲۲۱، ۲۲۲، ۲۳۶، ۲۴۰ و ۲۸۴ عیار Tm در نمونه‌های ناهجاري به شرح زیر می‌باشد:

نام اتم	۲۲۱	۶۳	۲۳	۶۴	۵۱	۵۷	۲۴۰	۲۸۰
ppm عبار	1	0.9	0.9	0.9	0.8	0.8	0.8	0.8

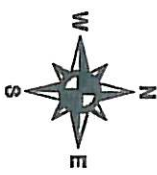
B-34 و A-34 - ۱۳-۱-۴ - ایتربیوم (Yb)، نقشه‌های شماره

عنصر مذکور چهارمین عنصر گروه عناصر نادر خاکی با عدد اتمی ۷۰ می‌باشد. در منطقه کلیبر در بخش شمالی توده نفلین سینیت کلیبر ناهجاري های این عنصر به طور گستردگی دیده می‌شود. نمونه‌های دارای ناهجاري این عنصر نمونه‌های ۵۱، ۵۷، ۶۱، ۶۳ و ۶۵ می‌باشد. عیار عنصر Yb در نمونه‌های ناهجاري به شرح زیر می‌باشد:

نام اتم	۲۲۱	۵۷	۶۳	۲۴۰	۵۱	۲۲۶	۶۱	۶۵	۲۲۴	۲۸۰	۶۶	۲۳۶
ppm عبار	7	6.6	6.1	5.7	5.6	5.2	5.2	5.2	5.1	5	5	4.9
نام اتم	۱۹۴	۲۳۴	۲۳	۶۴	۲۳۷	۲۳۵	۲۲۲	۲۲۸	۲۲۰	۲۳۱	۱۶۱	۲۴۶
ppm عبار	4.8	4.8	4.7	4.7	4.6	4.5	4.5	4.5	4.5	4.5	4.4	4.4



Kaleybar



LEGEND

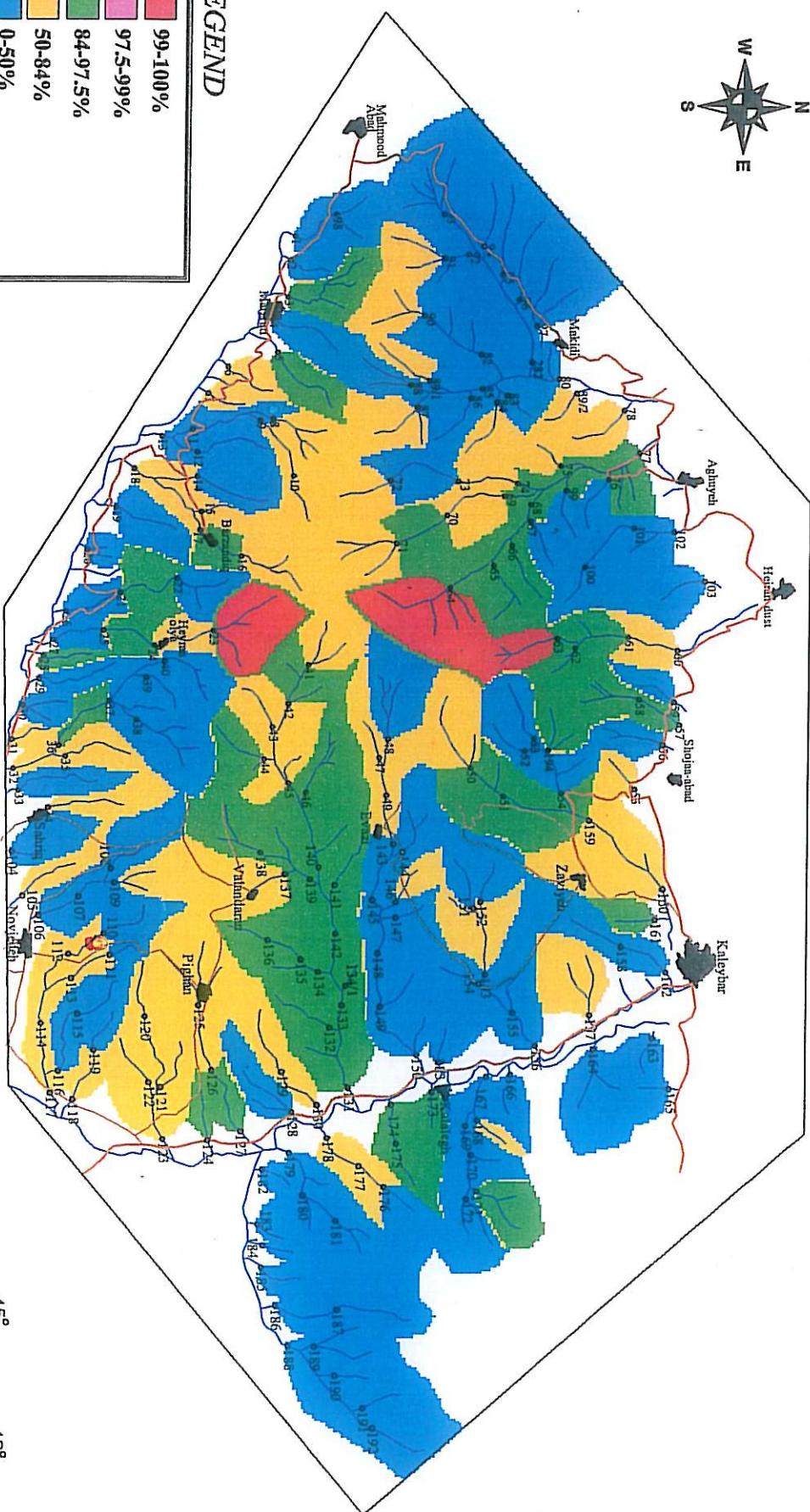
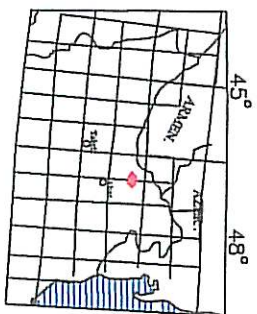


Scale: 1/20,000
0 2 4 6 8 Km

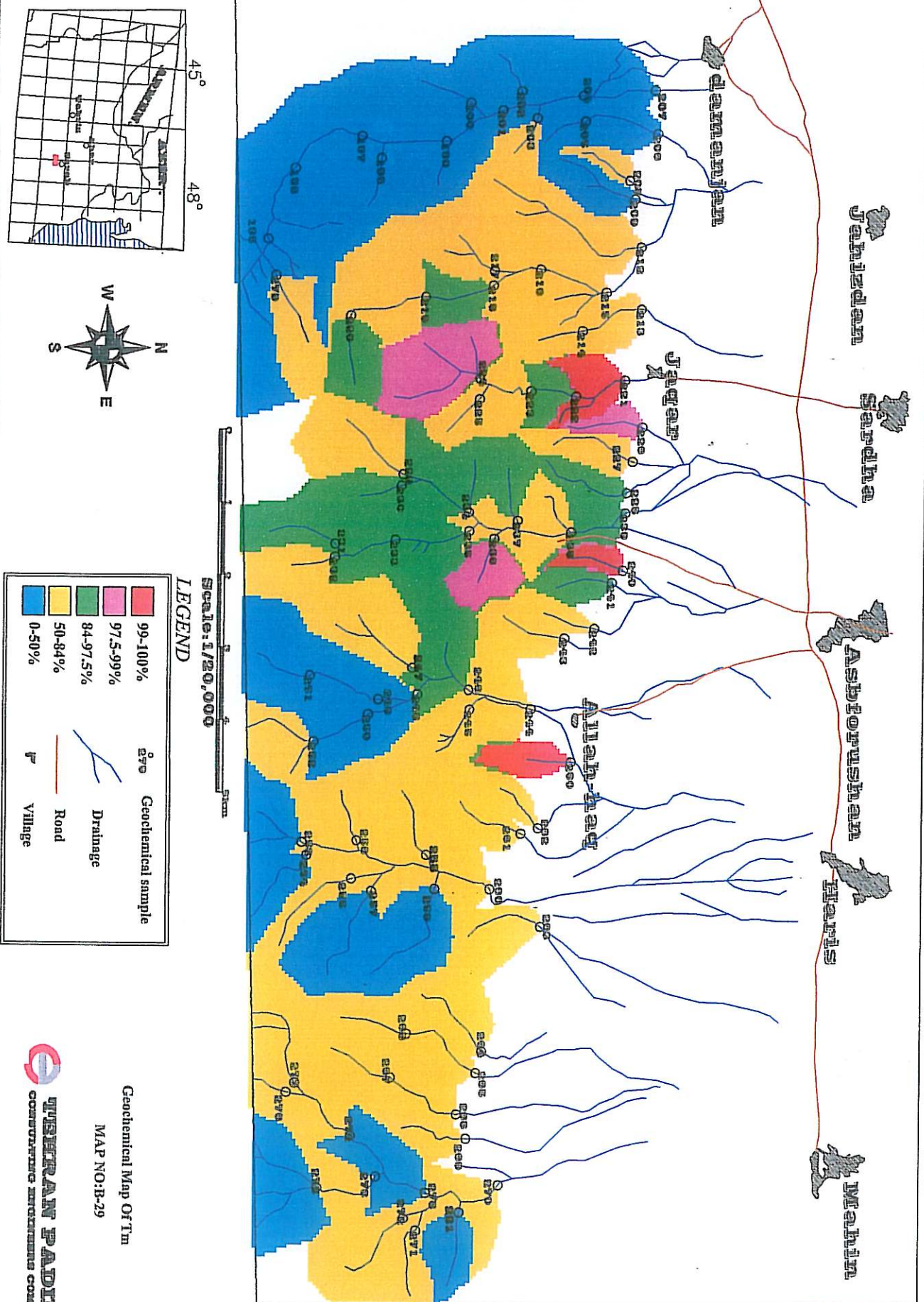
Geological Map Of Iran
MAP NO:A-29

TEHRAN PADIR

CONSULTING ENGINEERS COMPANY



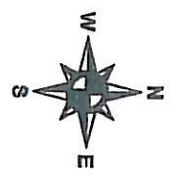
ପ୍ରକାଶକ



WILLIAM PADIR
CONSULTING ENGINEERS COMPANY

Geochanical Map Of Tm
MAP NO:B-29

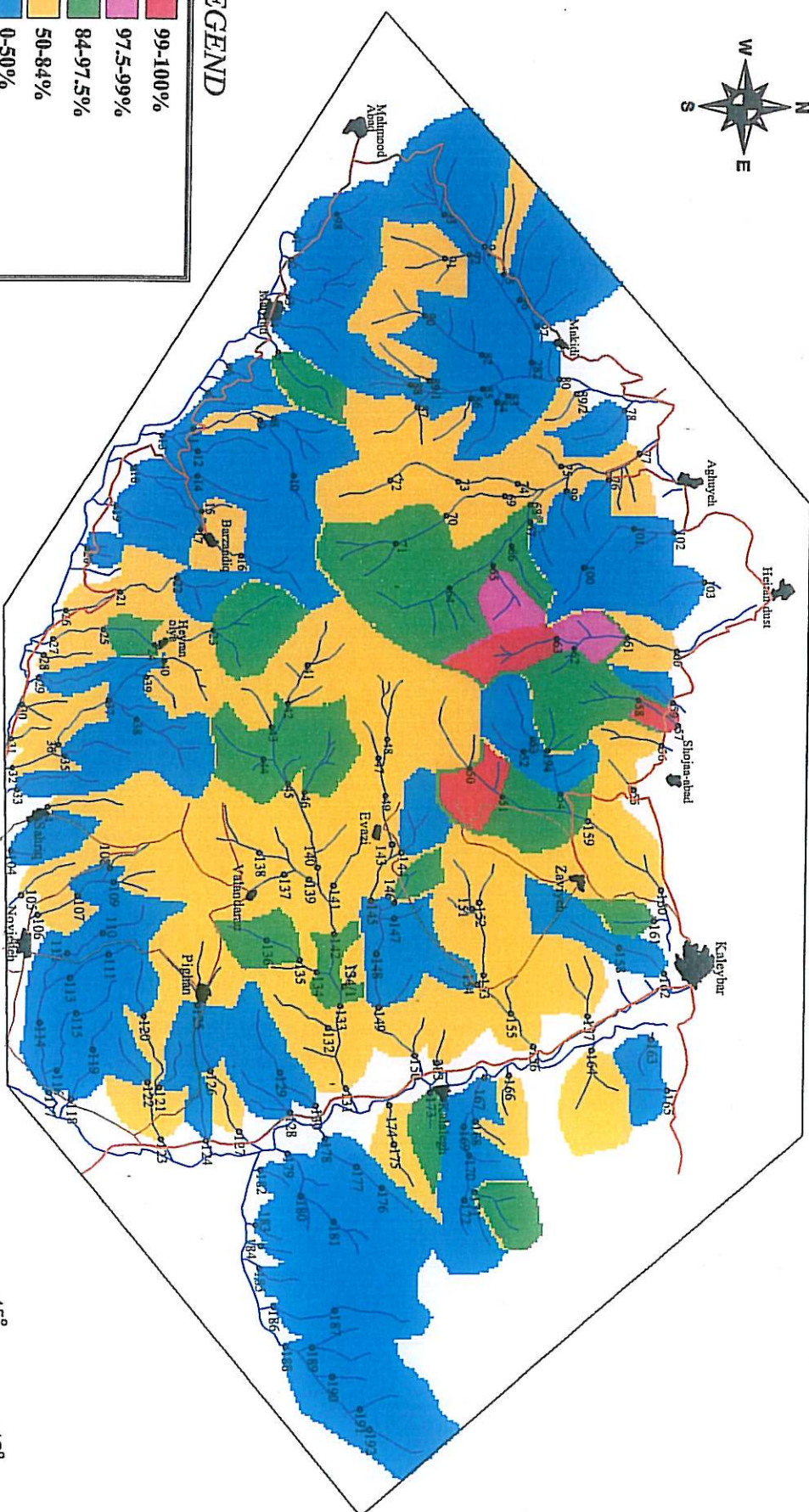
Kaleybar



LEGEND

	99-100%
	97.5-99%
	84.97.5%
	50-84%
	0-50%
	Geochemical sample

Scale: 1/20,000

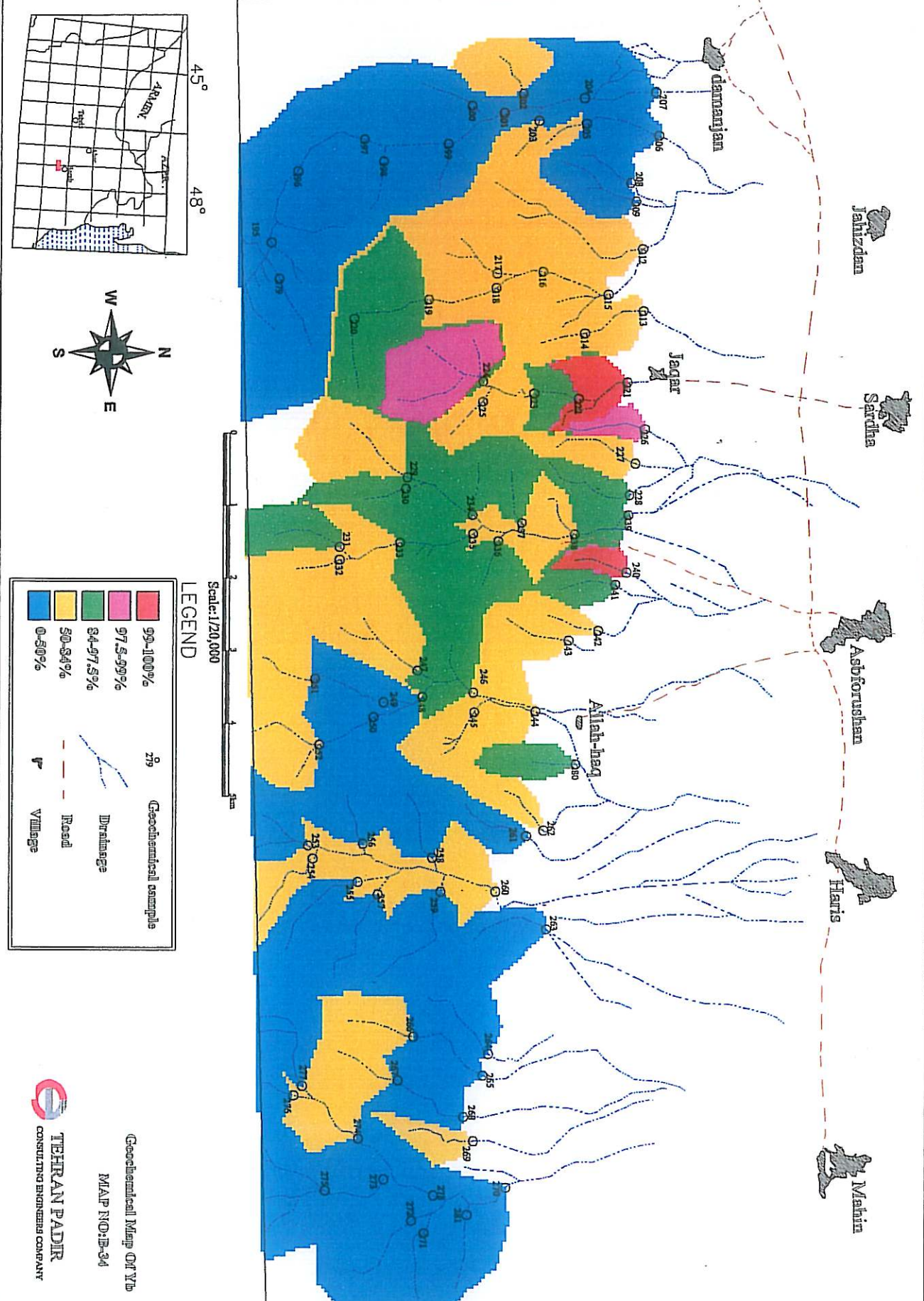


Geological Map Of Yb

MAP NO: A-34

TEHRAN PADIR
CONSULTING ENGINEERS COMPANY

Sarab



اکتشاف ژئوشیمیائی عناصر کمیاب در محدوده شهرستان کلیبر و سراب

B-15 و A-15 - ۴-۲-۱-لوتیم (Lu)، نقشه‌های شماره ۱۵-۱۶

این عنصر پانزدهمین عنصر از گروه عناصر نادر خاکی با عدد اتمی ۷۱ می‌باشد.

در محدوده کلیبر ناهجاری‌های این عنصر در بخش شمال و مرکزی توode نفلین سیتیت دیده می‌شود. نمونه‌های دارای ناهجاری این عنصر شامل نمونه‌های ۶۳، ۵۷، ۶۳، ۲۳ و ۶۴ می‌باشد در محدوده سراب ناهجاری این عنصر محدود به توode بخش بزقوش می‌باشد.

نمونه‌های دارای ناهجاری این عنصر شامل نمونه‌های ۲۴۰، ۲۲۰، ۲۲۱، ۲۲۴، ۲۳۶، ۲۴۰ و ۲۸۰ می‌باشد. عیار

عنصر Lu در نمونه‌های ناهجار به شرح زیر می‌باشد:

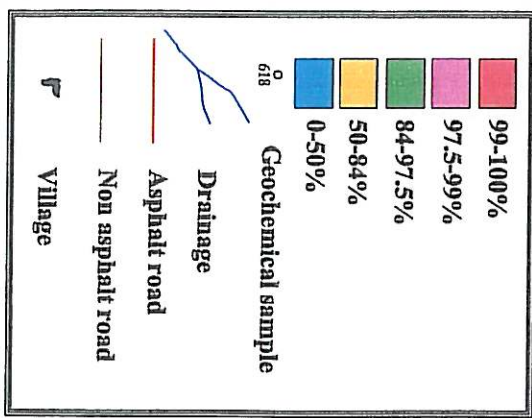
نمکاره نسبی	221	63	57	280	23	64	240
ppm	1	0.9	0.9	0.9	0.8	0.8	0.8



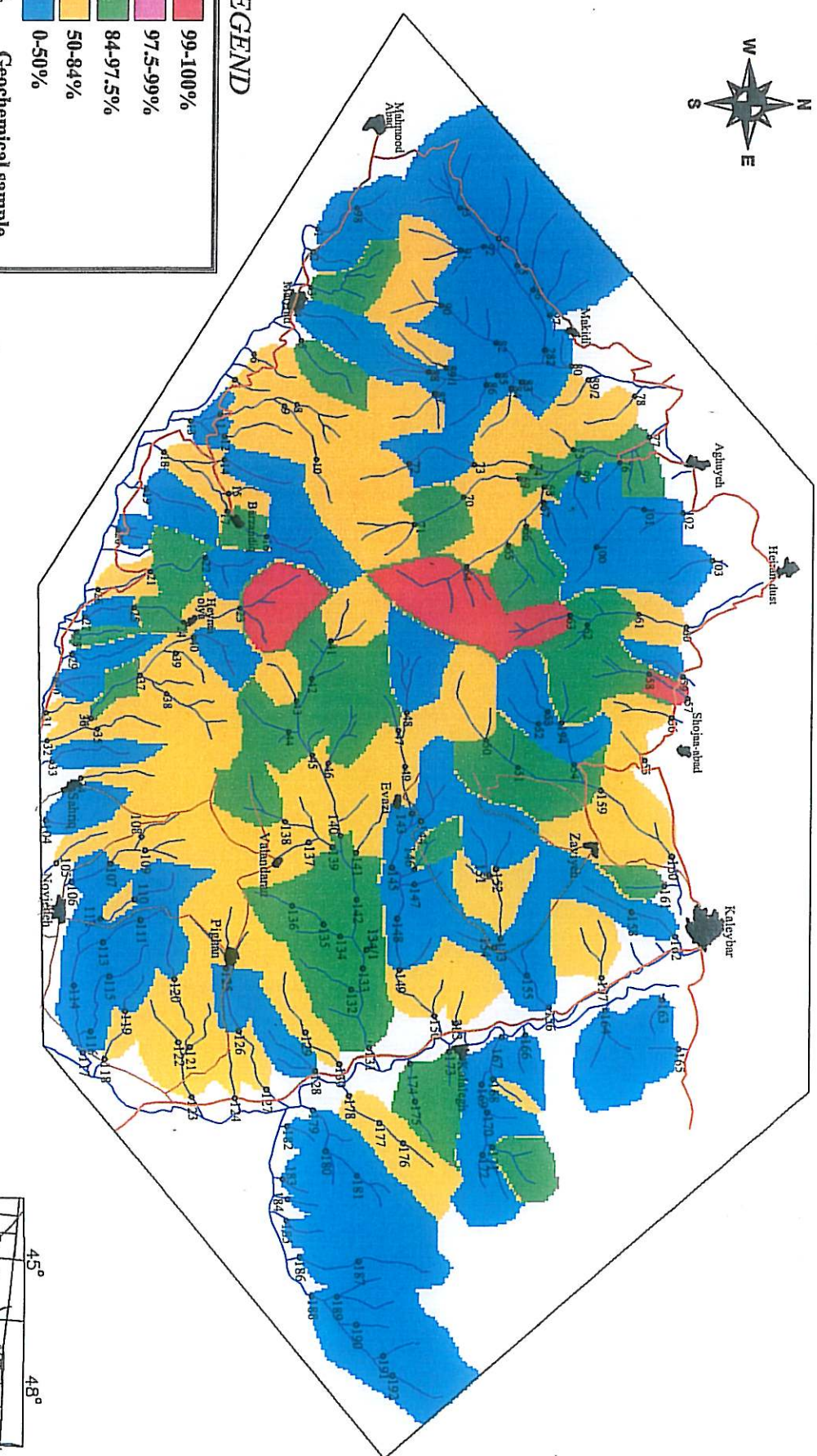
Kaleybar



LEGEND



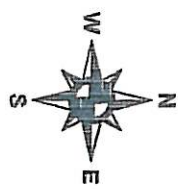
Scale: 1/20,000
8Km



Geochemical Map Of Iru
MAP NO:A-15

TEHRAN PADIR
CONSULTING ENGINEERS COMPANY

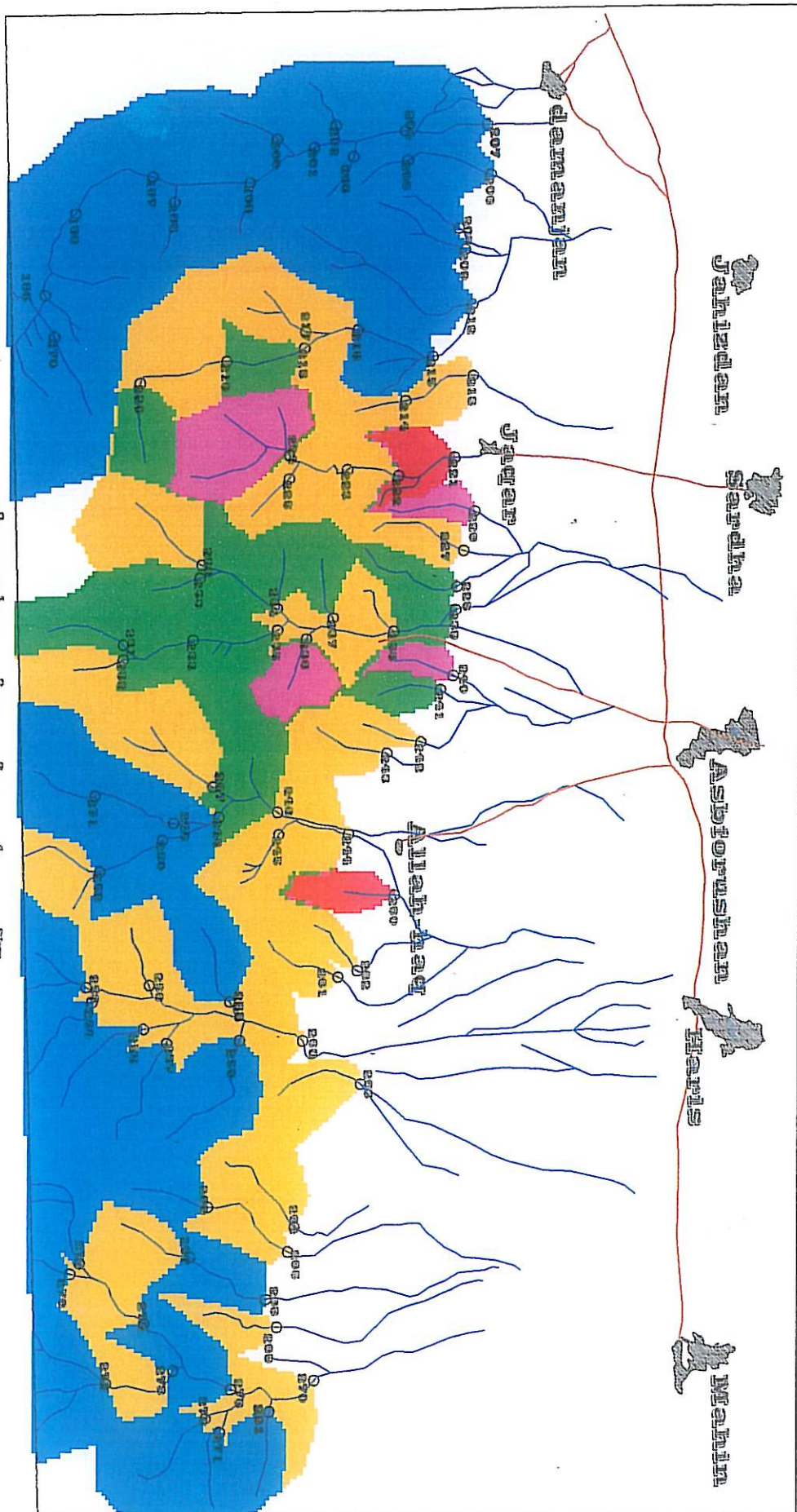
Saltel



Scale: 1:250,000

LEGEND

	Geochanical sample
	99-100%
	97.5-99%
	84-97.5%
	50-84%
	0-50%
	Road
	Village



LILE ۲-۲-۴-عناصر گروه

B-۱ A-۱ و B-۲-۲-۴-باریم (Ba)، نقشه‌های شماره

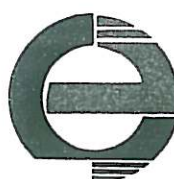
باریم با عدد اتمی ۵۶ در گروه ۲ جدول تناوبی قرار گرفته و در گروه عناصر لیتوفیل با شاعع یونی بالا قرار گرفته است باریم در منطقه کلیبر در بخش شرقی توده نفوذی نفلین سینیت کلیبر ناهنجاری نشان می‌دهد. نمونه‌های دارای ناهنجاری این عنصر ۱۵۴، ۱۵۰، ۱۴۵، ۱۵۰، ۱۴۳ و ۱۸۰ در منطقه سراب نیز ناهنجاری‌های عنصر باریم مربوط به توده نفلین سینیت بزرگش می‌باشد نمونه‌های ناهنجار این عنصر شامل ۲۳۲، ۲۱۴ و ۲۳۳ می‌باشد. عیار عنصر Ba در نمونه‌های ناهنجار به شرح زیر می‌باشد:

شماره نمونه	۱۵۴	۱۵۰	۱۸۵	۱۴۶	۱۴۵
ppm عبارتند از	1790	1330	1290	1225	1195

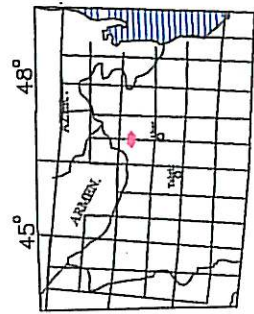
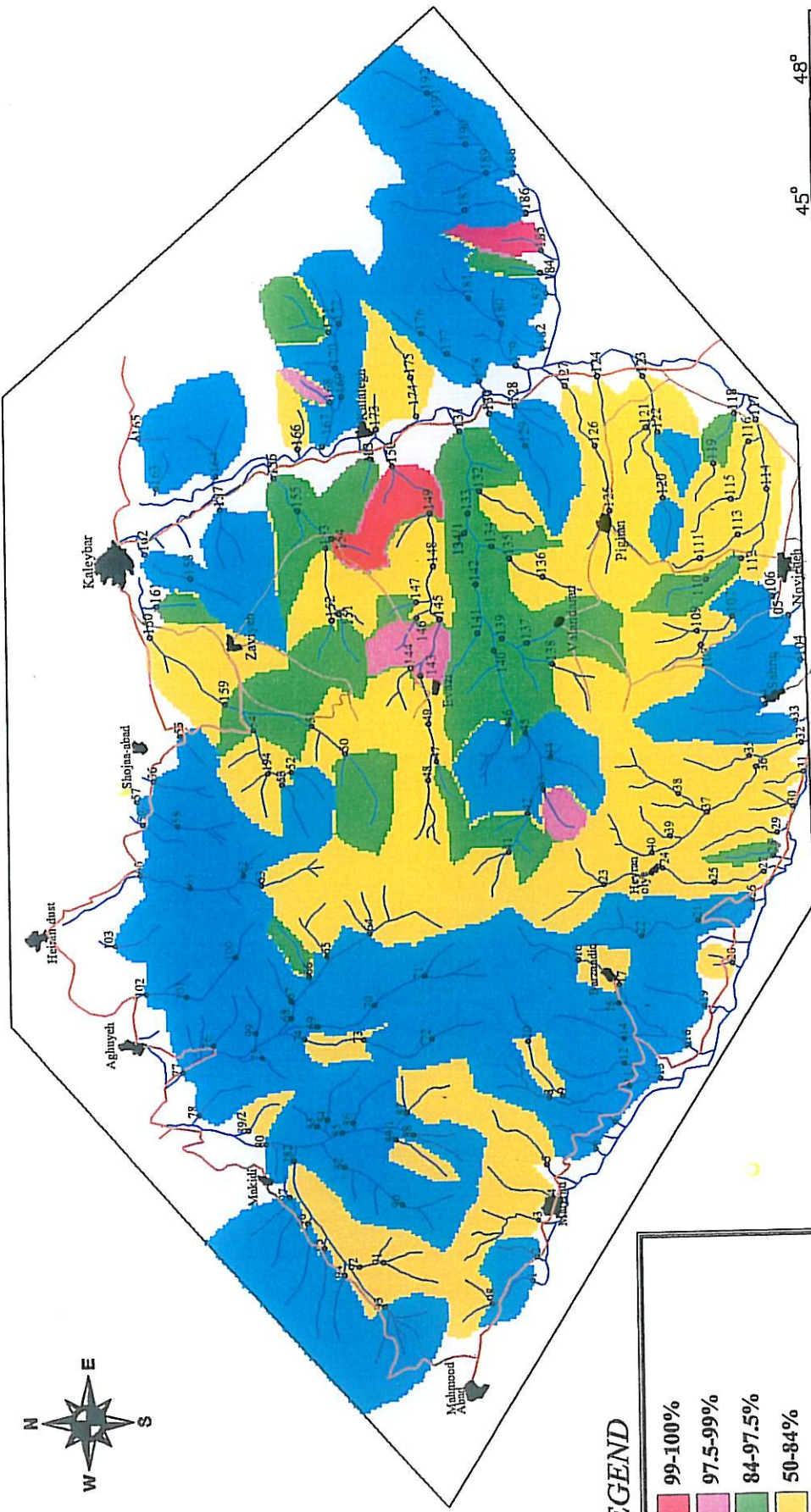
B-۵ A-۵ و B-۲-۲-۴-سزیم (Cs)، نقشه شماره

این عنصر با دارا بودن عدد اتمی ۵۵ در گروه یک جدول مندلیف و در گروه عناصر لیتوفیل با شاعع یونی بالا قرار گرفته است سزیم در منطقه کلیبر در واحدهای نفلین سینیت و بعضًا واحدهای اطراف آن ناهنجاری نشان می‌دهد. نمونه‌های ناهنجار این عبارتند از: ۱۶۵، ۱۵۳، ۱۴۷، ۱۲۱، ۳۱، ۲۵، ۵، ۲۵۳، ۲۲۷، ۲۴۰ و ۲۴۳ عیار عنصر Cs در نمونه‌های ناهنجار به شرح زیر می‌باشد:

شماره نمونه	۵	۱۷۱	۲۴۳	۲۲۷	۲۵۳	۲۴۶	۲۴۱
ppm عبارتند از	11.4	10	9.3	9	8.6	8.6	7.2
شماره نمونه							
ppm عبارتند از	222	165	228	229	223	31	



Kalleybar



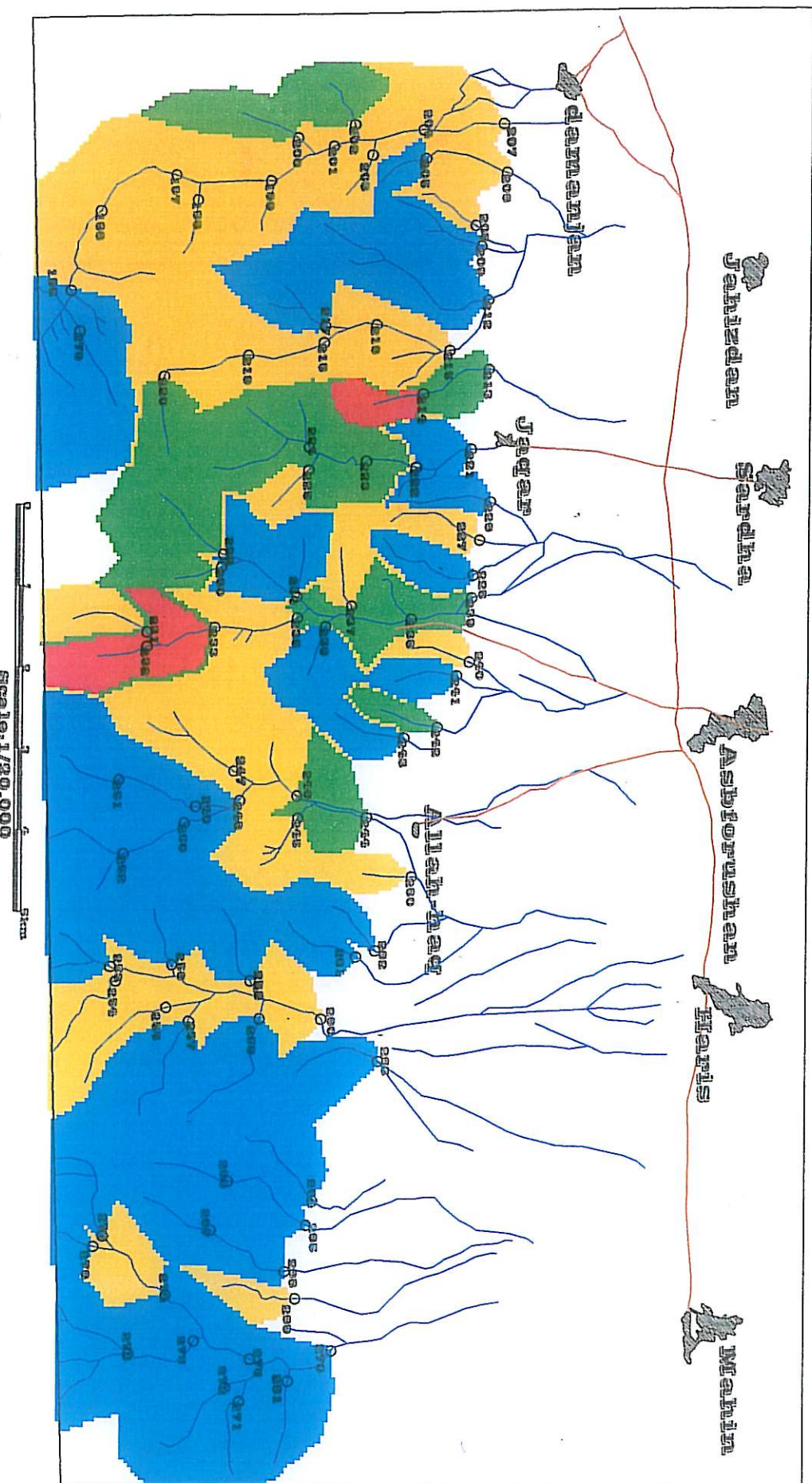
Scale: 1/20,000
0 2 4 6 8 Km

Geochemical Map Of Ba
MAP NO:A-1

TEHRAN PADIR
CONSULTING ENGINEERS COMPANY



Sarab



LEGEND

99-100%	Geological sample
97.5-99%	
84-97.5%	
50-94%	
0-50%	
	Drainage
	Road
	Village

Scale: 1/20,000

0 1 2 3 4 5 Kilometers

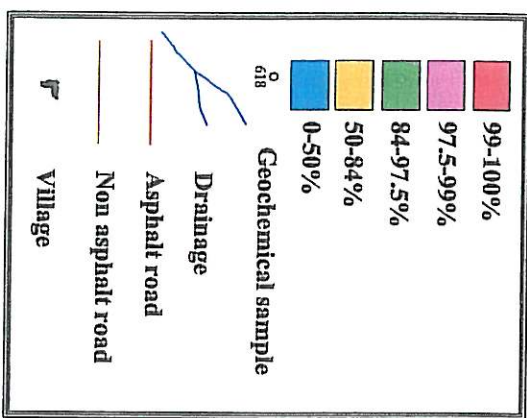
TEHRAN PADIR

Geochemical Map Of Ba
MAP NO:B-1

Kaleybar



LEGEND



*Geochemical Map Of Cs
MAP NO:4-5*

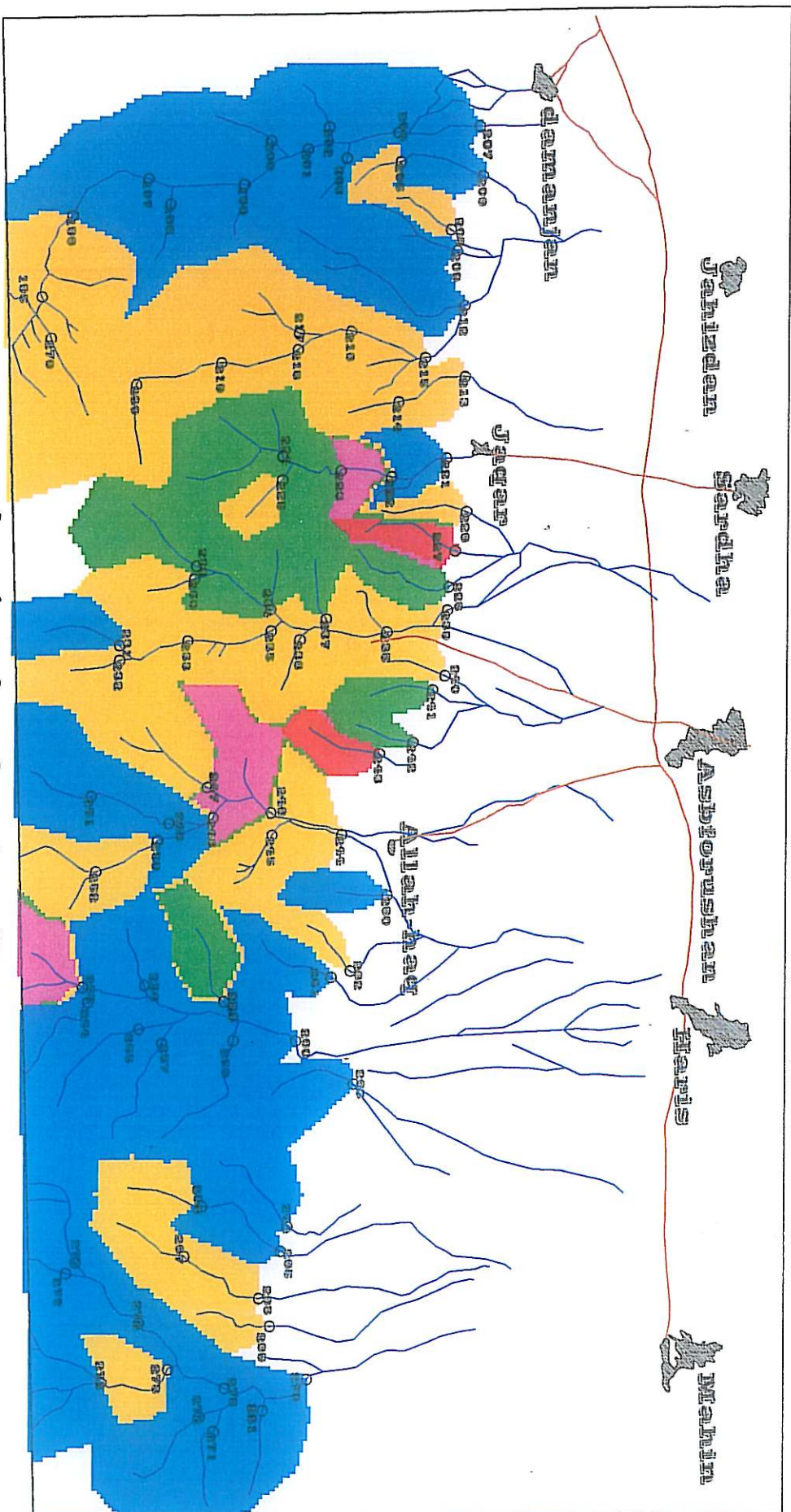
TEHRAN PADIR
CONSULTING ENGINEERS COMPANY

Scale: 1/20,000

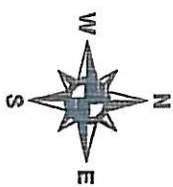
0 2 4 6 Km



Selar



45° 48°



Scale: 1/20,000

LEGEND

Geophysical sample

99-100%	■
97.5-99%	■
84.97.5%	■
50-84%	■
0-50%	■

Road

Village

Scale: 1/20,000

45° 48°



WILMINGTON PADIER
CONSULTING INVESTIGATIONS COMPANY

Geochemical Map Of Cs
MAP NO:B-5

B-22 A-22 و Rb، نقشه‌های شماره ۴-۲-۳-۲

عنصر رو بیدیم با عدد اتمی ۳۷ از گروه اول جدول تناوبی در گروه عناصر لیتوفیل با شاعع یونی بالا قرار گرفته است رو بیدیم در منطقه کلیبر اغلب در محدوده توده نفلین سینیت ناهنجاری نشان می‌دهد. ناهنجاری‌های این عنصر اغلب در غرب روستای زاویه و غرب روستای ولدران دیده می‌شود. منشاء این ناهنجاری‌ها نمونه‌های ۱۵۹، ۱۳۸، ۵۴، ۱۷۱ می‌باشد.

در منطقه سراب ناهنجاری‌های این عنصر در محدوده توده نفلین سینیت بزقوش دیده می‌شود منشاء این ناهنجاری‌ها نمونه‌های ۲۲۷، ۲۲۳، ۲۲۲ و ۲۴۳ می‌باشد. عیار عنصر Rb در نمونه‌های ناهنجار به شرح زیر می‌باشد:

نمودار نمونه	242	222	138	227	243	223	246	229	54
PPM	213	212	212	211	205	204	200	200	197.5

B-25 و A-25 و Sr، نقشه‌های شماره ۴-۲-۴-۲

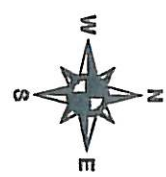
این عنصر با عدد اتمی ۳۸ در گروه ۲ جدول تناوبی قرار گرفته است. این عنصر از جمله عناصر لیتوفیل با شاعع اتمی بزرگ می‌باشد. با توجه به نقطه پراکنش این عنصر در محدوده کلیبر نمونه‌های با عیار بالا اغلب در محدوده توده نفلین سینیت واقع شده‌اند. ناهنجاری‌های این عنصر در محدوده کلیبر نمونه‌های با عیار بالا اغلب در حوالی روستای کلالق و اوزی واقع شده است.

منشاء این ناهنجاری‌ها نمونه‌های زیر می‌باشد ۱۵۶، ۱۴۵، ۱۵۰، ۱۵۱، ۱۵۲ و ۱۴۵ در منطقه سراب نیز ناهنجاری این عنصر در محدوده توده نفلین سینیتیت بزقوش واقع شده است منشاء این ناهنجاری‌ها نمونه‌های ۲۳۳، ۲۱۲ و ۲۱۴ می‌باشد. عیار عنصر Sr در نمونه‌های ناهنجار به شرح زیر می‌باشد:

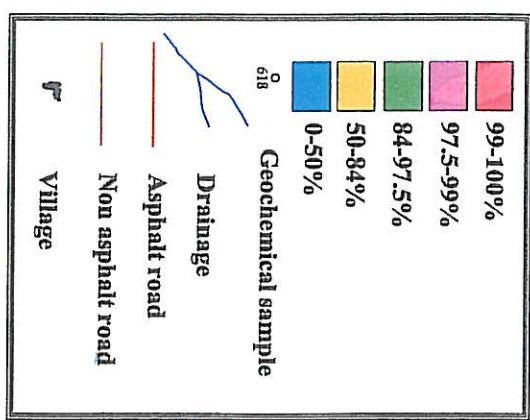
نمودار نمونه	154	145	150	151	146	134-A	152	147
PPM	1525	1350	1280	1190	1180	1155	1105	923
نمودار نمونه	156	155	43	168	54	159	142	
PPM	1100	1085	1080	1015	1000	951	924	



Kaleybar



LEGEND



Scale: 1/20,000
0 2 4 6 8 Km

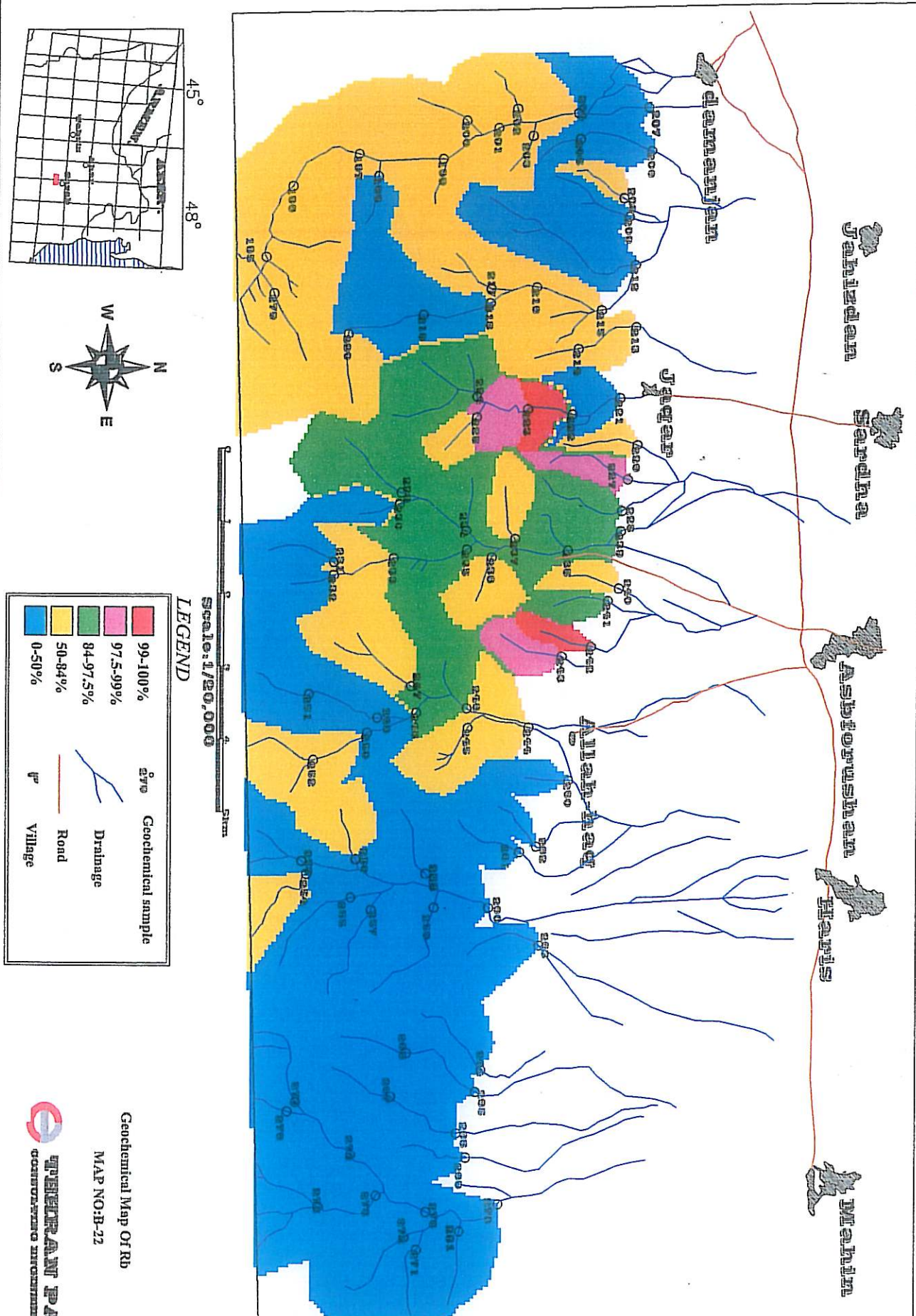
Geochemical Map Of IRB
MAP NO:A-22

TEHRAN PADIR

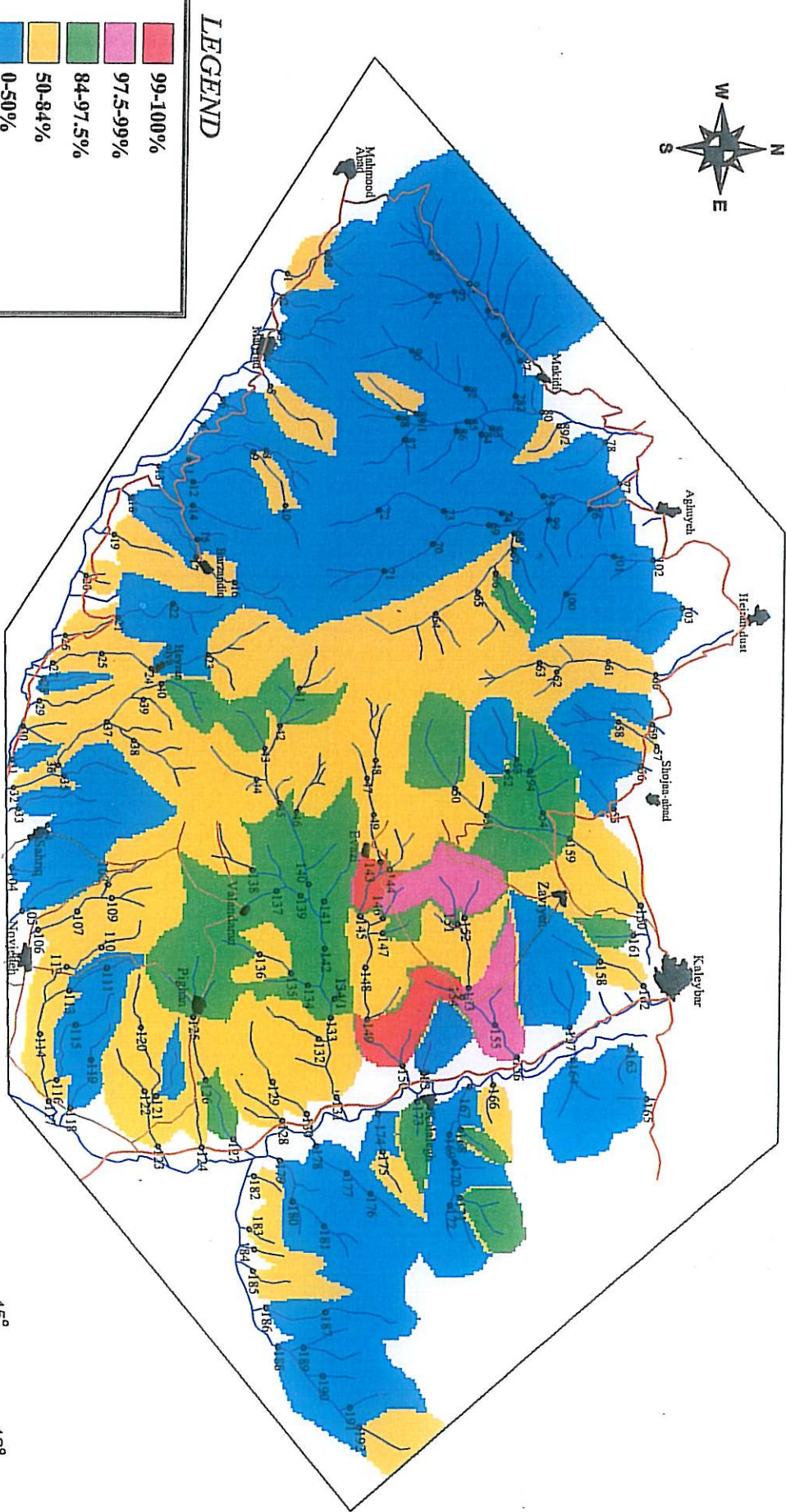
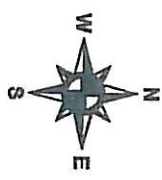
CONSULTING ENGINEERS COMPANY



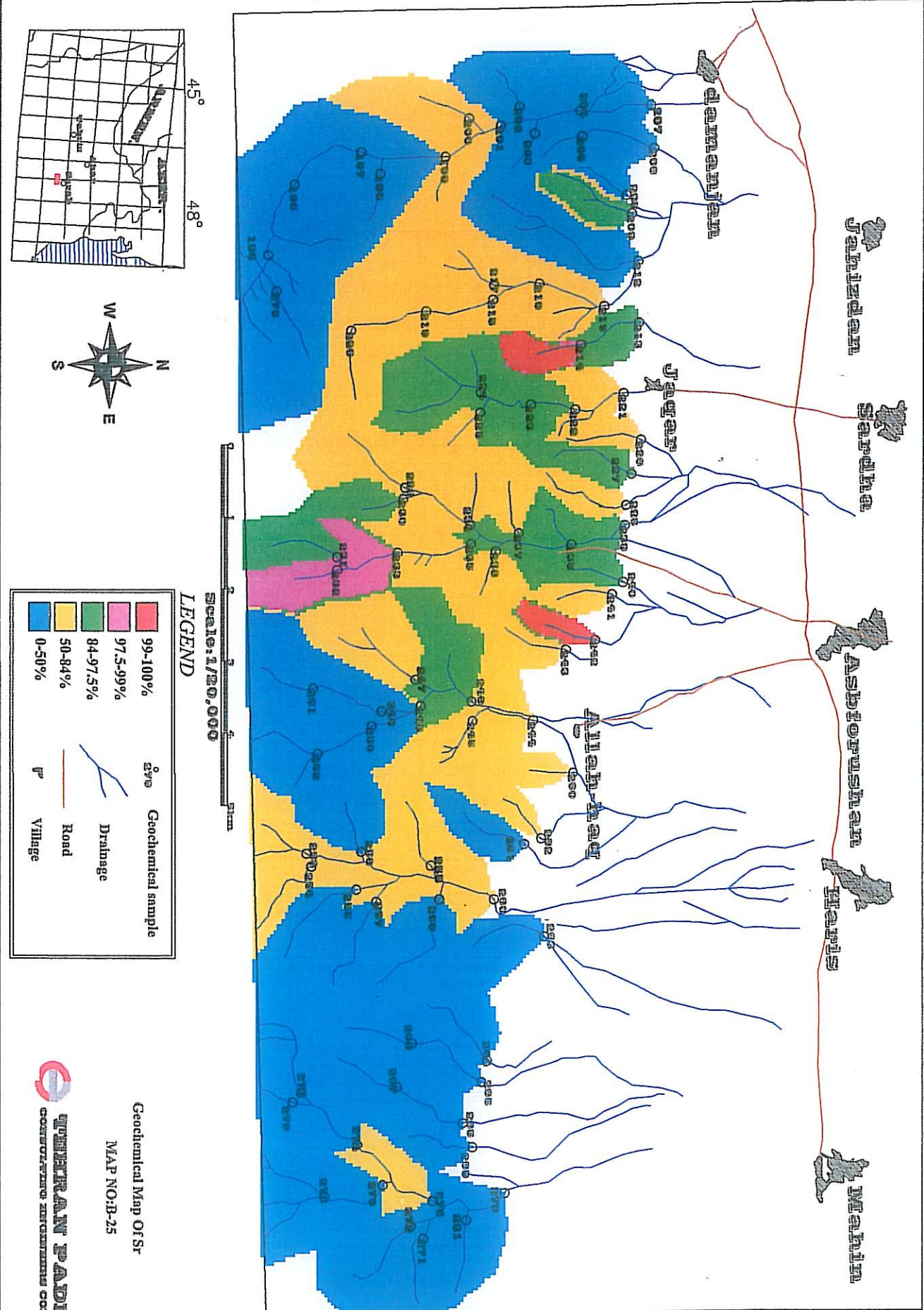
સરૂપ



Kaleybar



Sarail



۴-۲-۳- عنصر گروه HFSE

۴-۲-۳-۱- زیر گروه عناصر نیوبیوم - تانتالیم

۴-۲-۳-۱-۱- نیوبیوم (Nb)، نقشه‌های شماره A-17 و B-17

این عنصر با عدد اتمی ۴۱ به همراه عناصر تانتانیوم و وانادیم در گروه پنج فرعی جدول تناوبی قرار دارد. با توجه به نقشه شماره A-17 در محدوده کلیبر ناهنجاری‌های عمله این عنصر در شمال حیران‌علیا و جنوب شجاع‌آباد گسترش دارد. نمونه‌های دارای ناهنجاری این عنصر عبارتند از: ۶۳، ۵۱، ۵۷، ۱۹۴، ۲۳، ۶۳، ۱۹۱، ۶۴، ۶۵، ۶۶، ۵۸، ۱۶۱ و ۲۲۱، ۲۲۳ و ۲۴۶ می‌باشد. عیار عنصر Nb در نمونه‌های ناهنجار به شرح زیر می‌باشد:

نام نمونه	۶۳	۵۱	۵۷	۱۹۴	۲۲۱	۲۳	۶۱	۶۲	۱۹۱	۶۴	۶۵	۶۶	۵۸	۱۶۱
ppm	52	49	48	41	40	40	39	37	37	36	35	35	34	33

۴-۲-۱-۳-۲- تانتالیوم (Ta)، نقشه‌های شماره A-26 و B-26

این عنصر با عدد اتمی ۷۳ عنصر دیگر از گروه پنج فرعی جدول و گروه HFSE می‌باشد. ناهنجاری‌های این عنصر اغلب در محدوده کلیبر در بخش شمال توده نفوذی کلیبر دیده می‌شود. نمونه‌های ناهنجاری این عنصر شامل نمونه‌های ۶۳، ۵۱، ۵۷، ۶۱، ۶۳، ۱۹۴ و ۱۹۱ می‌باشد. در بخش شرقی منطقه نیز نمونه ۱۹۱ ناهنجاری نشان می‌دهد. در منطقه سراب بخش غربی منطقه مورد مطالعه عیار عنصر مذکور بالاتر بوده و ناهنجاری‌های عمله این عنصر در محدوده توده نفلین سینیت بزقوش قرار دارد نمونه‌های دارای ناهنجاری این عنصر نمونه‌های ۲۲۱، ۲۳۱، ۲۳۴ و ۲۴۰ می‌باشد. عیار عنصر Nb در نمونه‌های ناهنجار به شرح زیر می‌باشد:

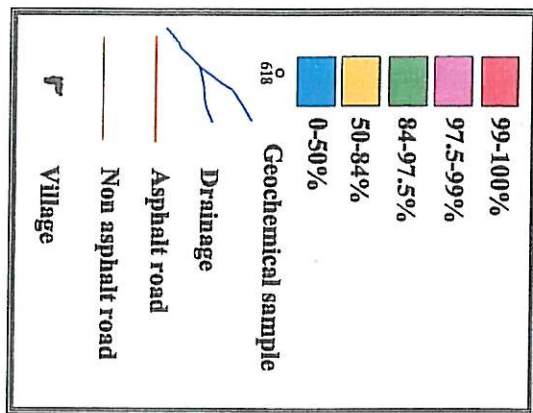
نام نمونه	۵۱	۲۲۱	۵۷	۶۳	۱۹۴	۶۱	۱۹۱	۲۳	۶۴	۵۸	۶۲	۱۹۰	۶۶	۱۶۱	۶۵
ppm	3.6	3.5	3.2	3	2.7	2.5	2.5	2.4	2.4	2.4	2.3	2.2	2.1	2.1	2.1



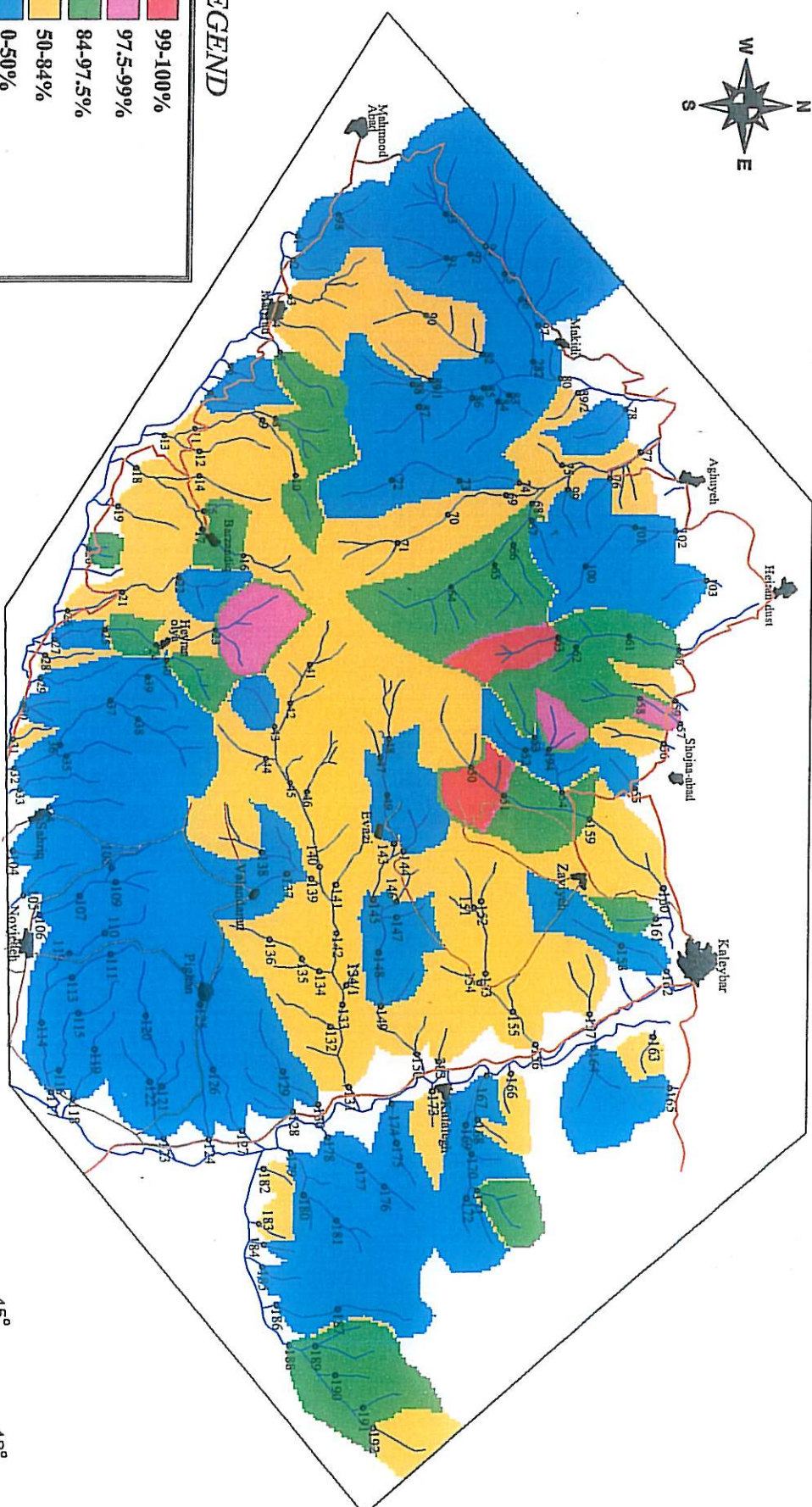
Kaleybar



LEGEND



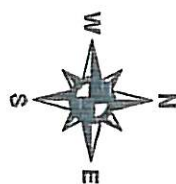
Scale: 1/20,000
0 2 4 6 8 Km



Geochemical Map OINP
MAP NO.A-17

TEHRAN PADIR
CONSULTING ENGINEERS COMPANY

Selvaraj



45°
48°

Scale: 1/20,000
Km

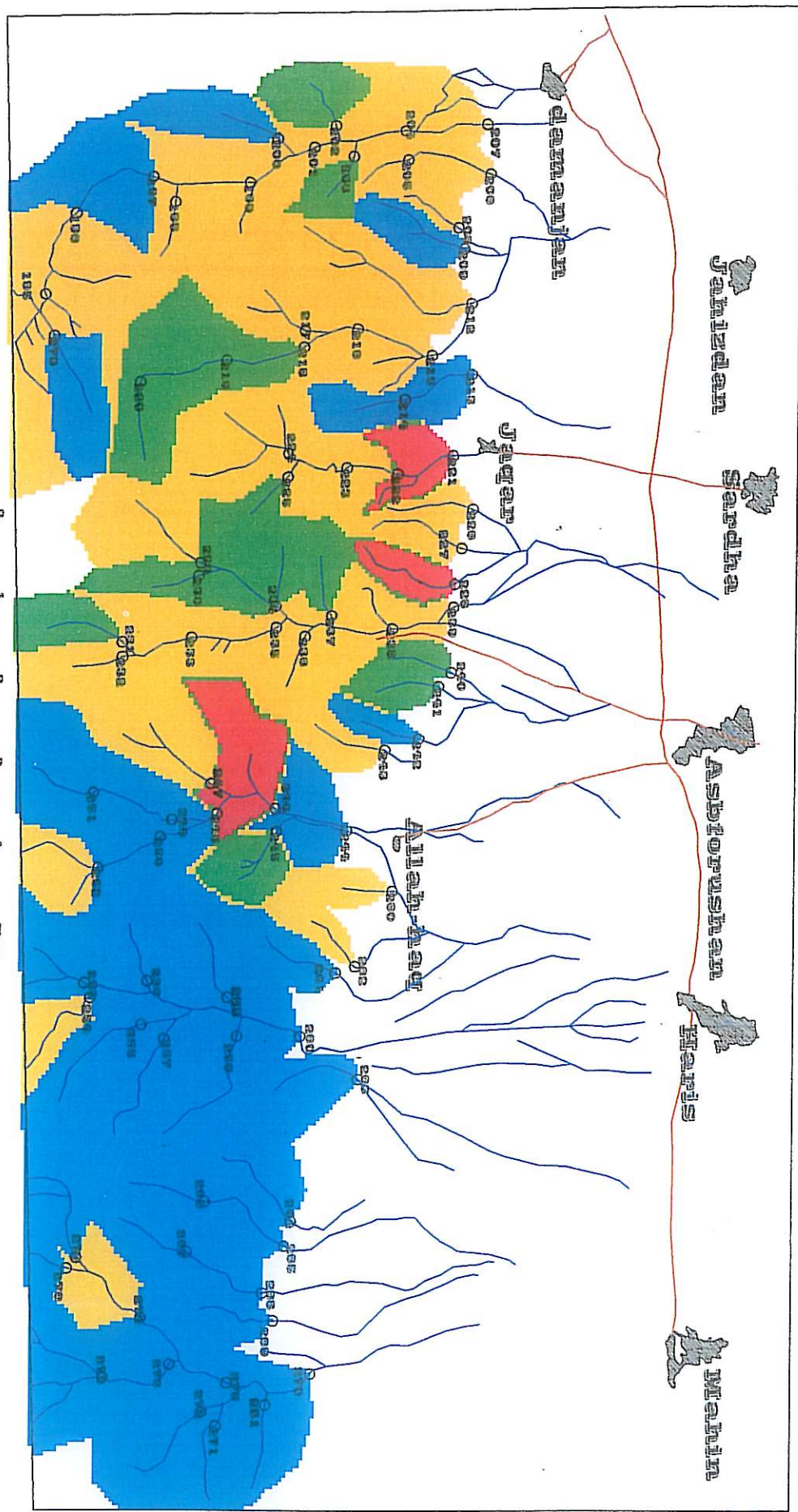
LEGEND

	99-100%
	97.5-99%
	84-97.5%
	50-84%
	0-50%

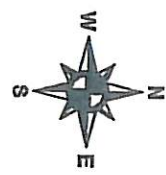
Geochemical Map Of Ni

MAP NO:B-17

VAIJYHARAJ PANDIR
CONTRACTING ENGINEERING COMPANY



Kaleybar



LEGEND

99-100%
97.5-99%
84-97.5%
50-84%
0-50%

Geochemical sample



Drainage



Asphalt road



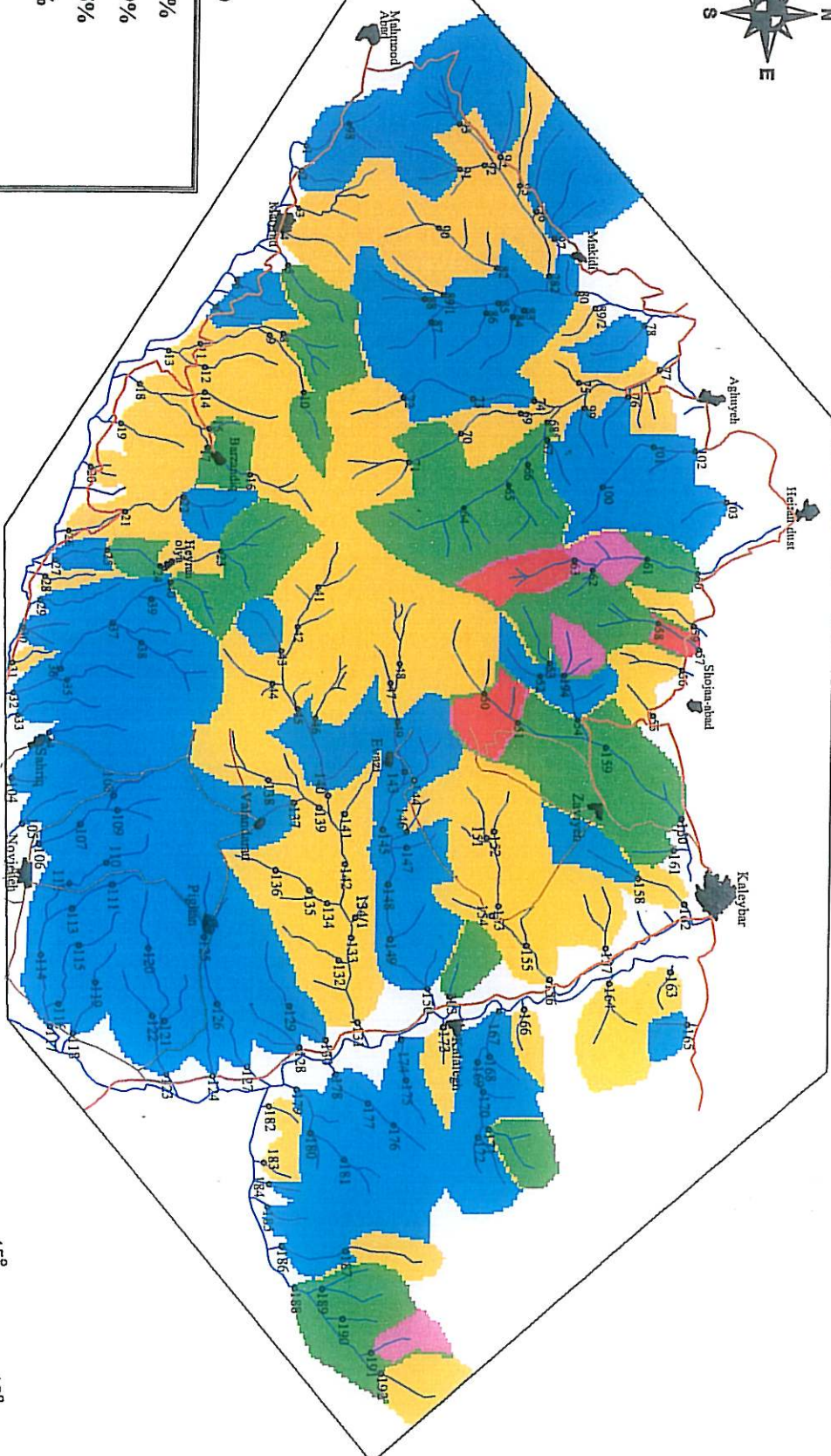
Non asphalt road



Village



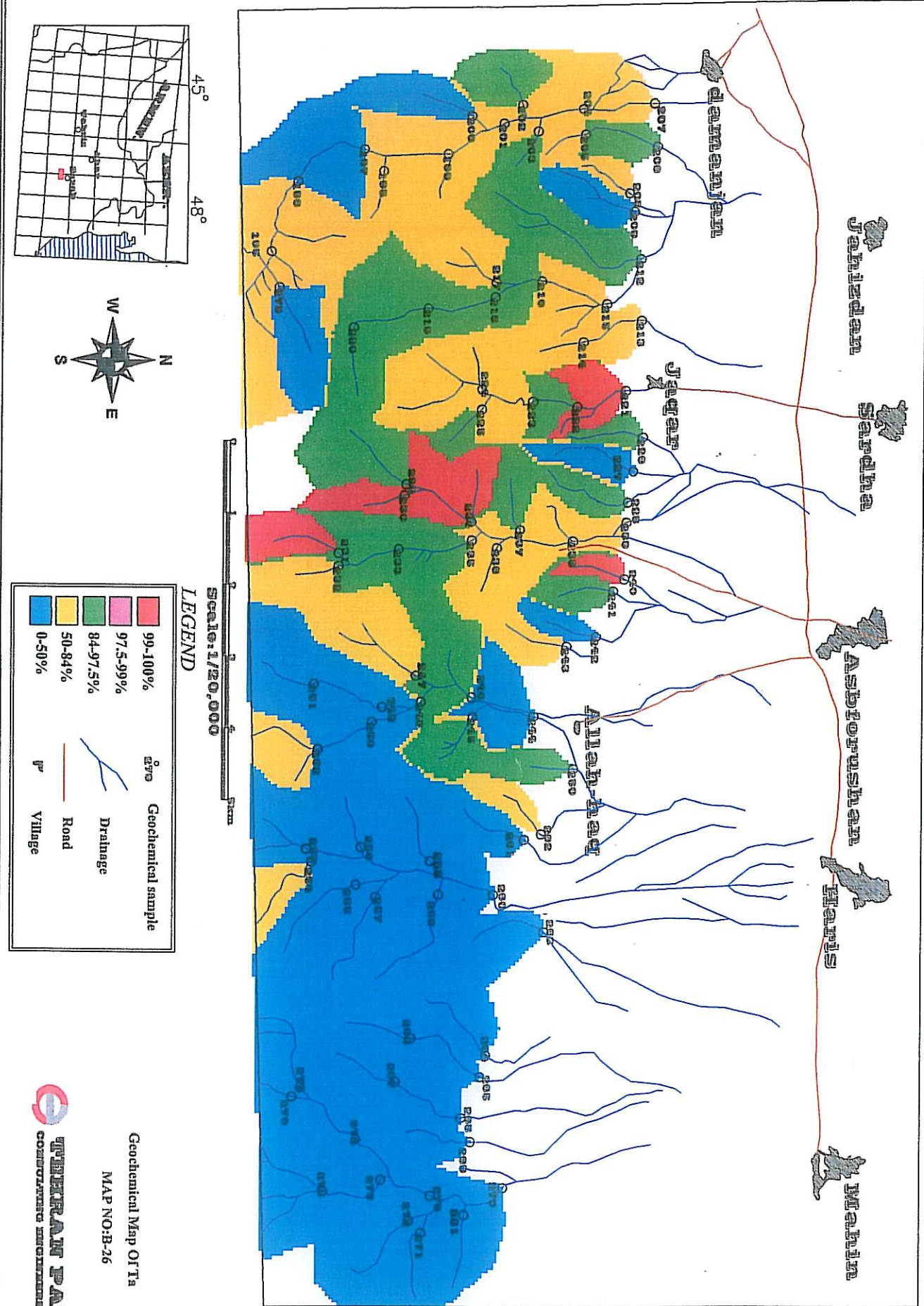
Scale: 1/20,000



Geochemical Map Of Ta
MAP NO:A-26

TEHRAN PADIR
CONSULTING ENGINEERS COMPANY

Sarhad



۴-۳-۲-۳-۲- زير گروه عناصر زيرکونيم - هافنيوم

این دو عنصر بيشتر کانيهایی از نوع اکسیدی و سیلیکاتی را تشکیل می‌دهند، اما با این حال کانی اقتصادی آن منحصر به زیرکن می‌شود. هافنیم به عنوان عنصر ایزومورف زیرکنیم شناخته می‌شود و به همراه یکدیگر تمایل شدیدی به تمرکز در سنگهای آلکالین از خود نشان می‌دهند. به همین علت تمرکز آنها در گرانیت‌ها و سینیتها دو برابر دیگر سنگها است.

۴-۳-۲-۱- زيرکنیم (Zr)، نقشه‌های شماره B-36 و A-36

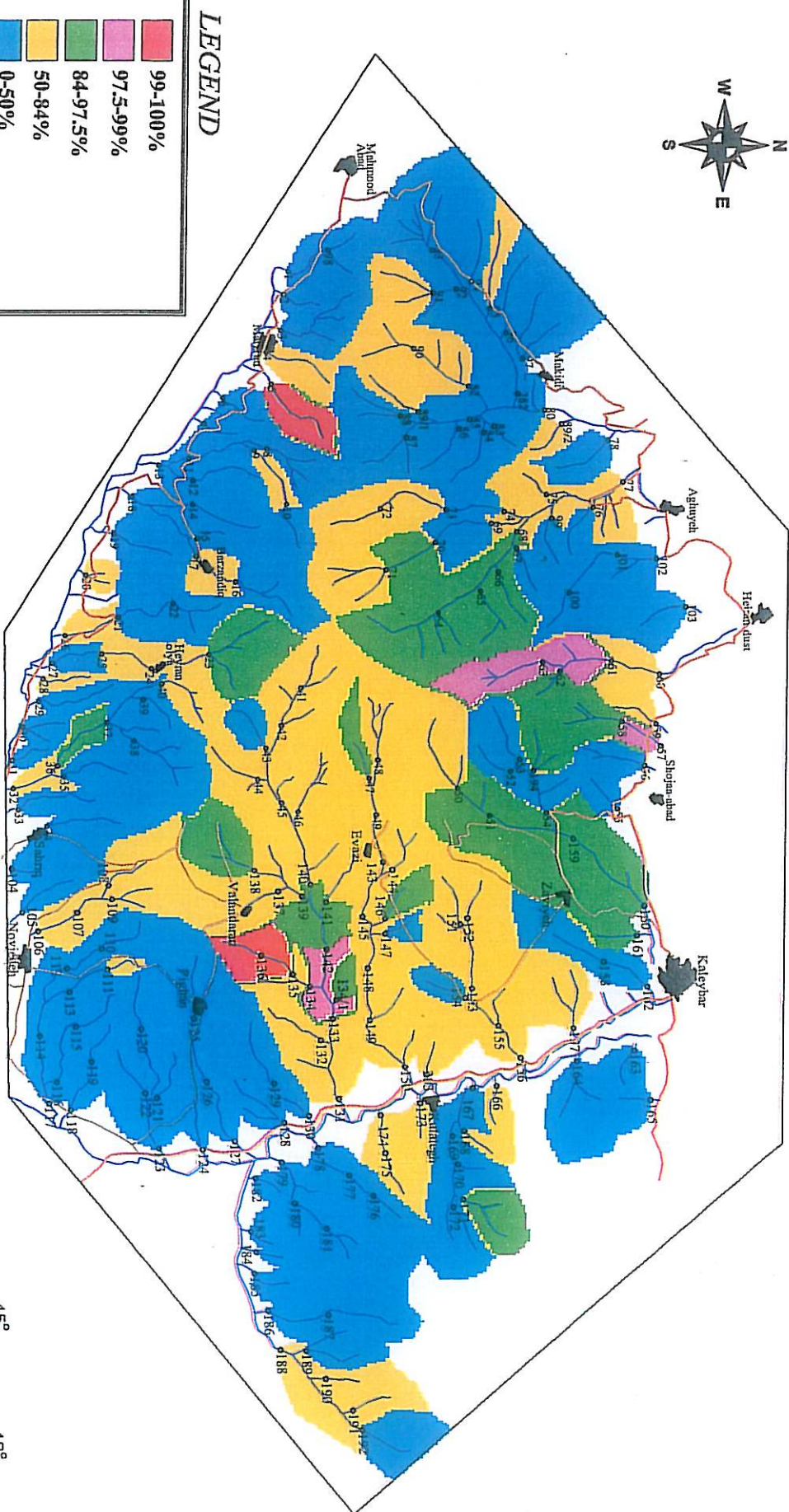
در محدوده کلير عيار عنصر مذکور در محدوده توده نفوذی نفلین سینیت عيار بالاتری از خود نشان می‌دهد. عيار اين عنصر اطراف توده و داخل واحدهای آهکی و ماسه‌سنگی و ولکانيکی در حد زمينه می‌باشد. نمونه‌های ناهنجار اين عنصر شامل نمونه‌های 5, 57, 61, 63 و 135 می‌باشد.

در منطقه سراب عيار زيرکن در محدوده توده نفوذی نفلین سینیت بزقوش عيار بالاتری داشته و در واحدهای اطراف توده مقدار آن در حد زمينه می‌باشد. نمونه‌های ناهنجار اين عنصر شامل نمونه‌های 221, 218 و 280 می‌باشد. عيار عنصر Zr در نمونه‌های ناهنجار به شرح زير می‌باشد:

نمونه کد	5	135	221	136	63	57	61	133	194
ppm عيار	605	549	501	423	380	378	351	337	308
نمونه کد	280	23	240	218	138	161	51	64	
ppm عيار	335	330	328	320	317	316	314	312	



Kaleybar

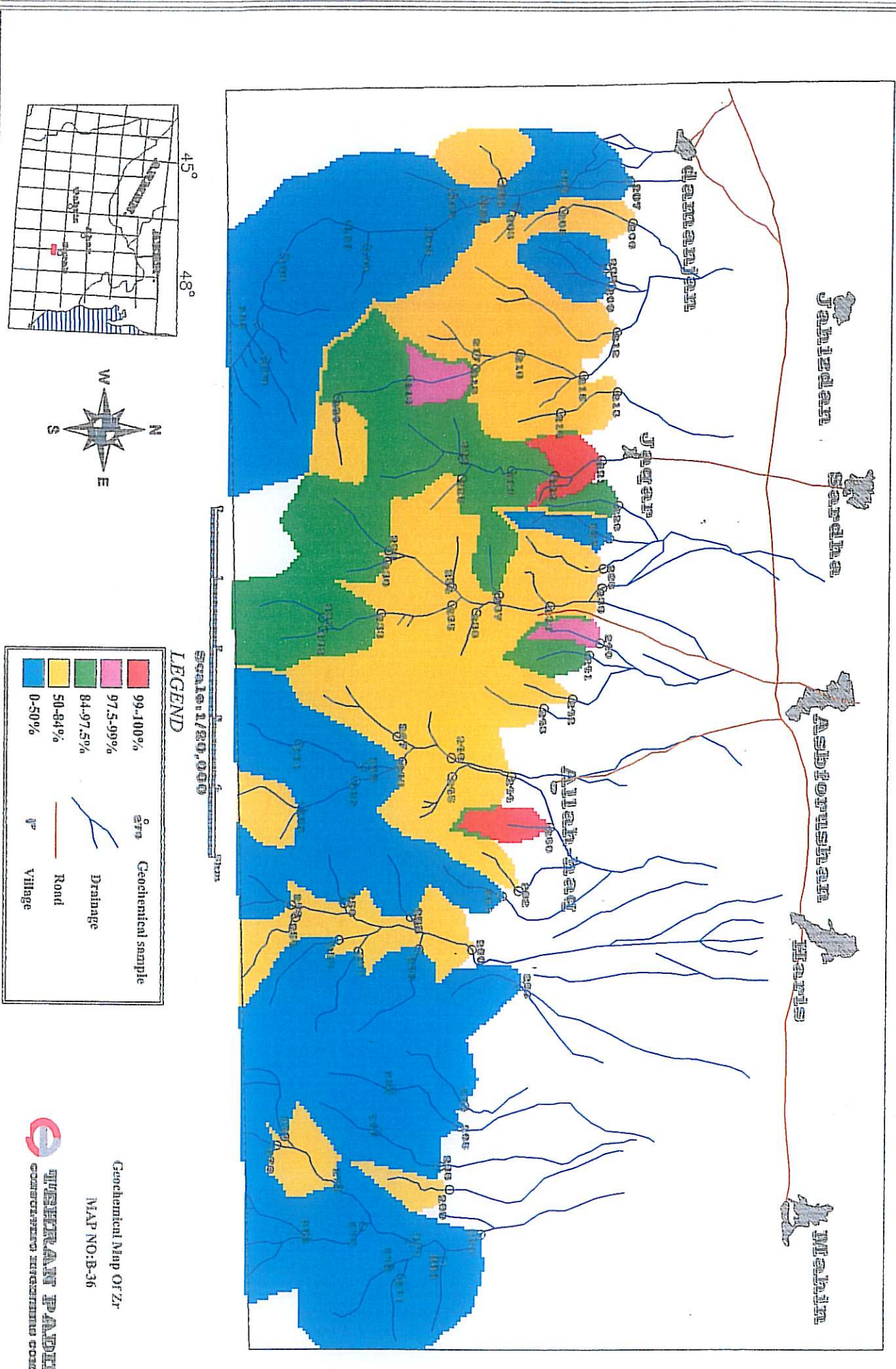


Scale: 1/20,000
0 2 4 6 8 Km



Geochemical Map Of Zr
MAP NO:A-36

TEHRAN PADIR
CONSULTING ENGINEERS COMPANY



ପ୍ରକାଶକ

10

THEATRUM PRAEPLIER

Geochemical Map Of Zn

MAP NO:B-36

THEATRUM PRAEPLIER

اکتشاف ژئوشیمیائی عناصر کمیاب در محدوده شهرستان کلیبر و سراب

۴-۳-۲-۲-۲- هافنیم (Hf)، نقشه‌های شماره A-12 و B-12

در منطقه کلیبر عیار این عنصر نظیر سایر عناصر کمیاب در محدوده توده نفلین سینیت عیار بالاتری از خود نشان می‌دهد. عیار این عنصر در بخش شمالی و مرکزی توده نفوذی بالاتر می‌باشد و ناهنجاری‌های این عنصر در بخش شمالی نشان می‌دهد. نمونه ناهنجاری این عنصر شامل نمونه‌های 63, 61, 57, 58, 51, 5 و 135 می‌باشد.

در منطقه سراب ما شاهد ناهنجاری‌های عمده و مشخص در محدوده توده نفلین سینیت بزقوش هستیم این ناهنجاری‌ها در بخش شمالی و مرکزی توده بزقوش دیده می‌شود. عیار نمونه‌های دارای ناهنجاری این عنصر در مناطق

کلیبر و سراب به شرح زیر می‌باشد:

عنوان نمونه	5	51	221	57	63	61	58	135	64	62	65	40	68	240	66	136	45
عندان	14	13	13	13	12	11	11	11	10	10	10	10	10	9	9	9	9



Kaleybar

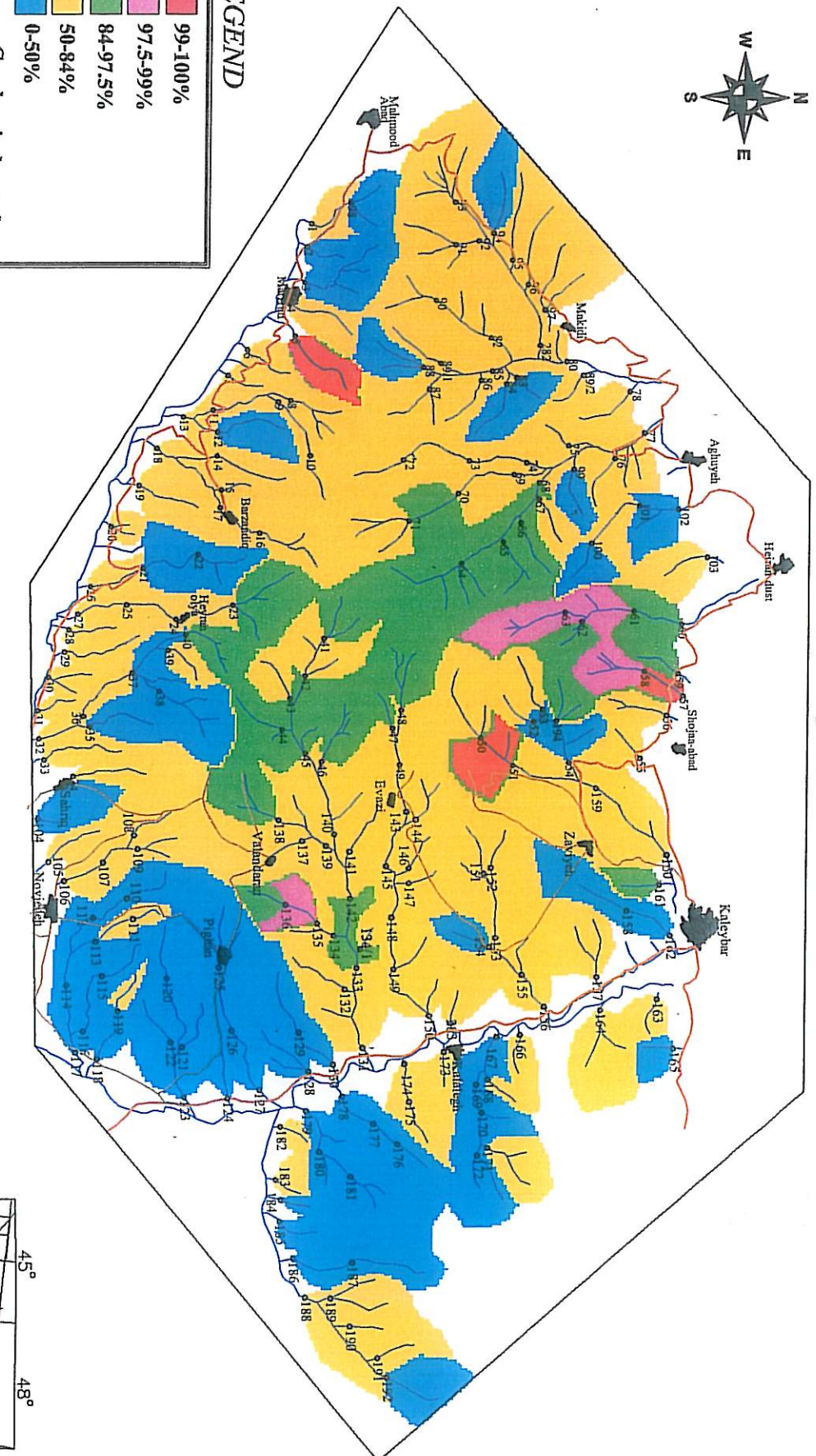


LEGEND

99-100%
97.5-99%
84-97.5%
50-84%
0-50%

Geochanical sample

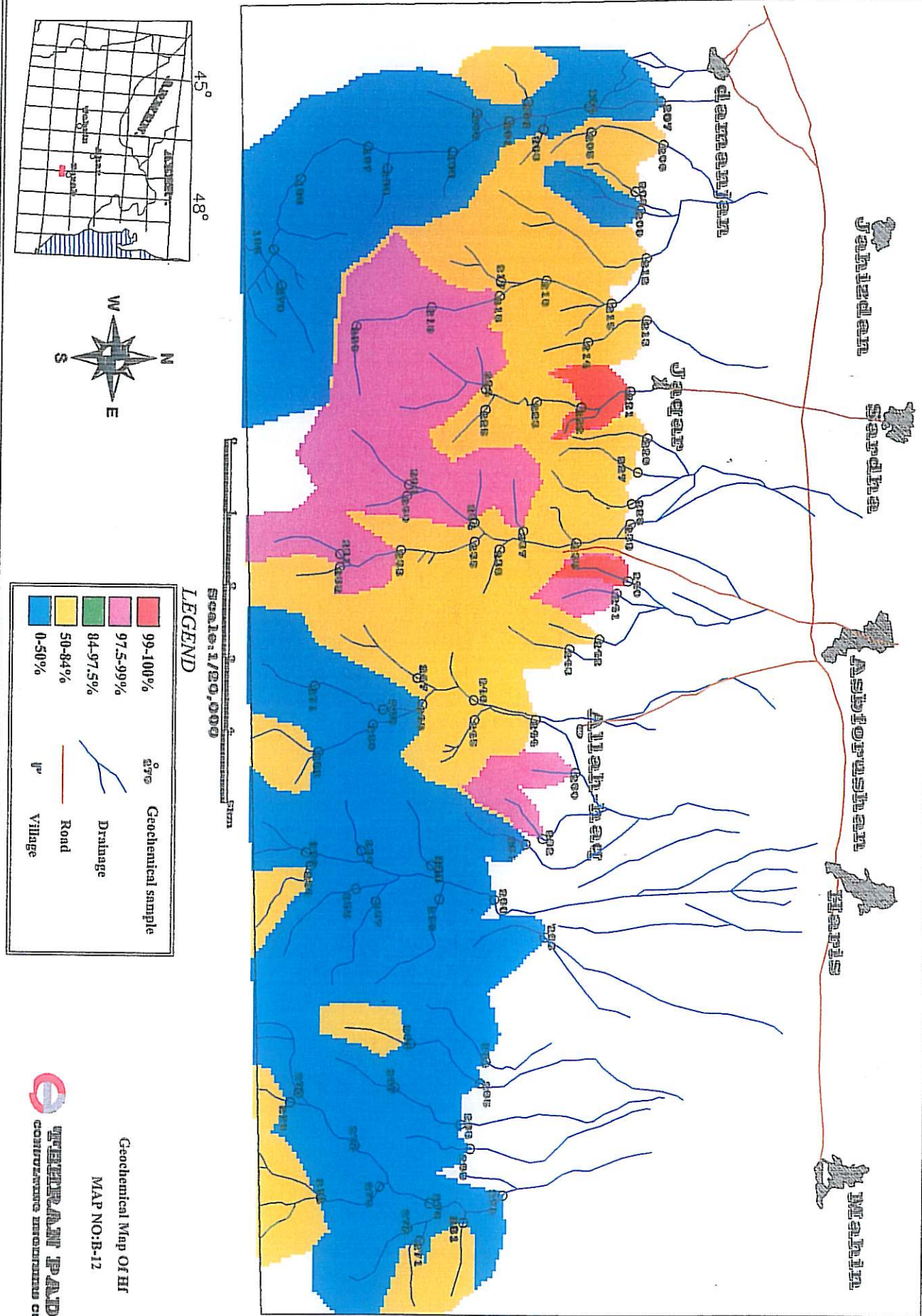
Scale: 1/20,000
0 2 4 6 8 Km



Geochanical Map Of HI
MAP NO:A-12

 TEHRAN PADIR
CONSULTING ENGINEERS COMPANY

Sangai



اکتشاف ژئوشیمیائی عناصر کمیاب در محدوده شهرستان کلیبر و سراب

۴-۲-۴- سایر عناصر

این عناصر در تقسیم‌بندی عناصر کمیاب قرار نمی‌گیرد، اما به دلیل این که از لحاظ اکشافی مهم بوده و توسط آزمایشگاه آنالیز شده، مورد پردازش قرار گرفته و نقشه‌های پراکنش این عناصر ترسیم شده است. با مقایسه نقشه پراکنش این عناصر با پراکنش عناصر کمیاب می‌توان نتیجه گرفت که ناهنجاری‌های این عنصر بیشتر در مناطقی که آلتراسیون‌های شدید در اثر نفوذ دایکهای آپلیتی مشاهده می‌شود، دیده می‌شود عناصر مذکور به ترتیب به شرح زیر می‌باشد:

۴-۲-۴-۱- کبات (CO)، نقشه‌های شماره 3 و A-3

این عنصر برخلاف عناصر کمیاب در محدوده توده نفلین سینیت دارای عیار پایین و در حد زمینه می‌باشد. در محدوده کلیبر ناهنجاری‌های این عنصر در بخش جنوب شرق و جنوب منطقه مورد مطالعه قرار دارد. منشاء این ناهنجاری نمونه‌های 125، 37 و 127 می‌باشد.

در منطقه سراب نیز ناهنجاری‌های این عنصر در بخش شرقی توده نفوذی بزقوش دیده می‌شود. در محدوده توده بزقوش عیار این عنصر در حد زمینه می‌باشد. نمونه‌های دارای ناهنجاری این عنصر نمونه‌های 257 و 263 می‌باشد. عیار نمونه‌های دارای ناهنجاری این عنصر در مناطق کلیبر و سراب به شرح زیر می‌باشد:

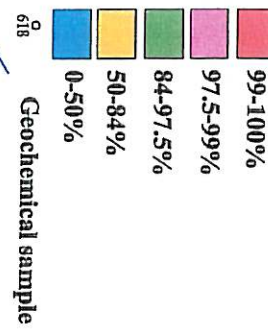
نمونه	37	127	38	125	122	190	129	191	120	263	135	67	126	188	130	180
ppm عیار	45.4	43.5	43.5	42.7	41.8	38.2	38	36.7	36.5	36.3	36.2	35.3	34.7	34.5	34.3	33.9



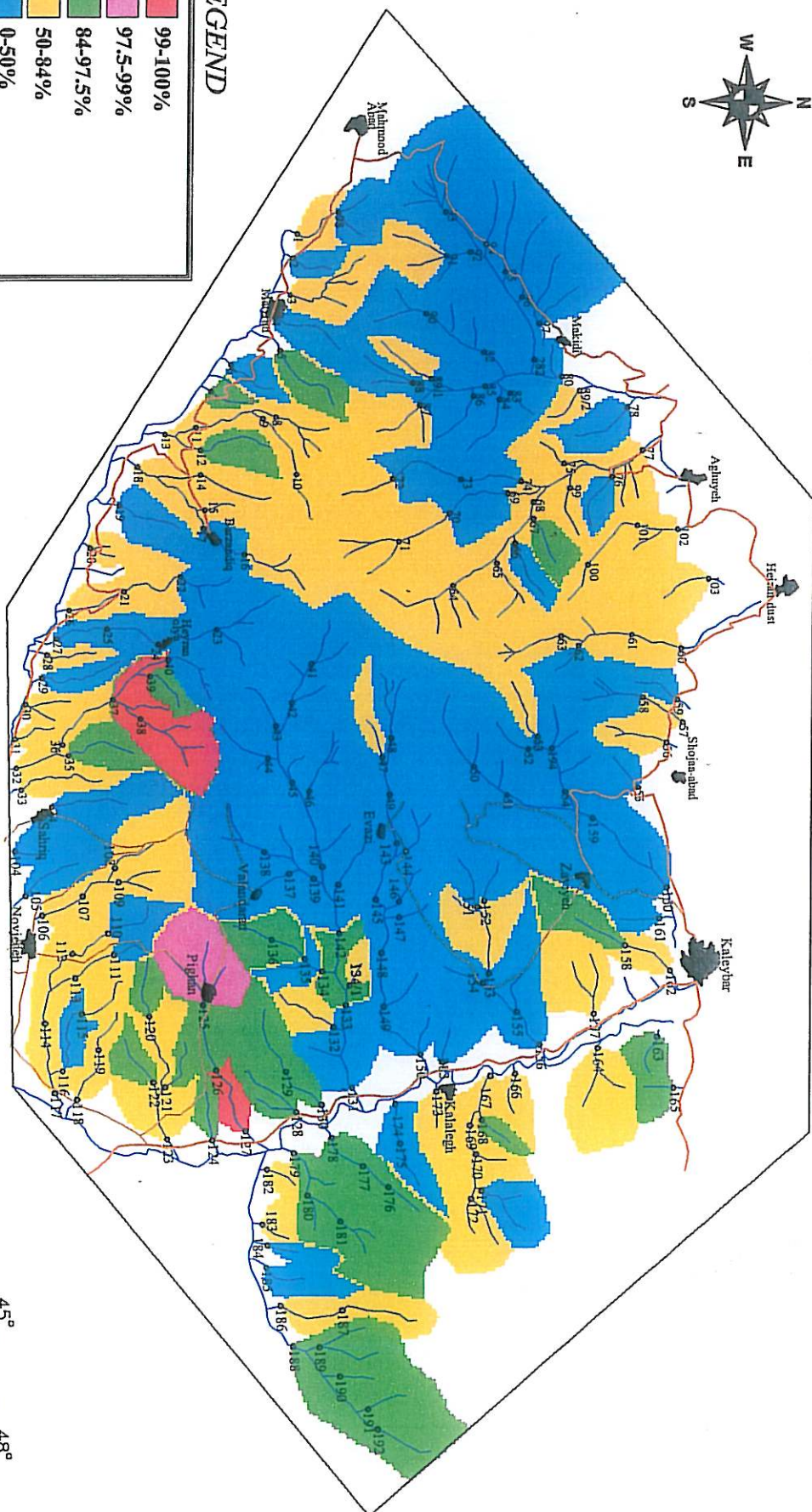
Kaleybar



LEGEND



Scale: 1/20,000
0 2 4 6
8 Km

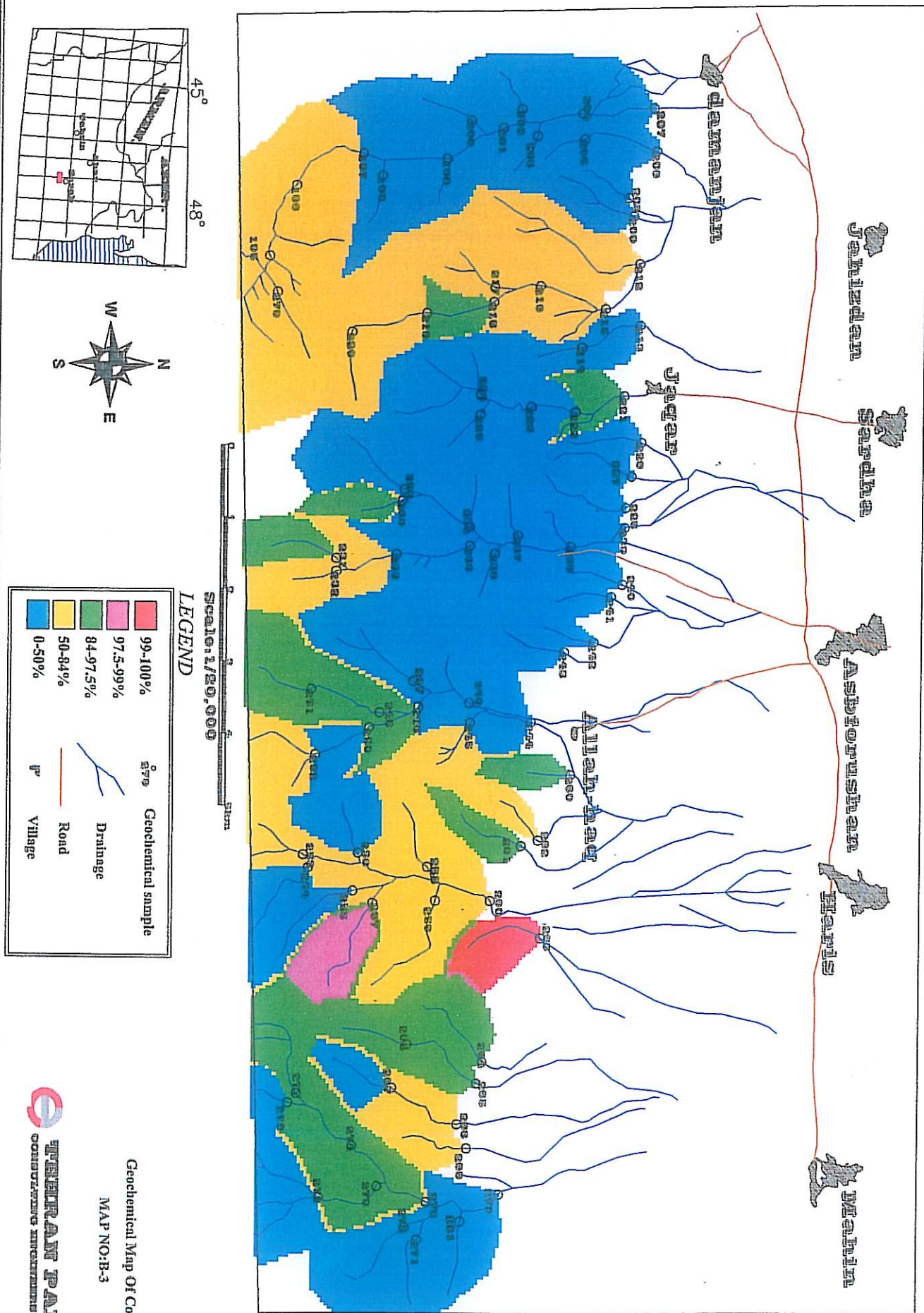


*Geochemical Map Of Co
MAP NO:A-3*

TEHRAN PADIR
CONSULTING ENGINEERS COMPANY



Sangal



اکتشاف ژئوشیمیائی عناصر کمیاب در محدوده شهرستان کلیبر و سراب

B-4-A-4 و B-4-C (CII)، نقشه‌های شماره ۴-۲-۴-۲-۴-کروم

این عنصر در این منطقه اهمیت اکتشافی بالایی ندارد. در منطقه کلیبر در بخش شمال غرب منطقه و ناهنجاری نشان می‌دهد. نمونه‌های دارای ناهنجاری شامل 101, 100, 99, 67, 59 و 180 می‌باشد. در منطقه سراب ناهنجاری‌های این عنصر در بخش جنوب غرب توده نفوذی مشاهده می‌شود. منشاء این ناهنجاری‌ها نمونه‌های 195 و 279 می‌باشد. عیار نمونه‌های دارای ناهنجاری این عنصر در مناطق کلیبر و سراب به شرح زیر می‌باشد:

نمکاره نسبت	100	59	180	67	101	99	102	68	179	61	169	167	57	181	76
ppm	1720	1700	1560	1460	1460	1180	900	860	800	790	760	700	670	640	600

B-6-A-6 و B-6-C (CII)، نقشه‌های شماره ۶-۲-۴-۳-۴-۳-مس

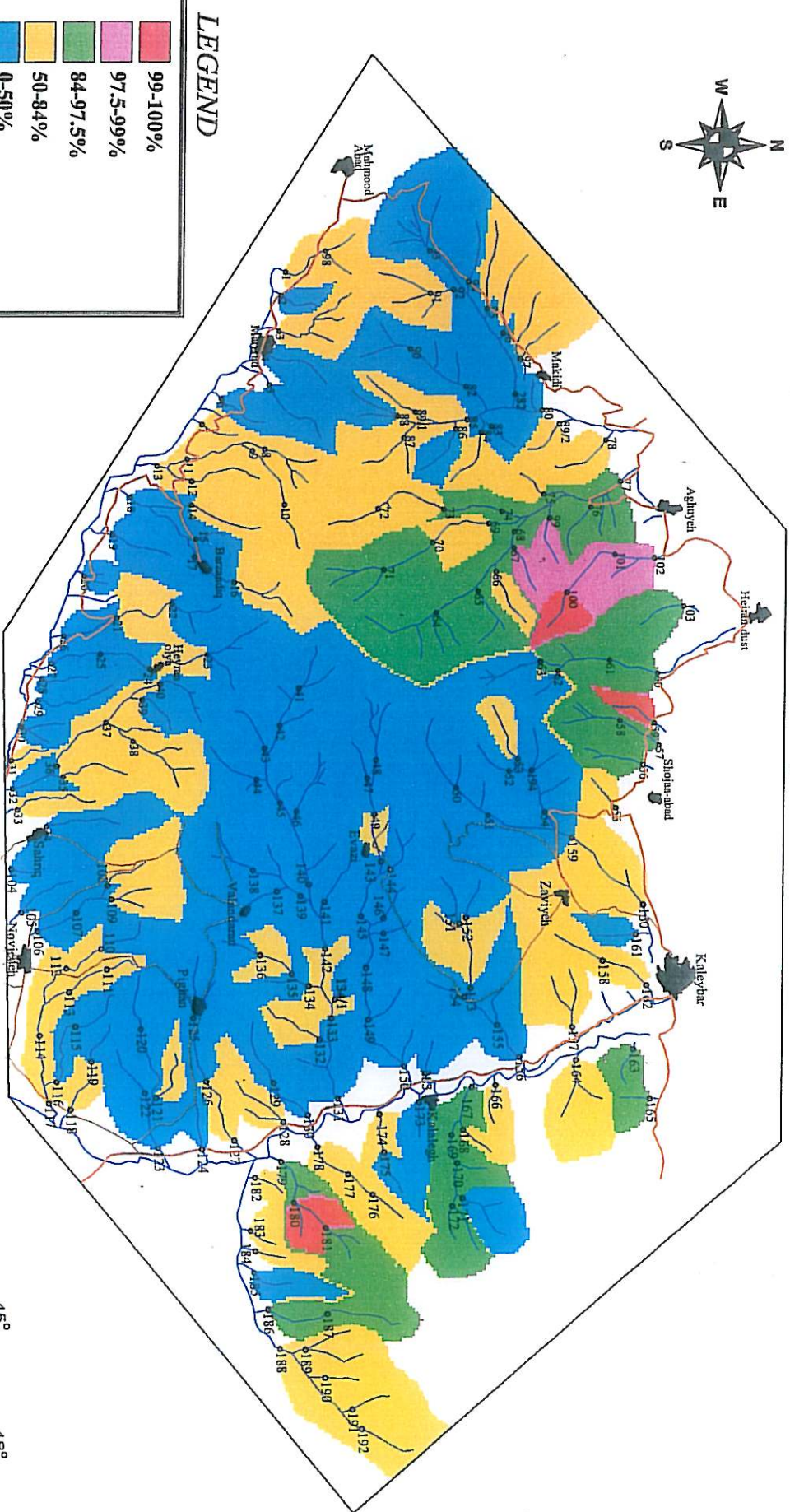
این عنصر بیشتر در بخش جنوب کلیبر ناهنجاری نشان می‌دهد. ناهنجاری‌های مهم این عنصر بیشتر در حوالی روستای اوزی دیده می‌شود. منشاء این ناهنجاری‌ها نمونه‌های 46, 38, 44, 45, 46 و 126 می‌باشد. در این منطقه واحد توده نفلین سینیت بزقوش در اثر نفوذ واحدهای آپلیتی و پگماتیتی بهشت آلتره شده است. آلتراسیون در این منطقه از نوع آرژیلیتی، هماتیتی و لیمونیتی می‌باشد.

در منطقه سراب ناهنجاری‌های این عنصر مستقل از توده نفوذی بوده و بیشتر در بخش شرق و غرب منطقه گسترش دارد. نمونه دارای ناهنجاری شامل نمونه‌های 200 و 270 می‌باشد. عیار نمونه‌های دارای ناهنجاری این عنصر در مناطق کلیبر و سراب به شرح زیر می‌باشد:

نمکاره نسبت	44	200	46	45	270	271	252	258	215	245	126	272			
ppm	325	256	243	217	193	190	188	181	180	178	177	176			
نمکاره نسبت	275	38	216	225	203	246	202	268	37	267	217				
ppm	174	171	170	170	170	168	166	164	164	162	162				

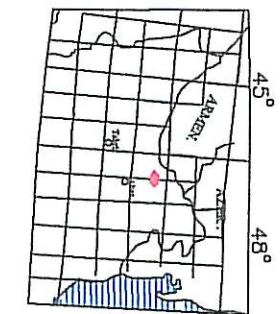


Kaleybar



Geological Map Of Cr

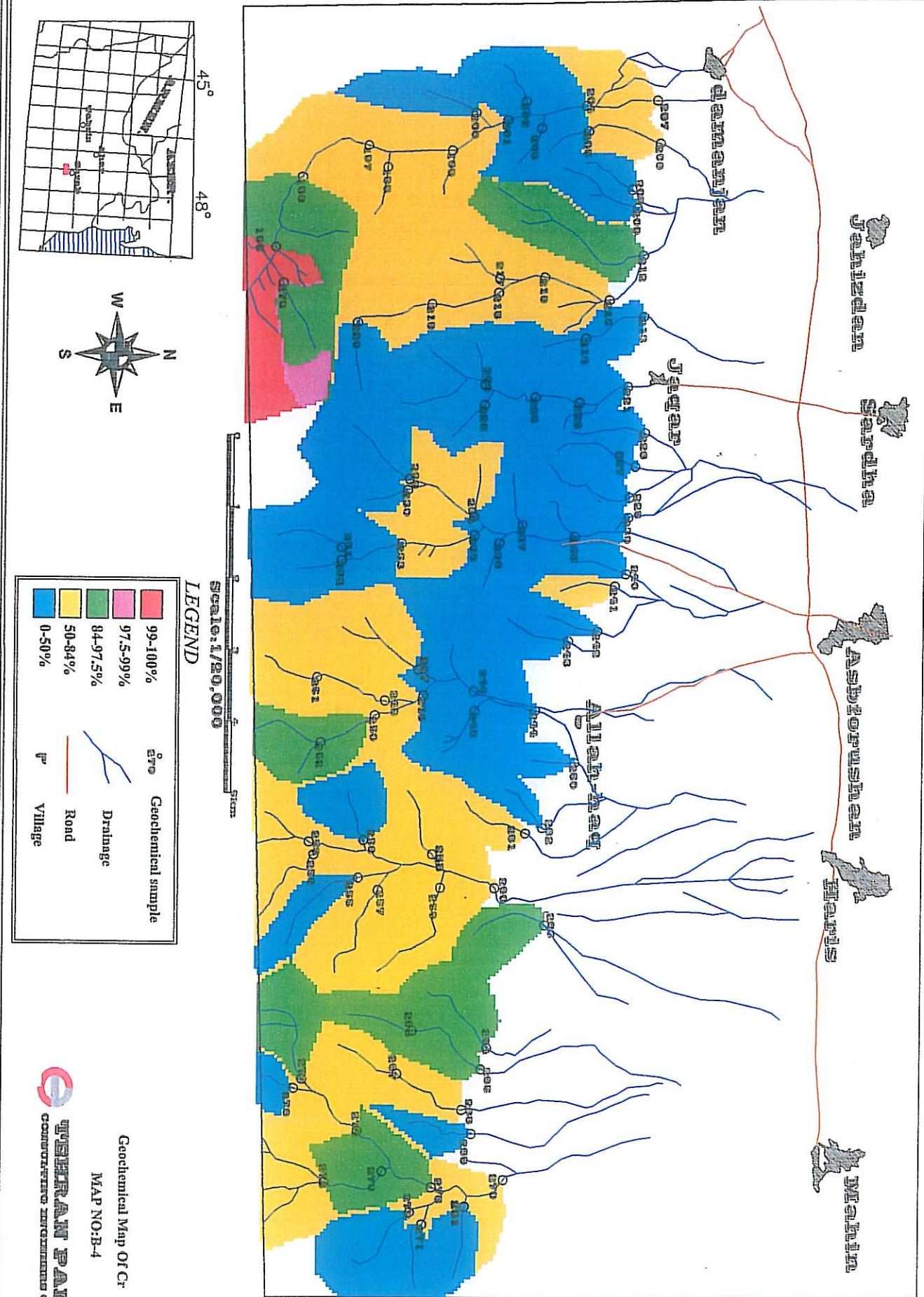
MAP NO.A-4



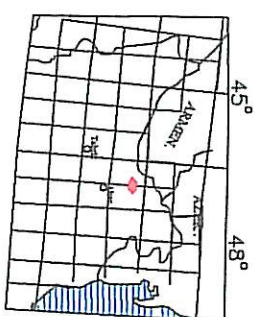
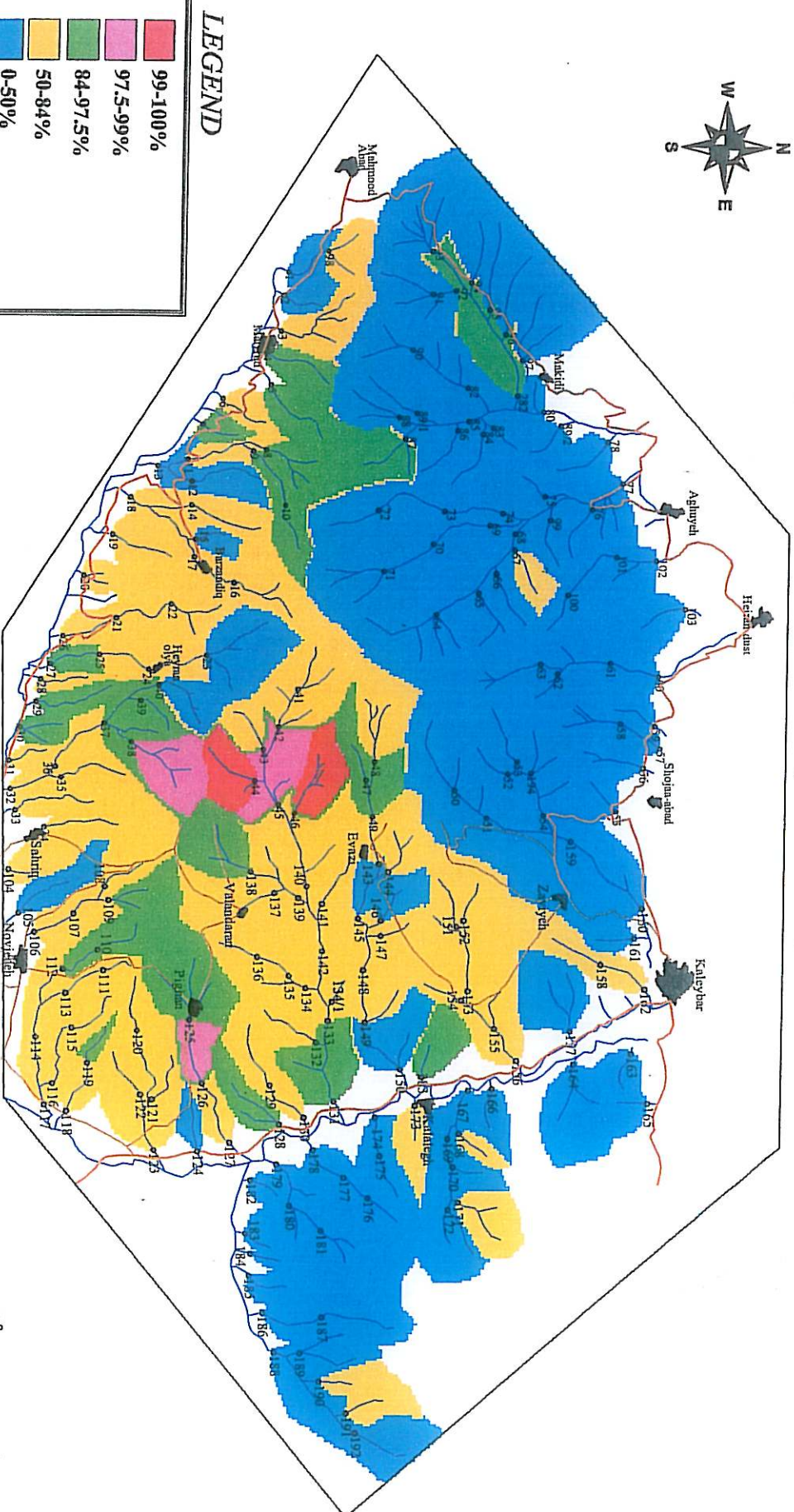
TEHRAN PADIR

CONSULTING ENGINEERS COMPANY

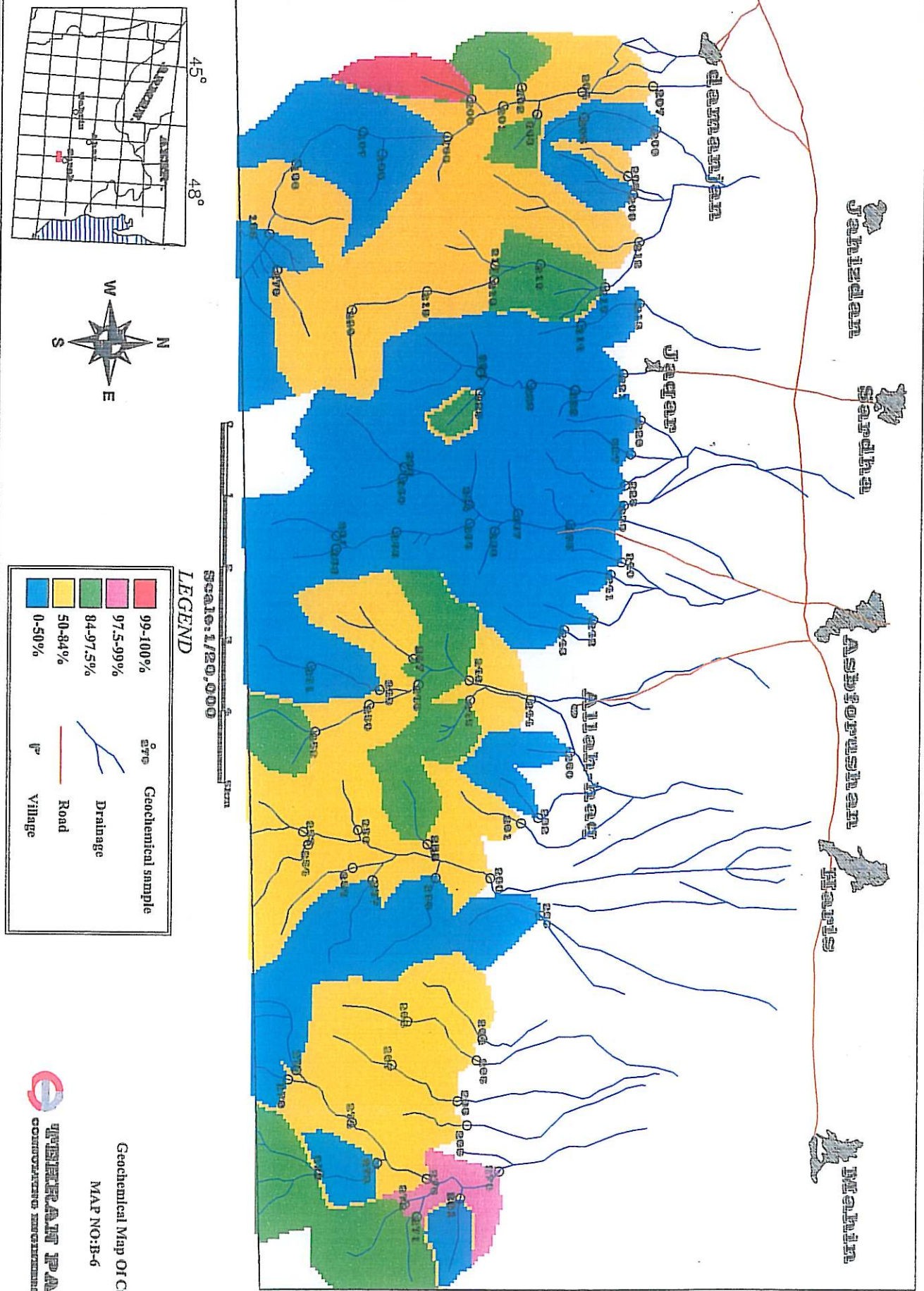
Santal



Kaleybar



Sarthal



TATA IRCON
CONSULTING ENGINEERING COMPANY

اکتشاف زئوژیمیائی عناصر کمیاب در محدوده شهرستان کلیبر و سراب

B-16 A-16 و -Molibden (Mo)، نقشه‌های شماره ۱۶-۲-۴

مولیبدن از عناصری است که در منطقه کلیبر دارای پراکنش شبیه عنصر مس می‌باشد. ناهنجاری‌های این عنصر بیشتر در جنوب غرب اوزی دیده می‌شود. نمونه‌های دارای این ناهنجاری‌ها شامل نمونه‌های ۴۴، ۴۵، ۴۶ و ۸۸ می‌باشد.

در منطقه سراب نیز عیناً مشابه عنصر مس ناهنجاری نشان می‌دهد. نمونه‌های دارای ناهنجاری‌های این عنصر شامل نمونه‌های ۲۰۰ و ۲۷۰ می‌باشد. عیار نمونه‌های دارای ناهنجاری این عنصر در مناطق کلیبر و سراب به شرح زیر می‌باشد:

نام نمونه	221	88	279	195	280	240	44	230	231	46	45
عیار ppm	15	11	7	7	6	6	6	6	6	6	5

B-10 A-10 و -Galiem (Ga)، نقشه‌های شماره ۱۰-۲-۴

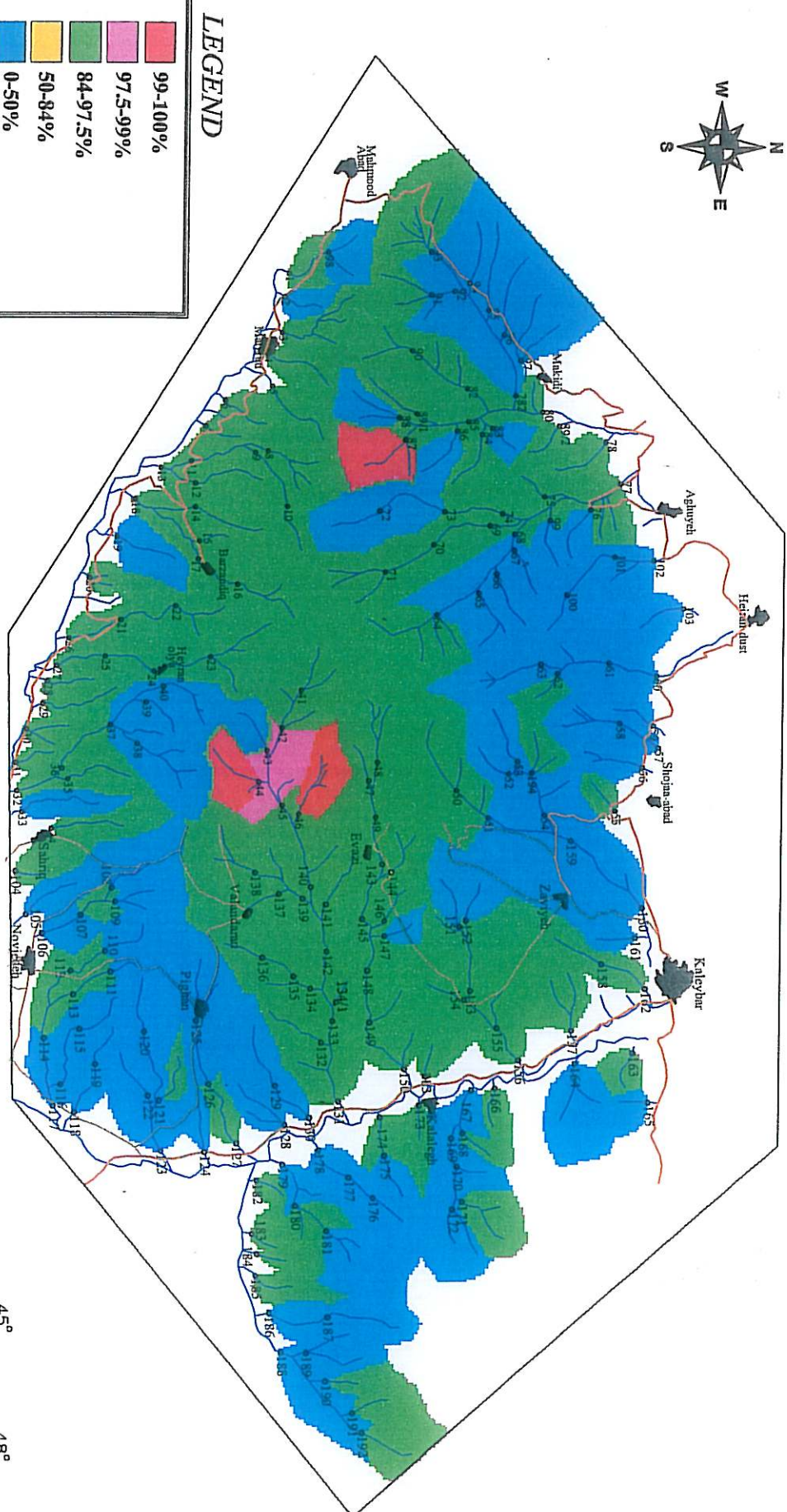
این عنصر همانند اکثر عناصر کمیاب در محدوده توده نفوذی نفلین سینیت ناهنجاری نشان می‌دهد دلیل این امر جانشین این عنصر به جای آلمینیم در واحدهای توده نفوذی است. واحدهای توده نفوذی نفلین سینیت دارای آلمینیم بالای بوده به طوری که از این واحد آلمینیا استخراج می‌شود. در منطقه کلیبر ناهنجاری‌های این عنصر در حوالی روستای اوزی و جنوب غرب شجاع آباد ناهنجاری نشان می‌دهد. منشاء این ناهنجاری‌ها نمونه‌های ۴۵، ۴۶، ۶۲، ۶۳، ۱۳۸ و ۱۳۶، ۶۶، ۱۳۵، ۱۳۶ می‌باشد.

در منطقه سراب نیز منشاء ناهنجاری‌های این عنصر نمونه‌های ۲۲۱، ۲۳۰، ۲۳۱ و ۲۵۳ می‌باشد. عیار نمونه‌های دارای ناهنجاری این عنصر در مناطق کلیبر و سراب به شرح زیر می‌باشد:

نام نمونه	63	135	221	230	66	25	136	62	44	231	46	138	45	9
عیار ppm	26	26	26	24	23	23	23	23	23	23	23	23	23	22
نام نمونه	253	57	61	64	171	173	134-A	20	220	252	218	232	241	
عیار ppm	23	22	22	22	22	22	22	22	22	22	22	22	22	22

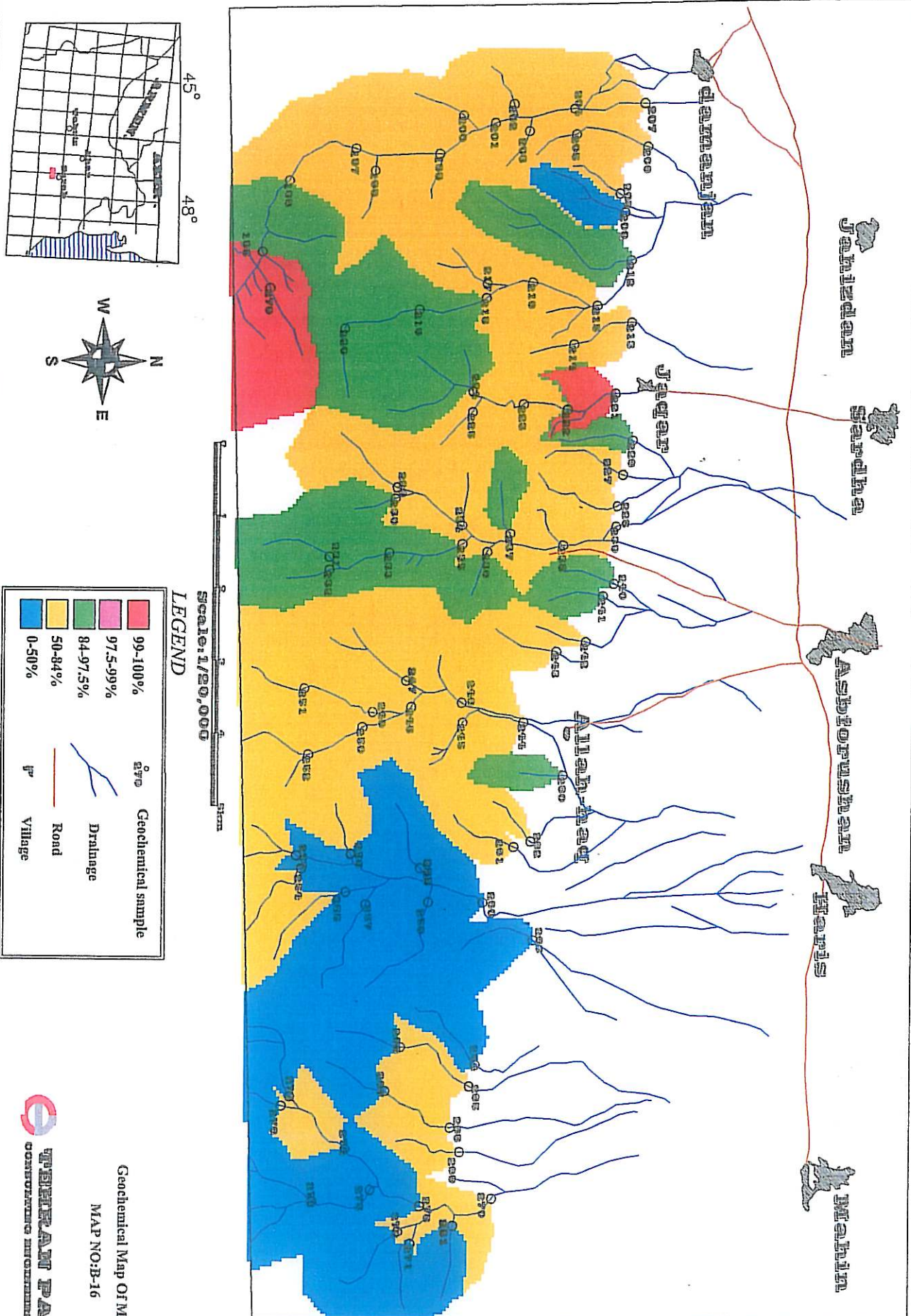


Kaleybar



TEHRAN PADIR
CONSULTING ENGINEERS COMPANY

Sarai



Kaleybar



LEGEND

99-100%	
97.5-99%	
84-97.5%	
50-84%	
0-50%	
Geochemical sample	○

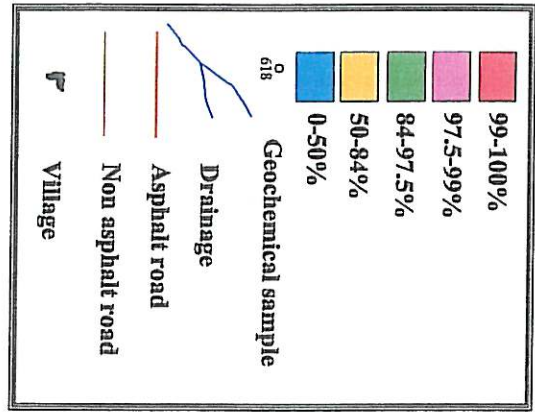
- Drainage
- Asphalt road
- Non asphalt road
- Village



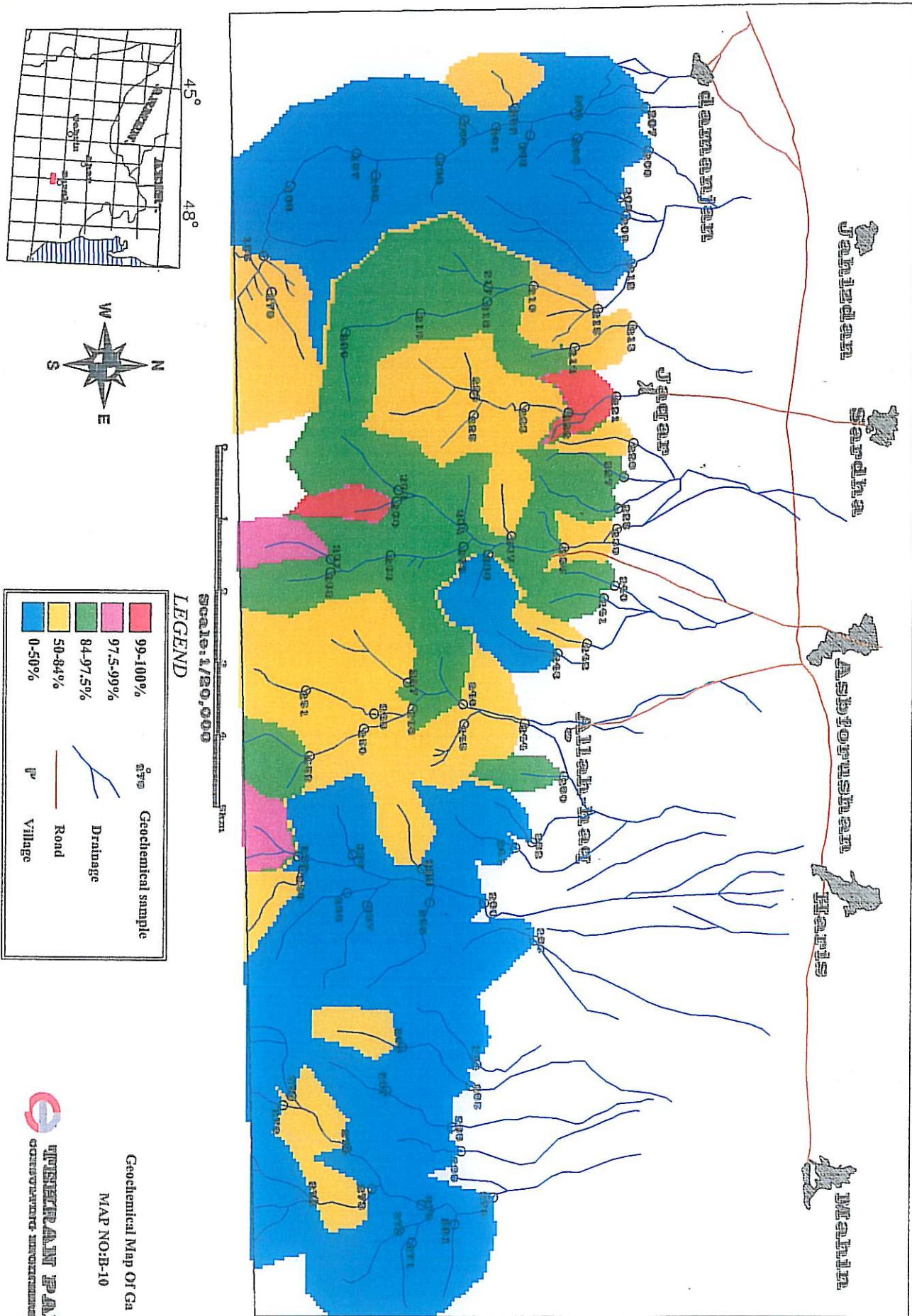
Scale: 1/20,000
0 2 4 6 8 Km

Geochanical Map Of Ga
MAP NO:A-10

TEHRAN PADIR
CONSULTING ENGINEERS COMPANY



SARITA



اکتشاف ژئوشیمیائی عناصر کمیاب در محدوده شهرستان کلیبر و سراب

B-19 A-19 و - نیکل (Ni)، نقشه شماره ۴-۲-۶

این عنصر در منطقه مورد مطالعه اهمیت اکتشافی چندانی ندارد. ناهنجاری‌های این عنصر در بخش شرق منطقه کلیبر دیده می‌شود. منشاء این ناهنجاری‌ها نمونه‌های زیر می‌باشد:

181 در منطقه سراب ناهنجاری‌های این عنصر در بخش شرق و جنوب شرق منطقه گسترش دارد. نمونه‌های ناهنجاری آن شامل نمونه‌های زیر می‌باشد: 277، 252 و 278 عیار نمونه‌های دارای ناهنجاری این عنصر در مناطق کلیبر و سراب به شرح زیر می‌باشد:

نام نمونه	51	23	221	194	57	63	64	240	226	236
DPM	16	11	13	19	46	18	66	21	17	21
نام نمونه	224	61	.280	62	222	239	235	237	66	228
DPM	13	52	19	40	11	20	26	31	25	17

B-20 A-20 و - سرب (Pb)، نقشه‌های شماره ۴-۲-۷

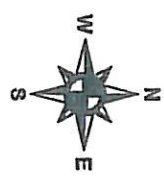
سرب از جمله عناصری است که در منطقه بیشتر در حاشیه جنوبی توده نفوذی به خصوص در مجاورت واحدهای آهکی ناهنجاری نشان می‌دهد. نمونه‌های دارای ناهنجاری این عنصر شامل نمونه‌های 29، 9، 10، 23، 2، 194 و می‌باشد.

در منطقه سراب نیز در حاشیه توده نفوذی ناهنجاری نشان می‌دهد. نمونه‌های 239، 212 و 258 منطقه سراب ناهنجاری نشان می‌دهد. عیار نمونه‌های دارای ناهنجاری این عنصر در مناطق کلیبر و سراب به شرح زیر می‌باشد:

نام نمونه	2	9	10	258	29	194	23
DPM	152	126	117	58	56	52	49



Kaleybar



LEGEND

	99-100%
	97.5-99%
	84-97.5%
	50-84%
	0-50%
	Geochemical sample

Drainage

Asphalt road

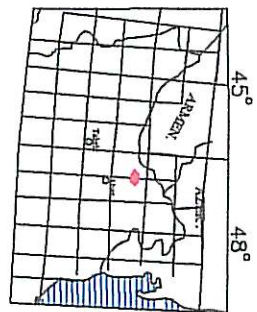
Non asphalt road

Village

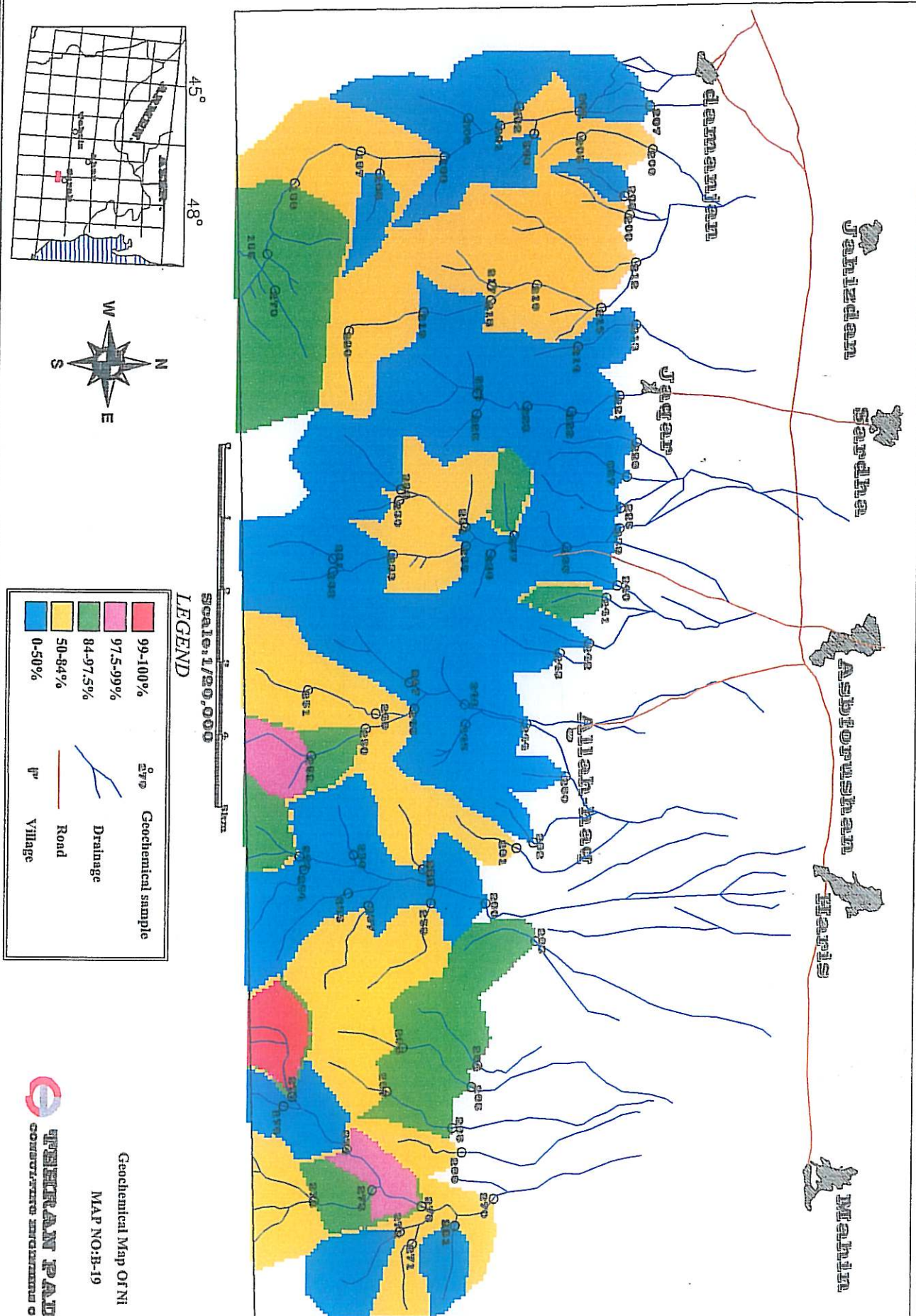
Scale: 1/20,000
0 2 4 6 8 Km

Geochemical Map Of Ni
MAP NO:A-19

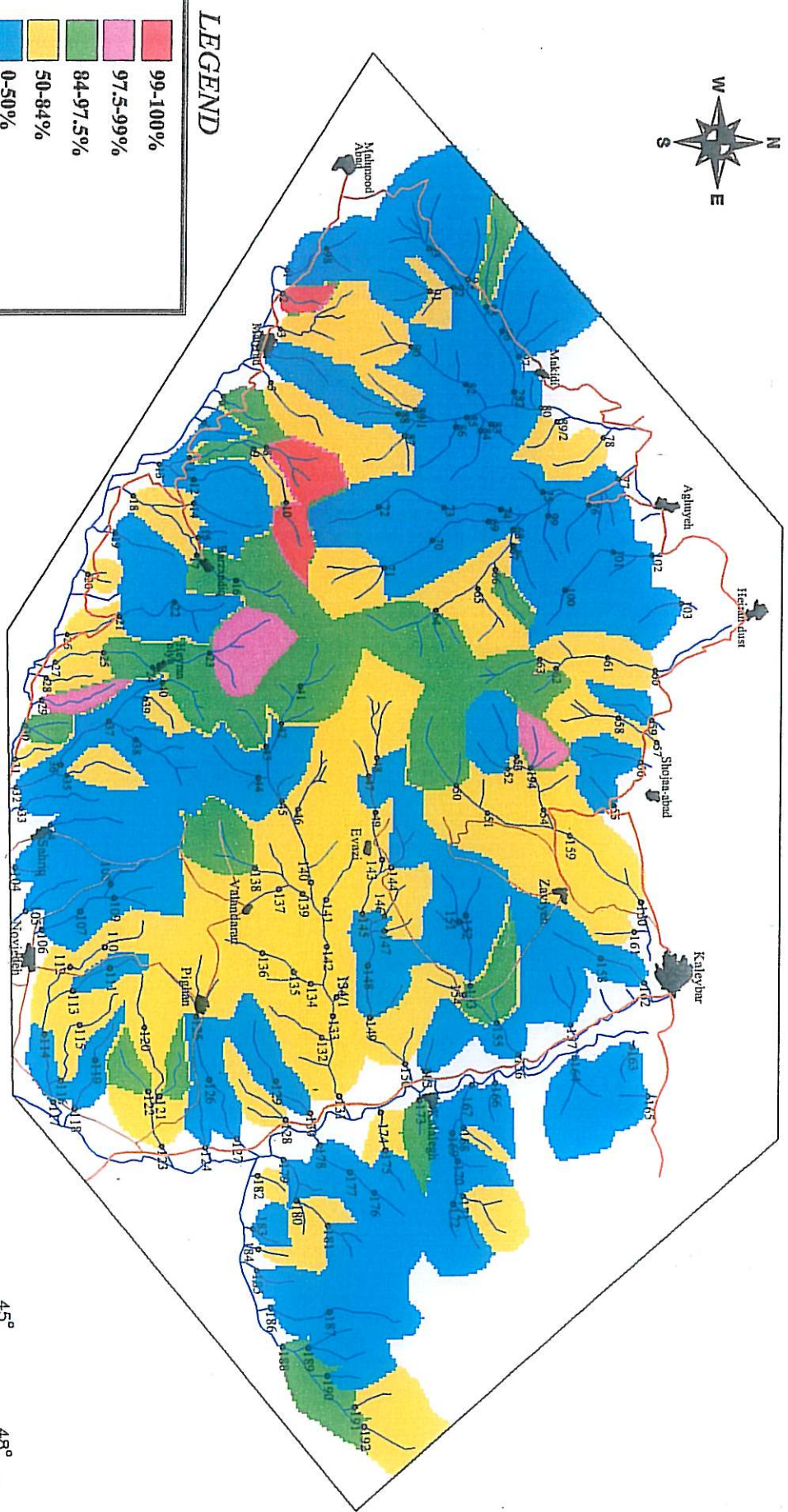
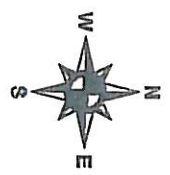
TEHRAN PADIR
CONSULTING ENGINEERS COMPANY



Sarai



Kaleybar



TEHRAN PADIR
CONSULTING ENGINEERS COMPANY



Geochemical Map Of Pb
MAP NO:A-20

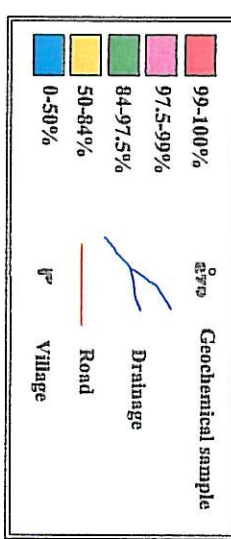
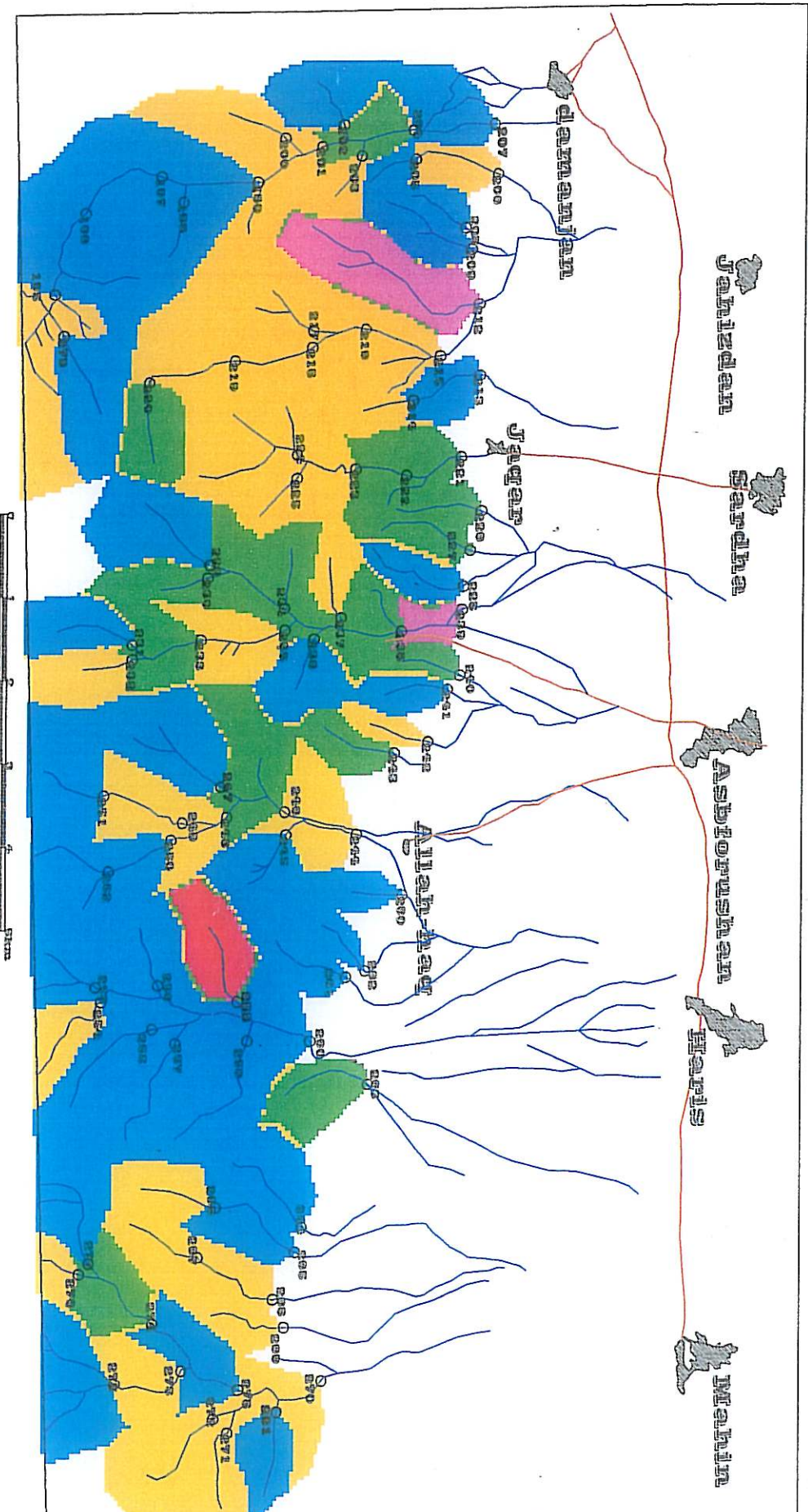
સેપાંગ

Jaluzdaan

Sardha

Asbiforushan
Hampi

Mahalpur



GEOSCIENTIFIC
ENGINEERING COMPANY

MAP NO:B-20
Geological Map Of Pb

Geological Map Of Pb

MAP NO:B-20

اکتشاف ژئوشیمیائی عناصر کمیاب در محدوده شهرستان کلیبر و سراب

B-24 A-24 - قلع (Sn)، نقشه‌های شماره ۲۴-۲-۴

این عنصر ندر بخش غرب و شمالی توده نفوذی کلیبر ناهنجاری نشان می‌دهد. نمونه‌های شماره ۸۷، ۶۲، ۱۷، ۴ و ۱۹۴ در محدوده کلیبر دارای ناهنجاری هستند. در منطقه سراب نیز ناهنجاری‌های این عنصر در بخش شمالی توده نفوذی بزقوش ناهنجاری نشان می‌دهد. نمونه‌های ۲۴۰، ۲۳۱، ۲۳۰، ۲۲۱، ۲۳۰، ۲۰۶، ۲۰۵، ۲۲۱، ۲۰۵، ۲۰۶ و ۲۸۰ به عنوان مهمترین نمونه‌های دارای ناهنجاری قلع مطرح است. عبار نمونه‌های دارای ناهنجاری این عنصر در مناطق کلیبر و سراب به شرح زیر می‌باشد:

نمونه شماره	۴	۲۲۱	۲۰۵	۲۰۶	۸۷	۱۹۴	۲۴۰	۲۸۰	۶۲	۲۳۱	۲۳۰	۱۷
ppm عبار	9	8	5	5	5	4	4	4	4	4	4	4

B-28 A-28 - توریم (Th)، نقشه‌های شماره ۲۸-۲-۴

این عنصر با دارا بودن شعاع اتمی بالا جایگزین عناصر قلایائی می‌شود. به این دلیل پراکنش این عنصر شبیه عناصر کمیاب بوده و اغلب در محدوده توده نفلین سینیت چه در منطقه کلیبر و چه در منطقه سراب ناهنجاری نشان می‌دهد. نمونه‌های دارای ناهنجاری توریم شامل ۴۶، ۴۵، ۴۴ و ۱۳۸ می‌باشد. این ناهنجاری‌ها در حوالی روستای اوزی دیده می‌شود. در منطقه سراب نمونه‌های دارای ناهنجاری توریم شامل نمونه‌های ۲۲۹، ۲۲۱، ۲۰۲ و ۲۴۱ می‌باشد. عبار نمونه‌های دارای ناهنجاری این عنصر در مناطق کلیبر و سراب به شرح زیر می‌باشد:

نمونه شماره	۱۳۸	۴۴	۴۶	۴۵	۶۳	۱۳۵	۵۱	۶۲	۲۳	۶۴	۶۱
ppm عبار	27	22	22	22	21	21	20	20	18	18	18



Kaleybar



LEGEND

	99-100%
	97.5-99%
	84-97.5%
	50-84%
	0-50%
	Geochemical sample

- Drainage
- Asphalt road
- Non asphalt road
- Village

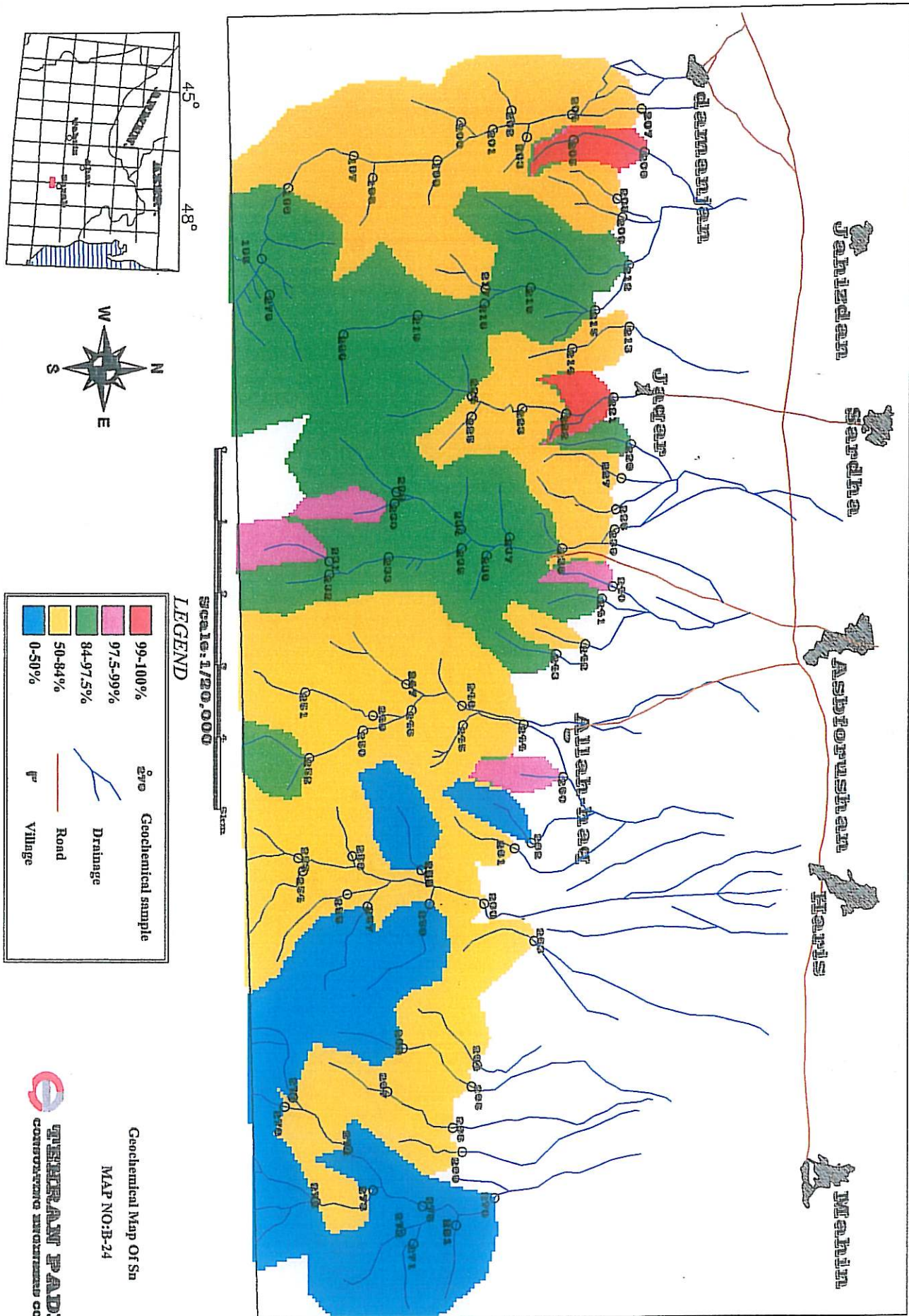
Scale: 1/20,000
0 2 4 6 8 Km

Geochanical Map Of Sn
MAP NO:A-24

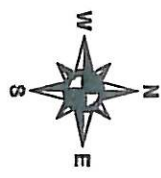


TEHRAN PADIR
CONSULTING ENGINEERS COMPANY

Sangai



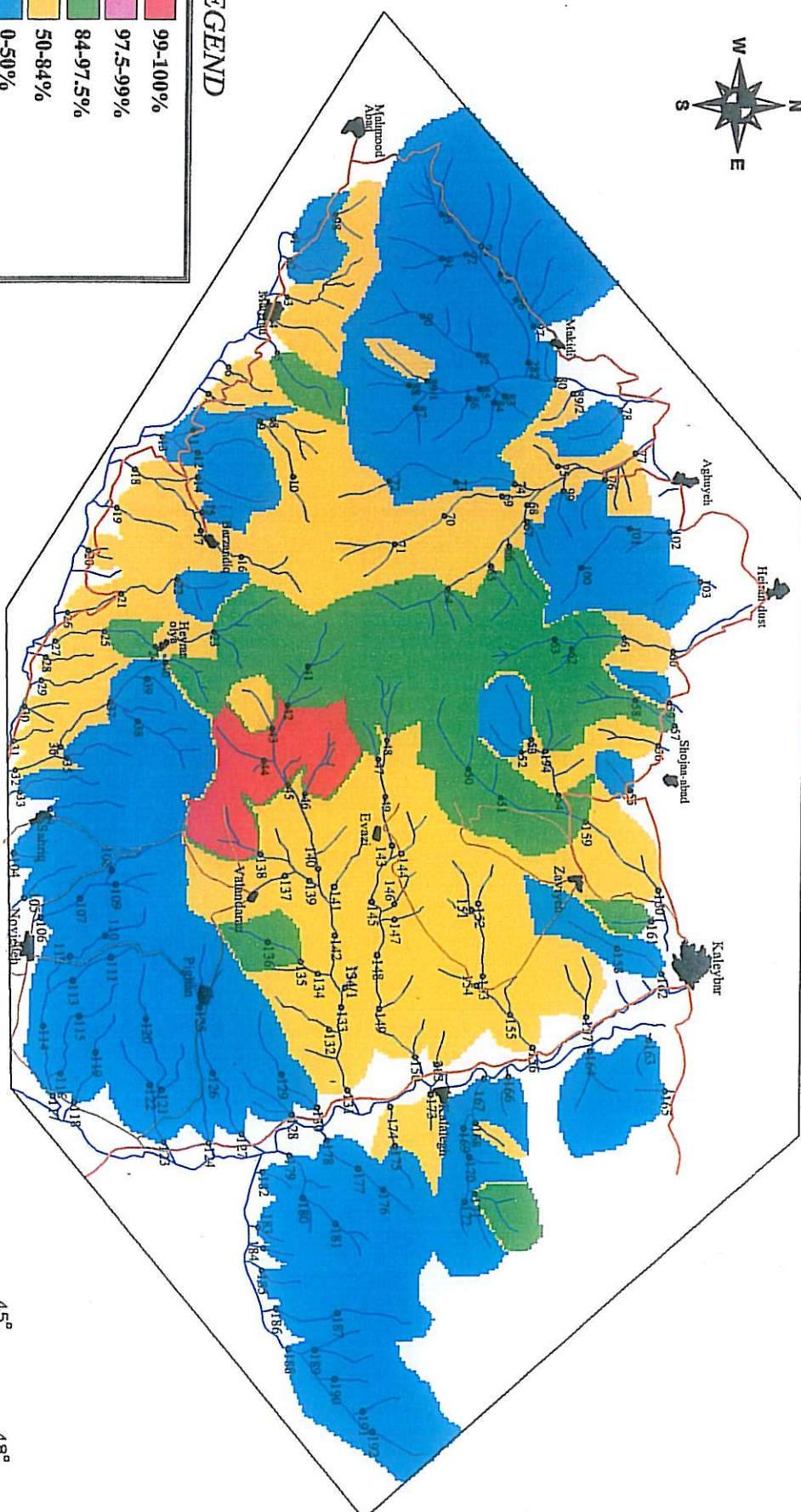
Kaleybar



LEGEND

99-100%	
97.5-99%	
84-97.5%	
50-84%	
0-50%	
Geochemical sample	○

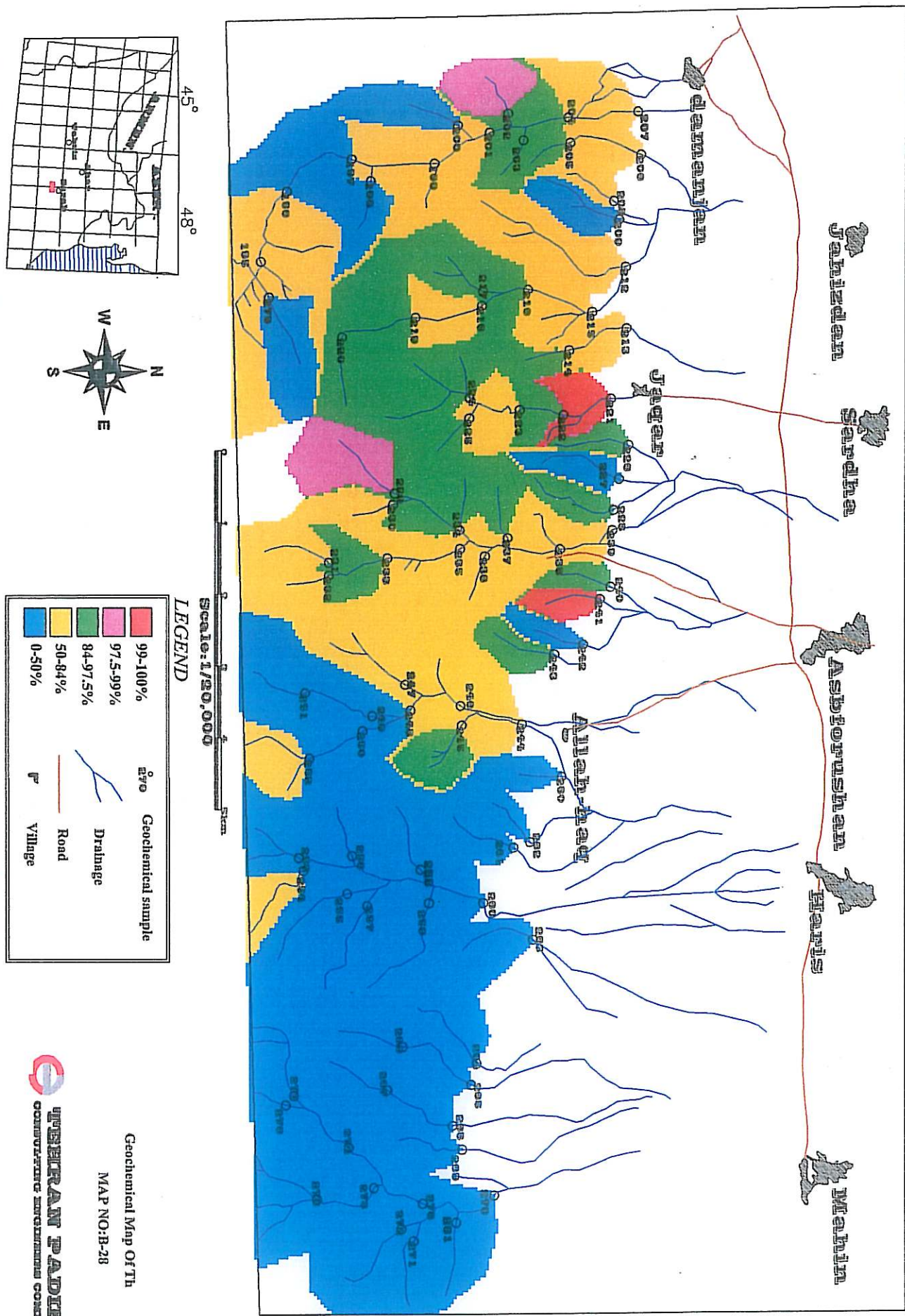
Scale: 1/20,000
0 2 4 6 Km



TEHRAN PADIR
CONSULTING ENGINEERS COMPANY

Geochanical Map Of Th
MAP NO:A-28

શાહી



Ushaikiran Pader
consumers minerales company

اکتشاف ژئوشیمیائی عناصر کمیاب در محدوده شهرستان کلیبر و سراب

B-30 A-30 و اورانیم (U)، نقشه‌های شماره ۱۰-۴-۲-۴

این عنصر همانند عنصر توریم دارای شعاع اتمی بالا بوده و جایگزین عناصر قلایی در فلدسپات و فلدسپاتوئیدها می‌شود. به این دلیل مقدار این عنصر واحدهای نفلین سینیت بالا بوده و در واحدهای دیگر در حد زمینه می‌باشد. در منطقه کلیبر ناهنجاری‌های این عنصر حوالی روستای ولدران و برزندین دیده می‌شود. نمونه‌های دارای ناهنجاری عنصر اورانیم شامل نمونه‌های 136, 135, 136, 63, 23 و 138 می‌باشد.

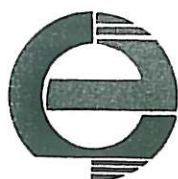
در منطقه سراب ناهنجاری این عنصر در محدوده توده نفلین سینیت برقوش و جنوب روستای جقر دیده می‌شود. نمونه‌های 237, 221 و 234 منشاء این ناهنجاری‌ها می‌باشند. عیار نمونه‌های دارای ناهنجاری این عنصر در مناطق کلیبر و سراب به شرح زیر می‌باشد:

نام نمونه	135	221	63	136	138	23	161	194	57	171	237	279	62	234	61
ppm	8.8	8.5	6.9	6.8	6.4	6.3	6	5.9	5.6	5.6	5.6	5.5	5.4	5.4	5.3

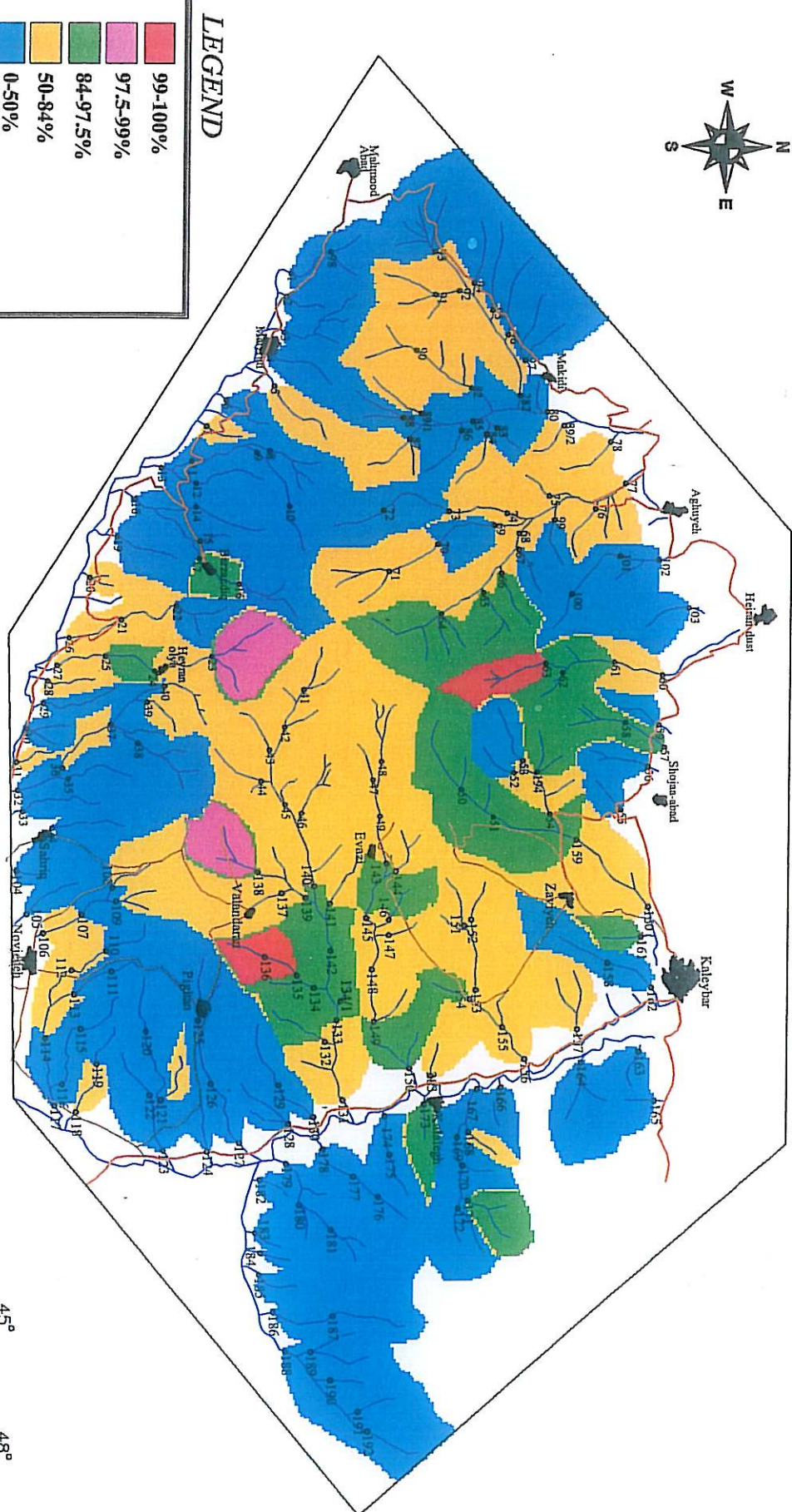
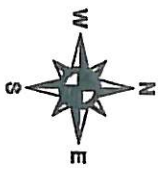
B-31 A-31 و اونادیم (V)، نقشه‌های شماره ۱۱-۴-۲-۴

این عنصر در منطقه کلیبر بیشتر در جنوب شرق توده نفلین سینیت و حوالی روستای پیغان ناهنجاری نشان می‌دهد. نمونه‌های 133, 135, 36, 122, 125, 127, 127, 136 و 135 منشاء این ناهنجاری می‌باشد. در منطقه سراب ناهنجاری‌های این عنصر در حوالی روستای الله حق، روستای جقر و بخش جنوب توده نفلین سینیت بزقوش ناهنجاری نشان می‌دهد. نمونه‌های 221, 230, 231, 230 و 280 منشاء این ناهنجاری‌ها می‌باشد. عیار نمونه‌های دارای ناهنجاری این عنصر در مناطق کلیبر و سراب به شرح زیر می‌باشد:

نام نمونه	135	221	122	127	136	133	120	231	230
ppm	1065	968	703	677	673	662	626	619	598
نام نمونه	125	36	280	106	108	129	134-A	220	
ppm	582	570	532	514	500	498	490	469	



Kaleybar



Scale: 1/20,000
0 2 4 6 8 Km

Geochemical Map Of U

MAP NO. A-30

Village

Drainage

Asphalt road

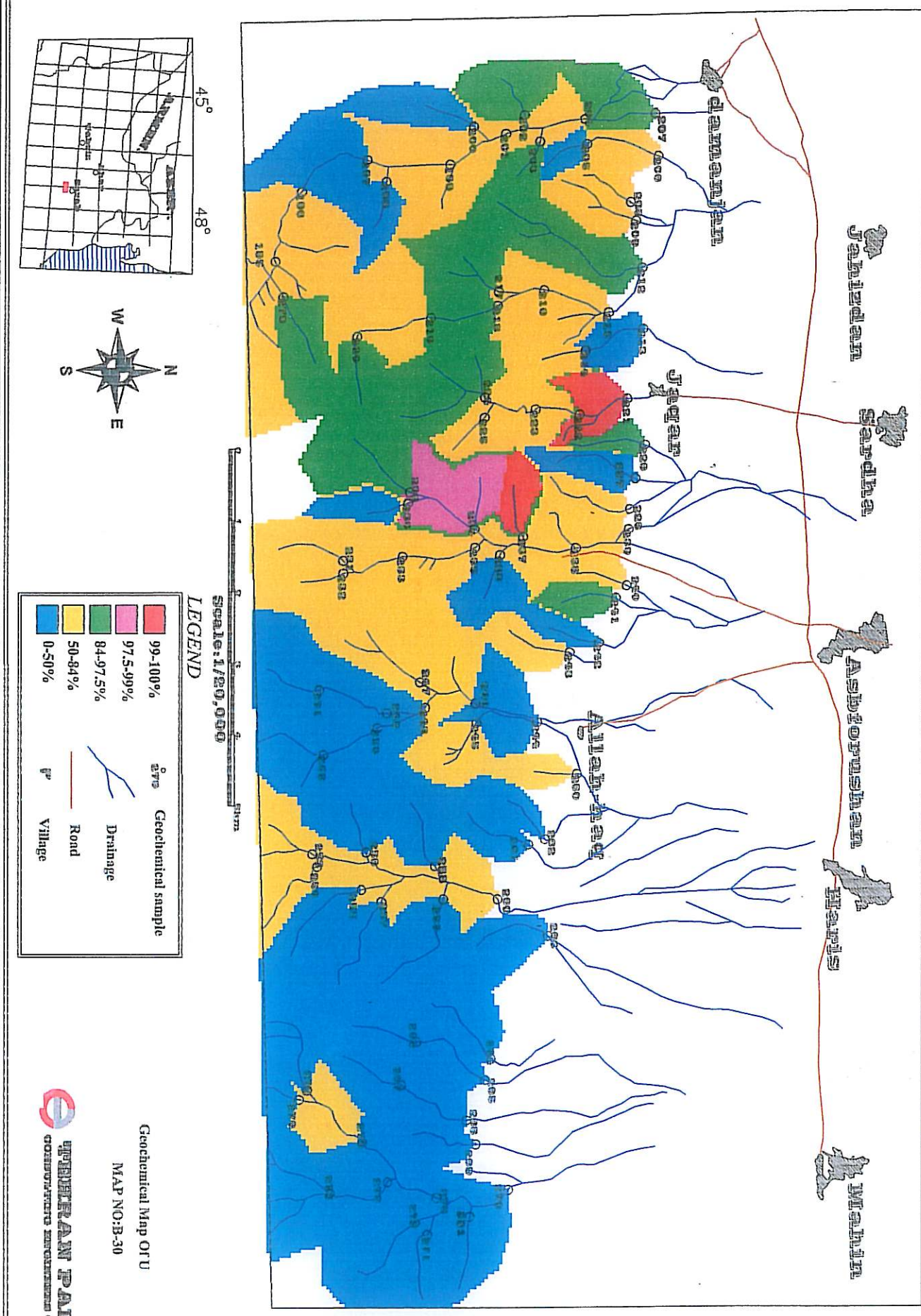
Non asphalt road



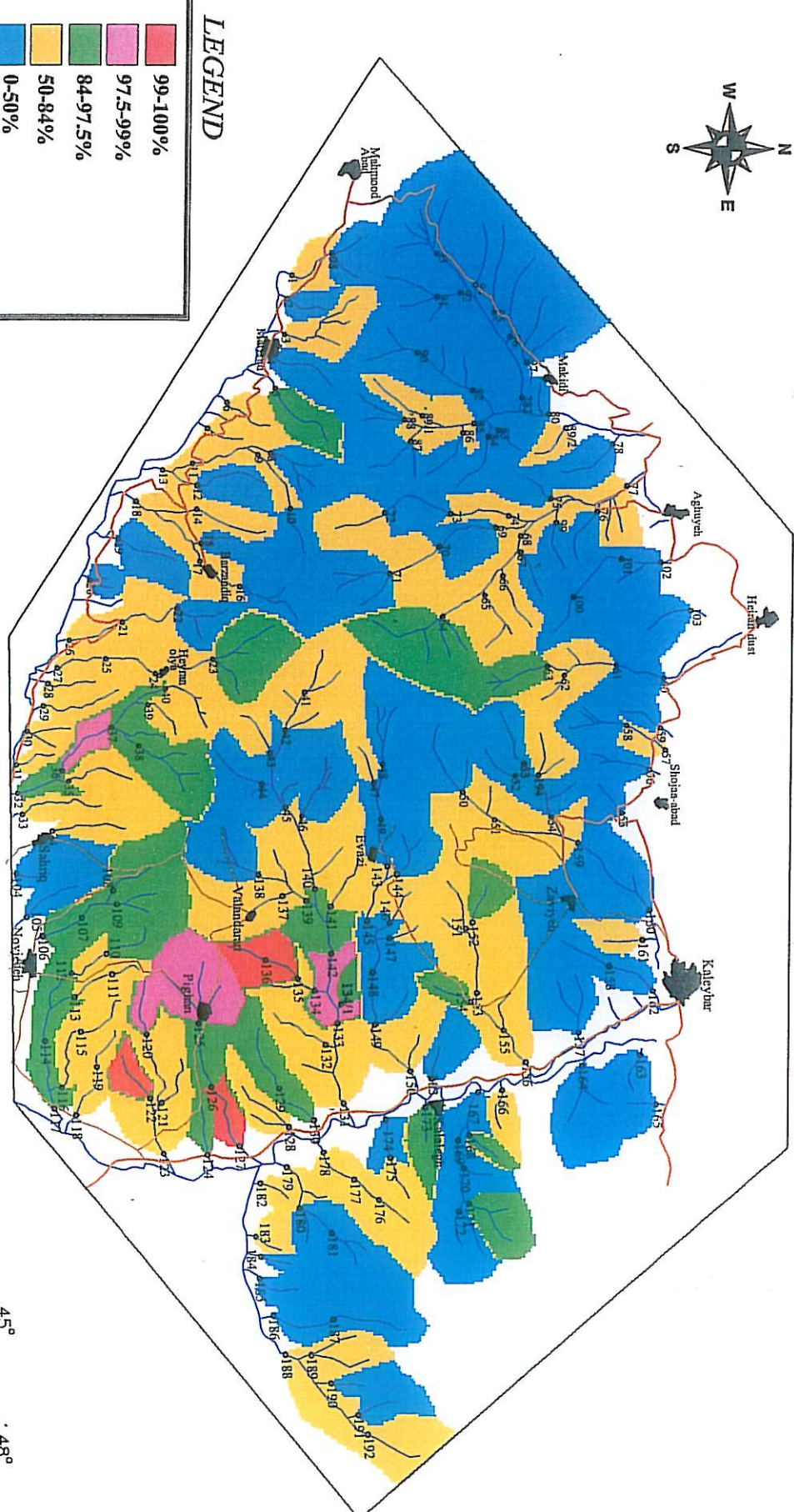
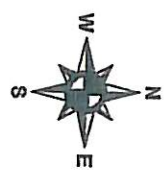
TEHRAN PADIR
CONSULTING ENGINEERS COMPANY



Geology



Kaleybar



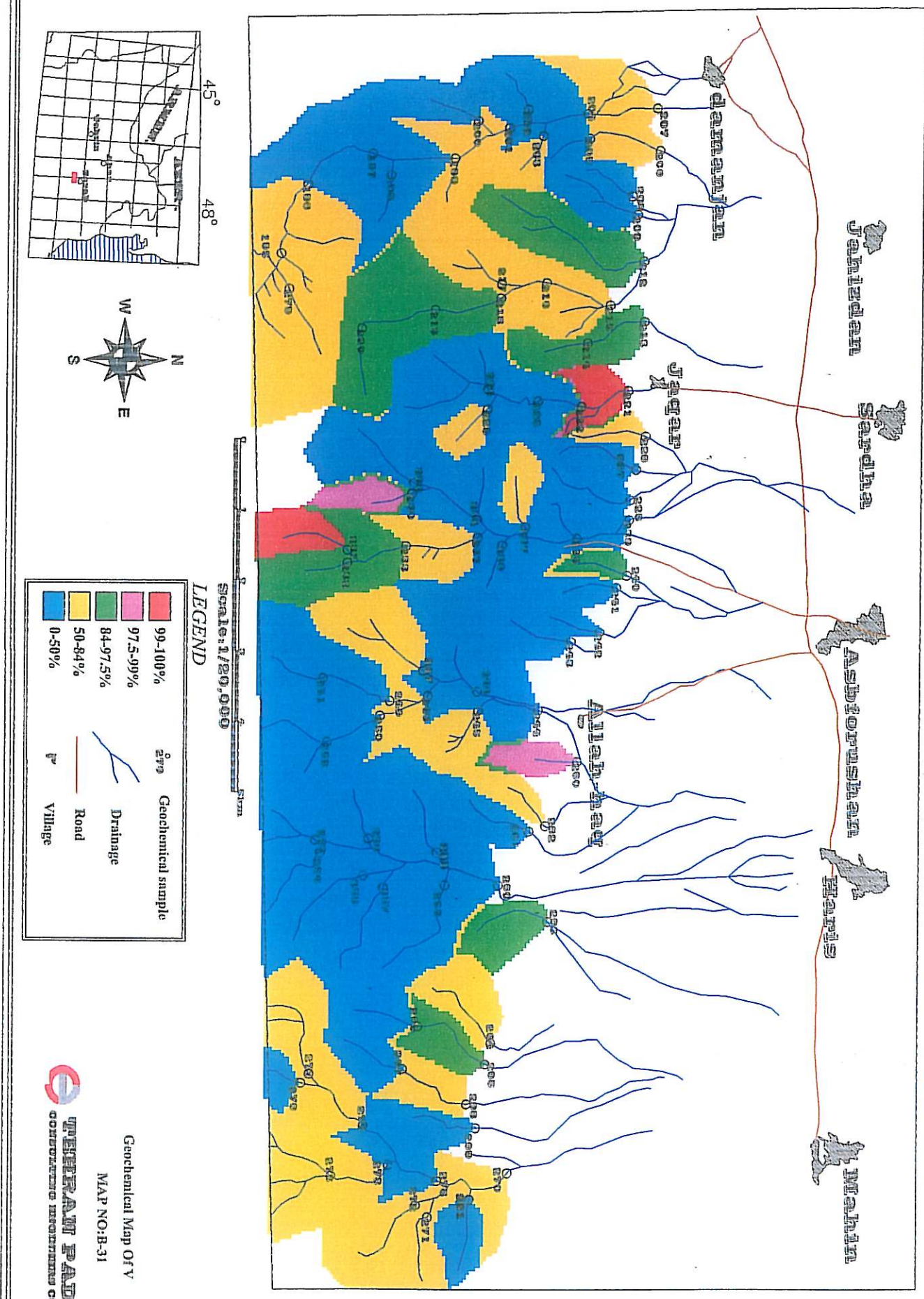
Scale: 1/20,000
0 2 4 6 Km



Geochanical Map Of V
MAP NO:A-31

TEHRAN PADIR
CONSULTING ENGINEERS COMPANY

सारणी



اکتشاف ژئو شیمیائی عناصر کمیاب در محدوده شهرستان کلیبر و سراب

۱۲-۴-۲-۴- تنگستن (W)، نقشه های شماره B-32 و A-32

این عنصر در منطقه کلیبر در محدوده توده نفوذی نفلین سینیت دارای عیار بالاتری می باشد. ناهنجاری های این عنصر در دو منطقه دیده می شود.

۱- حوالی روستای اوزی : در این منطقه آنومالی گسترده ای از نوع درجه یک دیده می شود. این آنومالی منطبق بر آلتراسیونهای حوالی روستای اوزی می باشد منشاء این ناهنجاری نمونه های 45, 44 و 46 می باشد.

۲- شمال روستای نوجده : در این منطقه آنومالی گسترده از نوع درجه دو دیده می شود. منشاء این آنومالی نمونه های شماره 113 و 114 دیده می شود. در منطقه سراب ناهنجاری این عنصر به طور پراکنده دیده می شود. منشاء این ناهنجاری ها نمونه های 204, 207, 241, 270, 204, 207 و 275 می باشد. عیار نمونه های دارای ناهنجاری این عنصر در مناطق کلیبر و سراب به شرح زیر می باشد :

نام نمونه	44	46	45	241	113	114	275	161	270	207	204	191	88
DPM عیار	23	17	16	13	12	10	10	9	9	9	9	9	9

۱۳-۴-۲-۴- ایتریم (Y)، نقشه های شماره B-33 و A-33

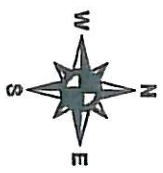
این عنصر در منطقه کلیبر مانند هر عنصر کمیاب دیگر در محدوده توده نفلین سینیت دارای عیار بالاتری می باشد ناهنجاری های این عنصر در باخشن شمالی و مرکزی توده نفوذی دیده می شوند. نمونه های دارای ناهنجاری این عنصر شامل نمونه های 57, 57 و 64 می باشد.

در منطقه سراب نیز ناهنجاری های این عنصر محدود به توده نفلین سینیت بزقوش می باشد. ناهنجاری های این عنصر حوالی و بخش شرق و جنوب روستای بقر دیده می شود. نمونه های دارای ناهنجاری شامل 221, 226, 236 و 240 می باشد. عیار نمونه های دارای ناهنجاری این عنصر در مناطق کلیبر و سراب به شرح زیر می باشد :

نام نمونه	221	23	57	64	51	63	240	194	236	226	280	:
DPM عیار	70.3	67.3	63.3	60.3	59	58.6	58.3	55.1	55	52.3	51.8	
نام نمونه	224	235	61	239	237	234	222	66	228	220		
DPM عیار	51.5	49.1	49	48.5	47.8	47.8	47	46.7	46	45.9		



Kaleybar



LEGEND

■ 99-100%
■ 97.5-99%
■ 84.97.5%
■ 50-84%
■ 0-50%

$\frac{1}{618}$

Geochemical sample

Drainage

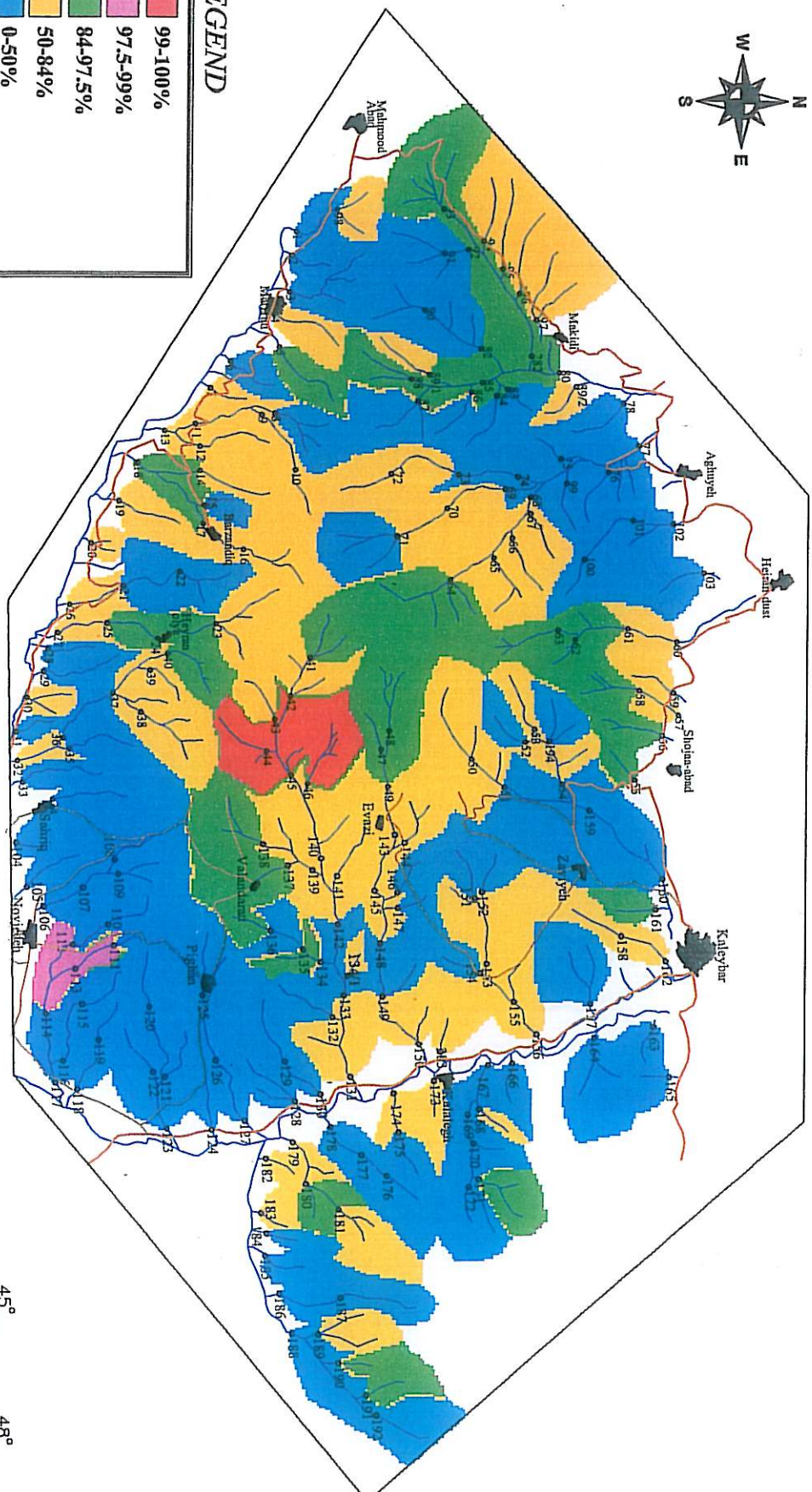
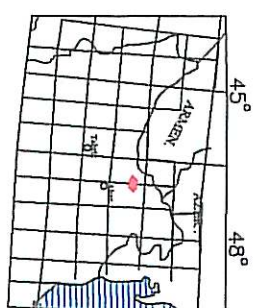
Asphalt road

Non asphalt road

Village

Scale: 1/20,000
0 2 4 6 8 Km

Geological Map Of W
MAP NO. A-32



TEHRAN PADIR
CONSULTING ENGINEERS COMPANY

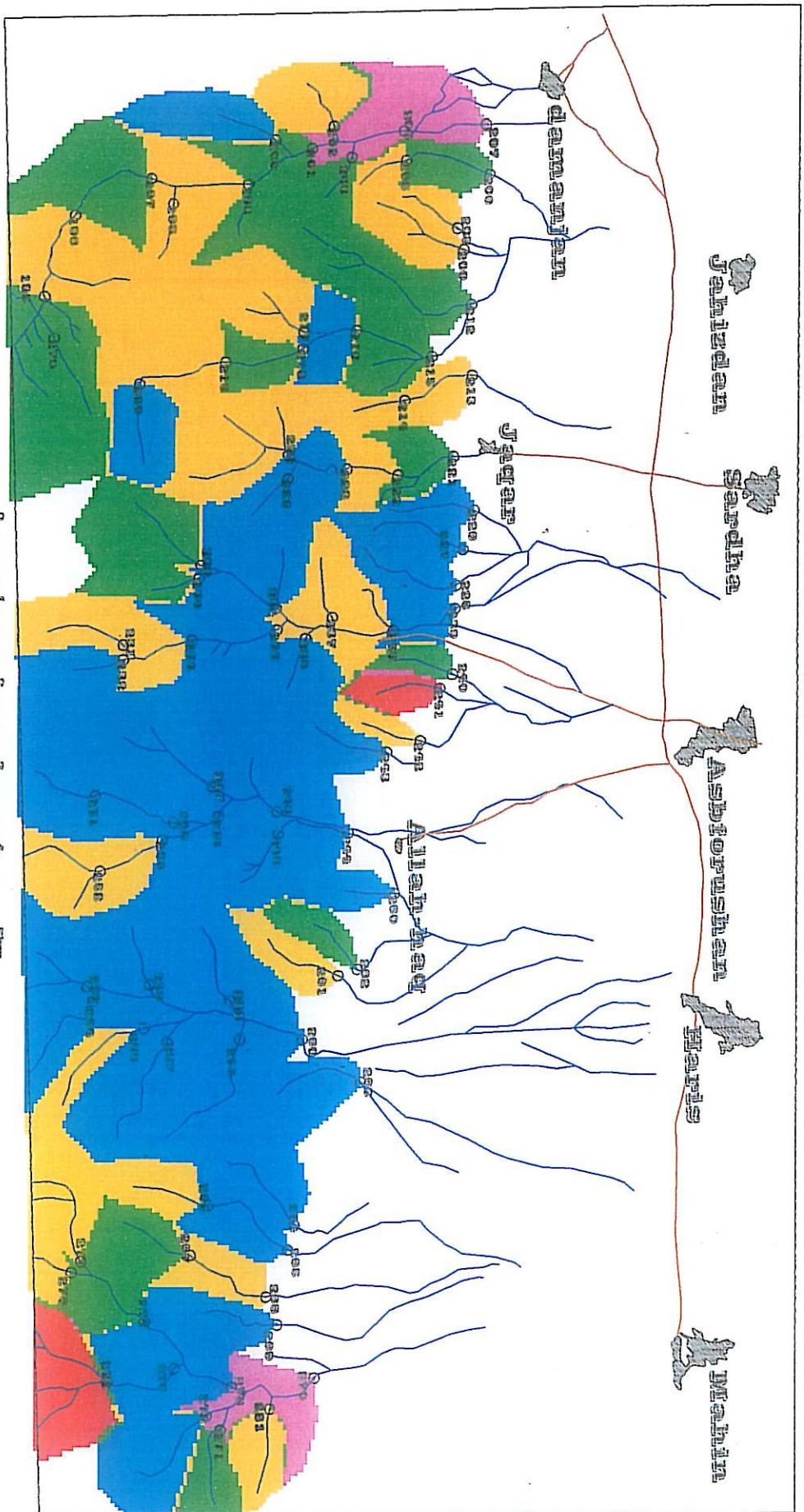
SARITA

Jahizdan

Sardha

Ashfordwala
Taluka

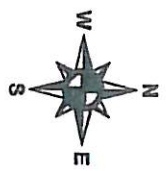
Mahim



Geological Map Of W
MAP NO-B-32

TATA SORAYA IRON & STEEL COMPANY

Kaleybar



LEGEND

- 99-100%
- 97.5-99%
- 84-97.5%
- 50-84%
- 0-50%

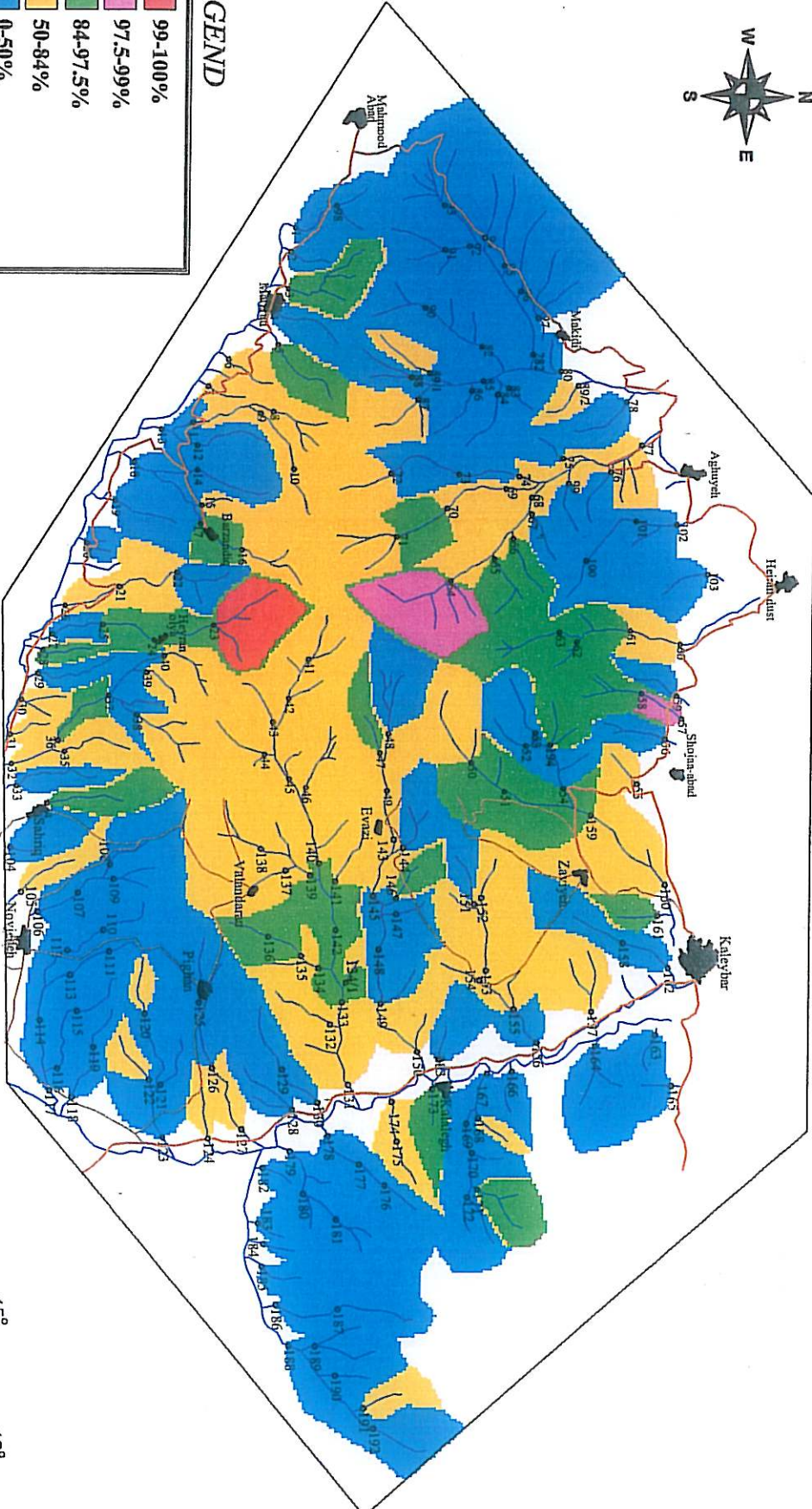
Geochemical sample

Drainage

Asphalt road

Village

Scale: 1/20,000
0 2 4 6 8 Km

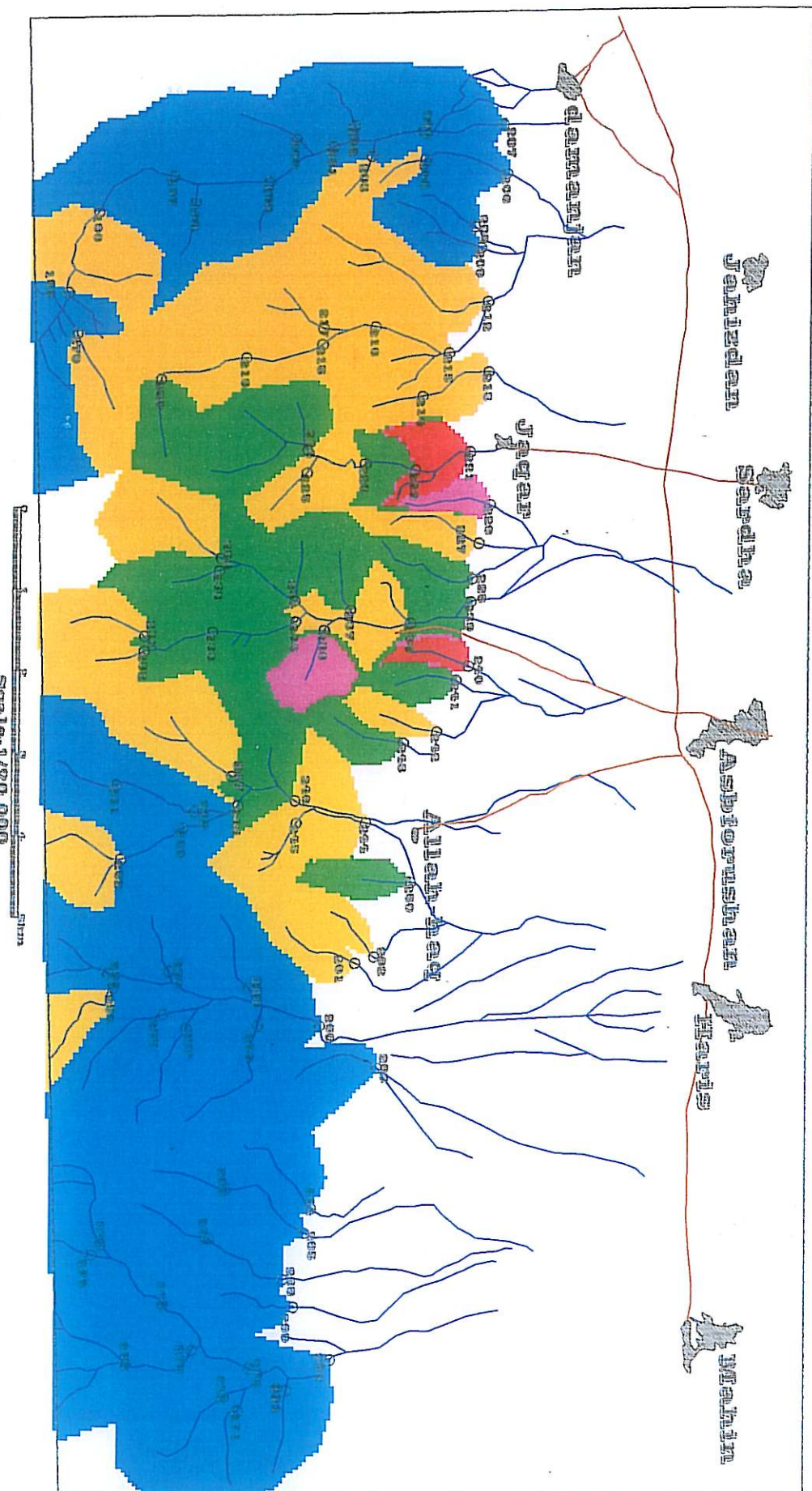


Geological Map Of Y

MAP NO:33

TEHRAN PADIR
CONSULTING ENGINEERS COMPANY

Geology



LEGEND

99-100%	Geochanical sample
97.5-99%	
84.97-95%	
50-84%	
0-50%	



Geochanical Map Of Yellapur

MAP NO:B-33

WILDERMANN PAPER
CONSTRUCTING INNOVATIVE COMPANIES

اکتشاف ژئوشیمیائی عناصر کمیاب در محدوده شهرستان کلیبر و سراب

B-35 A-35 روی (Zn)، نقشه‌های شماره ۱۴-۴-۲

این عنصر در منطقه کلیبر در سه منطقه ناهنجاری نشان می‌دهد.

۱- جنوب غرب روستای شجاع‌آباد شامل نمونه‌های ۶۱ و ۶۳.

۲- شمال روستای ولندران با منشاء نمونه ۱۳۵.

۳- شمال شرق روستای مرزرود با منشاء نمونه ۸ و ۱۰.

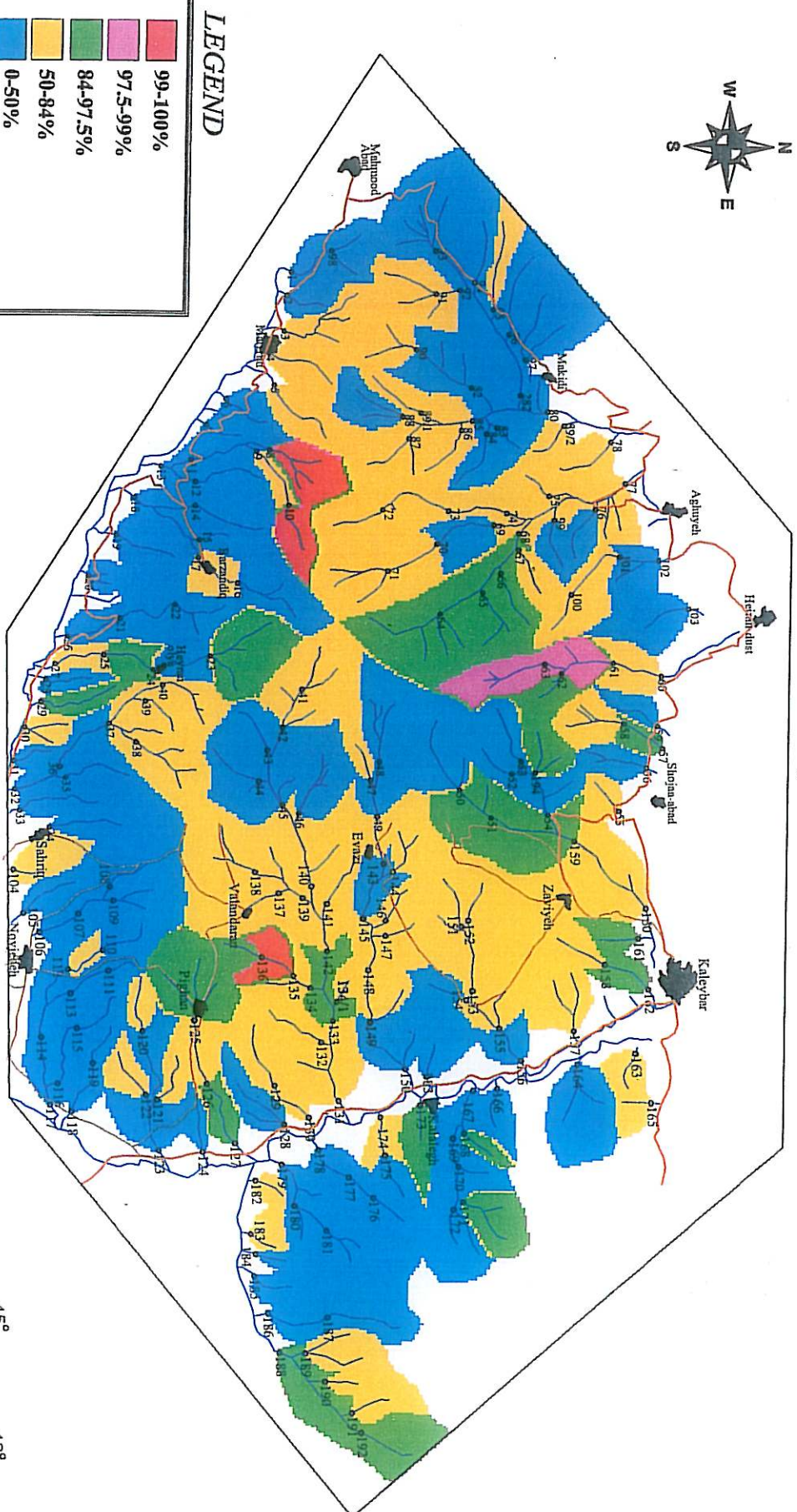
در منطقه سراب ناهنجاری‌های این عنصر در محدوده توده نفلن سینیت بزقوش دیده می‌شود نمونه‌های دارای ناهنجاری این عنصر شامل نمونه‌های ۲۳۰، ۲۲۱ و ۲۳۱ می‌باشد. عیار نمونه‌های دارای ناهنجاری این عنصر در مناطق

کلیبر و سراب به شرح زیر می‌باشد:

نام نمونه	۲۲۱	۱۰	۸	۱۳۵	۲۳۰	۲۳۱	۶۳	۲۸۰	۶۱	۲۱۸	۵۷	۲۲۰
ppm	340	278	278	253	233	225	214	196	187	183	171	170



Kaleybar



Scale: 1/20,000
0 2 4 6 Km

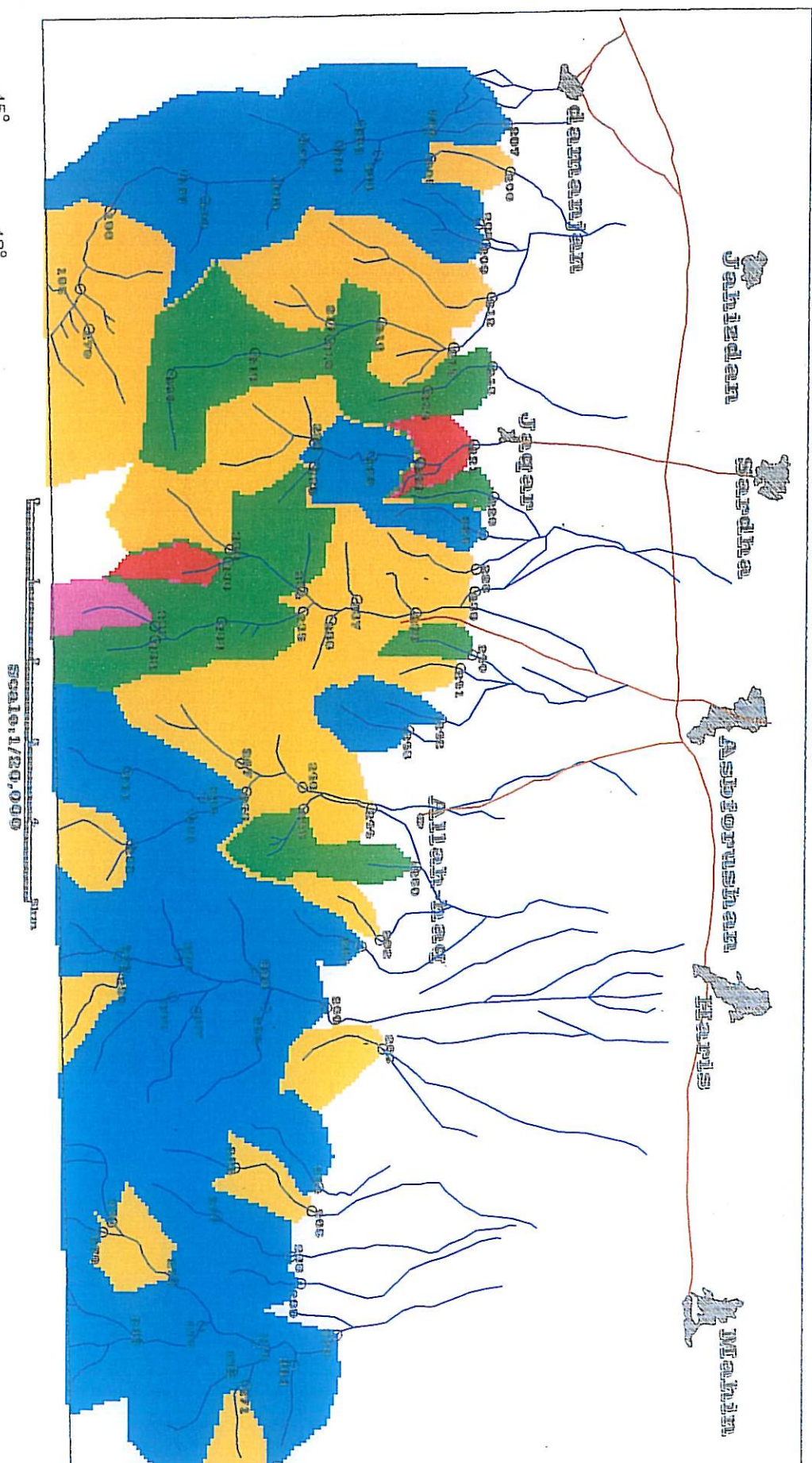
Geochemical Map Of Zn

MAP NO A-35

TEHRAN PADIR
CONSULTING ENGINEERS COMPANY

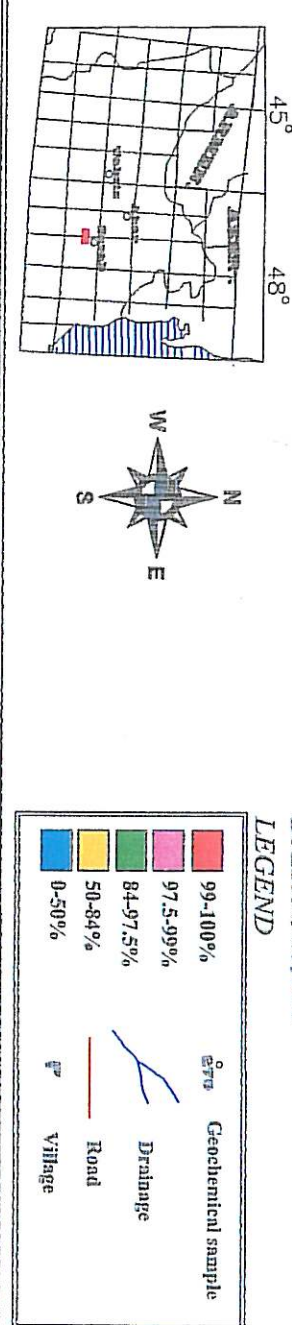


Geology



Geological Map Of Zn

MAP NO:B-35



۴-۵-۲-۴- آنومالی‌های حامل آنالیز فاکتوری

با انجام عملیات آنالیز فاکتوری بر روی متغیرهای ژئوشیمیائی در منطقه مورد مطالعه به عنوان یکی از روش‌های آماری چند متغیره همانطور که بخش قبل عنوان شد در نهایت ۶ فاکتور حاصل شده است. در این بخش نقشه‌های پراکنش مربوط به هر یک از فاکتورهای حاصله ترسیم شده است.

۴-۵-۲-۱- آنومالی‌های حاصل از فاکتور اول

(عناصر نادر خاکی و عناصر Zn و Ga)، نقشه‌های شماره $B-37$ و $A-37$

در این فاکتور عناصر نادر خاکی و عناصر Ga و Zn بالاترین میزان همبستگی را از خود نشان می‌دهند تا هنجاری‌های حاصل از این فاکتور مشابه تمام عناصر نادر خاکی در محدوده توده نفلین سینیت قرار دارند. در منطقه کلیبر ناهنجاری‌های این فاکتور در سه منطقه گسترش دارند.

۱- جنوب غرب زاویه منشاء این ناهنجاری نمونه ۵۱ می‌باشد.

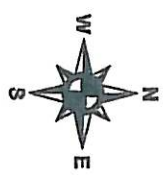
۲- بخش مرکزی توده نفوذی نفلین سینیت کلیبر منشاء این ناهنجاری نمونه‌های ۶۳ و ۶۴ می‌باشد.

۳- بخش شمال روستای حیران علیا منشاء این ناهنجاری نمونه ۲۳ می‌باشد.

در منطقه سراب ناهنجاری‌های این فاکتور در دبخش شمالی توده نفلین سینیت بزقوش واقع است منشاء این ناهنجاری‌ها نمونه‌های ۲۴۰، ۲۲۱، ۲۲۶، ۲۳۶ و ۲۸۰ می‌باشد.



Kaleybar



LEGEND

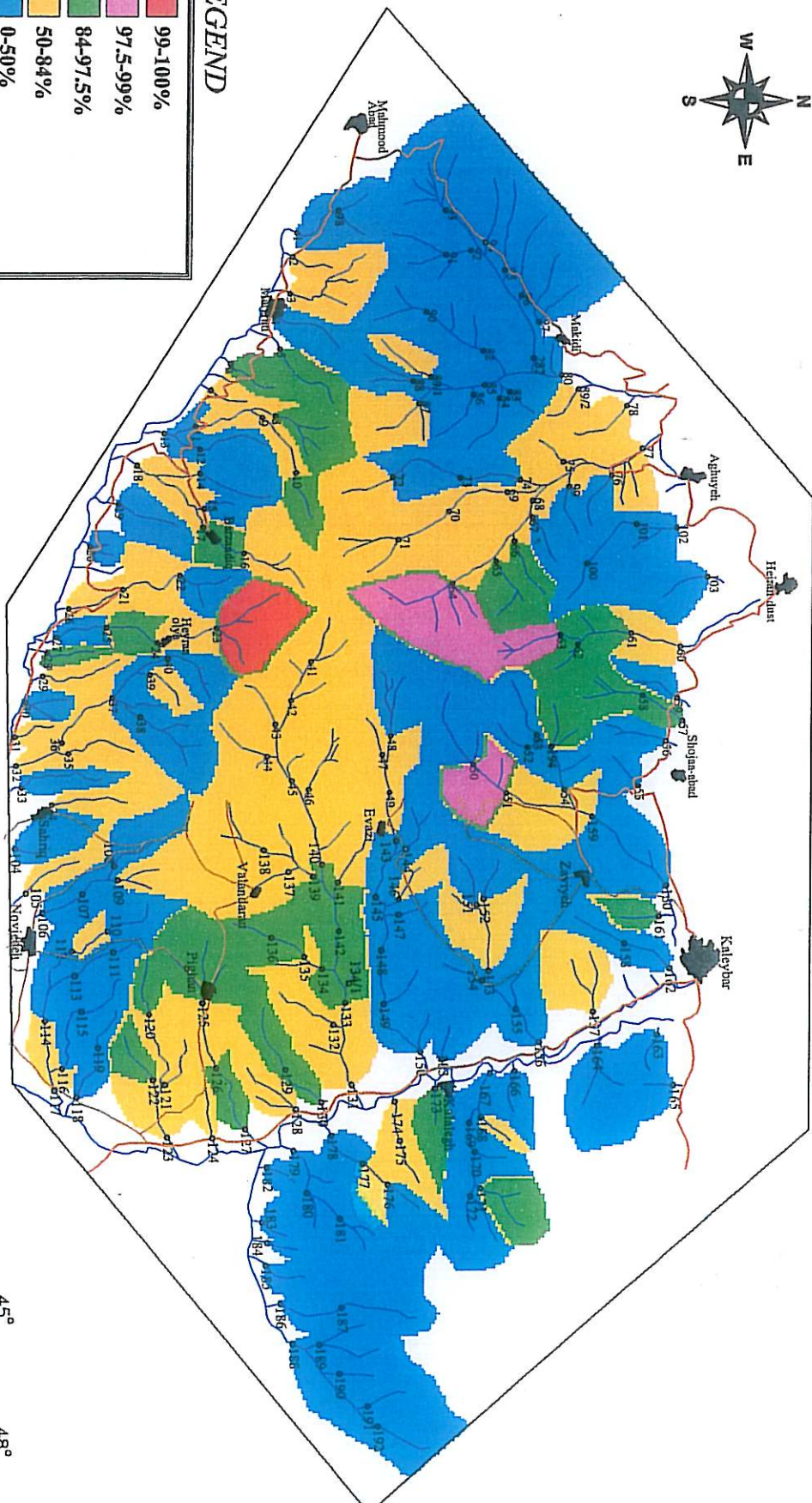
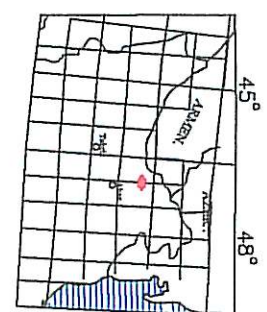
- █ 99-100%
- █ 97.5-99%
- █ 84-97.5%
- █ 50-84%
- █ 0-50%

Geochemical sample

Scale: 1/20,000
0 2 4 6 8 Km

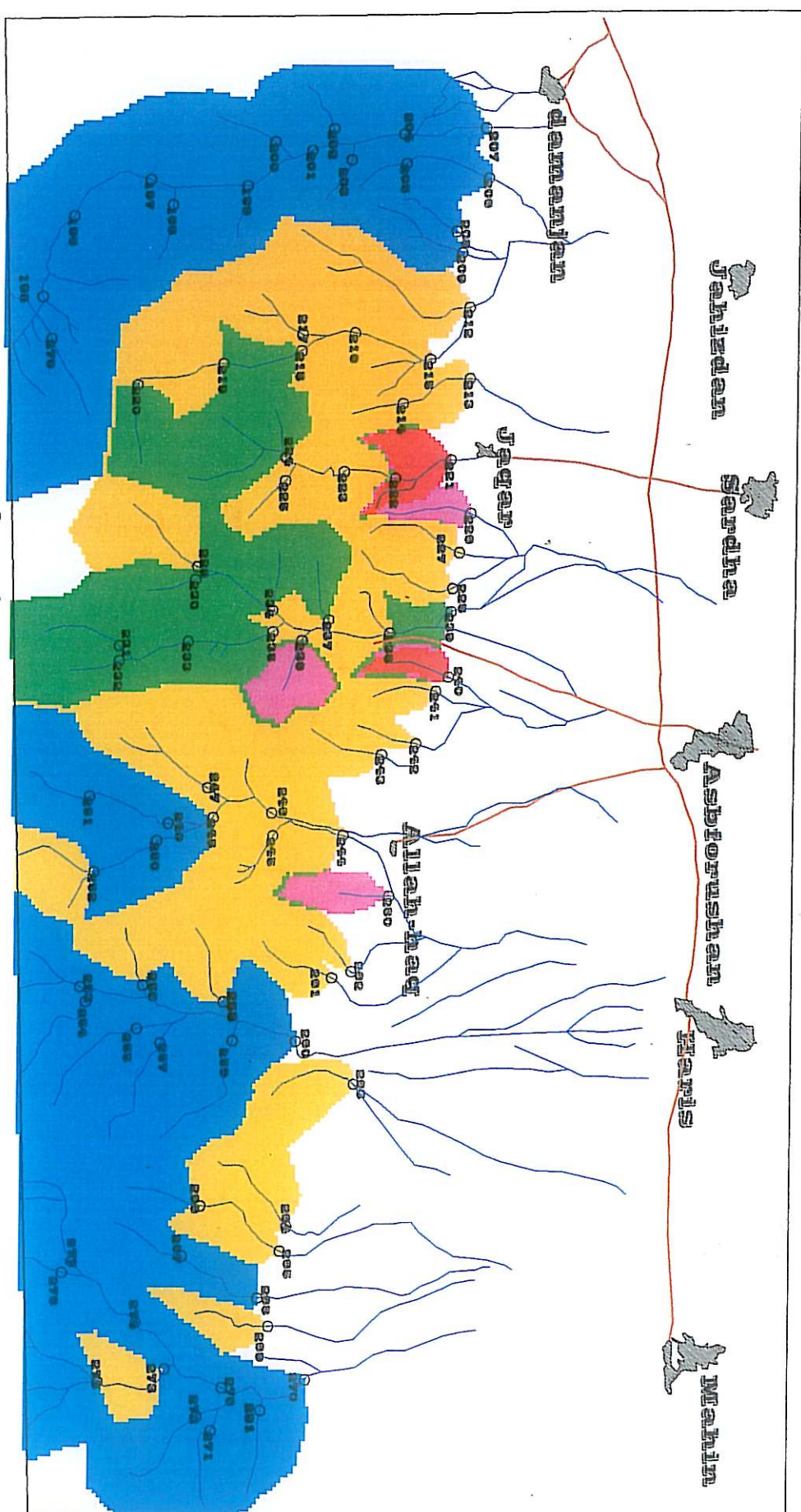
Geochanical Map Of Factor-1 MAP NO:A-37

- Drainage
- Asphalt road
- Non asphalt road
- Village



TEHRAN PADIR
CONSULTING ENGINEERS COMPANY

Sarab



Geochemical Map Of Factor-1
MAP NO.B-37



**۴-۵-۲-۳- آنومالی‌های حاصل از فاکتور دوم
(عناصر گروه HFSE و عناصر W و Th)، نقشه‌های شماره A-38 و B-38**

ناهنجری‌های این فاکتور در منطقه کلیبر به طور گسترده در جنوب روستای شجاع‌آباد دیده می‌شود منشاء این ناهنجاری‌های نمونه 63, 57, 58, 61, 65 می‌باشد. در این فاکتور به دلیل این که تماماً عناصر کمیاب حضور دارند مقدار این فاکتور در محدوده توده نفلین سینیت بالاتر از اطراف می‌باشد. در منطقه سراب نیز ناهنجاری‌های این فاکتور در بخش شمالی و شمال غربی توده نفلین سینیت گسترش دارد. منشاء این ناهنجاری نمونه‌های 207, 221 و 241 می‌باشد.

**۴-۵-۲-۳- آنومالی‌های حاصل از فاکتور سوم
(عناصر گروه LILE به همراه اورانیم)، نقشه‌های شماره B-39 و A-39**

در منطقه کلیبر ناهنجاری‌های این فاکتور بیشتر در بخش شمال خاوری توده نفلین سینیت کلیبر و بخش جنوب روستای زاویه قرار دارد. منشاء ناهنجاری‌های مذکور نمونه‌های 154, 152, 151 و 159 می‌باشد. در منطقه سراب ناهنجاری‌های حاصل از این فاکتور در بخش جنوب شرق و غرب توده نفلین سینیت بزقوش گسترش دارند منشاء این ناهنجاری‌ها نمونه‌های 196 و 253 می‌باشد.

۴-۵-۲-۴- ناهنجاری‌های حاصل از فاکتور چهارم (Ni, Cr, Co)، نقشه‌های شماره A-40 و B-40

این فاکتور مشکل از عناصر Ni, Cr, Co می‌باشد. ناهنجاری‌های این فاکتور در مناطق مورد مطالعه دارای اهمیت کمتری می‌باشد.

در منطقه کلیبر ناهنجاری‌های این فاکتور در سه محدوده دیده می‌شود.

- ۱- بخش جنوب روستای مکیدی: منشاء این ناهنجاری‌ها نمونه‌های 83, 88, 282 می‌باشد.
- ۲- بخش غرب و جنوب غرب روستای زاویه: منشاء این ناهنجاری‌ها نمونه‌های 51 و 54 می‌باشد.
- ۳- بخش شرق منطقه کلیبر: منشاء این ناهنجاری نمونه 185 می‌باشد.

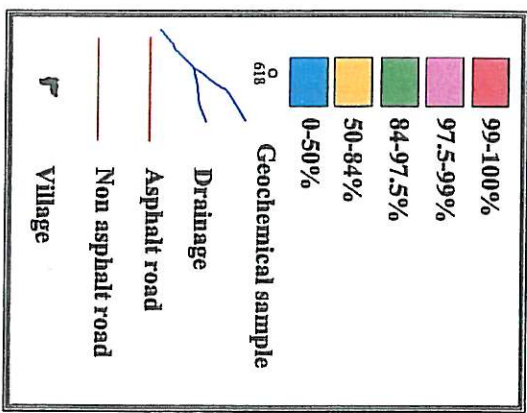
در منطقه سراب ناهنجاری‌های این فاکتور در بخش شمال توده نفلین سینیت بزقوش دیده می‌شود منشاء این ناهنجاری‌ها نمونه‌های 222, 242 و 243 می‌باشد.



Kaleybar

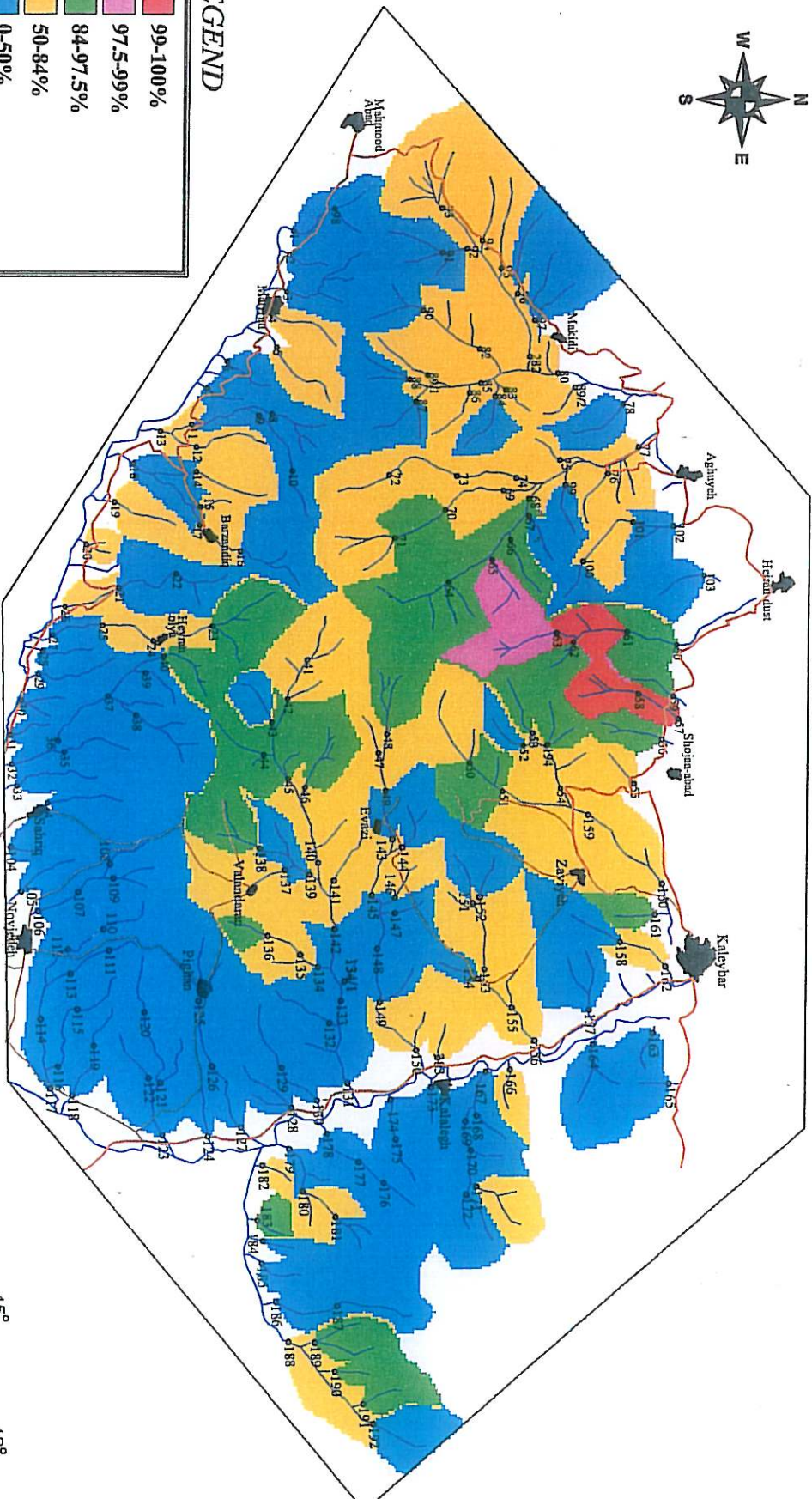


LEGEND



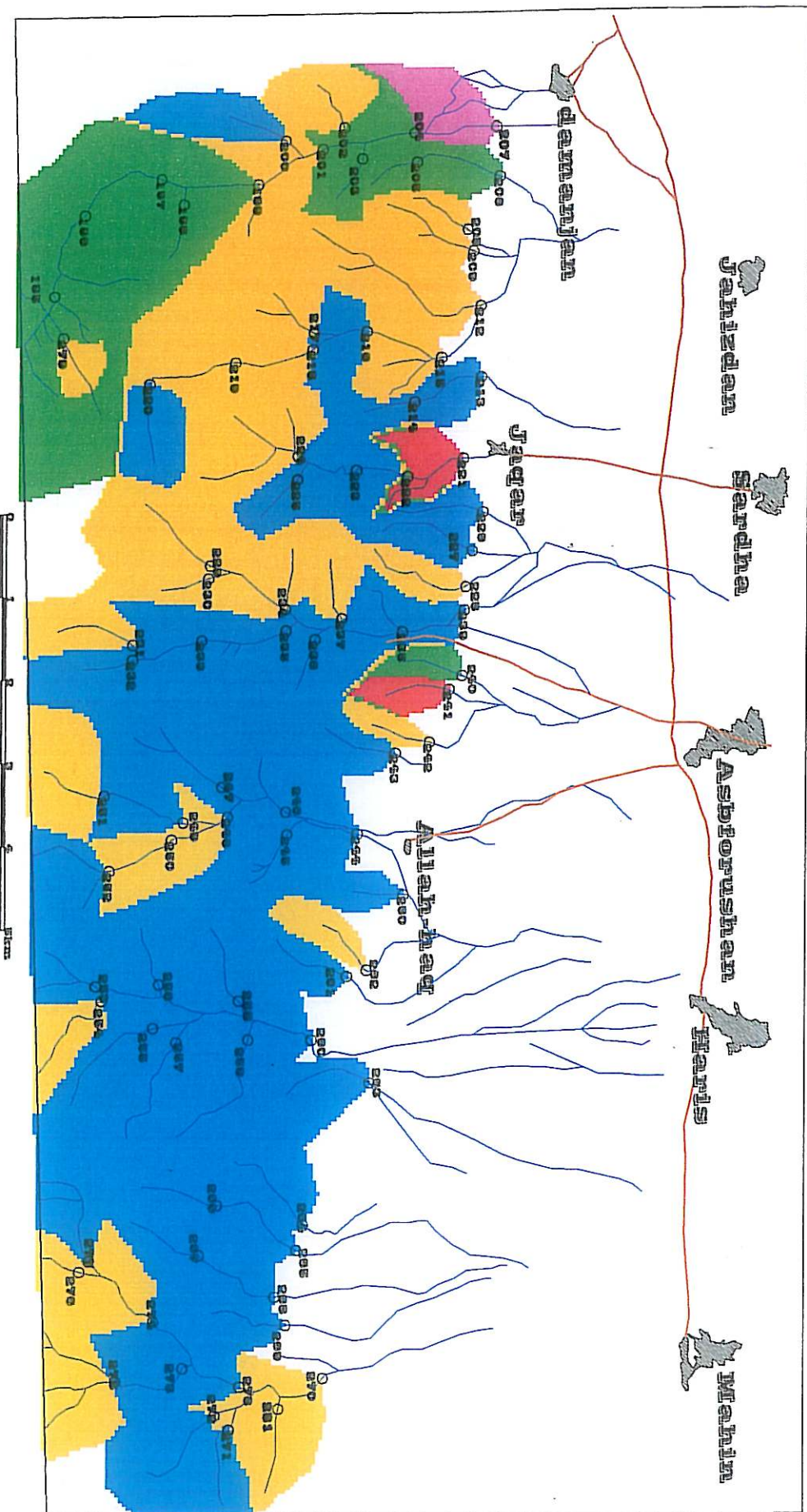
Scale: 1/20,000
0 2 4 6 8 Km

Geological Map Of Factor-2
MAP NO:A-38



TEHRAN PADIR
CONSULTING ENGINEERS COMPANY

Saraj



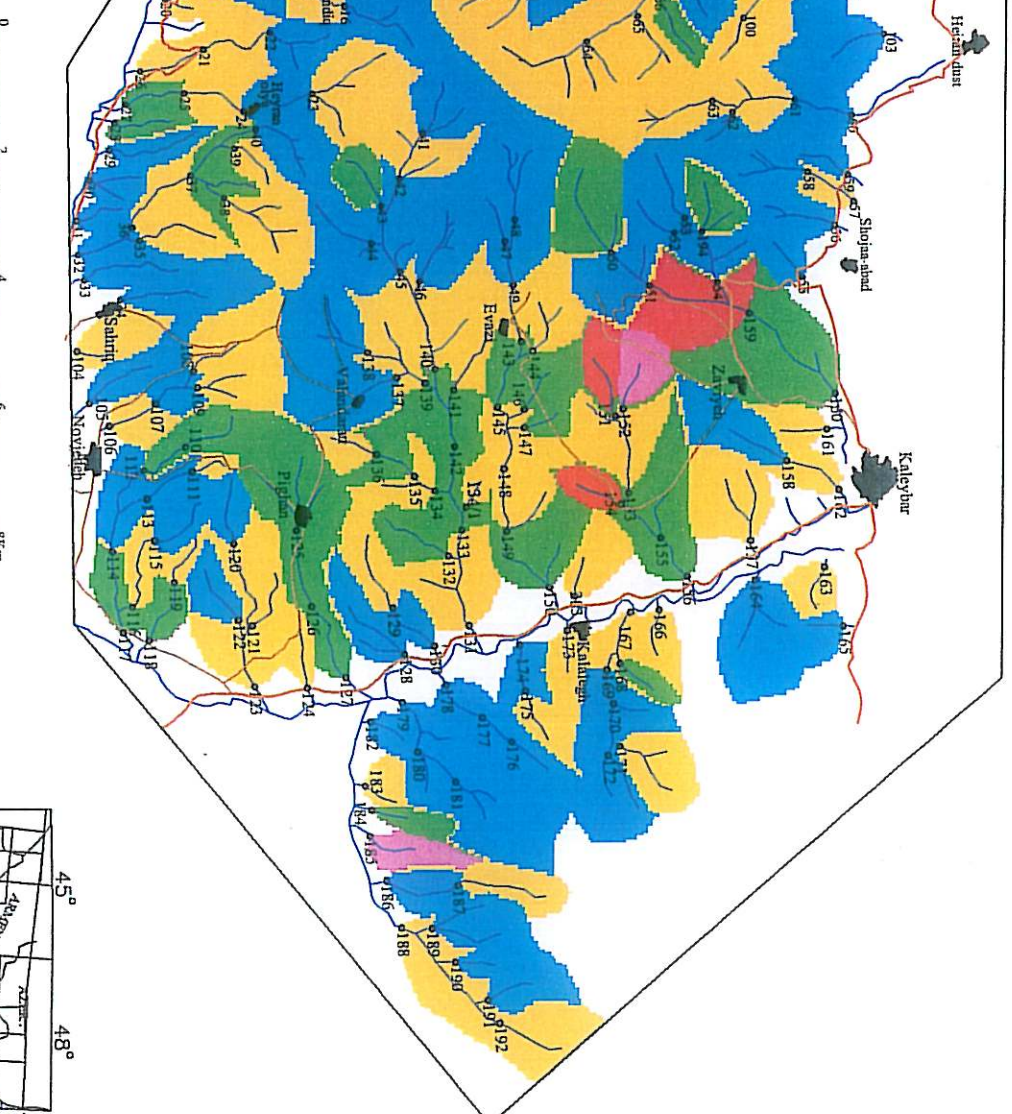
Geochemical Map Of Factor-2
MAP NO:B-38

TAJHARAN PAPER
consumers interests company

Kaleybar

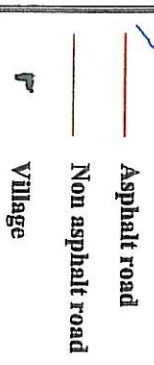


LEGEND



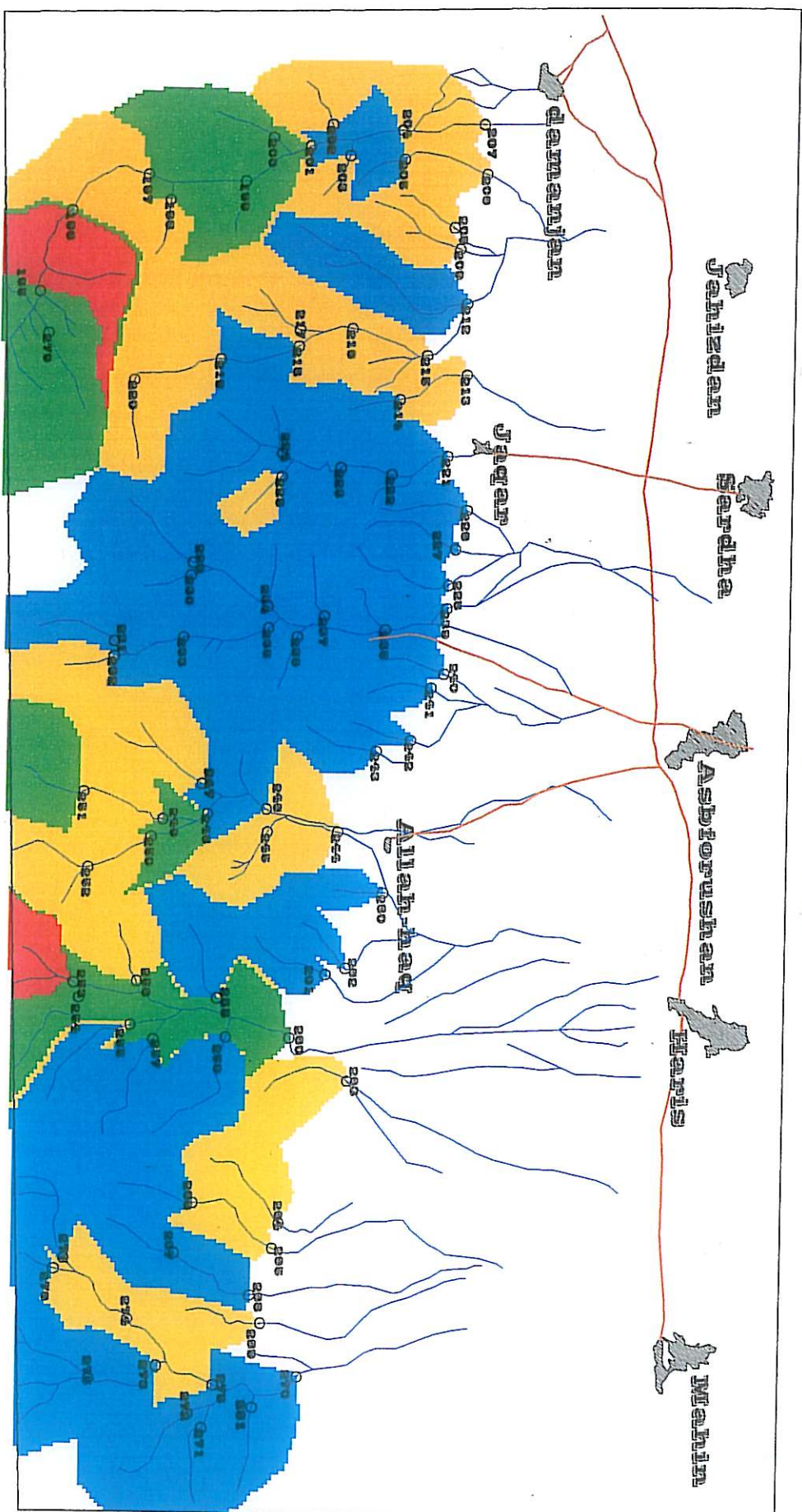
Scale: 1/20,000
0 2 4 6 8 Km

Geological Map Of Factor-3
MAP NO:A-39



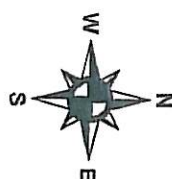
TEHRAN PADIR
CONSULTING ENGINEERS COMPANY

Sarab



Scale 1/20,000

45°
48°



LEGEND	
99-100%	Geochemical sample
97.5-99%	
84.97.5%	
50-84%	Drainage
0-50%	Road
Village	

Kaleybar



LEGEND

99-100%
 97.5-99%
 84-97.5%
 50-84%
 0-50%

● Geochemical sample

Drainage

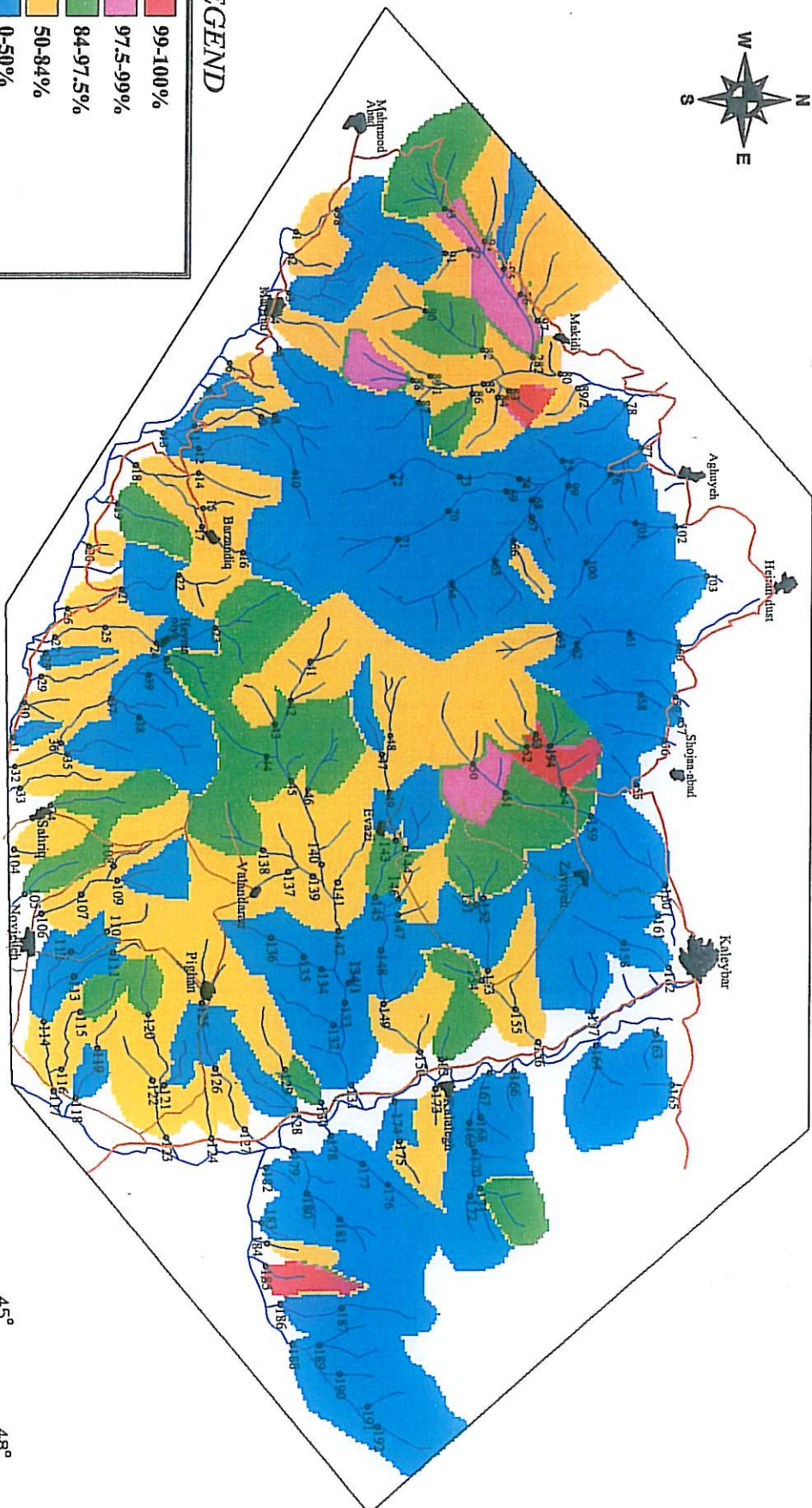
Asphalt road

Non asphalt road

Village

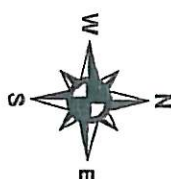
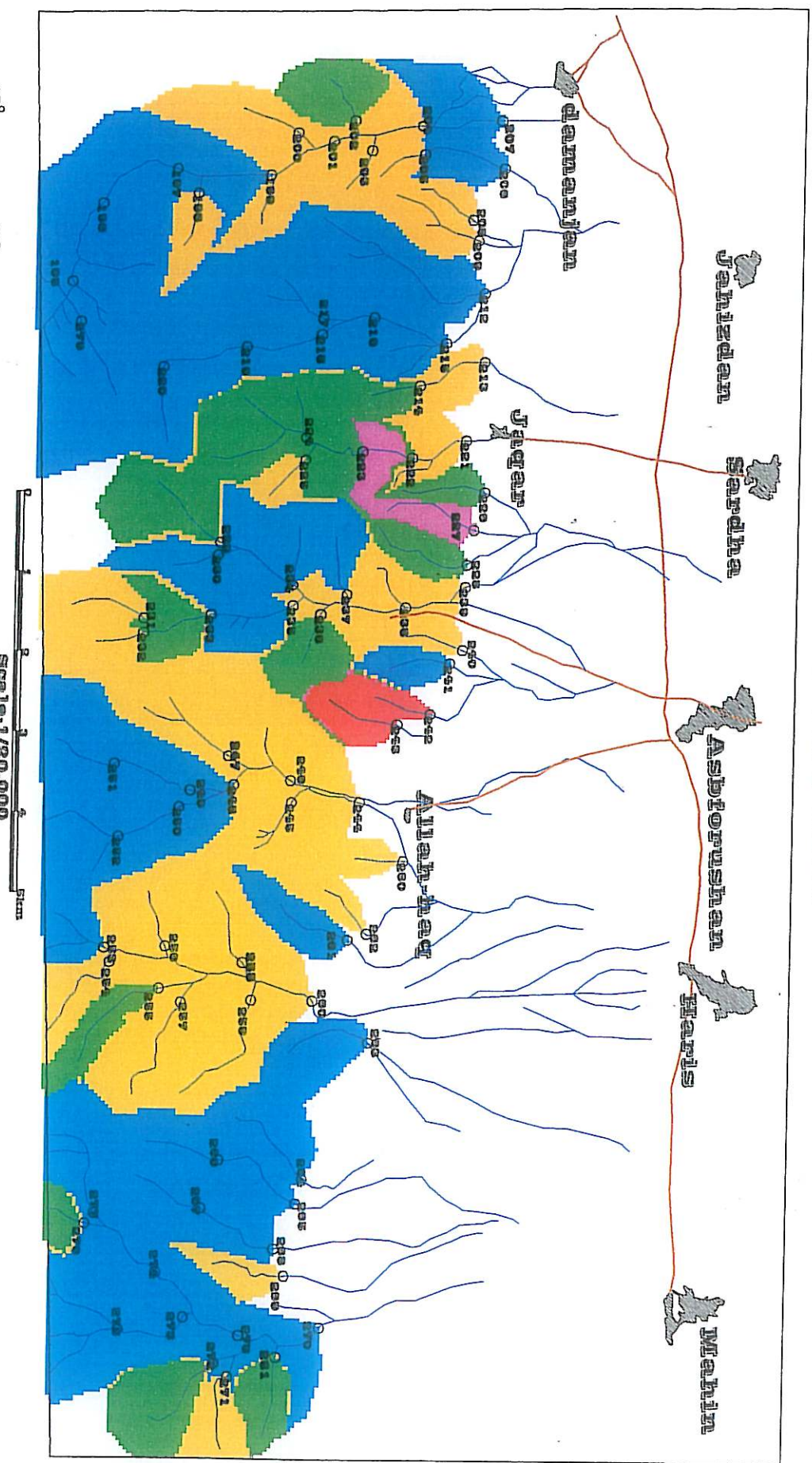
*Geochemical Map Of Factor-4
MAP NO:A-40*

Scale:1/20,000



TEHRAN PADIR
CONSULTING ENGINEERS COMPANY

Sarab



Scale: 1/20,000

1 2 3 4 5 6 7 8 9 10 11 12 13 14 15 16 17 18 19 20 21 22 23 24 25 26 27 28 29 30 31 32 33 34 35 36 37 38 39 40 41 42 43 44 45 46 47 48 49 50 51 52 53 54 55 56 57 58 59 60 61 62 63 64 65 66 67 68 69 70 71 72 73 74 75 76 77 78 79 80 81 82 83 84 85 86 87 88 89 90 91 92 93 94 95 96 97 98 99 100

LEGEND

99-100%	Red
97.5-99%	Dark Green
84-97.5%	Pink
50-84%	Yellow
0-50%	Blue

TEHRAN PADIR
CONSULTING ENGINEERING COMPANY

اكتشاف ژئوشيميانی عناصر كمیاب در محدوده شهرستان کلیبر و سراب

B-41 A-41 - ۴-۵-۲-۵ - ناهنجاري های حاصل از فاكتور پنجم (Mo, Cu)، نقشه های شماره 41 و 41

این فاكتور متشکل از عناصر Mo, Cu می باشد. عنصر مس در این فاكتور از سهم بالائی برخودار است. در منطقه کلیبر ناهنجاري های این فاكتور نظير عنصر مس در محدوده توده نفوذی نفلین سینيت و حوالی روستای آوزی دیده می شود. منشاء این آنومالی گستره نمونه های 45, 44, 45, 38 و 46 می باشد. در شکل گيري اين ناهنجاري آلتراسيون های کائولينيتی و ليمونيتی ناشی از نفوذ دايکهاي آپليتي به داخل توده نفلين سينيت نقش دارد. در منطقه سراب ناهنجاري های حاصل از اين فاكتور در بخش شرقی منطقه داخل واحد های ولکانيکی آلتري شده دیده می شود. منشاء اين ناهنجاري ها نمونه های 270 و 275 می باشد.

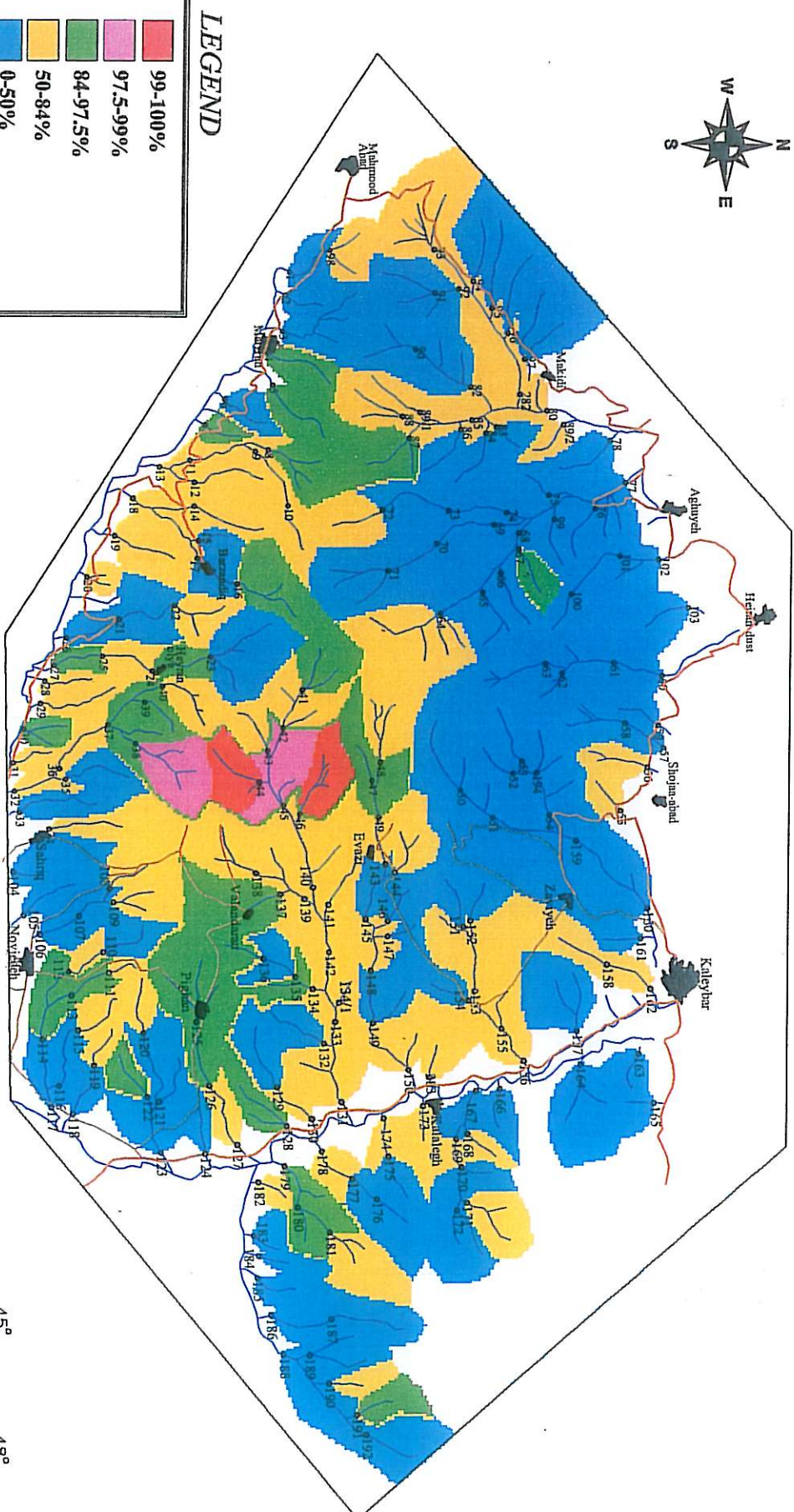
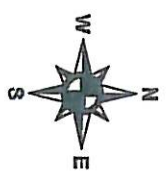
B-42 A-42 - ۴-۵-۲-۶ - ناهنجاري های حاصل از فاكتور ششم (Cs, Rb, V)، نقشه های شماره 42 و 42

ناهنجاري های اين فاكتور از اهميت کمتری برخودار است. در اين فاكتور V دارای مقدار منفي بوده و عناصر Cs, Rb نيز با مقدار بالاتر نسبت به سایر عناصر نقش مهمی ايفاد می کنند. ناهنجاري های اين فاكتور در بخش جنوب غرب منطقه کلیبر، جنوب روستای زاویه و شرق شهر کلیبر واقع اند. منشاء اين ناهنجاري ها نمونه های 6, 8, 31, 50, 147, 165 و 549 می باشد.

در منطقه سراب ناهنجاري های اين فاكتور در محدوده توده نفلين سينيت بزقوش قرار دارد منشاء اين ناهنجاري ها نمونه های 227, 243 و 258 می باشد.



Kaleybar

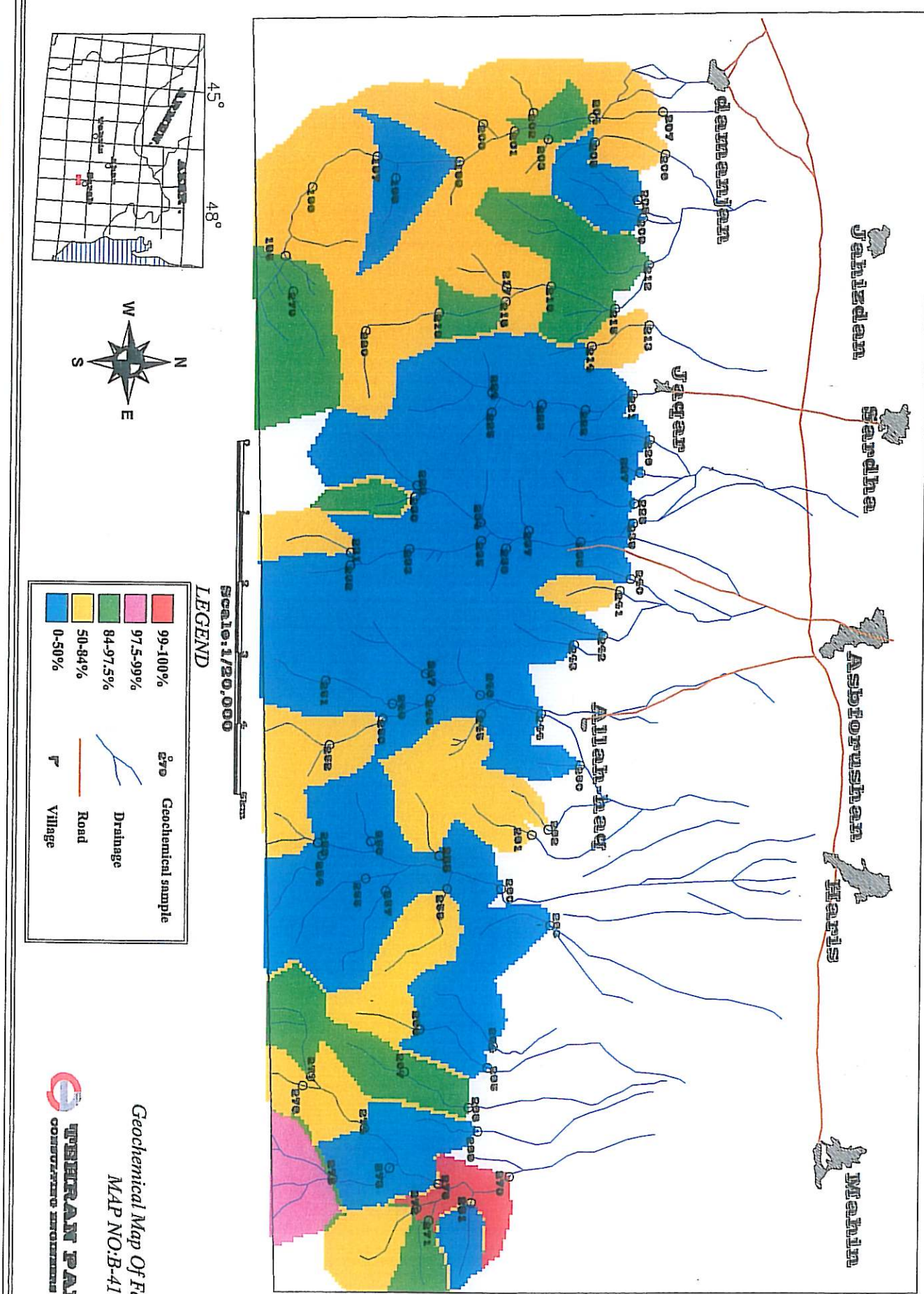


*Geochanical Map Of Factor-5
MAP NO:A-41*

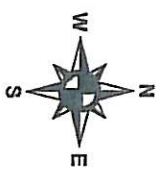


 TEHRAN PADIR
CONSULTING ENGINEERS COMPANY

Sarab



Kaleybar



LEGEND

Geochemical sample

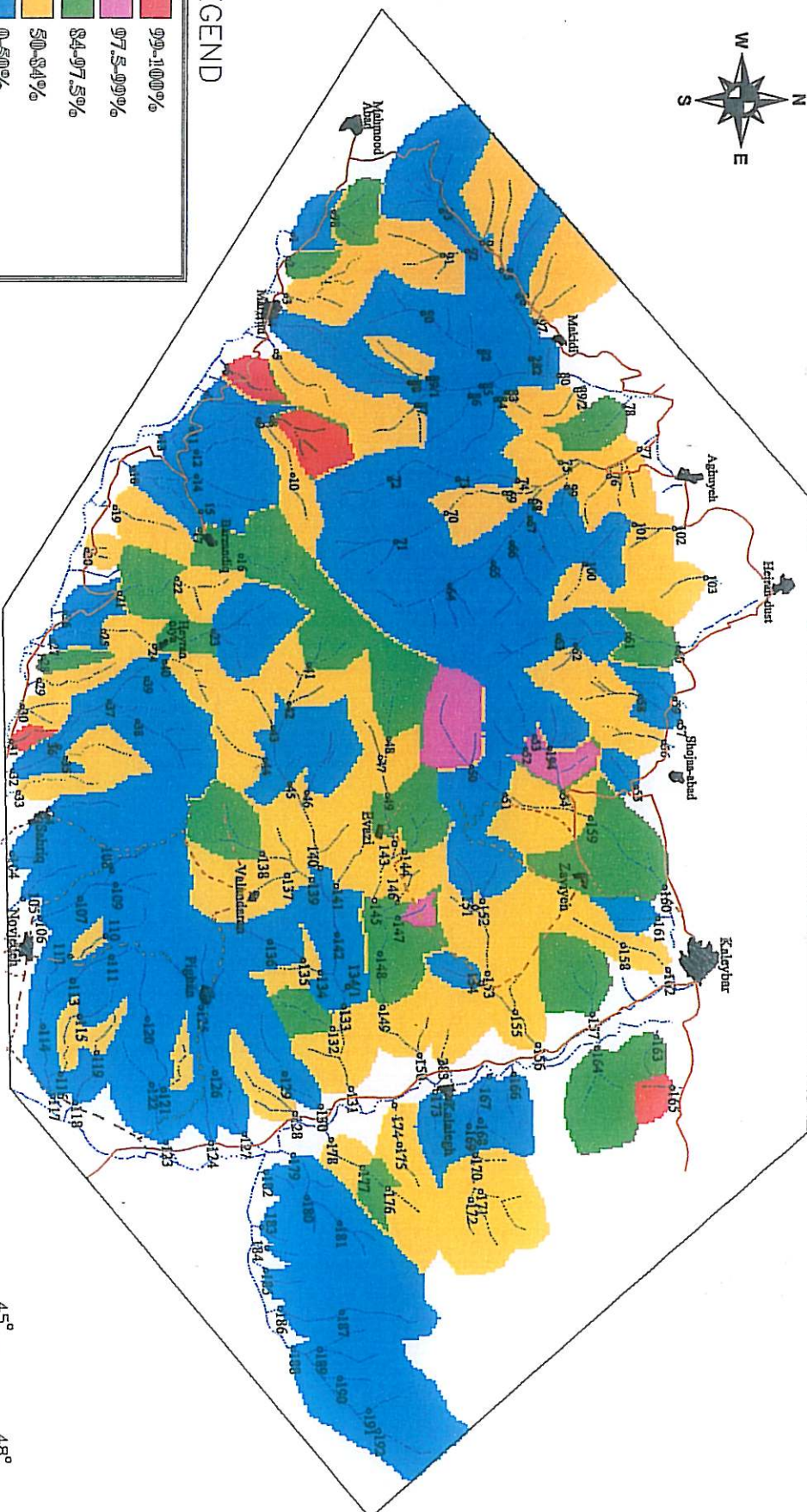
92-100%
97.5-99%
84-97.5%
50-84%
0-50%

Drainage

Asphalt road

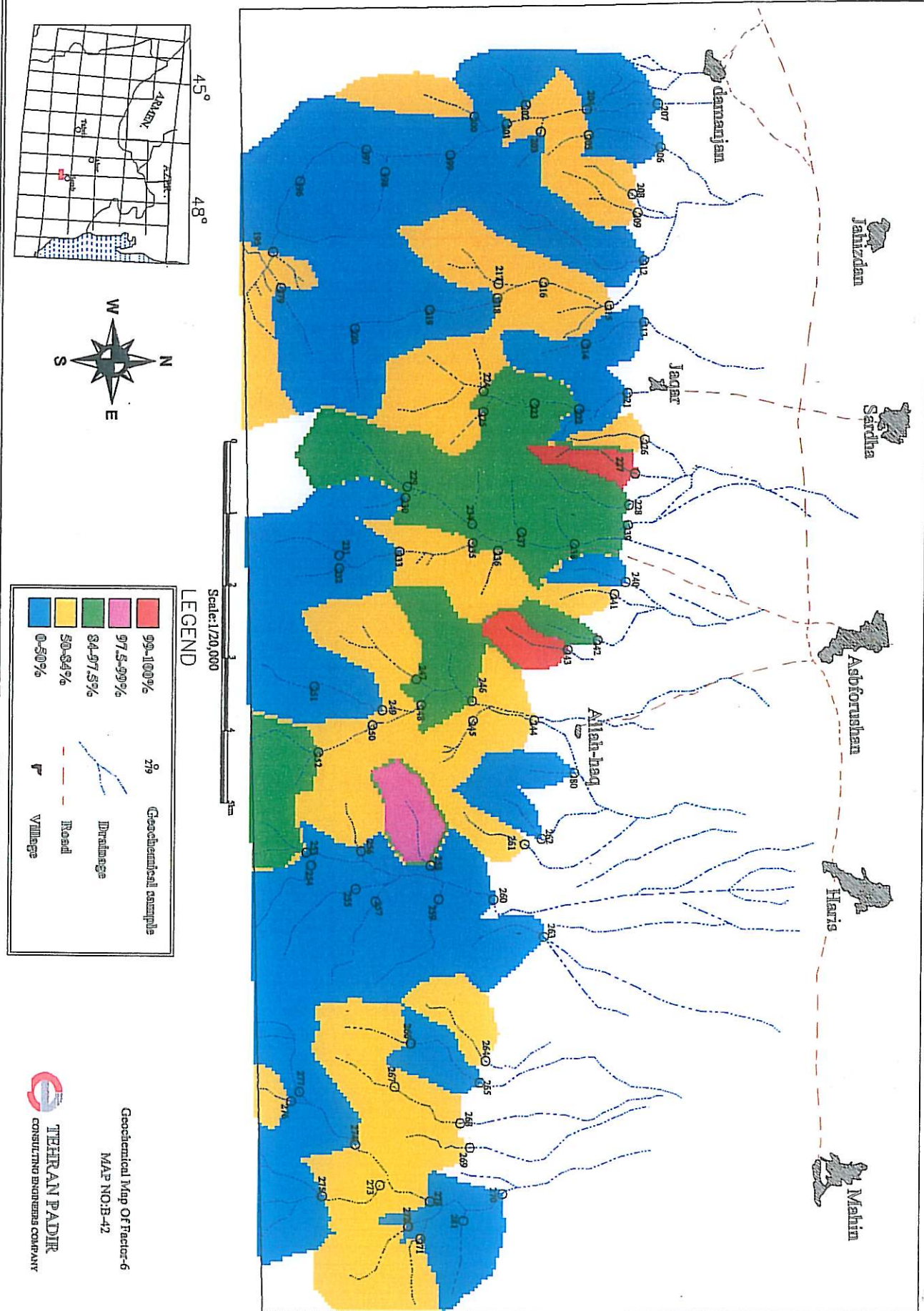
Non asphalt road

Village



TEHRAN PADIR
CONSULTING ENGINEERS COMPANY

Sarab



۶-۲-۴- ناهنجاری‌های حاصل از حاصلضرب P.N

پس محاسبه مقادیر $\frac{1}{P.N}$ برای تمامی متغیرهای ژئوشیمیائی نقشه پراکنش این متغیر به صورت سیمولی مناطق کلیبر و سراب ترسیم شد با توجه نقشه‌های فوق در منطقه کلیبر ناهنجاری‌های P.N به شرح زیر می‌باشد:

- ۱- بخش جنوب غربی توده نفلین سینیت و حوالی روستای مرز رود منشاء این ناهنجاری نمونه‌های 8, 5, 2 و 10 می‌باشد.
- ۲- بخش مرکزی و جنوبی توده نفلین سینیت: منشاء این ناهنجاری‌ها نمونه‌های 45, 23, 37, 44, 46 و 46.
- ۳- جنوب غرب روستای زاویه: منشاء این ناهنجاری‌ها نمونه‌های 51, 57, 58, 59, 61, 62, 63, 64, 64, 64.
- ۴- بخش جنوبی روستای جقر در ضلع شمالی نفلین سینیت بزقوش نمونه 221.



فصل پنجم: ظاہر گنترل آنومالیهای ژئوشیمیائی

در اکتشافات ژئوشیمیائی به روش آبراهه‌ای، که به منظور کشف هاله‌های ثانوی کانسارهای احتمالی انجام می‌پذیرد، معمولاً منطقه وسیعی تحت پوشش اکتشافی قرار می‌گیرد. این روند سبب کشف آنومالیهای ظاهری موجود در محیط‌های ثانوی می‌شود. این آنومالیها در اثر عوامل متعددی به وجود می‌آیند که عبارتند از:

- تأثیر سنگ بالادست
- آلودگیهای مختلف موجود در محیط (صنعتی، کشاورزی و...)
- آلوده شدن نمونه ضمن نمونه‌برداری و آماده‌سازی
- ناهمگنی موجود در نمونه آنالیز شده
- عوامل کانه‌زائی

از طرفی به دلیل اینکه در روش ژئوشیمیائی، هر عنصر مستقیماً مورد آنالیز قرار می‌گیرد توجهی به فاز پیدایش آن نمی‌شود، از این‌رو هاله‌های ثانوی کشف شده نمی‌تواند همیشه معرف کانی‌سازی باشند، بنابراین برای تمیز دادن آنومالیهای واقعی (که در ارتباط با پدیده کانی‌سازی بوده و دارای مؤلفه اپی‌ژنتیک قابل ملاحظه می‌باشند)، از انواع کاذب مرتبط با پدیده‌های سنگ‌زائی (مؤلفه سین‌ژنتیک) باید به گنترل زمینی آنها پرداخت. روش‌های مختلفی برای گنترل آنومالیها وجود دارد که می‌توان به کمک آنها آنومالیهای مقدماتی ژئوشیمیائی عناصر را تأیید یا باطل کرد. این روش‌ها عبارتند از:

- ۱- بررسی مناطق دگرسان شده و زونهای مینرالیزه احتمالی.
- ۲- برداشت نمونه از سیستمهای درز و شکاف پرشده توسط مواد معدنی.
- ۳- نمونه‌برداری کانی سنگین از محدوده آنومالیها.

۵- نمونه‌برداری کانی سنگین

با توجه به نتایجی که از آنالیز کانیهای سنگین به دست می‌آید می‌توان هاله‌های ثانوی را به دو گروه تقسیم کرد که عبارتند از:

- هاله‌های ثانوی مرتبط با کانی‌سازی
- هاله‌های ثانوی مرتبط با پدیده سنگ‌زائی

در مورد هاله‌های ثانوی مرتبط با کانی‌سازی، کانیهای مستقل یک عنصر معمولاً در جزء سنگین (به صورت فاز



مستقل) رسوب آبراهه‌ای یافت می‌شوند، ولی در موردهاله‌های ثانوی مرتبط با پدیده‌های سنگ‌زائی پیدايش يك عنصر معمولاً به صورت ترکیب محلول جامد در ساختمان شبکه همراه با عناصر دیگر است.

بدیهی است تحرک يك ذره کانی سنگین داخل آبراهه نسبت به يك یون بسیار کمتر است، لذا هاله‌های کانی سنگین نسبت به هاله‌های ثانوی ژئوشيميانی دارای وسعت کمتری هستند. بدین لحاظ نمونه‌های کانی سنگین از داخل محدوده‌های آنوماليهای ژئوشيميانی می‌تواند مفید باشد.

در محدوده تودهای نفلین سینیت کلیر و سراب و از محدوده آنوماليهای ژئوشيميانی مقدماتی به برداشت ۵۰ نمونه کانی سنگین مبادرت گردید. هر نمونه کانی سنگین از چند محل، از قبیل پیچ آبراهه، پشت تخته سنگ‌های بزرگ در کن آبراهه و... که احتمال تمرکز کانی سنگین در آن بیشتر بود، برداشت شده است، (نقشه‌های شماره A-44, B-44).

۱-۱-۵- عملیات مطالعه نمونه‌های کانی سنگین

مطالعه نمونه‌های کانی سنگین شامل دو مرحله می‌باشد:

الف- آماده‌سازی نمونه کانی سنگین جهت مطالعه.

ب- مطالعه اجزاء مختلف آن.

آماده‌سازی نمونه‌های کانی سنگین شامل گل‌شوئی و لاوک‌شوئی است. قبل از انجام این مراحل، اندازه گیری حجم کل نمونه برای محاسبات بعدی الزامی است. در مرحله گل‌شوئی با شستشوی کامل نمونه، گل نمونه که عمدتاً شامل ذرات دانه‌ریز رسی است از آن جدا شده و نمونه آماده لاوک‌شوئی می‌شود. در مرحله لاوک‌شوئی، نمونه به درون ظرف مخصوص ریخته شده و پس از غوطه‌ور کردن نمونه در آب و حرکات دورانی مناسب آن، مواد سبک شستشو و از آن خارج شده و جزء سنگیتر باقی می‌ماند. این نمونه، که نسبت به نمونه اولیه حجم بسیار کمتری دارد، خشک شده و مورد حجم‌سنجی قرار می‌گیرد و اعداد حاصل در فرم مربوطه ثبت می‌شود. مرحله بعدی شامل کاهش وزن نمونه از طریق تقسیم کن شانه‌ای است. بخشی از این جزء از طریق بروموفرم به دو قسمت جزء سبک و جزء سنگین تقسیم می‌گردد. پس از بروموفرم گیری حجم هر يك از دو بخش سنجدیده شده و سپس از طریق به کارگیری آهنربایی دستی با بار معین جزء سنگین به سه بخش تقسیم و حجم هر يك تعیین می‌شود.



جزء فرومغناطیسی دارای خاصیت مغناطیسی شدید بوده و به طور عمده شامل منیتیت و گاهی ایلمنیت می‌باشد. جزء دیگر دارای خاصیت مغناطیسی متوسطی است و بیشتر شامل کانیهای مافیک مانند پیروکسن، آمفیبول و بیوتیت است. جزء غیرمغناطیسی خاصیت مغناطیسی نداشته و اغلب کانیهای فرعی مانند آپاتیت، زیرکن و بسیاری از کانه‌ها در آن متراکم می‌شوند. در این پروژه هر سه بخش با استفاده از میکروسکوپ بینوکولار مورد مطالعه چشمی قرار گرفته است. در این روش، مشخصات فیزیکی کانیها مانند رنگ، سیستم تبلور، جلا، سختی، شفافیت و... اساس تشخیص می‌باشد. از این طریق نسبت درصد هر کانی در نمونه به طریق حجمی برآورد می‌گردد. برای محاسبه فراوانی نسبی کانیهای سنگین در نمونه اصلی (به صورت برداشت شده) از فرمول زیر استفاده گردیده است:

$$\frac{X \times Y \times B \times D \times 10000}{A \times C \times D} = \text{فراوانی کانی سنگین (گرم بر تن)}$$

در این فرمول متغیرها عبارتند از:

X: درصد کانی مورد نظر ضرب در جرم فراکسیون مربوط به آن پس از جداش مغناطیسی.

Y: حجم نمونه پس از بروموفرم گیری.

Z: حجم نمونه پس از شستشو.

D: وزن مخصوص کانی مورد مطالعه.

A: حجم کل نمونه برداشت شده در صحرا (پس از الک کردن).

C: حجم نمونه انتخابی برای جداش با بروموفرم.

D: وزن مخصوص رسوب برداشت شده در صحرا که در این پروژه معادل ۲/۵ گرم بر سانتیمتر مکعب در نظر گرفته شده است.

در جدول ۱-۵ ضمیمه فصل ۵ مقدار حجم کانی‌های سنگین بر اساس (ppm) محاسبه شده لست.

در نقشه توزیع کانی سنگین تعدادی از نمونه‌ها جهت یک یا چند کانی سنگین معرفی شده‌اند. در فاز بعدی اکتشافی هدف انتخاب بهترین آنومالیها و انجام پی‌جوئیهای مفصلتر در حوضه آبریز مربوطه است. اما این مطلب که واقعاً کدام نمونه‌های آنومالی ارزش پی‌جوئیهای بیشتری را دارند تعمق و تفکر بیشتری را می‌طلبد. در بررسیهای زمین‌شناسی شناخت ژئو کانسارهای پلاسرو مطالعه اقتصادی آنها، نوع و پاراژنر کانیها اهمیت ویژه‌ای دارد. در این ارتباط سه مطلب زیر را مورد مطالعه قرار می‌دهیم.

الف) محتوای نمونه‌های آنومالی از چه نوع کانیهایی هستند.

ب) محتوای نمونه‌های آنومالی از چه تعداد کانی با ارزش تشکیل شده‌اند.

پ) کانیهای مهم و با ارزش در کدام یک از نمونه‌ها از مقادیر آنومالی برخوردار هستند.



اکتشاف ژئوشیمیائی عناصر کمیاب در محدوده شهرستان کلیبر و سراب

براساس مطالعه نمونه‌های کانی سنگین مناطق کلیبر و سراب نکات ذیل قابل توجه می‌باشد:

- ۱- از ۵۰ نمونه کانی سنگین مطالعه شده، ۴ نمونه طladار می‌باشد که عبارتند از نمونه شماره ۳۷ (یک ذره)، ۱۲۲ (یک ذره)، ۱۲۷ (یک ذره) و ۱۲۵ (یک ذره) این ذرات از نظر شکل به صورت لامپی و زاویه‌دار تا گرد شده می‌باشد.

Row	Sample Number	Distribution	(Gold grain size)			Roundness	Shape
			L	W	T		
1	37	1	175	100	50	Subrounded	Lumpy
2	122	1	50	30	30	Angular	Lumpy
3	125	1	150	50	30	Subrounded	Lumpy
4	127	1	125	125	75	Rounded	Lumpy

- ۲- کانیهای سرب در منطقه بیشتر به صورت سرب آزاد و بعض‌اً پیرومورفیت و لیتاڑ (اکسید سرب) می‌باشد که به صورت پراکنده و در حد چند ذره مشاهده نشده است. که عبارتند از نمونه‌های شماره ۴۱ (یک ذره)، ۵۱ (یک ذره)، ۵۷ (دو ذره)، ۱۲۷ (یک ذره)، ۱۳۳ (یک ذره)، ۱۶۱ (یک ذره)، ۲۱۹ (یک ذره) و ۲۳۶ (یک ذره).
- ۳- کانیهای مس در منطقه به صورت مس آزاد، می‌باشد که دارای پراکنگی ضعیف می‌باشد.
- ۴- از کانیهای عناصر کمیاب، کانی مونازیت در دو نمونه و در حد دو ذره مشاهده است. ۴۹ (یک ذره) و ۲۱۸ (یک ذره).
- ۵- از کانیهای تنگستن دار در منطقه می‌توان به شیلیت و پولولیت اشاره کرد که عبارتند از ۴۲ (سه ذره)، ۶۱ (یک ذره)، ۱۳۲ (یک ذره) و ۱۳۵ (یک ذره) و یک ذره پولولیت در نمونه شماره ۵۴ مشاهده شده است.
- ۶- کانی آپاتیت به عنوان کانی شاخص در جزء (NM) نمونه‌های کانی سنگین بخصوص نمونه‌های محدوده توده نفوذی می‌باشد. نمونه‌های مهم دارای آپاتیت در محدوده کلیبر و سراب به شرح زیر می‌باشد:

نحوه حضور	218	125	221	180	132	230	219	220
ppm	1291.43	957.00	513.00	480.00	397.50	318.75	284.14	280.00

- ۷- با توجه به اینکه براساس اطلاعات قبلی، لیتولوژی منطقه سینیت‌های نفلین دار تشکیل می‌دهد، در نتیجه می‌بایست حضور کانیهای فلدسپانوئیدی هم در نمونه‌ها مشاهده می‌گردید. عدم حضور این کانیها در نمونه‌های



اکتشاف ژئوشیمیائی عناصر کمیاب در محدوده شهرستان کلیبر و سراب

کانی سنگین، به دلیل پایین بودن وزن مخصوص این کانیها نسبت به مایع سنگین (بروموفرم) می‌باشد که در مرحله بروموفرم‌گیری (آماده‌سازی) از فاز کانیهای سنگین جدا شده و حذف می‌گردد.

۸- کانی اسفن نیز به عنوان کانی شاخص دیگر نمونه‌های کانی سنگین می‌باشد. به طوریکه مقدار اسفن در بعضی نمونه‌ها، حدود ۹۰٪ فاز کانی‌ساز (NM) را به خود اختصاص داده است. این کانی بیشتر در محدوده کلیبر ناهنجاری نشان می‌دهد. نمونه‌های مهم دارای اسفن در محدوده کلیبر به شرح زیر می‌باشد:

No	8	37	44	45	51	54	58	59	131	132	135	161	165
	ppm	ppm	ppm	ppm									
	505	114	113	315	676	447	404	553	538	1252	218	122	75

۹- زیرکن نیز از کانی‌های دیگر عناصر کمیاب در گروه زیرکنیم‌هافیم می‌باشد. این کانی به همراه آپاتیت و اسفن در منطقه کلیبر در حوالی روستای ولدران و دره روستای اوزی ناهنجاری نشان می‌دهد. نمونه‌های دارای ناهنجاری این کانی نمونه‌های ۱۳۲، ۱۳۱، ۱۳۲، ۱۲۵ و ۱۴۲ می‌باشد. دز منطقه سراب این کانی بیشتر در محدوده توده نقوذی و حوالی روستای جقر و بخش جنوبی این روستا به همراه آپاتیت ناهنجاری نشان می‌دهد.

نامنادرم برابر با	125	131	133	132	218	221
PbO ₂ عیار	287.10	197.68	141.00	119.25	113.95	102.60

۶-۲- برداشت نمونه‌های میترالیزه و آلتربه

نوع دیگری از شواهد واقعی بودن آنومالیهای ژئوفیزیکی یا ژئوشیمیائی پیدا یشن مناطق کانی‌سازی در سطح زمین است. اگر سطح فرسایش کتونی سطح کانی‌سازی احتمالی راقطع کرده باشد می‌توان آثار کانی‌سازی را مستقیماً دید. در این صورت لازم است از عوارض مرتبط با کانی‌سازی نمونه‌هایی برداشت. این نمونه‌ها با این هدف برداشت می‌شوند که بیشترین عیار را نمایان سازند، بنابر این به طور نظام وار از مناطق پر عیار برداشت خواهند شد. از این نمونه‌ها نمی‌توان و ناید استیuatی در مورد عیار ماده معدنی به عمل آورد.

از دیگر نمونه‌هایی که لازم است برای کنترل آنومالیها برداشت گردد نمونه‌های مرتبط با دگرسانیهای وابسته به کانی‌سازی احتمالی است. معمولاً آله‌های دگرسانی مانند غلافی هسته کانی‌سازی را در بر می‌گیرند و گاهی هم با آن



اکتشاف، زئوژیمیایی، عناصر کمیاب در محدوده شهرستان، کلیبر و سراب

هم آغوش می شوند. از آنجا که هاله های دگرسانی بزرگتر از توده های کانی سازی شده هستند، لذا احتمال این که سطح فرسایش، کنونی آنها را قطع کند و نمایان شوند، بیشتر است. این امر به خصوص در مورد توده های کانی سازی پنهان، که اکتشاف آنها پرهزینه و ریسک آن بالاتر است، صادق است. از اینرو نمونه برداری از هاله های دگرسانی به منظور تعیین ترکیب کانی شناسی هاله های دگرسانی و همچنین عیار سنجی آن سیار ضروری است و می تواند تاییجی را که دال بر تأیید و یا تکذیب آنومالی باشد، در اختیار گذارد.

در محدوده توده های نفوذی نفلین سینیت کلیبر و سراب در مجموع ۳۰ نمونه میزالیزه برداشت گردید. این

تموته ها عبارتند از:

- ۱- نمونه های مربوط به دایکهای پگماتیتی و آپلیتی.
- ۲- نمونه های مربوط به توده نفوذی نفلین سینیت و نفلین گابرو.
- ۳- نمونه های مربوط به بخش های دگرسان شده توده نفوذی ناشی از نفوذ دایکهای پگماتیتی و آپلیتی. از این تعداد ۲۳ مقطع نازک جهت مطالعه پتروگرافی توده های نفوذی تهیه و ۲۵ نمونه جهت آنالیز شیمیایی عناصر کمیاب و آنالیز کانی شناسی به آزمایشگاه ارسال شد.

۵-۱-۱- آنالیز نمونه های سنگی

نتایج آنالیز عناصر کمیاب برای نمونه های میزالیزه منطقه در جدول زیر آورده شده است
با توجه به نتایج نمونه های مذکور به نظر می رسد مقادیر عناصر کمیاب در این نمونه ها بسیار کم بوده و در حد اقتصادی نمی باشد.



نتایج آنالیز نمونه‌های سنگی

SAMPLE DESCRIPTION	Sr ppm	Ta ppm	Tb ppm	Th ppm	Tl ppm	Tm ppm	U ppm	V ppm	W ppm	Y ppm	Yb ppm	Zn ppm	Zr ppm
230 X2	205	5.9	1.5	148	<0.5	1.3	19.6	20	9	65.2	8.8	112	1025
125 X 1	1195	1.2	1.1	12	<0.5	0.3	2.9	158	6	27.2	2.3	170	147.5
239 X1	191.5	5.2	1.3	89	<0.5	1.1	14.2	9	10	54.5	7.7	82	1070
136 X3	297	0.5	1.6	28	<0.5	1.4	5.1	98	4	76.8	9.8	58	317
133 X1	1135	<0.5	1	6	<0.5	0.4	1.2	371	3	28.4	2.4	116	99.3
239 X3	973	0.9	0.9	18	<0.5	0.4	3.5	170	3	28.8	3	67	246
239 X4	807	0.9	0.9	12	<0.5	0.4	2.4	237	4	25.9	2.5	112	202
125 X 4	1485	<0.5	0.9	3	<0.5	0.4	0.5	345	4	25.4	2.2	112	56.7
125 X 3	237	<0.5	1	6	<0.5	0.4	1.2	571	4	25.9	2.4	196	68.5
127 X1	1010	<0.5	0.9	4	<0.5	0.4	1.1	349	3	26.5	2.2	90	84.7
239 X5	255	1.7	0.8	28	<0.5	0.5	5.4	21	5	27.6	3.3	51	378
125 X 2	1260	0.6	0.7	5	<0.5	0.3	0.8	108	4	22.6	2	35	114.5
PG1	545	0.7	0.8	14	<0.5	0.5	5.8	128	4	29	3.2	122	189
238 X1	880	0.8	0.7	11	<0.5	0.3	2.5	97	6	20.9	2.1	69	189.5
127 X2	707	2	0.8	4	<0.5	0.4	1.1	258	2	23.6	2.3	88	159
54 X1	648	<0.5	0.7	6	<0.5	0.3	1.4	245	2	21	2.1	118	89.2
44 X1	415	<0.5	0.6	5	<0.5	0.3	1.2	482	3	19.5	1.8	90	63.6
127 X3	576	1.6	0.7	5	<0.5	0.3	0.9	214	2	19	1.7	65	134.5
125 X 5	128	<0.5	0.5	1	<0.5	0.2	<0.5	594	3	13.2	1.1	94	35.6
136 X2	101.5	<0.5	0.2	53	<0.5	0.1	17.9	31	4	5.3	0.6	72	719
230 X3	67.9	<0.5	0.3	6	<0.5	0.1	2.8	49	10	8.4	0.8	19	110.5
161 X1	323	<0.5	0.4	2	<0.5	0.3	0.9	393	2	18.3	1.7	43	90.9
46 X1	660	<0.5	0.2	3	<0.5	0.1	1	30	2	5.9	0.5	20	47
133 X3	244	1.3	0.2	44	<0.5	0.1	18.2	24	3	6.8	0.8	150	1010
133 X2	100	1.3	<0.1	26	<0.5	<0.1	11	6	2	1.1	0.2	158	602



۵-۲-۲-۵- مطالعات پتروگرافی بر روی نمونه‌های سنگی

توده‌های نفوذی نفلین سینیت

نفلین سینیت از نظر بافت گرانولارو درشت بلور می‌باشد این واحد حاوی کانی‌های فلدسبات آلکالن، پلازیوکلاز، آمفیبول و کانی‌های فرعی می‌باشد، (شکل ۱-۵).

فلدسبات آلکالن اور توپرینیت است که تقریباً ۵۰٪ کل سنگ را شامل می‌شود. تا حدودی به کائولینیت تجزیه شده‌اند. اندازه بلورهای اورتوز تا یک سانتی‌متر نیز می‌رسد و گاهی دارای ماکل کالدسباد می‌باشد.

پلازیوکلاز در حد الیگوکلاز است بیشتر به صورت پرتیت در اورتوز می‌باشد ولی گاهی نیز به صورت بلورهای شکل‌دار عمود بر هم زاویه خاموشی ۸ تا ۱۰ درجه آن را از آمفیبول مشخص می‌سازد. پلوئوکروئیسم شدید سبز تا قهوه ای دارد ازیرین اطراف پیروکسن را احاطه کرده ولی مرز آنها مشخص است و در بعضی جاها به نظر می‌آید که دور بیوتیت را احاطه کرده باشد این نشان می‌دهد در مراحل آخر تفرقی ماگماتی تبلور شده‌اند.

آمفیبول نوع هورنبلند است که در نور معمولی سبز تا قهوه ای است پلوکروئیسم آن قوی است و دور پیروکسن و بیوتیت را نیز فراگرفته و حد آنها نیز مشخص است. زاویه خاموشی آن ۱۸ تا ۲۰ درجه و رخهای لوزی در آن به خوبی دیده می‌شود. این آمفیبول در اثر واکنش اورتوز با بیوتیت به صورت پویکلیتیک تشکیل شده است.

از کانی‌های فرعی و مهم این توده می‌توان آپاتیت را نام برد به صورت الکوزیون داخل بیوتیت و پیروکسن مقدار آن حدود ۱ درصد کل سنگ است. به صورت مقاطع منشوری و هشت وجهی دیده می‌شود. زیرکن به مقدار کم در مقاطع دیده شده این کانی اغلب داخل بلورهای بیوتیت تشکیل شده است. کانی اپک در این سنگ مگنتیت می‌باشد که ۶٪ کل سنگ را در بر می‌گیرد.

مشاهدات میکروسکوپی بیانگر این مطلب است که گاهی در نفلین سینیتها جزء پلازیوکلاز پرتیت به گارتنت گروسوئر تبدیل می‌شود.

در سنگهای نفلین سینیتی حجم عمدۀ سنگ را فلدسباتها تشکیل می‌دهد. تبلور در سنگهای سینیتی با رشد توأم فلدباتهای سدیک و پتاسیک آغاز شده و به مجموعه‌ای از کانیهای تأخیری نظیر گارتنت به ازیرین اوژیت اسفن می‌انجامد این مجموعه به طور مشخص پس از تبلور آنها به وجود آمده‌اند.

نفلین-الیوین گابریو

پیروکسن از نوع اوزیت با زاویه خاموشی ۳۵ درجه و پلنوکروئیسم زرد کمرنگ تا سبز کمرنگ می‌باشد. به صورت فتوکربسته‌ای به قطر ۵ میلی‌متر نیز دیده می‌شود که در داخل آن انکلوزیونهای آپاتیت و بیوتیت و زیرکن دیده



اکتشاف: رئو شیمیانی عناصر کمیاب در محدوده شهرستان کلیبر و سراب

می‌شود. مقدار آن حدود ۱۰ درصد کل سنگ است گاهی اطراف آن مجموعه‌های ریز کوارتز و بیوتیت و فلدسپات احاطه کرده است.

بیوتیت به صورت بلورهای ریز همراه پیروکسن و فلدسپات فضای بین فنوکریستها را پر کرده و یا همراه پیروکسن و آپاتیت مجموعه‌های دایره‌ای شکل تشکیل داده است. بیشتر از نوع سبز رنگ می‌باشد مقدار آن ۵ درصد کل سنگ می‌باشد. الیوین به مقدار خیلی کم شکل گرفته و اطراف آن را پیروکسن و بیوتیت احاطه کرده است. فلدسپات آلکالن اورتوز پریتی است و احتمالاً در ارتباط با نفوذ رگه‌های هیدرولترمال می‌باشد.

ولکانیک‌های آندزیت پورفیری

این واحد سنگی در زیر میکروسکوب بافت میکرولیتیک پورفیری دارد و کانی‌های آن عبارتند از پلازیوکلاز که هم به صورت قتوکریست و هم در زمینه دیده می‌شود غالباً تجزیه شده و در حد آندزین می‌باشد. فلدسپات آلکالن خیلی کم و فقط در زمینه میکرولیتیک دیده می‌شود.

هیکروسوینیت

این واحد اغلب بخش حاشیه‌ای نفلین سینیت بزقوش را شکل می‌دهد. ولی چون در دو زمان متفاوت سرد شده حالت میکروگرانولار پورفیری به خود گرفته و همچنین با نفوذ رگه‌های میکروگرانیتی در این قسمت در برخی جاهای کوارتز سینیتی به نظر می‌رسد.

فلدسپات آلکالن اورتوز پریتی است که به صورت فنوکریست در متن ریز بلور قرار گرفته فنوکریستهای اورتوز شدیداً پریتی شده‌اند پلازیوکلاز در متن ریز بلور همراه اورتوز دیده می‌شود خیلی تازه است و ماکل آلتیت نیز گاهی در آن دیده می‌شود.

پیروکسن در متن ریز بلور دیده می‌شود دارای خاموشی موجی زاویه خاموشی ۳۰ درجه است (اوژیت) بیوتیت به مقدار کم در متن ریز بلور همراه با پیروکسن دیده می‌شود.

رگه‌های میکروگرانیت

پلازیوکلاز در حد آلتیت می‌باشد که بیشتر به صورت بلورهای درشت حدود ۸ سانتیمتر با ماکل آلتیت و کارنیسیاد دیده می‌شود این بلور ۴۰ درصد کل سنگ را تشکیل می‌دهد. در داخل آن تجمعات ریز بلور پیروکسن و بیوتیت و کوارتز دیده می‌شود. این تجمعات که اورتوز و پلازیوکلاز نیز همراه دارند به نظر می‌آید با رگه‌های



اکتشاف ژئوشیمیانی عناصر کسیاب در محدوده شهرستان کلیبر و سراب

میکروگرانیتی کلریزه و اپیدوتیزه شده‌اند کانی‌های فرعی آن اکسید آهن می‌باشد نام سنگ براساس کانی‌های موجود آندزیت پورفیری می‌باشد.

نفلین سینیت کلیبر

بخش اصلی توده نفوذی نفلین سینیت کلیبر درشت بلور و لوکوکرات تا فروکرات می‌باشد و معمولاً به صورت قطعات بزرگ تخریب حاصل شده است فتوکریست‌های فلدسپات و کانی‌های تیره (کانی‌های فرومینزین و گرون‌نا) همراه با بلورهای صورتی رنگ نفلین در آن با چشم غیر مسلح دیده می‌شود. در رگه‌های پگماتیتی در شمال غرب توده نفوذی نفلین‌های به درشتی ۵ سانتی‌متر نیز دیده می‌شود که شدیداً آلتره شده‌اند.

بخش جنوبی توده نفوذی با رخساره گابروئی تا دیوریتی و دانه درشت و رنگ خاکستری تیره می‌باشد که در قسمت جنوبی توده نفلین سینیت گسترش دارد و در برخی جاها لایه لایه است و غنی از پیروکسن و آمفیبول می‌باشد. این قسمت شاید بخش حاشیه‌ای بازیک توده نفوذی باشد.

در بخش حاشیه جنوب غربی که رخساره مختلفی با حاشیه دیوریتی دارد و در نزدیکی دهکده حیران علیا دیده می‌شود و بخش عظم آن از بیوتیت تشکیل شده است.

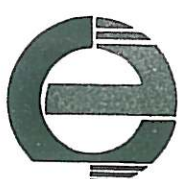
توده‌های میکروسینیتی جنوب شرق توده اصلی حاوی فلدسپات پاتاسیک و کانی‌های فرومینزین به خصوص کانی‌های درشت بیوتیت می‌باشد نفلین در آنها دیده نمی‌شود.

در مقاطع میکروسکوپی فلدسپات آلکالن اورتوزیریتی است که کم و بیش کائولینیتیزه شده است و حدود ۴۵ درصد کل سنگ را شامل می‌شود. پلازیوکلاز یا ترکیب آندزین تا اولیگوکلاز احاطه شده است. پلازیوکلاز بوسیله بلورهای اورتوز احاطه شده‌اند. مقدار پلازیوکلاز ۲۵ درصد کل سنگ است نفلین به صورت شکل دار و بی‌شکل فضای خالی بین فلدسپات‌ها را پر کرده و به صورت انلکوزیون در آنها دیده می‌شود که به کانکرلینیت و ایلیت تجزیه شده است مقدار آن ۱۰ درصد کل سنگ است.

بلورهایی با ماکل کاذب شیه وسیت که احتمالاً آنالسیم‌های سودومورف لوسیت می‌باشد نیز در سنگ دیده می‌شود. پیروکسن اوژیت بیرنگ با زاویه خاموشی ۴۰ درجه به وسیله اثرین ذرات سبز رنگ با زاویه خاموشی حدود ۵۵ درجه و پلئوکروئیسم سبز رنگ احاطه شده و مقدار آن حدود ۸ درصد کل سنگ است.

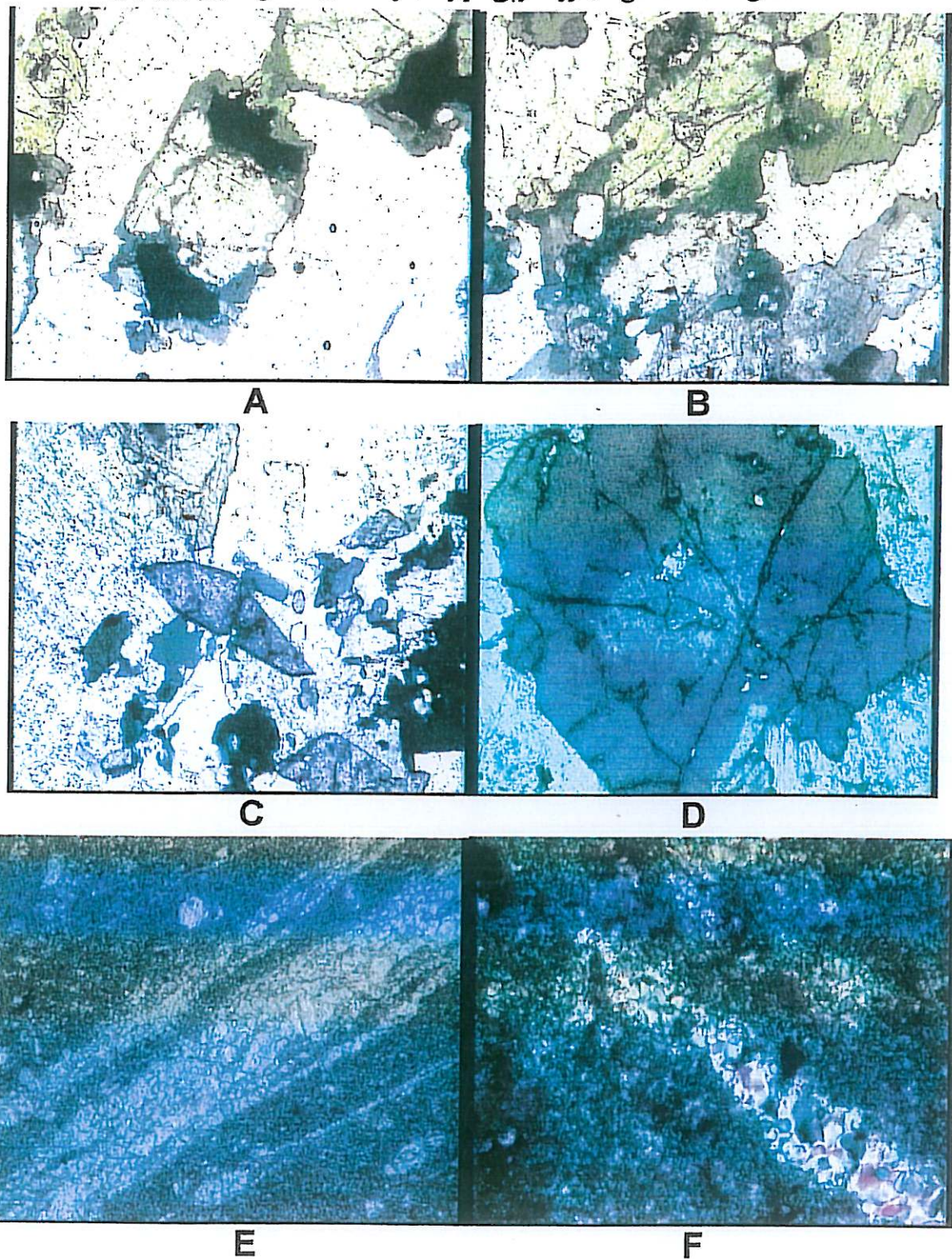
آمفیبول سبز رنگ باریخهای لوزی و زاویه خاموشی ۲۵ درجه که هر اوژیت را احاطه کرده است و مقدار آن حدود ۵ درصد کل سنگ است.

از کانی‌های فرعی که به‌وقور در آن یافت می‌شوند آپاتیت و گرونای ملاستیت ایزوتروپ می‌باشد.

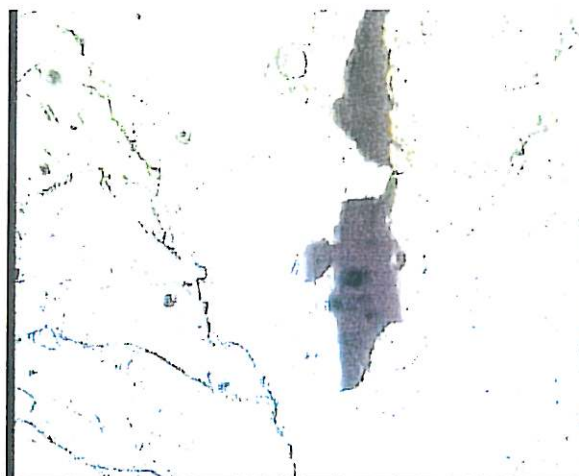


اکتشاف ژئوشیمیائی عناصر کمیاب در محدوده شهرستان کلیبر و سراب

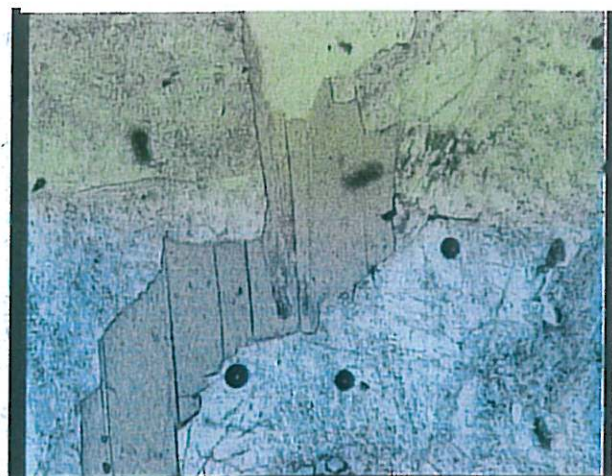
شکل ۱-۵ : مقاطع میکروسکوپی مربوط به واحدهای سنگی کلیبر و بزقوش



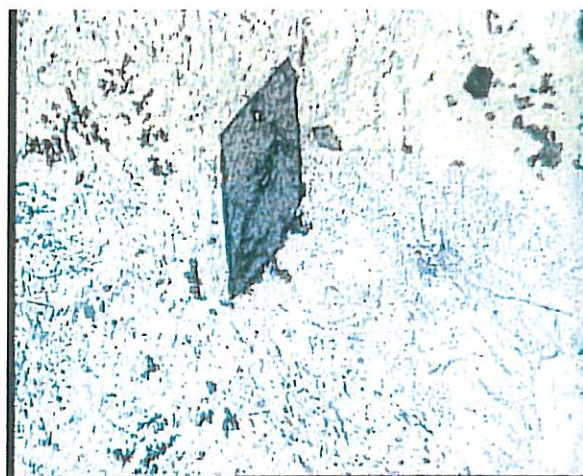
اکتشاف ژئوشیمیائی عناصر کمیاب در محدوده شهرستان کلیبر و سراب



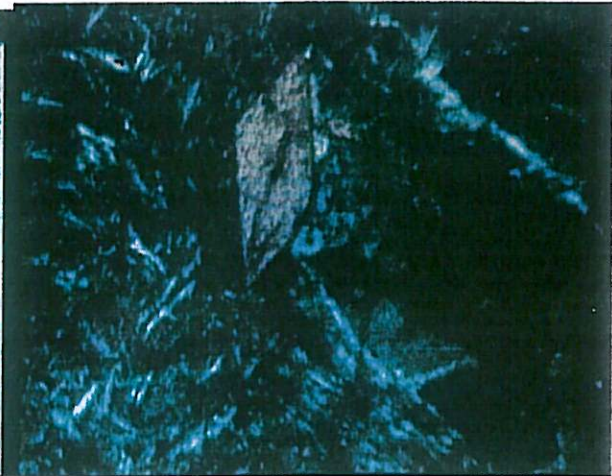
G



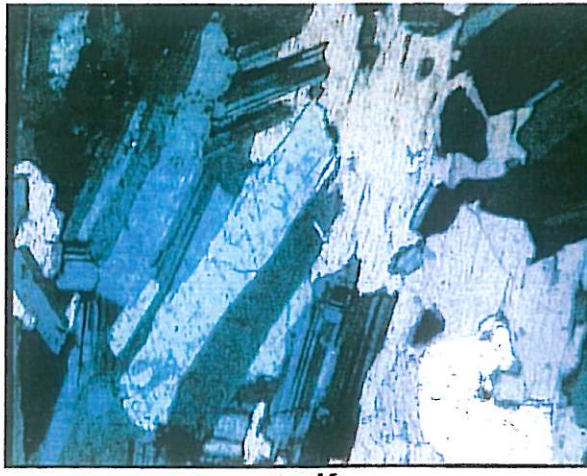
H



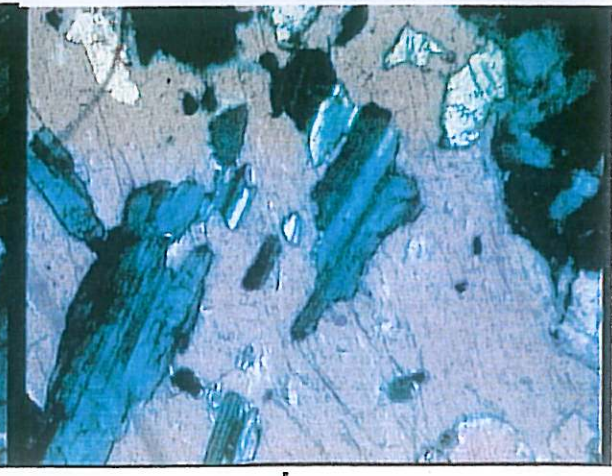
I



J



K

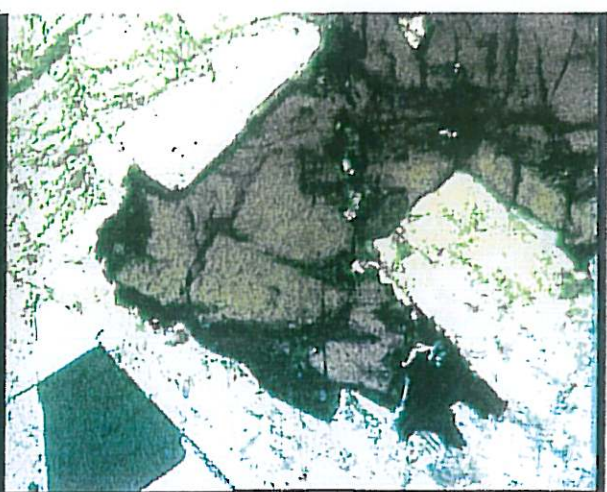


L

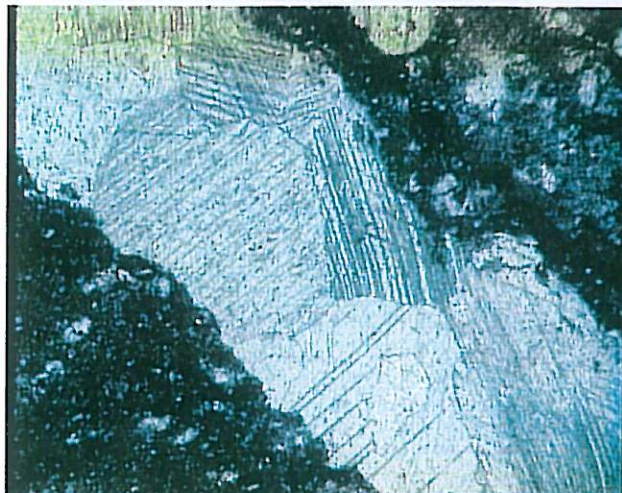
اکتشاف ژئوشیمیائی عناصر کمیاب در محدوده شهرستان کلیبر و سراب



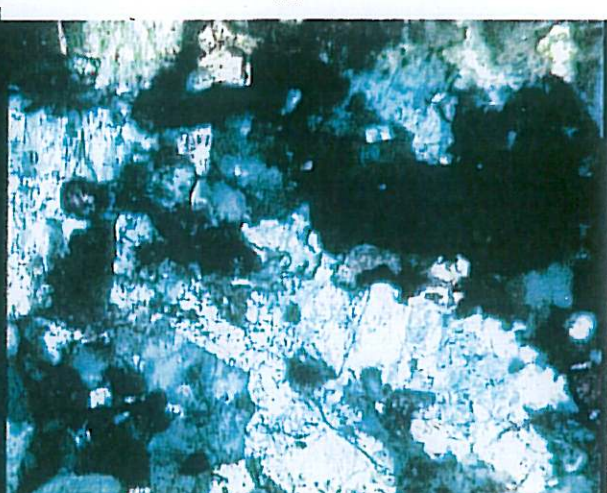
M



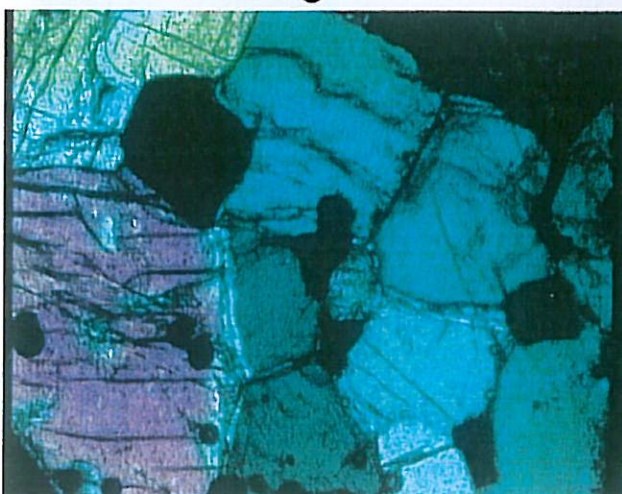
N



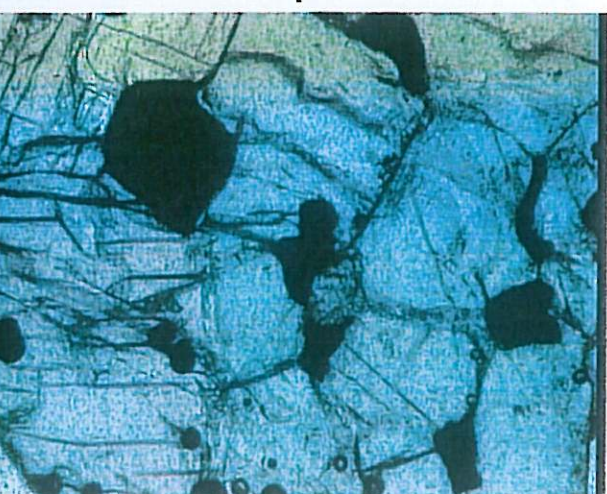
O



P

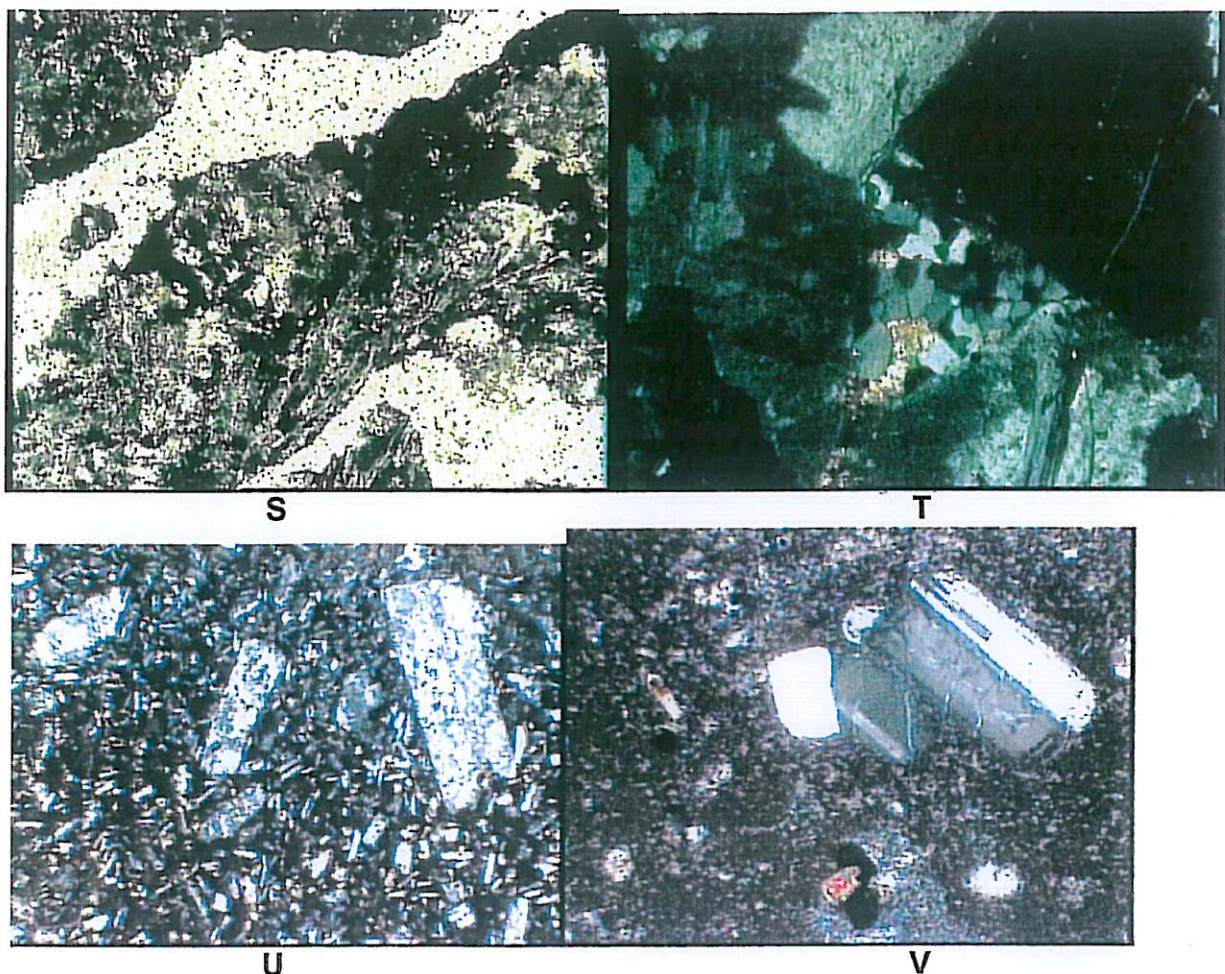


Q



R

اکتشاف رئوشیمیائی عناصر کمیاب در محدوده شهرستان کلیبر و سراب



A,B - تبدیل پیروکسن به ازیرین و آمفیبول از حاشیه در نمونه‌های سینیت در اثر متاسوماتیسم

C - شکل گیری اسفن (تیتانیت) در اثر متاسوماتیسم قلیایی در واحد میکروسینیت بزقوش

D - زونینگ در بلورهای گارنت واحدهای نفلین سینیت

E - آهک مرمری شده در مجاورت توده نفوذی نفلین سینیت کلیبر

F - تبلور کوارتز در توده‌های هورنفلس مجاور نفلین سینیت کلیبر

G,H - بلورهای زیرکن باهاله رادیوакتیو داخل بیوتیت در نفلین سینیت

I,J - بلورهای اسفن لوزی شکل در نفلین سینیت

K,L - بافت انترسراال (پلازیوکلاز داخل پیروکسن) در واحد نفلین گابرو

M,N - گارنت ایجاد شده در اثر متاسوماتیسم قلیایی در توده نفلین سینیت

O - تبلور کلسیت در آهکهای مرمری

P - بلورهای نفلین در واحد نفلین سینیت بزقوش

اکتشاف روشیمیائی عناصر کمیاب در محدوده شهرستان کلیبر و سراب

- Q,R - اولیوین در واحد اولیوین گابر و
- S - فلزسپات آلتره شده در واحد نفلین سینیت
- T - بلورهای کوارتز در واحدهای آپلیتی
- V,U - بافت میکرولیتی در سنگهای آندزیتی و تراکی آندزیتی

۵-۳-آنالیز کنسانتره نمونه‌های کانی سنگین

با توجه مطالعه نمونه‌های کانی سنگین بالا بودن کانی‌های فرعی و کمیاب آپاتیت- زیرکن و مونازیت و اسفن پیشنهاد می‌شود کنسانتره نمونه‌های کانی سنگین حاوی کانی‌های عناصر کمیاب از قبیل آپاتیت- زیرکن و مونازیت شخصوص جزء NM نمونه‌های کانی سنگین جهت آنالیز عناصر کمیاب به آزمایشگاه ارسال شود. بنابراین کنسانتره تعداد ۲۰ نمونه کانی سنگین جهت آنالیز عناصر کمیاب به آزمایشگاه ارسال شد نتایج آنالیز این نمونه‌ها در جدول زیر آورده شده است.

با توجه به نتایج آنالیز کنسانتره نمونه‌های کانی سنگین می‌توان نتیجه مقادیر عناصر نادر خاکی و عناصر کمیاب دیگر تا ۱۰ برابر مقادیر عناصر مذکور در نمونه‌های مینرالیزه برداشت شده از توده‌های تفوذی افزایش یافته است.



اکتشاف ژئوشیمیائی عناصر کمیاب در محدوده شهرستان کلیبر و سراب

نتایج آنالیز کنسانتره (بخش NM) نمونه کانی سنگین

SAMPLE DESCRIPTION	Ag ppm	Ba ppm	Ce ppm	Co ppm	Cr ppm	Cs ppm	Cu ppm	Dy ppm	Er ppm	Eu ppm	Ga ppm	Gd ppm	Hf ppm	Ho ppm
8-NM	<1	100	167.5	23.6	20	1	43	9.9	5.3	3.7	23	15.2	6	1.8
37-NM	<1	74.7	647	21.3	320	0.4	22	53.5	33.4	12.4	27	63.8	48	10.8
45-NM	<1	83.8	1055	37.3	140	3.7	33	62.1	32.2	20.9	30	94.1	31	11.1
46-NM	<1	135.5	284	65.2	400	3.3	130	18	10.2	5.3	25	25.6	4	3.4
49-NM	<1	60.1	218	28.5	30	0.7	61	14.5	8.8	4.2	27	20.1	7	2.8
51-NM	<1	76.9	785	32.8	130	0.4	12	52.8	29.9	17.1	31	75	47	9.9
54-NM	<1	113.5	1070	30.2	280	0.9	25	71.6	41.2	21.8	30	102	64	13.6
59-NM	<1	33.1	749	30.5	5150	0.2	6	60.2	36.5	17.4	30	78.7	59	11.6
122-NM	<1	114	106	51.6	140	0.4	47	11.8	6.6	3.6	14	14.7	11	2.2
125-NM	<1	94.3	81.4	37.6	170	0.2	37	10.5	5.8	3	12	12.9	8	1.9
131-NM	<1	66	565	42.6	530	0.8	53	42.9	28.4	11.2	22	53.8	237	8.7
132-NM	<1	65.3	411	39.9	130	0.7	40	26.5	14.9	8.7	24	38.8	11	4.9
133-NM	<1	111.5	429	39.4	330	1	43	33.4	20.4	9	19	43.4	78	6.5
180-NM	<1	82.5	90.5	40.5	150	0.2	43	10.7	5.9	3	12	13.4	9	2
218-NM	<1	66	824	26.5	70	0.8	44	51.8	31.7	5	17	72.4	2	10.2
219-NM	<1	51.7	396	36.3	130	0.3	38	31.4	19.8	3.6	11	40.4	1	6.3
220-NM	<1	84.3	564	25.8	120	0.9	45	38.6	22.8	3.7	16	51.4	3	7.4
221-NM	<1	114	364	36.7	150	0.5	43	28.4	18.2	3.4	12	35.9	1	5.6
230-NM	<1	43.3	477	23.1	90	0.6	108	36.6	22.6	4	17	47.1	2	7.2
240-NM	<1	94.8	893	20.9	50	1.9	47	54.9	35.7	5.5	23	74.9	3	11



اکتشاف ژئوشیمیائی عناصر کمیاب در محدوده شهرستان کلیبر و سراب

ادامه نتایج آنالیز کنسانتره (بخش NM) نمونه کانی سنگین

SAMPLE DESCRIPTION	La ppm	Lu ppm	Mo ppm	Nb ppm	Nd ppm	Ni ppm	Pb ppm	Pr ppm	Rb ppm	Sm ppm	Sn ppm	Sr ppm	Ta ppm	Tb ppm
8-NM	75.9	0.5	3	18	84.1	5	20	20.4	16.5	16.8	<1	139.5	0.6	2
37-NM	294	4.5	10	118	318	18	13	80	8.4	65.5	8	564	8.1	9.4
45-NM	417	3	3	289	557	38	42	139.5	35.9	106.5	9	283	19.8	12.6
46-NM	136	1.2	6	48	141	34	38	35.5	25.2	27.4	3	274	3.1	3.4
49-NM	100.5	1.3	5	18	109	5	12	27	12.8	21.5	1	127.5	<0.5	2.7
51-NM	354	3.7	2	192	400	13	8	99.4	21.3	80.1	8	154	12.3	10.2
54-NM	466	5.2	10	233	548	29	17	136.5	23.3	109.5	10	312	16	14
59-NM	350	5.3	2	162	397	22	<5	96.3	13.5	82.5	9	86.1	10.5	11.1
122-NM	43.9	0.8	3	25	63.5	24	26	14.6	6.3	14.6	1	216	1.6	2.1
125-NM	35.5	0.7	3	4	52.8	23	20	11.6	7.1	12.8	6	241	<0.5	1.9
131-NM	266	5.2	9	104	273	23	45	68.2	13.2	56.6	27	221	6.9	7.7
132-NM	200	1.8	4	75	201	19	38	49.6	11.8	40.9	4	235	5.7	5.2
133-NM	205	3.1	6	55	212	24	32	52.7	18.7	43.5	4	282	3.9	6.1
180-NM	40.5	0.7	2	5	56.8	21	22	12.4	5.6	13	3	219	<0.5	1.9
218-NM	364	4.2	10	31	407	16	17	101.5	13.9	76.1	2	178.5	3	9.7
219-NM	178	3.1	4	24	210	25	38	50.8	8	41.3	1	118.5	1.7	5.6
220-NM	246	3.1	7	35	288	18	10	70.7	17.6	54.5	3	164.5	2.6	7.1
221-NM	164	3	5	29	191	25	10	46.5	13.8	37.6	2	145	1.8	5.1
230-NM	205	3.4	7	44	253	17	9	61.9	11.4	49.7	3	146.5	2.9	6.7
240-NM	396	5.2	14	17	426	15	23	108.5	27.1	78.5	5	210	1.5	10.2



اکتشاف زئوژیمیائی عناصر کمیاب در محدوده شهرستان کلیبر و سراب

ادامه نتایج آنالیز کنسانتره (بخش NM) نمونه کانی سنگین

SAMPLE DESCRIPTION	Th ppm	Tl ppm	Tm ppm	U ppm	V ppm	W ppm	Y ppm	Yb ppm	Zn ppm	Zr ppm
8-NM	14	<0.5	0.6	5.1	354	8	50.2	4.3	384	200
37-NM	60	<0.5	4.6	21.6	979	6	298	32.1	297	1845
45-NM	41	<0.5	3.8	10.2	778	5	299	23.6	303	901
46-NM	33	<0.5	1.3	13.9	941	7	94.9	8.9	413	258
49-NM	29	<0.5	1.2	10.9	609	18	78.7	8.7	372	430
51-NM	82	<0.5	3.9	38.5	903	6	271	26.5	319	1840
54-NM	94	<0.5	5.6	37.5	872	10	371	37.1	222	2790
59-NM	90	<0.5	5.2	48.8	987	6	332	35.8	327	2440
122-NM	18	<0.5	0.8	3.2	452	6	59.4	5.7	94	379
125-NM	9	<0.5	0.7	2.7	351	3	52.9	5.2	80	260
131-NM	159	<0.5	4.3	84.9	975	25	246	32.1	206	>10000
132-NM	78	<0.5	1.9	37.7	977	15	136	13.2	250	561
133-NM	112	<0.5	2.8	62.5	731	20	179.5	20.6	158	3820
180-NM	16	<0.5	0.7	3.5	404	7	54.9	5.3	81	307
218-NM	78	<0.5	4.2	32.1	445	15	282	28.9	177	83.2
219-NM	32	<0.5	2.8	17.3	408	7	171	20.1	176	52
220-NM	23	<0.5	3	8.7	372	11	206	20.8	162	93.4
221-NM	37	<0.5	2.6	20.6	461	8	158	19.2	176	63.6
230-NM	29	<0.5	3.1	14.6	408	8	199	22.3	144	69
240-NM	101	<0.5	5	54.9	580	17	309	34.5	196	1425



اکتشاف ژئوشیمیائی عناصر کمیاب در محدوده شهرستان کلیبر و سراب

بخش ششم: پخت، نتیجه‌گیری و پیشنهادات

عملیات اکتشافی در مقیاس ناحیه‌ای برای کشف کانی‌سازی عناصر کمیاب همراه با توده‌های آذرین تغیرات مختلفی را پشت سر گذاشته است. وسائل و راههای ویژه‌ای برای این هدف در زمانهای مختلف طراحی شده و سپس مردود شده‌اند. این واقعیت در حال حاضر پذیرفته شده است که انحراف معیار بالا و چولگی مثبت قوی در توزیع عناصر کمیاب (Trace) مشخص کننده توده‌های آذرین عقیم از بارور از اهمیت بیشتری برخوردار است به عنوان یک قاعده کلی می‌توان گفت که در بین دو قطب فرآیند ماگمایی و هیدروترمال هرچه فرآیند کانی‌سازی به قطب ماگمایی نزدیک می‌شود. تشخیص توزیع لاغ نرمال عناصر آسانتر می‌گردد.

با توجه به نتایج آنالیز نمونه‌های ژئوشیمیایی، نمونه‌های سنگی، مطالعه نمونه‌های کانی سنگین و آنالیز عناصر کمیاب در کنسانتره نمونه‌های کانی سنگین نتایج زیر بدست می‌آید:

۱- با توجه به نمونه‌های فراوانی و تجمعی داده‌های خام نمونه‌های ژئوشیمیایی می‌توان نتیجه گرفت که عناصر کمیاب ذاتاً در منطقه خاصیت نرمال داشته، انحراف معیار پایین و چولگی ضعیفی از خود نشان می‌دهد در نتیجه مقادیر غیر عادی که بتوان آن را بعنوان آنومال معرفی کرد مشاهده نمی‌شود.

۲- عناصر کمیاب در منطقه مورد مطالعه به شکل منظمی با یکدیگر همبستگی نشان می‌دهند. این همبستگی در میان عناصر نادر خاکی به بالاترین مقدار می‌رسد. همبستگی عناصر HFSE با یکدیگر و عناصر LILE به مقدار کمتری با یکدیگر مشاهده می‌شود. همبستگی این عناصر در نمونه‌های همبستگی اسپرمن و پرسون، آنالیز خوش‌های و آنالیز فاکتوری قابل تأیید است.

۳- با توجه به نقشه پراکنش نمونه‌های ژئوشیمیایی می‌توان دریافت که عیار عناصر کمیاب بدون استثنای در محدوده توده‌های نفوذی نفلین سینیت، نفلین گابرو و توده‌های نفوذی دیگر نسبت به واحدهای اطراف بالاتر می‌باشد.

۴- با توجه به نتایج مطالعه نمونه‌های کانی سنگین و مقاطع میکوسکوپی می‌توان نتیجه گرفت که کانی‌های عناصر کمیاب مهم شامل آپاتیت، مونازیت، اسفن، زیرکن می‌باشد. این کانی‌ها در بخش NM نمونه‌های کانی سنگین متصرک شده است. مقدار این کانی‌ها در توده‌های نفلین سینیت کلیبر و بزقوش قابل توجه می‌باشد اما توجیه اقتصادی چندانی ندارد.

۵- نتایج آنالیز بخش NM نمونه‌های کانی سنگین نشانگر عیار بالای عناصر کمیاب نسبت به نمونه‌های سنگی و نمونه‌های ژئوشیمیایی می‌باشد. عیار عناصر کمیاب در این نمونه‌ها تا ۱۰ برابر افزایش یافته است.



اکتشاف ژئوشیمیائی عناصر کمیاب در محدوده شهرستان کلیبر و سراب

۶- با مقایسه عیار عناصر نادر خاکی در کنسانتره نمونه‌های کانی سنگین منطقه مورد مطالعه با کانسار آپاتیت بافق می‌توان نتیجه گرفت استحصال عناصر کمیاب با فرآوری کانی‌های عناصر کمیاب می‌تواند تا حدی توجیه اقتصادی داشته باشد. اما نیاز به مطالعات بیشتری دارد.

نوع عنصر	متوجه عیار در بخش NM نمونه‌های کانی سنگین (ppm)	ماکزیمم عیار در بخش NM نمونه‌های کانی سنگین (ppm)	کانسار آپاتیت بافق (ppm)
Ce	508.82	1070	2149
Cs	0.945	--	--
Dy	36.005	--	--
Er	21.515	--	--
Eu	8.325	--	--
Ga	21.1	--	--
Gd	48.68	--	--
Hf	31.6	--	--
Ho	6.945	--	--
La	226.865	466	834
Lu	2.95	--	--
Nb	76.3	--	--
Nd	259.41	557	325
Pr	64.18	--	--
Rb	15.57	--	--
Sm	51.445	--	--
Sr	215.855	--	--
Ta	6	--	--
Tb	6.735	--	--
Th	56.75	--	--
Tm	2.905	--	--
V	649.35	--	--
Y	192.425	371	1000
Yb	20.245	--	--
Zr	870.2473684	--	--

۷- با توجه به کل نتایج حاصل از نقشه‌های پراکنش و ژئوشیمیایی مناطق دارای پتانسیل بالای عناصر کمیاب نسبت به سایر مناطق به شرح زیر می‌باشد:

- در منطقه بزقوش بخش جنوبی روستای جقر حوضه بالا دست نمونه‌های 218 و 221

- در منطقه کلیبر حوالی و بخش شمال روستای پیغان و ولدران و غرب روستای زاویه حوضه بالا دست نمونه‌های 45، 54، 131 و 133



منابع

۱. باباخانی، ع. ۱۳۶۰: بررسی نفلین سینیتهاي شمال آذربایجان، پایان نامه کارشناسی ارشد، دانشگاه علوم، دانشگاه تهران.
۲. حاجی علیلو، بهزاد: متالوژنی و اکتشاف فلزات خاص عناصر نادر و نادرخاکی، دانشگاه شهید بهشتی، سمینار دوره دکتری.
۳. حسنی پاک، ع. ا. ۱۳۷۰: اصول اکتشاف ژئوشیمیائی (مواد معدنی)، انتشارات دانشگاه تهران.
۴. شهاب پور، جمشید، ۱۳۸۰: زمین‌شناسی اقتصادی، انتشارات دانشگاه شهید باهنر کرمان.
۵. فصلنامه علمی، فنی و خبری شماره ۶۳، صفحه ۳۶-۴۰، پائیز ۱۳۷۷.
۶. فصلنامه علمی و فنی معادن و فلزات شماره ۵۸-۵۹، صفحه ۲۸-۳۱.
۷. کریمپور، محمدحسن: کاتیها و سنتگهای صنعتی، ۱۳۷۸.
۸. لطفی، م. ۱۳۵۴: بررسی پترولولوژیکی نفلین سینیتهاي بزگوش، پایان نامه کارشناسی ارشد، دانشکده علوم، دانشگاه تهران.
۹. محمدی، مهران: بررسیهای ژئوشیمیائی ذخایر اخراهای آهن ایران از نظر احتمال وجود پتانسیل عناصر نادر خاکی، دانشگاه شهید بهشتی، پایان نامه کارشناسی ارشد.
۱۰. موذن، م. حاج علی اوغلی، رباب ۱۳۸۱: ترمومیارومتری سنتگهای دگرگونی و تعیین X_{CO_2} در هاله دگرگونی مجاورتی کلیر، ششمین گردهمائي علوم زمین انجمن زمین‌شناسی - کرمان.
۱۱. هنرور، م. ۱۳۸۲: بررسی واکنشهای واپسین دم تبلور در سینیتها و گرانیتهای قوشچی بیست و دومین گردهمائي علوم زمین سازمان زمین‌شناسی کشور.
۱۲. سبزه‌ئی، م. ۱۳۶۳: مطالعات زمین‌شناسی و سنتگ‌شناختی فعالیتهای ماگمایی (قلیائی-کربناتی) اواخر دوران چهارم، خاستگاه کواترنرهاي منطقه قلعه‌حسن راین، سازمان زمین‌شناسی کشور، مرکز کرمان.
13. Bas, M.J.L.E, Streckeisen, A.L. (1991): The IUGS Systematic of Igneous Rocks, Journal of the Geological Society, London. Vol. 148, pp. 825-833.
14. Castor, S.B; (Feb. 1991): Rare Earth Resources of America. Society of Mining Engineers of AIME.
15. Deer, W.A, Howie, R.A, Zussman, J. (1991): An Introduction to the Rock Forming Minerals. 528 p.



16. Evans, A.M. (1995): Introduction to Mineral Exploration, 395 p.
17. Jones, A, Wall, F, and Williams, C.T, 1996, RARE EARTH MINERALS, Chapman & Hall, 372 p.
18. Klein, C. Hurlbutt, C. S. (1985): MANUAL OF MINERALOGY. 596 p.
19. Knarchenko, S.M, Pokrovsky, B.G. (1995): THE TOMTOR ALKALINE ULTRABASIC MASSIF AND RELATED REE-Nb DEPOSITS, Northern Siberia. Eco. Geo., Vol. 90, pp. 676-689.
20. MINERAL COMMODITY SUMMARIES, 1998.
21. Mitchell, A.H.G. Garson, M.S. (1976): MINERALIZATION AT PLATE BOUNDARIES, Minerals, Sci. Eng. Vol. 8, No. 2.
22. Mitchell, A.H.G. Garson, M.S. (1981): MINERAL DEPOSITS AND GLOBAL TECTONIC SETTING, 405 p.
23. Pollard, P.J. (1995): A Special Issue Devoted to the Geology of Rare Metal Deposits, GEOLOGY OF RARE METAL DEPOSITS: An introduction and Overview, Eco. Geo. Vol. 90, No. 3.
24. Sawkins, F.J. (1984): METAL DEPOSITS IN RELATION TO PLATE TECTONICS, 323 p.
25. Smirnov, V.L. (1983): STUDIES OF MINERAL DEPOSITS, Mir Publishers, 286 p.
26. Tourre J.M (1999): RARE EARTH, RECENT MARKET TRENDS: Industrial Minerals January pp.37-48.
27. Wedpohl, H. et al, (1969): HANDBOOK OF GEOCHEMISTRY, Vol.1, Springer Verlag. Berlin.



اکتشاف ریوژنیکی عناصر کمیاب در محدوده شهرستان گلیبر و سراب

پیوست فصل اول

کانیهای دارای عناصر نادر خاکی



اکتشاف ژئوشیمیائی عناصر کمیاب در محدوده شهرستان کلیبر و سراب

بوراتها	
Braitschite-(Ce)	(Ca,Na) ₇ (Ce,La) ₂ B ₂₂ O ₄₃ ,7 H ₂ O
Moydite-(Y)	(Y,REE)[B(OH)]CO ₃
Peprossite-(Ce)	(Ce,La)Al ₂ B ₃ O ₉
کربناتها	
Ambatoarinite	Sr ₅ (La,Ce)(CO ₃) ₁₇ O ₃
Ancylite-(Ce)	SrCe(CO ₃) ₂ OH, H ₂ O
Baiyuneboite-(Ce)	NaBaCe ₂ (CO ₃) ₄ F
Bastnaesite-(Ce)	(Ce,La)(CO ₃)F
Bastnaesite-(La)	(La,Ce)(CO ₃)F
Bastnaesite-(Y)	(Y,Ce)(CO ₃)F
Burbankite	(Na,Ca) ₃ (Sr,Ba,Ce) ₃ (CO ₃) ₅
Calcio-ancynite	(Ca,Sr)Ce(CO ₃) ₂ OH,H ₂ O
Calcio-ancynite-(Nd)	(Nd,Ce) ₃ Ca(CO ₃) ₄ (OH) ₃ ,H ₂ O
Calkinsite-(Ce)	(Ce,La) ₂ (CO ₃) ₃ ,4 H ₂ O
Carbocernaita	(Ce,Na)(Sr,Ce,Ba)(CO ₃) ₂
Cebaite-(Ce)	Ba ₃ Ce ₂ (CO ₃) ₅ F ₂
Cordylite-(Ce)	Ba(Ce,La) ₂ (CO ₃) ₃ F ₂
Daqingshanite-(Ce)	(Sr,Ca,Ba) ₃ (Ce,La)PO ₄ (CO ₃) _{3-x} (OH,F)
Donnayite-(Y)	Sr ₃ NaCeY(CO ₃) ₆ ,3 H ₂ O
Ewaldite	Ba(Ca,Y,Na,K)(CO ₃) ₂
Gysinite-(Nd)	Pb(Nd,La)(CO ₃) ₂ (OH),H ₂ O
Huanghoite-(Ce)	BaCe(CO ₃) ₂ F
Hydroxylbastnaesite-(Ce)	(Ce,La)CO ₃ (OH,F)
Hydroxylbastnaesite-(La)	(La,Ce)CO ₃ (OH,F)
Hydroxylbastnaesite-(Nd)	(Nd,La,Ce)CO ₃ (OH,F)
Khanneshite	(Na,Ca) ₃ (Ba,Sr,Ce,Ca) ₃ (CO ₃) ₅
Kimuraite-(Y)	CaY ₂ (CO ₃) ₄ ,H ₂ O
Lanthanite-(Ce)	(Ce,La) ₂ (CO ₃) ₃ ,8 H ₂ O
Lanthanite-(La)	(La,Ce) ₂ (CO ₃) ₃ ,8 H ₂ O
Lanthanite-(Nd)	(Nd,Ce,La) ₂ (CO ₃) ₃ ,8 H ₂ O
Lokkaite-(Y)	CaY ₄ (CO ₃) ₇ ,9 H ₂ O
Mckelveyite-(Y)	Ba ₃ Na(Ca,U)Y(CO ₃) ₆ ,3 H ₂ O
Mineevite-(Y)	Na ₂₅ Ba(Y,Gd,Dy) ₂ (CO ₃) ₁₁ (HCO ₃) ₄ (SO ₄) ₂ F ₂ Cl
Parosite-(Ce)	Ca(Ce,La) ₂ (CO ₃) ₃ F ₂
Prisite-(Nd)	Ca(Nd,Ce,La) ₂ (CO ₃) ₃ F ₂
Remondite-(Ce)	Na ₃ (Ce,La,Ca,Na,Sr) ₃ (CO ₃) ₅
Rontgenite-(Ce)	Ca ₂ (Ce,La) ₃ (CO ₃) ₅ F ₃
Sahamalite-(Ce)	(Mg,Fe) ²⁺ (Ce,La,Nd) ₂ (CO ₃) ₄
Schuilingite-(Nd)	PbCu(Nd,Gd,Sm,Y)(CO ₃) ₃ OH,1.5 H ₂ O
Shomiokite-(Y)	Na ₃ Y(CO ₃) ₃ ,3 H ₂ O
Synchysite-(Ce)	Ca(Ce,La)(CO ₃) ₂ F
Synchysite-(Nd)	Ca(Nd,Y,Gd)(CO ₃) ₂ F
Synchysite-(Y)	Ca(Y,Ce)(CO ₃) ₂ F
Tengerite-(Y)	CaY ₃ (CO ₃) ₄ (OH) ₃ ,3 H ₂ O
Thorbastnaesite	Th(Ca,Ce)(CO ₃) ₂ F ₂ ,3 H ₂ O
Zhonghuacerite-(Ce)	Ba ₂ Ce(CO ₃) ₃ F
اکسیدها	
Aeschynite-(Ce)	(Ce,Ca,Fe,Th)(Ti,Nb) ₂ (O,OH) ₆
Aeschynite-(Nd)	(Nd,Ce,Ca,Th)(Ti,Nb) ₂ (O,OH) ₆
Aeschynite-(Y)	(Y,Ca,Fe,Th)(Ti,Nb) ₂ (O,OH) ₆
Brannerite	(U,Ca,Y,Ce)(Ti,Fe) ₂ O ₆



اکتشاف رئو شیمیائی عناصر کمیاب در محدوده شهرستان کلیبر و سراب

Calciobetafite	$(\text{Ca}, \text{REE}, \text{Th}, \text{U})_2(\text{Nb}, \text{Ta}, \text{Ti})_2\text{O}_7$
Calciosamarskite	Niobate of REE (Y), U, Fe, Ca and Th
Cerhomite	Borosilicate of Ca, Be, Fe, Th and REE
Cerianite-(Ce)	$(\text{Ce}^{+4}, \text{Th})\text{O}_2$
Ceriopyrochlore-(Ce)	$(\text{Ce}, \text{Ca}, \text{Y})_2(\text{Nb}, \text{Ta})_2\text{O}_6(\text{OH}, \text{F})$
Cerotungstite-(Ce)	$\text{CeW}_2\text{O}_6(\text{OH})_3$
Crichtonite	$(\text{Sr}, \text{La}, \text{Ce}, \text{Y})(\text{Ti}, \text{Fe}^{+3}, \text{Mn})_{21}\text{O}_{36}$
Davidite-(Ce)	$(\text{Ce}, \text{La})(\text{Y}, \text{U}, \text{Fe}^{+2})(\text{Ti}, \text{Fe}^{+3})_2, (\text{O}, \text{OH})_{38}$
Davidite-(La)	$(\text{La}, \text{Ce})(\text{Y}, \text{U}, \text{Fe}^{+2})(\text{Ti}, \text{Fe}^{+3})_2, (\text{O}, \text{OH})_{38}$
Dysanalyte	$(\text{Ca}, \text{Ce}, \text{Na})(\text{Ti}, \text{Nb}, \text{Ta})\text{O}_3$
Euxenite-(Y)	$(\text{Y}, \text{Ca}, \text{Ce}, \text{U}, \text{Th})(\text{Nb}, \text{Ta}, \text{Ti})_2\text{O}_6$
Fergusonite-(Ce)	$(\text{Ce}, \text{La}, \text{Nd})\text{NbO}_4$
Fergusonite-(Nd)	$(\text{Nd}, \text{Ce})\text{NbO}_4$
Fergusonite-(Y)	YNbO_4
Fergusonite-beta-(Ce)	$(\text{Ce}, \text{La}, \text{Nd})\text{NbO}_4$
Fergusonite-beta-(Nd)	$(\text{Nd}, \text{Ce})\text{NbO}_4$
Fergusonite-beta-(Y)	YNbO_4
Fersmite	$(\text{Ca}, \text{Ce}, \text{Na})(\text{Nb}, \text{Ta}, \text{Ti})_2(\text{O}, \text{OH}, \text{F})_6$
Formanite-(Y)	YTaO_4
Hibonite	$(\text{Ca}, \text{Ce})(\text{Al}, \text{Fe}, \text{Ti}, \text{Si}, \text{Mg})_{12}\text{O}_{19}$
Irinite	$(\text{Na}, \text{Ce}, \text{Th})_{1-x}(\text{Ti}, \text{Nb})(\text{O}, \text{OH})_3$
Ishikawaite	Near $(\text{U}, \text{Fe}, \text{Y}, \text{Ce})(\text{Nb}, \text{Ta})\text{O}_4$
Knopite	$(\text{Ca}, \text{Ti}, \text{Ce})_2\text{O}_3$
Kobeite-(Y)	$(\text{Y}, \text{U})(\text{Ti}, \text{Nb})_2(\text{O}, \text{OH})_6$
Lessingite	$\text{Ca}_2\text{Ce}_4\text{Si}_3\text{O}_{13}(\text{OH})_2$
Loparite-(Ce)	$(\text{Ce}, \text{La}, \text{Na}, \text{Ca}, \text{Sr})(\text{Ti}, \text{Nb})\text{O}_3$
Loranskite-(Y)	$(\text{Y}, \text{Ce}, \text{Ca})\text{ZrTaO}_6$
Loveringite	$(\text{Ca}, \text{Ce})(\text{Ti}, \text{Fe}^{+3}, \text{Cr}, \text{Mg})_{21}\text{O}_{38}$
Lucasite-(Ce)	$\text{CeTi}_2(\text{O}, \text{OH})_6$
Murataite	$(\text{Na}, \text{Y})_4(\text{Zn}, \text{Fe})_3(\text{Ti}, \text{Nb})_6\text{O}_{18}(\text{F}, \text{OH})_4$
Niobo-aeschynite-(Ce)	$(\text{Ce}, \text{Ca}, \text{Th})(\text{Nb}, \text{Ti})_2(\text{O}, \text{OH})_6$
Niobo-aeschynite-(Nd)	$(\text{Nd}, \text{Ce})(\text{Nb}, \text{Ti})_2(\text{O}, \text{OH})_6$
Pisekite	$(\text{Y}, \text{As}, \text{Ca}, \text{Fe}, \text{U})(\text{Nb}, \text{Ti}, \text{Ta})\text{O}_4$
Plumbopyrochlore	$(\text{Pb}, \text{Y}, \text{U}, \text{Ca})_{2-x}\text{Nb}_2\text{O}_6(\text{OH})$
Polycrase-(Y)	$(\text{Y}, \text{Ca}, \text{Ce}, \text{U}, \text{Th})(\text{Ti}, \text{Nb}, \text{Ta})_2\text{O}_6$
Polymignite	Zirconolite
Priorite	Aeschynite-(Y)
Risorite	$(\text{Y}, \text{Er})(\text{Nb}, \text{Ti}, \text{Ta})(\text{O}, \text{OH})_4$
Samarskite-(Y)	$(\text{Y}, \text{Ce}, \text{U}, \text{Fe}^{+3})_3(\text{Nb}, \text{Ta}, \text{Ti})_5\text{O}_{16}$
Scheteligit	$(\text{Ca}, \text{Fe}, \text{Mn}, \text{Sb}, \text{Bi}, \text{Y})_2(\text{Ti}, \text{Ta}, \text{Nb}, \text{W})_2(\text{O}, \text{OH})_7$
Tantalaeschynite-(Y)	$(\text{Y}, \text{Ce}, \text{Ca})(\text{Ta}, \text{Ti}, \text{Nb})_2\text{O}_6$
Tanteuxenite	$(\text{Y}, \text{Ce}, \text{Ca})(\text{Ta}, \text{Ti}, \text{Nb})_2(\text{O}, \text{OH})_6$
Uranmicrolite	$(\text{U}, \text{Ca}, \text{Ce})_2(\text{Ta}, \text{Nb})_2\text{O}_6(\text{OH}, \text{F})$
Uranopolycrase	$(\text{U}, \text{Y})(\text{Ti}, \text{Nb})_2\text{O}_6$
Uranopyrochlore	$(\text{U}, \text{Ca}, \text{Ce})_2(\text{Nb}, \text{Ta})_2\text{O}_6(\text{OH}, \text{F})$
Vigezzite	$(\text{Ca}, \text{Ce})(\text{Nb}, \text{Ta}, \text{Ti})_2\text{O}_6$
Yttrobetafite-(Y)	$(\text{Y}, \text{U}, \text{Ce})_2(\text{Ti}, \text{Nb}, \text{Ta})_2\text{O}_6\text{OH}$
Yttrocolumbite-(Y)	$(\text{Y}, \text{U}, \text{Fe}^{+2})(\text{Nb}, \text{Ta})\text{O}_4$
Ytrocrasite-(Y)	$(\text{Y}, \text{Th}, \text{Ca}, \text{U})(\text{Ti}, \text{Fe}^{+3})_2(\text{O}, \text{OH})_6$
Yttrotantalite-(Y)	$(\text{Y}, \text{Na}, \text{Ca}, \text{U})_{1-2}(\text{Nb}, \text{Ta}, \text{Ti})_2(\text{O}, \text{OH})_7$
Yttrotantalite-(Y)	$(\text{Y}, \text{U}, \text{Fe}^{+2})(\text{Ta}, \text{Nb})\text{O}_4$
Yttrotungstite-(Y)	$\text{YW}_2\text{O}_6(\text{OH})_3$
Zirconolite	$(\text{Ca}, \text{Th}, \text{U}, \text{REE})\text{Zr}(\text{Ti}, \text{Nb}, \text{Fe})_2\text{O}_7$
Zirkelite	$(\text{Ti}, \text{Ca}, \text{Zr})\text{O}_{2-x}$
نمکها	
Fluocerite-(Ce)	$(\text{Ce}, \text{La})\text{F}_3$



اکتشاف ذخیره شیمیایی عناصر کمیاب در محدوده شهرستان کلیبر و سراب

Fluocerite-(La)	$(La,Ce)F_3$
Gagarinite-(Y)	$NaCaY(F,Cl)_6$
Tveitite-(Y)	$Ca_{1-x}Y_xF_{2+x}$
Ytrocerite	$(Ca,Ce,Y,La)F_3, n H_2O$
Yttrifluorite	$(Ca,Y)F_{2-3}$
سیلیکاتها	
Agrellite	$Na(Ca,REE)_2Si_4O_{10}F$
Allanite-(Ce)	$(Ce,Ca,Y)_2(Al,Fe^{+3})_3(SiO_4)_3OH$
Allanite-(Y)	$(Y,Ce,Ca)_2(Al,Fe^{+3})_3(SiO_4)_3OH$
Alumoboritholite	$(Ca,Ce,Y)_3(Al,Fe)_2(Si,Al,P)_4I_3(F,O)$
Anderbergite	Hydrous silicate of Zr, Ca and REE
Ashcroftite-(Y)	$KNaCaY_2Si_6O_{12}(OH), 4 H_2O$
Beckelite	$Ca_3(Ce,La,Y)_4(Si,Zr)_3O_{15}$
Bilibinite	Hydrated silicate of U, Pb and REE
Bodenite	Aluminosilicate of Ca, Fe ⁺² and REE
Britholite-(Ce)	$(Ce,Ca)_5(SiO_4,PO_4)_3(OH,F)$
Britholite-(Y)	$(Y,Ca)_5(SiO_4,PO_4)_3(OH,F)$
Byelorussite-(Ce)	$NaMnBa_2Ce_2Ti_2Si_8O_{26}(F,OH), H_2O$
Calciogadolinite	$(Y,Ca)_2(Fe^{+2},Fe^{+3})Be_2Si_2(O,OH)_{10}$
Calcybeborosilite	$(REE,Ca)_2(B,Be)_2Si_2O_8(OH)_2$
Cappelenite-(Y)	$Ba(Y,Ce)_6Si_3B_6O_{24}F_2$
Caysichite-(Y)	$Y_2(Ca,Gd)_2Si_4O_{10}(CO_3)_3, 4 H_2O$
Cerite	$(Ce,Ca)_9(Mg,Fe^{+2})Si_7(O,OH,F)_{28}$
Cervandonite-(Ce)	$(Ce,Nd,La)(Fe,Ti,Al)_3(Si,As)_3O_{13}$
Chevkinite	$(Ca,Ce,Th)_4(Fe^{+2},Mg)_2(Ti,Fe^{+3})_3Si_4O_{22}$
Chukhrovite-(Ce)	$Ca_3(Ce,Y)Al_2(SO_4)F_{13}, 10 H_2O$
Chukhrovite-(Y)	$Ca_3(Y,Ce)Al_2(SO_4)F_{13}, 10 H_2O$
Cuprovudyavrite	Silicate of Cu, Ti and REE
Dissakisite-(Ce)	$Ca(Ce,Y)MgAl_2Si_3O_{12}(OH)$
Dollaseite-(Ce)	$CaCeMg_2AlSi_3O_{16}(OH)F$
Erdmannite	Aluminosilicate of REE, Fe and Ca
Eucolite	Eudialyte
Eucrasite	Silicate of Th, Ca, Na and REE
Eudialyte	$Na_4(Ca,Ce)_2(Fe^{+2},Mn,Y)ZrSi_8O_{12}(O,Cl)$
Freyalite	$(Th,Ce)SiO_4$
Gadolinite-(Ce)	$(Ce,La,Nd,Y)_2Fe^{+2}Be_2Si_2O_{10}$
Gadolinite-(Y)	$Y_2Fe^{+2}Be_2Si_2O_{10}$
Golzenite	$(Ca,Na,REE)_3(Ti,Al)Si_2O_7(F,OH)_2$
Hellandite-(Y)	$(Ca,Y)_6(Al,Fe^{+3})Si_4B_4O_{20}(OH)_4$
Hingganite-(Ce)	$CeBeSiO_4OH$
Hingganite-(Y)	$(Y,Yb,Er)BeSiO_4OH$
Hingganite-(Yb)	$(Yb,Y)BeSiO_4OH$
Hydrocerite	$(Ce,Th,Ca)(Al,Fe,Ti,Nb)(Si,P)_2O_7, 5 H_2O$
Ilimaussite-(Ce)	$Ba_2Na_4CeFe^{+3}Nb_2Si_8O_{28}, 5 H_2O$
Ilimajokite	$(Na,Ca,Ba)_2TiSi_3O_5(OH)_{10}, n H_2O$
Iraqite-(La)	$K(La,Ce,Th)_2(Ca,Na)_4(Si,Al)_{16}O_{40}$
Joaquinite-(Ce)	$Ba_2NaCe_2Fe^{+2}(Ti,Nb)_2Si_8O_{26}(OH,F), H_2O$
Johnstrupite	Mosandrite
Kainosite-(Y)	$Ca_2(Y,Ce)_2Si_4O_{12}CO_3, H_2O$
Kamasurtite-(Ce)	$(Ce,La,Th)(Ti,Nb)(Al,Fe^{+3})(Si,P)_2O_7(OH)_4, 3 H_2O$
Keivyite-(Y)	$(Y,Yb)_2Si_2O_7$
Keivyite-(Yb)	$(Yb,Y)_2Si_2O_7$
Kuliokite-(Y)	$Y_4Al(SiO_4)_2(OH)_2F_5$
Limoriite-(Y)	$Y_2SiO_4CO_3$
Manganosteenstrupine	$(La,Th,Ca)MnSiO_3(OH)_3, 2 H_2O$
Melanocerite-(Ce)	$(Ce,Ca)_5(Si,B)_3O_{12}(OH,F), n H_2O$



اکتشاف ذوب شیمیائی عناصر کمیاب در محدوده شهرستان کلبر و سراب

Minasgeraisite-(Y)	$Y_2CaBe_2Si_2O_{10}$
Miserite	$K(Ca,Ce)_4Si_5O_{13}(OH)_3$
Monteregianite-(Y)	$(Na,K)_6(Y,Ca)_2Si_{16}O_{38}, 10 H_2O$
Mosandrite	$(Ca,Na,Ce)_{12}(Ti,Zr)_2Si_7O_{31}H_6F_4$
Muromontite	Near $Be_2FeY_2Si_3O_{12}$
Nacareniobsite-(Ce)	$NbNa_3Ca_3(Ce,La,Nd)(Si_2O_7)_2OF_3$
Nordite-(Ce)	$(Ce,La)(Sr,Ca)Na_2(Na,Mn)(Zn,Mg)Si_6O_{17}$
Nordite-(La)	$(La,Ce)(Sr,Ca)Na_2(Na,Mn)(Zn,Mg)Si_6O_{17}$
Okanoganite-(Y)	$(Na,Ca)_3(Y,Ce)_{12}Si_6B_2O_{27}F_{14}$
Orthite	Allanite-(Ce)
Orthojoaquinite-(Ce)	$Ba_2NaCe_2Fe^{+2}Ti_2Si_8O_{26}(O,OH), H_2O$
Perrierite	$(Ca,Ce,Th)_4(Mg,Fe^{+2})_2(Ti,Fe^{+3})_3Si_4O_{22}$
Rinkite	Mosandrite
Rinkolite	Mosandrite
Rowlaandite-(Y)	$(Y,Fe,Ce)_3(SiO_4)_2(F,OH)$
Saryarkite-(Y)	$Ca(Y,Th)Al_5(SiO_4)_2(PO_4,SO_4)_2(OH)_7, 6 H_2O$
Sazhinite-(Ce)	$Na_3CeSi_6O_{15}, 6 H_2O$
Semenovite	$(Ca,Ce,La,Na)_{12}(Si,Be)_2O_4(O,OH,F)_8, H_2O$
Shentulite	Near $(Th,Fe<Ca,Ce)(Si,P,As)O_4CO_3OH$
Steenstrupine-(Ce)	$Na_{14}Ce_6Mn^{+2}Mn^{+3}Fe^{+2}_2(Zr,Th)(Si_6O_{18})_2(PO_4)_7, 3 H_2O$
Stillwellite-(Ce)	$(Ce,La,Ca)BSiO_5$
Strontiochevkinite	$(Sr,La,Ce,Ca)_4(Fe^{+2},Fe^{+3})_2(Ti,Zr)_4Si_4O_{22}$
Tadzhikite-(Y)	$Ca_3(Y,Ce)_2(Ti,Al,Fe)B_4Si_4O_{22}$
Thalenite-(Y)	$Y_3Si_3O_{10}OH$
Thortveitite	$(Sc,Y)_2Si_2O_7$
Tombarthite-(Y)	$Y_4(Si,H)_4O_{12-x}(OH)_{4+2x}$
Tornebohmite-(Ce)	$(Ce,La)_2Al(SiO_4)_2OH$
Tornebohmite-(La)	$(La,Ce)_2Al(SiO_4)_2OH$
Tranquillityite	$Fe^{+2}_8(Zr,Y)_2Ti_3Si_3O_{24}$
Trimounsite-(Y)	$Y_2Ti_2SiO_9$
Tritomite-(Ce)	$(Ce,La,Y,Th)_5(Si,B)_3(O,OH,F)_13$
Tundrite-(Ce)	$Na_3(Ce,La)_4(Ti,Nb)_2(SiO_4)_2(CO_3)_3O_4(OH), 2 H_2O$
Vyuntspakhite-(Y)	$Y_4Al_3Si_5O_{18}(OH)_5$
Wohlerite	$Na(Ca,REE)_2(Zr,Nb)Si_2O_7(O,OH,F)_2$
Yftisite-(Y)	$(Y,Dy,Er)_4(Ti,Sn)O(SiO_4)_2(F,OH)_6$
Yttrialite-(Y)	$(Y,Th)_2Si_2O_7$

فسفاتها

Belovite-(Ce)	$(Sr^{+3},Na,Ce)_5(PO_4)_3OH$
Brockite	$(Ca,Th,Ce)(PO_4), H_2O$
Cheralite	$(Ca,Ce,Th)(P,Si)O_4$
Churchite-(Y)	$YPO_4, 2 H_2O$
Fenhuanglite	$(Na,Ca,Ce,Th)_5(P,Si)_3O_{12}(OH,F)$
Florencite-(Ce)	$CeAl_3(PO_4)_2(OH)_6$
Florencite-(La)	$(La,Ce)Al_3(PO_4)_2(OH)_6$
Florencite-(Nd)	$(Nd,Ce)Al_3(PO_4)_2(OH)_6$
Fluorapatite	$(Ca,REE,Na)_5(PO_4)_3(F,OH)$
Francoisite-(Nd)	$(Nd,Ce,Sm)(UO_2)_3O(OH)(PO_4)_2, 6 H_2O$
Koivinite	$YAl_5(PO_4)_4(OH)_4, 2 H_2O$
Laplandite-(Ce)	$Na_4CeTiPO_4Si_7O_{18}, 5 H_2O$
Monazite-(Ce)	$(Ce,La,Nd,Th)(PO_4), n H_2O$
Monazite-(La)	$(La,Ce,Nd)(PO_4)$
Monazite-(Nd)	$(Nd,La,Ce)(PO_4)$
Ningyoite	$(U,Ca,Ce)PO_4$
Petersite-(Y)	$(Ca,Fe^{+2},Y,Ce)Cu_6(PO_4)_3(OH)_6, 3 H_2O$
Phosinate	$Na_3(Ca,Ce)SiPO_7, H_2O$
Phosphocerite	$(La,Ce)PO_4$



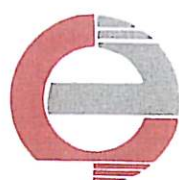
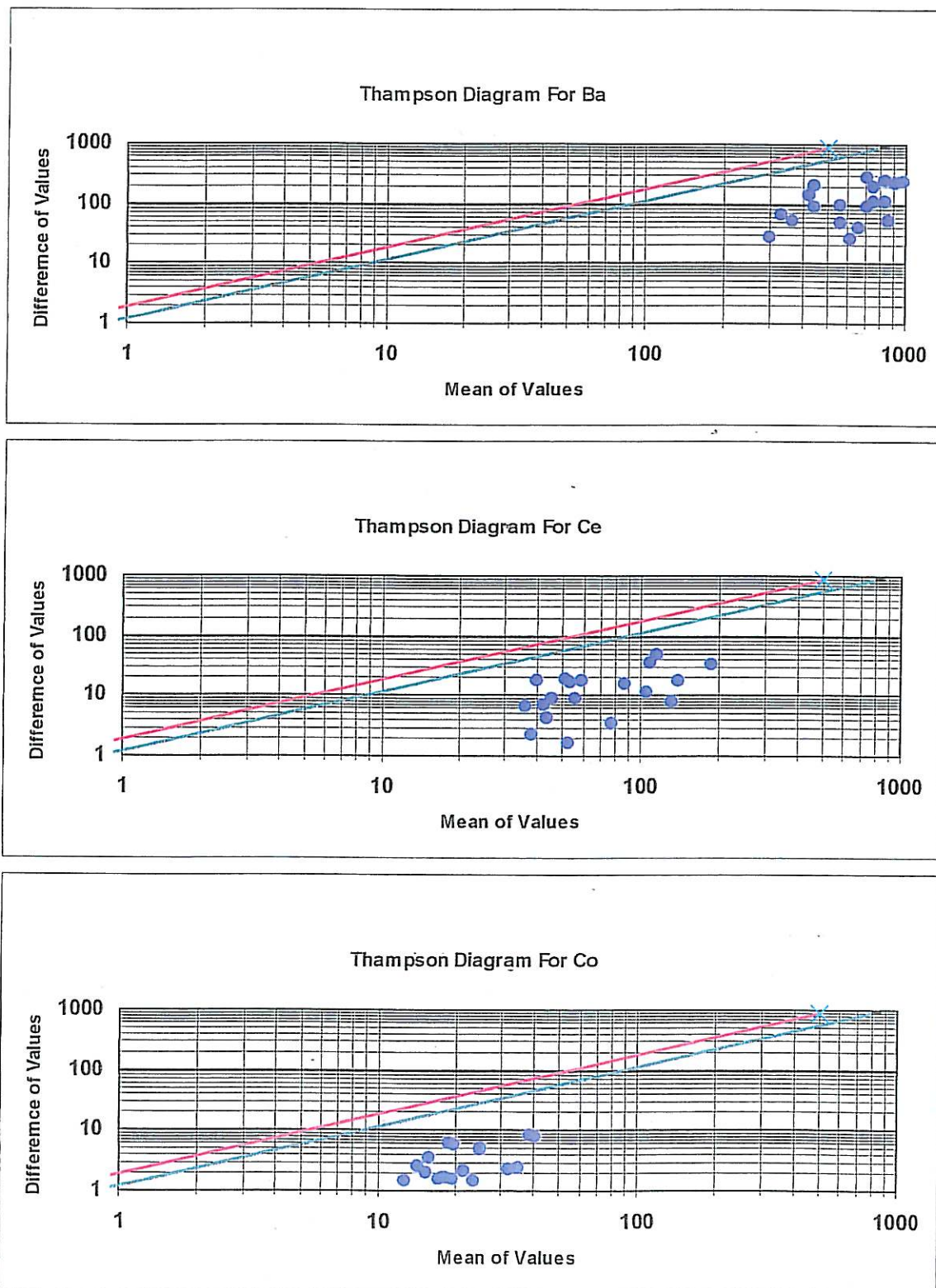
اکتشاف ژئوشیمیائی عناصر کمیاب در محدوده شهرستان کلیبر و سراب

Rhabdophane-(Ce)	$(Ce, La)PO_4 \cdot H_2O$
Rhabdophane-(La)	$(La, Ce)PO_4 \cdot H_2O$
Rhabdophane-(Nd)	$(Nd, Ce, La)PO_4 \cdot H_2O$
Smirnovite	$(Th, Ce, Ca)(P, Si, Al)(O, F, OH)_5$
Vitusite-(Ce)	$Na_3(Ce, La, Nd)(PO_4)_2$
Vudyavrite	Near $Ce_2Ti_3O_9$, n SiO_2 , m H_2O
Xenotime-(Y)	YPO_4
کربناتها و سیلیکات‌های اورانیم	
Astrocyanite-(Ce)	$Cu_2(Ce, Nd)_2UO_2(CO_3)_5(OH)_2 \cdot 1.5 H_2O$
Bijvoetite-(Y)	$(Y, Dy)_2(UO_2)_4(CO_3)_4(OH)_6 \cdot 11 H_2O$
Kamotoite-(Y)	$4 UO_3 \cdot Y_2O_3 \cdot 3 CO_2 \cdot 14.5 H_2O$
Lepersonnite-(Gd)	$CaO(Gd, Y_2O_3 \cdot 24 UO_3 \cdot 8 CO_2 \cdot 4 SiO_2 \cdot 6 H_2O$
Shabaite-(Nd)	$Ca(Nd, Sm, Y)_2UO_2(CO_3)_4(OH)_2 \cdot 6 H_2O$
آرسناتها، سلفات‌ها و واناداتها	
Agardite-(Ce)	See Agardite-(La)
Agardite-(La)	$(La, Ca)Cu_6(AsO_4)_3(OH)_6 \cdot 3 H_2O$
Agardite-(Y)	$(Y, Ca)Cu_6(AsO_4)_3(OH)_6 \cdot 3 H_2O$
Arsenoflorencite-(Ce)	$(Ce, La)Al_3(AsO_4, PO_4)_2(OH)_6$
Arsenoflorencite-(La)	$LaAl_3(AsO_4)_2(OH)_6$
Arsenoflorencite-(Nd)	$NdAl_3(AsO_4)_2(OH)_6$
Chemovite-(Y)	$YAsO_4$
Gasparite-(Ce)	$(Ce, REE)AsO_4$
Goudeyite	$Cu_5(Al, Y)(AsO_4)_3(OH)_6 \cdot 3 H_2O$
Kemmlitzite	$(Sr, Ce)Al_3AsO_4SO_4(OH)_6$
Paranite-(Y)	$Ca_y YAsO_4(WO_4)_2$
Retzian-(Ce)	$Mn_2CeAsO_4(OH)_4$
Retzian-(La)	$(Mn, Mg)_2(La, Ce, Nd)AsO_4(OH)_4$
Retzian-(Nd)	$Mn_2(Nd, Ce, La)AsO_4(OH)_4$
Wakefieldite-(Ce)	$(Ce, Pb^{+2}, Pb^{+4})VO_4$
Wakefieldite-(Y)	YVO_4

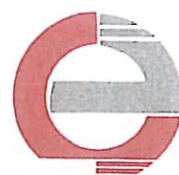
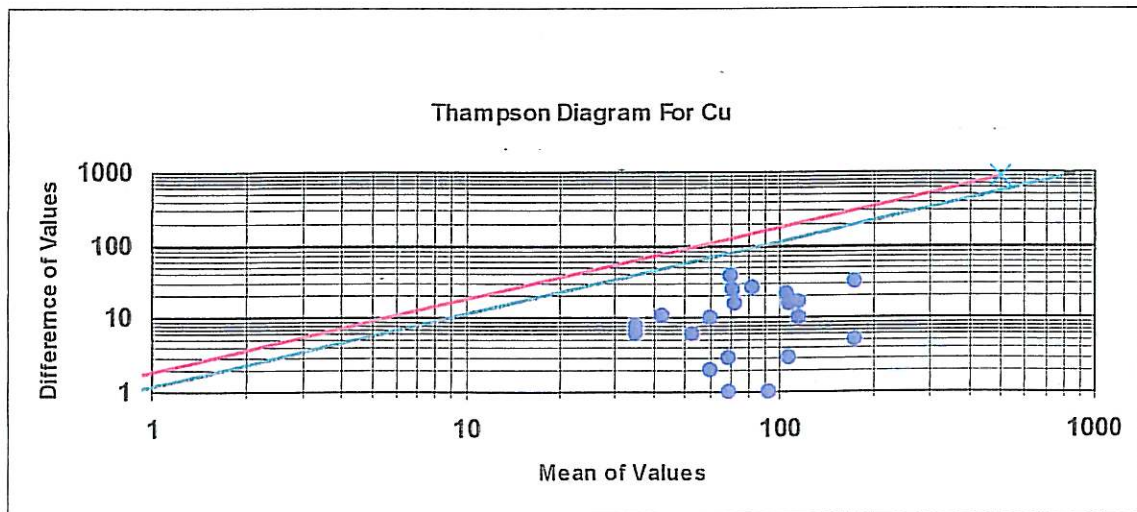
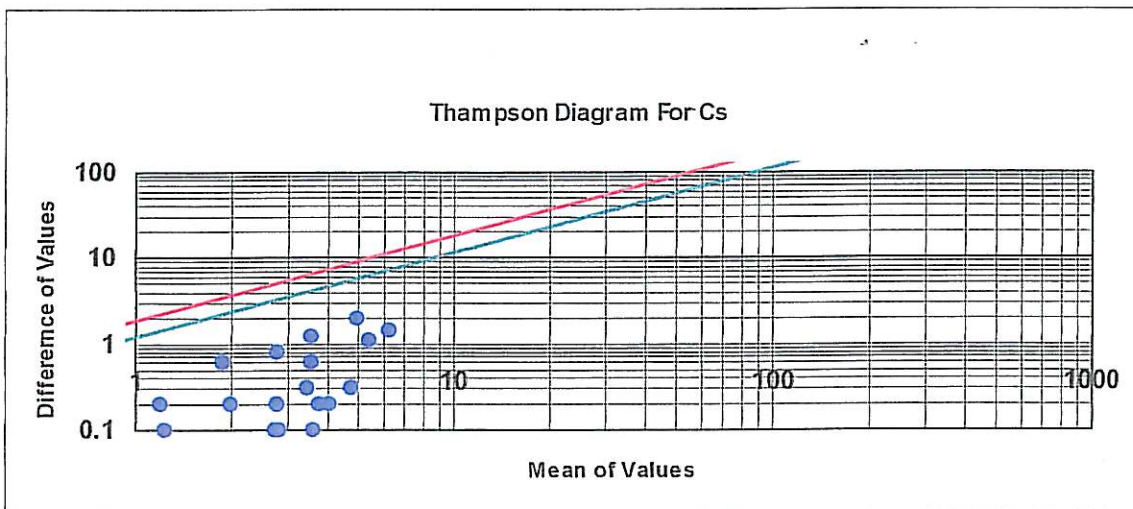
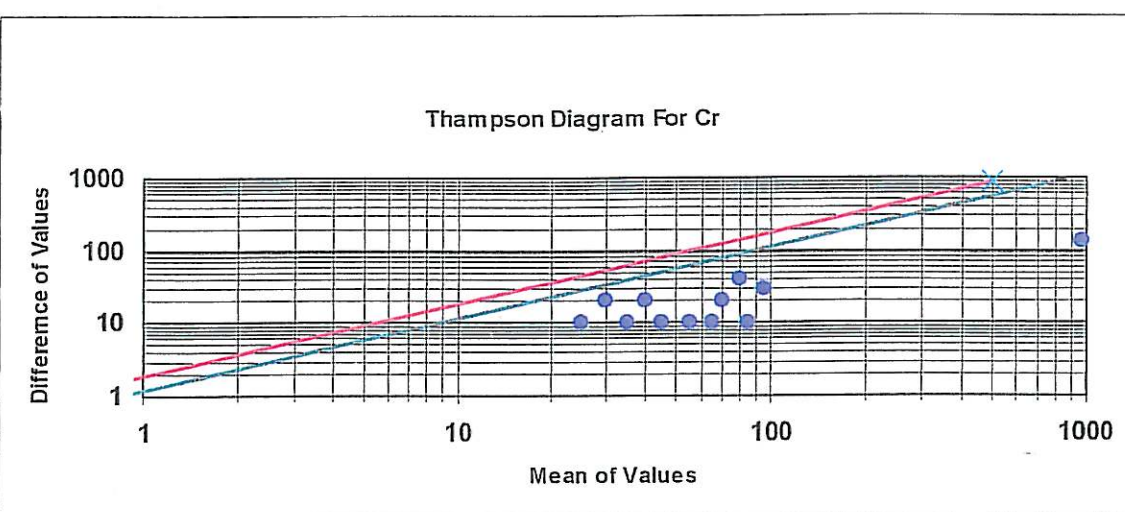


اکتشاف ژئوشیمیانی عناصر کمیاب در محدوده شهرستان کلیبر و سراب

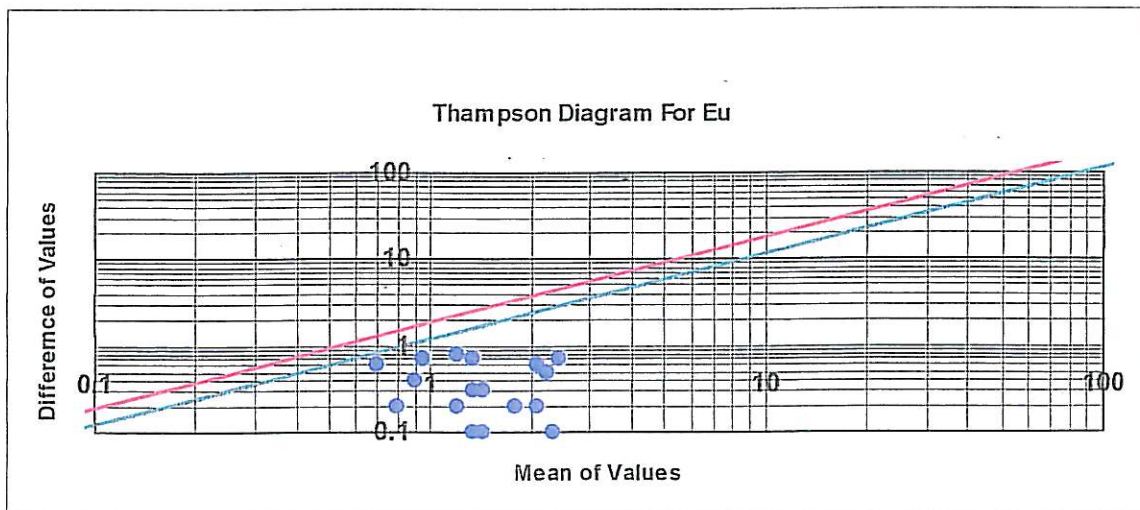
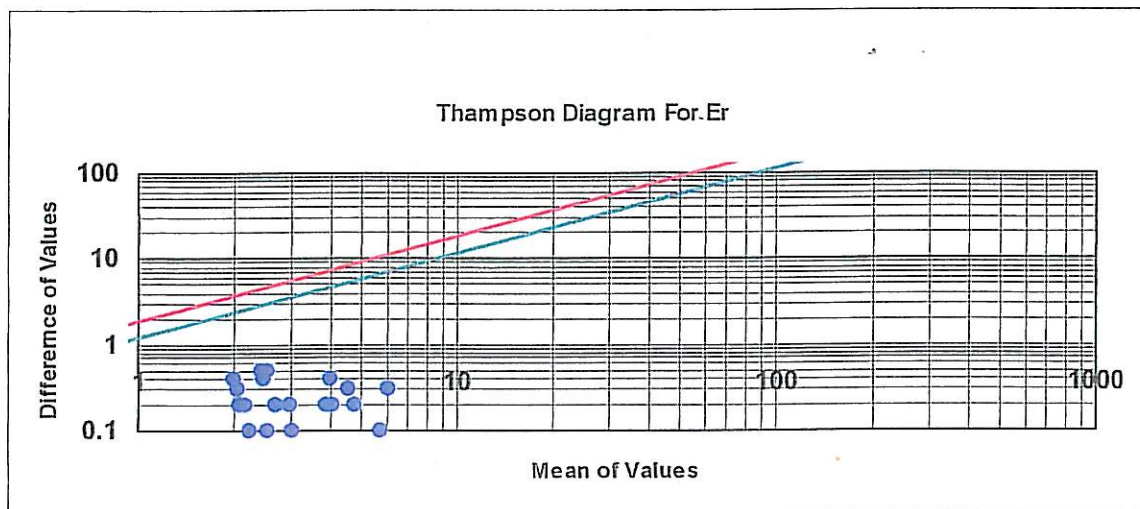
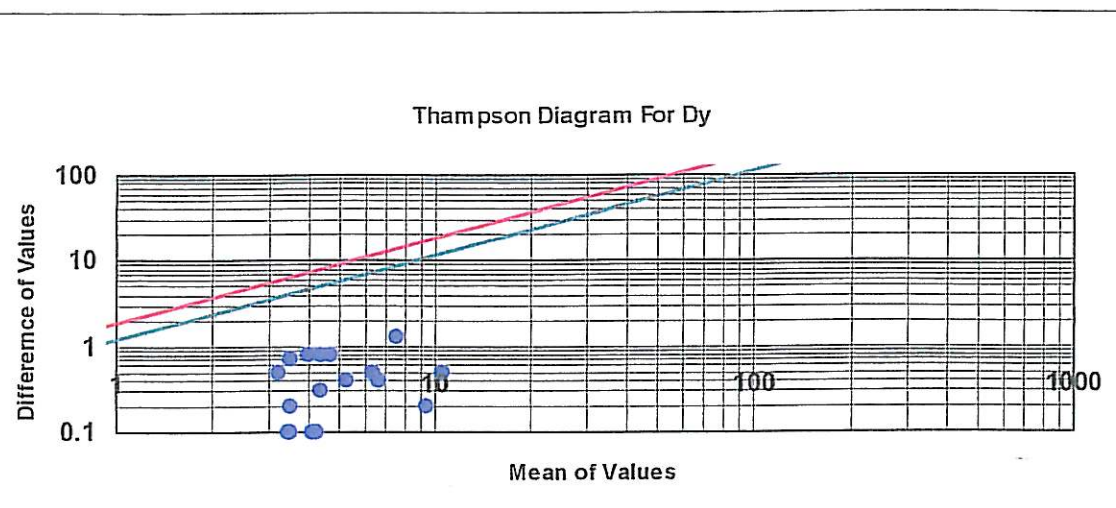
شکل-۲-۱: نمودار کنترلی تامپسون برای متغیرهای مختلف



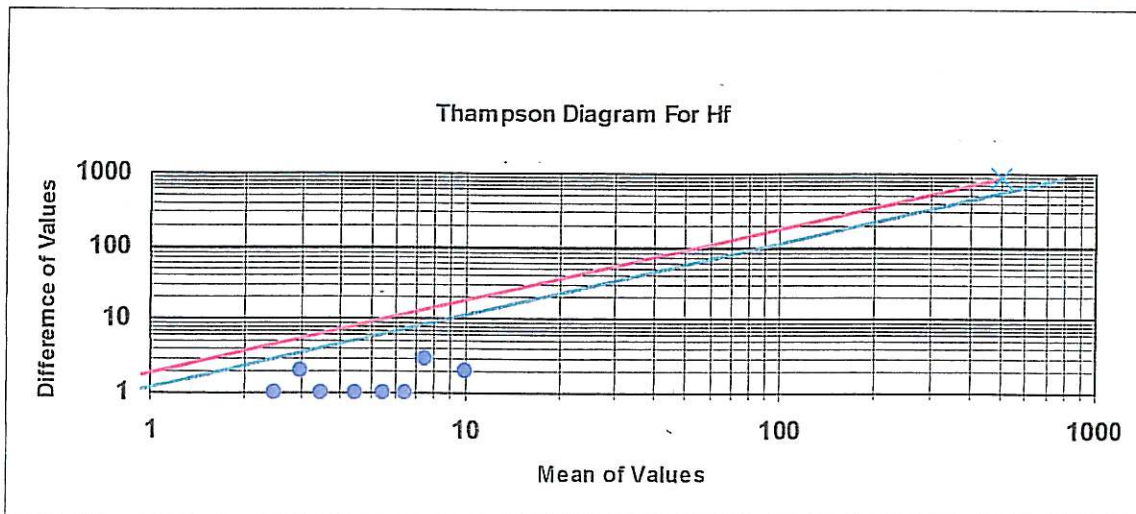
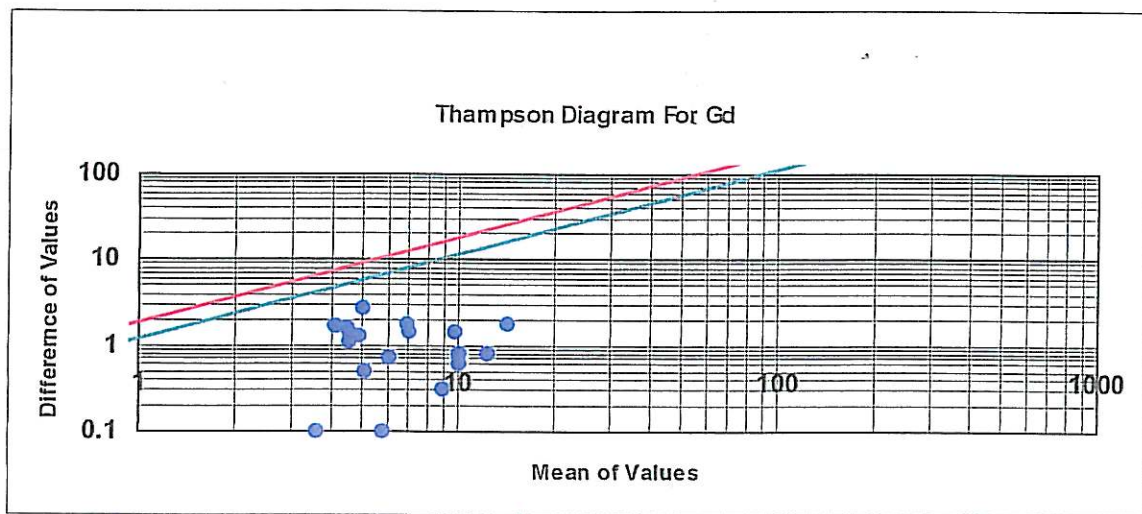
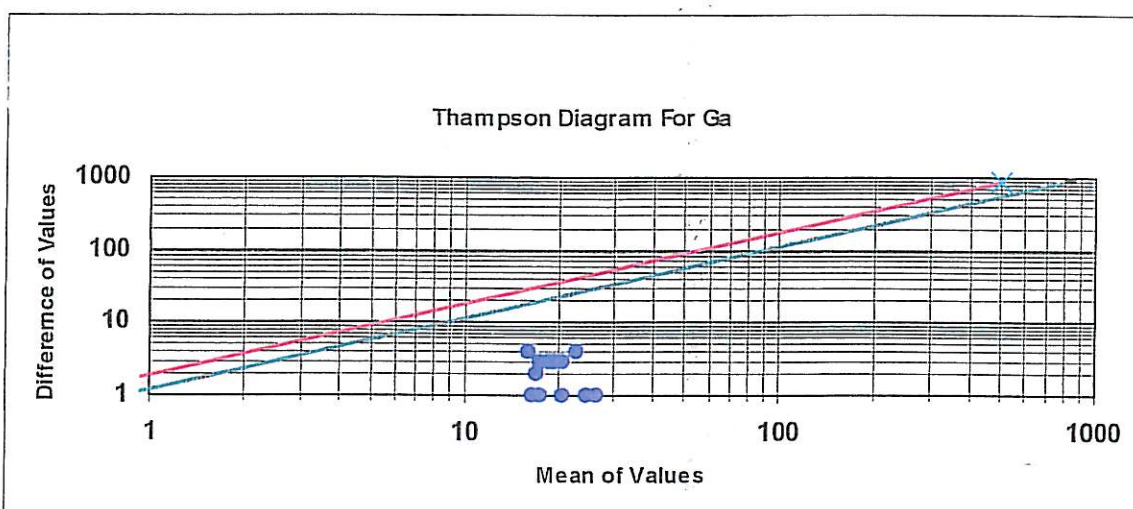
اکتشاف ژئوشیمیائی عناصر کمیاب در محدوده شهرستان کلیبر و سراب



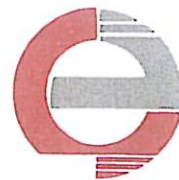
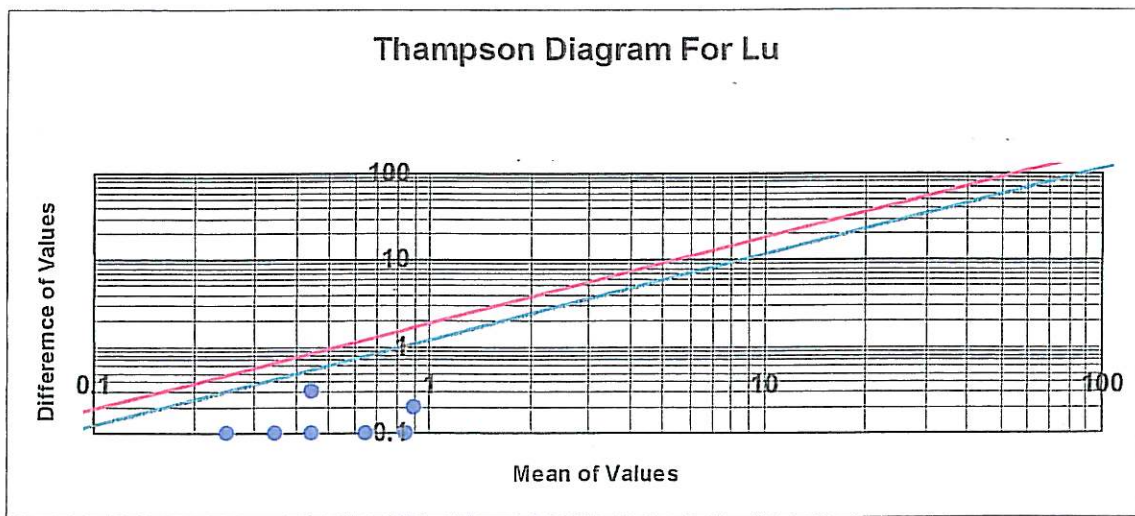
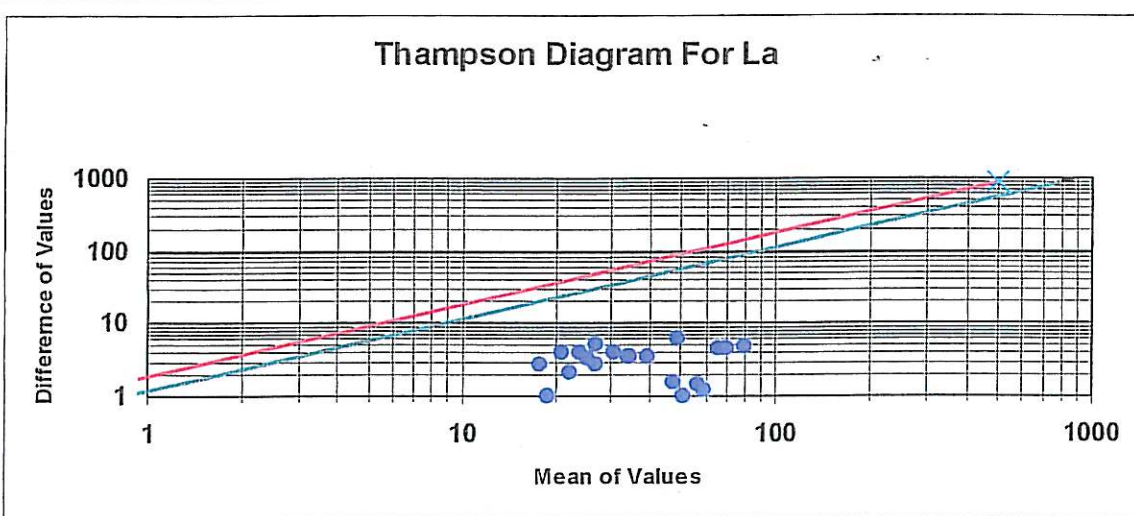
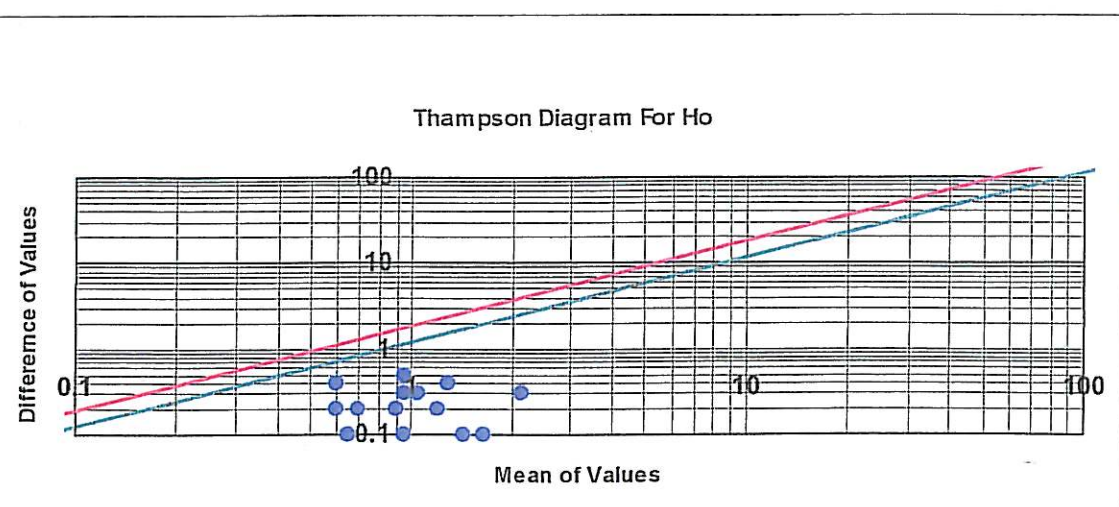
اکتشاف ژئوشیمیائی عناصر کمیاب در محدوده شهرستان کلیبر و سراب



اکتشاف ژئوشیمیائی عناصر کمیاب در محدوده شهرستان کلیبر و سراب

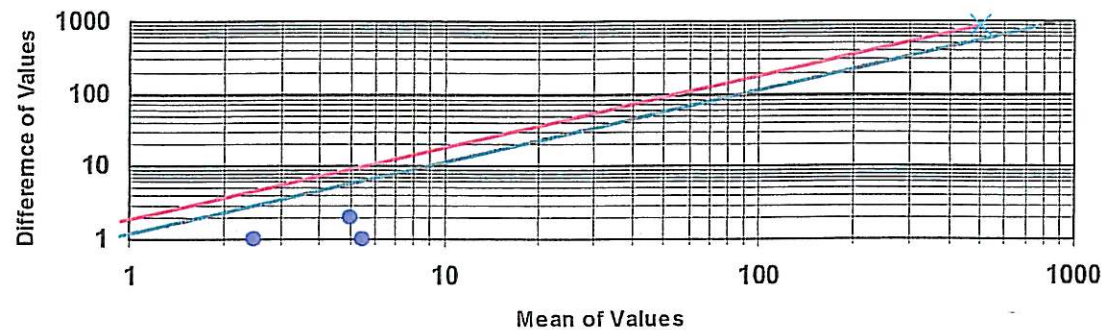


اکتشاف ژئوشیمیائی عناصر کمیاب در محدوده شهرستان کلیبر و سراب

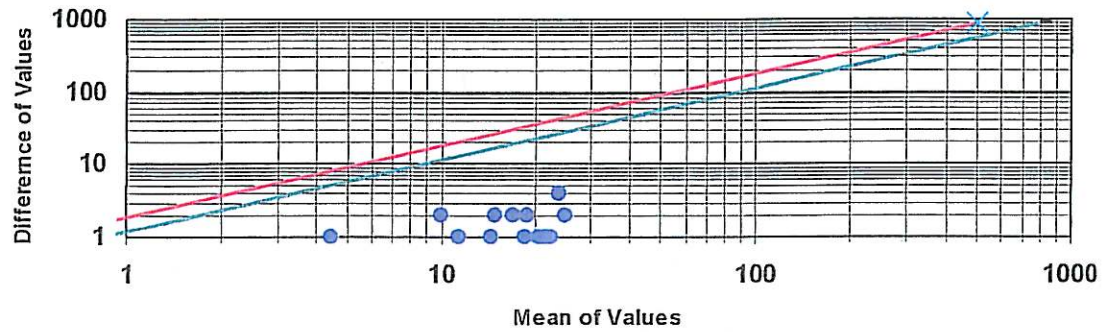


اکتشاف ژئوشیمیای عناصر کمیاب در محدوده شهرستان کلیبر و سراب

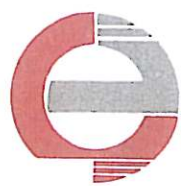
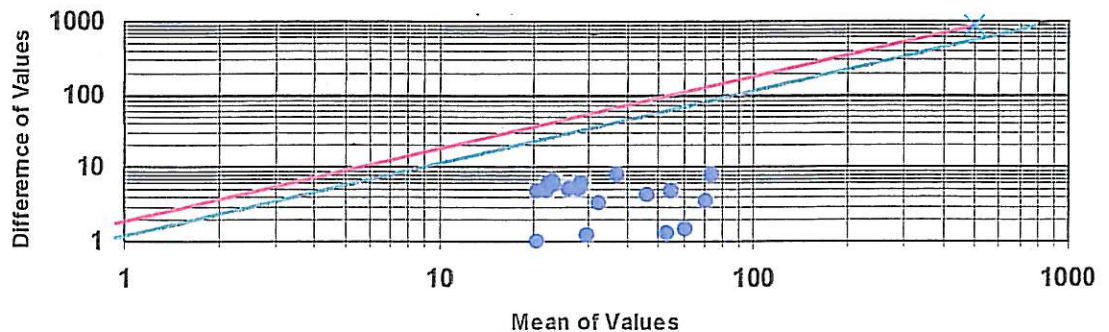
Thompson Diagram For Mo



Thompson Diagram For Nb

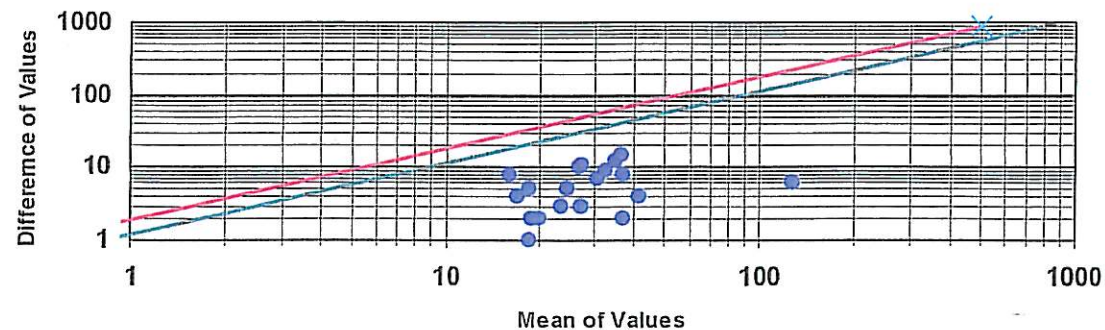


Thompson Diagram For Nd

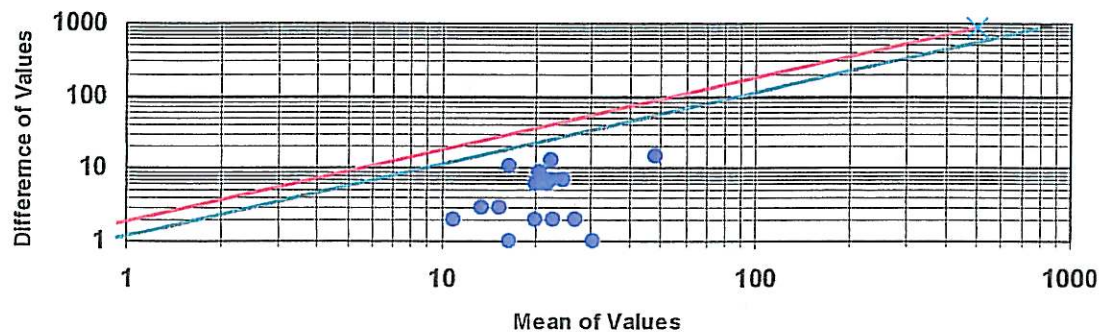


اکتشاف ژئوشیمیایی عناصر کمیاب در محدوده شهرستان کلبر و سراب

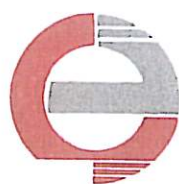
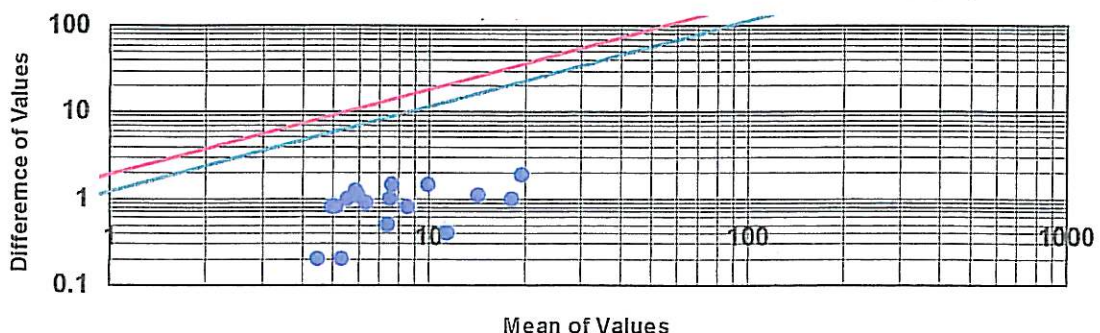
Thompson Diagram For Ni



Thompson Diagram For Pb

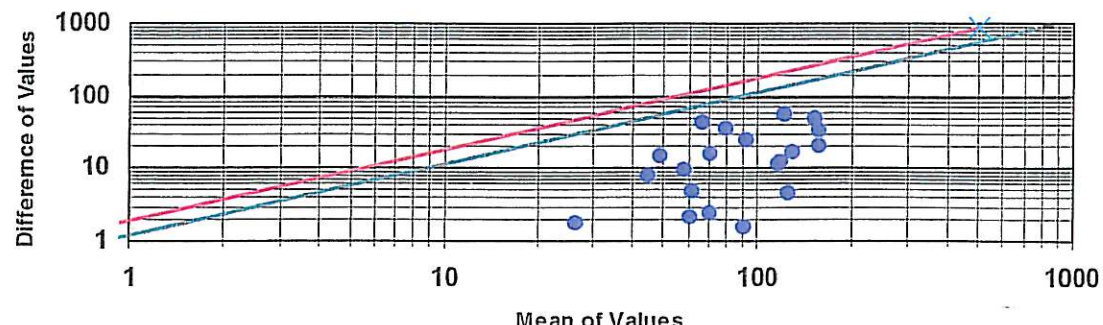


Thompson Diagram For Pr

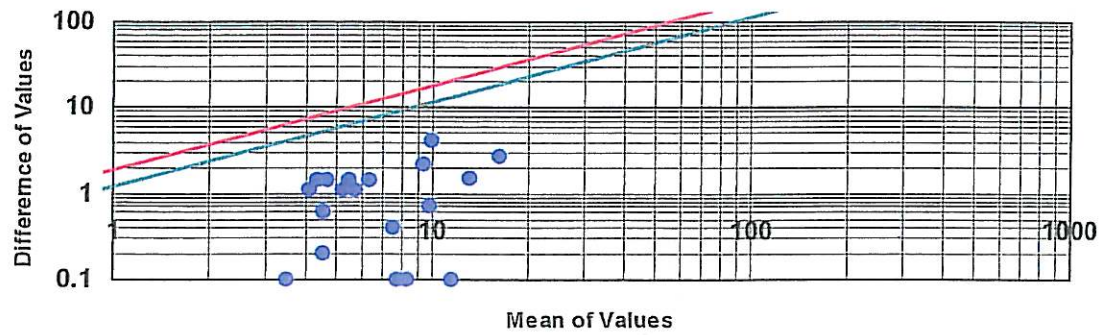


اکتشاف ژئوشیمیابی عناصر کمیاب در محدوده شهرستان کلیبر و سراب

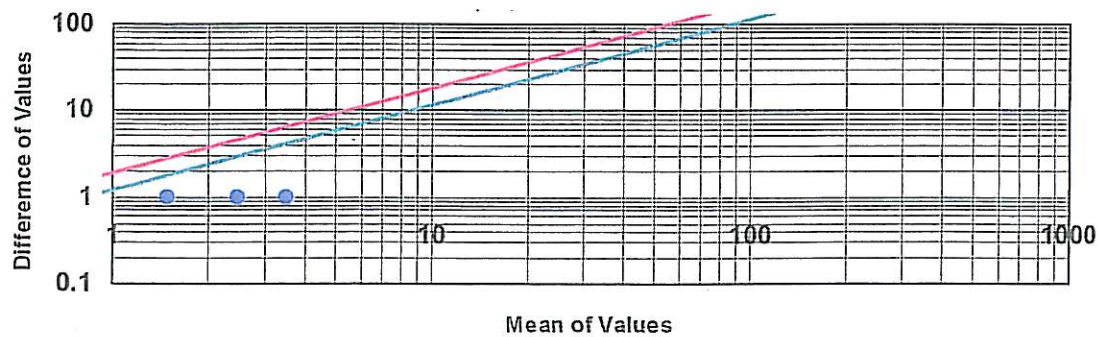
Thompson Diagram For Rb



Thompson Diagram For Sm

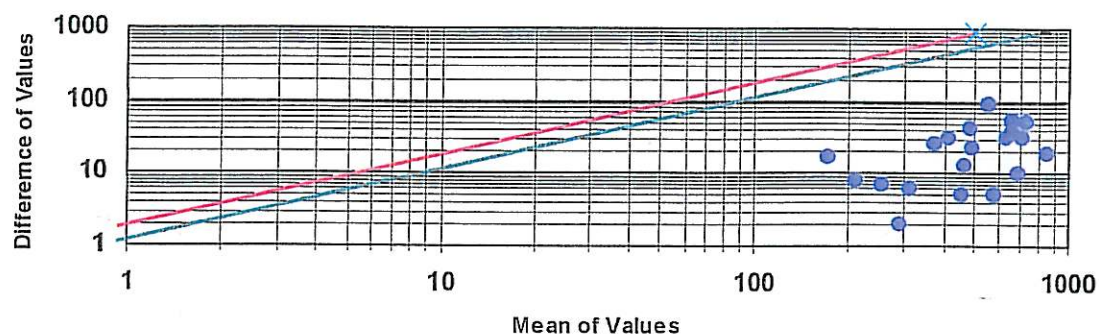


Thompson Diagram For Sn

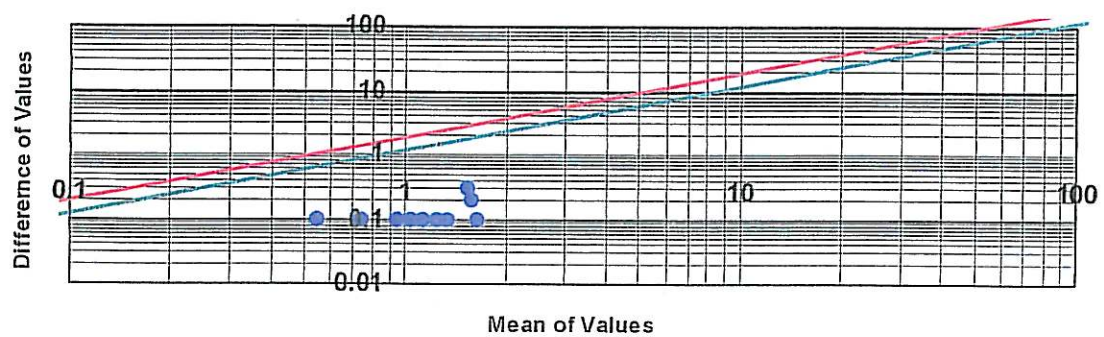


اکتشاف روشیمیانی عناصر کمیاب در محدوده شهرستان کلبر و سراب

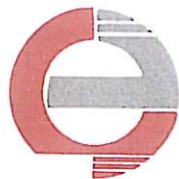
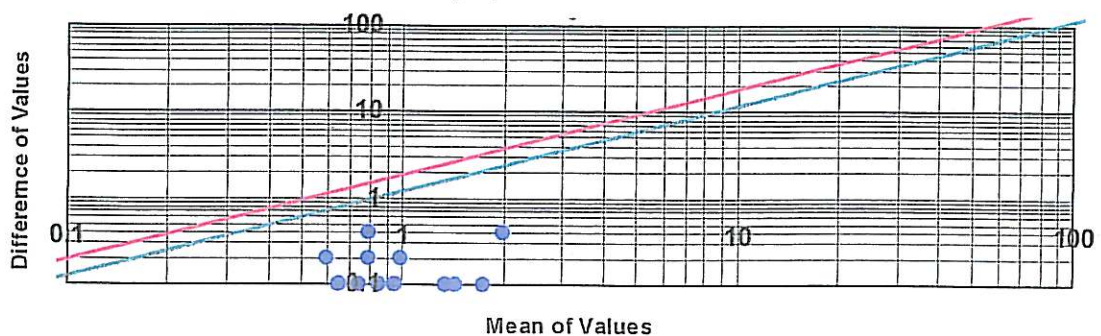
Thompson Diagram For Sr



Thompson Diagram For Ta

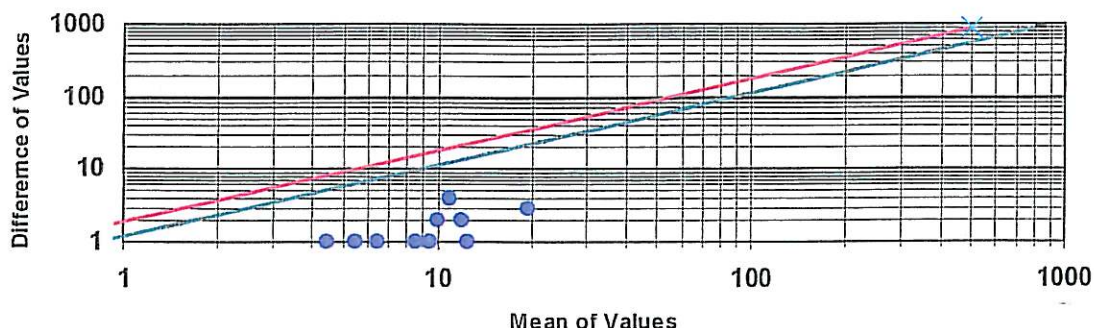


Thompson Diagram For Tb

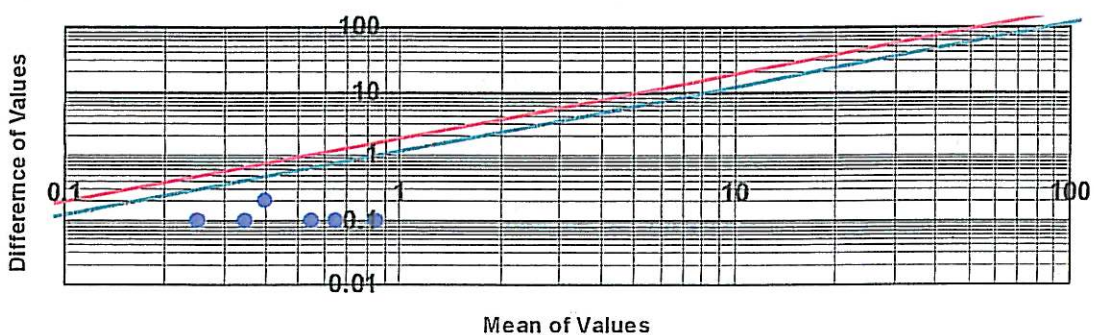


اکتشاف ژئوشیمیانی عناصر کمیاب در محدوده شهرستان کلیبر و سراب

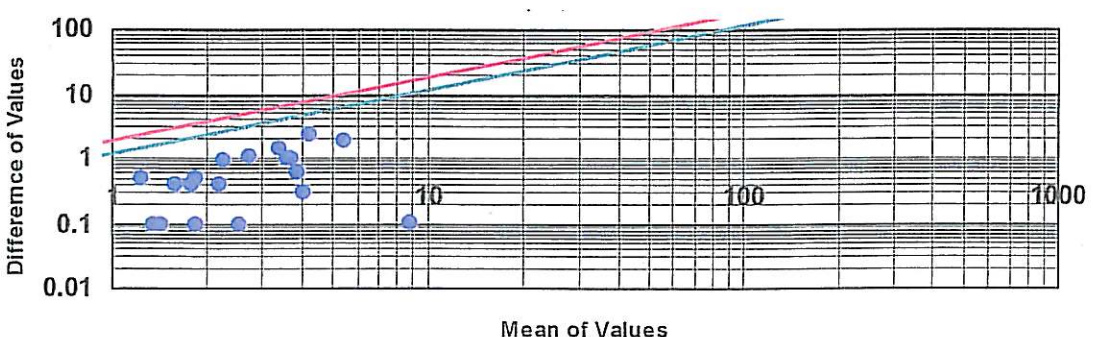
Thompson Diagram For Th



Thompson Diagram For Tm

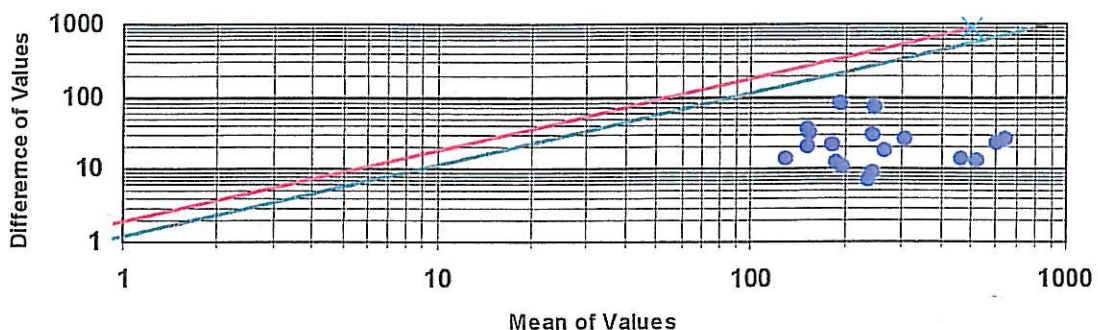


Thompson Diagram For U

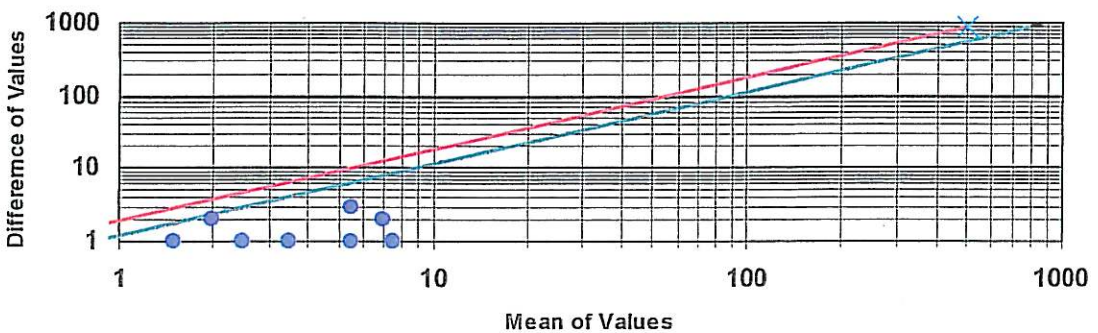


اکتشاف ژئوشیمیانی عناصر کمیاب در محدوده شهرستان کلیبر و سراب

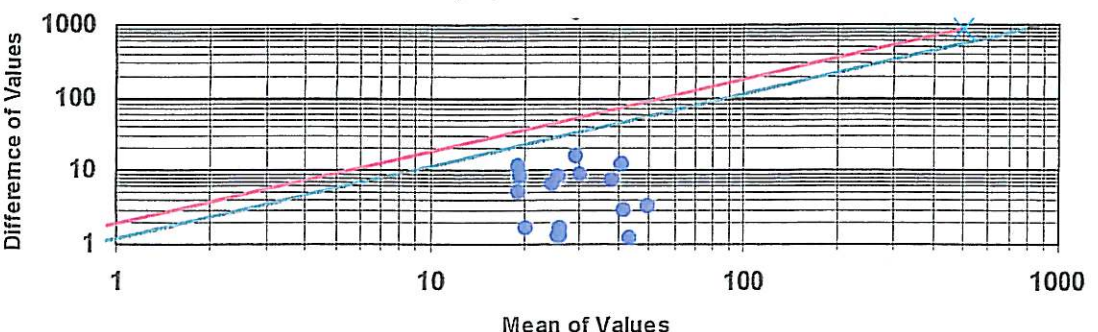
Thompson Diagram For V



Thompson Diagram For W

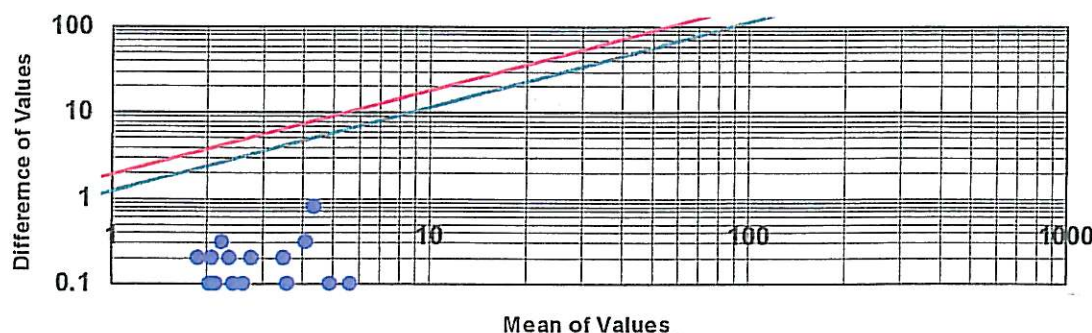


Thompson Diagram For Y

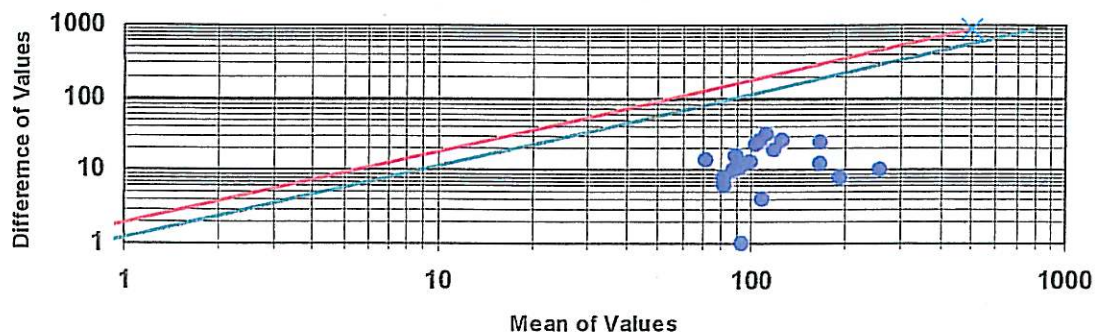


اکتشاف ژئوشیمیائی عناصر کمیاب در محدوده شهرستان کلیبر و سراب

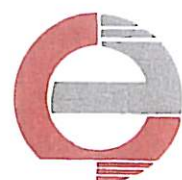
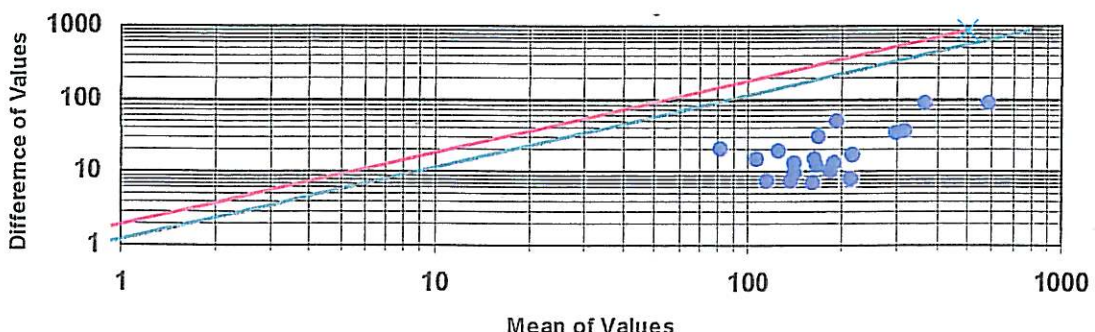
Thompson Diagram For Yb



Thompson Diagram For Zn

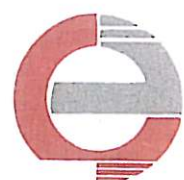
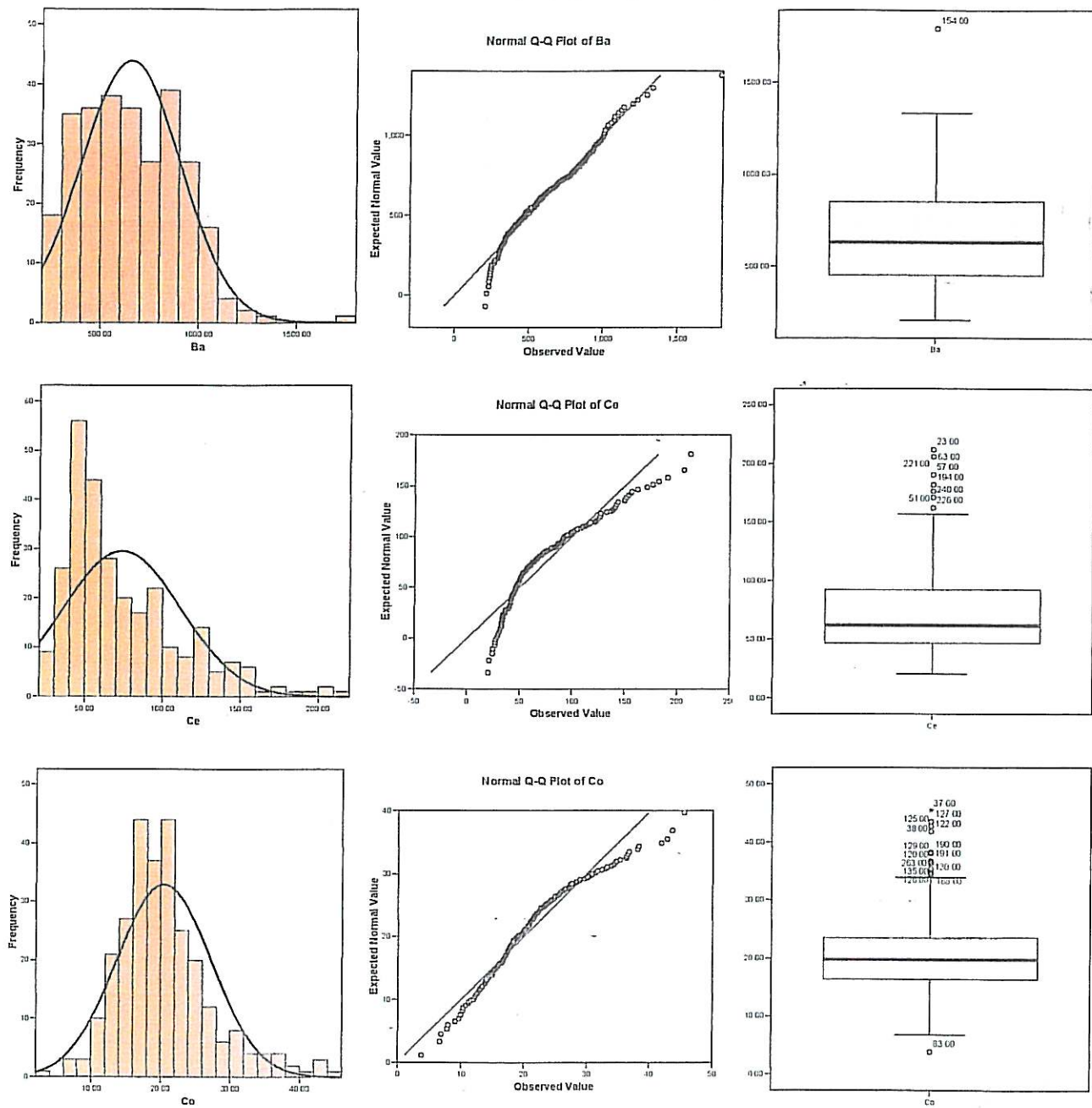


Thompson Diagram For Zr

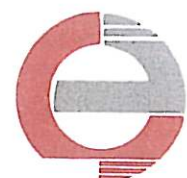
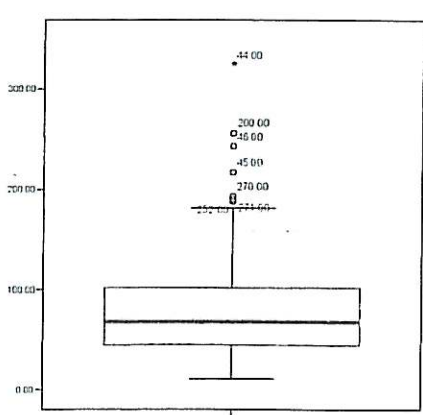
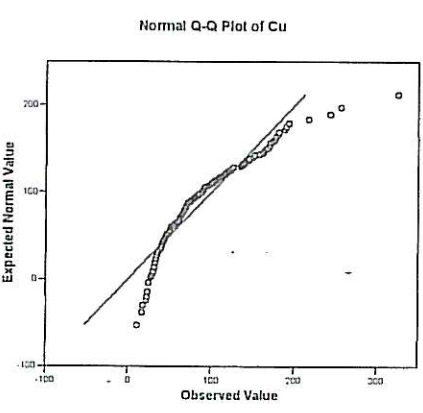
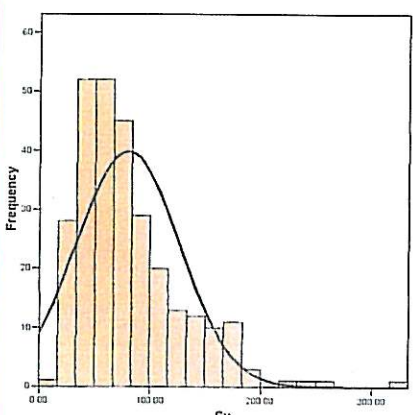
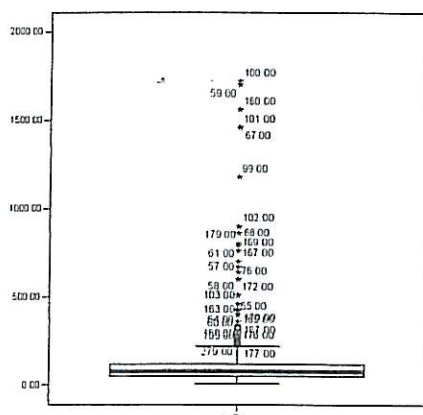
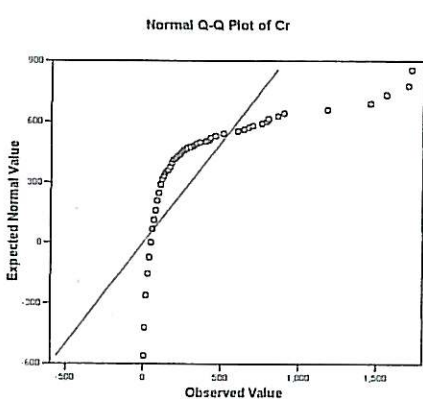
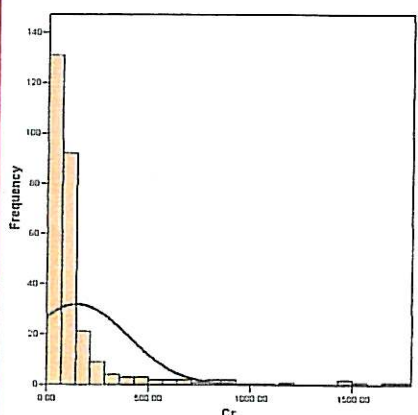
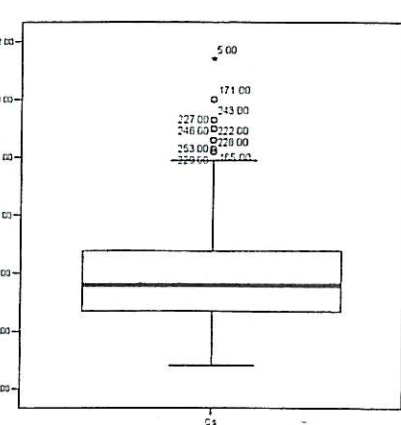
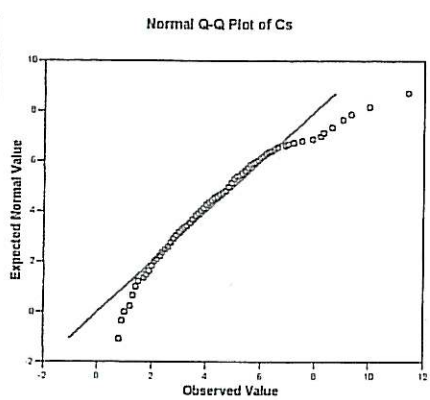
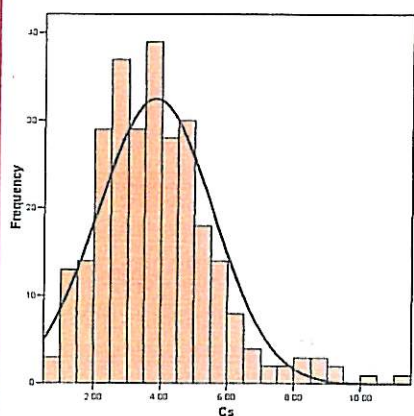


اکتشاف زئوژیمیانی عناصر کمیاب در محدوده شهرستان کلیبر و سراب

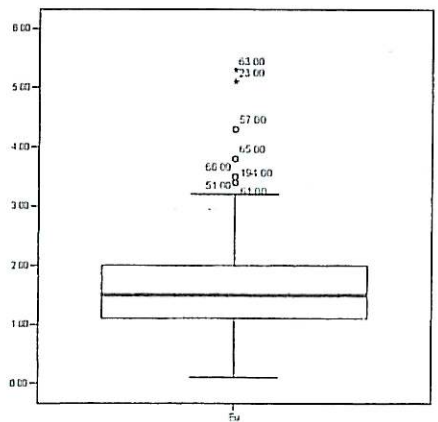
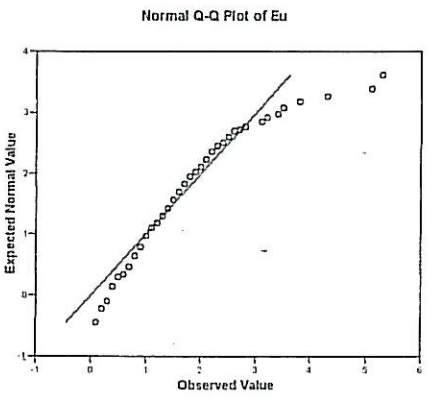
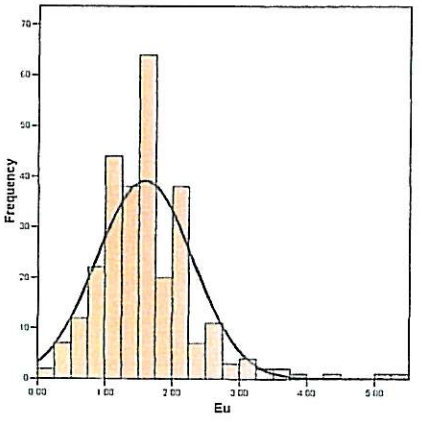
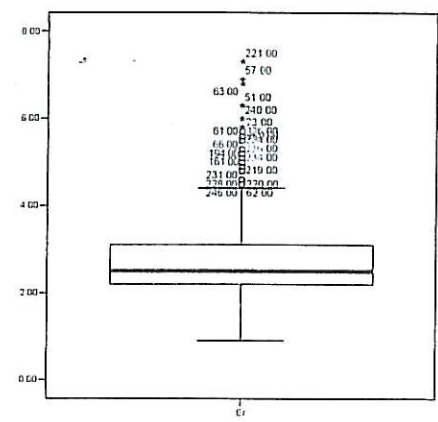
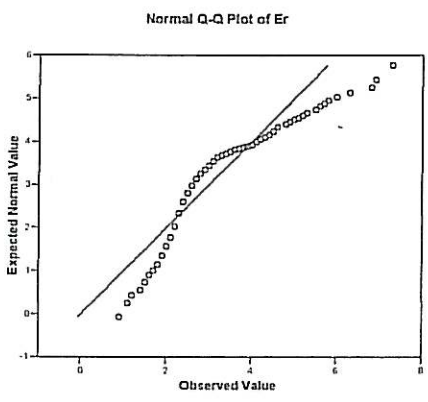
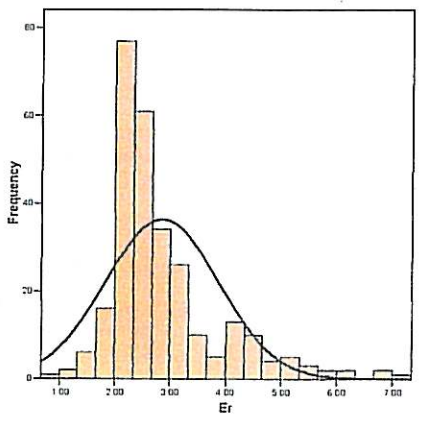
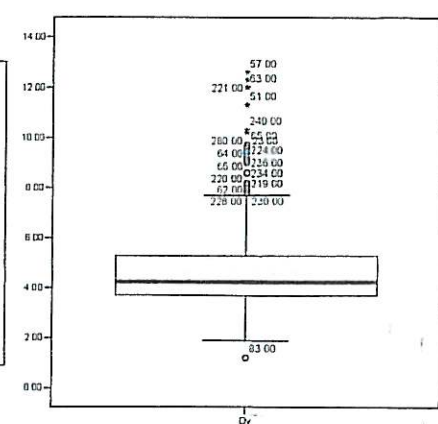
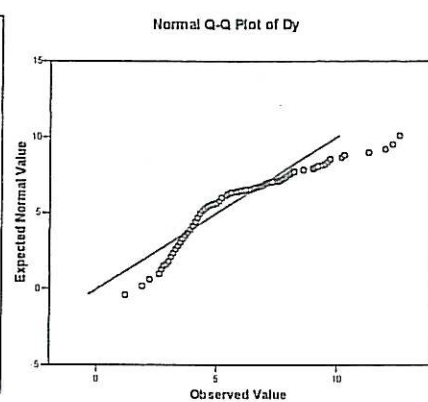
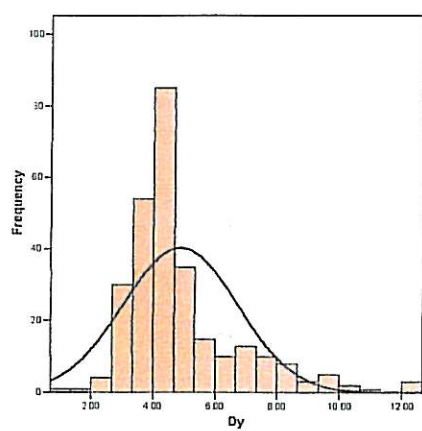
۱-۳- هیستوگرام فراوانی و تجمعی و نمودارهای جعبه ای برای متغیرهای مختلف



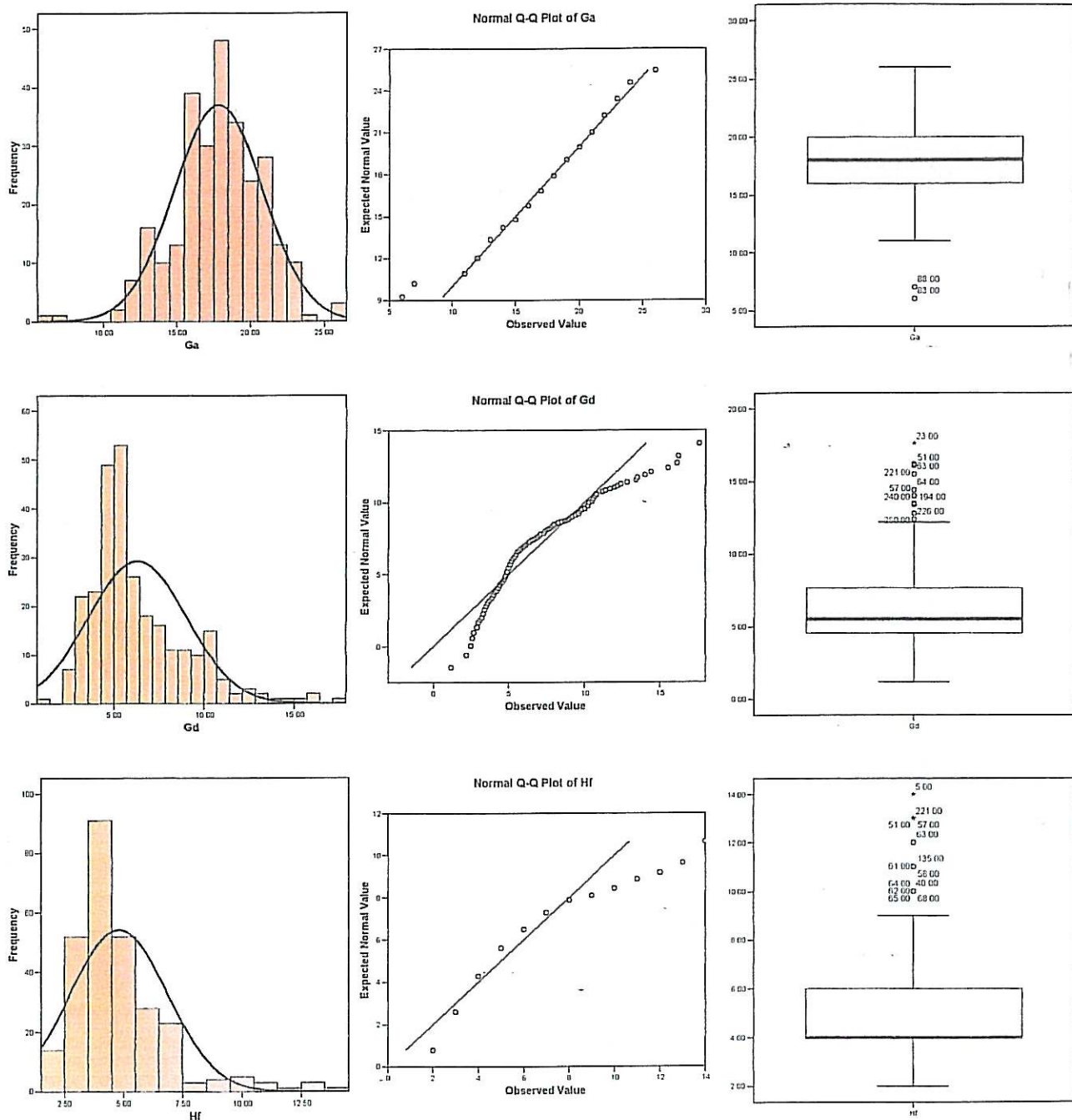
اکتشاف روشیمیائی عناصر کمیاب در محدوده شهرستان کلیبر و سراب



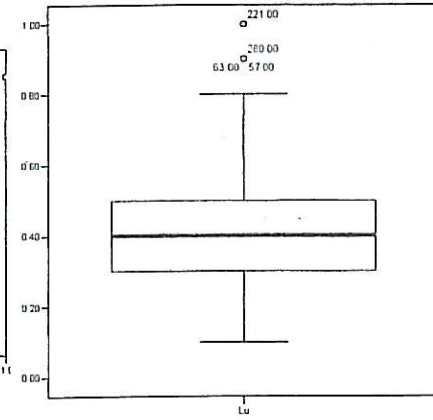
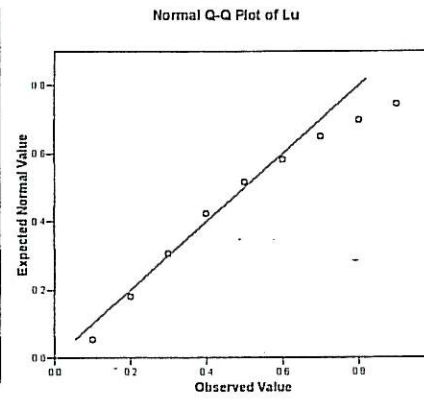
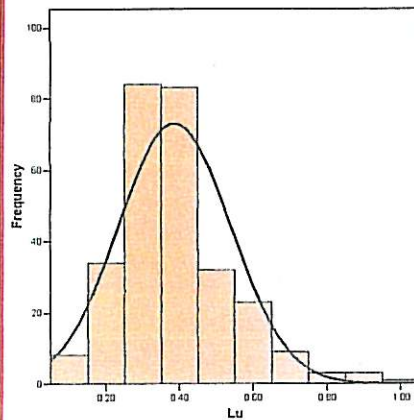
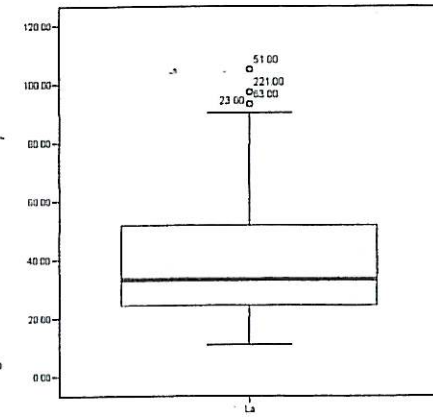
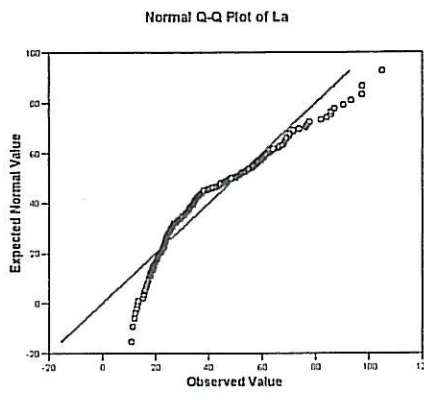
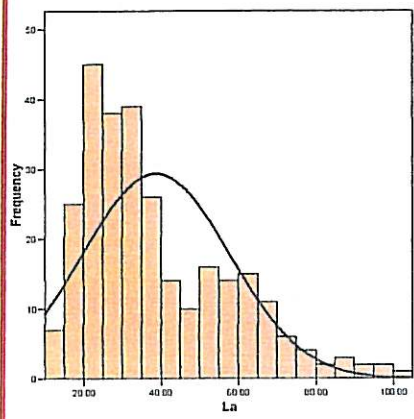
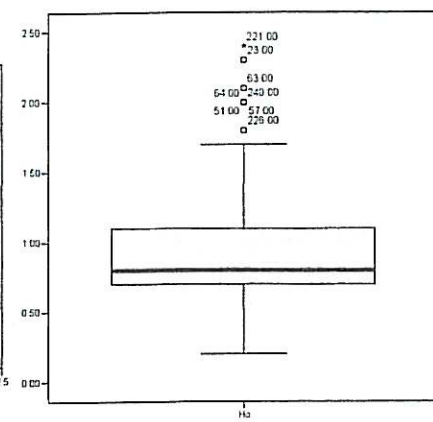
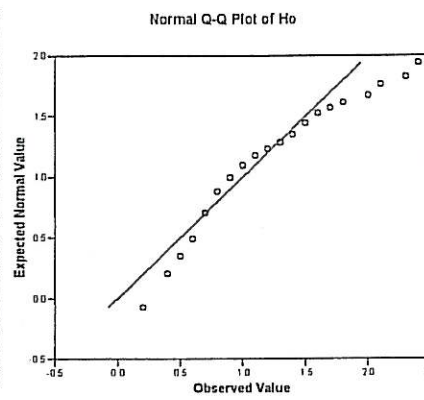
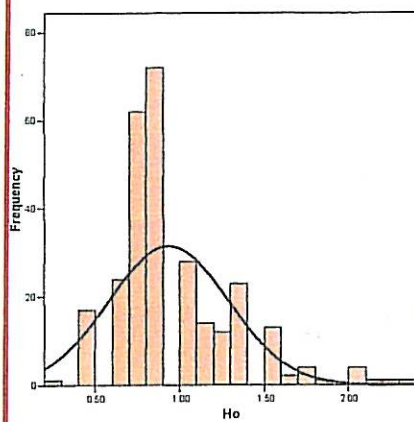
اکتشاف ژئوشیمیائی عناصر کمیاب در محدوده شهرستان کلیبر و سراب



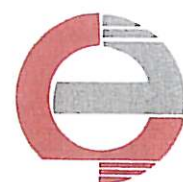
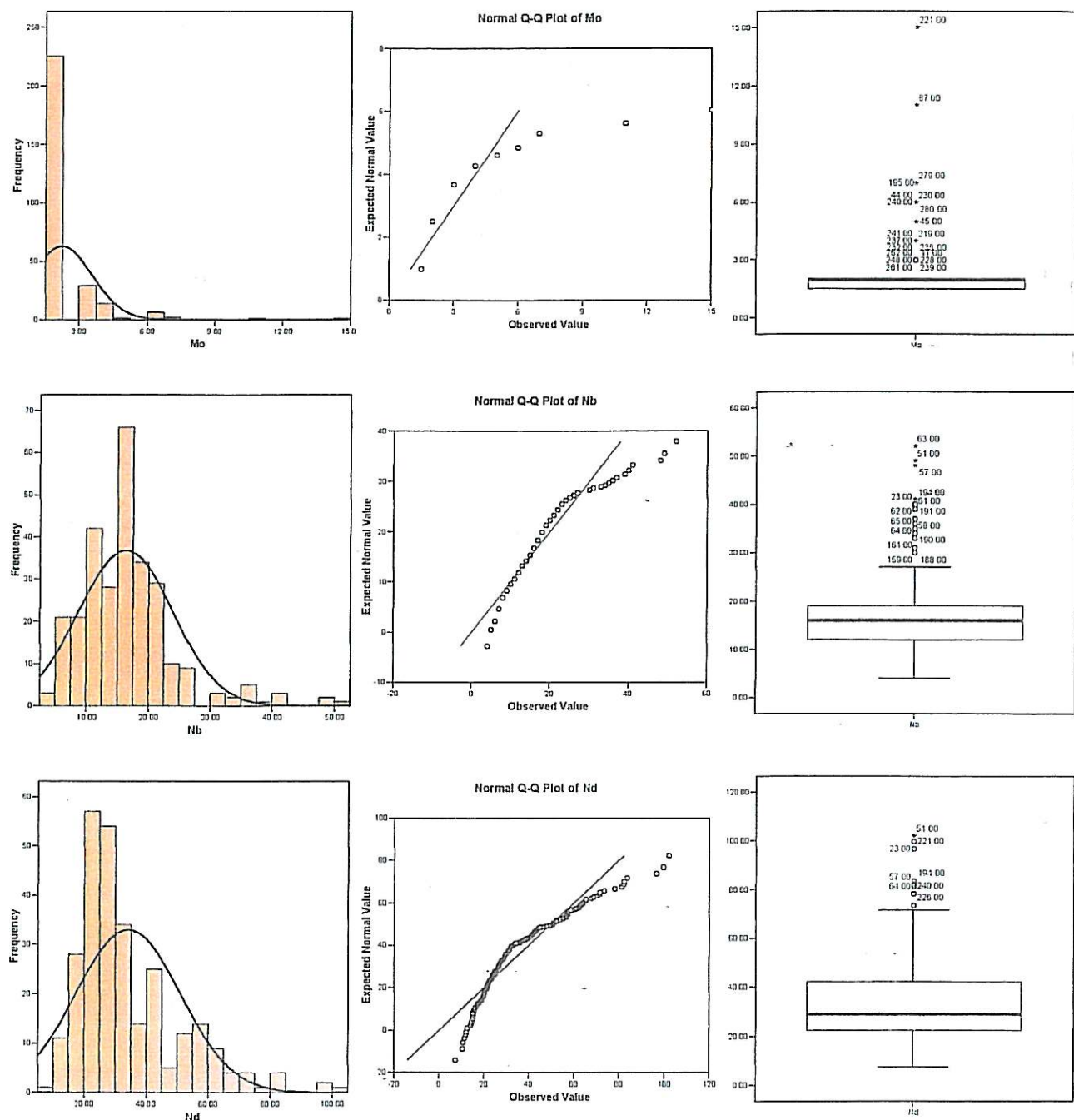
اکتشاف ریووشیمیائی عناصر کمیاب در محدوده شهرستان کلیبر و سراب



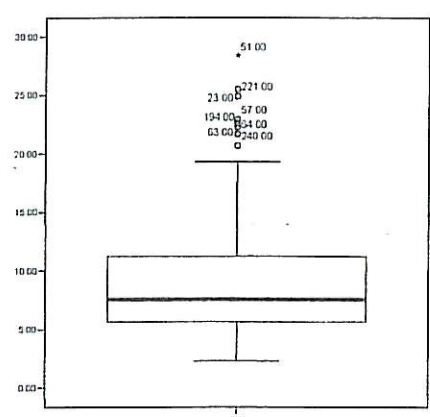
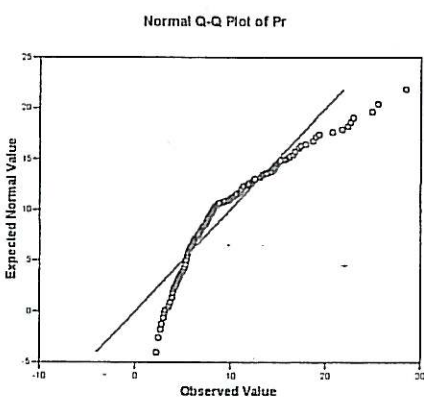
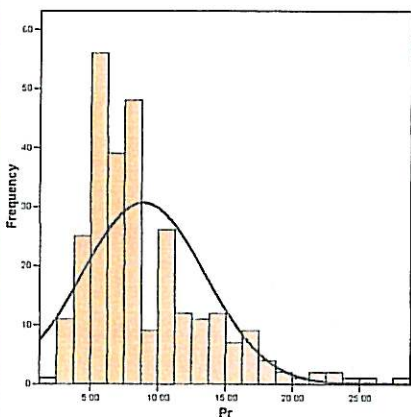
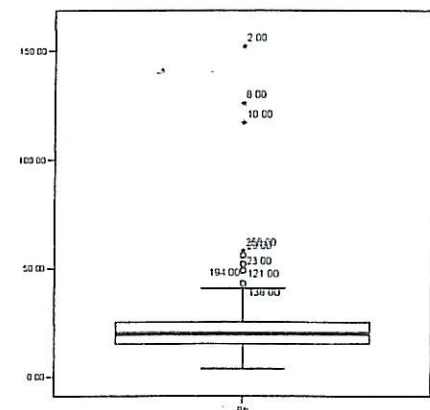
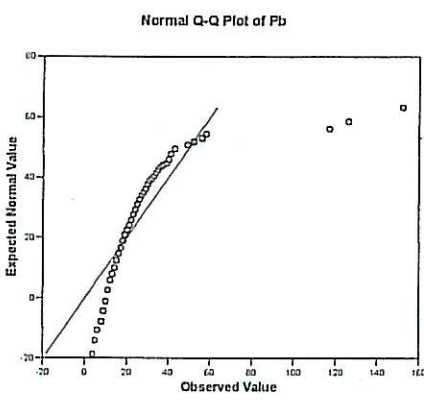
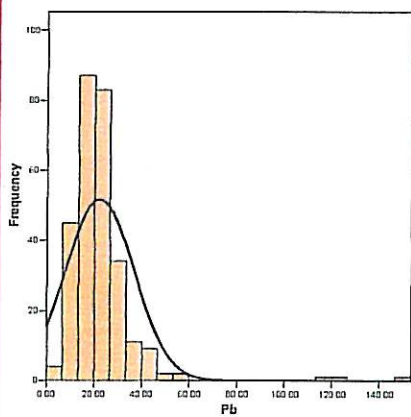
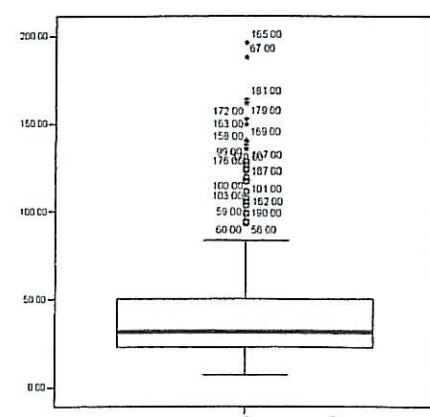
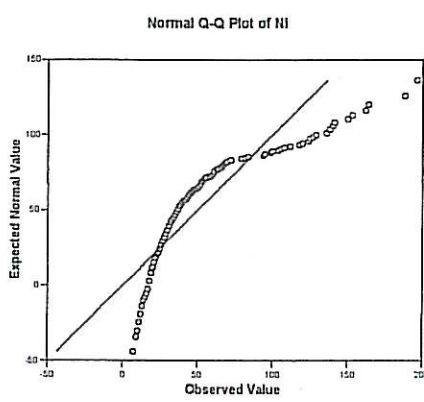
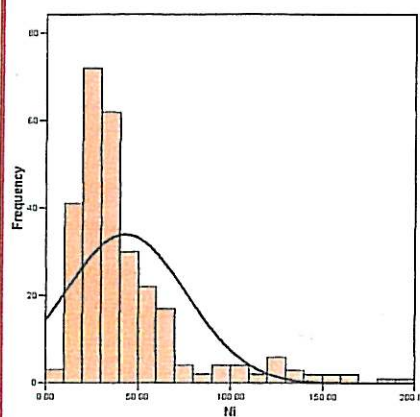
اکتشاف ژئوشیمیائی عناصر کمیاب در محدوده شهرستان کلیبر و سراب



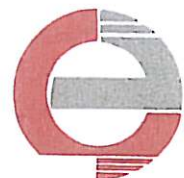
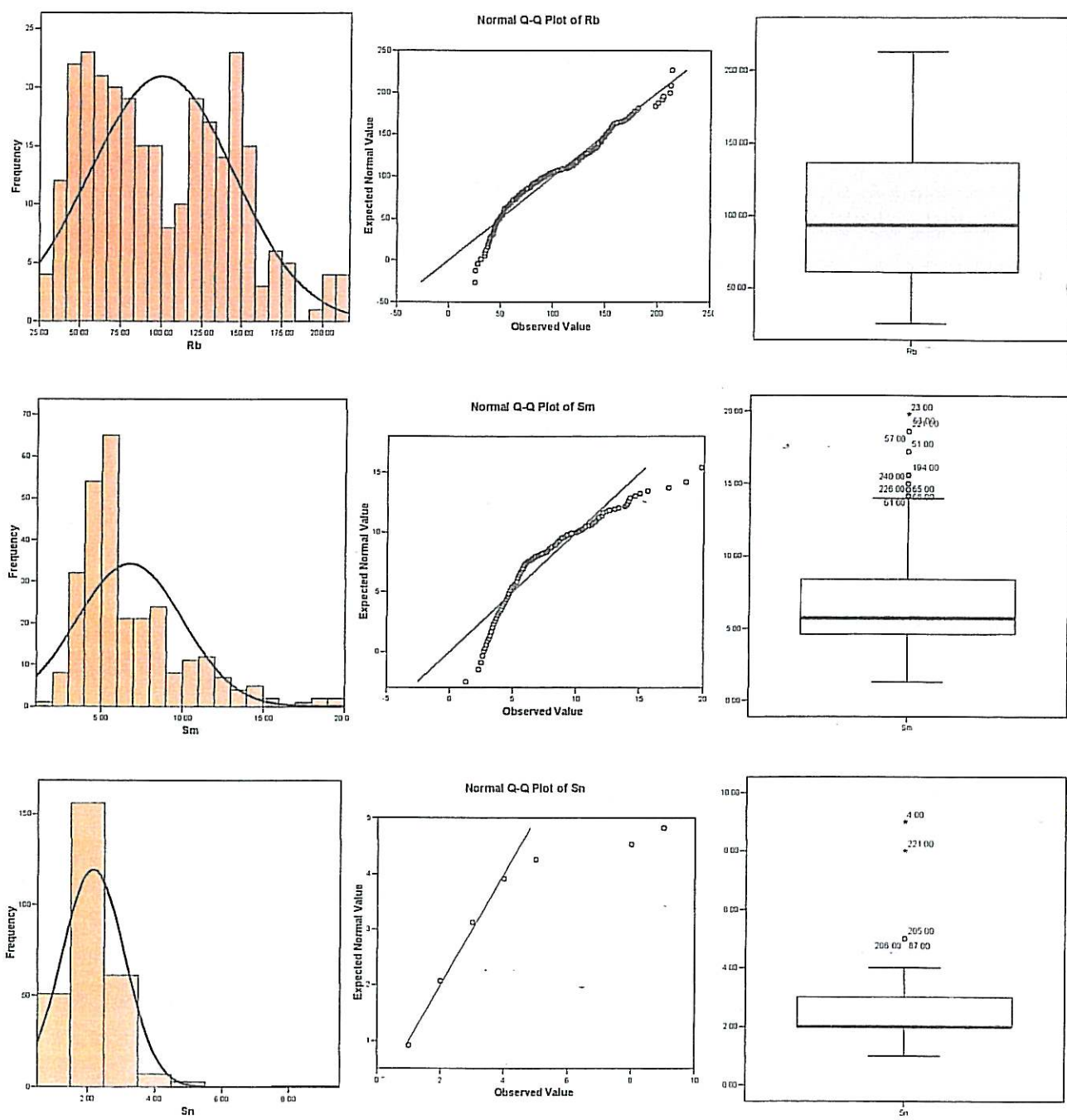
اکتشاف ژئوشیمیائی عناصر کمیاب در محدوده شهرستان کلیبر و سراب



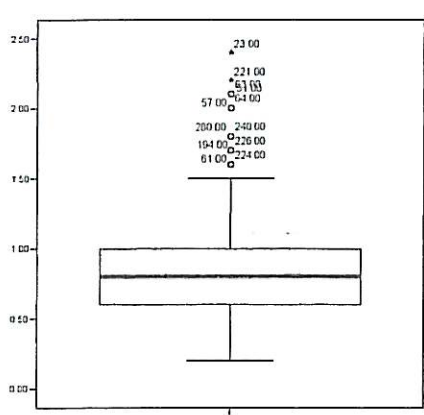
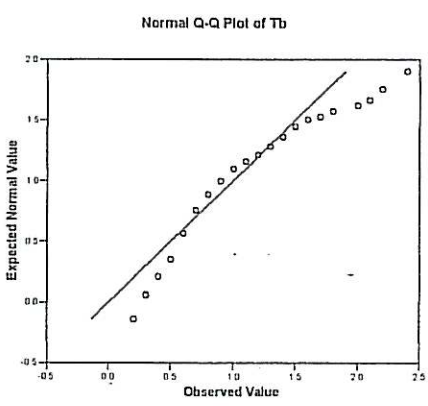
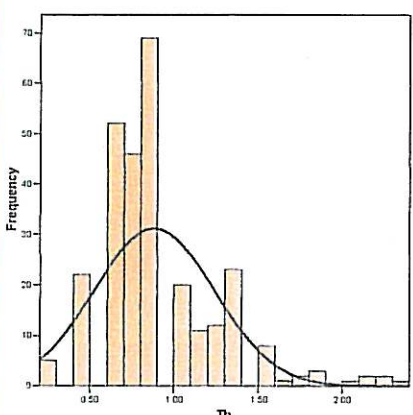
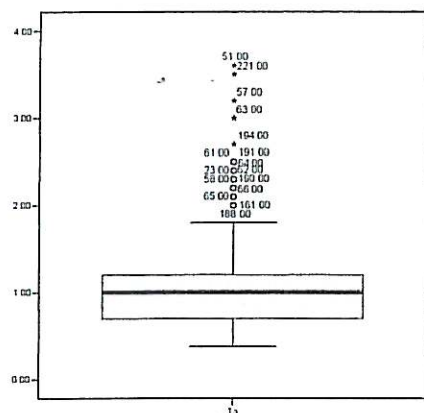
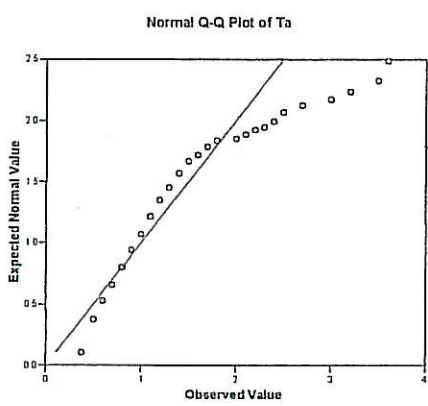
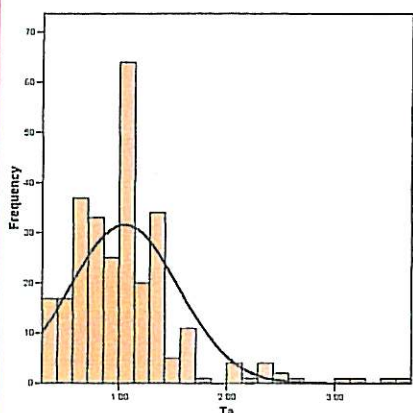
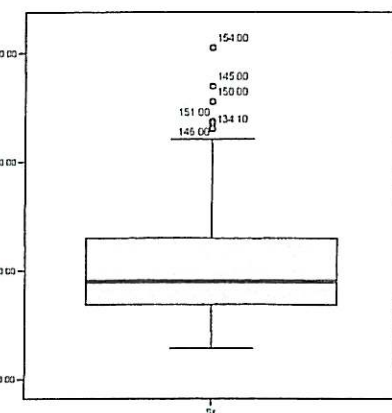
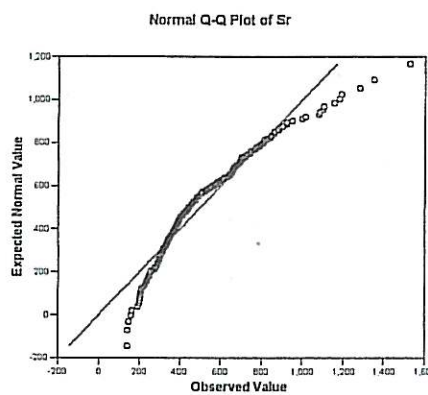
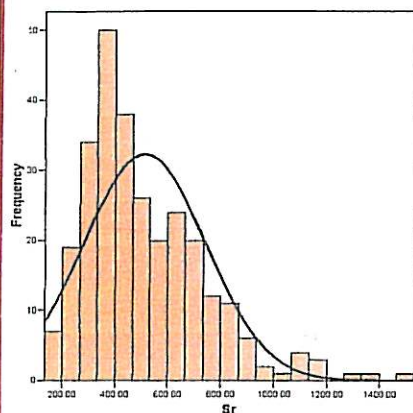
اکتشاف ژئوشیمیائی عناصر کمیاب در محدوده شهرستان کلیبر و سراب



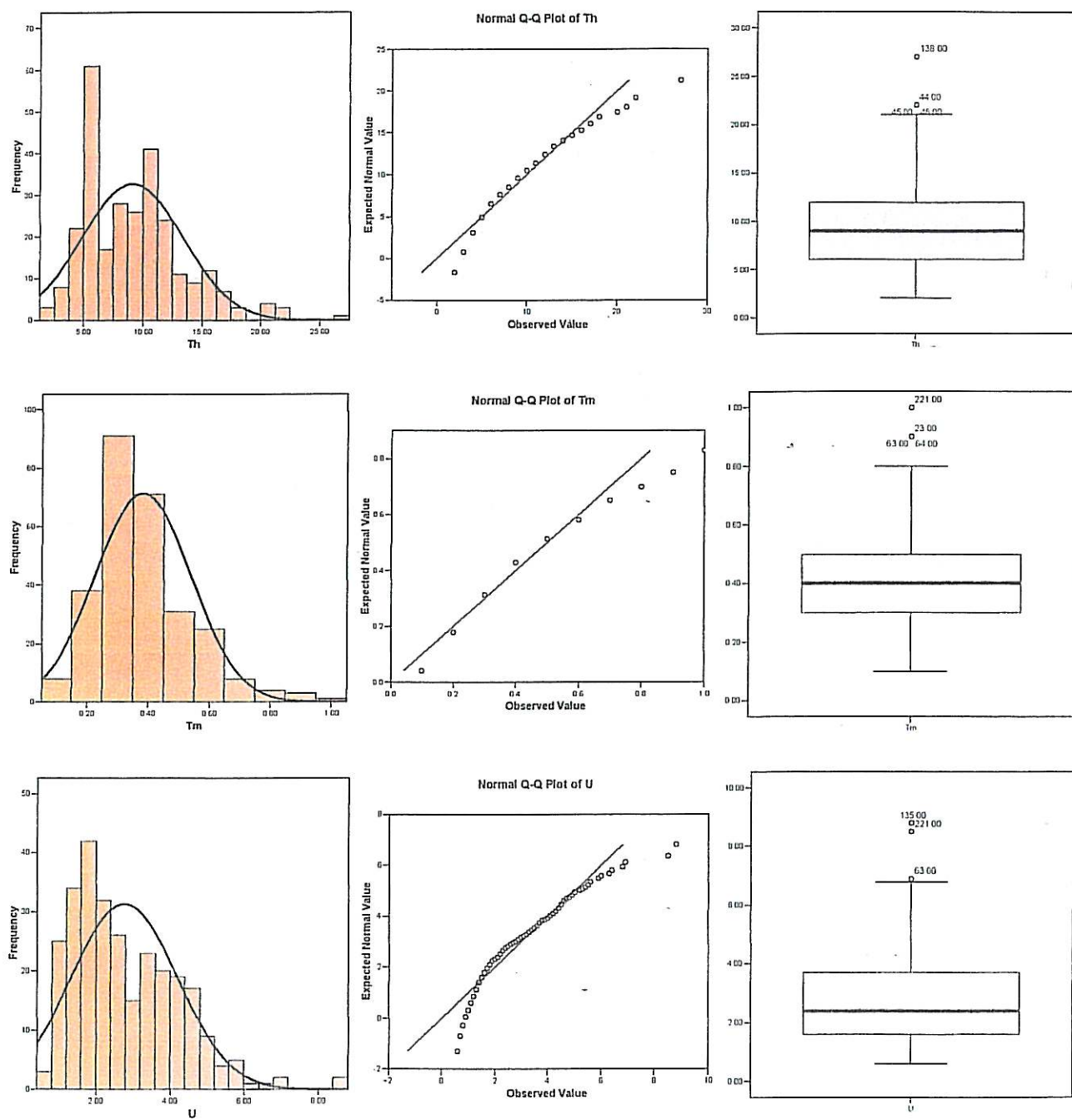
اکتشاف ژئوشیمیائی عناصر کمیاب در محدوده شهرستان کلیبر و سراب



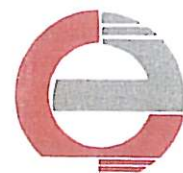
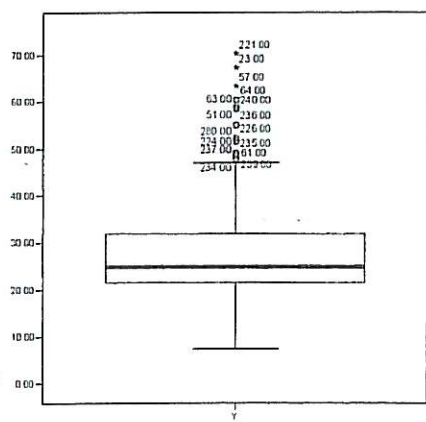
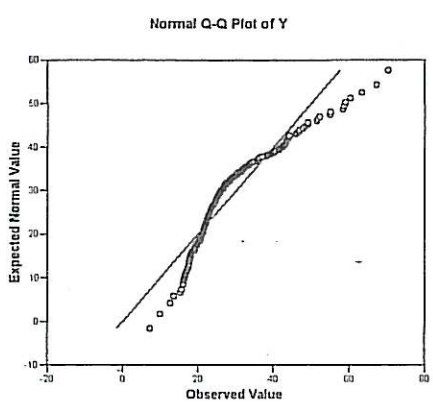
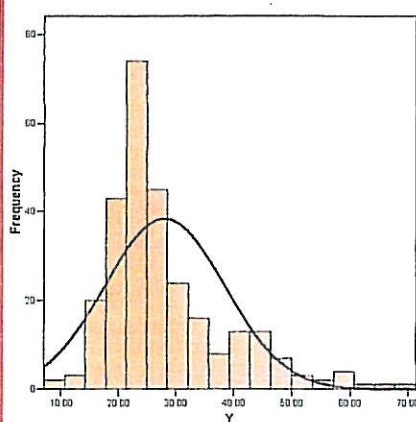
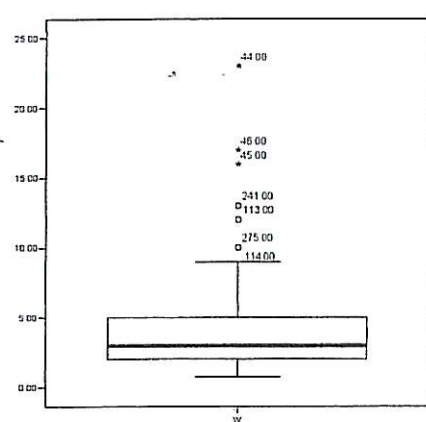
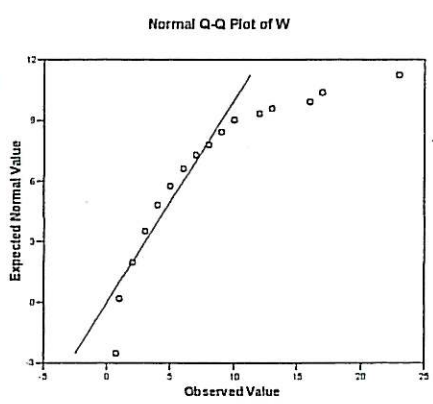
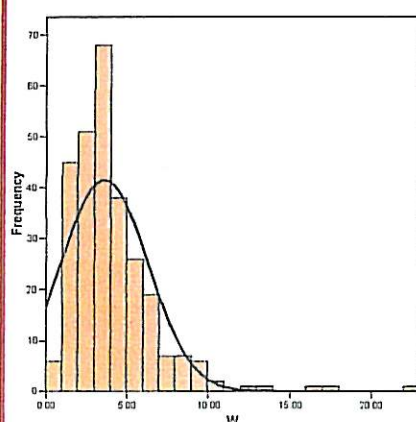
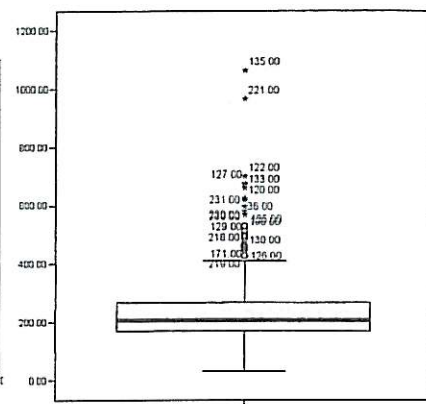
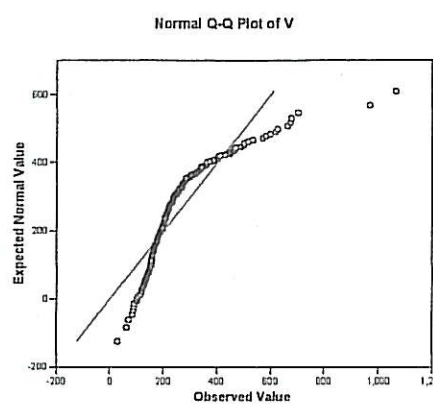
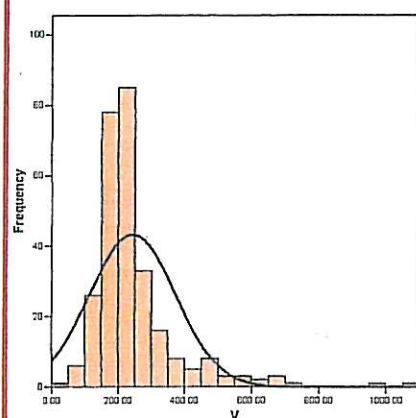
اکتشاف ژئوشیمیائی عناصر کرباب در محدوده شهرستان کلیبر و سراب



اکتشاف ژئوشیمیائی عناصر کمیاب در محدوده شهرستان کلیبر و سراب



اکتشاف ژئوشیمیائی عناصر کمیاب در محدوده شهرستان کلیبر و سراب



اکتشاف ژئوشیمیائی عناصر کمیاب در محدوده شهرستان کلیبر و سراب

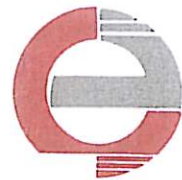
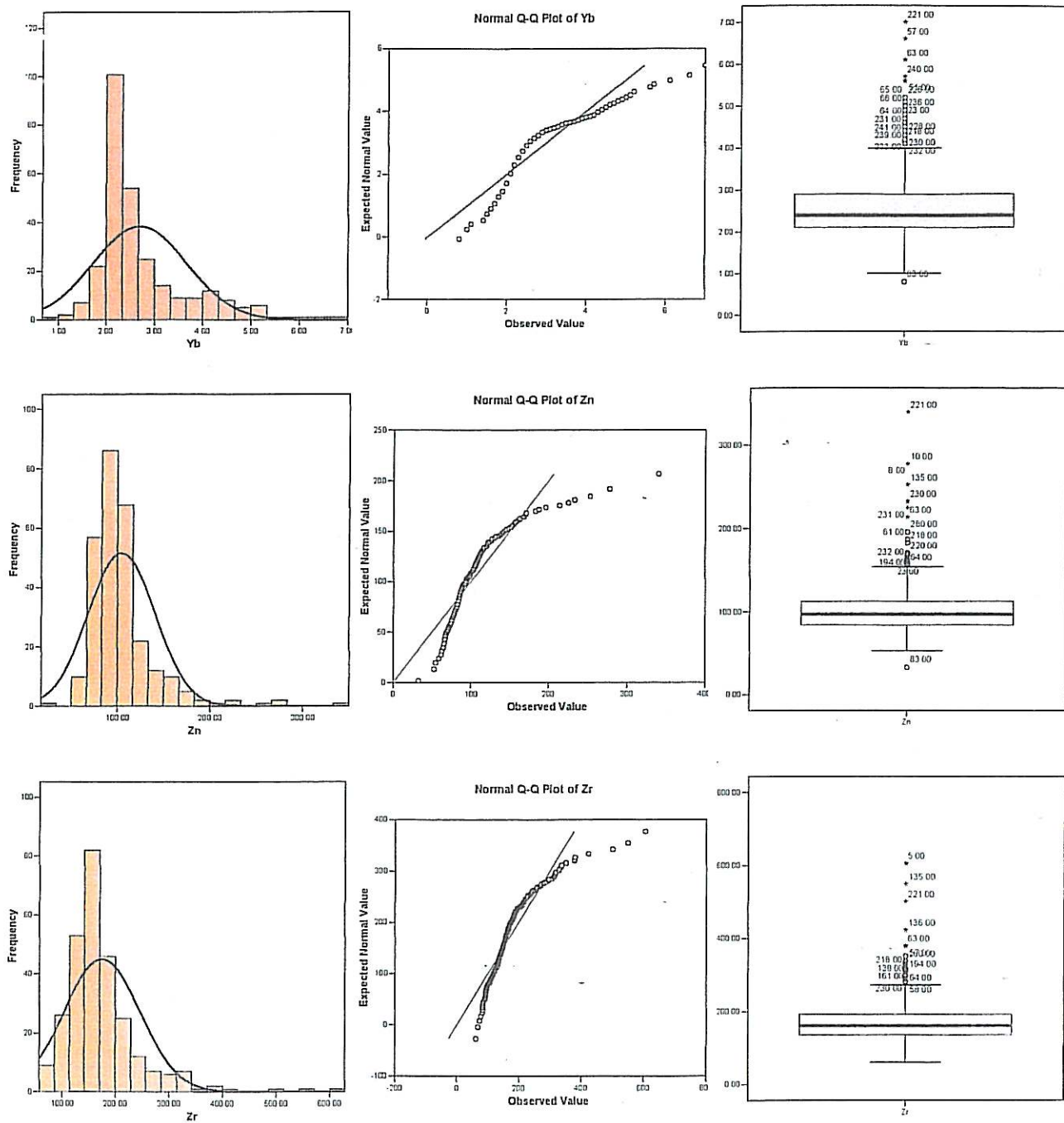


TABLE 5-1:THE STUDY OF HEAVY MINERAL IN Kaleybar & Sarab

FIELD NO.	2	5	8	9	23	25
Total Volume cc A	2000	2700	2700	2700	3500	3500
Panned Volume cc B	2	7	20	1.5	6	3
Study Volume cc C	2	7	20	1.5	6	3
Heavy Volume cc Y	1	1	19.5	1.3	5	1
Magnetite	388.50	172.67	11223.33	616.04	1628.00	177.60
Hematite	105.20	64.29	379.89	17.73	67.63	72.14
Ilmenite	0.01	0.00	0.00	0.01	0.00	1.61
Chromite	0.00	0.00	0.00	0.00	0.00	0.00
Garnets	0.01	0.01	86.67	0.01	308.57	0.01
Pyroxenes	120.00	134.44	325.00	101.11	38.57	41.14
Amphiboles	15.00	12.22	866.67	30.33	385.71	20.57
Epidotes	17.50	1.43	176.94	47.19	0.01	72.00
Biotite	0.00	0.00	0.01	0.01	0.00	0.00
Pyrite oxide	0.01	0.01	0.01	0.01	0.01	0.01
Pyrite Limonite	0.01	0.00	0.00	0.01	0.00	0.01
Oligiste	15.60	0.01	0.01	0.01	0.00	1.78
Limonite	1.75	1.43	0.01	1.18	0.00	1.20
Martite	0.00	0.00	0.00	0.00	0.00	0.00
Spinel	0.00	0.00	0.00	0.00	0.00	0.00
Pyrolusite	0.01	0.01	0.00	0.00	0.00	0.00
Goethite	0.01	0.01	0.00	0.00	0.00	0.01
Zircon	0.01	0.01	3.25	0.22	6.43	0.13
Apatite	0.15	0.11	195.00	0.14	17.14	0.09
Rutile	0.00	0.01	0.01	0.00	0.01	0.01
Barite	0.01	0.01	32.50	0.22	12.86	0.01
Sphene	0.01	0.01	505.56	0.17	155.00	0.10
Anatase	0.00	0.00	0.00	0.00	0.00	0.00
Leucoxene	0.00	0.00	0.00	0.00	0.00	0.00
Pyrite	0.01	0.01	0.00	0.01	0.01	0.01
Galena	0.00	0.00	0.00	0.00	0.00	0.00
Cerussite	0.00	0.00	0.00	0.00	0.00	0.00
Sphalerite	0.00	0.00	0.00	0.00	0.00	0.00
Flourite	0.00	0.00	0.00	0.00	0.00	0.00
Chalcopyrite	0.00	0.00	0.00	0.00	0.00	0.00
Malachite	0.00	0.00	0.00	0.00	0.00	0.00
Cinnabar	0.00	0.00	0.00	0.00	0.00	0.00
Scheelite	0.00	0.00	0.00	0.00	0.00	0.00
Gold	0.00	0.00	0.00	0.00	0.00	0.00
Orpiment	0.00	0.00	0.00	0.00	0.00	0.00
Corundum	0.00	0.00	0.00	0.00	0.00	0.00
Azomite	0.00	0.00	0.00	0.00	0.00	0.00
Dioptz	0.00	0.00	0.00	0.00	0.00	0.00
Brookite	0.00	0.00	0.00	0.00	0.00	0.00
Pyromorphite	0.00	0.00	0.00	0.00	0.00	0.00
Mimetite	0.00	0.00	0.00	0.00	0.00	0.00
Vanadinite	0.00	0.00	0.00	0.00	0.00	0.00
Native copper	0.00	.01(2)	0.00	.01(1)	0.00	.01(1)
Native lead	0.00	0.00	0.00	0.00	0.00	0.00
Molybdenite	0.00	0.00	0.00	0.00	0.00	0.00
Litharge	0.00	0.00	0.00	0.00	0.00	0.00
Ca,Carbonate	0.01	0.10	1.96	0.01	0.39	0.08
Altered minerals	150.15	161.11	357.50	39.14	43.71	75.43
Light minerals	0.01	0.00	0.01	0.00	0.01	0.01

TABLE 5-1: THE STUDY OF HEAVY MINERAL IN Kaleybar & Sarab

FIELD NO.	37	44	45	46	49	51
Total Volume cc A	3200	2500	3000	2400	2500	2500
Panned Volume cc B	2	2	7	3	7	13
Study Volume cc C	2	2	7	3	7	13
Heavy Volume cc Y	1.5	1.5	6	0.5	6	11.5
Magnetite	276.81	590.52	1574.72	21.58	3480.96	2859.36
Hematite	32.05	0.01	0.01	20.82	151.49	0.01
Ilmenite	0.00	0.00	0.00	0.00	0.01	0.00
Chromite	0.00	0.00	0.00	0.00	0.00	0.00
Garnets	0.01	24.00	0.01	158.33	172.80	0.01
Pyroxenes	18.28	3.60	66.00	0.01	43.20	179.40
Amphiboles	109.69	216.00	858.00	35.63	302.40	2511.60
Epidotes	170.63	12.60	0.01	0.01	50.40	0.00
Biotite	0.00	0.00	0.01	0.01	0.01	0.00
Pyrite oxide	0.01	0.00	0.01	19.79	7.20	0.01
Pyrite Limonite	0.00	0.00	0.00	0.01	0.01	0.01
Oligiste	0.00	0.00	0.00	0.00	0.01	0.01
Limonite	0.00	0.00	0.00	0.00	0.01	0.00
Martite	0.00	0.00	0.00	0.00	0.00	0.00
Spinel	0.00	0.00	0.00	0.00	0.00	0.00
Pyrolusite	0.00	0.00	0.00	0.00	0.00	0.00
Goethite	0.00	0.00	0.00	0.00	0.00	0.00
Zircon	2.95	0.27	0.90	0.09	43.20	2.07
Apatite	0.56	5.40	30.00	10.63	64.80	41.40
Rutile	0.01	0.00	0.01	0.00	0.01	0.01
Barite	0.42	2.70	27.00	0.56	1.08	207.00
Sphene	114.84	113.40	315.00	28.44	210.00	676.20
Anatase	0.01	0.00	0.01	0.00	0.01	0.00
Leucoxene	0.00	0.00	0.00	0.00	0.00	0.00
Pyrite	0.00	0.01	0.00	0.01	0.01	0.01
Galena	0.00	0.00	0.00	0.00	0.00	0.00
Cerussite	0.00	0.00	0.00	0.00	0.00	0.00
Sphalerite	0.00	0.00	0.00	0.00	0.00	0.00
Flourite	0.00	0.00	0.00	0.00	0.01	0.01
Chalcopyrite	0.00	0.00	0.00	0.00	0.00	0.00
Malachite	0.00	0.00	0.00	0.00	0.00	0.00
Cinnabar	0.00	0.00	0.00	0.00	0.00	0.00
Scheelite	0.00	0.00	0.00	0.00	.01(3)	0.00
Gold	*	0.00	0.00	0.00	0.00	0.00
Orpiment	0.00	0.00	0.00	0.00	0.00	0.00
Corundum	0.01	0.00	0.00	0.00	0.00	0.00
Azorite	0.00	0.00	0.00	0.00	0.00	0.00
Dioptaz	0.00	0.00	0.00	0.00	0.00	0.00
Brookite	0.00	0.00	0.00	0.00	0.00	0.00
Pyromorphite	0.00	0.00	0.00	0.00	0.00	0.00
Mimetite	0.00	0.00	0.00	0.00	0.00	0.00
Vanadinite	0.00	0.00	0.00	0.00	0.00	0.00
Native copper	0.00	0.00	0.00	0.00	0.00	0.00
Native lead	0.00	0.00	0.00	0.00	.01(1)	.01(1)
Molybdenite	0.00	0.00	0.00	0.00	0.00	0.00
Litharge	0.00	0.00	0.00	0.00	0.00	0.00
Ca,Carbonate	0.13	0.01	0.54	0.01	0.00	1.25
Altered minerals	10.41	54.00	246.60	36.31	139.68	546.48
Light minerals	0.01	0.01	0.01	0.01	0.01	0.01
Monazite	0.00	0.00	0.00	0.00	.01(1)	0.00
Nigrin	0.00	0.00	0.00	0.00	0.01	0.00

TABLE 5-1: THE STUDY OF HEAVY MINERAL IN Kaleybar & Sarab

FIELD NO.	54	57	58	59	61	122
Total Volume cc A	3000	2300	2500	3000	2300	2700
Panned Volume cc B	7	4	11	8	1	7
Study Volume cc C	7	4	11	8	1	7
Heavy Volume cc Y	6.5	1.5	8.5	6.5	0.7	6.5
Magnetite	2345.68	304.04	4579.12	224.47	315.30	3080.18
Hematite	10.26	154.37	125.19	0.01	32.02	8.86
Ilmenite	0.00	0.01	0.00	0.00	0.01	0.00
Chromite	0.00	0.00	0.00	0.00	0.00	0.00
Garnets	78.00	3.91	190.40	0.01	17.04	40.44
Pyroxenes	5.85	146.74	214.20	936.00	45.65	505.56
Amphiboles	585.00	88.04	571.20	819.00	63.91	202.22
Epidotes	6.83	3.42	8.33	0.01	1.07	82.57
Biotite	0.01	0.00	0.01	0.00	0.00	0.01
Pyrite oxide	0.01	0.01	0.01	0.00	0.01	0.00
Pyrite Limonite	0.00	0.01	0.01	0.00	0.01	0.01
Oligiste	0.01	0.01	0.01	0.00	0.01	0.00
Limonite	0.00	0.01	0.01	0.01	0.01	0.01
Martite	0.00	0.00	0.00	0.00	0.00	0.00
Spinel	0.00	0.00	0.00	0.00	0.00	0.00
Pyrolusite	0.00	0.00	0.00	0.00	0.00	0.00
Goethite	0.00	0.00	0.00	0.00	0.00	0.00
Zircon	0.98	0.29	15.30	0.01	0.14	1.08
Apatite	26.00	0.20	51.00	6.50	0.09	0.72
Rutile	0.01	0.01	0.01	0.01	0.01	0.01
Barite	9.75	0.01	15.30	0.98	0.14	1.08
Sphene	447.42	68.71	404.60	553.58	10.76	59.82
Anatase	0.00	0.01	0.00	0.01	0.00	0.00
Leucoxene	0.00	0.01	0.00	0.00	0.00	0.00
Pyrite	0.00	0.01	0.01	0.00	0.00	0.01
Galena	0.00	0.00	0.00	0.00	0.00	0.00
Cerussite	0.00	0.00	0.00	0.00	0.00	0.00
Sphalerite	0.00	0.00	0.00	0.00	0.00	0.00
Flourite	0.00	0.00	0.01	0.00	0.00	0.00
Chalcopyrite	0.00	0.00	0.00	0.00	0.00	0.00
Malachite	0.00	0.00	0.00	0.00	0.00	0.00
Cinnabar	0.00	0.00	0.00	0.00	0.00	0.00
Scheelite	0.00	0.00	0.00	0.00	.01(1)	0.00
Gold	0.00	0.00	0.00	0.00	0.00	*
Orpiment	0.00	0.00	0.00	0.00	0.00	0.00
Corundum	0.00	0.01	0.00	0.01	0.00	0.00
Azorite	0.00	0.00	0.00	0.00	0.00	0.00
Diopaz	0.00	0.00	0.00	0.00	0.00	0.00
Brookite	0.00	0.00	0.00	0.00	0.00	0.00
Pyromorphite	0.00	0.00	0.00	0.00	0.00	0.00
Mimetite	0.00	0.00	0.00	0.00	0.00	0.00
Vanadinite	0.00	0.00	0.00	0.00	0.00	0.00
Native copper	0.00	0.00	0.00	0.00	0.00	0.00
Native lead	0.00	.01(2)	0.00	0.00	0.00	0.00
Molybdenite	0.00	0.00	0.00	0.00	0.00	0.00
Litharge	0.00	0.00	0.00	0.00	0.00	0.00
Ca,Carbonate	0.01	0.01	0.92	0.01	0.01	0.65
Altered minerals	312.00	225.20	228.48	234.65	28.40	245.56
Light minerals	0.01	0.01	0.01	0.01	0.00	0.01
Powellite	.01(1)	0.00	0.00	0.00	0.00	0.00

TABLE 5-1:THE STUDY OF HEAVY MINERAL IN Kaleybar & Sarab

FIELD NO.	125	127	131	132	133	135
Total Volume cc A	2000	2000	2800	2000	3000	3000
Panned Volume cc B	44	17	21	28	25	8
Study Volume cc C	30	17	21	28	25	8
Heavy Volume cc Y	29	11.5	20.5	26.5	23.5	7.5
Magnetite	30845.17	5718.72	12894.50	20590.50	12173.00	3108.00
Hematite	0.01	0.01	115.53	348.48	288.42	21.04
Ilmenite	0.00	0.00	0.00	0.00	0.00	0.00
Chromite	0.00	0.00	0.00	0.00	0.00	0.00
Garnets	0.01	0.00	878.57	106.00	94.00	80.00
Pyroxenes	765.60	276.00	39.54	198.75	235.00	60.00
Amphiboles	5742.00	2070.00	527.14	2186.25	940.00	660.00
Epidotes	44.66	16.10	107.63	139.13	274.17	42.00
Biotite	38.28	13.80	0.01	0.01	0.01	0.01
Pyrite oxide	0.00	0.00	0.01	0.00	0.01	0.00
Pyrite Limonite	0.00	0.00	0.00	0.00	0.00	0.00
Oligiste	0.00	0.00	0.01	0.01	0.01	0.00
Limonite	0.00	0.00	0.00	0.00	0.01	0.01
Martite	0.00	0.00	0.00	0.00	0.00	0.00
Spinel	0.00	0.00	0.00	0.00	0.00	0.00
Pyrolusite	0.00	0.00	0.00	0.00	0.00	0.00
Goethite	0.00	0.00	0.00	0.00	0.00	0.00
Zircon	287.10	51.75	197.68	119.25	141.00	1.13
Apatite	957.00	224.25	87.86	397.50	117.50	6.00
Rutile	0.01	0.01	0.01	0.01	0.01	0.01
Barite	95.70	103.50	32.95	59.63	35.25	1.13
Sphene	74.43	2.01	538.13	1252.13	685.42	218.75
Anatase	0.01	0.01	0.01	0.01	0.01	0.01
Leucoxene	0.00	0.00	0.00	0.00	0.00	0.00
Pyrite	0.00	0.00	3.66	0.00	3.92	0.01
Galena	0.00	0.00	0.00	0.00	0.00	0.00
Cerussite	0.00	0.00	0.00	0.00	0.00	0.00
Sphalerite	0.00	0.00	0.00	0.00	0.00	0.00
Flourite	0.00	0.00	0.01	0.00	0.01	0.00
Chalcopyrite	0.00	0.00	0.00	0.00	0.00	0.00
Malachite	0.00	0.00	0.00	0.00	0.00	0.00
Cinnabar	0.00	0.00	0.00	0.00	0.00	0.00
Scheelite	0.00	0.00	0.00	.01(1)	0.00	.01(1)
Gold	*	*	0.00	0.00	0.00	0.00
Orpiment	0.00	0.00	0.00	0.00	0.00	0.00
Corundum	0.00	0.00	0.00	0.00	0.00	0.00
Azorite	0.00	0.00	0.00	0.00	0.00	0.00
Dioptaz	0.00	0.00	0.00	0.00	0.00	0.00
Brookite	0.00	0.00	0.00	0.00	0.00	0.00
Pyromorphite	0.00	0.00	0.00	0.00	0.00	0.00
Mimetite	0.00	0.00	0.00	0.00	0.00	0.00
Vanadinite	0.00	0.00	0.00	0.00	0.00	0.00
Native copper	0.00	.01(1)	0.00	0.00	0.00	0.00
Native lead	0.00	.01(1)	0.00	0.00	.01(1)	0.00
Molybdenite	0.00	0.00	0.00	0.00	0.00	0.00
Litharge	.01(1)	.01(1)	0.00	0.00	0.00	0.00
Ca,Carbonate	5.76	15.58	1.98	3.59	2.12	0.07
Altered minerals	1237.72	1243.73	303.11	461.10	390.10	189.08
Light minerals	0.01	0.01	0.01	0.01	0.01	0.01

TABLE 5-1:THE STUDY OF HEAVY MINERAL IN Kaleybar & Sarab

FIELD NO.	136	150	154	156	161	165
Total Volume cc A	3000	2800	3000	2500	2200	2300
Panned Volume cc B	11	1.5	4	9	2	1.5
Study Volume cc C	11	1.5	4	9	2	1.5
Heavy Volume cc Y	10.5	1	0.5	7.5	1	1
Magnetite	5801.60	518.00	224.47	4133.64	47.09	128.37
Hematite	7.36	11.27	0.53	37.87	4.78	54.43
Ilmenite	0.00	0.00	0.00	0.00	0.00	0.00
Chromite	0.00	0.00	0.00	0.00	0.00	0.00
Garnets	0.00	8.57	0.40	72.00	0.01	2.96
Pyroxenes	126.00	19.29	9.00	108.00	109.09	88.70
Amphiboles	336.00	38.57	39.00	432.00	354.55	199.57
Epidotes	0.01	15.00	3.50	126.00	0.01	2.59
Biotite	0.01	0.01	0.01	0.01	0.00	0.00
Pyrite oxide	0.00	0.01	0.01	0.01	0.00	0.01
Pyrite Limonite	0.00	0.01	0.00	0.01	0.00	0.01
Oligiste	0.00	0.01	0.00	0.01	0.00	0.01
Limonite	0.00	0.01	0.00	0.01	0.00	15.52
Martite	0.00	0.00	0.00	0.00	0.00	0.00
Spinel	0.00	0.00	0.00	0.00	0.00	0.00
Pyrolusite	0.00	0.00	.. 0.00	0.01	0.01	0.00
Goethite	0.00	0.00	0.00	0.00	0.00	0.00
Zircon	63.00	0.16	1.50	13.50	2.05	1.96
Apatite	105.00	0.11	7.00	45.00	0.14	3.91
Rutile	0.01	0.01	0.67	0.01	0.01	0.01
Barite	1.58	0.01	2.25	27.00	4.09	1.96
Sphene	122.50	30.13	0.06	241.50	122.50	70.00
Anatase	0.01	0.00	0.01	0.00	0.01	0.00
Leucoxene	0.00	0.00	0.00	0.00	0.00	0.00
Pyrite	0.00	0.00	0.00	0.00	0.01	0.01
Galena	0.00	0.00	0.00	0.00	0.00	0.00
Cerussite	0.00	0.00	0.00	0.00	0.00	0.00
Sphalerite	0.00	0.00	0.00	0.00	0.00	0.00
Flourite	0.00	0.00	0.00	0.00	0.00	0.00
Chalcopyrite	0.00	0.00	0.00	0.00	0.00	0.00
Malachite	0.00	0.00	0.00	0.00	0.00	0.00
Cinnabar	0.00	0.00	0.00	0.00	0.00	0.00
Scheelite	0.00	0.00	0.00	0.00	0.00	0.00
Gold	0.00	0.00	0.00	0.00	0.00	0.00
Orpiment	0.00	0.00	0.00	0.00	0.00	0.00
Corundum	0.00	0.00	0.00	0.00	0.01	0.00
Azomite	0.00	0.00	0.00	0.00	0.00	0.00
Dioptaz	0.00	0.00	0.00	0.00	0.00	0.00
Brookite	0.00	0.00	0.00	0.00	0.00	0.00
Pyromorphite	0.00	0.00	0.00	0.00	0.00	0.00
Mimetite	0.00	0.00	0.00	0.00	0.00	0.00
Vanadinite	0.00	0.00	0.00	0.00	0.00	0.00
Native copper	0.00	0.00	0.00	0.00	0.00	0.00
Native lead	0.00	0.00	0.00	0.00	.01(1)	0.00
Molybdenite	0.00	0.00	0.00	0.00	0.00	0.00
Litharge	0.00	0.00	0.00	0.00	0.00	0.00
Ca,Carbonate	0.95	0.01	0.01	0.01	0.01	1.18
Altered minerals	352.80	20.79	9.65	351.00	3.00	73.04
Light minerals	0.01	0.00	0.01	0.01	0.01	0.01

TABLE 5-1:THE STUDY OF HEAVY MINERAL IN Kaleybar & Sarab

FIELD NO.	171	180	218	219	220	221
Total Volume cc A	2600	3000	3000	3500	3000	2500
Panned Volume cc B	1	33	86	29	25	31
Study Volume cc C	1	33	30	29	25	31
Heavy Volume cc Y	0.6	32	26.5	25.5	17.5	28.5
Magnetite	22.71	14365.87	39350.73	12076.80	7252.00	18896.64
Hematite	97.11	0.01	532.78	153.29	245.47	239.86
Ilmenite	21.69	0.00	0.00	0.00	0.00	0.00
Chromite	0.00	0.00	0.00	0.00	0.00	0.00
Garnets	0.01	0.01	0.01	11.66	0.01	0.01
Pyroxenes	69.23	896.00	607.73	524.57	420.00	1094.40
Amphiboles	41.54	2912.00	3342.53	786.86	1400.00	820.80
Epidotes	0.01	261.33	354.51	0.01	163.33	15.96
Biotite	0.00	0.01	607.73	0.01	140.00	0.01
Pyrite oxide	0.01	0.00	0.00	0.00	0.01	0.01
Pyrite Limonite	0.00	0.00	0.00	0.00	0.00	0.00
Oligiste	0.01	0.00	0.01	0.01	0.00	0.01
Limonite	32.31	0.01	0.01	102.00	0.00	0.00
Martite	0.00	0.00	0.00	0.00	0.00	0.01
Spinel	0.00	0.00	0.00	0.00	0.00	0.00
Pyrolusite	0.00	0.00	0.00	0.00	0.00	0.00
Goethite	0.00	0.00	0.00	0.00	0.00	0.00
Zircon	0.01	48.00	113.95	32.79	26.25	102.60
Apatite	0.07	480.00	1291.43	284.14	280.00	513.00
Rutile	0.00	0.00	10.13	17.49	0.01	45.60
Barite	0.01	144.00	11.40	98.36	26.25	20.52
Sphene	0.00	3.73	212.71	127.50	40.83	23.94
Anatase	0.00	0.01	0.01	0.01	0.01	0.01
Leucoxene	0.01	0.00	0.00	0.00	0.00	0.00
Pyrite	0.00	0.01	0.01	0.01	0.01	0.00
Galena	0.00	0.00	0.00	0.00	0.00	0.00
Cerussite	0.00	0.00	0.00	0.00	0.00	0.00
Sphalerite	0.00	0.00	0.00	0.00	0.00	0.00
Flourite	0.00	0.00	0.00	0.00	0.00	0.00
Chalcopyrite	0.00	0.00	0.00	0.00	0.00	0.00
Malachite	0.00	0.00	0.00	0.00	0.00	0.00
Cinnabar	0.00	0.00	0.00	0.00	0.00	0.00
Scheelite	0.00	0.00	0.00	0.00	0.00	0.00
Gold	0.00	0.00	0.00	0.00	0.00	0.00
Orpiment	0.00	0.00	0.00	0.00	0.00	0.00
Corundum	0.00	0.00	0.01	0.00	0.00	0.00
Azomite	0.00	0.00	0.00	0.00	0.00	0.00
Diopaz	0.00	0.00	0.00	0.00	0.00	0.00
Brookite	0.00	0.00	0.00	0.00	0.00	0.00
Pyromorphite	0.00	0.00	0.00	0.00	0.00	0.00
Mimetite	0.00	0.00	0.00	0.00	0.00	0.00
Vanadinite	0.00	0.00	0.00	0.00	0.00	0.00
Native copper	0.00	0.00	0.00	0.00	0.00	0.00
Native lead	0.00	0.00	0.00	.01(1)	0.00	0.00
Molybdenite	0.00	0.00	0.00	0.00	0.00	0.00
Litharge	0.00	0.00	0.00	0.00	0.00	0.00
Ca,Carbonate	0.06	28.91	6.86	1.97	1.58	3.09
Altered minerals	69.99	489.60	1033.15	319.11	581.00	772.92
Light minerals	0.01	0.01	0.01	0.01	0.01	0.01
Monazite	0.00	0.00	.01(1)	0.00	0.00	0.00

TABLE 5-1:THE STUDY OF HEAVY MINERAL IN Kaleybar & Sarab

FIELD NO.	222	228	229	230	231	232	233
Total Volume cc A	2400	2700	2300	2400	3000	4000	3000
Panned Volume cc B	4	13	17	22	2.5	7	12
Study Volume cc C	4	13	17	22	2.5	7	12
Heavy Volume cc Y	2.5	11.5	11.5	15	2	5.5	9
Magnetite	1230.25	5736.37	7252.00	10360.00	328.07	1566.95	2066.82
Hematite	26.30	80.65	157.80	263.00	105.20	6.51	20.51
Ilmenite	0.00	0.00	0.00	0.00	0.00	0.00	0.00
Chromite	0.00	0.00	0.00	0.00	0.00	0.00	0.00
Garnets	0.01	0.00	0.01	0.00	0.01	0.01	0.01
Pyroxenes	125.00	613.33	630.00	225.00	210.00	148.50	351.00
Amphiboles	75.00	460.00	900.00	900.00	90.00	445.50	1521.00
Epidotes	175.00	8.94	0.01	0.01	14.00	0.01	0.01
Biotite	0.00	30.67	0.01	7.50	18.00	3.71	11.70
Pyrite oxide	0.01	0.00	0.01	0.01	0.01	0.01	0.00
Pyrite Limonite	0.01	0.00	0.01	0.00	0.00	0.00	0.00
Oligiste	0.00	0.01	0.00	0.00	0.01	0.00	0.00
Limonite	58.33	0.00	0.00	0.00	0.00	0.00	0.01
Martite	0.01	0.00	0.00	0.00	0.00	0.00	0.00
Spinel	0.00	0.00	0.00	0.00	0.00	0.00	0.00
Pyrolusite	0.00	0.00	0.00	0.00	0.00	0.00	0.00
Goethite	0.00	0.00	0.00	0.00	0.00	0.00	0.00
Zircon	0.01	1.92	45.00	28.13	0.01	0.01	8.10
Apatite	0.01	230.00	240.00	318.75	0.20	0.41	135.00
Rutile	0.01	17.04	0.01	0.01	0.00	0.01	1.20
Barite	0.01	19.17	22.50	28.13	0.01	0.01	40.50
Sphene	0.01	1.49	17.50	21.88	3.55	0.00	14.70
Anatase	0.00	0.01	0.00	0.01	0.01	0.00	0.01
Leucoxene	0.00	0.00	0.00	0.00	0.00	0.00	0.00
Pyrite	0.00	0.00	0.00	0.00	0.00	0.00	0.00
Galena	0.00	0.00	0.00	0.00	0.00	0.00	0.00
Cerussite	0.00	0.00	0.00	0.00	0.00	0.00	0.00
Sphalerite	0.00	0.00	0.00	0.00	0.00	0.00	0.00
Flourite	0.00	0.00	0.00	0.00	0.00	0.00	0.00
Chalcopyrite	0.00	0.00	0.00	0.00	0.00	0.00	0.00
Malachite	0.00	0.00	0.00	0.00	0.00	0.00	0.00
Cinnabar	0.00	0.00	0.00	0.00	0.00	0.00	0.00
Scheelite	0.00	0.00	0.00	0.00	0.00	0.00	0.00
Gold	0.00	0.00	0.00	0.00	0.00	0.00	0.00
Orpiment	0.00	0.00	0.00	0.00	0.00	0.00	0.00
Corundum	0.00	0.00	0.00	0.00	0.00	0.00	0.00
Azorite	0.00	0.00	0.00	0.00	0.00	0.00	0.00
Dioptaz	0.00	0.00	0.00	0.00	0.00	0.00	0.00
Brookite	0.00	0.00	0.00	0.00	0.00	0.00	0.00
Pyromorphite	0.00	0.00	0.00	0.00	0.00	0.00	0.00
Mimetite	0.00	0.00	0.00	0.00	0.00	0.00	0.00
Vanadinite	0.00	0.00	0.00	0.00	0.00	0.00	0.00
Native copper	0.00	0.00	0.00	0.01(1)	0.00	0.00	0.00
Native lead	0.00	0.00	0.00	0.00	0.00	0.00	0.00
Molybdenite	0.00	0.00	0.00	0.00	0.00	0.00	0.00
Litharge	0.00	0.00	0.00	0.00	0.00	0.00	0.00
Ca,Carbonate	0.01	1.15	1.36	0.00	0.01	0.01	0.01
Altered minerals	112.50	400.20	184.20	231.38	220.04	153.12	531.18
Light minerals	0.00	0.01	0.00	0.01	0.00	0.01	0.01

TABLE 5-1:THE STUDY OF HEAVY MINERAL IN Kaleybar & Sarab

FIELD NO.	234	235	236	239	240	241	246
Total Volume cc A	2000	2500	3000	3000	3400	3500	3000
Panned Volume cc B	3	7	14	5	14	7	4
Study Volume cc C	3	7	14	5	14	7	4
Heavy Volume cc Y	2.5	5.5	10.5	4	11	3	3.5
Magnetite	647.50	1367.52	5076.40	1049.81	4692.47	888.00	1208.67
Hematite	98.63	16.20	552.30	8.42	425.44	45.09	122.73
Ilmenite	0.00	0.00	0.00	0.00	0.00	0.00	0.00
Chromite	0.00	0.00	0.00	0.00	0.00	0.00	0.00
Garnets	0.00	0.00	0.01	0.01	0.00	0.00	0.01
Pyroxenes	281.25	369.60	252.00	288.00	97.06	77.14	105.00
Amphiboles	450.00	831.60	378.00	336.00	339.71	334.29	210.00
Epidotes	6.56	10.78	44.10	5.60	56.62	3.00	81.67
Biotite	56.25	92.40	25.20	48.00	48.53	0.01	3.50
Pyrite oxide	0.00	0.01	0.01	0.01	0.01	0.00	0.01
Pyrite Limonite	0.00	0.00	0.00	0.00	0.00	0.00	0.00
Oligiste	0.01	0.00	0.01	0.00	1.68	0.00	0.01
Limonite	0.01	0.00	0.01	0.00	0.00	0.01	0.01
Martite	0.00	0.00	0.00	0.00	0.00	0.00	0.00
Spinel	0.00	0.00	0.00	0.00	0.00	0.00	0.00
Pyrolusite	0.00	0.00	0.00	0.00	0.00	0.00	0.00
Goethite	0.00	0.00	0.00	0.00	0.00	0.00	0.00
Zircon	5.63	9.90	31.50	0.01	29.12	3.86	0.53
Apatite	48.75	92.40	115.50	0.40	116.47	43.71	52.50
Rutile	0.01	0.01	14.00	0.01	12.94	3.43	4.67
Barite	28.13	49.50	47.25	0.01	29.12	3.86	10.50
Sphene	4.38	0.01	24.50	0.00	33.97	0.30	12.25
Anatase	0.00	0.01	0.01	0.00	0.01	0.01	0.01
Leucoxene	0.00	0.00	0.00	0.00	0.00	0.00	0.00
Pyrite	0.00	0.00	0.00	0.00	0.01	0.00	0.01
Galena	0.00	0.00	0.00	0.00	.01(1)	0.00	0.00
Cerussite	0.00	0.00	0.00	0.00	0.00	0.00	0.00
Sphalerite	0.00	0.00	0.00	0.00	0.00	0.00	0.00
Flourite	0.00	0.00	0.00	0.00	0.00	0.00	0.00
Chalcopyrite	0.00	0.00	0.00	0.00	0.00	0.00	0.00
Malachite	0.00	0.00	0.00	0.00	0.00	0.00	0.00
Cinnabar	0.00	0.00	0.00	0.00	0.00	0.00	0.00
Scheelite	0.00	0.00	.01(1)	0.00	0.00	0.00	0.00
Gold	0.00	0.00	0.00	0.00	0.00	0.00	0.00
Orpiment	0.00	0.00	0.00	0.00	0.00	0.00	0.00
Corundum	0.00	0.00	0.01	0.00	0.01	0.01	0.00
Azorite	0.00	0.00	0.00	0.00	0.00	0.00	0.00
Dioptaz	0.00	0.00	0.00	0.00	0.00	0.00	0.00
Brookite	0.00	0.00	0.01	0.00	0.00	0.00	0.00
Pyromorphite	0.00	0.00	0.00	0.00	.01(2)	0.00	0.00
Mimetite	0.00	0.00	0.00	0.00	0.00	0.00	0.00
Vanadinite	0.00	0.00	0.00	0.00	0.00	0.00	0.00
Native copper	0.00	0.00	0.00	0.00	0.00	0.00	0.00
Native lead	0.00	0.00	.01(1)	0.00	0.00	0.00	0.00
Molybdenite	0.00	0.00	0.00	0.00	0.00	0.00	0.00
Litharge	0.00	0.00	0.00	0.00	0.00	0.00	0.00
Ca,Carbonate	0.34	0.60	0.95	0.01	0.88	0.01	0.01
Altered minerals	283.20	558.49	277.20	320.08	207.90	10.29	245.70
Light minerals	0.01	0.01	0.01	0.01	0.00	0.01	0.01

اکتشاف ژئوشیمیائی عناصر کمیاب در محدوده شهرستان کلیبر و سراب

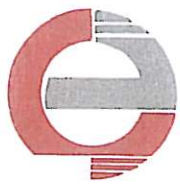
پیوست‌های فصل دوم

- داده‌های مربوط به خطای آنالیز
- نمودارهای خطأگیری تامپسون
- نمودارهای فراوانی و تجمعی داده‌های خام
- نمودارهای فراوانی و تجمعی داده‌های نرمال
- نتایج آنالیز داده‌های ژئوشیمیائی
- نتایج مطالعات نمونه‌های کانی سنگین



اکتشاف زئوژیمیائی عناصر کمیاب در محدوده شهرستان کلیبر و سراب

پیوست نتایج آنالیز زئوژیمیائی



ALS Chemex

EXCELLENCE IN ANALYTICAL CHEMISTRY

ALS Canada Ltd.

212 Brooksbank Avenue

North Vancouver BC V7J 2C1

Phone: 604 984 0221 Fax: 604 984 0218



To: KANPANZHOU RESEARCH COMPANY
NO 4 VAZIRIPOUR AVE MIRDAMAD BLDG
TEHRAN 15456
IRAN

Page: 1
Finalized Date: 19-JAN-2005
Account: TLD

CERTIFICATE VA05001309

ANALYTICAL PROCEDURES			
ALS CODE	DESCRIPTION	INSTRUMENT	
ME-MS81	38 element fusion ICP-MS		ICP-MS

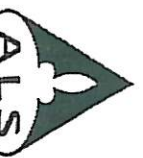
The following have access to data associated with this certificate:

SOHRAB BATMANGLIDJ	MOHAMMAD ZAIM
--------------------	---------------

To: KANPANZHOU RESEARCH COMPANY
ATTN: SOHRAB BATMANGLIDJ
NO 4 VAZIRIPOUR AVE MIRDAMAD BLDG
TEHRAN 15456
IRAN

This is the Final Report and supersedes any preliminary report with this certificate number. Results apply to samples as submitted. All pages of this report have been checked and approved for release.

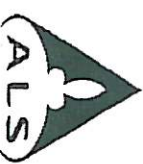
Signature: 



Project: Tehran Padir

CERTIFICATE OF ANALYSIS VA05001309

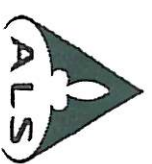
Sample Description	Method Analyte Units LOR	ME-MSB1 Ag ppm 1	ME-MSB1 Ba ppm 0.5	ME-MSB1 Ce ppm 0.5	ME-MSB1 Co ppm 0.5	ME-MSB1 Cr ppm 10	ME-MSB1 Cs ppm 0.1	ME-MSB1 Cu ppm 5	ME-MSB1 Dy ppm 0.1	ME-MSB1 Er ppm 0.1	ME-MSB1 Eu ppm 0.1	ME-MSB1 Ga ppm 0.1	ME-MSB1 Gd ppm 1	ME-MSB1 Hf ppm 0.1	ME-MSB1 Ho ppm 1	ME-MSB1 La ppm 0.1	ME-MSB1 Me-MSB1
1	<1	478	46.5	20.9	90	3.3	50	3.3	1.9	1.0	20	4.0	4	0.7	25.7		
2	<1	453	45.8	17.7	80	3.0	45	3.0	1.8	1.1	17	4.4	3	0.7	25.1		
3	<1	606	75.3	23.5	110	3.8	66	4.2	2.6	2.2	21	6.6	3	1.2	35.7		
4	<1	608	57.3	19.4	70	3.5	89	3.2	1.9	0.8	17	5.1	5	0.8	35.9		
5	<1	717	98.5	27.3	60	11.4	140	5.2	3.4	2.0	21	7.7	14	1.4	43.1		
6	<1	516	51.9	19.9	80	4.4	66	4.1	0.7	18	6.4	4	1.0	35.1			
7	<1	407	57.6	27.6	110	3.4	124	4.2	2.5	1.5	18	5.1	4	0.9	27.7		
8	<1	464	65.6	22.0	130	3.6	101	3.3	2.2	0.4	15	5.9	4	1.0	38.1		
9	<1	758	91.6	25.6	110	3.5	89	3.9	2.4	1.7	22	7.1	4	1.0	46.2		
10	<1	438	61.9	22.0	130	3.5	84	3.7	2.3	1.0	16	5.2	4	0.9	34.5		
11	<1	435	69.3	25.7	110	3.1	58	4.2	2.5	1.2	18	5.3	5	0.9	39.8		
12	<1	418	56.1	28.8	140	3.5	51	4.2	2.5	1.9	19	4.8	3	0.9	25.6		
13	<1	422	49.2	24.1	130	2.7	51	3.7	2.3	1.3	16	5.0	4	0.9	26.2		
14	<1	450	43.7	24.5	100	2.4	60	3.9	2.5	1.0	17	4.4	4	0.8	26.7		
15	<1	368	46.2	22.7	80	1.3	39	4.5	2.8	1.3	16	5.6	4	1.1	27.0		
16	<1	407	48.8	23.8	90	4.2	78	3.9	2.4	0.4	17	6.1	4	1.0	35.2		
17	<1	625	109.5	15.0	50	5.9	62	5.2	3.2	2.1	18	9.8	5	1.4	58.0		
18	<1	458	56.8	22.2	80	3.9	61	4.0	2.4	1.3	17	5.8	4	1.0	31.3		
19	<1	486	54.4	18.1	50	4.2	64	3.1	1.9	0.2	18	4.5	5	0.7	38.0		
20	<1	692	100.5	22.5	70	4.4	75	4.6	2.7	2.2	22	7.3	5	0.8	58.5		
21	<1	455	63.2	21.7	90	5.3	75	4.4	2.6	1.9	16	6.9	3	1.2	32.6		
22	<1	251	41.5	20.1	70	5.7	67	3.3	2.0	1.4	15	4.4	3	0.8	22.2		
23	<1	697	212	15.8	30	4.5	29	10.2	5.7	5.1	21	17.6	7	2.3	97.3		
24	<1	625	85.9	18.3	100	5.5	67	4.9	2.9	1.6	20	7.4	5	1.2	47.5		
25	<1	748	140.5	18.8	60	6.9	64	7.1	4.1	3.2	23	10.2	6	1.4	76.3		
26	<1	514	79.4	22.4	80	4.2	55	5.2	3.0	2.8	20	6.1	5	0.9	37.7		
27	<1	797	85.4	20.5	70	4.9	90	5.0	2.8	3.1	21	5.3	4	0.9	34.4		
28	<1	842	94.5	22.5	70	5.5	78	4.8	2.7	2.5	19	8.0	4	1.3	44.2		
29	<1	630	53.8	17.4	50	6.0	99	4.2	2.5	1.5	20	4.9	4	0.7	32.5		
30	<1	637	64.2	23.4	80	4.7	86	4.5	2.6	1.6	20	5.8	4	0.9	34.5		
31	<1	580	54.3	21.6	90	7.5	63	4.0	2.4	1.1	18	5.5	4	1.0	34.2		
32	<1	576	53.4	25.0	70	2.3	60	4.4	2.7	1.0	18	5.9	6	0.9	32.5		
33	<1	386	41.8	21.6	100	3.1	55	3.6	2.3	0.9	15	4.7	4	0.9	23.6		
34	<1	506	41.2	18.2	60	1.9	62	3.9	2.6	0.4	14	6.0	4	1.1	26.8		
35	<1	596	52.7	28.9	160	3.9	63	4.0	2.4	1.3	18	5.5	3	1.0	26.0		
36	<1	710	59.8	27.2	90	2.1	72	4.4	2.6	1.5	19	6.4	6	1.1	33.3		
37	<1	546	47.3	45.4	170	2.4	164	4.5	2.6	2.0	19	4.9	3	0.8	22.1		
38	<1	559	45.4	43.5	180	2.4	171	3.8	2.3	1.7	18	5.1	3	0.9	21.2		
39	<1	831	80.7	23.2	60	2.8	81	5.5	3.0	3.1	20	6.2	5	1.0	35.0		
40	<1	537	89.0	11.3	40	5.6	46	3.1	3.1	1.0	18	7.6	10	0.9	65.4		



Project: Tehran Padir

CERTIFICATE OF ANALYSIS V/A05001309

Sample Description	Method Analyte Units LOR	ME-MSB1 Lu ppm 0.1	ME-MSB1 Mo ppm 2	ME-MSB1 Nb ppm 1	ME-MSB1 Nd ppm 0.5	ME-MSB1 Ni ppm 5	ME-MSB1 Pb ppm 0.1	ME-MSB1 Pr ppm 0.2	ME-MSB1 Rb ppm 0.1	ME-MSB1 Sm ppm 1	ME-MSB1 Sn ppm 0.1	ME-MSB1 Sr ppm 1	ME-MSB1 Ta ppm 0.1	ME-MSB1 Tb ppm 0.1	ME-MSB1 Th ppm 0.5	ME-MSB1 Ti ppm 1	ME-MSB1
1	0.2	2	12	22.6	37	18	5.8	52.9	4.6	2	509	0.7	0.6	7	<0.5		
2	0.3	<2	12	22.3	35	152	5.7	60.7	4.5	1	392	0.7	0.7	6	<0.5		
3	0.5	2	18	32.5	49	22	8.2	82.6	6.7	3	400	1.0	1.0	8	<0.5		
4	0.3	3	15	29.5	35	21	7.8	65.7	4.9	9	400	0.9	0.7	9	<0.5		
5	0.7	3	23	40.8	27	27	10.1	98.7	8.5	3	450	1.4	1.2	17	<0.5		
6																	
7	0.4	2	13	32.1	47	36	8.1	84.7	5.3	2	268	0.8	0.9	9	<0.5		
8	0.4	2	12	27.8	37	18	7.1	62.3	6.1	2	335	0.7	0.8	9	<0.5		
9	0.4	3	24	33.6	63	126	8.6	78.6	5.1	2	420	1.4	0.9	9	<0.5		
10	0.4	2	20	41.8	53	27	10.6	73.6	7.2	3	724	1.2	1.0	10	<0.5		
11	0.4	3	23	29.2	52	117	7.7	66.8	5.3	2	432	1.4	0.8	8	<0.5		
12	0.4	2	18	32.7	40	33	8.8	60.7	5.5	1	329	1.0	0.8	6	<0.5		
13	0.3	2	17	23.0	38	17	5.8	61.2	5.4	2	346	0.9	0.8	6	<0.5		
14	0.3	2	16	24.1	33	20	6.1	58.6	4.8	2	359	0.9	0.7	6	<0.5		
15	0.4	2	21	23.8	27	16	6.2	53.3	4.7	1	327	1.1	0.7	5	<0.5		
16	0.3	2	26	26.5	38	12	6.5	56.8	4.9	2	207	1.4	0.9	6	<0.5		
17	0.5	3	16	31.7	66	32	8.2	82.3	4.7	2	314	1.0	0.9	9	<0.5		
18	0.4	2	16	52.5	25	41	13.7	152.0	8.9	2	462	1.4	1.4	14	<0.5		
19	0.2	<2	16	31.8	30	19	8.4	65.3	4.7	1	409	0.9	0.9	8	<0.5		
20	0.3	2	22	44.9	32	25	12.5	89.5	8.5	2	504	0.9	0.6	8	<0.5		
21	0.5	3	16	31.7	42	20	7.9	78.4	6.1	2	743	1.2	1.0	12	<0.5		
22	0.3	2	12	20.3	28	21	5.4	62.5	4.4	1	442	0.9	1.1	8	<0.5		
23	0.8	2	40	99.7	11	49	25.5	153.5	19.8	3	662	2.4	2.4	18	<0.5		
24	0.4	4	17	43.1	46	34	11.2	116.5	7.8	2	417.	1.1	1.1	14	<0.5		
25	0.5	2	25	62.6	27	40	16.8	128.5	12.4	2	686	1.3	1.5	15	<0.5		
26																	
27	0.4	2	18	31.2	29	24	8.3	80.2	8.3	2	459	1.0	0.9	9	<0.5		
28	0.5	3	16	39.5	45	27	7.6	89.5	7.9	2	524	0.7	0.8	9	<0.5		
29	0.3	2	11	30.2	22	56	10.2	123.0	8.0	3	442	0.9	1.2	13	<0.5		
30	0.3	2	14	31.7	31	33	8.2	79.0	6.7	2	504	0.6	0.7	9	<0.5		
31	0.4	2	16	31.1	45	29	8.1	96.3	5.6	2	452	0.8	0.8	9	<0.5		
32	0.4	2	13	32.1	27	16	8.2	58.7	6.1	1	500	0.8	0.8	8	<0.5		
33	0.3	<2	12	23.5	44	15	5.9	53.3	4.5	1	342.	0.7	0.7	6	<0.5		
34	0.4	2	11	27.0	34	13	6.7	55.7	4.7	2	350.	0.7	0.9	6	<0.5		
35	0.4	3	13	25.6	67	22	6.3	82.1	5.3	2	291	0.8	0.9	6	<0.5		
36	0.5	2	12	33.1	30	15	8.3	68.2	6.6	2	535	0.7	1.0	8	<0.5		
37	0.4	<2	8	22.1	68	9	5.5	86.9	6.0	2	477	<0.5	0.8	5	<0.5		
38	0.4	<2	7	23.3	69	11	5.5	92.2	5.6	2	464	<0.5	0.8	5	<0.5		
39	0.5	2	12	30.2	25	37	8.0	113.5	8.4	2	647	0.8	0.9	9	<0.5		
40	0.3	<2	25	50.8	15	39	14.4	120.0	8.7	1	770	1.7	1.0	16	<0.5		



ALS Chemex
EXCELLENCE IN ANALYTICAL CHEMISTRY

ALS Canada Ltd.

212 Brooksbank Avenue

North Vancouver BC V7J 2C1

Phone: 604 984 0221

Fax: 604 984 0218

To: KANPANZHOU RESEARCH COMPANY
NO 4 VAZIRIPOUR AVE MIRDAMAD BLDG
TEHRAN 15456
IRAN

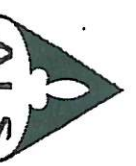
Total # Pages: 9 (A - C)
Finalized Date: 19-JAN-2005
Account: TLD

Project: Tehran Padir

CERTIFICATE OF ANALYSIS VA05001309

Sample Description	Method Analyte Units LOR	ME-MSB1 Tm ppm 0.1	ME-MSB1 U ppm 0.5	ME-MSB1 V ppm 5	ME-MSB1 W ppm 1	ME-MSB1 Y ppm 0.5	ME-MSB1 Tb ppm 0.1	ME-MSB1 Zn ppm 5	ME-MSB1 Yb ppm 0.1	ME-MSB1 Zr ppm 0.5
1	0.3	1.3	200	2	19.8	1.8	87	126.5		
2	0.3	1.2	160	2	20.9	1.7	68	115.0		
3	0.5	1.9	207	1	34.0	2.3	110	152.0		
4	0.3	1.3	162	4	21.3	1.8	122	163.5		
5	0.6	3.4	351	6	43.1	3.4	115	605		
6	0.4	1.4	223	1	31.0	2.3	91	136.0		
7	0.4	2.3	215	3	28.0	2.2	78	137.0		
8	0.4	1.6	178	2	30.3	2.1	278	159.0		
9	0.4	1.8	221	3	29.4	2.2	109	183.0		
10	0.4	1.7	158	3	26.0	2.2	278	158.5		
11	0.3	1.3	222	3	25.7	2.4	80	151.0		
12	0.3	1.6	177	3	23.9	2.1	71	140.0		
13	0.3	1.3	207	4	23.4	2.2	76	141.0		
14	0.3	1.2	201	3	21.2	2.2	75	138.0		
15	0.4	1.4	170	2	29.9	2.5	79	153.0		
16	0.4	1.5	184	3	26.1	2.2	82	131.5		
17	0.5	4.3	236	3	40.1	2.9	117	219		
18	0.4	1.7	220	5	24.9	2.3	76	143.0		
19	0.3	1.1	165	4	17.7	1.8	77	131.5		
20	0.3	2.3	170	4	24.7	2.2	87	171.5		
21	0.5	2.2	200	1	32.4	2.5	82	134.5		
22	0.3	1.5	167	2	21.1	2.0	62	108.5		
23	0.9	6.3	347	3	67.3	4.7	157	330		
24	0.4	2.5	213	5	34.3	2.7	86	170.5		
25	0.5	3.7	278	5	40.2	3.5	142	217		
26	0.3	2.2	228	3	25.7	2.6	97	167.5		
27	0.3	3.2	219	4	24.8	2.5	102	159.5		
28	0.5	3.0	260	2	37.0	2.7	91	167.0		
29	0.3	2.0	241	2	21.3	2.2	160	137.0		
30	0.3	1.9	238	4	25.7	2.4	104	142.5		
31	0.4	2.1	210	2	27.3	2.4	82	136.5		
32	0.4	1.7	405	3	28.0	2.8	77	184.5		
33	0.3	1.2	208	1	25.3	2.2	66	135.5		
34	0.4	1.3	233	2	33.2	2.4	53	122.5		
35	0.4	1.6	231	1	30.5	2.1	84	118.5		
36	0.5	2.2	570	2	32.9	2.5	85	256		
37	0.3	1.3	360	3	24.6	2.1	107	94.6		
38	0.3	1.3	374	3	25.9	2.0	104	93.6		
39	0.4	2.9	237	5	29.6	2.8	105	160.5		
40	0.3	2.8	231	8	26.9	2.8	109	194.5		

ALS Chemex
EXCELLENCE IN ANALYTICAL CHEMISTRY



ALS Canada Ltd.
 212 Brookbank Avenue
 North Vancouver BC V7J 2C1
 Phone: 604 984 0221 Fax: 604 984 0218

To: KANPANZHOU RESEARCH COMPANY
 NO 4 VAZIRIPOUR AVE MIRDAMAD BLDG
 TEHRAN 15456
 IRAN

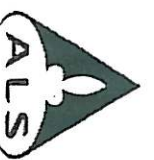
Project: Tehran Padir

CERTIFICATE OF ANALYSIS VA05001309

Sample Description	Methd Analyte Units LOR	ME-MSB1 Ag ppm 1	ME-MSB1 Ba ppm 0.5	ME-MSB1 Ce ppm 0.5	ME-MSB1 Co ppm 0.5	ME-MSB1 Cr ppm 0.5	ME-MSB1 Cs ppm 0.5	ME-MSB1 Cu ppm 0.1	ME-MSB1 Dy ppm 5	ME-MSB1 Er ppm 0.1	ME-MSB1 Eu ppm 0.1	ME-MSB1 Ga ppm 0.1	ME-MSB1 Gd ppm 1	ME-MSB1 Hf ppm 0.1	ME-MSB1 Ho ppm 1	ME-MSB1 La ppm 0.1	ME-MSB1 ME-MSB1
41	<1	683	86.4	13.8	40	5.5	71	4.6	2.8	1.1	18	6.9	7	0.9	58.8		
42	<1	805	94.0	15.9	50	5.2	78	5.1	2.9	1.7	20	7.9	6	1.1	58.7		
43	<1	1025	88.0	18.0	60	4.5	72	5.5	3.1	2.2	18	8.0	6	1.0	54.0		
44	<1	500	117.0	10.3	20	4.7	325	5.1	3.1	2.1	23	7.8	7	1.1	67.5		
45	<1	305	95.5	9.7	20	2.8	217	5.4	3.4	1.7	23	6.3	9	0.8	66.1		
46	<1	335	108.0	10.3	20	3.0	243	5.4	3.2	1.8	23	7.0	7	1.0	69.3		
47	<1	814	92.1	21.1	60	4.4	80	4.6	2.8	1.4	20	7.1	7	1.0	56.4		
48	<1	606	73.7	14.4	60	4.1	52	4.1	2.7	1.0	19	5.8	8	0.8	51.9		
49	<1	553	84.4	12.9	50	4.1	116	4.3	2.7	1.4	19	6.2	6	0.9	52.0		
50	<1	1000	104.0	13.0	50	6.1	36	5.5	3.0	2.5	21	6.7	5	1.0	57.1		
51	<1	663	176.5	10.8	20	3.9	24	11.3	6.3	3.5	20	16.2	13	2.0	105.0		
52	<1	379	32.6	15.2	80	1.5	41	3.3	2.0	0.3	13	3.7	4	0.7	23.4		
53	<1	274	36.0	22.3	100	1.2	34	3.6	2.2	0.8	16	3.8	6	0.6	23.0		
54	<1	786	52.1	6.7	<10	4.3	18	2.2	1.2	0.8	18	3.0	3	0.4	33.0		
55	<1	348	50.8	20.0	120	3.6	50	4.4	2.4	1.6	16	4.9	4	0.9	27.8		
56	<1	340	59.3	21.5	270	4.6	34	5.0	2.9	1.3	19	4.9	6	0.8	34.4		
57	<1	490	190.5	20.8	670	2.9	17	12.6	6.9	4.3	22	14.0	13	2.0	90.3		
58	<1	355	112.5	20.3	510	3.7	28	7.7	4.3	2.0	18	10.6	11	1.5	67.9		
59	<1	231	44.9	18.0	1700	2.0	24	3.8	2.4	0.7	13	4.1	7	0.7	27.5		
60	<1	398	78.6	22.4	300	4.0	36	4.6	2.7	1.0	17	6.8	7	1.0	50.2		
61	<1	477	156.5	20.9	790	3.6	25	9.6	5.5	3.4	22	12.0	11	1.7	84.3		
62	<1	476	150.0	17.7	80	5.7	40	7.9	4.5	2.5	23	11.2	10	1.5	85.9		
63	<1	608	206	20.8	50	3.7	22	12.0	6.8	5.3	26	15.5	12	2.1	93.2		
64	<1	645	153.5	22.6	420	3.9	42	9.0	5.2	3.1	22	14.4	10	2.0	87.0		
65	<1	553	139.5	21.9	400	3.5	25	9.7	5.6	3.8	21	10.5	10	1.5	70.3		
66	<1	822	151.5	16.2	90	4.2	25	9.2	5.2	3.5	23	10.8	9	1.5	77.7		
67	<1	245	35.5	35.3	1460	2.5	58	3.5	2.1	1.2	16	3.5	4	0.7	18.0		
68	<1	403	90.3	21.5	860	3.4	30	6.7	4.0	1.8	18	7.4	10	1.1	54.7		
69	<1	426	55.9	18.2	180	3.6	35	4.3	2.6	0.7	16	5.6	5	1.0	32.8		
70	<1	477	70.6	21.9	330	3.3	33	5.8	3.5	1.9	18	6.7	7	1.2	36.3		
71	<1	472	73.5	21.8	240	3.5	32	5.9	3.5	2.5	19	5.5	6	1.0	33.7		
72	<1	495	56.5	23.3	210	3.1	43	5.1	3.1	1.3	19	5.2	5	1.0	29.6		
73	<1	504	50.0	19.0	210	2.7	32	4.3	2.7	1.2	16	4.0	5	0.7	25.2		
74	<1	578	54.4	20.5	260	2.7	39	4.7	2.8	1.8	16	5.1	4	0.9	25.9		
75	<1	471	63.9	21.6	130	4.6	31	5.2	3.1	1.8	19	4.8	5	0.8	28.8		
76	<1	325	42.4	16.8	600	2.6	25	3.5	2.1	1.6	13	3.1	4	0.6	20.0		
77	<1	505	76.5	21.6	250	2.9	33	5.1	3.0	2.1	15	5.8	4	1.0	32.3		
78	<1	351	50.2	19.2	180	3.4	46	3.9	2.4	1.2	14	4.3	4	0.8	24.3		
80	<1	389	41.3	17.6	80	2.7	51	3.7	2.3	0.9	14	3.8	4	0.7	21.8		
82	<1	360	42.2	13.4	60	2.3	23	3.1	2.0	1.0	12	3.0	5	0.6	21.6		

Total # Pages: 9 (A - C)
 Finalized Date: 19-JAN-2005
 Account: TLD

ALS Chemex
EXCELLENCE IN ANALYTICAL CHEMISTRY
 ALS Canada Ltd.
 212 Brooksbank Avenue
 North Vancouver BC V7J 2C1
 Phone: 604 984 0221 Fax: 604 984 0218



To: KANPANZHOU RESEARCH COMPANY
 NO 4 VAZIRIPOUR AVE MIRDAMAD BLDG
 TEHRAN 15456
 IRAN

Total # Pages: 9 (A - C)
 Finalized Date: 19-JAN-2005
 Account: TLD

Project: Tehran Padir

CERTIFICATE OF ANALYSIS VA05001309

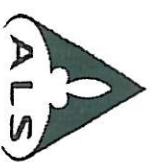
Sample Description	Method Analyte Units LOR	ME-MSB1 Lu ppm 0.1	ME-MSB1 Mo ppm 2	ME-MSB1 Nb ppm 1	ME-MSB1 Nd ppm 0.5	ME-MSB1 Ni ppm 5	ME-MSB1 Pb ppm 5	ME-MSB1 Pr ppm 0.1	ME-MSB1 Rb ppm 0.2	ME-MSB1 Sm ppm 1	ME-MSB1 Sn ppm 0.1	ME-MSB1 Sr ppm 0.1	ME-MSB1 Ta ppm 1	ME-MSB1 Tb ppm 0.1	ME-MSB1 Th ppm 0.5	ME-MSB1 Ti ppm 1	ME-MSB1
41	0.4	2	17	42.4	32	35	12.0	142.5	7.1	1	715	1.0	0.9	15	<0.5		
42	0.5	2	17	43.4	32	36	12.0	155.0	8.1	2	771	1.0	1.1	16	<0.5		
43	0.4	<2	13	43.3	28	40	11.4	131.0	8.8	2	1080	0.8	1.1	13	<0.5		
44	0.6	6	16	42.1	20	18	12.3	96.0	7.9	2	510	1.0	1.1	22	<0.5		
45	0.5	5	17	37.6	17	17	11.1	57.7	7.5	1	694	1.1	0.8	22	<0.5		
46	0.5	6	18	40.5	20	22	12.3	66.5	7.8	2	687	1.1	0.9	22	<0.5		
47	0.5	3	15	42.4	51	29	11.4	120.0	7.4	2	633	0.9	1.0	15	<0.5		
48	0.3	2	17	33.6	39	30	9.9	124.5	6.0	2	537	1.1	0.8	16	<0.5		
49	0.4	2	14	34	21	10.4	114.5	6.7	2	554	0.9	0.9	14	<0.5			
50	0.4	2	21	37.4	25	41	11.0	167.5	8.1	2	809	1.2	0.9	15	<0.5		
51	0.7	2	49	102.0	16	30	28.4	141.5	17.2	3	692	3.6	2.2	20	<0.5		
52	0.3	<2	12	20.0	61	6	5.2	49.5	3.7	1	422	0.8	0.6	5	<0.5		
53	0.3	22	18.8	53	5	5.1	37.8	3.9	1	394	1.5	0.5	4	<0.5			
54	0.2	12	19.6	7	25	5.7	197.5	3.4	1	1000	0.6	0.4	10	<0.5			
55	0.4	2	12	24.3	51	15	6.4	71.9	5.4	2	314	0.9	0.8	7	<0.5		
56	0.4	<2	17	26.4	95	19	7.4	74.9	5.9	2	206	1.1	0.7	10	<0.5		
57	0.9	<2	48	82.3	46	24	22.9	125.0	18.6	3	584	3.2	2.1	17	<0.5		
58	0.5	<2	34	61.2	70	22	16.6	107.5	11.0	2	415	2.4	1.4	17	<0.5		
59	0.3	<2	34	61.2	70	22	16.6	107.5	11.0	1	279	1.0	0.6	7	<0.5		
60	0.4	<2	22	22.5	100	29	6.1	45.5	4.4	3	472	1.3	0.9	12	<0.5		
61	0.7	<2	39	70.6	52	28	19.0	122.5	14.2	3	592	2.5	1.7	18	<0.5		
62	0.6	2	37	67.8	40	35	18.7	143.0	13.0	4	504	2.3	1.5	20	<0.5		
63	0.9	<2	52	82.1	18	32	22.6	136.5	19.8	3	699	3.0	2.1	21	<0.5		
64	0.8	2	36	81.3	66	33	21.7	141.0	13.9	3	.652	2.4	2.0	18	<0.5		
65	0.7	<2	35	57.4	43	23	16.0	102.5	14.1	2	633	2.1	1.5	15	<0.5		
66	0.6	<2	35	63.6	25	34	17.4	155.5	14.6	3	851	2.1	1.5	16	<0.5		
67	0.3	<2	8	15.3	188	14	4.0	45.8	3.7	2	239	0.6	0.6	4	<0.5		
68	0.4	<2	25	44.2	64	22	12.6	78.4	9.2	2	487	1.5	1.1	14	<0.5		
69	0.4	2	15	28.7	59	20	7.6	91.7	5.4	2	314	1.1	0.9	9	<0.5		
70	0.6	2	18	31.6	51	21	8.5	85.5	7.0	3	381	1.3	1.0	12	<0.5		
71	0.4	2	17	27.7	47	22	7.5	80.3	7.2	3	363	1.1	0.9	9	<0.5		
72	0.4	<2	14	26.2	48	18	6.8	74.4	5.8	2	365	1.0	0.8	8	<0.5		
73	0.3	<2	12	21.9	44	17	6.1	64.7	4.9	2	365	0.8	0.6	7	<0.5		
74	0.4	2	12	23.5	50	19	6.0	74.0	5.2	2	368	0.8	0.6	7	<0.5		
75	0.4	2	15	24.9	60	18	6.7	75.9	5.8	2	192.5	1.0	0.7	8	<0.5		
76	0.3	<2	10	15.8	60	14	4.5	54.0	3.7	2	200	0.8	0.5	6	<0.5		
77	0.5	2	15	27.4	67	16	7.5	79.0	6.4	2	341	1.0	0.9	8	<0.5		
78	0.4	2	11	21.1	79	24	5.6	65.1	4.5	2	248	0.8	0.7	7	<0.5		
79	0.3	2	11	19.2	40	15	4.9	53.6	4.0	3	252	0.7	0.6	6	<0.5		
80	0.3	2	15.1	25	15	4.3	59.0	3.0	3	141.0	1.1	0.5	7	<0.5			
82	0.3	2	16	15.1	25	15	4.3	59.0	3.0	3	141.0	1.1	0.5	7	<0.5		

ALS Chemex

EXCELLENCE IN ANALYTICAL CHEMISTRY

ALS Canada Ltd.

212 Brookbank Avenue
North Vancouver BC V7J 2C1
Phone: 604 984 0221 Fax: 604 984 0218



To: KANPANZHOU RESEARCH COMPANY
NO 4 VAZIRIPOUR AVE MIRDAMAD BLDG
TEHRAN 15456
IRAN

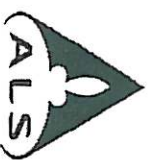
Total # Pages: 9 (A - C)
Finalized Date: 19-JAN-2005
Account: TLD

Project: Tehran Padir

CERTIFICATE OF ANALYSIS VA05001309

Sample Description	Method Analyte Units LOR	ME-MSB1		ME-MSB1		ME-MSB1		ME-MSB1		ME-MSB1		ME-MSB1	
		Tm ppm	U ppm	V ppm	W ppm	X ppm	Y ppm	Zn ppm	Zr ppm	Yb ppm	ME-MSB1	ME-MSB1	ME-MSB1
	0.1	0.5	5	1	0.5	0.1	5	0.5	0.1	5	0.5	0.5	0.5
41	0.4	2.6	235	6	27.6	2.5	105	190.5					
42	0.5	3.3	247	4	30.4	2.9	120	195.0					
43	0.4	3.3	281	3	28.0	2.8	88	157.0					
44	0.5	2.8	132	23	31.8	3.4	67	213					
45	0.4	2.7	100	16	27.0	3.7	68	196.0					
46	0.5	2.9	106	17	32.0	3.4	72	191.0					
47	0.4	3.0	287	6	33.5	2.7	111	236					
48	0.3	2.5	171	6	23.6	2.6	81	188.5					
49	0.4	2.4	166	6	28.7	2.8	83	170.5					
50	0.4	4.3	154	3	26.7	2.7	89	161.0					
51	0.8	4.0	298	4	59.0	5.6	130	314					
52	0.3	0.9	146	2.	20.5	2.1	67	106.5					
53	0.2	1.0	124	3.	16.0	2.0	78	135.5					
54	0.2	2.1	84	3.	10.0	1.0	65	98.7					
55	0.4	1.6	139	5	27.4	2.4	103	128.5					
56	0.3	1.8	153	5	23.3	2.8	93	159.0					
57	0.8	5.5	283	4	63.3	6.6	171	378					
58	0.6	4.4	183	5	43.2	4.3	126	280					
59	0.3	1.8	63	4	19.1	2.3	80	182.0					
60	0.4	2.4	157	4	26.9	2.6	100	184.5					
61	0.7	5.3	266	5	49.0	5.2	187	351					
62	0.6	5.4	242	6	43.9	4.2	162	289					
63	0.9	6.9	363	5	58.6	6.1	214	380					
64	0.9	5.0	318	6	60.3	4.7	156	312					
65	0.6	4.8	269	4	43.6	5.2	141	297					
66	0.6	4.8	269	4	46.7	5.0	144	295					
67	0.3	1.1	178	3.	21.0	2.0	116	107.5					
68	0.5	3.5	222	4	31.4	3.9	139	258					
69	0.4	1.8	154	3	29.0	2.5	83	158.0					
70	0.5	3.4	221	3	33.8	3.3	112	222					
71	0.4	2.7	184	2	28.4	3.2	112	187.0					
72	0.4	1.8	208	4	28.7	2.9	104	163.0					
73	0.3	1.9	180	3	21.4	2.6	101	166.5					
74	0.4	2.3	204	2	25.0	2.8	111	157.0					
75	0.4	2.4	167	2	24.4	3.1	108	200					
76	0.3	2.2	128	1	17.0	2.0	89	154.0					
77	0.5	3.4	200	1	28.9	2.6	108	194.5					
78	0.4	2.1	140	1	22.4	2.1	102	139.0					
80	0.3	1.6	169	6	20.5	2.2	89	148.5					
82	0.3	2.8	158	1	17.4	1.9	85	216					

ALS Chemex
EXCELLENCE IN ANALYTICAL CHEMISTRY
 ALS Canada Ltd.
 212 Brookbank Avenue
 North Vancouver BC V7J 2C1
 Phone: 604 984 0221 Fax: 604 984 0218



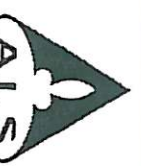
To: KANPANZHOU RESEARCH COMPANY
 NO 4 VAZIRIPOUR AVE MIRDAMAD BLDG
 TEHRAN 15456
 IRAN

Total # Pages: 9 (A - C)
 Finalized Date: 19-JAN-2005
 Account: TLD

Project: Tehran Padir

CERTIFICATE OF ANALYSIS VA05001309

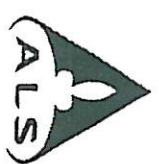
Sample Description	Method Analyte Units LOR	ME-MSB1 A _H ppm	ME-MSB1 Ba ppm	ME-MSB1 Ce ppm	ME-MSB1 Co ppm	ME-MSB1 Cr ppm	ME-MSB1 Cs ppm	ME-MSB1 Cu ppm	ME-MSB1 Dy ppm	ME-MSB1 Er ppm	ME-MSB1 Eu ppm	ME-MSB1 Ga ppm	ME-MSB1 Gd ppm	ME-MSB1 Ho ppm	ME-MSB1 Hf ppm	ME-MSB1 La ppm	ME-MSB1 Ho ppm	ME-MSB1 La ppm
		1	1	0.5	0.5	0.5	0.1	5	0.1	0.1	0.1	0.1	0.1	1	0.1	1	0.1	0.5
83	<1	300	20.1	3.8	30	1.2	11	1.2	0.9	0.1	6	1.2	3	0.2	13.0			
84	<1	339	40.3	16.6	110	2.4	25	3.6	2.3	1.5	12	3.5	3	0.8	17.2			
85	<1	395	37.7	20.1	110	2.1	34	3.7	2.4	0.8	14	3.4	4	0.6	20.9			
86	<1	317	34.1	19.8	70	2.3	33	3.8	2.5	0.8	14	2.7	5	0.6	16.6			
87	<1	614	59.0	22.4	110	3.9	104	5.0	3.1	2.1	17	5.2	4	1.0	25.9			
88	<1	292	20.9	7.8	40	2.0	31	1.9	1.1	0.7	7	2.2	2	0.4	11.4			
89-1	<1	265	33.8	17.2	100	1.9	40	3.6	2.2	0.9	12	3.5	3	0.7	18.1			
89-2	<1	415	32.3	13.2	60	2.4	37	3.0	2.0	0.4	13	2.9	4	0.5	19.3			
90	<1	479	46.5	17.4	80	2.7	36	4.0	2.5	1.7	15	3.9	4	0.8	20.4			
91	<1	581	57.0	21.3	100	4.0	47	4.4	2.7	1.7	17	4.0	4	0.8	23.7			
92	<1	540	52.2	20.5	100	4.0	41	4.3	2.8	1.5	17	4.2	4	0.8	23.5			
93	<1	354	42.0	17.0	60	3.3	51	3.6	2.3	0.7	16	3.7	4	0.7	24.3			
94	<1	340	41.1	15.8	80	4.0	37	3.6	2.3	1.1	14	4.0	3	0.8	21.3			
95	<1	399	51.2	18.9	110	3.8	40	4.4	2.6	1.4	17	4.0	4	0.7	24.2			
96	<1	230	41.9	17.6	100	2.7	39	3.7	2.3	0.9	12	3.6	4	0.7	20.2			
97	<1	288	40.8	18.0	100	3.7	35	3.5	2.2	0.5	14	3.9	4	0.6	21.3			
98	<1	538	58.1	18.9	90	5.0	56	3.3	2.0	1.0	13	4.1	3	0.6	28.7			
99	<1	331	23.1	1720	1.8	35	3.3	2.0	1.0	1.0	12	4.3	3	0.7	23.7			
100	<1	207	27.1	1180	1.5	35	3.1	1.9	1.0	1.0	12	2.9	2	0.6	13.5			
101	<1	327	47.4	24.4	1460	1.9	34	3.5	2.0	1.0	13	3.6	4	0.6	24.1			
102	<1	312	39.3	22.6	900	2.2	32	3.4	2.0	1.3	13	3.6	3	0.7	19.4			
103	<1	332	36.7	22.6	460	2.5	30	3.3	2.1	0.9	12	3.3	4	0.6	17.4			
104	<1	440	39.4	16.8	70	2.2	62	3.7	2.2	1.2	13	3.5	3	0.7	19.1			
105	<1	450	41.2	15.0	60	1.4	41	4.2	2.6	1.0	13	4.8	4	0.9	20.8			
106	<1	506	42.8	24.2	80	1.3	61	4.3	2.6	1.3	17	4.3	6	0.8	24.0			
107	<1	552	42.1	21.0	80	1.4	67	3.6	2.2	0.8	15	4.3	5	0.8	23.5			
108	<1	567	48.0	24.9	90	1.3	65	4.2	2.5	1.5	17	4.5	4	0.8	23.5			
109	<1	567	47.5	26.1	120	1.5	84	3.8	2.3	1.5	18	5.5	4	0.9	25.0			
110	<1	808	46.1	20.5	80	2.1	80	3.0	1.8	1.1	16	5.3	3	0.8	25.9			
111	<1	630	46.6	18.4	100	2.7	67	3.6	2.0	1.6	16	4.7	5	0.7	24.6			
112	<1	851	59.2	24.8	140	3.1	93	4.1	2.3	2.5	18	6.4	3	1.0	25.1			
113	<1	563	48.6	23.5	170	2.6	76	3.5	2.1	1.4	17	5.2	4	0.8	26.1			
114	<1	781	48.8	25.7	110	1.8	73	3.9	2.2	2.0	18	5.5	3	0.8	24.4			
115	<1	618	36.1	21.1	50	2.2	69	3.1	1.9	0.8	16	4.8	3	0.9	24.1			
116	<1	569	42.9	19.9	80	2.7	58	3.3	2.1	1.1	17	4.6	3	0.8	20.0			
117	<1	701	45.2	24.0	110	2.0	69	3.8	2.2	1.9	18	5.2	3	0.9	24.0			
118	<1	807	51.3	21.0	150	2.0	68	3.6	2.1	2.0	16	5.4	3	0.8	24.4			
119	<1	694	44.1	21.4	60	3.0	80	3.1	1.9	1.0	17	4.7	4	0.7	24.1			
120	<1	401	32.7	36.5	40	1.3	68	4.0	2.2	1.0	17	5.8	2	1.0	19.2			
121	<1	720	52.2	27.4	110	3.1	64	3.9	2.1	1.8	18	4.8	3	0.8	23.0			



Project: Tehran Padir

CERTIFICATE OF ANALYSIS VA05001309

Sample Description	Method Analyte Units LOR	ME-MSB1 Lu ppm 0.1	ME-MSB1 Mo ppm 2	ME-MSB1 Nb ppm 1	ME-MSB1 Nd ppm 0.5	ME-MSB1 Ni ppm 5	ME-MSB1 Pb ppm 0.1	ME-MSB1 Pr ppm 0.2	ME-MSB1 Rb ppm 0.1	ME-MSB1 Sm ppm 0.1	ME-MSB1 Sn ppm 1	ME-MSB1 Sr ppm 0.1	ME-MSB1 Ta ppm 0.5	ME-MSB1 Tb ppm 0.1	ME-MSB1 Th ppm 0.5	ME-MSB1 Ti ppm 1	ME-MSB1 U ppm 0.5
83	0.1	<2	6	7.4	13	11	2.3	35.0	1.3	1	277	0.5	0.2	5	<0.5	5	
84	0.4	2	11	15.6	37	15	4.0	52.3	3.5	3	236	0.7	0.6	5	<0.5	5	
85	0.3	2	12	17.4	31	23	4.6	47.2	3.6	2	242	0.8	0.6	5	<0.5	5	
86	0.3	<2	12	14.8	31	16	4.1	43.3	3.3	2	204	0.8	0.5	5	<0.5	5	
87	0.4	11	10	24.4	60	22	6.3	81.5	5.8	5	230	0.7	0.9	7	<0.5	7	
88	0.2	<2	4	10.6	23	11	2.7	31.1	2.3	1	319	<0.5	0.4	3	<0.5	3	
89-1	0.3	2	10	17.0	35	14	4.4	38.7	3.3	1	220	0.6	0.6	5	<0.5	5	
89-2	0.3	2	10	16.2	29	23	4.4	56.0	2.9	2	249	0.7	0.5	5	<0.5	5	
90	0.4	2	15	16.8	32	27	4.6	70.8	4.2	3	209	1.0	0.7	6	<0.5	6	
91	0.4	2	13	20.0	46	18	5.3	86.6	5.4	3	237	0.8	0.7	6	<0.5	6	
92	0.3	<2	13	20.4	43	23	5.5	84.0	4.9	2	226	0.9	0.7	6	<0.5	6	
93	0.3	2	12	20.4	29	17	5.5	62.1	3.7	1	316	0.8	0.6	6	<0.5	6	
94	0.3	<2	11	20.0	40	11	5.3	53.8	4.3	1	163.0	0.9	0.7	6	<0.5	6	
95	0.3	<2	13	19.7	51	40	5.4	59.8	5.0	2	158.5	0.9	0.6	6	<0.5	6	
96	0.3	<2	9	18.4	42	21	4.8	47.9	4.0	2	147.0	0.6	0.6	6	<0.5	6	
97	0.3	<2	10	19.9	58	15	5.2	57.6	3.8	2	140.5	0.7	0.6	6	<0.5	6	
98	0.3	<2	10	25.1	61	14	6.6	75.4	4.5	2	402	0.7	0.6	8	<0.5	8	
99	0.3	<2	7	12.6	129	9	3.2	28.1	2.9	1	202	0.5	0.5	4	<0.5	4	
100	0.3	<2	10	20.9	120	11	5.6	45.4	4.1	2	315	0.7	0.6	5	<0.5	5	
101	0.3	<2	11	20.5	108	12	5.4	42.9	3.9	1	342	0.7	0.6	5	<0.5	5	
102	0.3	<2	10	16.8	125	11	4.4	48.6	3.5	1	257	0.7	0.6	5	<0.5	5	
103	0.3	<2	9	15.0	104	11	4.1	53.7	3.3	1	249	0.6	0.6	5	<0.5	5	
104	0.3	2	9	17.8	35	11	4.6	51.0	4.1	3	355	0.6	0.6	5	<0.5	5	
105	0.4	<2	9	21.6	29	12	5.2	46.4	4.4	2	340	0.7	0.8	7	<0.5	7	
106	0.3	<2	8	20.6	28	13	5.5	45.2	4.5	1	475	0.5	0.7	7	<0.5	7	
107	0.4	2	7	21.4	33	15	5.6	52.9	4.2	1	480	0.5	0.7	6	<0.5	6	
108	0.4	<2	8	20.3	31	18	5.5	50.0	4.7	2	478	0.5	0.7	6	<0.5	6	
109	0.4	<2	8	23.5	40	21	5.6	54.1	4.5	2	492	0.5	0.8	7	<0.5	7	
110	0.3	<2	8	25.6	37	26	6.1	79.4	4.7	2	454	0.5	0.7	6	<0.5	6	
111	0.3	<2	7	22.8	40	17	5.7	79.4	4.8	2	394	0.5	0.7	6	<0.5	6	
112	0.4	2	7	25.3	48	29	6.2	87.0	5.9	2	481	<0.5	0.9	6	<0.5	6	
113	0.3	2	7	26.2	53	20	6.4	73.2	5.1	2	386	0.5	0.8	5	<0.5	5	
114	0.3	2	7	24.7	36	22	5.9	69.8	5.4	2	495	0.5	0.8	6	<0.5	6	
115	0.3	<2	6	21.3	30	23	5.0	69.4	3.7	1	450	<0.5	0.7	5	<0.5	5	
116	0.3	<2	7	21.8	38	27	5.4	68.1	4.4	2	444	0.5	0.7	5	<0.5	5	
117	0.3	<2	7	23.7	35	20	5.7	66.8	5.0	2	479	<0.5	0.8	6	<0.5	6	
118	0.4	<2	7	24.0	43	14	5.7	94.2	5.4	2	393	<0.5	0.8	6	<0.5	6	
119	0.3	<2	7	24.6	37	18	5.8	100.5	4.3	2	404	<0.5	0.6	6	<0.5	6	
120	0.3	<2	5	24.6	27	26	5.4	25.6	4.7	1	644	<0.5	0.9	3	<0.5	3	
121	0.4	2	8	21.4	45	43	5.2	69.1	4.9	2	371	0.5	0.7	5	<0.5	5	



ALS Chemex
EXCELLENCE IN ANALYTICAL CHEMISTRY

ALS Canada Ltd.

212 Brooksbank Avenue
North Vancouver BC V7J 2C1
Phone: 604 984 0221 Fax: 604 984 0218

To: KANPANZHOU RESEARCH COMPANY
NO 4 VAZIRIPOUR AVE MIRDAMAD BLDG
TEHRAN 15456
IRAN

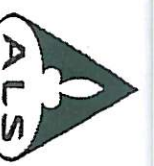
Project: Tehran Padir

CERTIFICATE OF ANALYSIS VA05001309

Sample Description	Method Analyte Units LOR	ME-MSB1 Tm ppm 0.1	ME-MSB1 U ppm 0.5	ME-MSB1 V ppm 5	ME-MSB1 W ppm 1	ME-MSB1 Y ppm 0.5	ME-MSB1 Yb ppm 0.1	ME-MSB1 Zn ppm 5	ME-MSB1 Zr ppm 0.5
83		0.1	1.5	30	1	7.3	0.8	33	101.0
B4		0.4	2.1	157	1	22.0	2.1	94	147.0
85		0.3	1.5	334	7	18.0	2.1	126	145.5
86		0.3	1.6	180	2	18.0	2.5	106	156.5
B7		0.4	2.3	186	2	28.2	2.7	120	149.0
88		0.2	1.0	90	9	12.7	1.1	55	61.0
89-1		0.3	1.4	205	8	18.9	2.0	76	125.5
89-2		0.2	1.5	241	3	16.0	2.0	106	132.5
90		0.4	2.5	174	1	22.9	2.5	110	182.0
91		0.4	2.3	192	1	24.0	2.5	120	179.5
92		0.3	2.1	177	2	22.9	2.5	110	160.0
93		0.3	1.6	152	8	21.5	2.2	87	157.5
94		0.3	1.5	143	3	21.4	2.1	84	136.0
95		0.3	1.8	146	3	20.6	2.6	99	160.5
96		0.3	1.7	148	3	19.2	2.1	97	125.0
97		0.3	1.4	154	3	20.1	2.0	86	129.0
98		0.3	1.9	140	3	20.1	1.8	80	132.0
99		0.2	1.6	154	<1	16.6	1.7	84	93.9
100		0.3	1.5	87	<1	20.0	1.9	104	152.0
101		0.3	1.5	130	1	18.0	1.9	102	159.0
102		0.3	1.5	122	1	17.7	2.0	86	141.0
103		0.3	1.4	113	1	17.6	2.0	73	135.0
104		0.3	1.6	136	1	18.5	2.1	109	117.5
105		0.4	1.5	180	1	27.1	2.4	68	141.5
106		0.3	2.3	514	2	21.1	2.5	89	211
107		0.3	1.9	402	1	21.6	2.2	84	195.5
108		0.3	2.3	500	2	22.1	2.4	95	185.5
109		0.4	2.1	451	2	24.6	2.4	88	166.5
110		0.3	1.8	323	1	21.8	1.8	84	116.5
111		0.3	2.0	212	2	19.4	2.1	84	
112		0.4	2.5	278	1	24.3	2.1	112	133.0
113		0.4	1.6	266	12	23.4	2.0	87	148.0
114		0.4	2.1	358	10	22.9	2.2	94	115.5
115		0.3	1.4	231	2	20.5	1.9	84	93.5
116		0.3	1.8	220	1	20.6	1.9	88	108.0
117		0.4	1.9	391	1	22.0	2.1	96	117.0
118		0.4	2.2	224	1	21.8	1.9	86	131.0
119		0.3	1.7	205	2	19.8	1.7	86	123.5
120		0.4	0.8	626	1	25.5	2.0	109	72.5
121		0.4	2.1	271	1	22.5	2.1	116	118.5

Total # Pages: 9 (A - C)
Finalized Date: 19-JAN-2005
Account: TLD

Page: 4 - C



Project: Tehran Padir

CERTIFICATE OF ANALYSIS VA05001309

Sample Description	Method Analyte Units LOR	ME-MSB1 Ag ppm 1	ME-MSB1 Ba ppm 0.5	ME-MSB1 Co ppm 0.5	ME-MSB1 Cr ppm 0.5	ME-MSB1 Cs ppm 10	ME-MSB1 Cu ppm 0.1	ME-MSB1 Dy ppm 5	ME-MSB1 Er ppm 0.1	ME-MSB1 Eu ppm 0.1	ME-MSB1 Ga ppm 1	ME-MSB1 Gd ppm 0.1	ME-MSB1 Hf ppm 1	ME-MSB1 Ho ppm 0.1	ME-MSB1 La ppm 0.1	ME-MSB1 ME-MSB1
122	<1	429	36.5	41.8	50	1.4	68	4.2	2.3	1.5	18	6.2	2	1.1	18.2	
123	<1	602	50.1	24.9	80	2.5	62	4.4	2.5	2.2	18	5.1	3	0.9	23.4	
124	<1	603	49.5	28.2	80	2.0	49	4.3	2.4	1.8	16	6.8	3	1.2	25.8	
125	<1	678	51.8	42.7	80	1.7	117	4.5	2.4	1.8	21	6.1	3	0.9	26.7	
126	<1	667	51.9	34.7	70	2.9	177	4.3	2.3	1.7	19	6.5	3	1.0	28.2	
127	<1	581	49.7	43.5	90	1.4	76	5.1	2.7	2.2	21	6.5	2	1.0	25.1	
128	<1	371	31.2	28.3	170	3.7	89	3.2	1.9	0.6	15	4.4	3	0.8	19.2	
129	<1	464	40.7	38.0	60	2.3	66	4.4	2.4	1.8	19	5.5	2	0.9	20.9	
130	<1	469	34.2	34.3	50	2.1	62	4.0	2.2	1.2	18	5.5	3	1.3	51.5	
131	<1	815	86.7	19.8	80	5.0	79	4.8	2.8	2.0	19	8.7	4	1.2	47.9	
132	<1	731	91.5	21.4	110	4.8	62	4.7	2.7	2.6	19	8.2	4	1.2	41.3	
133	<1	823	91.7	28.5	90	3.2	62	5.5	3.1	2.3	21	9.4	7	1.4	50.4	
134	<1	887	92.2	20.6	60	5.5	71	5.2	2.9	2.1	20	9.0	5	1.3	55.2	
134-A	<1	1120	98.9	23.8	120	3.8	70	5.0	2.9	2.2	22	9.6	5	1.2	51.7	
135	<1	540	99.9	36.2	100	2.9	61	6.5	3.8	2.4	26	10.5	11	1.6		
136	<1	776	102.0	30.1	80	3.5	53	6.8	4.0	2.7	23	10.6	9	1.5	56.9	
137	<1	835	85.5	17.3	60	5.0	76	4.6	2.7	1.7	20	7.5	6	0.9	54.5	
138	<1	642	105.0	9.1	20	4.4	90	4.2	2.6	1.8	23	7.9	7	1.1	70.2	
139	<1	814	85.3	16.7	60	4.8	76	4.5	2.6	1.7	19	7.9	5	1.0	53.2	
140	<1	895	92.2	17.1	60	4.9	70	5.1	2.9	2.2	21	7.8	5	1.0	52.3	
141	<1	909	102.5	17.2	60	5.3	71	5.4	3.0	2.5	21	8.5	5	1.2	60.9	
142	<1	931	110.0	19.1	60	4.3	73	5.4	3.1	2.2	21	9.6	6	1.3	63.1	
143	<1	650	75.0	16.7	90	4.4	71	4.2	2.5	1.6	18	6.5	5	0.9	41.9	
144	<1	669	73.0	17.4	80	4.9	69	4.1	2.4	1.3	16	5.8	4	0.7	37.5	
145	<1	1195	93.8	13.9	30	5.1	48	5.0	2.8	2.1	18	7.0	4	0.8	50.6	
146	<1	1225	121.0	15.0	50	4.9	44	6.9	3.7	2.8	17	9.6	6	1.0	59.6	
147	<1	1010	79.8	18.8	50	6.5	69	4.7	2.5	1.9	18	6.4	4	0.7	41.7	
148	<1	639	72.3	16.8	80	5.0	67	4.2	2.4	1.2	16	5.4	4	0.7	37.5	
149	<1	688	76.1	17.5	80	5.0	68	4.2	2.4	1.3	17	5.6	4	0.7	38.2	
150	<1	1330	90.1	16.2	60	4.6	50	5.2	2.8	2.3	18	7.0	4	0.8	44.6	
151	<1	906	90.8	18.6	40	4.8	69	5.1	2.7	2.2	18	7.3	4	0.8	44.2	
152	<1	887	90.8	18.6	40	4.9	71	5.2	2.6	2.1	18	7.4	4	0.8	47.3	
153	<1	646	85.8	20.9	100	6.2	65	5.6	3.0	1.8	19	7.8	4	0.9	48.4	
154	<1	1790	98.4	16.0	30	4.1	54	4.9	2.4	2.4	18	7.5	3	0.7	46.0	
155	<1	1005	89.9	17.9	50	5.0	62	5.2	2.7	2.1	18	7.3	4	0.8	44.7	
156	<1	982	83.8	16.9	50	5.1	65	5.1	2.7	2.2	18	7.4	4	0.8	44.2	
157	<1	505	61.2	21.1	160	5.3	45	4.5	2.6	1.2	16	5.6	4	0.9	44.6	
158	<1	293	42.3	29.6	210	4.5	59	4.2	2.3	0.9	16	4.3	3	0.7	31.0	
159	<1	879	141.0	16.5	40	4.9	32	6.9	3.6	2.5	21	9.6	6	1.1	22.5	
160	<1	741	102.5	18.2	120	4.8	39	5.4	3.0	1.9	18	7.3	5	0.9	52.4	



ALS chemex

EXCELLENCE IN ANALYTICAL CHEMISTRY

212 Brooksbank Avenue

10: KANPANZHOU RESEARCH COMPANY
NO 4 VAZIRIPOUR AVE MIRDAMAD BLDG
TEHRAN 15456
IRAN

Page: 5 - B
Total # Pages: 9 (A - C)
Finalized Date: 19-JAN-2005
Account: TLD

CERTIFICATE OF ANALYSIS VA05001309

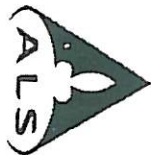
Sample Description	Method Analyte Units			ME-MSB1			ME-MSB1			ME-MSB1														
	Lu ppm	Mo ppm	Nb ppm	Nd ppm	Ni ppm	Pb ppm	Pr ppm	Rb ppm	Sm ppm	Sn ppm	Sr ppm	Ta ppm	Tb ppm	Th ppm	Tl ppm	U ppm	V ppm	W ppm	X ppm	Y ppm	Zr ppm			
122	0.4	<2	5	23.1	28	41	5.1	26.0	5.3	2	639	<0.5	0.9	5	<0.5	0.1	0.5	0.1	0.5	0.1	0.5			
123	0.4	<2	9	21.9	30	25	5.4	50.1	5.3	2	614	0.5	0.7	5	<0.5	0.1	0.5	0.1	0.5	0.1	0.5			
124	0.4	<2	13	21.5	29	18	5.1	37.6	5.3	2	655	0.8	1.0	4	<0.5	0.1	0.5	0.1	0.5	0.1	0.5			
125	0.4	<2	5	21.9	29	15	5.0	34.8	4.7	2	731	<0.5	0.8	3	<0.5	0.1	0.5	0.1	0.5	0.1	0.5			
126	0.3	<2	7	28.7	41	19	6.8	59.8	5.7	2	709	<0.5	0.9	6	<0.5	0.1	0.5	0.1	0.5	0.1	0.5			
127	0.4	2	4	27.6	32	16	6.3	35.8	6.2	2	808	<0.5	1.0	4	<0.5	0.1	0.5	0.1	0.5	0.1	0.5			
128	0.3	<2	8	19.4	72	23	4.5	44.3	3.6	1	454	0.6	0.7	4	<0.5	0.1	0.5	0.1	0.5	0.1	0.5			
129	0.4	<2	6	21.5	29	18	5.1	37.6	5.3	2	664	<0.5	0.8	3	<0.5	0.1	0.5	0.1	0.5	0.1	0.5			
130	0.4	<2	5	21.9	29	15	5.0	34.8	4.7	2	731	<0.5	0.8	3	<0.5	0.1	0.5	0.1	0.5	0.1	0.5			
131	0.5	2	15	41.2	44	27	10.6	121.5	7.6	2	724	0.9	1.2	12	<0.5	0.1	0.5	0.1	0.5	0.1	0.5			
132	0.5	2	16	35.4	63	24	9.4	109.0	8.1	3	674	0.9	1.1	11	<0.5	0.1	0.5	0.1	0.5	0.1	0.5			
133	0.6	2	16	44.0	33	22	11.0	97.6	8.5	2	791	0.9	1.3	12	<0.5	0.1	0.5	0.1	0.5	0.1	0.5			
134	0.5	2	16	44.0	53	30	11.2	130.0	7.8	2	843	1.0	1.3	14	<0.5	0.1	0.5	0.1	0.5	0.1	0.5			
134-A	0.4	3	19	51.0	38	29	12.5	142.5	8.7	3	1155	1.1	1.3	12	<0.5	0.1	0.5	0.1	0.5	0.1	0.5			
135	0.7	2	16	48.5	20	26	11.8	69.5	9.5	3	582	1.0	1.5	21	<0.5	0.1	0.5	0.1	0.5	0.1	0.5			
136	0.6	2	17	50.8	27	24	12.4	87.2	10.0	2	863	1.1	1.5	17	<0.5	0.1	0.5	0.1	0.5	0.1	0.5			
137	0.4	2	14	42.5	37	30	11.2	125.5	7.3	2	831	0.8	1.0	13	<0.5	0.1	0.5	0.1	0.5	0.1	0.5			
138	0.5	2	21	42.1	19	43	11.9	212	6.5	2	749	1.0	1.0	27	<0.5	0.1	0.5	0.1	0.5	0.1	0.5			
139	0.4	2	14	42.6	38	31	11.0	124.5	7.0	2	799	0.9	1.1	13	<0.5	0.1	0.5	0.1	0.5	0.1	0.5			
140	0.4	2	15	41.3	34	30	10.7	122.0	7.8	2	863	0.8	1.0	12	<0.5	0.1	0.5	0.1	0.5	0.1	0.5			
141	0.4	2	17	50.8	27	24	12.4	87.2	10.0	2	863	1.1	1.5	17	<0.5	0.1	0.5	0.1	0.5	0.1	0.5			
142	0.6	2	16	47.9	36	30	12.3	143.5	8.7	2	864	0.9	1.2	13	<0.5	0.1	0.5	0.1	0.5	0.1	0.5			
143	0.4	2	13	33.1	55	28	13.2	136.5	9.5	3	924	1.1	1.4	12	<0.5	0.1	0.5	0.1	0.5	0.1	0.5			
144	0.3	2	13	29.5	53	19	7.8	104.5	5.9	3	584	0.8	0.9	11	<0.5	0.1	0.5	0.1	0.5	0.1	0.5			
145	0.3	2	15	37.0	22	26	10.0	135.5	7.8	2	1350	0.8	0.9	13	<0.5	0.1	0.5	0.1	0.5	0.1	0.5			
146	0.5	2	18	50.6	25	24	13.2	125.0	11.3	2	1180	1.1	1.2	14	<0.5	0.1	0.5	0.1	0.5	0.1	0.5			
147	0.3	<2	14	34.2	35	26	8.7	172.0	7.0	2	923	0.7	0.8	11	<0.5	0.1	0.5	0.1	0.5	0.1	0.5			
148	0.3	2	13	29.7	52	20	7.8	102.5	5.9	3	567	0.8	0.7	10	<0.5	0.1	0.5	0.1	0.5	0.1	0.5			
149	0.3	2	13	30.0	52	20	7.7	108.5	6.1	3	577	0.8	0.7	10	<0.5	0.1	0.5	0.1	0.5	0.1	0.5			
150	0.4	2	15	34.8	25	26	9.3	154.5	8.7	2	1280	0.8	0.9	11	<0.5	0.1	0.5	0.1	0.5	0.1	0.5			
151	0.3	<2	18	41.0	25	19	10.4	119.5	8.6	2	1190	1.1	0.9	11	<0.5	0.1	0.5	0.1	0.5	0.1	0.5			
152	0.3	<2	17	44.5	25	20	11.2	126.0	8.4	2	1105	1.0	1.0	12	<0.5	0.1	0.5	0.1	0.5	0.1	0.5			
153	0.4	2	19	39.9	60	20	10.3	115.5	7.6	3	606	1.2	1.0	13	<0.5	0.1	0.5	0.1	0.5	0.1	0.5			
154	0.2	18	40.9	18	24	10.0	159.0	8.9	2	1525	1.2	0.9	10	<0.5	0.1	0.5	0.1	0.5	0.1	0.5				
155	0.3	2	18	38.4	30	35	9.8	119.0	8.5	3	1085	1.1	0.9	11	<0.5	0.1	0.5	0.1	0.5	0.1	0.5			
156	0.3	2	17	38.0	31	21	10.0	116.5	8.1	3	1100	1.1	0.9	11	<0.5	0.1	0.5	0.1	0.5	0.1	0.5			
157	0.4	2	15	26.7	72	17	7.0	93.5	5.4	2	448	1.0	0.8	10	<0.5	0.1	0.5	0.1	0.5	0.1	0.5			
158	0.3	2	12	19.4	138	12	4.9	69.2	4.2	3	383	0.8	0.6	6	<0.5	0.1	0.5	0.1	0.5	0.1	0.5			
159	0.5	<2	30	55.6	23	26	15.0	170.5	11.4	3	951	1.8	1.3	16	<0.5	0.1	0.5	0.1	0.5	0.1	0.5			
160	0.4	<2	21	39.4	54	22	10.7	127.0	8.4	2	648	1.3	1.0	14	<0.5	0.1	0.5	0.1	0.5	0.1	0.5			



Project: Tehran Padir

CERTIFICATE OF ANALYSIS VA05001309

Sample Description	Method Analyte Units LOR	ME-MSB1 Tm ppm 0.1	ME-MSB1 U ppm 0.5	ME-MSB1 V ppm 5	ME-MSB1 W ppm 1	ME-MSB1 Y ppm 0.5	ME-MSB1 Yb ppm 0.1	ME-MSB1 Zn ppm 5	ME-MSB1 Zr ppm 0.5
122	0.4	1.1	703	2	26.1	2.3	122	83.6	
123	0.4	1.9	217	1	22.8	2.4	95	132.0	
124	0.5	1.4	336	1	28.4	2.2	94	137.0	
125	0.4	1.5	582	2	25.0	2.4	136	83.8	
126	0.4	1.4	458	1	25.1	2.3	112	99.6	
127	0.5	1.3	677	<1	27.1	2.4	139	81.8	
128	0.3	0.9	258	2	21.4	1.8	94	96.2	
129	0.4	1.1	498	<1	23.3	2.3	121	85.4	
130	0.4	0.9	450	1	24.3	2.0	104	86.3	
131	0.6	3.2	269	3	31.5	2.6	114	186.0	
132	0.6	3.6	201	1	31.2	2.5	108	196.0	
133	0.6	4.5	662	2	35.6	3.2	149	337	
134	0.5	3.6	283	5	31.7	2.9	107	203	
134-A	0.6	3.7	490	5	33.6	2.8	121	206	
135	0.7	8.8	1065	2	40.3	3.7	253	549	
136	0.7	5.8	673	8	39.7	4.2	152	423	
137	0.4	2.9	201	8	27.5	2.6	106	208	
138	0.5	6.4	158	6	28.7	2.6	101	317	
139	0.5	3.0	202	4	27.5	2.6	107	182.0	
140	0.5	3.2	200	4	26.8	2.9	106	182.5	
141	0.5	3.5	240	4	30.4	3.0	116	210	
142	0.6	3.7	340	3	35.6	2.9	121	270	
143	0.4	2.3	150	3	25.6	2.5	103	179.5	
144	0.3	2.4	158	3	24.1	2.2	104	187.0	
145	0.3	4.1	216	3	26.0	2.6	90	185.0	
146	0.4	4.3	200	2	33.7	3.3	109	252	
147	0.3	3.2	206	2	24.8	2.3	111	155.0	
148	0.3	2.2	160	3	23.1	2.2	100	180.5	
149	0.3	2.3	162	2	24.8	2.2	99	177.5	
150	0.3	3.6	237	4	26.4	2.6	89	173.0	
151	0.3	3.3	302	2	25.4	2.4	110	174.5	
152	0.3	3.4	339	2	26.7	2.4	114	166.5	
153	0.4	2.8	235	3	29.3	2.8	108	202	
154	0.3	3.6	356	2	26.1	2.0	98	139.5	
155	0.3	3.3	275	3	26.7	2.4	111	167.5	
156	0.3	3.1	237	3	25.0	2.4	95	164.5	
157	0.4	2.5	194	2	26.8	2.5	100	176.5	
158	0.2	1.4	164	3	22.3	2.3	99	132.0	
159	0.5	4.5	242	1	35.7	3.2	146	272	
160	0.4	3.5	178	2	30.1	2.8	104	229	



Als Chemex
EXCELLENCE IN ANALYTICAL CHEMISTRY

To: KANPANZHOU RESEARCH COMPANY
NO 4 VAZIRIPOUR AVE MIRDAMAD BLDG

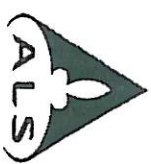
Page: 6 - A
Total # Pages: 9 (A-C)

ALS CANADA LTD.
212 Brookbank Avenue

IRAN

CERTIFICATE OF ANALYSIS VA05001309

CERTIFICATE OF ANALYSIS VAU5001309																			
Sample Description	Method Analyte Units LOR		ME-MSB1		ME-MSB1		ME-MSB1		ME-MSB1		ME-MSB1		ME-MSB1		ME-MSB1		ME-MSB1		
	Aq	Ba	Ca	Co	Cr	Cs	Cu	Dy	Er	Eu	Ga	Gd	Hf	Ho	La	Lu	Mn	Na	Pb
161	<1	804	143.5	16.6	80	4.7	33	8.6	4.8	2.8	20	11.4	7	1.5	71.6	1.5	1.5	1.5	1.5
162	<1	445	50.1	24.9	190	3.8	52	4.0	2.3	1.2	15	4.3	3	0.7	24.5	0.7	0.7	0.7	0.5
163	<1	297	41.4	30.4	430	5.3	50	4.1	2.3	1.2	16	4.5	4	0.7	20.6	0.7	0.7	0.7	0.5
164	<1	384	50.5	24.2	170	4.8	49	4.6	2.7	1.1	16	4.6	4	0.7	24.6	0.7	0.7	0.7	0.5
165	<1	247	36.4	31.3	320	8.3	45	4.0	2.4	1.0	15	4.2	3	0.7	18.3	0.7	0.7	0.7	0.5
166	<1	539	50.8	27.6	130	2.3	42	4.4	2.5	1.3	16	5.0	5	0.7	25.8	0.7	0.7	0.7	0.5
167	<1	376	33.5	26.4	700	3.2	41	3.3	1.9	0.9	13	3.3	3	0.5	16.8	0.5	0.5	0.5	0.5
168	<1	1070	90.0	31.5	110	5.3	71	6.0	3.1	2.2	20	7.7	5	0.9	43.9	0.9	0.9	0.9	0.5
169	<1	341	32.6	26.4	760	2.8	46	3.1	1.9	1.0	13	3.4	3	0.6	17.4	0.6	0.6	0.6	0.5
170	<1	295	29.4	25.4	430	3.0	43	3.0	1.8	0.9	13	3.0	3	0.6	15.8	0.6	0.6	0.6	0.5
171	<1	876	126.0	19.4	20	10.0	66	6.5	3.5	2.5	22	9.2	6	1.3	64.4	1.3	1.3	1.3	1.3
172	<1	339	30.1	25.9	510	2.9	46	3.1	1.8	0.9	14	3.2	2	0.7	15.2	0.7	0.7	0.7	0.5
173	<1	674	89.6	23.1	30	6.1	70	7.2	4.1	2.3	22	8.8	5	1.5	45.8	1.5	1.5	1.5	1.5
174	<1	559	56.7	20.0	100	5.8	50	5.2	3.1	1.5	19	5.6	5	1.0	29.9	1.0	1.0	1.0	1.0
175	<1	707	55.9	17.6	70	4.8	43	5.2	3.2	1.5	19	5.5	4	1.1	29.0	1.1	1.1	1.1	1.1
176	<1	431	31.6	30.7	230	4.0	49	3.2	2.0	0.9	15	3.3	3	0.7	15.6	0.7	0.7	0.7	0.5
177	<1	488	33.7	31.7	230	4.2	50	3.5	2.2	1.0	16	3.6	3	0.8	16.6	0.8	0.8	0.8	0.5
178	<1	472	32.7	27.3	220	4.2	45	3.4	2.2	1.0	16	3.4	3	0.8	16.1	0.8	0.8	0.8	0.5
179	<1	309	24.0	30.0	800	2.6	44	2.7	1.7	0.7	13	2.7	2	0.6	12.4	0.6	0.6	12.4	0.5
180	<1	319	26.5	33.9	1560	2.3	41	2.7	1.6	0.7	13	2.6	3	0.4	12.0	0.4	0.4	12.0	0.5
181	<1	239	24.4	33.0	640	2.7	41	2.6	1.5	0.7	14	2.5	2	0.4	10.9	0.4	0.4	10.9	0.5
182	<1	435	46.3	25.9	180	1.5	44	3.8	2.1	1.3	16	4.4	4	0.6	23.5	0.6	0.6	23.5	0.5
183	<1	475	46.5	26.7	180	1.3	41	4.0	2.1	1.3	16	4.3	4	0.7	23.3	0.7	0.7	23.3	0.5
184	<1	986	33.9	18.4	110	1.7	32	2.8	1.7	1.0	16	2.9	2	0.5	18.1	0.5	0.5	18.1	0.5
185	<1	1290	28.4	15.3	30	1.0	25	2.2	1.4	1.0	18	2.5	2	0.4	15.6	0.4	0.4	15.6	0.5
186	<1	215	26.3	25.6	340	2.0	36	2.6	1.5	0.8	11	2.6	2	0.4	13.2	0.4	0.4	13.2	0.5
187	<1	241	33.4	26.5	360	2.0	34	2.9	1.6	1.0	11	3.3	2	0.5	17.2	0.5	0.5	17.2	0.5
188	<1	365	56.9	34.5	170	0.9	45	4.3	2.3	1.6	19	5.1	4	0.7	26.6	0.7	0.7	26.6	0.5
189	<1	303	48.3	33.2	200	0.9	47	4.1	2.1	1.6	17	4.6	4	0.6	22.8	0.6	0.6	22.8	0.5
190	3	236	51.4	38.2	140	2.8	61	4.2	2.2	1.5	19	4.9	4	0.7	34.5	0.7	0.7	34.5	0.5
191	5	265	60.8	36.7	140	1.3	73	4.7	2.4	1.7	18	5.6	4	0.8	29.4	0.8	0.8	29.4	0.5
192	1	302	40.8	32.4	180	0.8	50	4.2	2.3	1.4	18	4.5	3	0.7	19.8	0.7	0.7	19.8	0.5
193	<1	717	182.0	17.1	40	4.2	33	9.4	5.0	3.4	21	13.5	8	1.7	85.7	1.7	1.7	85.7	1.5
194	<1	855	67.9	17.6	280	4.0	108	4.0	2.3	1.4	19	4.9	4	0.7	34.3	0.7	0.7	34.3	0.5
195	<1	879	70.7	17.8	100	3.7	118	4.0	2.3	1.3	18	5.2	4	0.7	33.1	0.7	0.7	33.1	0.5
196	<1	901	64.5	17.3	80	3.5	106	3.8	2.1	1.4	18	4.8	4	0.6	32.2	0.6	0.6	32.2	0.5
197	1	940	61.9	13.8	50	3.3	89	3.8	2.2	1.4	17	4.8	4	0.7	31.7	0.7	0.7	31.7	0.5
198	<1	940	65.7	14.9	70	3.0	90	4.0	2.1	1.4	18	5.0	4	0.7	33.2	0.7	0.7	33.2	0.5
199	<1	1050	67.2	15.4	30	2.7	256	4.0	2.2	1.5	18	5.1	4	0.7	34.5	0.7	0.7	34.5	0.5
200	1	949	66.2	14.0	50	2.8	150	3.9	2.3	1.5	17	5.1	4	0.7	34.7	0.7	0.7	34.7	0.5



ALS Chemex
EXCELLENCE IN ANALYTICAL CHEMISTRY

ALS Canada Ltd.
212 Brookbank Avenue
North Vancouver BC V7J 2C1
Phone: 604 984 0221 Fax: 604 984 0218

To: KANPANZHOU RESEARCH COMPANY
NO 4 VAZIRPOUR AVE MIRDAMAD BLDG
TEHRAN 15456
IRAN

Total # Pages: 9 (A - C)
Finalized Date: 19-JAN-2005
Account: TLD

Project: Tehran Padir

CERTIFICATE OF ANALYSIS VA05001309

Sample Description	Method Analyte Units LDR	ME-MSB1 Lu ppm 0.1	ME-MSB1 Mo ppm 2	ME-MSB1 Nb ppm 1	ME-MSB1 Nd ppm 0.5	ME-MSB1 Ni ppm 5	ME-MSB1 Pb ppm 0.1	ME-MSB1 Pr ppm 0.2	ME-MSB1 Rb ppm 0.1	ME-MSB1 Sm ppm 0.1	ME-MSB1 Sn ppm 0.1	ME-MSB1 Sr ppm 0.1	ME-MSB1 Ta ppm 0.1	ME-MSB1 Tb ppm 0.1	ME-MSB1 Th ppm 0.1	ME-MSB1 Ti ppm 0.1	ME-MSB1 U ppm 0.5
161	0.6	<2	33	62.2	34	25	16.2	150.0	12.6	3	.811	2.1	1.5	17	<0.5		
162	0.3	2	14	21.2	106	16	5.3	75.7	4.8	3	497	0.9	0.6	6	<0.5		
163	0.3	2	17	18.7	150	9	4.7	56.0	4.3	2	404	1.1	0.7	5	<0.5		
164	0.3	<2	13	22.6	99	15	5.7	81.0	5.1	2	255	0.9	0.7	7	<0.5		
165	0.3	<2	12	17.2	196	15	4.2	72.0	3.8	2	299	0.8	0.6	5	<0.5		
166	0.3	2	16	23.4	43	12	6.0	60.6	5.1	2	545	1.0	0.7	6	<0.5		
167	0.2	<2	10	15.0	127	10	3.7	52.6	3.5	2	416	0.6	0.4	4	<0.5		
168	0.4	2	15	38.8	43	24	10.0	128.5	9.1	2	1015	0.8	1.0	10	<0.5		
169	0.3	<2	9	16.0	141	11	4.0	48.6	3.4	2	368	0.5	0.5	3	<0.5		
170	0.3	<2	9	14.0	136	8	3.5	46.3	3.0	1	331	0.6	0.5	4	<0.5		
171	0.6	3	27	55.4	18	31	14.8	174.0	10.4	2	906	1.4	1.4	16	<0.5		
172	0.3	<2	8	14.4	162	8	3.6	51.6	3.2	1	331	0.5	0.6	3	<0.5		
173	0.7	2	20	43.6	24	33	11.2	116.0	9.2	3	885	1.1	1.4	11	<0.5		
174	0.5	2	14	26.9	55	22	7.0	89.3	5.8	2	418	0.8	0.9	8	<0.5		
175	0.5	<2	13	27.1	35	16	6.9	78.4	5.5	2	529	0.8	0.9	7	<0.5		
176	0.4	<2	10	14.6	124	15	3.7	61.3	3.2	2	298	0.6	0.6	4	<0.5		
177	0.4	<2	10	15.6	124	13	4.0	66.4	3.4	1	307	0.6	0.6	4	<0.5		
178	0.4	<2	10	15.2	112	11	3.9	66.9	3.4	1	304	0.6	0.6	4	<0.5		
179	0.3	2	7	12.3	153	9	3.0	43.7	2.6	1	297	<0.5	0.5	3	<0.5		
180	0.1	2	8	11.5	140	25	2.8	44.1	2.6	2	314	0.5	0.3	3	<0.5		
181	0.1	<2	7	10.8	164	11	2.5	42.5	2.5	2	299	0.5	0.3	2	<0.5		
182	0.2	2	18	22.0	55	30	5.3	51.1	4.4	2	479	1.2	0.5	4	<0.5		
183	0.2	2	18	21.4	61	10	5.3	49.3	4.5	2	487	1.2	0.6	4	<0.5		
184	0.2	2	8	15.1	50	23	3.9	52.9	3.1	1	592	0.6	0.4	4	<0.5		
185	0.1	2	4	12.6	14	<5	3.1	43.4	2.8	1	762	<0.5	0.3	4	<0.5		
186	0.1	<2	9	12.1	138	14	3.0	38.9	2.7	2	343	0.6	0.3	2	<0.5		
187	0.1	<2	12	15.3	118	11	3.9	37.6	3.2	1	381	0.9	0.4	2	<0.5		
188	0.2	<2	30	24.7	67	34	6.3	44.9	5.3	3	428	2.0	0.7	4	<0.5		
189	0.2	<2	25	22.0	82	10	5.4	39.4	4.7	2	389	1.7	0.6	4	<0.5		
190	0.1	2	31	23.4	94	14	5.9	61.9	5.0	2	334	2.2	0.6	4	<0.5		
191	0.2	2	37	27.1	84	31	6.9	39.5	5.5	3	376	2.5	0.7	4	<0.5		
192	0.2	2	17	20.1	56	23	4.8	41.5	4.6	2	453	1.1	0.6	9	<0.5		
193	0.6	2	41	83.6	19	52	22.3	165.0	15.6	4	845	2.7	1.8	17	<0.5		
194	0.2	7	18	29.4	36	19	7.7	151.5	5.6	3	371	1.2	0.6	10	<0.5		
195	0.2	4	19	28.9	31	10	7.6	146.5	5.9	3	364	1.2	0.6	10	<0.5		
196	0.2	2	17	27.5	27	14	7.2	142.5	5.6	2	378	1.1	0.6	9	<0.5		
197	0.2	2	18	26.9	21	9	7.1	139.5	5.4	2	429	1.2	0.6	9	<0.5		
198	0.2	3	19	28.0	25	11	7.4	146.0	5.6	2	438	1.2	0.6	10	<0.5		
199	0.2	2	17	29.6	20	20	7.7	147.0	5.8	2	575	1.1	0.6	9	<0.5		
200	0.2	2	19	29.5	20	18	7.7	143.5	5.7	2	488	1.2	0.6	10	<0.5		
201	0.2	2	19	29.5	20	18	7.7	143.5	5.7	2	488	1.2	0.6	10	<0.5		

ALS Chemex

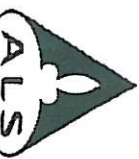
EXCELLENCE IN ANALYTICAL CHEMISTRY

ALS Canada Ltd.

212 Brookbank Avenue

North Vancouver BC V7J 2C1

Phone: 604 984 0221 Fax: 604 984 0218



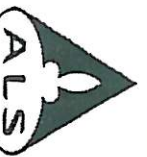
T.C. KANPANZHOU RESEARCH COMPANY
NO 4 VAZIRIPOUR AVE MIRDAMAD BLDG
TEHRAN 15456
IRAN

Total # Pages: 9 (A-C)
Finalized Date: 19-JAN-2005
Account: TLD

Project: Tehran Padir

CERTIFICATE OF ANALYSIS VA05001309

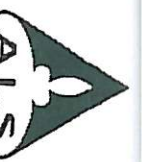
Sample Description	Method Analyte Units LOR	ME-MSB1 Tm ppm 0.1	ME-MSB1 U ppm 0.5	ME-MSB1 V ppm 5	ME-MSB1 W ppm 1	ME-MSB1 Y ppm 0.5	ME-MSB1 Yb ppm 0.1	ME-MSB1 Zn ppm 5	ME-MSB1 Zr ppm 0.5
161	0.6	6.0	284	9	43.5	4.4	138	316	190.5
162	0.3	1.9	157	3	22.5	2.2	130	150.0	
163	0.3	1.6	155	1	21.5	2.1	102	148.5	
164	0.3	1.8	148	2	25.4	2.5	89	155.5	
165	0.3	1.4	160	1	21.0	2.3	99	134.5	
166	0.3	1.9	254	2	22.4	2.4	93		
167	0.2	1.1	174	2	18.3	1.8	54	120.0	
168	0.4	3.1	388	3	30.3	2.9	146	185.5	
169	0.3	1.0	186	2	19.2	1.7	74	95.0	
170	0.3	0.9	158	1	18.2	1.7	66	95.7	
171	0.6	5.6	464	5	38.3	3.4	158	265	
172	0.3	1.1	162	1	19.4	1.8	72	90.2	
173	0.7	3.8	362	3	41.5	3.8	154	211	
174	0.5	1.8	189	3	32.3	3.0	100	161.0	
175	0.5	1.8	205	1	32.5	3.0	81	171.5	
176	0.3	1.2	200	1	19.9	2.0	83	110.5	
177	0.4	1.3	225	<1	21.7	2.2	85	116.0	
178	0.4	1.3	201	2	21.7	2.2	80	122.0	
179	0.3	0.8	199	3	17.0	1.6	74	84.7	
180	0.1	0.8	191	5	17.3	1.6	88	104.5	
181	0.1	0.7	176	4	16.5	1.5	79	96.9	
182	0.2	1.3	257	4	23.2	2.0	114	147.0	
183	0.2	1.4	258	3	22.8	2.0	114	142.0	
184	0.1	1.3	160	1	17.7	1.8	77	93.1	
185	0.1	1.1	152	1	15.3	1.4	69	67.2	
186	0.1	0.6	118	2	16.7	1.5	63	76.8	
187	0.1	0.7	119	1	18.2	1.5	72	90.7	
188	0.2	1.4	216	1	24.8	2.1	130	175.5	
189	0.2	1.3	203	4	22.8	2.0	113	146.5	
190	0.2	1.7	134	5	23.3	2.0	112	162.0	
191	0.2	1.2	159	9	26.5	2.3	127	186.5	
192	0.2	1.1	307	1	22.9	2.1	136	120.5	
193	0.7	5.9	301	2	55.1	4.8	168	308	
194	0.2	4.2	213	4	22.6	2.1	84	157.5	
195	0.2	4.4	258	6	23.6	2.2	107	148.0	
196	0.2	4.2	220	4	24.9	2.3	112	163.0	
197	0.2	3.2	208	7	22.8	2.1	86	147.0	
198	0.2	3.6	168	5	21.8	2.2	75	149.0	
199	0.2	4.2	213	4	22.6	2.1	80	146.0	
200	0.2	3.2	182	3	23.7	2.3	87	150.5	
201	0.2	4.1	240	6	22.4	2.3	87	150.5	



Project: Tehran Padir

CERTIFICATE OF ANALYSIS VA05001309

Sample Description	Method Analyte Units LOR	ME-MSB1 Al ppm 1	ME-MSB1 Bn ppm 0.5	ME-MSB1 Ce ppm 0.5	ME-MSB1 Co ppm 0.5	ME-MSB1 Cr ppm 0.5	ME-MSB1 C ₅ ppm 0.5	ME-MSB1 Cu ppm 0.1	ME-MSB1 Dy ppm 0.1	ME-MSB1 Er ppm 0.1	ME-MSB1 Eu ppm 0.1	ME-MSB1 Ga ppm 0.1	ME-MSB1 Gd ppm 0.1	ME-MSB1 Hf ppm 0.1	ME-MSB1 Ho ppm 0.1	ME-MSB1 La ppm 0.1	ME-MSB1 Lu ppm 0.5
202	<1	998	80.5	14.1	20	3.5	166	4.3	2.4	1.5	19	5.5	5	0.7	39.7		
203	<1	938	77.9	14.6	30	3.6	170	4.5	2.5	1.6	18	5.8	5	0.8	40.1		
204	4	878	71.2	13.4	40	3.5	150	4.2	2.3	1.5	17	5.3	4	0.7	37.7		
205	1	817	68.0	11.6	40	3.9	114	4.1	2.3	1.2	18	5.1	5	0.7	35.2		
206	<1	881	69.1	13.9	60	3.4	100	4.1	2.3	1.4	17	5.0	5	0.7	35.8		
207	2	873	67.5	12.2	60	2.5	124	4.0	2.2	1.4	16	5.1	4	0.7	35.7		
208	<1	963	68.9	13.8	40	4.2	123	4.3	2.3	1.5	17	5.3	5	0.7	36.5		
209	1	544	45.1	10.0	40	3.5	102	2.7	1.5	0.9	13	3.4	3	0.4	24.2		
212	<1	761	72.4	18.2	100	3.4	126	4.5	2.5	1.5	18	5.5	5	0.8	37.0		
213	<1	1070	108.0	15.6	30	4.7	112	6.7	3.5	1.9	20	8.7	5	1.2	53.7		
214	1	1135	116.5	16.0	20	4.2	98	6.9	3.9	2.0	21	9.0	6	1.3	54.6		
215	<1	913	91.2	18.2	50	5.6	180	5.2	2.9	1.6	20	6.8	5	1.0	44.0		
216	<1	943	98.2	18.4	50	5.4	170	5.9	3.2	1.7	21	7.4	5	1.1	46.7		
217	<1	839	82.7	19.6	60	4.7	162	5.1	3.0	1.6	21	6.2	5	0.9	40.6		
218	<1	945	126.5	20.2	50	4.8	146	8.0	4.3	2.0	22	10.3	8	1.5	60.8		
219	<1	966	122.0	19.2	60	4.7	139	7.8	4.6	2.1	21	10.2	7	1.4	60.8		
220	<1	994	127.0	19.7	40	4.8	152	8.0	4.5	2.1	22	10.2	7	1.4	64.2		
221	<1	768	206	21.2	20	3.3	55	12.3	7.3	2.1	26	16.1	13	2.4	97.4		
222	<1	1010	142.0	10.8	10	8.6	99	7.9	4.6	1.7	19	10.3	6	1.4	71.8		
223	<1	1010	124.0	10.4	20	7.9	92	7.0	4.1	1.7	19	9.6	6	1.3	61.2		
224	<1	994	155.5	11.2	20	6.5	81	9.1	5.3	1.9	19	12.2	7	1.7	76.7		
225	<1	928	113.0	17.0	40	5.4	170	7.0	4.0	1.8	20	8.9	6	1.3	56.8		
226	<1	838	162.0	12.2	20	5.3	70	9.6	5.5	1.8	20	12.4	6	1.8	77.2		
227	<1	931	115.5	10.0	10	9.0	92	6.1	3.5	1.7	21	8.3	5	1.1	57.1		
228	<1	736	142.0	12.8	20	8.2	114	7.8	4.5	1.6	21	10.2	6	1.5	69.2		
229	<1	1005	125.0	12.6	20	8.2	102	6.9	4.1	1.7	21	9.2	7	1.3	61.7		
230	<1	1025	127.0	22.8	40	3.7	92	7.8	4.4	2.0	24	9.8	7	1.4	60.4		
231	<1	959	122.5	22.1	30	3.5	89	7.7	4.5	2.0	23	10.2	7	1.4	60.0		
232	<1	1095	126.5	17.8	30	3.8	91	7.6	4.2	2.0	22	10.0	6	1.4	60.4		
233	<1	1100	123.5	17.2	20	3.8	92	7.7	4.4	2.1	21	10.0	7	1.4	61.1		
234	<1	854	138.5	15.6	50	7.0	110	8.2	4.9	1.6	21	9.2	5	1.3	58.0		
235	<1	923	139.0	15.0	50	5.5	90	8.1	4.9	1.7	21	10.6	7	1.5	68.5		
236	<1	773	151.5	12.4	20	4.9	82	8.6	5.1	1.5	18	11.7	6	1.5	68.3		
237	<1	865	136.5	14.4	40	6.3	102	8.2	4.8	1.8	20	10.8	7	1.4	73.9		
238	<1	1030	126.5	13.4	30	6.0	94	6.5	3.8	1.6	21	9.2	5	1.2	68.7		
239	<1	1005	142.0	12.6	40	6.2	92	8.0	4.6	1.7	20	10.7	6	1.5	70.4		
240	<1	874	171.0	14.1	30	3.9	50	10.3	6.0	2.0	21	13.4	9	2.0	82.1		
241	<1	791	132.5	14.4	50	7.2	85	7.3	4.3	1.7	22	9.7	7	1.4	63.6		
242	<1	1075	114.0	6.9	10	6.4	54	6.4	3.6	1.6	19	8.3	5	1.2	58.1		
243	<1	853	124.5	8.0	10	9.3	91	6.5	3.9	1.4	18	9.1	6	1.2	63.3		



Project: Tehran Padir

CERTIFICATE OF ANALYSIS VA05001309

Sample Description	Method Analyte Units LOR	ME-MSB1	ME-MSB1	ME-MSB1	ME-MSB1	ME-MSB1	ME-MSB1	ME-MSB1	ME-MSB1	ME-MSB1	ME-MSB1	ME-MSB1	ME-MSB1	ME-MSB1	ME-MSB1	ME-MSB1	ME-MSB1	ME-MSB1
		Lu ppm 0.1	Mo ppm 2	Nb ppm 1	Na ppm 0.5	Ni ppm 5	Pb ppm 0.1	Pr ppm 0.1	Rb ppm 0.2	Sm ppm 0.1	Sn ppm 1	Sr ppm 0.1	Ta ppm 0.5	Tb ppm 0.1	Th ppm 1	Tl ppm 0.1	Ti ppm 0.5	
202	0.3	3	22	33.0	15	17	8.7	149.5	6.4	2	433	1.4	0.7	14	<0.5	<0.5	<0.5	
203	0.2	2	23	33.7	18	20	8.8	147.0	6.6	2	329	1.4	0.7	12	<0.5	<0.5	<0.5	
204	0.2	2	20	31.8	22	25	8.3	146.5	5.9	2	397	1.3	0.6	12	<0.5	<0.5	<0.5	
205	0.3	2	18	30.0	29	15	8.0	134.0	5.9	5	208	1.3	0.6	12	<0.5	<0.5	<0.5	
206	0.2	3	21	28.9	29	18	7.7	131.5	5.8	5	353	1.4	0.6	11	<0.5	<0.5	<0.5	
207	0.2	3	20	29.3	21	13	7.9	131.5	5.8	2	405	1.3	0.6	11	<0.5	<0.5	<0.5	
208	0.2	2	19	30.6	19	12	8.1	149.5	6.2	2	432	1.2	0.7	11	<0.5	<0.5	<0.5	
209	0.1	<2	12	20.5	22	10	5.4	87.8	3.9	2	690	0.8	0.4	8	<0.5	<0.5	<0.5	
212	0.3	4	21	32.2	26	38	8.4	122.5	6.5	3	383	1.4	0.7	11	<0.5	<0.5	<0.5	
213	0.4	3	17	50.6	18	16	13.2	147.0	10.2	2	767	1.2	1.1	10	<0.5	<0.5	<0.5	
214	0.5	3	17	52.3	14	19	13.4	140.5	10.6	2	814	1.2	1.2	12	<0.5	<0.5	<0.5	
215	0.3	3	18	41.5	26	18	10.5	153.0	8.1	3	571	1.3	0.9	11	<0.5	<0.5	<0.5	
216	0.4	2	20	43.2	28	20	11.2	150.5	8.5	3	525	1.4	1.0	12	<0.5	<0.5	<0.5	
217	0.4	2	19	36.3	26	18	9.3	146.0	7.4	2	464	1.3	0.8	12	<0.5	<0.5	<0.5	
218	0.6	4	22	59.1	21	22	15.1	136.0	11.7	3	631	1.6	1.4	11	<0.5	<0.5	<0.5	
219	0.5	4	22	57.5	22	21	14.7	138.5	11.6	3	619	1.5	1.3	12	<0.5	<0.5	<0.5	
220	0.6	4	23	60.4	22	29	15.8	150.0	11.8	3	616	1.5	1.4	13	<0.5	<0.5	<0.5	
221	1.0	15	40	96.6	13	29	24.9	122.0	18.6	8	538	3.5	2.2	17	<0.5	<0.5	<0.5	
222	0.5	3	21	65.3	11	24	17.2	212	12.0	2	695	1.4	1.3	12	<0.5	<0.5	<0.5	
223	0.5	3	18	56.7	11	21	14.6	204	10.5	2	671	1.2	1.2	11	<0.5	<0.5	<0.5	
224	0.7	4	19	71.5	13	22	18.7	181.0	13.8	3	681	1.3	1.6	13	<0.5	<0.5	<0.5	
225	0.5	2	22	52.1	18	21	13.5	150.5	10.0	2	550	1.4	1.2	12	<0.5	<0.5	<0.5	
226	0.7	4	21	73.5	17	24	19.3	150.0	14.1	3	663	1.4	1.7	13	<0.5	<0.5	<0.5	
227	0.4	2	19	49.6	12	25	13.2	211	9.3	2	745	1.1	1.0	9	<0.5	<0.5	<0.5	
228	0.6	3	27	63.1	17	14	16.8	177.5	11.6	2	649	1.6	1.3	12	<0.5	<0.5	<0.5	
229	0.5	3	21	56.6	16	12	14.8	200	10.7	3	664	1.4	1.2	14	<0.5	<0.5	<0.5	
230	0.6	6	22	57.5	21	25	14.9	128.0	11.5	4	701	1.7	1.3	10	<0.5	<0.5	<0.5	
231	0.6	6	23	57.3	19	13	14.5	120.0	11.6	4	669	1.7	1.3	11	<0.5	<0.5	<0.5	
232	0.5	4	18	57.3	19	22	14.6	139.0	11.2	3	781	1.3	1.3	11	<0.5	<0.5	<0.5	
233	0.6	4	18	58.2	18	26	14.8	143.0	11.3	3	792	1.4	1.3	12	<0.5	<0.5	<0.5	
234	0.6	3	26	67.3	29	25	16.3	176.5	12.1	3	599	1.7	1.3	13	<0.5	<0.5	<0.5	
235	0.6	4	21	64.6	26	23	16.8	172.5	12.1	3	655	1.4	1.4	11	<0.5	<0.5	<0.5	
236	0.7	4	20	71.7	21	13	18.7	157.5	13.3	3	598	1.5	1.5	10	<0.5	<0.5	<0.5	
237	0.6	4	22	64.1	31	23	16.6	154.5	12.0	3	611	1.5	1.4	12	<0.5	<0.5	<0.5	
238	0.5	3	20	54.3	18	29	14.2	175.0	10.6	3	686	1.3	1.2	10	<0.5	<0.5	<0.5	
239	0.6	3	21	65.2	20	40	17.2	180.0	12.0	2	744	1.3	1.4	10	<0.5	<0.5	<0.5	
240	0.8	6	23	78.3	21	28	20.7	145.0	15.0	4	700	1.7	1.8	12	<0.5	<0.5	<0.5	
241	0.6	4	24	57.7	35	15	15.2	169.0	10.6	3	656	1.6	1.2	15	<0.5	<0.5	<0.5	
242	0.5	2	16	51.5	9	18	13.9	213	9.6	2	884	1.0	1.1	8	<0.5	<0.5	<0.5	
243	0.5	2	20	56.6	10	27	15.3	205	10.2	3	641	1.3	1.1	12	<0.5	<0.5	<0.5	

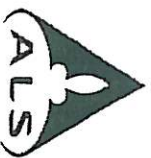
ALS Chemex
EXCELLENCE IN ANALYTICAL CHEMISTRY

ALS Canada Ltd.

212 Brookbank Avenue

North Vancouver BC V7J 2C1

Phone: 604 984 0221 Fax: 604 984 0218



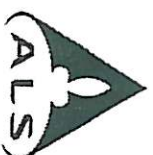
To: KANPANZHOU RESEARCH COMPANY
NO 4 VAZIRIPOUR AVE MIRDAMAD BLDG
TEHRAN 15456
IRAN

Total # Pages: 9 (A - C)
Finalized Date: 19-JAN-2005
Account: TLD
Page: 7 - C

Project: Tehran Padir

CERTIFICATE OF ANALYSIS VA05001309

Sample Description	Method Analyte Units LOR	ME-MSB1 Tm ppm 0.1	ME-MSB1 U ppm 0.5	ME-MSB1 V ppm 5	ME-MSB1 W ppm 1	ME-MSB1 Y ppm 1	ME-MSB1 Yb ppm 0.5	ME-MSB1 Zn ppm 0.1	ME-MSB1 Zr ppm 5	ME-MSB1 ppm 0.5
202	0.2	5.2	207	5	23.4	2.4	85	178.0		
203	0.3	4.8	227	6	24.9	2.5	87	165.0		
204	0.2	4.2	180	9	23.2	2.3	83	156.0		
205	0.2	2.8	138	5	24.7	2.4	90	167.5		
206	0.2	4.4	249	6	22.4	2.3	95	170.5		
207	0.2	4.7	267	9	21.8	2.3	84	153.5		
208	0.3	4.1	170	5	23.7	2.3	79	160.0		
209	0.1	3.7	149	4	16.0	1.5	63	97.3		
212	0.3	4.6	301	6	24.7	2.4	106	167.0		
213	0.4	3.3	341	5	36.2	3.4	132	166.0		
214	0.5	4.0	326	5	37.0	3.6	142	218		
215	0.4	3.7	238	7	31.5	2.9	114	165.0		
216	0.4	4.3	268	3	33.2	3.1	126	182.0		
217	0.3	4.6	224	5	28.6	3.0	106	172.0		
218	0.6	5.0	461	6	42.2	4.2	183	320		
219	0.5	4.5	429	4	41.5	4.3	168	243		
220	0.6	4.6	469	3	45.9	4.5	170	225		
221	1.0	8.5	968	7	70.3	7.0	340	501		
222	0.6	4.5	162	4	47.0	4.5	87	243		
223	0.5	4.4	169	3	41.7	4.0	83	242		
224	0.7	4.6	212	5	51.5	5.1	100	228		
225	0.5	4.5	258	2	39.3	3.9	122	211		
226	0.7	4.9	230	3	52.3	5.2	124	228		
227	0.4	2.9	101	3	35.9	3.4	76	162.5		
228	0.6	3.7	118	3	46.3	4.5	94	223		
229	0.5	5.0	200	6	42.9	4.0	104	247		
230	0.6	3.6	598	8	44.2	4.3	233	282		
231	0.6	4.0	619	5	42.4	4.5	225	256		
232	0.5	3.8	411	3	42.6	4.1	163	234		
233	0.6	4.3	403	4	44.0	4.2	152	239		
234	0.6	5.4	193	3	47.8	4.8	115	211		
235	0.6	4.0	250	3	49.1	4.5	120	226		
236	0.7	3.6	204	3	55.0	4.9	106	205		
237	0.6	5.6	237	4	47.8	4.6	116	239		
238	0.5	4.1	182	4	42.2	3.8				
239	0.6	3.9	188	3	48.5	4.3	99	214		
240	0.8	4.5	334	7	58.3	5.7	154	328		
241	0.6	4.9	184	13	44.2	4.3	108	269		
242	0.4	2.6	70	4	38.5	3.7	59	174.5		
243	0.5	4.5	89	2	43.3	3.8	73	186.5		

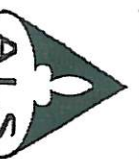


ALS Chemex
EXCELLENCE IN ANALYTICAL CHEMISTRY
ALS Canada Ltd.

EXCELLENCE IN ANALYTICAL CHEMISTRY

To: KANPANZHOU RESEARCH COMPANY
NO 4 VAZIRIPOUR AVE MIRDAMAD BLDG
TEHRAN 15456
IRAN

Project: Tehran Padr



Project: Tehran Padir

CERTIFICATE OF ANALYSIS VA05001309

Sample Description	Method Analyte Units LOR	ME-MSB1 Lu ppm 0.1	ME-MSB1 Mo ppm 2	ME-MSB1 Nb ppm 1	ME-MSB1 Nd ppm 0.5	ME-MSB1 Ni ppm 5	ME-MSB1 Pb ppm 0.1	ME-MSB1 Pr ppm 0.2	ME-MSB1 Rb ppm 0.1	ME-MSB1 Sm ppm 1	ME-MSB1 Sn ppm 0.1	ME-MSB1 Sr ppm 0.1	ME-MSB1 Ta ppm 0.5	ME-MSB1 Tb ppm 1	ME-MSB1 Th ppm 0.1	ME-MSB1 Ti ppm 0.5
244	0.4	2	17	46.9	20	18	11.9	161.0	9.1	2	656	1.1	1.0	1.0	10	<0.5
245	0.5	2	23	52.1	19	16	13.5	157.0	10.1	2	557	1.4	1.2	12	<0.5	
246	0.6	2	27	56.8	16	24	14.8	200	11.0	2	699	1.5	1.3	11	<0.5	
247	0.4	2	18	45.2	20	12	11.4	142.5	8.8	2	569	1.2	1.0	11	<0.5	
248	0.2	3	17	28.1	25	18	7.3	138.0	5.6	2	395	1.1	0.6	9	<0.5	
249	0.2	2	15	25.8	23	22	6.7	126.5	5.4	2	401	1.0	0.6	8	<0.5	
250	0.2	2	17	27.8	33	15	7.2	142.5	5.4	2	355	1.1	0.6	9	<0.5	
251	0.2	2	15	26.7	26	12	6.9	117.5	5.4	2	409	1.0	0.6	8	<0.5	
252	0.4	2	19	37.1	43	13	9.5	155.0	7.7	3	318	1.2	0.9	10	<0.5	
253	0.2	2	15	28.5	32	9	6.9	131.0	5.4	2	523	1.0	0.6	9	<0.5	
254	0.3	2	19	30.9	17	22	7.9	157.5	5.9	2	443	1.2	0.6	10	<0.5	
255	0.3	2	16	27.5	13	16	7.1	138.0	5.6	2	392	1.0	0.7	8	<0.5	
256	0.4	2	15	26.7	15	15	7.8	146.0	4.8	2	356	1.1	0.5	4	<0.5	
257	0.2	9	18.2	22	17	4.7	44.3	3.6	1	289	0.6	0.5	4	<0.5		
258	0.3	12	25.0	28	58	6.9	104.5	4.2	1	477	0.8	0.6	7	<0.5		
259	0.2	10	23.9	29	11	6.2	84.7	3.4	1	386	0.7	0.5	5	<0.5		
260	0.4	17	26.5	13	16	6.8	123.0	5.8	2	442	1.0	0.7	8	<0.5		
261	0.4	15	32.0	30	14	8.4	124.5	5.5	2	379	1.1	0.9	8	<0.5		
262	0.4	18	41.5	18	17	11.2	92.3	7.8	1	510	1.2	0.8	8	<0.5		
263	0.4	9	22.4	31	24	5.5	67.7	4.8	2	305	0.6	0.8	4	<0.5		
264	0.4	12	24.4	37	16	6.5	96.0	4.8	2	332	0.9	0.7	6	<0.5		
265	0.3	15	26.7	30	18	7.3	94.9	4.8	1	386	0.9	0.8	6	<0.5		
266	0.4	15	28.2	23	19	7.5	135.5	5.1	2	338	1.1	0.6	8	<0.5		
267	0.3	15	29.4	32	19	7.5	120.5	4.6	2	308	1.0	0.7	8	<0.5		
268	0.4	16	30.6	22	18	8.0	128.5	5.7	2	289	1.1	0.8	9	<0.5		
269	0.4	16	27.1	27	19	7.5	116.0	4.7	1	381	1.0	0.7	8	<0.5		
270	0.3	16	31.6	25	19	8.4	121.0	4.0	1	360	1.1	0.7	9	<0.5		
271	0.3	17	30.6	18	18	7.5	119.0	4.2	1	366	1.0	0.7	8	<0.5		
272	0.3	16	28.6	20	18	7.5	107.7	5.1	2	276	1.0	0.7	7	<0.5		
273	0.4	14	26.5	35	21	7.0	87.7	5.1	2	276	1.0	0.7	7	<0.5		
274	0.4	16	30.6	22	18	8.0	128.5	5.7	2	289	1.1	0.8	9	<0.5		
275	0.3	17	33.9	31	14	8.9	148.5	5.7	3	450	1.1	0.8	8	<0.5		
276	0.3	17	25.9	27	17	7.0	99.6	3.8	1	377	0.9	0.5	7	<0.5		
277	0.3	17	30.6	18	18	8.3	91.1	4.1	1	289	1.1	0.6	8	<0.5		
278	0.2	13	22.6	39	17	6.1	95.3	4.1	1	442	0.9	0.5	6	<0.5		
279	0.5	17	33.9	31	14	8.9	148.5	5.7	3	450	1.1	0.8	9	<0.5		
280	0.9	6	20	68.9	19	14	17.9	125.0	14.0	4	652	1.6	1.8	9	<0.5	
281	0.2	17	20.5	7	13	6.1	79.4	4.5	1	397	1.0	0.4	8	<0.5		
282	0.3	14	24.9	12	18	6.8	93.9	4.2	1	384	1.0	0.5	7	<0.5		
283	0.4	19	31.0	21	17	8.1	132.5	5.5	2	303	1.3	0.7	9	<0.5		

ALS Chemex

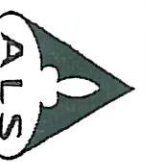
EXCELLENCE IN ANALYTICAL CHEMISTRY

ALS Canada Ltd

212 Brookbank Avenue

North Vancouver BC V7J 2C1

Phone: 604 984 0221 Fax: 604 984 0218



To: KANPANZHOU RESEARCH COMPANY
NO 4 VAZIRIPOUR AVE MIRDAMAD BLDG
TEHRAN 15456
IRAN

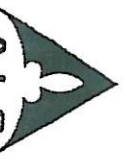
Project: Tehran Padir

CERTIFICATE OF ANALYSIS VA05001309

Sample Description	Method Analyte Units LOR	ME-MSB1 Tm ppm 0.1	ME-MSB1 U ppm 0.5	ME-MSB1 V ppm 5	ME-MSB1 W ppm 1	ME-MSB1 Y ppm 0.5	ME-MSB1 Yb ppm 0.1	ME-MSB1 Zn ppm 5	ME-MSB1 Zr ppm 0.5
244	0.4	3.4	200	2	36.3	3.3	97	175.5	
245	0.5	4.4	252	3	40.7	3.9	126	220	
246	0.6	3.7	132	3	43.5	4.4	104	184.5	
247	0.4	4.2	225	3	35.8	3.3	95	173.5	
248	0.2	3.5	222	3	23.4	2.2	90	151.0	
249	0.2	2.9	204	3	23.1	2.2	87	136.5	
250	0.2	3.3	180	5	22.2	2.2	81	145.5	
251	0.2	3.0	212	3	24.2	2.4	83	142.5	
252	0.4	3.5	198	4	34.8	3.1	100	167.5	
253	0.2	4.0	166	3	21.4	2.3	90	149.0	
254	0.2	4.1	208	3	25.2	2.5	94	173.5	
255	0.3	2.9	167	4	22.2	2.2	83	164.0	
256	0.4	3.0	190	2	23.9	2.3	78	153.0	
257	0.2	1.0	213	1	13.6	2.0	82	111.0	
258	0.3	2.7	154	2	17.6	2.0	85	129.0	
259	0.2	1.2	210	3	17.9	1.7	66	103.5	
260	0.4	3.7	186	3	21.6	2.6	92	169.0	
261	0.4	2.6	202	4	25.1	2.3	76	151.0	
262	0.4	2.6	249	8	25.9	3.6	94	190.5	
263	0.3	1.6	283	<1	23.2	1.9	102	113.5	
264	0.3	2.2	220	1	20.9	2.2	87	138.0	
265	0.4	2.5	316	2	23.2	2.3	94	129.5	
266	0.3	2.4	180	4	18.4	2.8	88	159.5	
267	0.3	3.1	196	7	21.6	2.4	85	158.0	
268	0.3	2.3	253	4	22.3	2.2	86	147.0	
269	0.4	3.2	192	2	24.1	2.5	86	165.0	
270	0.3	2.7	269	9	19.2	2.1	87	145.0	
271	0.3	1.8	276	6	19.4	2.1	93	157.0	
272	0.3	2.2	234	3	18.4	2.1	82	145.5	
273	0.3	2.2	217	3	22.2	2.3	84	150.0	
274	0.3	3.7	257	6	22.7	2.7	107	185.0	
275	0.2	2.2	217	10	16.4	2.0	78	137.5	
276	0.3	2.1	209	5	17.4	2.2	67	151.0	
277	0.3	1.7	269	5	21.2	2.0	79	113.5	
278	0.2	2.5	188	2	16.2	2.0	71	122.5	
279	0.4	5.5	278	7	25.9	2.3	94	160.5	
280	0.8	3.9	532	3	51.8	5.0	196	335	
281	0.2	2.6	128	4	12.7	2.5	70	170.5	
282	0.2	2.2	156	6	15.6	2.1	69	146.0	
283	0.3	2.9	176	4	22.1	2.4	76	168.0	

Total # Pages: 9 (A - C)
Finalized Date: 19-JAN-2005
Account: TLD

Page: 8 - C



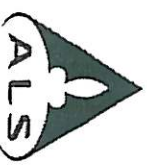
ALS Chemex
EXCELLENCE IN ANALYTICAL CHEMISTRY
 ALS Canada Ltd
 212 Brooksbank Avenue
 North Vancouver BC V7J 2C1
 Phone: 604 984 0221 Fax: 604 984 0218

To: KANPANZHOU RESEARCH COMPANY
 NO 4 VAZIRIPOUR AVE MIRDAMAD BLDG
 TEHRAN 15456
 IRAN

Project: Tehran Padir

CERTIFICATE OF ANALYSIS VA05001309

Sample Description	Method Analyte Units L:OR	ME-MSB1 Ag ppm 1	ME-MSB1 Ba ppm 0.5	ME-MSB1 Ce ppm 0.5	ME-MSB1 Co ppm 0.5	ME-MSB1 Cr ppm 0.5	ME-MSB1 Cs ppm 0.1	ME-MSB1 Cu ppm 5	ME-MSB1 Dy ppm 0.1	ME-MSB1 Er ppm 0.1	ME-MSB1 Eu ppm 0.1	ME-MSB1 Ga ppm 1	ME-MSB1 Gd ppm 0.1	ME-MSB1 Hf ppm 1	ME-MSB1 Ho ppm 0.1	ME-MSB1 La ppm 0.1	ME-MSB1 Me-MSB1
ALSMU.	<1	57.2	90.5	13.0	30	5.6	120	6.9	4.7	0.8	18	9.2	7	1.1	64.0		
ASPSU	<1	284	37.0	27.4	1030	1.6	38	3.6	2.2	1.4	13	3.7	3	0.6	18.4		
AUMHH	<1	60.4	52.1	19.1	60	4.0	115	4.1	2.6	1.5	17	5.4	3	0.7	28.5		
BJSMU	<1	70.8	50.4	13.3	20	3.0	106	4.2	2.8	1.2	16	3.7	6	0.5	32.9		
BMSTM	<1	64.3	75.2	16.4	40	3.7	106	6.1	4.0	1.4	18	6.3	6	0.8	48.6		
EFAMS	<1	80.4	91.6	11.9	20	4.9	116	6.5	4.2	1.3	18	8.9	6	1.1	56.5		
HONRY	<1	78.1	131.5	18.6	20	2.7	69	9.3	5.7	1.8	21	12.0	7	1.6	72.4		
JPAKN	<1	61.5	94.9	27.5	110	4.0	65	5.2	3.1	2.1	21	7.9	4	1.2	41.3		
KHORD	<1	58.8	111.5	33.8	60	2.7	59	6.9	4.0	2.3	27	9.9	9	1.6	50.7		
MASPP	<1	69.5	41.8	21.0	60	1.9	64	3.5	2.2	0.7	17	3.9	4	0.6	22.0		
MOOHM	<1	301	39.2	20.6	60	1.1	31	4.2	2.6	0.6	17	4.3	4	0.8	23.8		
MUNTS	<1	493	39.2	44.3	40	1.2	69	4.8	2.7	1.7	18	5.9	2	1.0	16.4		
SABMN	<1	495	61.3	22.7	70	3.6	89	3.5	2.1	0.9	18	6.4	2	1.2	29.4		
TAGHI	<1	856	61.5	16.4	50	3.9	159	3.9	2.3	1.0	19	4.9	4	0.7	32.5		
VSSAC	<1	393	49.9	21.9	90	4.2	48	4.4	2.7	1.3	18	5.1	3	1.0	23.4		
WSTRU	<1	551	48.5	33.1	70	3.2	83	3.4	1.9	0.7	17	5.0	2	0.8	23.1		
XXAMU	<1	844	91.3	18.8	50	4.6	67	5.5	3.1	2.0	21	6.4	4	0.8	46.2		
YNSTM	<1	1045	135.0	24.3	30	3.6	93	7.8	4.7	2.0	25	10.6	7	1.5	59.2		
ZXQAP	<1	760	60.8	43.4	70	2.8	172	5.1	2.8	1.9	22	5.8	2	0.9	25.5		
ZZSMX	<1	1105	205	17.7	30	3.7	56	10.8	2.5	2.5	15.2	6	2.3	77.3			



ALS Chemex
EXCELLENCE IN ANALYTICAL CHEMISTRY

ALS Canada Ltd.

212 Brookbank Avenue
North Vancouver BC V7J 2C1
Phone: 604 984 0221 Fax: 604 984 0218

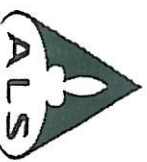
To: KANPANZHOU RESEARCH COMPANY
NO 4 VAZIRIPOUR AVE MIRDAMAD BLDG
TEHRAN 15456
IRAN

Project: Tehran Padir

CERTIFICATE OF ANALYSIS VA05001309

Sample Description	Method Analyte Units LOR	ME-MSB1 Lu ppm 0.1	ME-MSB1 Mo ppm 2	ME-MSB1 Nb ppm 1	ME-MSB1 Nd ppm 0.5	ME-MSB1 Ni ppm 5	ME-MSB1 Pb ppm 0.1	ME-MSB1 Pr ppm 0.2	ME-MSB1 Rb ppm 0.1	ME-MSB1 Sm ppm 1	ME-MSB1 Sn ppm 0.1	ME-MSB1 Sr ppm 0.1	ME-MSB1 Ta ppm 0.5	ME-MSB1 Tb ppm 0.1	ME-MSB1 Th ppm 0.1	ME-MSB1 Ti ppm 0.5	ME-MSB1 U ppm 1	ME-MSB1 V ppm 0.5
ALSMU	0.6	2	22	60.8	26	16	16.3	126.5	8.0	2	508	1.5	1.3	11	<0.5			
ASPSU	0.4	<2	10	17.2	131	11	4.5	40.8	3.6	1	250	0.7	0.6	5	<0.5			
AUMHH	0.3	2	9	29.0	32	41	7.2	60.1	5.2	2	481	0.6	0.8	8	<0.5			
BJSMU	0.3	<2	18	25.4	15	15	7.1	93.7	4.8	1	400	1.1	0.5	9	<0.5			
BWSTM	0.4	3	16	42.4	20	23	11.6	90.7	7.4	1	466	1.2	0.9	9	<0.5			
EFAMS	0.5	2	18	53.0	18	16	14.2	141.0	8.4	2	632	1.2	1.2	9	<0.5			
HONRY	0.8	5	21	72.5	18	14	18.9	112.5	12.5	3	621	1.7	1.7	13	<0.5			
JPAKN	0.5	2	18	34.4	44	22	9.1	104.5	8.4	2	472	1.1	1.1	10	<0.5			
KHORD	0.6	2	14	44.3	12	28	11.4	71.9	10.2	2	577	0.9	1.4	18	<0.5			
MASPP	0.2	<2	8	19.5	28	19	5.1	63.3	4.5	1	459	0.5	0.6	6	<0.5			
MOOHM	0.3	<2	24	20.0	36	10	5.3	42.2	4.3	1	215	1.3	0.7	5	<0.5			
MUNTS	0.4	<2	4	19.8	22	28	4.6	27.4	5.8	1	681	<0.5	0.9	3	<0.5			
SABMN	0.6	2	12	26.1	41	16	6.6	98.1	5.1	2	310	0.8	1.0	7	<0.5			
TAGHI	0.3	<2	17	25.5	22	25	7.0	137.5	5.4	1	386	1.0	0.7	8	<0.5			
VSSAC	0.4	<2	12	21.0	44	22	5.5	63.2	4.9	2	179.5	0.8	0.8	7	<0.5			
WSTRU	0.3	<2	9	23.0	33	14	5.5	88.6	4.7	1	291	0.5	0.7	5	<0.5			
XXAMU	0.4	2	14	33.3	27	31	9.3	110.5	7.9	1	844	0.7	0.9	13	<0.5			
YMSMT	0.6	4	21	52.8	16	19	13.8	123.5	11.6	3	691	1.4	1.4	10	<0.5			
ZXQAP	0.4	<2	7	23.5	33	21	5.9	61.9	7.1	2	760	<0.5	0.9	6	<0.5			
ZZSMX	1.0	5	22	70.3	19	21	18.8	165.5	17.7	4	732	1.5	2.2	13	<0.5			

Page: 9 - B
Total # Pages: 9 (A - C)
Finalized Date: 19-JAN-2005
Account: TLD



ALS Chemex
EXCELLENCE IN ANALYTICAL CHEMISTRY

ALS Canada Ltd.

To: KANPANZHOU RESEARCH COMPANY
NO 4 VAZIRIPOUR AVE MIRDAMAD BLDG
TEHRAN 15456
IRAN

Total # Pages: 9 (A - C)
Finalized Date: 19-JAN-2005
Account: TLD

212 Brooksbank Avenue
North Vancouver BC V7J 2C1
Phone: 604 984 0221 Fax: 604 984 0218

Project: Tehran Padir

CERTIFICATE OF ANALYSIS VA05001309

Sample Description	Method Analyte	ME-MSB1 ppm	ME-MSB1 U ppm	ME-MSB1 V ppm	ME-MSB1 W ppm	ME-MSB1 Y ppm	ME-MSB1 Yb ppm	ME-MSB1 Zn ppm	ME-MSB1 Zr ppm
	LOR	0.1	0.5	5	1	0.5	0.1	5	0.5
ALSMU	0.5	3.1	171	4	35.1	4.0	93	209	
ASPSU	0.3	1.4	136	1	17.7	2.1	78	133.5	
AUMHH	0.3	2.4	234	1	21.4	2.2	172	146.5	
BASMU	0.2	2.7	134	6	15.2	2.5	65	172.0	
BWSIM	0.4	2.5	240	7	25.8	3.4	93	180.5	
ETAMS	0.5	3.1	194	3	34.6	3.8	92	219	
HONRY	0.8	4.2	519	4	48.6	4.9	188	299	
JPAKN	0.5	3.3	257	2	34.7	2.7	128	218	
KHORD	0.6	8.7	1140	2	43.2	3.6	263	637	
MASPP	0.2	1.9	296	3	16.6	2.0	84	136.0	
MOOHM	0.3	1.3	138	3	21.7	2.4	85	183.0	
MUNTS	0.4	1.0	653	1	26.8	2.2	128	92.4	
SABMN	0.5	2.1	231	6	37.4	2.1	98	164.5	
TAGHI	0.3	2.7	258	5	21.1	2.1	105	172.0	
VSSAC	0.4	2.0	164	4	27.8	2.4	94	149.0	
WSTRU	0.3	1.5	285	2	24.9	1.8	98	118.5	
XXAMU	0.3	4.2	189	7	25.1	2.7	110	195.0	
YMSTM	0.6	4.2	621	8	43.0	4.0	233	315	
ZXQAP	0.4	1.8	472	2	26.4	2.3	138	114.5	
ZZSMX	0.9	6.4	334	7	66.5	5.6	178	413	

